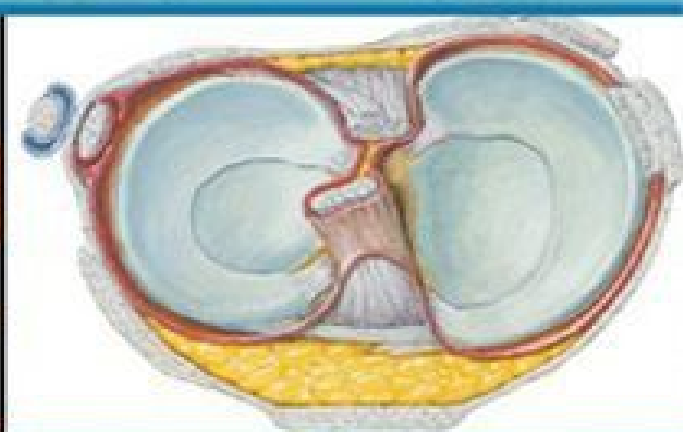
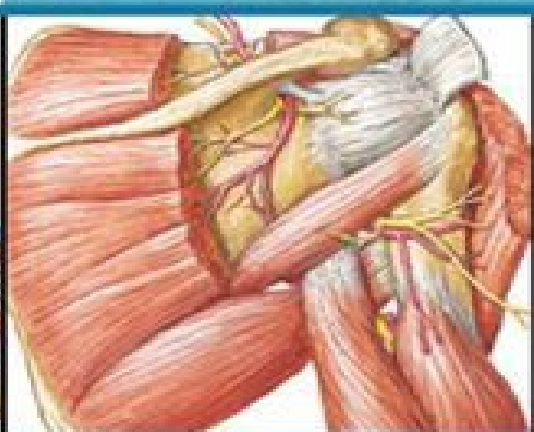
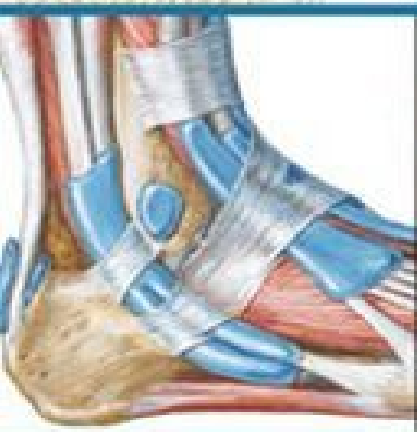
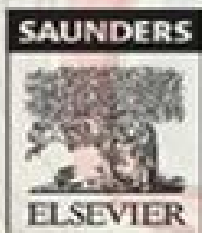




Netter
ATLAS
DE ANATOMIA
ORTOPÉDICA



JON C. THOMPSON



TRADUÇÃO DA 2ª EDIÇÃO

*J. Netter
M.D.*

Netter Atlas de Anatomia Ortopédica

2ª EDIÇÃO

Jon C. Thompson, MD

Staff Orthopaedic Surgeon, Irwin Army Community Hospital, Fort Riley, Kansas

SAUNDERS

Copyright

© 2012 Elsevier Editora Ltda.

Tradução autorizada do idioma inglês da edição publicada por Saunders – um selo editorial Elsevier Inc.

Todos os direitos reservados e protegidos pela Lei 9.610 de 19/02/1998.

Nenhuma parte deste livro, sem autorização prévia por escrito da editora, poderá ser reproduzida ou transmitida sejam quais forem os meios empregados: eletrônicos, mecânicos, fotográficos, gravação ou quaisquer outros.

ISBN: 978-85-352-4411-3

Copyright © 2010, 2002 by Saunders, an imprint of Elsevier Inc.

This edition of Netter's Concise Orthopaedic Anatomy, 2st edition by Jon C. Thompson is published by arrangement with Elsevier Inc.

ISBN: 978-1-4160-5987-5

Capa

Interface/Sergio Liuzzi

Editoração Eletrônica

Futura

Elsevier Editora Ltda.

Conhecimento sem Fronteiras

Rua Sete de Setembro, nº 111 – 16º andar

20050-006 – Centro – Rio de Janeiro – RJ

Rua Quintana, nº 753 – 8º andar

04569-011 – Brooklin – São Paulo – SP

Serviço de Atendimento ao Cliente

0800 026 53 40

sac@elsevier.com.br

Preencha a ficha de cadastro no final deste livro e receba gratuitamente informações sobre os lançamentos e promoções da Elsevier.

Consulte também nosso catálogo completo, os últimos lançamentos e os serviços exclusivos no site www.elsevier.com.br

NOTA

O conhecimento médico está em permanente mudança. Os cuidados normais de segurança devem ser seguidos, mas, como as novas pesquisas e a experiência clínica ampliam nosso conhecimento, alterações no tratamento e terapia à base de fármacos podem ser necessárias ou apropriadas. Os leitores são aconselhados a checar informações mais atuais dos produtos, fornecidas pelos fabricantes de cada fármaco a ser administrado, para verificar a dose recomendada, o método e a duração da administração e as contraindicações. É responsabilidade do médico, com base na experiência e contando com o conhecimento do paciente, determinar as dosagens e o melhor tratamento para cada um individualmente. Nem o editor nem o autor assumem qualquer responsabilidade por eventual dano ou perda a pessoas ou a propriedade originada por esta publicação.

O Editor

CIP-BRASIL. CATALOGAÇÃO NA FONTE

SINDICATO NACIONAL DOS EDITORES DE LIVROS, RJ

T39n

2.ed.

Thompson, Jon C.

Netter, Atlas de Anatomia Ortopédica / Jon C. Thompson; [tradução Marcela Otranto de Souza...et al.]. - 2.ed. - Rio de Janeiro : Elsevier, 2012.

416p. : 23 cm

Tradução de: Netter's concise orthopaedic anatomy

Índice

ISBN 978-85-352-4411-3

1. Ortopedia - Atlas. 2. Anatomia humana - Atlas. I. Título.

11-1276.

CDD: 611.00222

CDU: 611(084)



Revisão Científica

Carlos Romualdo Rueff Barroso*

Doutor em Ciências (Biologia Humana e Experimental) pela Universidade do Estado do Rio de Janeiro (UERJ)

Mestre em Morfologia pela UERJ

Professor Adjunto do Departamento de Morfologia do Instituto Biomédico da, Universidade Federal Fluminense (UFF)

Marcos Britto

Mestre em Medicina pela Faculdade de Medicina da Universidade Federal do Rio de Janeiro (UFRJ)

Especialista em Cirurgia de Ombro pela Clinique Junenet, Paris

Professor da Pós-graduação em Medicina do Instituto Carlos Chagas

* O Dr. Carlos Romualdo Rueff Barroso agradece a colaboração do professor Rodrigo Mota Pacheco Fernandes (Departamento de Morfologia, Instituto Biomédico da UFF).

Tradução

Adriana Paulino do Nascimento (Cap. 4)

Doutora em Ciências (Biologia Humana e Experimental) pela Universidade do Estado do Rio de Janeiro (UERJ)

Mestre em Morfologia pela UERJ

Cristiane Regina Ruiz (Caps. 8 e 9)

Professora de Anatomia Humana e Anatomia em Imagens do Centro Universitário São Camilo, SP

Doutora em Ciências (Morfologia) pela Universidade Federal de São Paulo (Unifesp/EPM)

Mestre em Ciências (Morfologia) pela Unifesp/EPM

Danielle Paes Machado de Andrade Branco (Cap. 7 e índice)

Mestre em Biologia Humana e Experimental pela Universidade do Estado do Rio de Janeiro (UERJ)

Douglas Futuro (Cap. 3)

Graduado em Ortopedia pela Universidade Gama Filho

Fernanda Gurgel Zogaib (Cap. 2)

Graduada em Educação Física e Desportos pela IEFD/UERJ

Mestre em Ciências (Biologia Humana e Experimental) pela Universidade do Estado do Rio de Janeiro (UERJ)

Doutoranda em Ciências Médicas pela PGCM/UERJ

Fernando Mundim (Cap. 10)

Professor Adjunto do Instituto de Psiquiatria da Faculdade de Medicina da UFRJ

José Eduardo Figueiredo (Cap. 5)

Pós-graduação em Pediatria pelo Instituto Carlos Chagas da Pontifícia Universidade Católica do Rio de Janeiro (PUC-Rio)

Pós-graduação em Saúde da Família pela Universidade Castelo Branco, Rio de Janeiro

Marcela Otranto (Cap. 1)

Doutoranda pela pós-graduação em Biologia Humana e Experimental da UERJ

Mestre pela pós-graduação em Biologia Humana e Experimental da UERJ

Roberta Hack Mendes (Cap. 6)

Nutricionista, mestre e doutora em fisiologia humana pela Universidade Federal do Rio Grande do Sul

Apresentação

Jon C. Thompson, MD

Suponho que sempre existam dúvidas em relação à receptividade que a 1ª edição de qualquer texto receberá antes de sua publicação. A resposta e o entusiasmo em relação à 1ª edição desse texto têm sido gratificantes e superaram as minhas expectativas mais otimistas. Rapidamente ficou claro que a 1ª edição desse texto, escrito predominantemente enquanto eu era um estudante de medicina, estava precisando de uma atualização. Embora a anatomia seja imutável, a nossa compreensão dela, de sua terminologia, e de sua aplicação clínica continuam a avançar.

Recebi uma quantidade considerável de comentários, tanto positivos quanto negativos, sobre a 1ª edição. A maioria deles foi construtivo e sou grato por todos eles. A revisão foi tão desafiadora quanto gratificante. A formatação desse enorme volume de material foi um processo trabalhoso e eu gostaria de agradecer a John Casey, da equipe de produção e a todos aqueles da Elsevier por sua paciência, trabalho árduo e profissionalismo. Com a ajuda deles, pude desenvolver minha própria visão desse projeto. Tem sido um prazer trabalhar com eles.

Nesta edição revista, tentei encontrar um equilíbrio entre ser completo e ainda assim conciso, ao mesmo tempo me mantendo fiel à ideia original do livro, que era permitir que a obra de arte incomparável do Netter contribuisse bastante com o ensino. Sabendo que é impossível agradar a todos, estou ansioso para ouvir o quanto esse equilíbrio foi alcançado.

Nesta 2ª edição, cada quadro, tanto anatômico quanto clínico, foi atualizado ou revisado. Nós também pudemos melhorar o livro por meio de radiografias, de mais seções e de novas obras de arte, incluindo abordagens cirúrgicas adicionais. No

prefácio da 1ª edição escrevi que o texto personificava o livro que eu tentei, em vão, encontrar nas prateleiras das livrarias médicas, quando ainda era um estudante de medicina. Essa busca, inicialmente sem sucesso, levou-me a escrever o texto. Com as atualizações e acréscimos já mencionados, eu sinto que tal afirmação deve ser alterada. *Esta* edição é, de fato, o texto que eu tinha inicialmente procurado, e completa a visão do projeto inicial, que começou há mais de 10 anos. Espero que os leitores concordem.

Sobre o Autor

Jon C. Thompson, MD, recebeu seu diploma de graduação da Dartmouth College e formou-se em Medicina na Uniformed Services University of Health Sciences, em Bethesda, Maryland. Recentemente concluiu sua residência ortopédica no Brooke Army Medical Center, em San Antonio, Texas e se tornou especialista em Cirurgia Ortopédica e Medicina Esportiva. Atualmente, continua no serviço militar no Irwin Army Community Hospital, em Fort Riley, Kansas. Dr. Thompson está contente por não ter mais de responder a perguntas sobre o motivo de ter publicado um livro ortopédico antes de ter qualquer formação ortopédica formal, e também por poder passar mais tempo com sua família. Sua esposa e os quatro filhos, apesar de terem dado muito apoio, não estão ansiosos por futuros projetos de publicação do Dr. Thompson.

Para os homens e mulheres das Forças Armadas que corajosamente servem o nosso país

Aos leitores cujo entusiasmo pelo texto tem me motivado a fazê-lo melhor

Aos meus filhos, Taylor, Turner, Jax e Judson, lembranças constantes e perfeitas das coisas verdadeiramente importantes e felizes da vida

Para minha esposa, Tiffany, a base de todas as coisas boas em minha vida

Sobre os Artistas

Frank H. Netter, MD

FRANK H. NETTER, MD, nasceu em 1906 na cidade de Nova York. Ele estudou arte na Art Student's League and the National Academy of Design antes de ingressar na escola de medicina na New York University, onde se graduou em Medicina em 1931. Durante seus anos de estudante, os desenhos do caderno de notas do Dr. Netter atraíram a atenção dos integrantes da faculdade de medicina e de outros médicos, permitindo a ele aumentar sua renda ilustrando artigos e livros-texto. Ele continuou a fazer ilustrações como hobby depois de se tornar cirurgião em 1933, mas posteriormente optou por interromper sua prática cirúrgica em favor do compromisso em tempo integral com a arte. Depois de servir no Exército dos Estados Unidos durante a 2ª Guerra Mundial, o Dr. Netter começou sua longa colaboração na companhia farmacêutica CIBA (atualmente Novartis Pharmaceuticals). Essa parceria de 45 anos resultou na produção da extraordinária coleção de arte médica tão familiar aos médicos e outros profissionais de saúde no mundo todo.

Os trabalhos do Dr. Netter estão entre os exemplos mais refinados do uso de ilustrações no ensinamento dos conceitos médicos. As ilustrações Netter não são apreciadas apenas por suas qualidades estéticas, mas principalmente pelo seu conteúdo intelectual. Como o Dr. Netter escreveu em 1949, "...o esclarecimento de um assunto é o objetivo de uma ilustração. Não importa o quanto a ilustração é bela, o quanto delicada e habilmente um assunto pode ser expresso, porque ela tem pouco valor como ilustração médica se não serve para tornar claro algum detalhe médico." Os conceitos, os pontos de vista e a abordagem do Dr. Netter são o que caracterizam suas pinturas e o que as tornam tão intelectualmente valiosas.

Frank H. Netter, MD, médico e artista, faleceu em 1991.

Saiba mais sobre o médico-artista cuja obra inspirou a coleção *Netter Reference*: <http://www.netterimages.com.artist/netter.htm>.

Carlos Machado, MD

Carlos Machado, MD

CARLOS A. G. MACHADO, MD, foi escolhido pela Novartis para ser o sucessor do Dr. Netter. Ele permanece como o principal artista que contribui para a coleção

Netter de ilustrações médicas.

Autodidata em ilustração médica, o cardiologista Carlos Machado forneceu meticulosas atualizações para algumas das pranchas originais do Dr. Netter e criou muitas pinturas próprias no estilo de Netter para a ampliação da coleção Netter. O talento hiper-realista do Dr. Machado e sua percepção aguda da relação médico/paciente caracterizam seu estilo visual, vivo e inesquecível. A dedicação com a qual ele pesquisa cada tópico e tema que ele pinta o colocam entre os principais ilustradores médicos dos nossos dias.

Saiba mais a respeito de sua formação e conheça mais sobre sua arte em: <http://www.netterimages.com.artist/machado.htm>.

Introdução

O *Netter Atlas de Anatomia Ortopédica* é uma referência fácil de usar e um atlas compacto de anatomia ortopédica para estudantes e clínicos. Usando imagens tanto do *Atlas de Anatomia Humana*, quanto dos 13 volumes da Coleção de Ilustrações Médicas do Netter, este livro traz mais de 450 imagens do Netter juntas.

Os quadros são usados para realçar as imagens do Netter e oferecer informações essenciais sobre ossos, articulações, músculos, nervos e abordagens cirúrgicas. O material clínico é apresentado de forma clara e direta com ênfase no trauma, em procedimentos menores, na anamnese e no exame físico e nas enfermidades.

Os usuários irão apreciar o exclusivo sistema de codificação de cores que faz com que a busca por informações seja ainda mais fácil. O material central é apresentado em preto, vermelho e verde para proporcionar acesso rápido a informações clinicamente relevantes.

PRETO:	texto padrão
VERDE:	informações principais/analisáveis
VERMELHO:	informações principais que se não observadas podem resultar em morbidade e mortalidade

Table of Contents

Title page

Copyright

Revisão Científica

Tradução

Apresentação

Sobre o Autor

Sobre os Artistas

Introdução

CAPÍTULO 1: Ciência Básica

CAPÍTULO 2: Coluna Vertebral

CAPÍTULO 3: Ombro

CAPÍTULO 4: Braço

CAPÍTULO 5: Antebraço

CAPÍTULO 6: Mão

CAPÍTULO 7: Pelve

CAPÍTULO 8: Coxa/Quadril

CAPÍTULO 9: Perna/Joelho

CAPÍTULO 10: Tornozelo/Pé

Abreviações

Índice

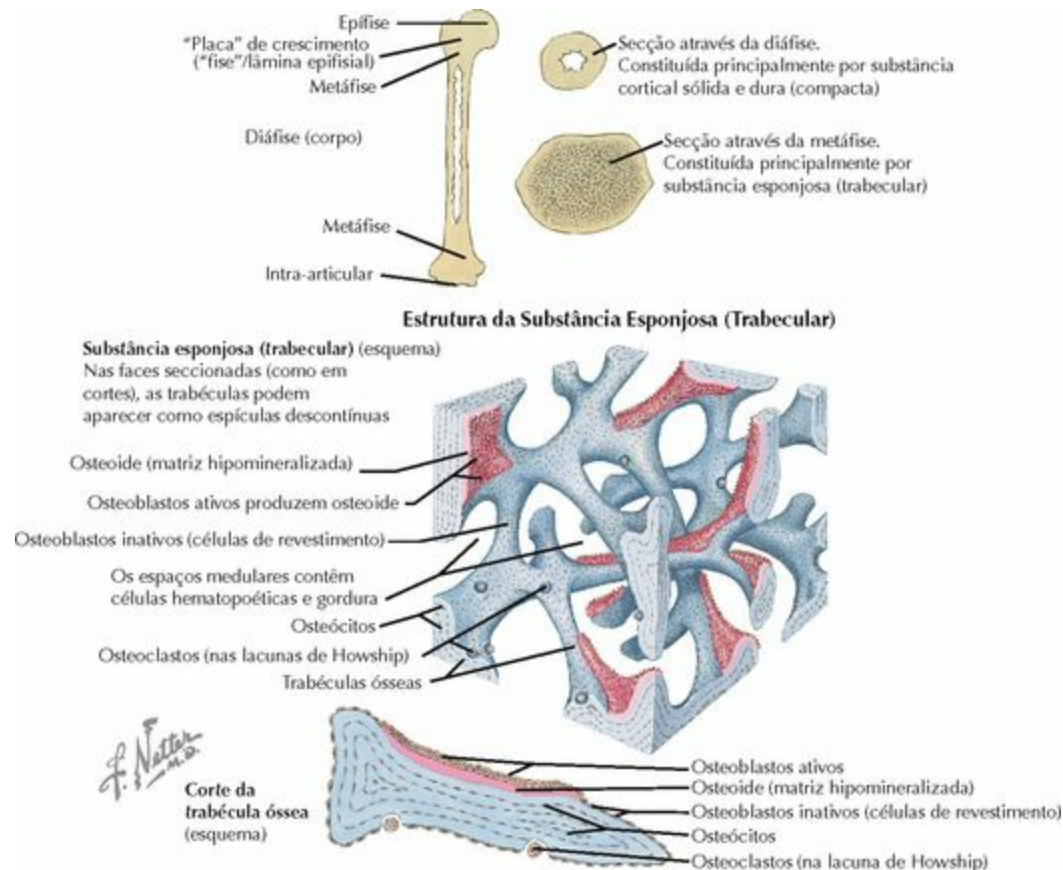
Ciência Básica

Ossos

Articulações

Nervos

Músculos



ESTRUTURA	COMENTÁRIO
OSSO	
Função	<ul style="list-style-type: none"> • Servem como pontos de fixação para os músculos • Proteção para os órgãos (p. ex., crânio, costelas, pelve) • Reservatório de minerais no organismo: 99% do cálcio do corpo é armazenado como cristais de hidroxapatita • Local de hematopoese
FORMA DOS OSSOS	
Ossos longos	<ul style="list-style-type: none"> • Formados pela ossificação endocondral (exceto a clavícula): centros de ossificação primários (no corpo – “diáfise”) e secundários • Possuem fises (“placas de crescimento”) em cada extremidade na qual ocorre o crescimento do osso em comprimento (metacarpais, metatarsais, falanges da mão e do pé apresentam, tipicamente, apenas uma fise/lâmina epifisial) • Três partes dos ossos longos: <ul style="list-style-type: none"> ◦ Diáfise: o corpo, constituído por uma espessa substância (osso) cortical, preenchida por medula óssea ◦ Metáfise: parte ampliada do osso perto da extremidade, normalmente constituída por substância esponjosa (osso trabecular) ◦ Epífise: extremidade (geralmente articular) do osso, formada por centros de

ossificação secundários

Ossos planos

- Formados por ossificação **intramembranácea** (p. ex., pelve e escápula)

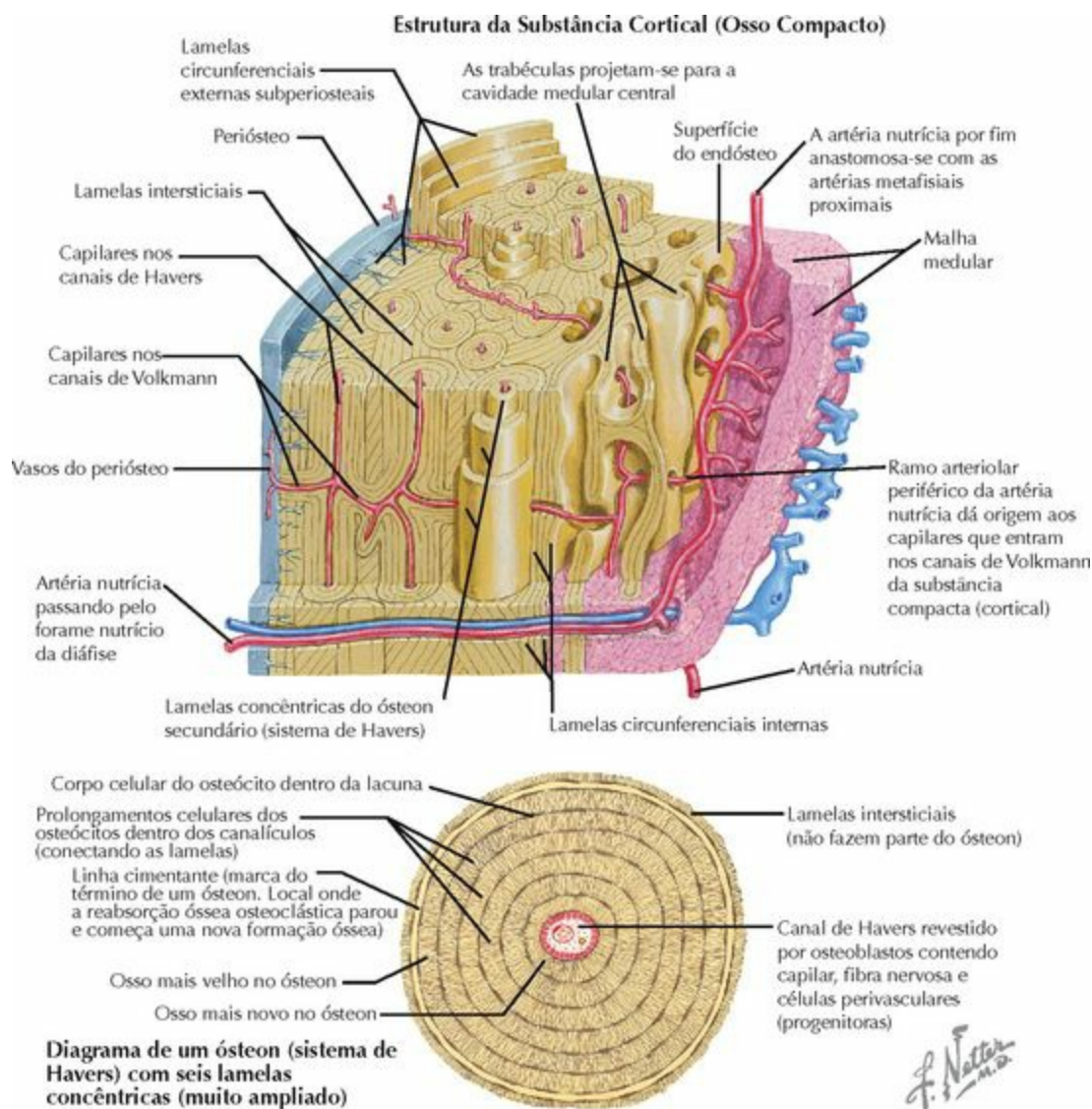
TIPOS MICROSCÓPICOS DE OSSOS

Tecido ósseo primário (reticular)

- Osso imaturo ou patológico; pouco organizado, não apresenta orientação por linhas de estresse (tensão)
- Exemplos: ossos imaturos em crianças, **calo ósseo de fraturas**; patológico: tumores

Tecido ósseo secundário (lamelar)

- Osso maduro; muito organizado, apresenta formação/orientação por linhas de estresse (tensão)
- Tanto o osso cortical quanto o osso esponjoso maduro (>4 anos de idade) **são constituídos** por tecido ósseo secundário (lamelar)



ESTRUTURA

COMENTÁRIO

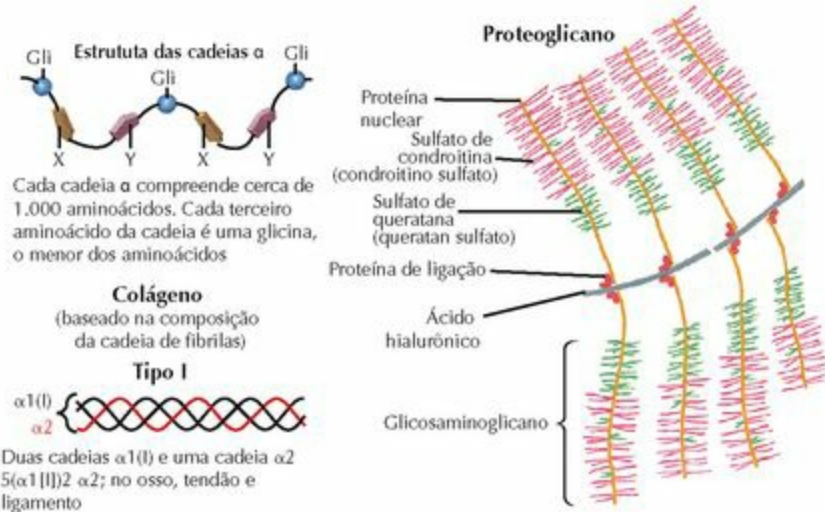
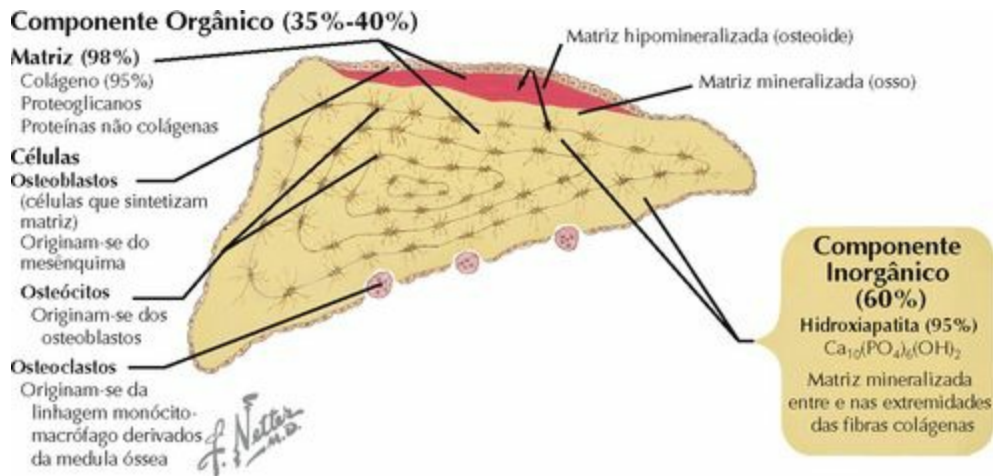
ESTRUTURA DOS TIPOS DE OSSOS

Substância compacta (cortical)

- Osso forte, denso: compõe 80% do esqueleto
- Composto por vários ósteons (sistemas de Havers), com lamelas intersticiais intermediárias
- Os **ósteons** são constituídos por lamelas ósseas concêntricas com um canal central (canal de Havers) contendo osteoblastos (nova formação óssea) e uma arteríola para suprir o ósteon. As lamelas são conectadas por **canalículos**. **Linhas cimentantes** marcam o limite externo do ósteon (limite final da reabsorção óssea)
- Canais de Volkmann: orientados radialmente, possuem arteríolas e conectam os ósteons adjacentes
- Uma substância cortical espessa é encontrada na diáfise dos ossos longos

Substância esponjosa (trabecular)

- Estrutura entrelaçada, compõe 20% do esqueleto
- Alta taxa de renovação óssea. O osso é reabsorvido pelos osteoclastos nas lacunas de Howship, e é formado por osteoblastos no lado oposto das trabéculas
- A **osteoporose** é comum na substância esponjosa, o que a torna suscetível a fraturas (p. ex., corpos vertebrais, colo do fêmur, extremidade distal do rádio, “platô tibial”)
- Comumente encontrada na metáfise e na epífise dos ossos longos



COMPONENTE**COMENTÁRIO****COMPOSIÇÃO ÓSSEA**

O osso é constituído por vários componentes: 1. Orgânicos (“matriz”: proteínas, macromoléculas, células); 2. Inorgânicos (minerais, p. ex., Ca^{++}); 3. Água

Inorgânico

- Cristais de hidroxiapatita
- Fosfato de cálcio

- Aproximadamente 60% do peso do osso (seco)
- $\text{Ca}_{10}(\text{PO}_4)_6(\text{OH})_2$. Mineral primário no osso. Adiciona resistência à força de **compressão**
- “Bruxita” é um mineral secundário/menor do osso

Orgânico

- Também conhecido como “osteóide” antes de sua mineralização; representa aproximadamente 35% do peso do osso (seco)

- Colágeno

- Colágeno **tipo I** dá **resistência à força de tração** e constitui 90% do componente orgânico. A mineralização ocorre em lacunas na extremidade e ao longo das fibras de colágeno.

- Proteoglicanos

- Macromoléculas compostas por um eixo hialurônico com múltiplos glicosaminoglicanos
- Glicosaminoglicanos (GAG): compostos por uma proteína central com ramos de condroitino e queratan sulfato
- Dá ao osso **resistência às forças de compressão**

- Proteínas não colágenas

- A osteocalcina nº 1 é um indicador de aumento da remodelação óssea (p. ex., na doença de **Paget**)
- Outros: osteonectina e osteopontina

- Células

- Osteoblastos, osteócitos, osteoclastos

Água

- Aproximadamente 5% do peso do osso (varia com a idade e localização)

O perióstio envolve o osso, é mais espesso em crianças e responsável pelo crescimento do diâmetro (largura/aposicional) dos ossos longos

Quatro Mecanismos de Regulação Óssea



CÉLULAS

COMENTÁRIO

TIPOS DE CÉLULAS ÓSSEAS

Osteoblastos

- Função: **produzir matriz** óssea (osteóide). Sintetiza o colágeno tipo I e outras proteínas da matriz
- Revestem as superfícies do osso neoformado e seguem os osteoclastos nas cavidades de reabsorção em forma de cone
- Receptores: **PTH** (paratormônio ou hormônio paratireóideo), vitamina D, glucoesteroides, estrogênio, PG, IL

Osteócitos

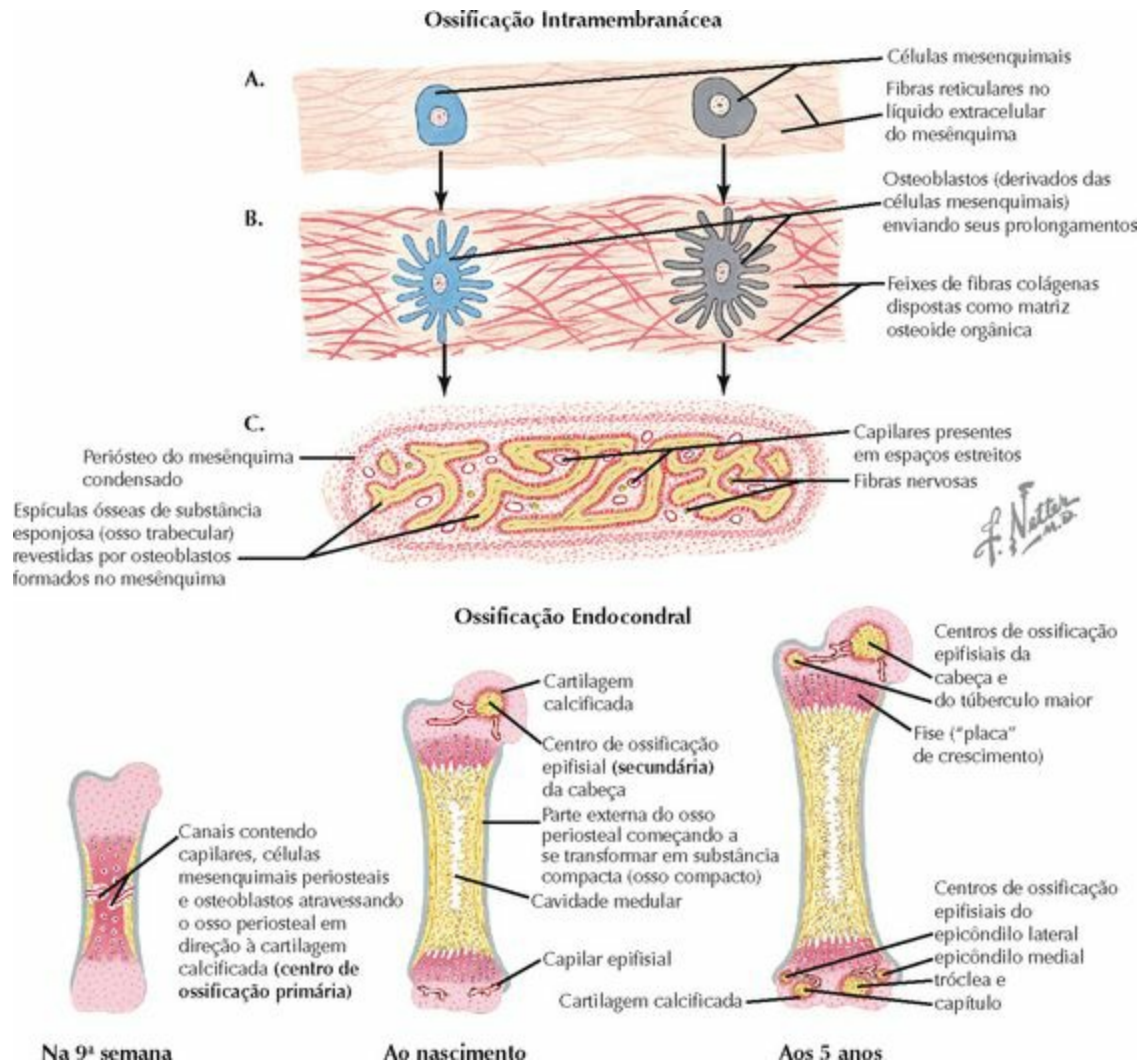
- Osteoblastos que foram cercados por matriz óssea. Representam 90% de todas as células ósseas
- Função: manter e preservar o osso. Os prolongamentos celulares longos comunicam-se através dos canalículos
- Receptores: **PTH** (liberação de cálcio) e **calcitonina** (não liberação de cálcio)

- Células grandes e multinucleadas derivadas da mesma linhagem de células como os monócitos e macrófagos
- Função: quando ativos, usam a "margem ondulada ou pregueada" para

Osteoclastos

reabsorver o osso; são encontrados nas lacunas de Howship

- Receptores: **calcitonina**, estrogênio, IL-1, RANK L. São inibidos por bifosfonatos



OSSIFICAÇÃO

COMENTÁRIO

FORMAÇÃO ÓSSEA

A formação óssea (**ossificação**) ocorre por três vias diferentes: endocondral, intramembranêa, aposicional

Endocondral

- O osso substitui o arcabouço de cartilagem inicial (molde). Os osteoclastos removem a cartilagem, e os osteoblastos produzem a nova matriz óssea, que se mineraliza
- Típica em ossos longos (exceto a **clavícula**)
- Centros de ossificação primários (na diáfise) normalmente desenvolvem-se no período pré-natal
- Centros de ossificação secundários ocorrem em vários momentos após o nascimento, geralmente na epífise
- O crescimento longitudinal na lâmina epifisial (fise) também ocorre por

ossificação endocondral

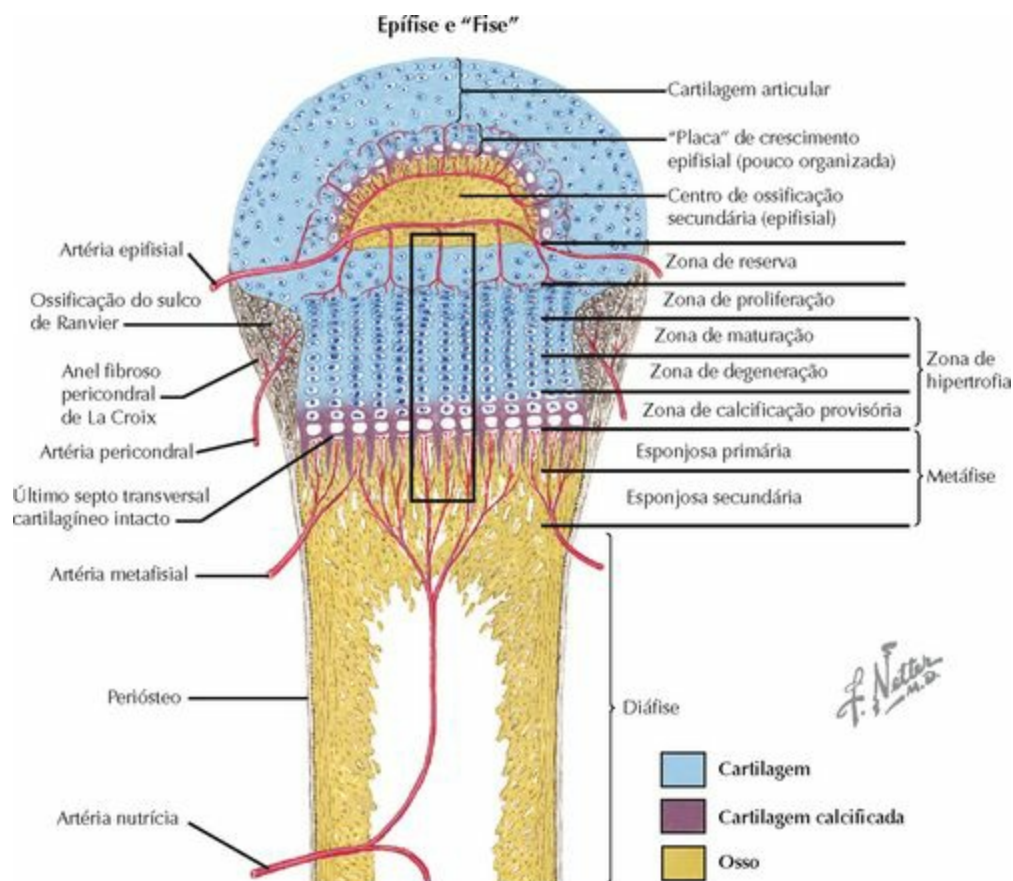
- Também encontrado em **calos ósseos** (de fratura)

Intramembranácea

- O osso desenvolve-se diretamente a partir das células mesenquimais **sem o molde de cartilagem**
- As células mesenquimais diferenciam-se em osteoblastos, que produzem OSO
- Exemplos: ossos planos (p. ex., os do crânio) e **clavícula**

Aposicional

- Os osteoblastos sintetizam uma nova matriz/osso sobre o osso já existente
- Exemplo: crescimento do diâmetro (largura) ósseo mediado pelo periósteo nos ossos longos



ESTRUTURA

COMENTÁRIO

ANATOMIA DAS "FISES"

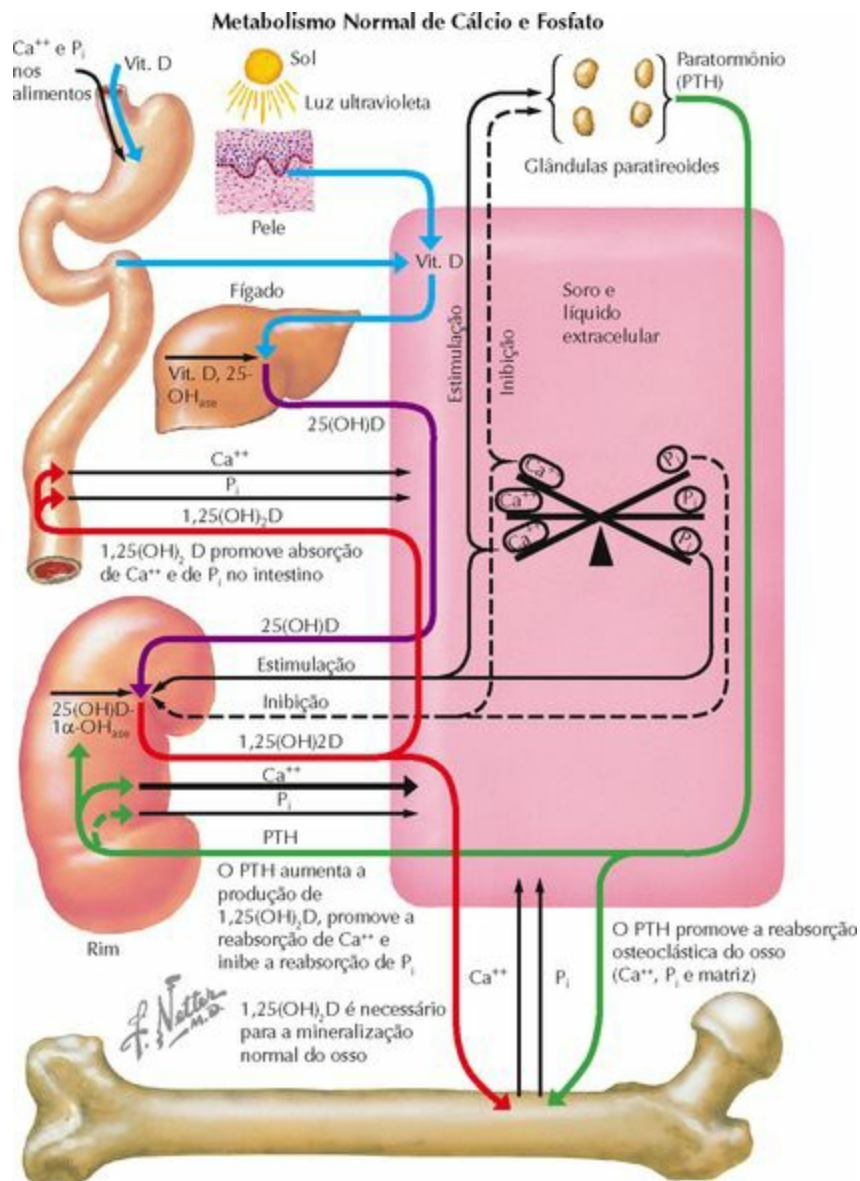
As "fises" promovem o crescimento longitudinal nos ossos longos. Ela é dividida em várias zonas, cada uma com uma função diferente

- Há outra "fise" em cada epífise (de organização similar) responsável pelo crescimento epifisial (e não longitudinal)
- Há também uma "fise" normalmente no local da apófise imatura (p. ex., tuberosidade da tíbia) que se funde com a maturidade óssea

Zona de reserva

- Células espessadamente organizadas produzem matriz abundante e armazenam metabólitos

Zona de proliferação	<ul style="list-style-type: none"> • O crescimento longitudinal ocorre aqui com a divisão dos condrócitos que se empilham formando colunas • A acondroplasia é resultado de uma disfunção desta zona
Zona de Hipertrofia	<ul style="list-style-type: none"> • Possui três subzonas. A função é preparar a matriz para a calcificação e calcificá-la
Zona de maturação	<ul style="list-style-type: none"> • As células (condrócitos) amadurecem e aumentam de 5-10 vezes seu tamanho
Zona de degeneração	<ul style="list-style-type: none"> • Os condrócitos morrem e os proteoglicanos são degradados, o que permite a mineralização da matriz
Zona de Ca ⁺⁺ provisório	<ul style="list-style-type: none"> • A liberação de cálcio promove a mineralização da matriz cartilágnea (zona radiograficamente densa)
Metáfises	
Esponjosa primária	<ul style="list-style-type: none"> • Os osteoblastos produzem o tecido ósseo primário (imaturo) sobre a cartilagem calcificada
Esponjosa secundária	<ul style="list-style-type: none"> • Os osteoclastos removem a cartilagem e o tecido ósseo primário (imaturo); os osteoblastos produzem um novo tecido ósseo (secundário/lamelar)
Outras	
Sulco de Ranvier	<ul style="list-style-type: none"> • Os condócitos periféricos permitem o alargamento/crescimento das “fises”
Anel pericondral	<ul style="list-style-type: none"> • Também chamado de “anel pericondral de La Croix”. Fornece suporte periférico para as “fises” cartilágneas



MINERAL

COMENTÁRIO







METABOLISMO ÓSSEO

O osso desempenha um papel importante na manutenção adequada dos níveis de cálcio e fosfato

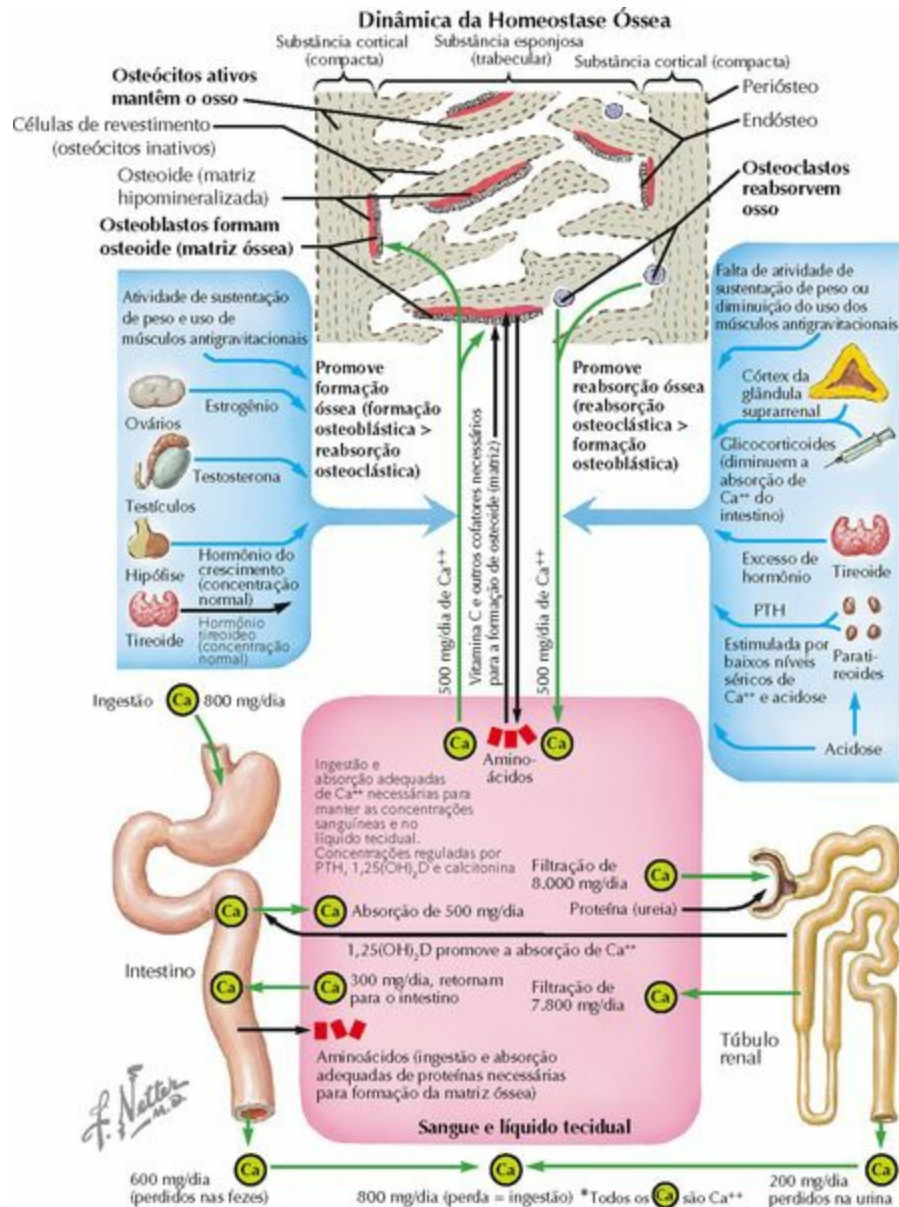
- Cálcio**
- O cálcio (Ca^{++}) desempenha um papel importante nas funções cardíacas, nervosas e do músculo esquelético.
 - A necessidade na dieta normal é de 500-1.300 mg. Essa necessidade aumenta durante a gravidez, a lactação e na presença de fraturas
 - 99% dos estoques de cálcio do nosso corpo estão nos ossos
 - Os níveis de cálcio são diretamente regulados pelo **PTH** e pela **vitamina D 1,25**

- Fosfato**
- Elemento importante para o componente inorgânico/mineral (hidroxiapatita) do osso e para as funções metabólicas do corpo
 - 85% do estoque de fosfato do nosso corpo situa-se nos ossos

Regulação do Metabolismo de Cálcio e Fosfato

	Paratormônio (PTH) (peptídeo)  Das células principais das glândulas paratireóides	1,25-D ₃ (esteróide)  Dos túbulos proximais do rim	Calcitonina (peptídeo)  De células parafoliculares da glândula tireóide
Homônio			
Fatores que estimulam a produção	Ca ⁺⁺ sérico diminuído	PTH elevado Ca ⁺⁺ sérico diminuído P _i sérico diminuído	Ca ⁺⁺ sérico elevado
Fatores que inibem a produção	Ca ⁺⁺ sérico elevado 1,25(OH) ₂ D elevada	PTH diminuído Ca ⁺⁺ sérico elevado P _i sérico elevado	Ca ⁺⁺ sérico diminuído
Órgãos terminais para ação dos hormônios	Intestino 	Sem efeito direto Age indiretamente no intestino, pela estimulação da produção de 1,25(OH) ₂ D no rim	Estimula fortemente a absorção intestinal de Ca ⁺⁺ e P _i
	Rim 	Estimula a 25(OH)D-1α-OH ₂ nas mitocôndrias das células dos túbulos proximais para converter 25(OH)D em 1,25(OH) ₂ D Aumenta a reabsorção fracional do Ca ⁺⁺ filtrado Promove a excreção urinária de P _i	Aumenta a excreção renal de cálcio
	Ossos 	Aumenta indiretamente a reabsorção óssea por meio do incremento da produção autócrina osteoblástica de citocinas como a interleucina-6, que resulta no aumento da produção parácrina de citocinas que estimulam a produção e a atividade dos osteoclastos. O PTH também tem um efeito anabólico sobre os osteoblastos, que resulta em uma produção exagerada de osteoide no hiperparatireoidismo crônico	Estimula a reabsorção óssea de forma semelhante ao PTH, e também a outros receptores de membrana
Efeito final sobre as concentrações de cálcio e fosfato no líquido extracelular e no soro	Cálcio sérico elevado Fosfato sérico diminuído	Cálcio sérico elevado	Cálcio sérico diminuído (transitório)

HORMÔNIO	COMENTÁRIO
REGULAÇÃO ÓSSEA	
Paratormônio (PTH)	<ul style="list-style-type: none"> O baixo nível sérico de cálcio provoca a liberação do PTH. O PTH liga-se: 1. osteoblastos (que estimulam os osteoclastos a reabsorvem o osso), 2. osteócitos (liberação de Ca⁺⁺) e 3. rins (aumento da reabsorção de Ca⁺⁺)
Vitamina D 1,25 (OH)	<ul style="list-style-type: none"> A vitamina D da pele (luz UV) ou da dieta é hidroxilada duas vezes ([25-fígado], [1-rim]) A vitamina D 1,25, em razão dos baixos níveis séricos de cálcio, estimula sua captação no intestino e a reabsorção óssea
Calcitonina	<ul style="list-style-type: none"> Liberada quando o Ca⁺⁺ sérico está elevado. Inibe diretamente os osteoclastos (reabsorção óssea) e aumenta a excreção urinária nos rins, diminuindo, assim, os níveis séricos
Outros	<ul style="list-style-type: none"> Estrogênio, corticosteroides, hormônios da tireóide, insulina, hormônio do



CONDIÇÃO	COMENTÁRIO
ALTERAÇÕES METABÓLICAS	
Hipercalcemia	<ul style="list-style-type: none"> Sintomas: constipação, náuseas, dor abdominal, confusão, estupor, coma
1º Hiperparatireoidismo	<ul style="list-style-type: none"> Normalmente em razão de adenoma da glândula paratireoide e/ou superprodução do hormônio PTH
2º Hiperparatireoidismo	<ul style="list-style-type: none"> Formação de “tumores marrons”. Labs: aumento do cálcio sérico e diminuição do fosfato sérico Malignidade (CA de pulmão produz a proteína semelhante ao PTH), síndromes de NEM
Hipocalcemia	<ul style="list-style-type: none"> Sintomas: hiper-reflexia, tetania + sinal(ais) de Chvostek/Trousseau, papiledema

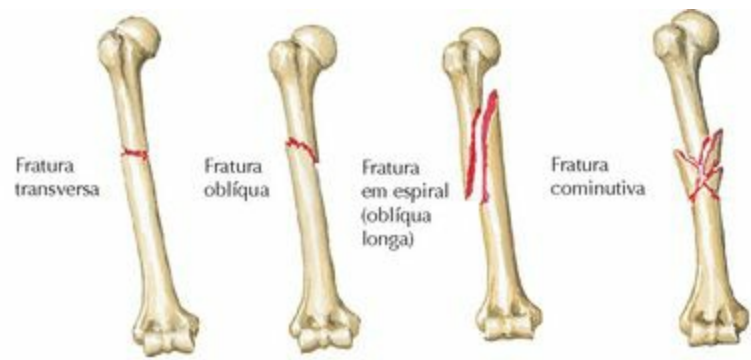
Hipoparatiroidismo	<ul style="list-style-type: none"> Níveis séricos de cálcio diminuem em razão da queda da produção de PTH Pode ocorrer após a tireoidectomia com excisão inadvertida das glândulas paratireoides
Osteodistrofia renal	<ul style="list-style-type: none"> Devido a uma das muitas doenças que resultam em insuficiência renal crônica
Raquitismo/osteomalacia	<ul style="list-style-type: none"> Deficiência na mineralização adequada da matriz óssea (problema qualitativo) Devido à deficiência de vitamina D (nutricional) ou a defeito de receptores (geralmente hereditário)

Comparação entre Osteoporose e Osteomalacia

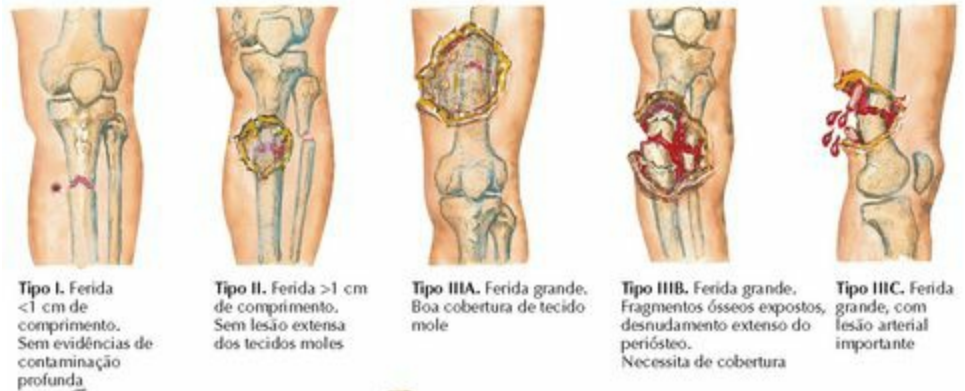
	Osteoporose	Osteomalacia
Definição	<p>Matriz não mineralizada</p>  <p>Normal</p> <p>Matriz não mineralizada</p>  <p>Redução da massa óssea, mineralização normal</p> <p>Matriz não mineralizada</p>  <p>Massa óssea variável, mineralização reduzida</p>	
Idade de início	 <p>Geralmente idosos, pós-menopausa</p>	 <p>Qualquer idade</p>
Etiologia	Anormalidade endócrina, idade, idiopática, inatividade, desuso, alcoolismo, deficiência de cálcio	Deficiência de vitamina D, anormalidade na via da vitamina D, síndromes de hipofosfatemia, acidose tubular renal, hipofosfatase
Sintomatologia	 <p>Dor atribuível ao local da fratura</p>	 <p>Dor óssea generalizada</p>
Sinais	Dor no local da fratura	Dor no local da fratura e dor generalizada
Características radiográficas	 <p>Predominância axial</p>	 <p>Geralmente simétrico, pseudofraturas ou fraturas completas</p> <p>Predominância apendicular</p>
Achados laboratoriais	<p>Ca⁺⁺ sérico: Normal</p> <p>P_i sérico: Normal</p> <p>Ca⁺⁺ x P_i >30</p> <p>Fosfatase alcalina: Normal</p> <p>Ca⁺⁺ urinário: Alto ou normal</p> <p>Biópsia óssea: Marcadores de tetraciclina normais</p>	<p>Ca⁺⁺ sérico: Baixo ou normal (alto em hipofosfatase)</p> <p>P_i sérico: Baixo ou normal (alto em hipofosfatase)</p> <p>Ca⁺⁺ x P_i >30 se a albumina estiver normal (alto na osteodistrofia renal)</p> <p>Fosfatase alcalina: Elevada, exceto em hipofosfatase</p> <p>Ca⁺⁺ urinário: Normal ou baixo (alto na hipofosfatase)</p> <p>Biópsia óssea: Marcadores de tetraciclina anormais</p>

CONDIÇÃO	COMENTÁRIO
	ALTERAÇÕES METABÓLICAS

Osteoporose	<ul style="list-style-type: none"> • Diminuição da massa óssea (problema quantitativo). Mais comum em pacientes idosos • 2 tipos: Tipo 1: mais comum, afeta a substância esponjosa (trabecular) (colo do fêmur, corpo vertebral, etc.); Tipo 2: relacionado com a idade, >70 anos de idade. Ambas as substâncias ósseas (esponjosa e cortical) são deficientes • A densitometria óssea de dupla energia (DEXA) é o padrão para análise. Reposição hormonal ou bifosfanato podem ser usados
Escorbuto	<ul style="list-style-type: none"> • Deficiência de vitamina C promove colágeno defeituoso, resultando em diversos sintomas
Osteopetrose	<ul style="list-style-type: none"> • “Doença óssea marmórea”. Disfunção dos osteoclastos resulta no aumento exagerado da densidade óssea
Doença de Paget	<ul style="list-style-type: none"> • Atividade simultânea dos osteoblastos e osteoclastos resulta em ossos densos, porém frágeis (quebradiços)



Classificação de Fraturas Expostas de Gustilo e Anderson



F. Netter M.D.



Fratura por compressão



Fratura patológica (tumor ou doença óssea)



Fratura em "galho verde"



Fratura em torus (entortamento)

Em crianças

DESCRIÇÃO**COMENTÁRIO****FRATURAS**

Tipo/descrição

- Transversa, oblíqua, em espiral, cominutiva, segmentar, impactada, por avulsão

Deslocamento

- Não desviada, minimamente desviada, desviada

Angulação

- Direção do fragmento distal (p. ex., desvio dorsal) ou direção do ápice (p. ex., ápice volar)

Exposta *versus* fechada

- Exposta se o osso penetrou a pele resultando em uma ferida aberta (**emergência cirúrgica** por causa do risco de infecção)
- Classificação de fraturas expostas de Gustilo e Anderson (I, II, III a,b,c) é frequentemente utilizada

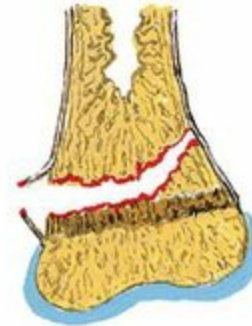
Outros

- Por compressão: fratura do osso em razão de uma força compressiva
- De Salter-Harris: fratura pediátrica envolvendo a fise ainda aberta (“placas” de crescimento)
- Em “galho verde”: fraturas pediátricas com rompimento somente de uma parte da substância cortical
- Curvatura/em *torus*: fratura pediátrica envolvendo a impactação da substância cortical
- Patológica: fratura resultante de um tumor ósseo ou doenças ósseas

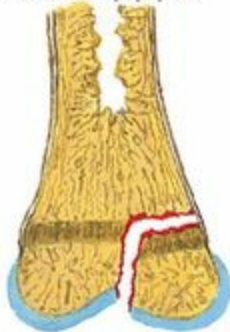
**Lesão na "Placa" de Crescimento
(Classificação de Salter-Harris, Modificação de Rang)**



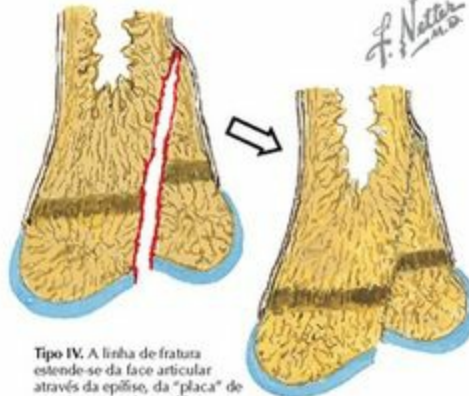
Tipo I. Separação completa entre a epífise e a diáfise através da cartilagem calcificada (zona de crescimento) da "placa" de crescimento. Não há osso realmente fraturado; o perióstio pode permanecer intacto. Mais comum em recém-nascidos e crianças pequenas.



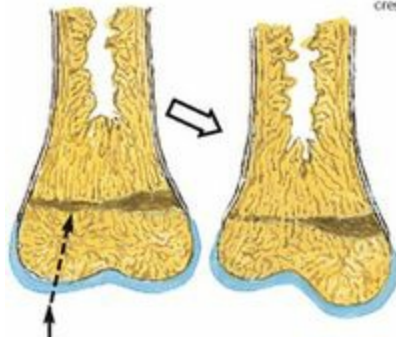
Tipo II. Mais comum. A linha de separação estende-se parcialmente pela camada profunda da "placa" de crescimento e estende-se pela metáfise, deixando uma porção triangular da metáfise ligada ao fragmento da epífise.



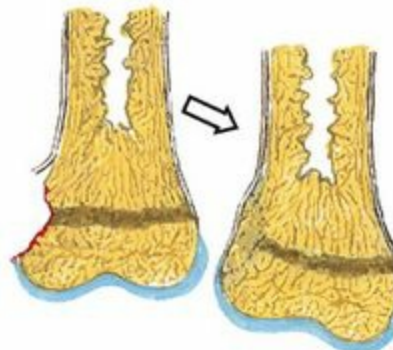
Tipo III. Incomum. Fratura intra-articular através da epífise, que cruza a zona profunda da "placa" de crescimento até a periferia. A redução aberta e a fixação geralmente são necessárias.



Tipo IV. A linha de fratura estende-se da face articular através da epífise, da "placa" de crescimento e da metáfise. Se o segmento fraturado não for realinhado perfeitamente com a redução anatômica, pode haver a formação de uma ponte óssea através da "placa" de crescimento, resultando na parada parcial do crescimento e em angulação articular.

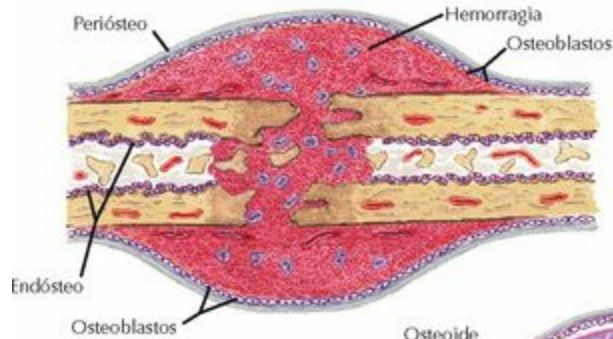


Tipo V. Grande força de esmagamento transmitida através da epífise até a porção da "placa" de crescimento por uma força (pressão) de abdução, adução ou carga axial. O deslocamento mínimo ou a ausência de deslocamento torna o diagnóstico radiográfico difícil; a "placa" de crescimento pode, contudo, sofrer lesão, resultando na parada parcial do crescimento ou em deformidade por encurtamento e deformidade angular progressiva.



Tipo VI. Lesão lateral da "placa" de crescimento ou perda de um fragmento. A superfície lesionada cicatriza pela formação de uma ponte óssea através da "placa" de crescimento, limitando o crescimento do lado afetado e resultando em deformidade angular progressiva.

Consolidação da Fratura

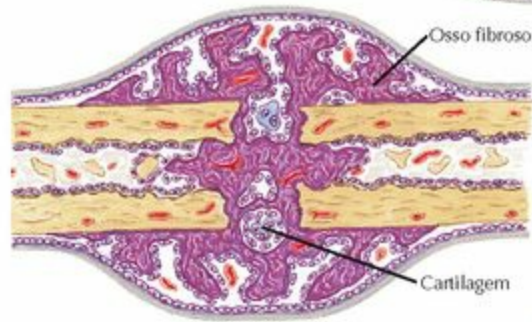
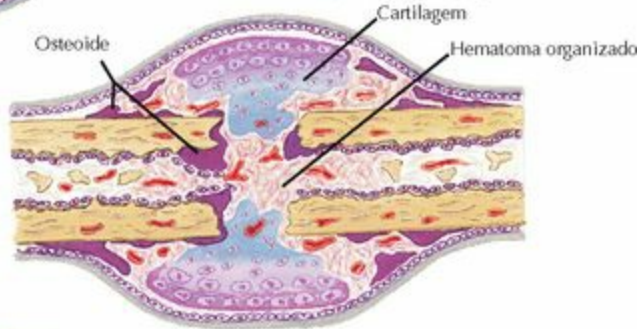


Fase inflamatória

Formação de um hematoma como resultado do rompimento de vasos sanguíneos intraósseos e adjacentes. O osso das margens da fratura sofre necrose e morre. A necrose óssea é maior quando associada ao rompimento de tecidos moles em grandes quantidades. As células inflamatórias são seguidas por fibroblastos, condroblastos e células osteoprogenitoras. A diminuição da PO₂ no local da fratura promove a angiogênese

Fase de reparo (formação do calo mole)

Formação do calo mole, inicialmente composto por colágeno; é seguido pela formação progressiva de cartilagem e de osteoide



Fase de reparo (formação do calo duro)

A osteoide e as cartilagens da parte externa, periosteal e medular do calo mole tornam-se mineralizadas conforme são convertidas em tecido ósseo primário (imaturo/fibroso) (calo duro)

F. Netto
M.D.
D. Mascaro

Fase de remodelamento

A atividade osteoclástica e osteoblástica converte o tecido ósseo primário (osso fibroso) em tecido ósseo secundário (osso lamelar) com sistemas de Havers verdadeiros. Os contornos normais do osso são restaurados; mesmo a angulação pode ser parcial ou completamente corrigida



FASE

COMENTÁRIO

CONSOLIDAÇÃO DA FRATURA

A consolidação da fratura ocorre como um evento contínuo de três fases: inflamação, reparo (formação de calo) e remodelamento

- Para consolidar, a maioria das fraturas necessita de um bom suprimento sanguíneo (**mais importante**) e estabilidade
- A formação do calo não ocorre após a fixação rígida das fraturas (RAFI); em vez disso, a consolidação ocorre de maneira primária/direta
- Tanto o **tabagismo** quanto os **AINE** inibem o reparo ósseo/consolidação de fraturas

Inflamação

- O hematoma desenvolve-se e fornece células hematopoéticas/osteoprogenitoras. Formação do tecido de granulação

Reparo

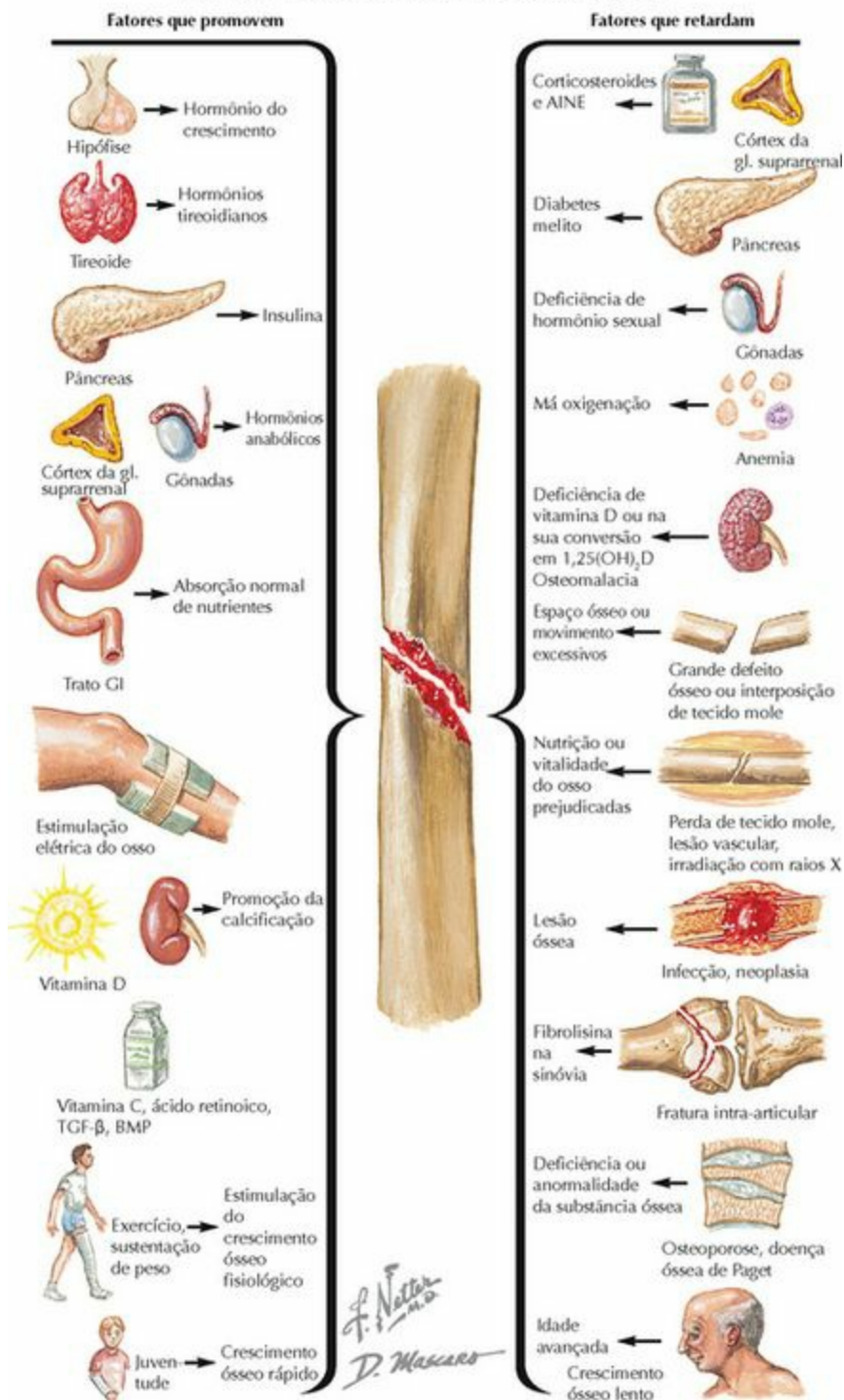
- Calo mole: células produzem o calo cartilágneo (mole) que une as extremidades do osso (pontes do calo)
- Calo duro: substitui o calo mole pelo tecido ósseo primário

(imaturo/reticular) (ossificação endocondral)

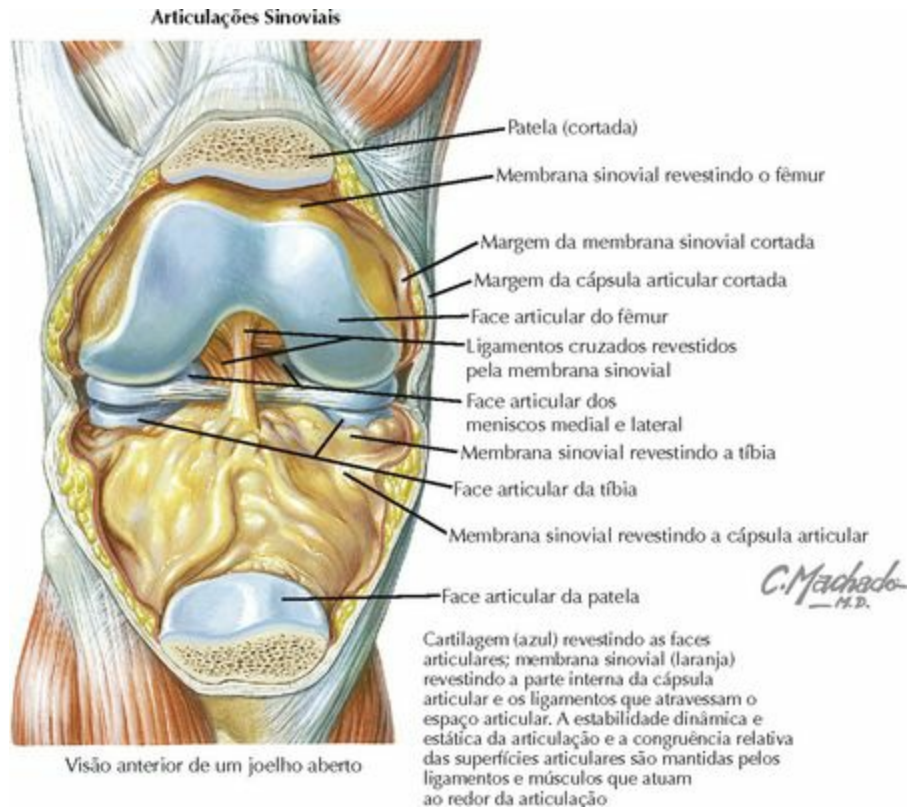
Remodelamento

• O tecido ósseo primário (imaturo/reticular) é substituído pelo tecido ósseo secundário (**maduro/lamelar**)

Fatores que Promovem ou Retardam a Consolidação Óssea



ARTICULAÇÕES

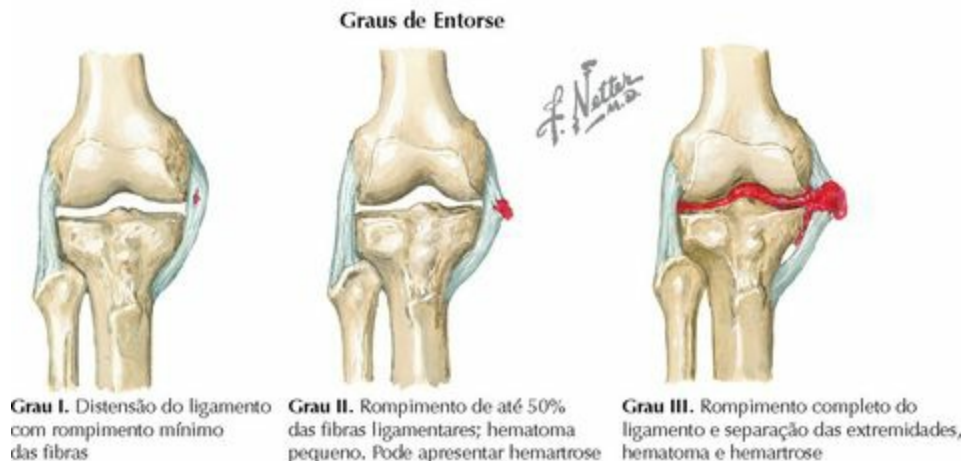


ESTRUTURA	COMENTÁRIO
ARTICULAÇÕES	
As articulações sinoviais (diartroses) são encontradas nas extremidades de dois ossos adjacentes que se articulam	
Cartilagem articular	<ul style="list-style-type: none"> • Revestimento extremamente suave (quase sem atrito) das extremidades ósseas que deslizam entre si • Pode ser lesionada levando à dor, degeneração ou disfunção
Ossos subcondral	<ul style="list-style-type: none"> • Osso denso de sustentação que é encontrado logo abaixo da cartilagem articular • Aparece radiodenso em radiografias e tem sinal baixo (preto) na RM
Membrana sinovial	<ul style="list-style-type: none"> • Membrana interna que reveste a cápsula articular • “Produz” (filtrando o plasma) a sinóvia • As pregas sinoviais (“plicas”) formam-se normalmente, mas ocasionalmente podem se tornar patológicas
Cápsula articular	<ul style="list-style-type: none"> • Camada externa envolve e mantém as extremidades dos dois ossos na orientação corretas • Espessamentos da cápsula (ligamentos capsulares) mantêm a estabilidade da articulação
	<ul style="list-style-type: none"> • Ultrafiltrado do plasma (filtrada pela membrana sinovial) • Constituída por ácido hialurônico, lubrificina, proteinase e colagenases. A terapia

Sinóvia	<p>de viscosuplementação tem como objetivo substituir o ácido hialurônico da articulação</p> <ul style="list-style-type: none"> • Função: 1. Lubrificação da articulação. 2. Nutrição para a cartilagem articular (e meniscos/CFCT etc.) • A análise laboratorial é uma parte importante para o planejamento de procedimentos intra-articulares
Outros	<ul style="list-style-type: none"> • As articulações muitas vezes possuem estruturas adicionais em sua composição, incluindo ligamentos (p. ex., LCA, LCP), tendões (p. ex., dos músculos bíceps braquial e poplíteo) e estruturas de suporte (p. ex., menisco, CFCT, discos articulares)
CARTILAGEM	
Hialina	<ul style="list-style-type: none"> • Encontrada na cartilagem articular das articulações sinoviais e na cartilagem das “fises” (cartilagem epifisial) • Apresenta colágeno tipo II
Fibrosa	<ul style="list-style-type: none"> • Encontrada no menisco, CFCT, disco vertebral, disco articular (p. ex., articulação acromioclavicular) • Apresenta colágeno tipo I

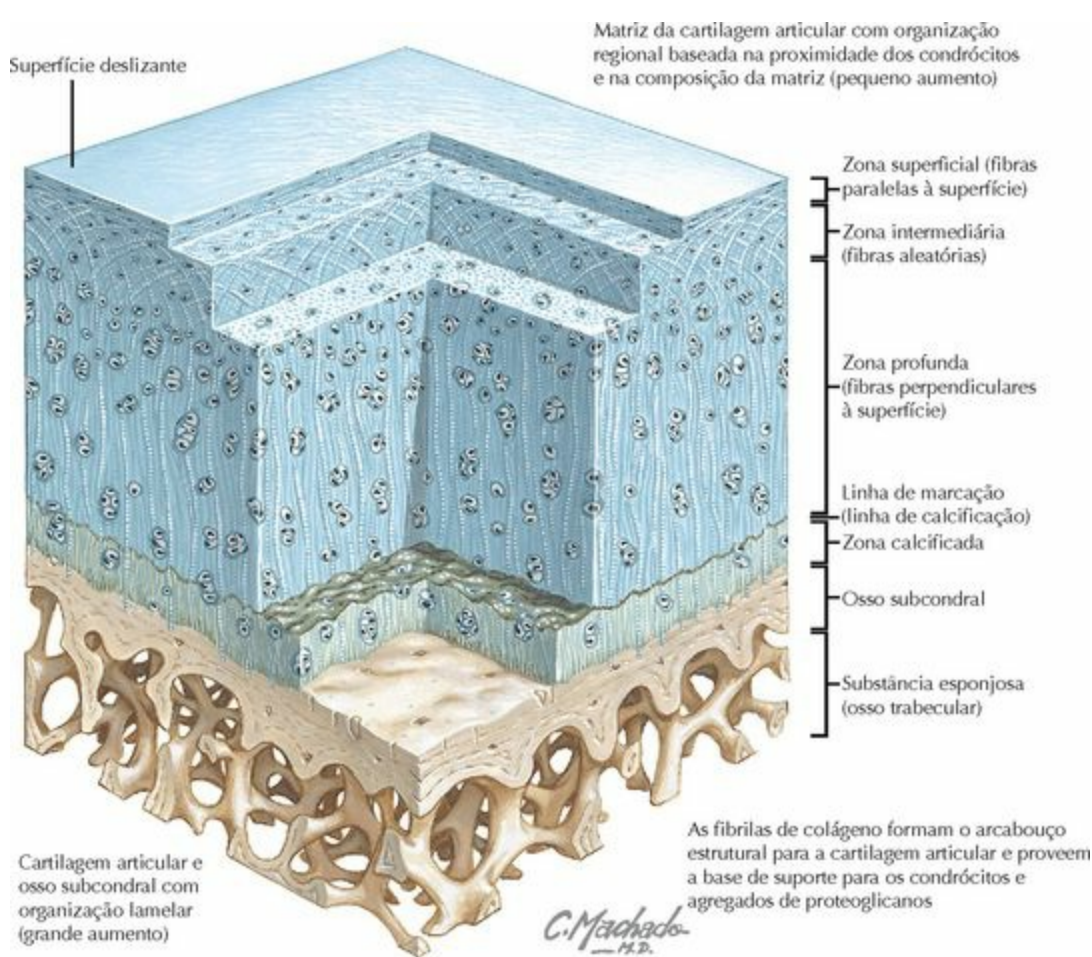


As articulações sinoviais típicas apresentam superfícies de cartilagem articular congruentes apoiadas nos ossos subcondral e metafisial e são estabilizadas pela cápsula articular e pelos ligamentos. As superfícies internas, exceto a cartilagem articular, são revestidas pela membrana sinovial



LIGAMENTOS

Função	<ul style="list-style-type: none">• Unir dois ossos entre si (geralmente na articulação [LCA] ou entre duas proeminências [supraescapular])• Os ligamentos promovem estabilidade a uma articulação permitindo a amplitude de movimentos fisiológica
Tipos	<ul style="list-style-type: none">• Ligamentos podem ser estruturas discretas (p. ex., LCA ou LCP)• Muitos ligamentos são espessamentos da membrana fibrosa da cápsula articular (p. ex., o LTFA no tornozelo)
Inserção	<ul style="list-style-type: none">• 1. O tecido ligamentar (principalmente colágeno tipo 1) fixa-se à fibrocartilagem• 2. A fibrocartilagem fixa-se à fibrocartilagem calcificada (a maioria das lesões ocorre aqui)• 3. A fibrocartilagem calcificada (fibras de Sharpey) fixa-se ao osso/periósteo
Lesão	<ul style="list-style-type: none">• As lesões ligamentares periarticulares são chamadas de “entorses” e classificadas em graus de 1 a 3<ul style="list-style-type: none">◦ Grau 1: estiramento do ligamento◦ Grau 2: ruptura parcial do ligamento◦ Grau 3: ruptura completa do ligamento• Adultos tendem a sofrer as lesões com ruptura das fibras do ligamento; as crianças apresentam mais lesões por avulsão
Tratamento	<ul style="list-style-type: none">• Dependendo do ligamento: 1. imobilização, 2. fisioterapia, 3. correção cirúrgica, 4. reconstrução cirúrgica
Força do ligamento	<ul style="list-style-type: none">• Pediatria: o ligamento é mais forte que a fise, portanto, geralmente a fise é lesionada. Entorses são menos comuns• Adultos: o ligamento é a parte mais fraca da articulação, portanto, as entorses são comuns• Geriatria: o ligamento é mais forte em comparação com o osso que é mais frágil, portanto, a fratura é mais comum do que a entorse

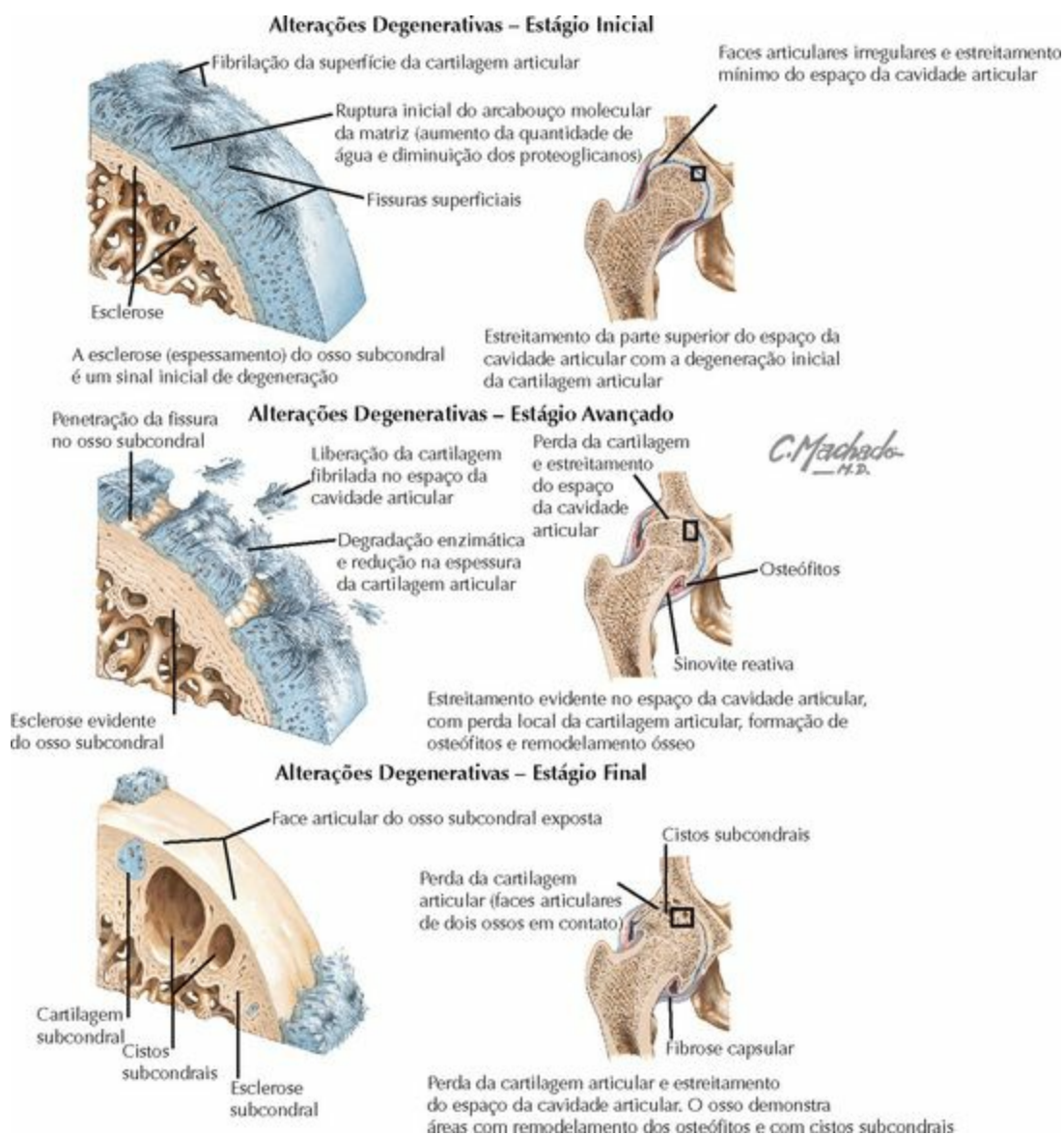


ESTRUTURA	COMENTÁRIO
CARTILAGEM ARTICULAR	
A cartilagem hialina reveste as extremidades intra-articulares dos ossos	
Função	<ul style="list-style-type: none"> • Superfícies lisas (praticamente sem atrito) que revestem as extremidades dos ossos que se articulam • Permite a realização do movimento sem dor • Avascular (nutrição a partir da sinóvia), sem inervação e sem drenagem linfática
Composição	<ul style="list-style-type: none"> • Água: até 80% do peso. Alterações conforme peso/compressão; diminui com a idade, aumenta com OA • Colágeno: + 90% é do tipo II (também possui tipos V, VI, IX, X, XI); fornece resistência à tração • Proteoglicanos: fornece resistência à compressão; diminui com a idade, permitindo o amolecimento • Condrócitos: sustentam a cartilagem e produzem colágeno e proteoglicanos
Zonas (camadas)	<ul style="list-style-type: none"> • Superficial: camada delgada, possui fibras com orientação tangencial (paralelas à superfície) e resiste ao cisalhamento • Intermediária: camada de tamanho moderado, possui fibras com orientação aleatória/oblíqua • Profunda: camada espessa, possui fibras com orientação vertical (perpendiculares à superfície) e resiste à compressão

- Linha de marcação: linha ultrafina que separa a zona profunda da zona calcificada
- Zona calcificada: zona de transição que fixa a cartilagem ao osso subcondral

Lesão e cicatrização

- A cartilagem articular é avascular; a capacidade de cicatrização é limitada, o que torna o tratamento das lesões problemático
- Lesões que se estendem profundamente à linha de marcação podem cicatrizar com fibrocartilagem (não hialina)
- A cirurgia de microfratura baseia-se na estimulação e diferenciação das células mesenquimais dentro do osso em condrócitos para que estes produzam fibrocartilagem, cicatrizando as lesões da cartilagem articular



ESTRUTURA

COMENTÁRIO

OSTEOARTRITE

Fisiopatologia

- Desgaste difuso, erosão ou degeneração da cartilagem articular
- Microscopicamente: **aumento** do conteúdo aquoso, desorganização do

	colágeno e quebra de proteoglicanos
Etiologia	<ul style="list-style-type: none"> • Primária: idiopática, sem outras causas identificáveis; comum em pacientes idosos • Secundária: devido a outras condições subjacentes (p. ex., pós-traumática, displasia articular etc.)
Incidência	<ul style="list-style-type: none"> • Tipo mais comum de artrite • Comum em articulações de sustentação de peso (joelho nº 1, quadril), além da coluna vertebral, AIFD, AIFP e ACM do polegar
Sintomas	<ul style="list-style-type: none"> • Agravamento da dor e incapacidade (a perda da cartilagem articular permite que os ossos se articulem diretamente uns com os outros)
Radiografias	<ul style="list-style-type: none"> • 1. Estreitamento do espaço da cavidade articular, 2. osteófitos, 3. esclerose subcondral, 4. cistos subcondrais
Tratamentos	<ul style="list-style-type: none"> • Repouso, modificação das atividades, AINE, fisioterapia (ADM), infiltração com esteroides, artrodese ou artroplastia

Análise da Sinóvia

Análise

A. Normal. Incolor a amarelo-claro, transparente. CGB < 200

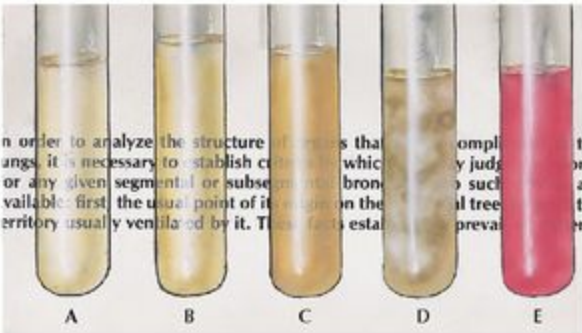
B. Osteoartrite. Ligeiramente mais amarelado, transparente. CGB < 2.000

C. Inflamatório. Amarelo-escuro, turvo, translúcido (aspecto embaçado ou obscuro). CGB < 80.000


D. Séptico. Purulento, denso, opaco. CGB > 80.000

E. Hemartrose. Vermelho, opaco. Deve ser diferenciado do sangramento por trauma


A clareza do líquido é avaliada por meio da expressão de uma pequena quantidade de líquido retirando-o da seringa de plástico e colocando-o em um tubo de vidro. Palavras impressas visualizadas através da sinóvia normal e não inflamatória podem ser lidas facilmente.



Viscosidade. Uma gota da sinóvia normal ou não inflamatória retirada da agulha formará um fio de 2,5 cm ou mais, indicativo de alta viscosidade. O líquido inflamatório mostra pouca ou nenhuma formação de fio. A viscosidade também pode ser testada entre o polegar e o dedo indicador com luvas.

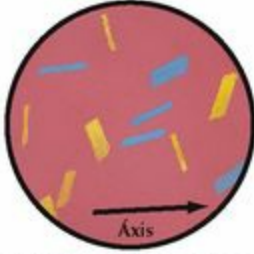


Gota



Cristais de urato monossódico livres e fagocitados no aspirado da sinóvia observado na microscopia de luz polarizada compensada. Cristais birrefringentes negativamente são amarelos quando paralelos ao eixo.

Pseudogota

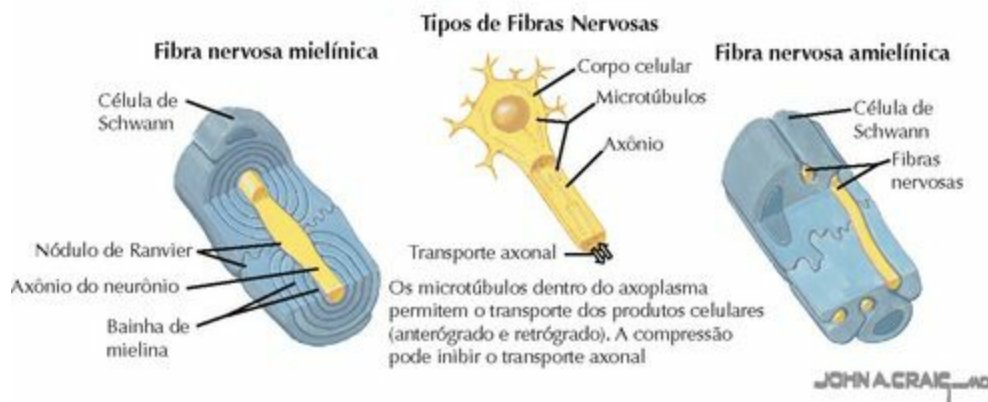
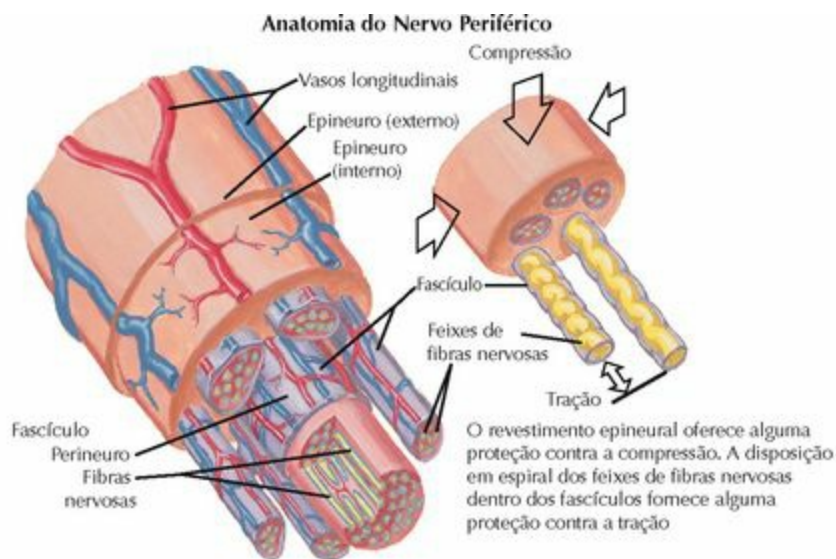


Diagnóstico realizado com base na demonstração de cristais de pirofosfato de cálcio di-hidratados fracamente positivos, birrefringentes, de forma romboide no aspirado de sinóvia das articulações envolvidas

ESTRUTURA	COMENTÁRIO
	ARTRITE INFLAMATÓRIA
	<ul style="list-style-type: none"> • Doença autoimune que tem como alvo a articulação sinovial • A sinovite crônica e a formação de <i>pannus</i> levam à degeneração da face

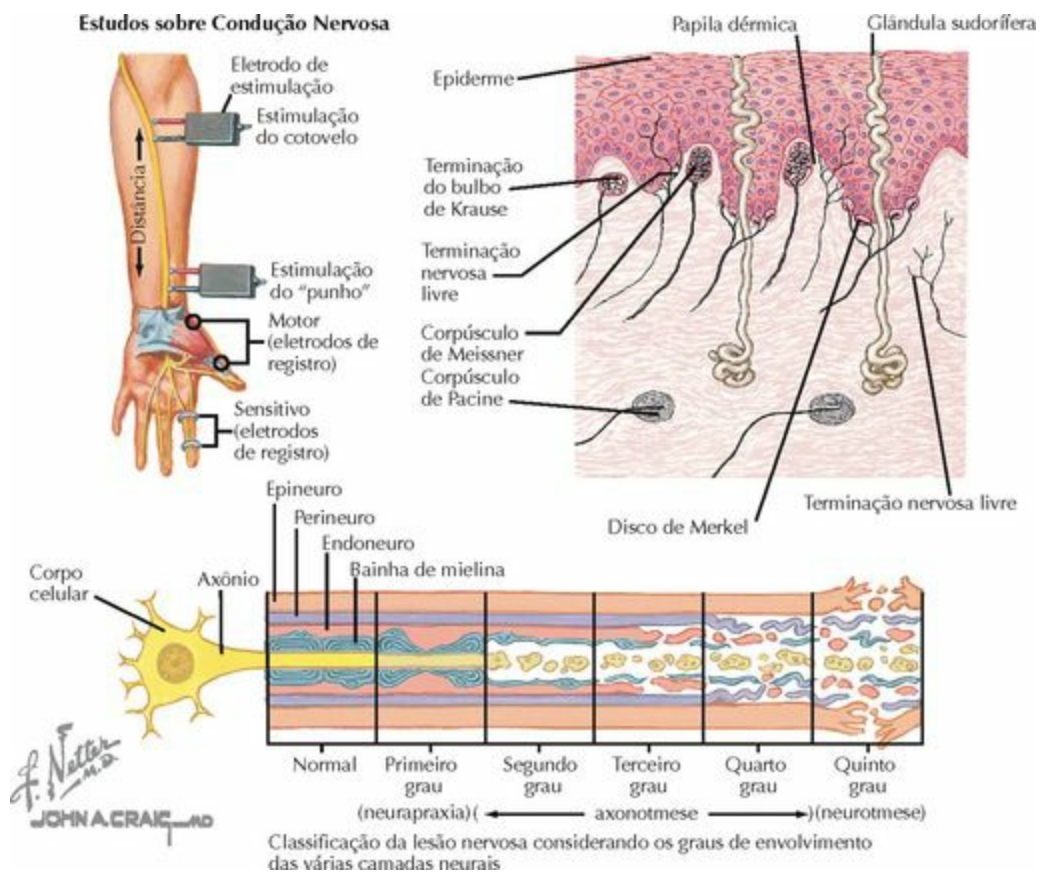
Artrite reumatoide	<p>articular e, por fim, à destruição da articulação</p> <ul style="list-style-type: none"> • Mulheres 3:1; LABS: + RF, HLA-DR4; monócitos podem mediar o efeito da doença • Manifestações extra-articulares múltiplas: ocular, nódulos na pele, vasculite • Caracterizada por articulações quentes, doloridas com deformidade progressiva (p. ex., desvio ulnar dos dedos) • Descobertas radiográficas: 1. estreitamento do espaço articular, 2. osteopenia, 3. erosão óssea/articular • Tratamento: inicialmente medicamentoso, até chegar a estágios avançados que necessitem de reconstrução cirúrgica
Gota	<ul style="list-style-type: none"> • Deposição de cristais de urato monossódico na articulação/membrana sinovial • LABS: nível sérico de ácido úrico elevado; análise sinovial: cristais birrefringentes negativos • Apresentação típica: artrite monoarticular (1ª AMTF nº1 local); sintomas podem ser autolimitados • O tratamento consiste em indometacina (AINE) e colchicina
Pseudogota	<ul style="list-style-type: none"> • Deposição de cristais de pirofosfato de cálcio di-hidratado (PCDH) na articulação • Condrocálcinose (calcificação da cartilagem) também pode ocorrer (p. ex., calcificação do menisco) • Artrite monoarticular no paciente idoso é a apresentação típica; mulheres > homens • Análise sinovial mostra cristais birrefringentes fracamente positivos
Síndrome de Reiter	<ul style="list-style-type: none"> • Tríade: uretrite, conjuntivite e artrite. LABS: +HLA-B27

NERVOS



ESTRUTURA	COMENTÁRIO
ANATOMIA DO NERVO	
Neurônio	<ul style="list-style-type: none"> • Célula nervosa composta de corpo celular (localizado no gânglio sensitivo do n. espinal – raiz posterior [GSNE] para fibras aferentes e no corno anterior do “H” medular para as fibras eferentes), dendritos (recebem o sinal), axônio (transmite o sinal), terminal pré-sináptico
Células da glia	<ul style="list-style-type: none"> • Célula de Schwann produz mielina para revestir o axônio; a mielina aumenta a velocidade da condução
Nódulo de Ranvier	<ul style="list-style-type: none"> • É o espaço entre as células de Schwann; facilita a condução do potencial de ação/impulso nervoso
Fibra nervosa	<ul style="list-style-type: none"> • Um único axônio. Três tipos: fibras mielínicas/grandes são rápidas, as pouco mielínicas e amielínicas são lentas • As fibras eferentes (axônios) transmitem sinais motores do SNC através do corno anterior para os músculos periféricos • As fibras aferentes (axônios) transmitem sinais sensitivos dos receptores periféricos via GSNE para o SNC

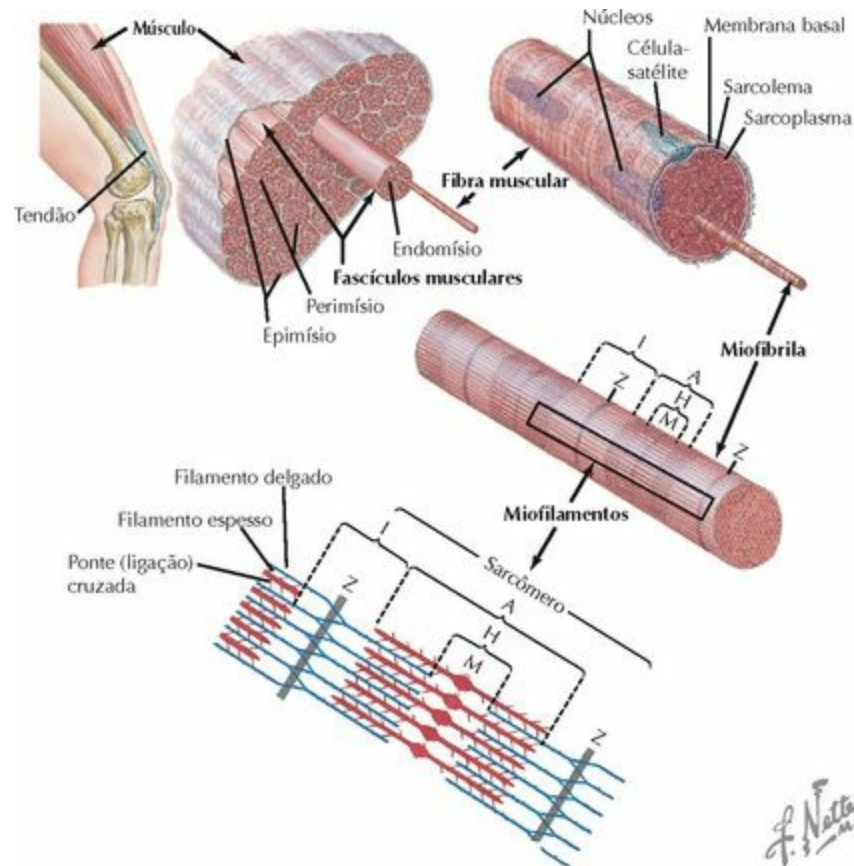
Fascículo	<ul style="list-style-type: none"> • Grupo de fibras nervosas envolvido pelo perineuro • Os fascículos juntam-se e dividem-se (formam os plexos) continuamente ao longo do trajeto do nervo
Nervo periférico	<ul style="list-style-type: none"> • Um ou mais fascículos revestidos pelo epineuro • A maioria dos nervos periféricos apresenta fascículos motores e também sensitivos
Epineuro	<ul style="list-style-type: none"> • Envolve todos os fascículos do nervo periférico; protege e nutre os fascículos
Perineuro	<ul style="list-style-type: none"> • Envolve fascículos individuais, promove ao nervo periférico resistência à tração
Endoneuro	<ul style="list-style-type: none"> • Envolve as fibras nervosas (axônios); protege e nutre as fibras nervosas
Suprimento sanguíneo	<ul style="list-style-type: none"> • Intrínseco: plexo vascular dentro do endoneuro, perineuro e epineuro • Extrínseco: vasos que entram no epineuro ao longo do seu trajeto



ESTRUTURA	COMENTÁRIO
FUNÇÃO DO NERVO	
Condução nervosa	<ul style="list-style-type: none"> • Potencial de repouso: uma diferença polar é mantida entre os ambientes intra e extracelular • Potencial de ação: mudança na permeabilidade dos íons Na^+ causa a despolarização das células, produzindo a condução do impulso
Estudo da	<ul style="list-style-type: none"> • Medições da velocidade da condução nervosa, utilizando uma combinação de

condução nervosa (ECN)	<p>eletrodos de estimulação e registro</p> <ul style="list-style-type: none"> • A velocidade pode ser reduzida pela compressão ou desmielinização (lesão ou doença)
Receptores	<ul style="list-style-type: none"> • Vários tipos: de dor, pressão, térmico, mecânico etc. • Corpúsculo de Pacine: pressão; Meissner: dinâmico 2 pontos (rápido); Merkel: estático 2 pontos (estático)
Transtornos	<ul style="list-style-type: none"> • Guillain-Barré: fraqueza/paralisia motora ascendente. Causada pela desmielinização dos nervos periféricos. Normalmente seguida de uma síndrome viral. A maioria dos casos é autolimitada. Pode requerer IGIV • Charcot-Marie-Tooth: transtorno autossômico dominante. Transtorno desmielinizante que afeta os nervos motores > sensitivos. Afeta frequentemente os músculos fibulares e intrínsecos das mãos e dos pés: pés cavos, dedos (mão) em garra
LESÕES NERVOSAS	
Classificação	<ul style="list-style-type: none"> • De Seddon: 3 categorias de lesão: neuropraxia, axonotmese e neurotmese • De Sunderland: 5 graus (axonotmese subdividido em 3, com base no endo, peri ou epineuro intactos)
Neuropraxia	<ul style="list-style-type: none"> • Dano local da bainha de mielina (frequentemente em virtude da compressão), axônio está intacto; não há degeneração distal
Axonotmese	<ul style="list-style-type: none"> • Rompimento do axônio e da bainha de mielina, o epineuro está intacto; ocorre degeneração walleriana
Neurotmese	<ul style="list-style-type: none"> • Rompimento completo do nervo; prognóstico ruim; o reparo cirúrgico do nervo é geralmente necessário

MÚSCULOS



COMENTÁRIO

ANATOMIA MUSCULAR

Tipos de músculo

- Músculo liso (p. ex., túnica muscular do intestino), cardíaco e esquelético
- Músculo esquelético: sob o controle voluntário; possui uma origem e uma inserção
- Tipos: tipo I “de contração lenta” são **aeróbicos**; tipo II “de contração rápida” são **anaeróbicos**

Músculo

- Composto por múltiplos fascículos (feixes) envolvidos pelo **epimísio**

Fascículo (feixe)

- Composto por várias fibras (células) musculares envolvidas pelo **perimísio**

Fibra (célula)

- Célula muscular alongada composta por múltiplas miofibrilas envolvidas pelo **endomísio**

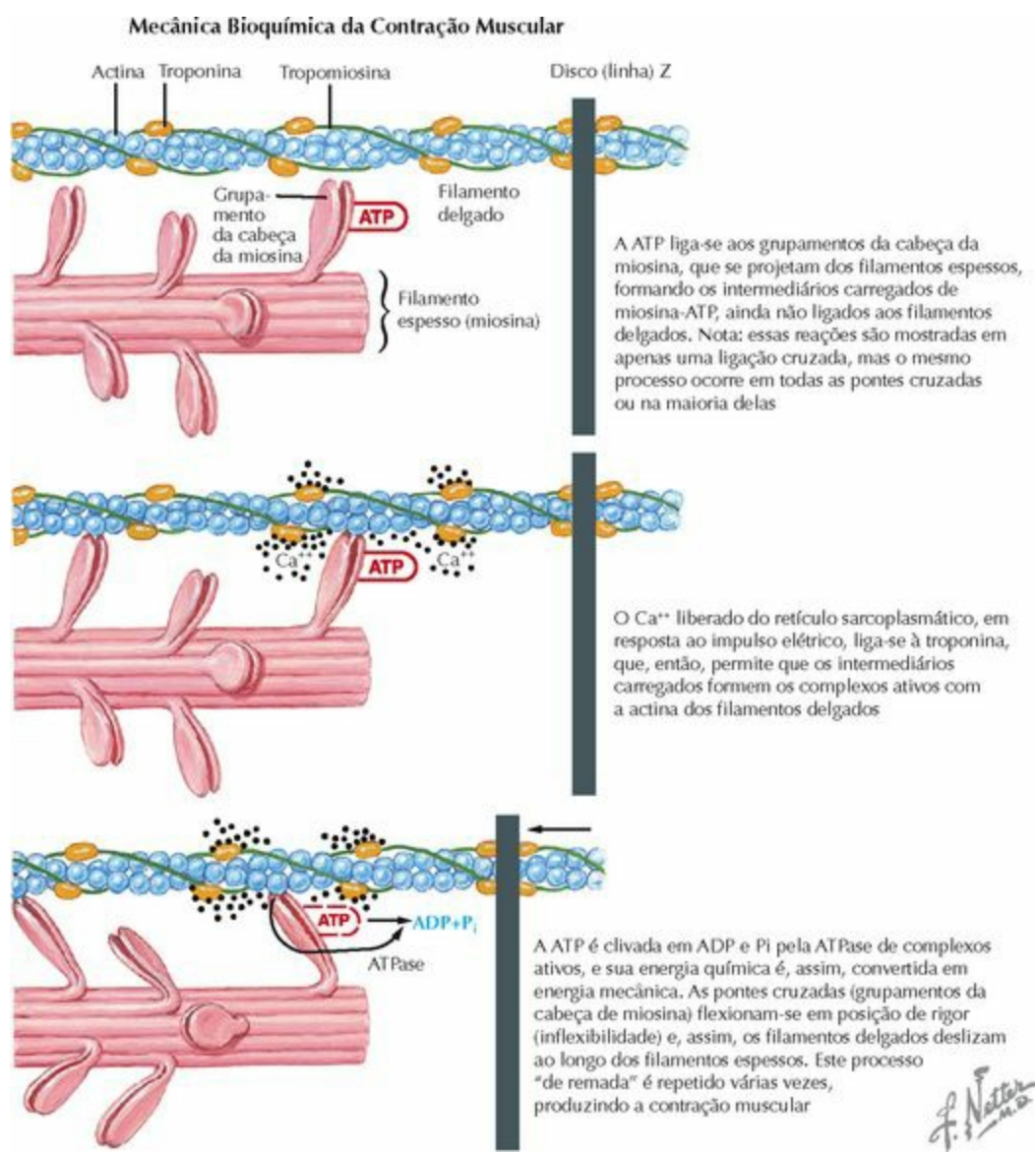
Miofibrila

- Composta por múltiplos miofilamentos organizados de uma extremidade à outra, sem um tecido circundante

Sarcômero

- Composto por filamentos interdigitais espessos (miosina) e delgados (actina) organizados em bandas
- O intervalo entre duas linhas Z define o comprimento de um sarcômero
- Banda A: comprimento do filamento espesso, não muda com a contração

	<ul style="list-style-type: none"> • Banda I (somente actina), banda H (somente miosina) e o comprimento do sarcômero muda com a contração
Miosina	<ul style="list-style-type: none"> • Filamento espesso; possui uma “cabeça” que liga-se ao ATP e prende-se aos filamentos delgados (actina)
Actina	<ul style="list-style-type: none"> • Filamento delgado; fixada nas linhas Z, associada à troponina e tropomiosina
Troponina	<ul style="list-style-type: none"> • Associada à actina e tropomiosina, liga-se aos íons de Ca^{++}
Tropomiosina	<ul style="list-style-type: none"> • Molécula longa, situa-se no sulco helicoidal da actina e bloqueia a ligação da miosina com actina
Retículo sarcoplasmático	<ul style="list-style-type: none"> • Armazena íons de cálcio intracelular (nos túbulos T), os quais são estimulados a liberá-los durante a contração



Etapas

- A contração é iniciada quando a acetilcolina se liga aos receptores no retículo sarcoplasmático, despolarizando-os
- A despolarização causa liberação de Ca^{++} , que se liga às moléculas de troponina. Essa ligação faz com que a tropomiosina se mova, permitindo que a cabeça da miosina ativada (ligada à ATP) se ligue à actina
- A quebra da ATP gera a contração dos filamentos (encurtamento dos sarcômeros) e a liberação dos filamentos (actina e miosina) na preparação para a repetição do processo

Tipos

Isotônica

- A tensão/resistência muscular é constante durante a contração

Excêntrica

- O músculo alonga-se durante a sua contração. **Mecanismo de lesão** comum (p. ex., ruptura do bíceps e quadríceps)

Concêntrica

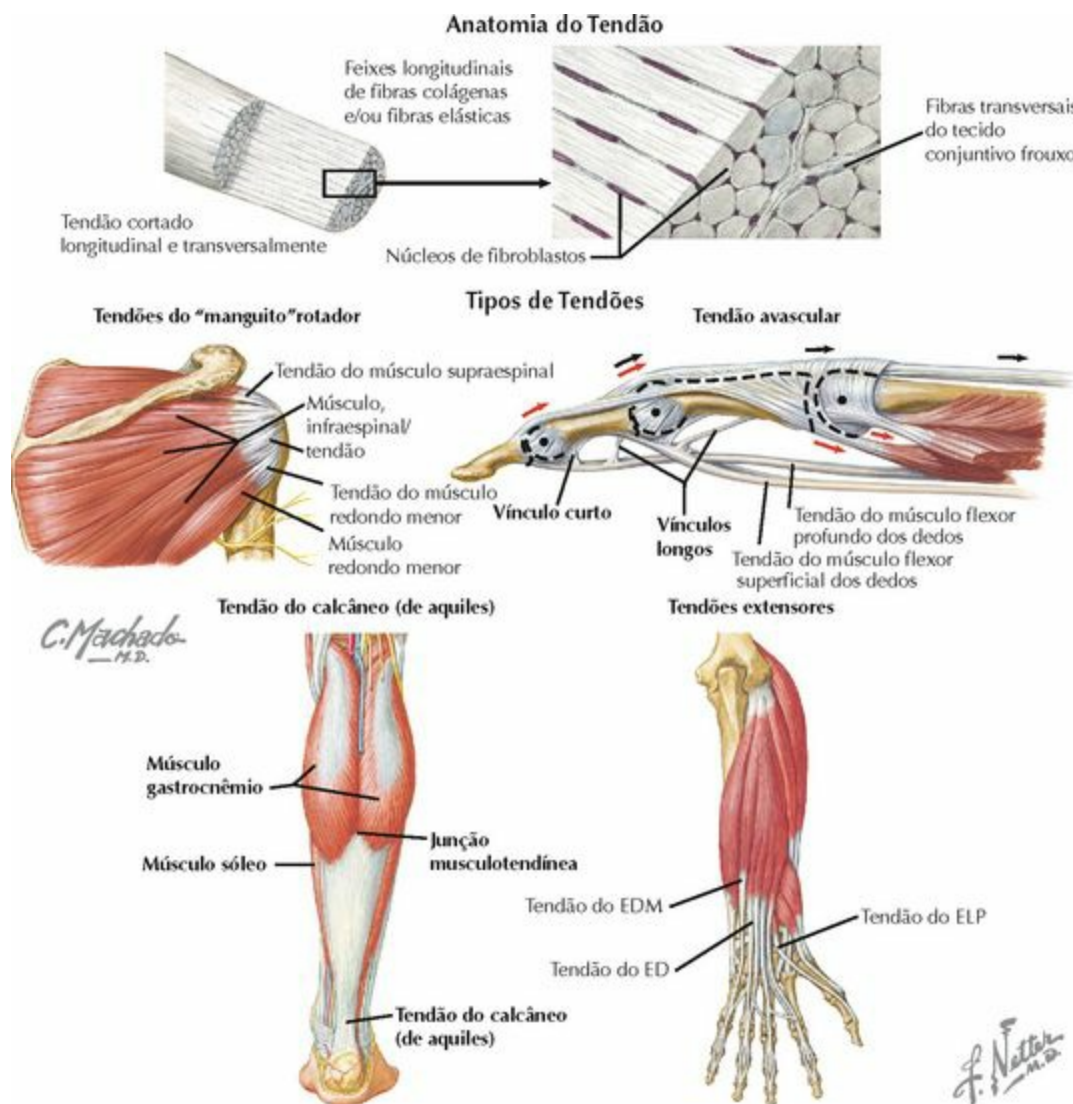
- O músculo encurta enquanto contrai

Isométrica

- O comprimento do músculo é constante (alteração da resistência)

Isocinética

- O músculo contrai-se em velocidade constante; melhor para o fortalecimento muscular



ESTRUTURA**COMENTÁRIO****TENDÃO**

Função

- Fixação dos músculos aos ossos para que o músculo possa realizar sua função

Anatomia

- Vários formatos e tamanhos (longos, largos, curtos, planos etc.)

Fibrila

- Colágeno **tipo I** agrupado em microfibrilas, e a seguir em subfibrilas, depois em fibrilas, envolvido pelo endotendão

Fascículo

- Fibroblastos e fibrilas envolvidos pelo peritendão

Tendão

- Grupos de fascículos envolvidos pelo epitendão

Inserção

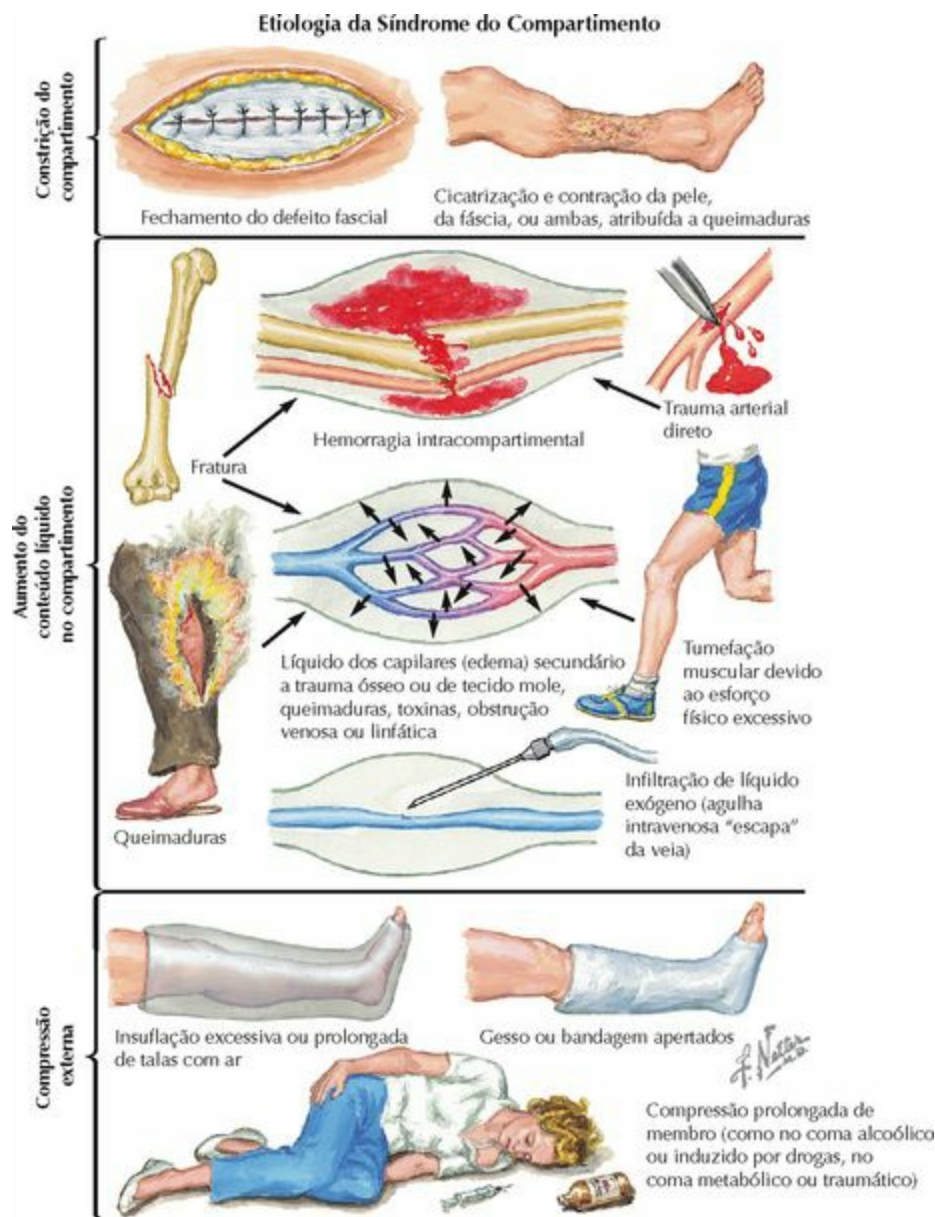
- Tecido tendíneo (basicamente colágeno **tipo I**) fixa-se à fibrocartilagem
- Fibrocartilagem fixa-se à fibrocartilagem calcificada (fibras de Sharpey)
- Fibrocartilagem calcificada (fibras de Sharpey) fixam-se ao osso/periósteo

Suprimento sanguíneo

- Tendões vasculares possuem um paratendão (sem bainha) que os envolve e fornece o suprimento sanguíneo
- Tendões avasculares (com bainha) possuem vínculos tendíneos para fornecer o suprimento sanguíneo

Junção musculotendínea

- Transição do músculo para o tendão; porção mais fraca do complexo miotendíneo; é o local onde ocorre a maioria das **lesões**



COMENTÁRIO

COMPARTIMENTOS MUSCULARES

Músculos estão contidos dentro de espaços osteofibrosos (ossos/fáscias) conhecidos como compartimentos

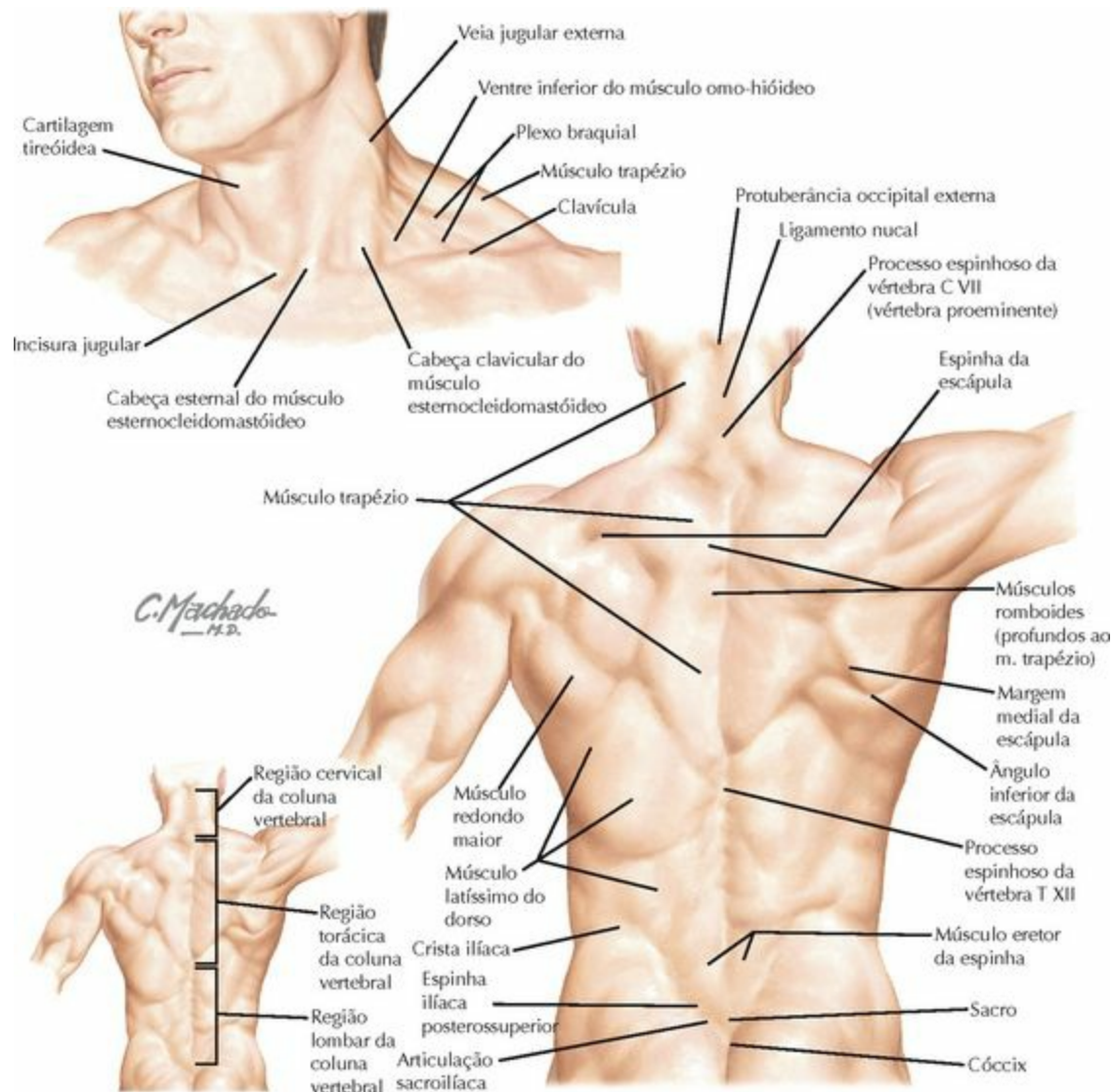
Síndrome do compartimento

- Resulta do aumento da pressão no interior do compartimento osteofibroso
- Etiologia variada (fratura/hematoma, edema, queimaduras, compressão etc.)
- O aumento da pressão oclui o suprimento sanguíneo para os compartimentos musculares
- Sintomas: **5 sinais**: dor (no estiramento passivo, **mais sensível**), parestesias, paralisia, palidez e ausência de pulso (achado tardio)
- Exames físicos: compartimentos firmes/tensos, +/- presença de alguns ou todos os 5 sintomas; esse é o diagnóstico clínico
- Dois métodos para testes de pressão intracompartimental: 1. valor absoluto, 2. intervalo entre as pressões sanguíneas diastólicas
- A liberação compartimental/fasciotomia é uma **emergência cirúrgica** para

Coluna Vertebral

Anatomia Topográfica
Osteologia
Radiologia
Trauma
Articulações
História da Doença Atual
Exame Físico
Músculos
Nervos
Artérias
Distúrbios
Distúrbios Pediátricos
Acessos Cirúrgicos

ANATOMIA TOPOGRÁFICA



C. Machado
— H.D.

ESTRUTURA	APLICAÇÃO CLÍNICA
Plexo braquial	Bloqueio nervoso entre os músculos escalenos, comumente utilizado para os procedimentos das extremidades superiores
M. esternocleidomastóideo	Contraído em torcicolos
M. trapézio	Músculo grande; espasmo muscular do m. trapézio é uma causa comum de dor no pescoço e na região alta do dorso
Músculos romboides	Uso excessivo e espasmo comumente causam dor na região alta do dorso
Processo espinhoso de C VII	A “vértebra proeminente” é um ponto anatômico facilmente palpável
Crista ilíaca	Área de contusão da crista ilíaca Região comum para retirada de enxerto ósseo autólogo

Músculo eretor da
espinha

Uso excessivo e espasmo são causas comuns de **lombalgia**

Espinha ilíaca
posterossuperior

Área para retirada de enxerto ósseo em procedimentos posteriores da
coluna vertebral

Articulação sacroilíaca

Degeneração ou lesão desta articulação pode causar **lombalgia**

Cóccix

Extremidade distal da coluna vertebral (“osso da cauda”), que pode
ser fraturada durante uma queda

OSTEOLOGIA



INFORMAÇÕES GERAIS

- 33 vértebras: 7 cervicais, 12 torácicas, 5 lombares, 5 sacrais (fundidas), 4 coccígeas (fundidas)
- Vértebras formam uma coluna vertebral funcional
- Teoria das três colunas de Denis: a coluna vertebral é dividida em três segmentos
 - Anterior: LLA e 2/3 anteriores dos corpos vertebrais e do anel fibroso (ânulo)
 - Médio: LLP e terço posterior dos corpos vertebrais e do anel fibroso (ânulo)
 - Posterior: pedículos dos arcos vertebrais, lâminas dos arcos vertebrais, processos espinhosos e ligamentos
- Curvaturas da coluna vertebral: curvaturas normais
 - Lordose cervical

- Cifose torácica
- Lordose lombar
- Cifose sacral

Regiões da Coluna Vertebral

Cervical	C I-C II: funcionam como ossos únicos que permitem a estabilização do osso occipital na coluna vertebral e a rotação da cabeça. Movimentos: rotação e flexão/extensão
Torácica	Relativamente rígida devido às articulações com as costelas. Movimentos: rotação; flexão/extensão (mínimas)
“Toracolombar”	Transição da orientação das faces articulares dos processos articulares, de semicoronais para sagitais. Os segmentos são móveis. Área mais comum de lesões na região inferior da coluna vertebral
Lombar	Maiores vértebras. Região comumente afetada por dor. Contém a cauda equina. Movimentos: flexão/extensão; rotação (mínima)
Sacral	Não há movimento. É o centro da pelve

Vértebras

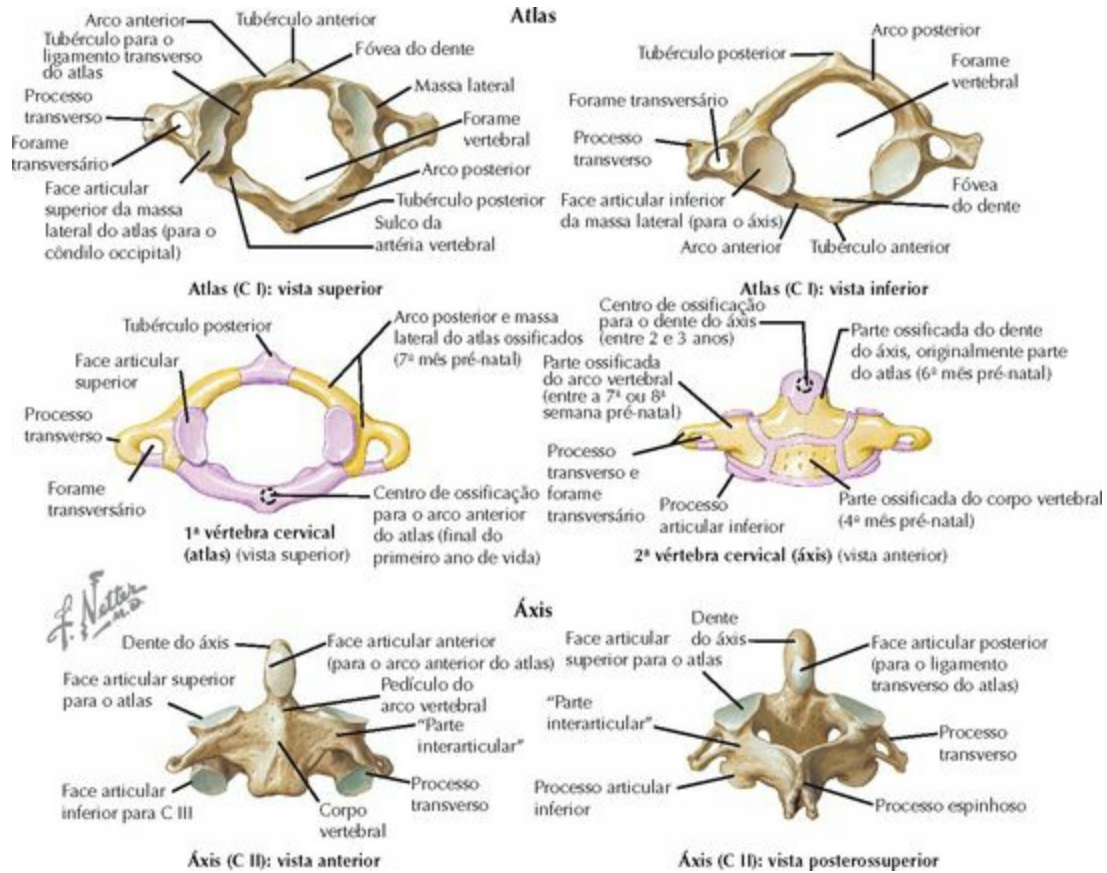
- Ossos com formas únicas que sustentam a musculatura axial e protegem a medula espinal e as raízes dos nervos espinais

Corpo vertebral (centro)	Presença de cartilagem articular em ambas as faces intervertebrais (superior e inferior). Articula-se com os discos intervertebrais e torna-se maior distalmente
Arco vertebral	Constituído por pedículos e lâminas. Desenvolve-se de dois centros de ossificação que se fundem. Defeitos no processo de fusão causam a espinha bífida. Os arcos vertebrais formam o canal vertebral para a medula espinal
Processos	Espinhosos: áreas de inserção para ligamentos Transversos: áreas de inserção para as costelas e os ligamentos
Forames	Vertebrais: medula espinal/cauda equina Intervertebrais: locais de saída das raízes dos nervos espinais

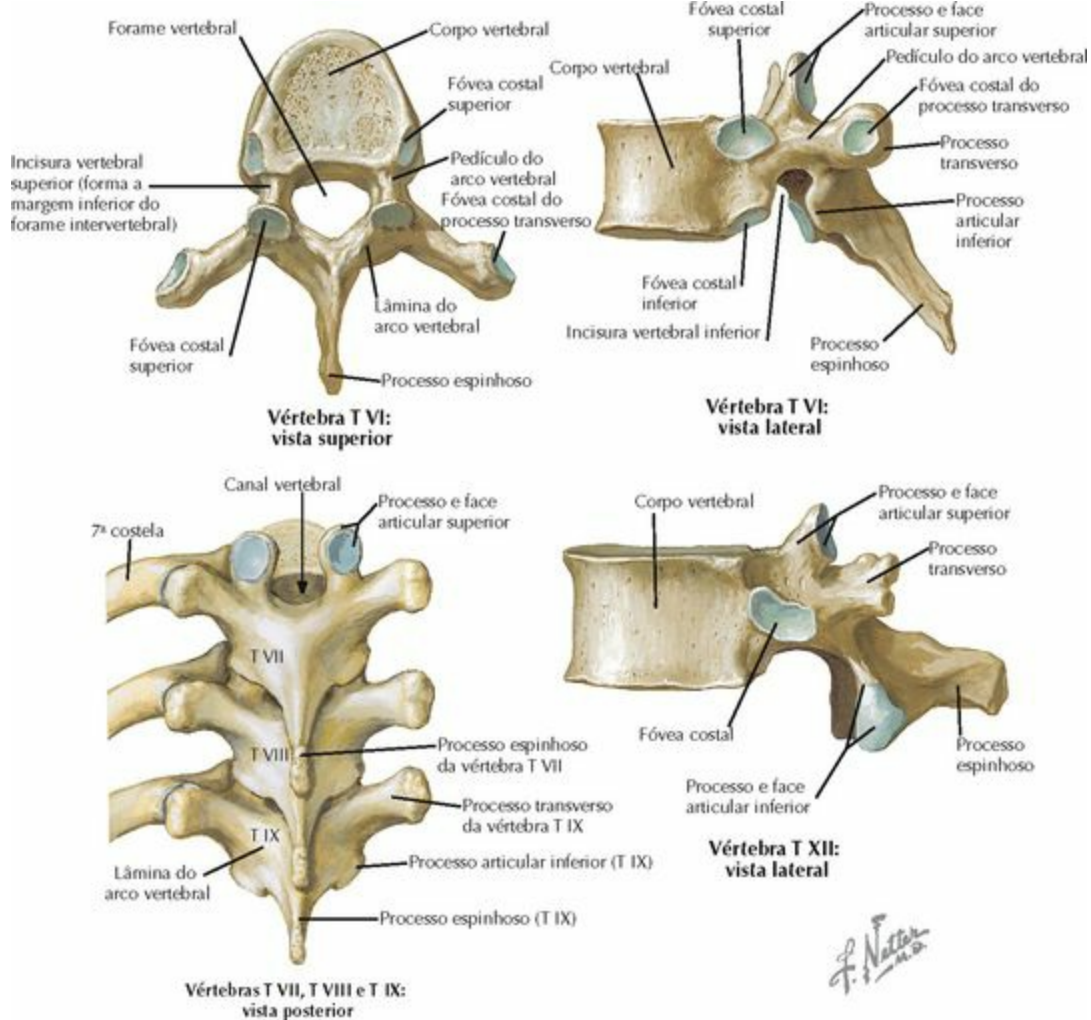
NÍVEL

ESTRUTURA CORRESPONDENTE

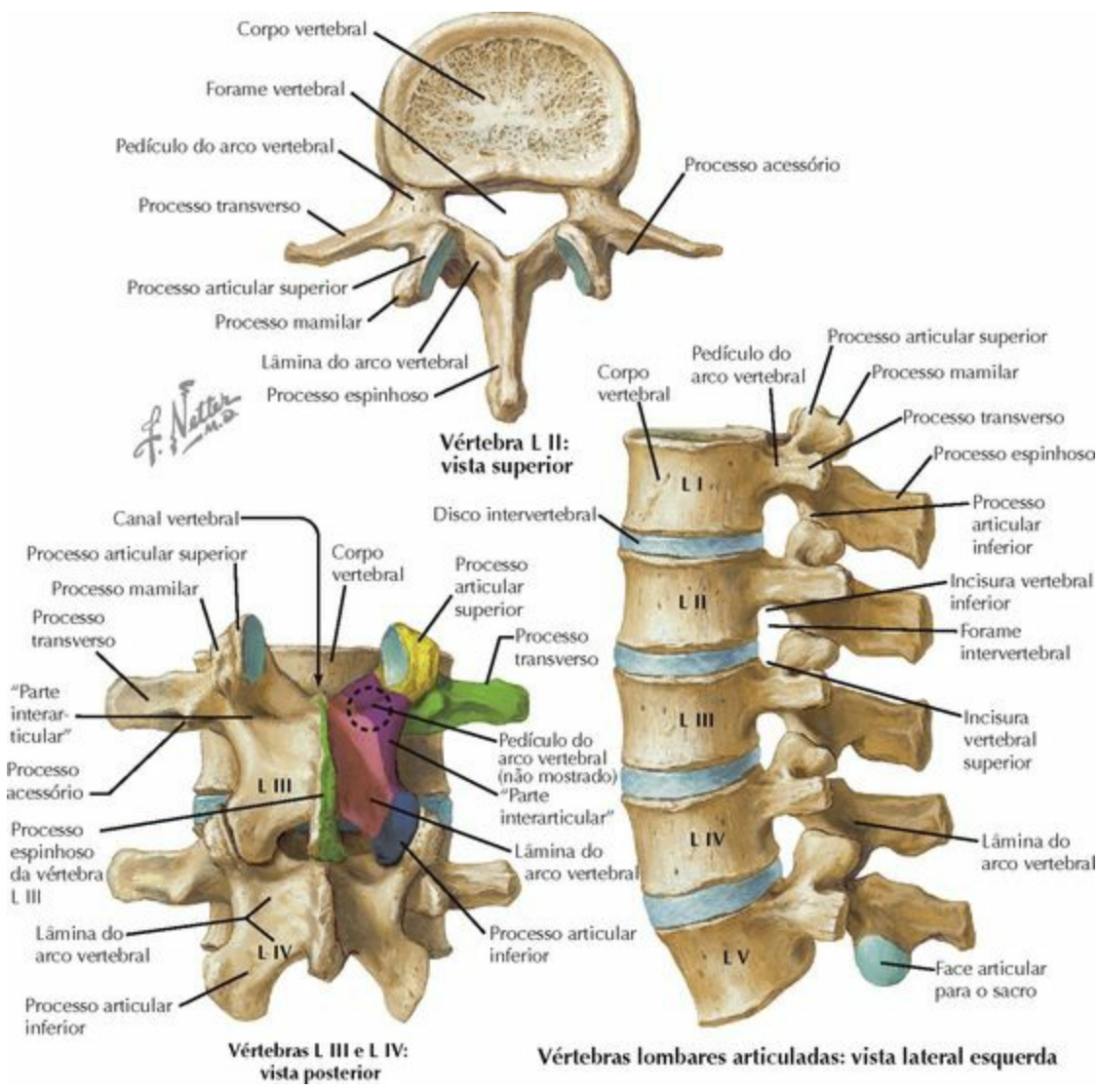
C II-C III	Mandíbula
C III	Ossos hioide
C IV-C V	Cartilagem tireóideia
C VI	Cartilagem cricóideia
C VII	Vértebra proeminente
T III	Espinha da escápula
T VII	Processo xifoide; ângulo inferior da escápula
T X	Umbigo
LI	Cone medular (extremidade da medula espinal)



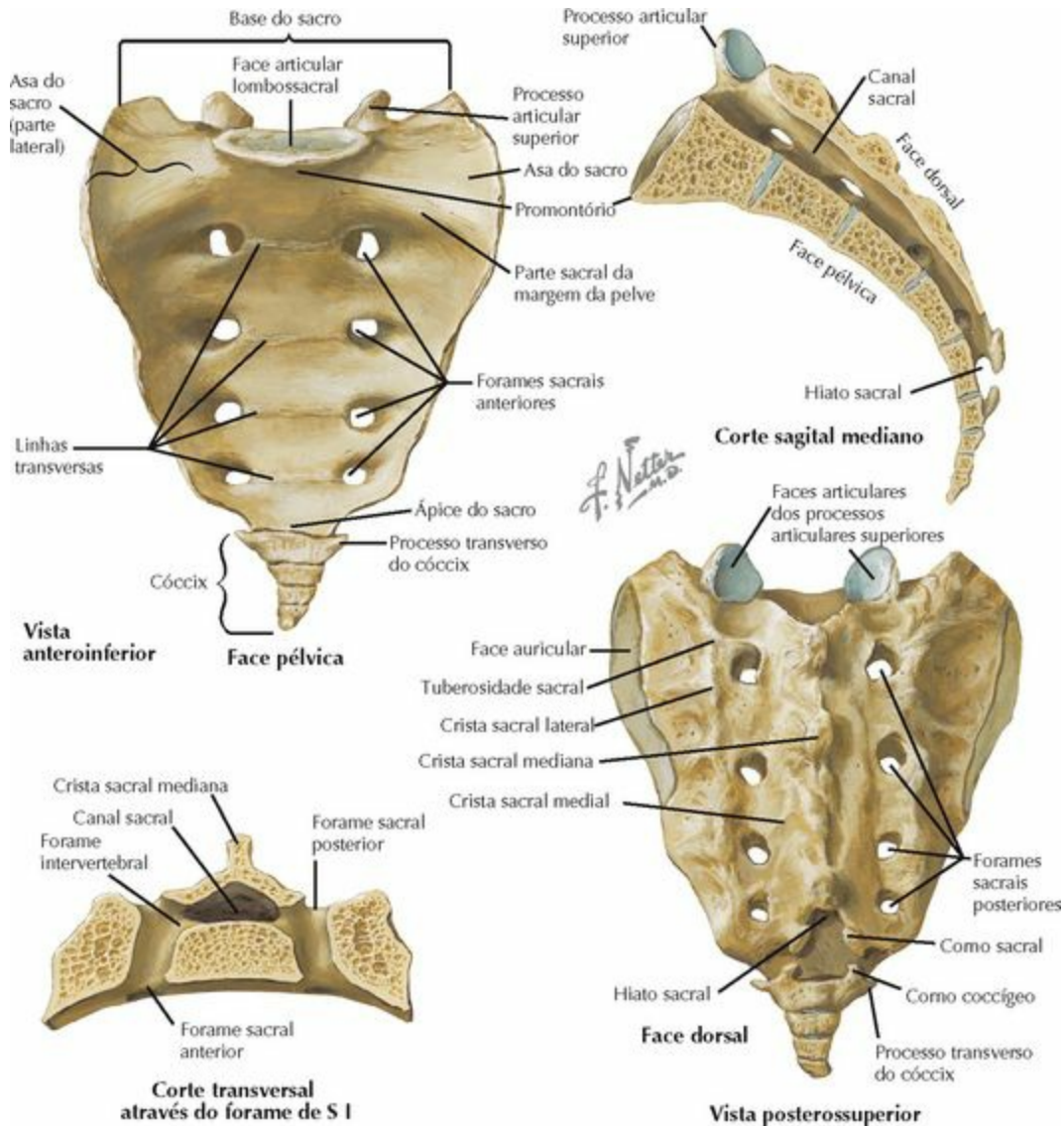
CARACTERÍSTICAS	CENTROS DE OSSIFICAÇÃO	FUSÃO	COMENTÁRIOS	
CERVICOCRANIANO				
Atlas (C I)				
<ul style="list-style-type: none"> • Forma de anel • Duas massas laterais com faces articulares (côncavas) • Dois arcos vertebrais conectam as massas laterais: <ul style="list-style-type: none"> ◦ tubérculo anterior ◦ tubérculo posterior • Processos transversos apresentam forames 	Massas laterais/ arcos posteriores Corpo/arco vertebral anterior	7º mês fetal até o nascimento 6º-12º mês	3-4 anos 7 anos	<ul style="list-style-type: none"> • Arcos vertebrais são suscetíveis às fraturas • Faces articulares superiores (côncavas) articulam-se com o occipital; faces articulares inferiores articulam-se com C II • Arco posterior do atlas possui um sulco para a artéria vertebral • Local de inserção do LLA e do m. longo do pescoço • Local de inserção do ligamento nugal • Processos transversos apresentam forames • Artéria vertebral passa através do forame transversário
Áxis (C II)				
<ul style="list-style-type: none"> • Corpo vertebral • Dente do áxis • Massas laterais com faces articulares e dois pequenos processos transversos • Pedículos dos arcos vertebrais (entre as faces articulares) • Processo espinhoso 	Primário Corpo vertebral Massa lateral/arco vertebral [2]	4º mês fetal 7º mês fetal	3-7 anos 2 anos	<ul style="list-style-type: none"> • Dente do áxis projeta-se superiormente, permitindo a rotação de C I-C II; estabilizador horizontal primário • Faces articulares superiores côncavas permitem rotação • Artéria vertebral através do forame transversário • Pedículo do arco vertebral (istmo) suscetível à fratura • Bífido, relativamente grande e palpável
Há dois centros de ossificação secundários no áxis: ossículo terminal e a epífise anular inferior				



CARACTERÍSTICAS	CENTROS DE OSSIFICAÇÃO	FUSÃO	COMENTÁRIOS
TORÁCICA			
<ul style="list-style-type: none"> Corpo vertebral: fóveas costais (articulam-se com as costelas) Pedículos dos arcos vertebrais: aumentam de tamanho na região baixa da coluna vertebral Processos/faces articulares Processos transversos Lâmina do arco vertebral Processo espinhoso 	<p>Primário</p> <p>Corpo vertebral/centro Arco vertebral [2]</p> <p>Secundário</p> <p>Processos espinhosos Processos transversos [2] Epífise anular [2]</p>	<p>7-8ª semana fetal</p> <p>12-15 anos</p> <p>25 anos</p>	<ul style="list-style-type: none"> As vértebras torácicas superiores têm fóveas costais superiores e inferiores; as vértebras torácicas inferiores têm uma única fóvea costal Podem aceitar parafusos para fixação da coluna; têm orientação anteromedial Faces articulares dos processos articulares são semicoronais, permitindo rotação, porém mínima flexão/extensão Apresentam fóveas costais na parte superior da região torácica Lâminas largas e sobrepostas (como se fossem telhas) Longo e bastante inclinado inferiormente
<p>Referência anatômica para fixação de parafusos nos pedículos dos arcos vertebrais: Junção das linhas que passam através do terço superior dos processos transversos e bem próximas à parte lateral da linha vertical que passa através das fóveas costais</p>			

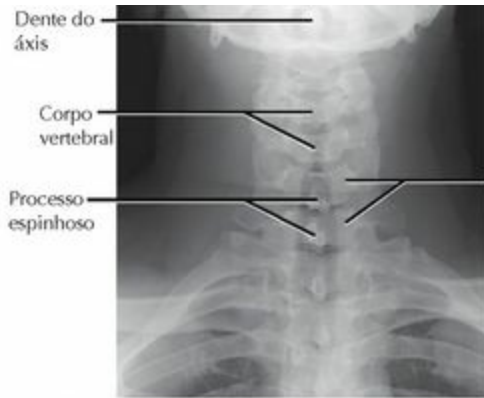


CARACTERÍSTICAS	CENTROS DE OSSIFICAÇÃO	FUSÃO	COMENTÁRIOS
LOMBAR			
<ul style="list-style-type: none"> • Corpo vertebral: grande • Pedículos dos arcos vertebrais: largos e curtos, porém fortes • Processos e faces articulares: apresentam o processo mamilar • "Parte Interarticular" 	<p>Primário</p> <p>Corpo vertebral/centro Arco vertebral [2]</p> <p>Secundário</p> <p>Processos mamilares Epífise anular [2]</p>	<p>7-8ª semana fetal</p> <p>5-8 anos</p> <p>12-15 anos</p> <p>25 anos</p>	<ul style="list-style-type: none"> • Largo, oval e em forma cilíndrica • A orientação muda ao longo do segmento lombar; essa porção óssea aceita fixação com parafusos • A orientação sagital permite flexão/extensão • As faces articulares (dos processos articulares) superiores voltam-se medialmente e as inferiores lateralmente • Área entre as faces articulares que serve para fixação da espondilólise/fratura • Podem ocorrer fraturas por avulsão neste local • Não se sobrepõem às dos níveis adjacentes • Longos e palpáveis posteriormente
<p>Referência anatômica para fixação de parafusos nos pedículos dos arcos vertebrais: Linhas de junção que passam pelo meio dos processos transversos e pela margem das articulações dos processos articulares</p> <p>O defeito na fusão dos centros de ossificação das duas partes dos arcos vertebrais (pedículo/lâmina) resulta na patologia conhecida como espinha bífida</p>			

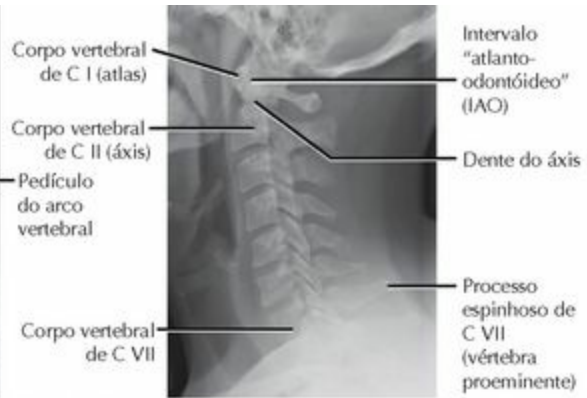


CARACTERÍSTICAS	CENTROS DE OSSIFICAÇÃO	FUSÃO	COMENTÁRIOS
SACRO			
<ul style="list-style-type: none"> • 5 vértebras fundidas • 4 pares de forames sacrais (direitos e esquerdos) • Asa do sacro expande-se lateralmente • Ápice cifótico em S III (aproximadamente 25°) • Canal sacral abre-se distalmente por meio do hiato sacral 	Primário Corpo vertebral Arcos vertebrais Face costal	7 ^a -8 ^a semana fetal 2-8 anos	<ul style="list-style-type: none"> • Transmite o peso do corpo para a pelve • Os nervos saem através dos forames sacrais • A asa do sacro é uma região onde comumente ocorrem fraturas • O canal sacral torna-se mais estreito distalmente • Os segmentos fundem-se uns aos outros na puberdade
	Secundário	11-14 anos 12-18 anos	
CÓCCIX			
<ul style="list-style-type: none"> • 4 vértebras fundidas • Não apresenta traços característicos das vértebras típicas • Os ossos tornam-se menores distalmente 	Primário Corpo vertebral Arcos vertebrais	7 ^a -8 ^a semana fetal 1-2 anos 7-10 anos	<ul style="list-style-type: none"> • Encontra-se fixado nos músculos glúteo máximo e coccígeo • Não apresenta forames intervertebrais; é distal ao hiato sacral • Região comum para fraturas

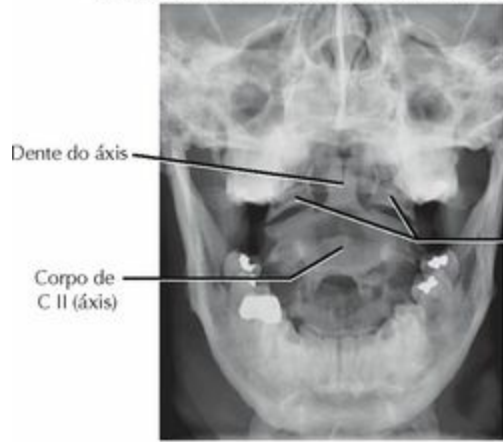
RADIOLOGIA



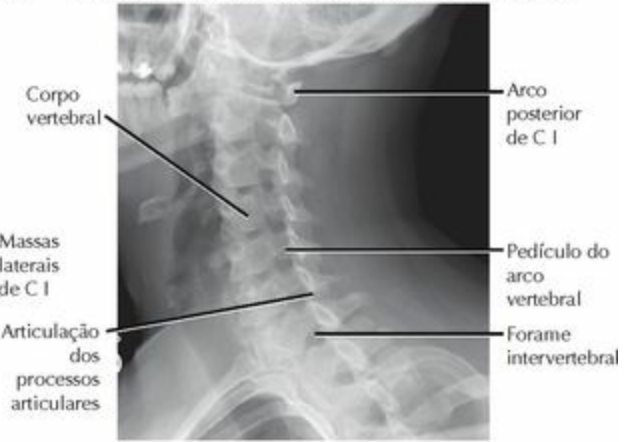
Radiografia da região cervical da coluna vertebral, AP



Radiografia da região cervical da coluna vertebral, perfil

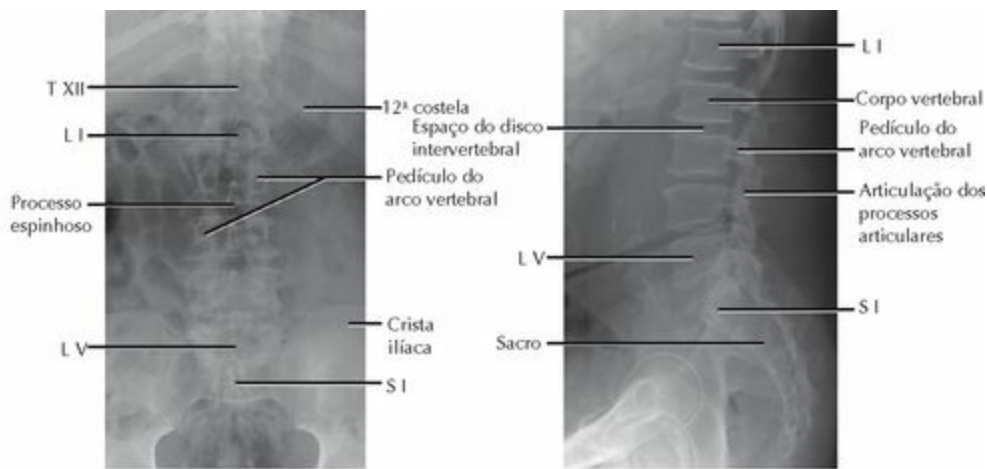


Radiografia da região cervical da coluna vertebral, dente do áxis ("odontoide")



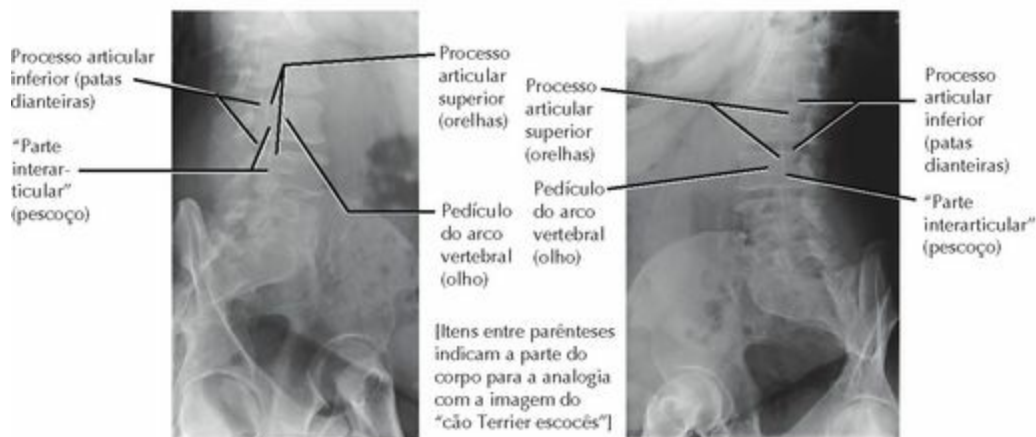
Radiografia da região cervical da coluna vertebral, oblíqua

RADIOGRAFIA	TÉCNICA	ACHADOS	APLICAÇÃO CLÍNICA
REGIÃO CERVICAL DA COLUNA VERTEBRAL			
AP (anteroposterior)	Ereta/supina, feixe de curva suave em direção à cabeça, inclinado na parte média da região cervical da coluna vertebral	Corpos vertebrais (especialmente C III-C VII); espaços dos discos intervertebrais	Fraturas cervicais, espondilose
Em perfil (mesa cruzada)	Supina, feixe horizontal, em direção à parte média da região cervical (deve-se visualizar C VII)	Corpos vertebrais, espaços dos discos, 4 linhas facetárias: 1. Vertebral anterior (LA); 2. Vertebral posterior (LLP); 3. Espinolaminar (ligamento amarelo); 4. Posterior (processos espinhosos)	Primeira radiografia em todos os casos de trauma Fraturas e luxações. Intumescência retrofaringea aumentada (> 6 mm em C II ou > 22 mm em C VI) pode indicar fratura
Do dente do eixo – “Odontoide” (com a boca aberta)	Feixe dentro da boca aberta	Dente do eixo e massas laterais	C I (Jefferson) ou C II/ fratura do dente
Incidência do nadador	Posição pronada, braço acima da cabeça, feixe dentro da axila	C VII, T I e T II	Utilizada quando a radiografia em perfil não mostra C VII Utilizada para excluir a presença de fraturas cervicais
Obliquas	AP, corpo em rotação de 45°	Forames intervertebrais e articulações dos processos articulares	Estenose dos forames intervertebrais
Vistas em flexão/ extensão	Lateral, com flexão e extensão	Observa-se o mesmo que na radiografia em perfil	Instabilidade e espondilolistese
<p>Diversas medidas podem ser feitas por meio da radiografia em perfil da região cervical da coluna vertebral</p> <ol style="list-style-type: none"> Intervalo “atlanto-odontóideo” (IAO): face posterior do arco anterior de C I até a margem anterior do dente do eixo (normal ≤ 3 mm) Espaço disponível para medula espinal (EDM): face posterior do dente do eixo até a face anterior do arco posterior do atlas (normal = 17 mm) Razão de força: básio (B) até o arco posterior de C I (C), opistio (O) até o arco anterior de C I (A). Razão BC/AO > 1 = luxação atlantocipital Linha de Chamberlain: opistio até o palato duro. Ápice do dente do eixo ≤ 5 mm acima da linha. Medida > 5 mm representa invaginação basilar 			



Radiografia da região lombar, AP

Radiografia da região lombar, perfil



Radiografia da região lombar, oblíqua

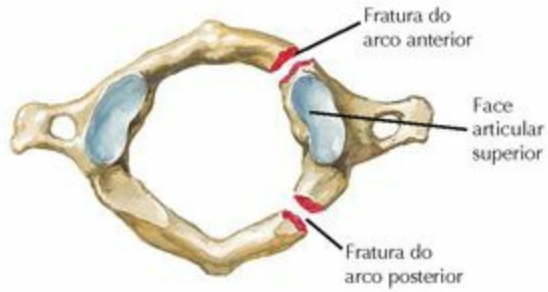
Radiografia da região lombar, oblíqua

RADIOGRAFIA	TÉCNICA	ACHADOS	APLICAÇÃO CLÍNICA
REGIÃO TORÁCICA DA COLUNA VERTEBRAL			
AP (anteroposterior)	Supina, feixe direcionado para a parte média da região torácica da coluna vertebral	Corpos vertebrais	Alinhamento, escoliose (ângulo de Cobb)
Em perfil	Lateral, feixe direcionado para a região torácica da coluna vertebral	Corpos vertebrais e elementos posteriores	Alinhamento, hipercurvose, escoliose, fratura
Filmes inclinados	AP ou em perfil com inclinação	Vértebras torácicas	Flexibilidade das curvaturas escolióticas
REGIÃO LOMBAR DA COLUNA VERTEBRAL			
AP (anteroposterior)	Supina, quadris flexionados, feixe direcionado para L III	Corpos vertebrais, espaços dos discos intervertebrais, posições dos pedículos dos arcos vertebrais, processos transversos	Fratura (alargamento corpo-pediculo do arco vertebral, processo transversal), luxação
Em perfil	Lateral, quadris flexionados, feixe direcionado para L III	Corpos vertebrais, partes e espaços dos discos intervertebrais	Fraturas, espondilolistese
Oblíquas	AP, com o corpo virado a 45°	Forames intervertebrais, "parte interarticular", articulações dos processos articulares	Estenose foraminal, espondilose, hipertrofia facetária
Vistas em flexão/ extensão	Lateral, com flexão/ extensão	Mesmas estruturas observadas na radiografia em perfil	Instabilidade/espondilolistese

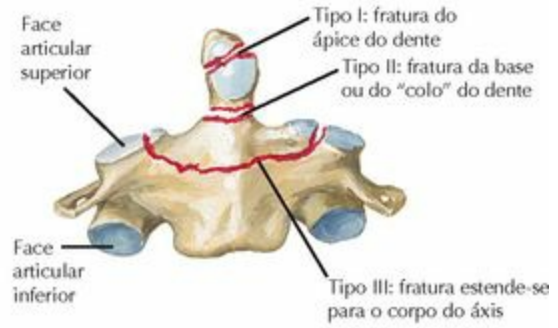
TRAUMA

Fratura do atlas (C I) (de Jefferson):

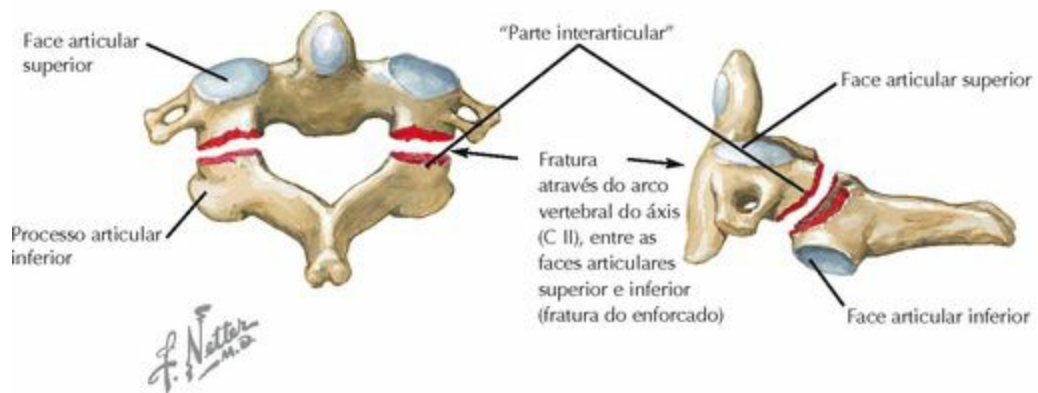
Cada arco pode ser quebrado em um ou mais pedaços



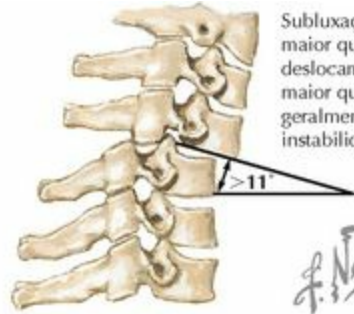
Fratura do dente do áxis



Espondilolistese traumática



DESCRIÇÃO	AVALIAÇÃO	CLASSIFICAÇÃO	TRATAMENTO
LESÕES CERVICOCRANIANAS			
<ul style="list-style-type: none"> • Lesões nesta região podem ser súbitas e devastadoras • Certificar-se de ter aplicado o protocolo ATLS • Luxação occipital/cervical: alta mortalidade, incidência aumentada em pacientes pediátricos • Instabilidade atlantoaxial: ruptura do ligamento transverso do atlas [LTA] +/- ligamentos alares e do ápice do dente determinam o grau de instabilidade • Em fraturas do dente do tipo II têm grande chance de ocorrer a pseudartrose • Espondilolistese traumática é uma fratura bilateral (similar à fratura do enforcado, mas com mecanismo diferente) 	<p>HDA: trauma de alta intensidade (p. ex., AVA, queda, mergulho), +/- dor, dormência, formigamento, fraqueza</p> <p>EF: estabilizar cabeça e pescoço Inspeccionar e palpar o pescoço Exame neurológico: NC, reflexos motores e sensitivos das extremidades superiores e inferiores</p> <p>RX: em perfil, "odontoide", AP (básio para dente do eixo ≤ 5 mm e razão de força < 1 é normal; IAO ≤ 3 mm é normal; vistas em flexão e extensão: avallam a instabilidade dinâmica</p> <p>TC: melhor para todos os tipos de fraturas</p> <p>RM: ligamentos, medula espinal e raízes dos nervos espinais</p>	<p>Dissociação occipitocervical/ Instabilidade atlantoaxial: 1. substância média, 2. avulsão</p> <p>C I (atlas) (7 tipos): compressão axial (3-4 fraturas, Jefferson) [1], arco posterior [2], cominutiva [3], arco anterior [4], massa lateral [5], processo transversal [6], tubérculo inferior [7]</p> <p>C II (eixo):</p> <ul style="list-style-type: none"> • Fraturas do dente do eixo: tipo 1: ápice, tipo 2: base (junção dente/corpo), tipo 3: corpo de C II • Espondilolistese traumática: 1. não deslocada, 2. deslocada e angulada, 2a. angulada, 3. fratura com luxação dos processos articulares entre C II-C III 	<ul style="list-style-type: none"> • Deslocamento O-C: halo vs fusão • C I-C II: IAO < 5 mm: colar • IAO > 5 mm: fusão de C I-C II • Fratura C I: <ul style="list-style-type: none"> ◦ Instável/grande: fusão de C I-C II ◦ Estável: halo vs. colar, imobilização por 3 meses • Avulsão: colar flexível por 6 semanas • Fraturas de C II: • Dente do eixo: <ul style="list-style-type: none"> ◦ Colar ◦ Redução aberta e fixação interna (RAFI) (deslocada) vs. halo (não deslocada) ◦ Halo com colete • Espondilolistese traumática <ul style="list-style-type: none"> ◦ Imobilização com colar ◦ Redução fechada/ halo vs. RAFI ◦ RAFI (parafusos em C II)
<p>COMPLICAÇÕES: Ausência de consolidação (especialmente fraturas do dente ["odontóideas"] do tipo 2); neurológicas (trauma medular); dor persistente, instabilidade ou rigidez</p>			



Subluxação com angulação maior que 11° e/ou deslocamento anterior maior que 3,5 mm, geralmente indicam instabilidade

Subluxação com angulação maior que 11°



Deslocamento anterior maior que 3,5 mm

Luxação da articulação dos processos articulares



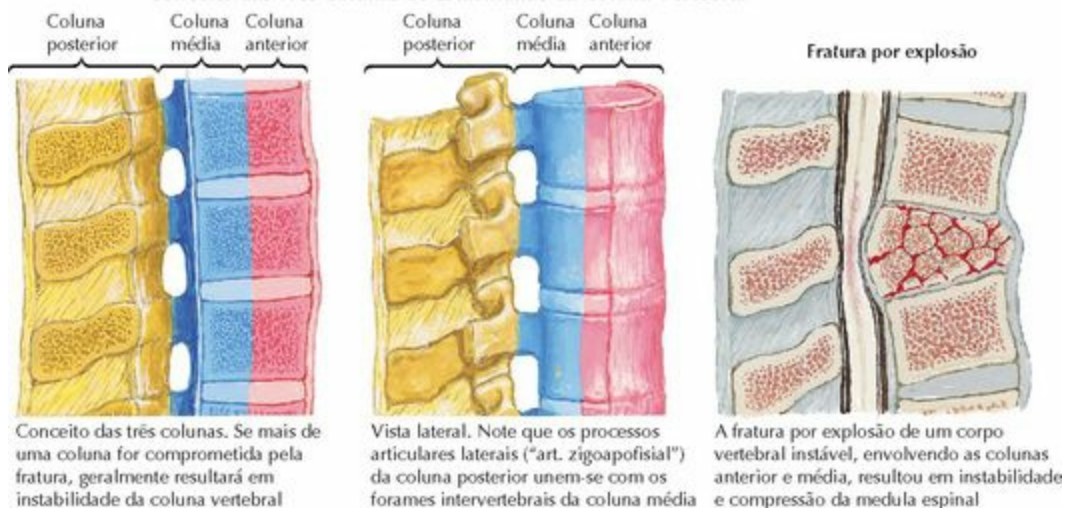
Luxação anterior do processo articular de C V sobre C VI com ruptura do ligamento interespinal, cápsulas articulares e fibras posteriores do disco intervertebral



Radiografia (em perfil) mostrando a luxação bilateral dos processos articulares de C V – C VI

DESCRIÇÃO	AValiação	CLASSIFICAÇÃO	TRATAMENTO
FRATURAS CERVICAIS SUBAXIAIS			
<ul style="list-style-type: none"> • Fratura por compressão: envolve a metade anterior do corpo vertebral • Fratura por explosão: envolve todo o corpo vertebral, com repulsão para dentro do canal vertebral • Instabilidade (White & Panjabi): <ul style="list-style-type: none"> ◦ >3,5 mm de translação ◦ >11° de angulação cifótica ◦ Teste de alongamento positivo ◦ Lesão neural (medula espinal ou raiz do nervo espinal) ◦ Elementos anteriores destruídos ◦ Elementos posteriores destruídos ◦ Canal vertebral estreitado ◦ Estreitamento do espaço dos discos intervertebrais • Antecipação de sobrecargas pesadas 	<p>HDA: trauma de alta intensidade (p. ex., AVA, queda, mergulho), + / - dor, dormência, formigamento, fraqueza</p> <p>EF: estabilizar cabeça e pescoço; Inspeccionar e palpar o pescoço. Exame neurológico: NC, reflexos motores e sensitivos das extremidades superiores e inferiores</p> <p>RX: em perfil, do dente ("odontolde"), AP Avaliar por critérios de estabilidade Vistas em flexão e extensão: avaliação da instabilidade dinâmica</p> <p>TC: melhor para todos os tipos de fraturas</p> <p>RM: investigação dos ligamentos posteriores e hemiação do disco intervertebral na medula espinal</p>	<p>Mecanismo (cada classe é subdividida de acordo com a gravidade):</p> <ol style="list-style-type: none"> 1. Flexão-compressão [nº 1] 2. Compressão vertical 3. Flexão-distração [nº 2] 4. Extensão-compressão 5. Extensão-distração 6. Flexão lateral <p>Descritiva Compressão Por explosão Deslocamento do processo articular Unilateral Bilateral</p>	<ul style="list-style-type: none"> • Fratura por compressão: colar • Fratura por explosão: CADF (corpectomia anterior, discectomia e fusão [lâmina ant.]) – vs. descompressão/fusão posterior • Flexão-compressão: <ul style="list-style-type: none"> ◦ Estável: colar ou halo; ◦ Instável: fusão ant. ou post. • Flexão-distração/luxação de processo articular: fechada (aguda, apresentação consciente) vs. aberta (inconsciente ou de apresentação tardia): redução anterior (CADF) ou posterior com fusão espinal posterior
<p>COMPLICAÇÕES: Neurológicas: quadriplegia, paraplegia, radiculopatia. Vasculares: artéria vertebral. Imobilização: halo</p>			

Conceito das Três Colunas de Estabilidade da Coluna Vertebral



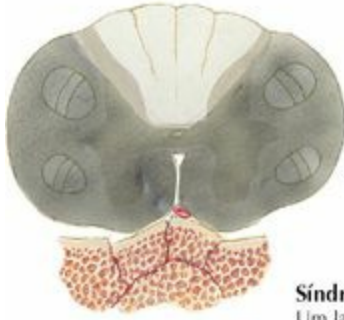
Fratura de Chance



DESCRIÇÃO	AVALIAÇÃO	CLASSIFICAÇÃO	TRATAMENTO
FRATURAS TORACOLOMBARES			
<ul style="list-style-type: none"> Mecanismo: AVA ou queda (a parte do cinto que passa pelo pescoço pode servir de fulcro para causar uma fratura por flexão-distração) A junção toracolombar é o local mais comumente fraturado ou lesionado Determinar a estabilidade é a chave para o tratamento Teoria das três colunas (Denis): >1 coluna lesionada = instabilidade Fratura por explosão: causada por 1. flexão, 2. compressão axial Fratura de Chance: fratura por flexão-distração, todas as três colunas falham em tensão 	<p>HDA: trauma de alta intensidade, + / – dor, dormência ou fraqueza</p> <p>EF: palpação para avaliação</p> <p>Exame neurológico: reflexos motores e sensitivos da extremidade inferior (incluindo esfíncter anal e bulbocavemoso)</p> <p>RX: em perfil, altura do corpo, cifose</p> <p>AP (alargamento do pedículo)</p> <p>Vistas em flexão/extensão: avaliação da instabilidade dinâmica</p> <p>TC: melhor exame para todos os tipos de fraturas</p> <p>Avalia a retropulsão</p> <p>RM: investigação dos discos intervertebrais e ligamentos posteriores</p>	<p>Compressão: somente 1 coluna (anterior), fratura estável</p> <p>Fratura por explosão estável: 2 colunas</p> <ol style="list-style-type: none"> <25° cifose <50% perda da altura do corpo <50% retropulsão de canal <p>Fratura por explosão instável: 2-3 colunas falham, de acordo com os critérios, ou apresentam comprometimentos neurológicos</p> <p>Flexão-distração: 2-3 colunas; as colunas falham do sentido posterior para o anterior</p> <p>Translação (fratura/luxação): todas as 3 colunas falham: instabilidade</p>	<ul style="list-style-type: none"> Compressão: observação ou órtese por 12 semanas Fratura por explosão estável: órtese OTLS ou colete em hiperextensão por 12 semanas (refazer uma radiografia para confirmar estabilidade) Fratura por explosão instável: descompressão e fusão espinal posterior Flexão-distração: a maioria requer fusão posterior Translação: necessita de redução e estabilização/fusão
COMPLICAÇÕES: Neurológicas: Medula espinal/lesão da cauda equina. Imobilização: TVP, EP. Cirúrgicas: Infecção, rupturas durais.			

Síndrome da parte central da medula espinal

Hemorragia e edema da parte central da medula espinal. Partes dos três tratos principais comprometidas em ambos os lados. Os membros superiores são mais afetados que os membros inferiores



Síndrome da artéria espinal anterior

A artéria é lesionada por espículas ósseas ou cartilagíneas (área afetada sombreada). Perda bilateral de função motora e de sensibilidade

◁ à dor abaixo do segmento lesionado.
Sentido de posição preservado



Síndrome de Brown-Sequard

Um lado da medula espinal é afetado. Perda de função motora e sentido de posição no mesmo lado e perda da sensibilidade à dor no lado oposto

F. S. Netto M.D.

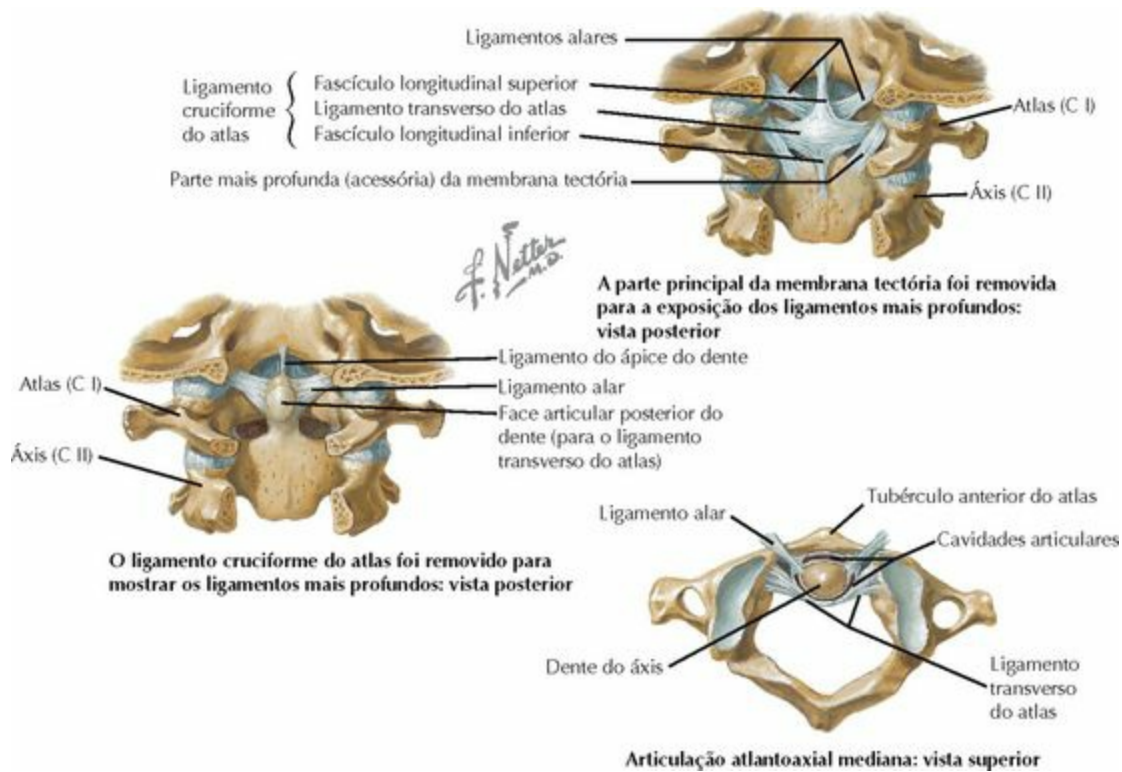


Síndrome do funículo posterior (incomum)

Perda do sentido de posição abaixo do nível da lesão; preservação da função motora e da sensibilidade à dor

DESCRIÇÃO	AValiação	CLASSIFICAÇÃO	TRATAMENTO
TRAUMA DA MEDULA ESPINAL			
<ul style="list-style-type: none"> Mais comum em homens jovens Grande associação de fraturas da região cervical da coluna vertebral (facilmente esquecida) Central: nº 1, mecanismo de hiperextensão, observado em idosos com espondilose cervical Anterior: nº 2, pior prognóstico Brown-Sequard: geralmente trauma penetrante, lesão rara, com melhor prognóstico Posterior: muito raro; este padrão pode não existir 	<p>HDA: trauma de alta intensidade (AVA ou queda), + / – dormência ou fraqueza</p> <p>EF: encontrar o nível neurológico funcional mais baixo</p> <p>Central: perda motora MS>MI</p> <p>Anterior: perda motora e sensitiva MI>MS, propriocepção intacta</p> <p>B-S: perda motora ipsilateral, perda da sensibilidade à dor e temperatura contralateral</p> <p>RX: critério de exclusão para ver fratura da região cervical da coluna vertebral</p> <p>TC: para exclusão ou avaliação de fratura da região cervical da coluna vertebral</p> <p>RM: mostra a medula espinal, herniação do disco Intervertebral sobre a medula espinal, ligamentos posteriores</p>	<ul style="list-style-type: none"> Completo: nenhuma função abaixo do nível da lesão (choque medular deve ser resolvido antes do diagnóstico) Incompleto: reserva parcial da função distal <ul style="list-style-type: none"> Central: substância cinzenta central Anterior: tratos espinotalâmico e corticospinal não são afetados, colunas posteriores poupadas Brown-Sequard: metade lateral da medula espinal ("hemissecção") Posterior: posterior: colunas posteriores 	<ul style="list-style-type: none"> Metilprednisolona IV, dentro das 8 h após a lesão pode melhorar o nível funcional A maioria dos pacientes recupera 1 (ou 2) níveis de função, no caso de lesões completas Descompressão da medula espinal (reduzir luxações ou remover fragmentos ósseos) com imobilização interna ou externa (p. ex., colar ou halo)
COMPLICAÇÕES: Neurológicas; disreflexia autônoma (tratar com cateter urinário/desimpactação retal); instabilidade da coluna vertebral			
<ul style="list-style-type: none"> Choque medular (espinal): paralisia/arreflexia por lesão fisiológica da medula espinal. O retorno do reflexo bulbocavernoso marca o fim do choque medular Choque neurogênico: Hipotensão com bradicardia. Tônus simpático (tônus vagal sem oposição) diminuído. Tratar com vasopressores Choque hipovolêmico: Hipotensão com taquicardia. Tratar com ressuscitação por fluido/volume 			

ARTICULAÇÕES

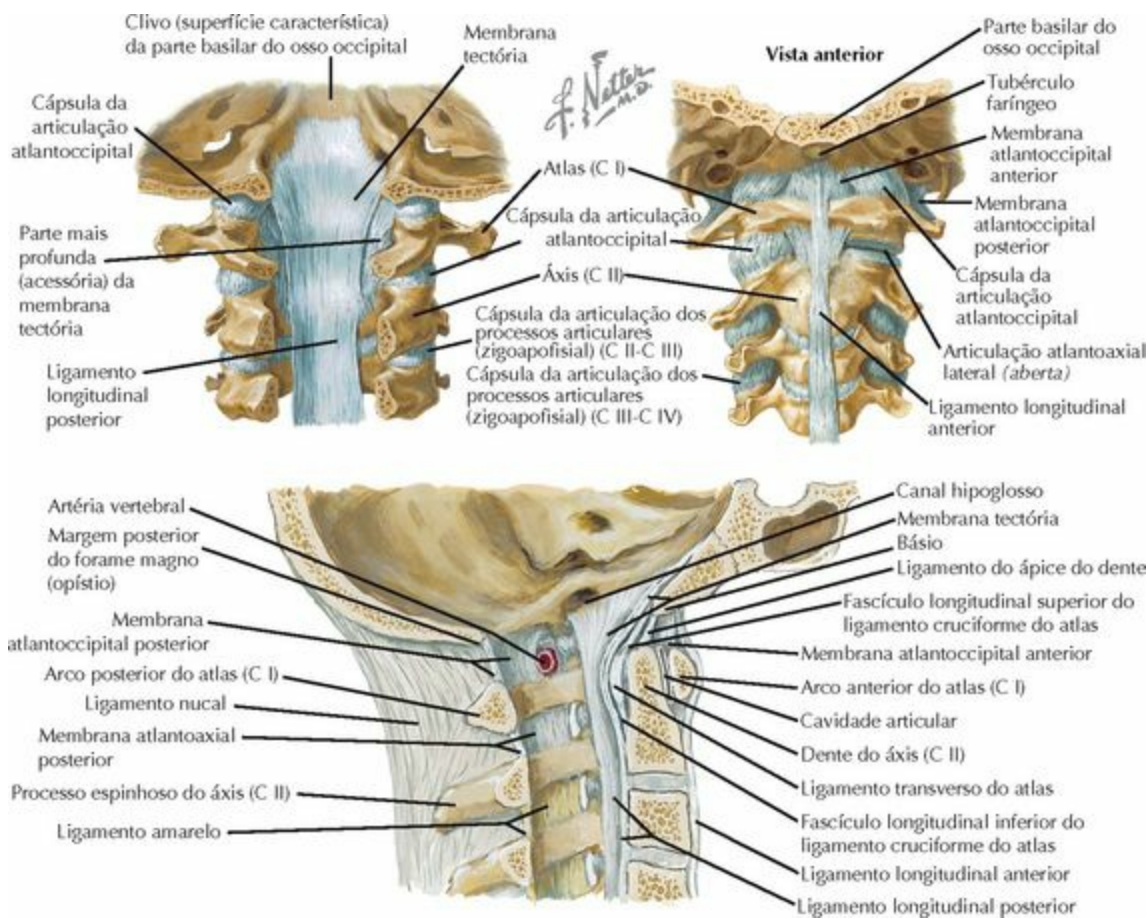


LIGAMENTO	FIXAÇÕES	COMENTÁRIOS
ARTICULAÇÃO ATLANTOCCIPITAL		
<ul style="list-style-type: none"> • Articulação entre os côndilos occipitais convexos e as faces articulares superiores côncavas do atlas (C I). Essa articulação é horizontal (especialmente em crianças) e permite a rotação; entretanto, é inerentemente instável horizontalmente. ADM: flexão/extensão 25°; inclinação lateral 5° (cada lado); rotação 5° (cada lado) 		
Cápsula articular	Envolve a articulação (côndilo e face articular)	Tecido frouxo confere mínima estabilidade
Membrana atlantoccipital anterior	Arco anterior do atlas até a margem anterior do forame magno	Continuação do LLA
Membrana tectória	Porção posterior do áxis até a margem anterior do forame magno	Estabilizador primário. Continuação do LLP (limita a extensão)
Membrana atlantoccipital posterior	Arco posterior do atlas até a margem posterior do forame magno	Homólogo do ligamento amarelo

ARTICULAÇÃO ATLANTOAXIAL (C I-C II)

• Existem três articulações: Articulação atlantoaxial mediana (tipo trocóideia): entre o dente do eixo e o arco anterior do atlas. Articulações atlantoaxiais laterais [2] (planas): entre as faces articulares do atlas e do eixo, permitindo rotação. ADM: flexão/extensão 20°; inclinação lateral 5° (cada lado); rotação 40° (cada lado). Fornecem **50%** da capacidade de rotação cervical

Cápsula articular	Envolve as articulações das facetas laterais	Cápsula frouxa permite rotação
Ligamento cruciforme do atlas		Possui 3 componentes e situa-se anteriormente à membrana tectória
Ligamento transverso do atlas (LTA)	Porção posterior do dente do eixo até o arco anterior do atlas	É o ligamento mais forte , mantendo o atlas e o eixo unidos. IAO < 3 mm. Lesões resultam em instabilidade entre C I-C II.
Fascículo longitudinal superior	Dente do eixo até a margem anterior do forame magno	Posterior ao ligamento do ápice do dente, estabilizador secundário.
Fascículo longitudinal inferior	Dente do eixo até o corpo do eixo	Estabilizador secundário
Ligamentos alares	Dente do eixo até os côndilos occipitais	Fortes ligamentos estabilizadores que limitam a rotação e a inclinação lateral . Lesões resultam em instabilidade C I-C II.
Ligamento do ápice do dente	Dente do eixo até a margem anterior do forame magno	Ligamento delgado que fornece mínima estabilidade
Parte mais profunda (accessória) da membrana tectória	Corpo do eixo até os côndilos occipitais	Estabilizadores secundários



LIGAMENTO

FIXAÇÕES

COMENTÁRIOS

ARTICULAÇÃO INTERVERTEBRAL

Vértebras adjacentes são unidas por um complexo de articulações menores, ligamentos, músculos e estruturas que os conectam

- Um disco intervertebral localiza-se entre os corpos vertebrais (exceto entre C I-C II e entre os segmentos sacrais fundidos)
- Articulações dos processos articulares (pares) conectam os elementos posteriores. A orientação delas é que determina o movimento intervertebral
- As “articulações uncovertebrais” (de Luschka) proveem estabilidade entre os corpos vertebrais da coluna cervical

Disco intervertebral

Corpos vertebrais adjacentes

Anel fibroso provê a **forte** união entre os corpos vertebrais adjacentes

Ligamento longitudinal anterior (LLA)

Porções anteriores de corpos vertebrais adjacentes e discos intervertebrais

Ligamento **forte** e espesso. Resiste à hiperextensão

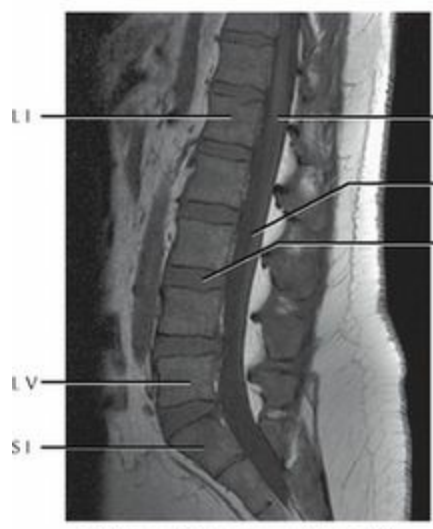
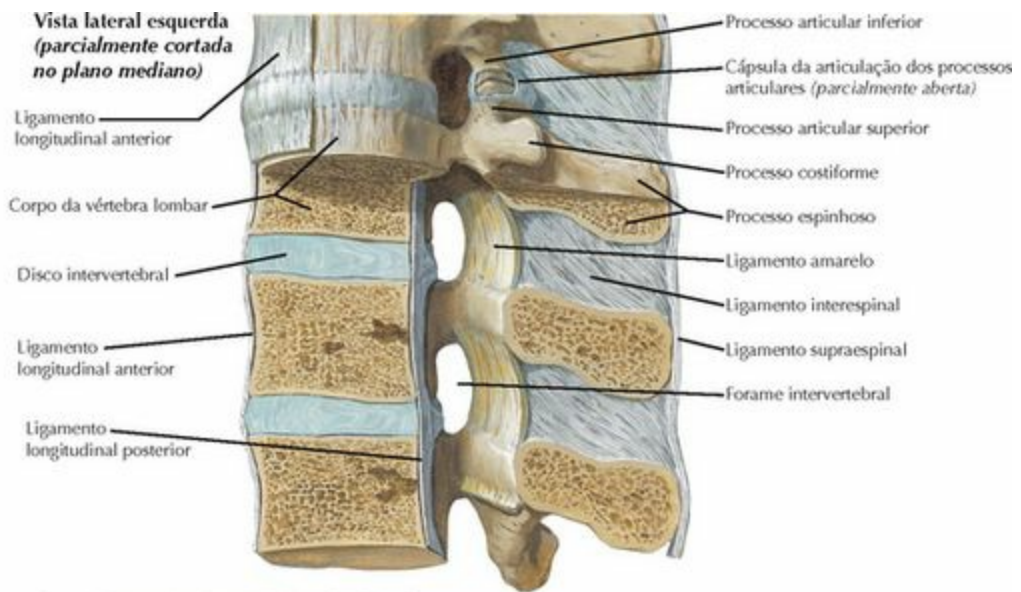
Ligamento longitudinal posterior (LLP)

Porções posteriores de corpos vertebrais adjacentes e discos intervertebrais (ao longo de toda a coluna vertebral)

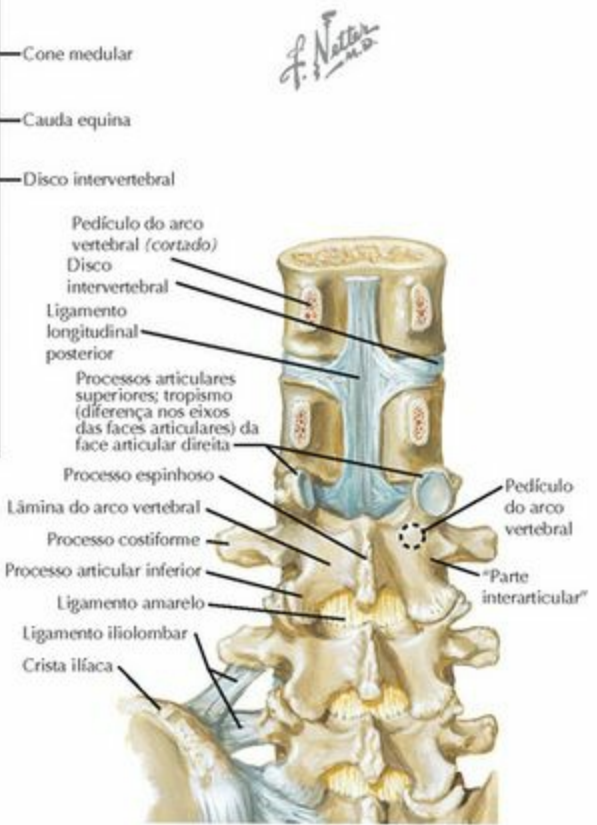
Fraco, limita a hiperflexão. Ocorre herniação dos discos intervertebrais ao redor deste ligamento
A membrana tectória é a

		continuação superior do LLP
Ligamento amarelo	Lâmina anterior do arco vertebral (da vértebra superior) para a lâmina posterior do arco vertebral (da vértebra inferior)	Forte , de cor amarelada, não é uma estrutura longa e contínua Sua hipertrofia pode contribuir para a compressão de raízes dos nervos espinais
Ligamento nugal	Protuberância occipital para o arco posterior de C I e processos espinhosos de C II-C VI	Continuação do ligamento supraespinal
Ligamento supraespinal	Processos espinhosos dorsais de C VII	Forte. Sua continuação superior é o ligamento nugal
Ligamentos interespinais	Entre os processos espinhosos	Fracos. Sofrem rupturas nas lesões ligamentares por flexão-distração
Ligamentos intertransversários	Entre os processos transversos	Ligamentos fracos que adicionam pouco suporte
Ligamentos iliolumbares	Processo transversos de L V para o ílio	Podem sofrer avulsão em fraturas pélvicas (p. ex., fratura vertical por cisalhamento)

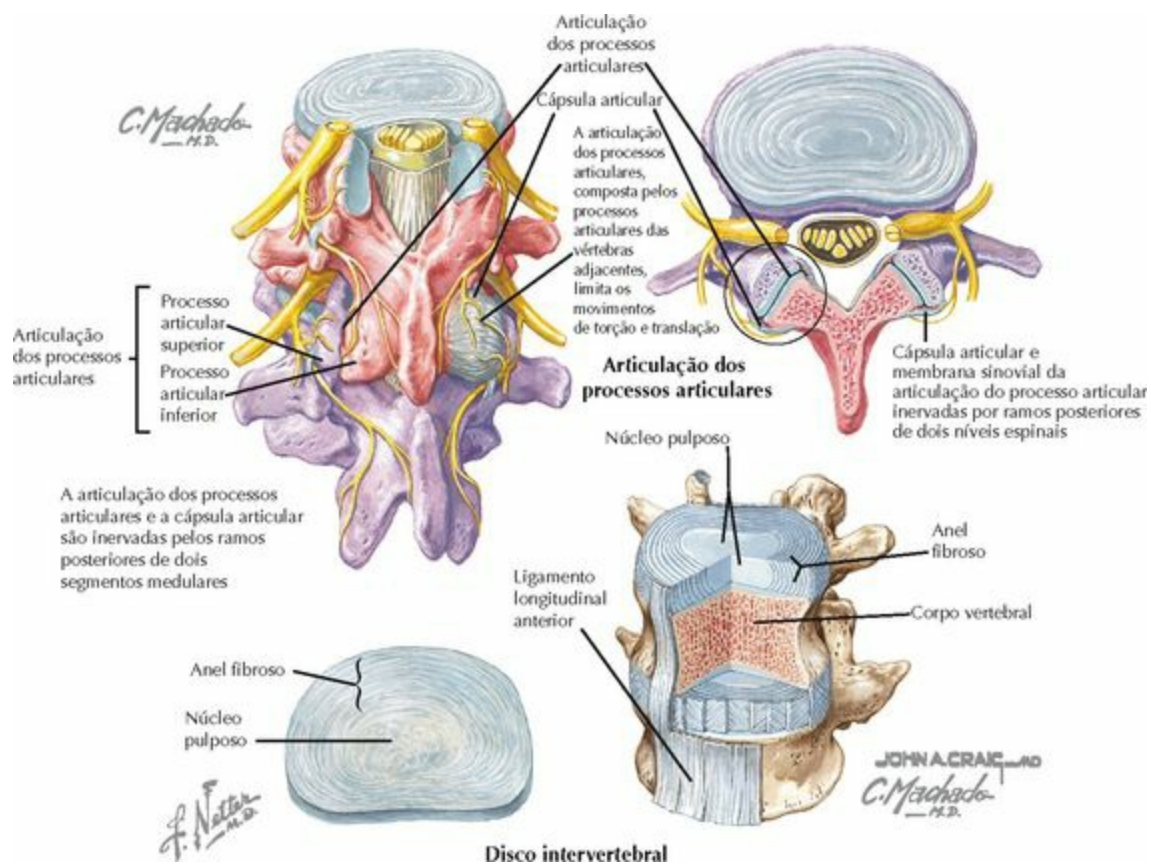
**Vista lateral esquerda
(parcialmente cortada
no plano mediano)**



RM da região lombar, vista sagital



Vista posterior



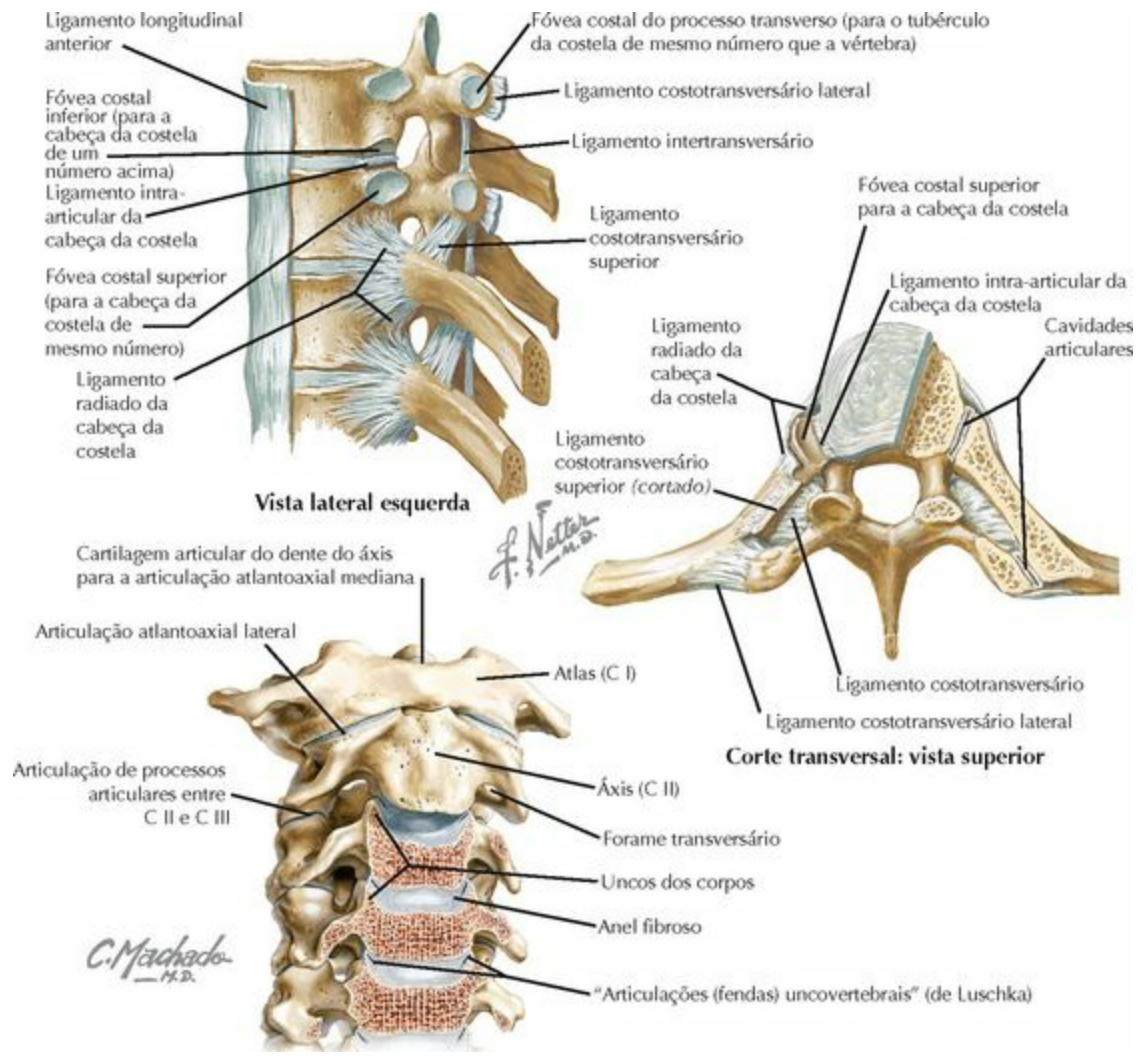
LIGAMENTO	FIXAÇÕES	COMENTÁRIOS
ARTICULAÇÃO DOS PROCESSOS ARTICULARES (ZIGOAPOFISIAIS)		
<p>Articulações pares (dir. e esq.) entre os processos articulares superiores e inferiores das vértebras adjacentes</p> <ul style="list-style-type: none"> • A orientação muda de semicoronal (região cervical) para sagital (região lombar), permitindo/determinando o movimento daquele segmento • O processo articular inferior é anterior e inferior (região cervical) e anterior e lateral (região lombar) ao processo articular superior • A inervação da articulação é feita pelos ramos posteriores de dois níveis de raízes de nervos espinais adjacentes • Alterações hipertróficas na doença degenerativa podem causar compressão da raiz do nervo espinal 		
Cápsula articular	Envolve os processos articulares	Estrutura fraca que provê pouco suporte. Pode hipertrofiar nas doenças degenerativas e estreitar os forames intervertebrais
“Disco meniscoide”	Dentro da articulação, entre os processos articulares	Pode ser lesionado ou degenerar, transformando-se em uma fonte de dor

DISCOS INTERVERTEBRAIS

Estabilizam e mantêm a coluna vertebral, ancorando os corpos vertebrais adjacentes. Permitem a flexibilidade e absorvem/distribuem energia

- Os discos perfazem 25% da altura da coluna vertebral. A degeneração dos discos com o passar da idade resulta na perda da altura total da coluna

Anel fibroso	Fortes fixações nas placas terminais dos corpos vertebrais adjacentes (por meio das fibras mais externas do anel)	<ul style="list-style-type: none"> • Duas camadas: 1. fibras externas do anel: fibras densas de colágeno tipo 1; 2. fibras mais internas do anel: fibrocartilagem, fibras mais frouxas, de colágeno tipo 2 • As fibras são orientadas obliquamente para resistirem às cargas tensivas • Camada externa inervada; rupturas em suas fibras podem causar dores nas costas (esp. L)
Núcleo pulposo	Contido dentro do anel fibroso	<ul style="list-style-type: none"> • Massa gelatinosa composta de água, proteoglicanos e colágeno tipo 2 • Resiste às cargas compressivas (mais altas quando nos sentamos inclinados para frente) • O conteúdo de água e proteoglicanos diminui com o envelhecimento • Pode sofrer herniação para fora do anel fibroso e comprimir as raízes dos nervos espinais (L4-L5 nº 1)



LIGAMENTO**FIXAÇÕES****COMENTÁRIOS****“ARTICULAÇÕES UNCOVERTEBRAIS”**

- Articulações (fendas) “de Luschka”: “articulação” na região cervical da coluna vertebral entre o unco do corpo nas placas terminais superiores côncavas do corpo vertebral inferior e a porção articular da placa terminal inferior convexa do corpo vertebral superior adjacente
- Cartilagem articular nesta articulação pode degenerar e contribuir para o desenvolvimento de **espondilose cervical**

ARTICULAÇÕES COSTOVERTEBRAIS

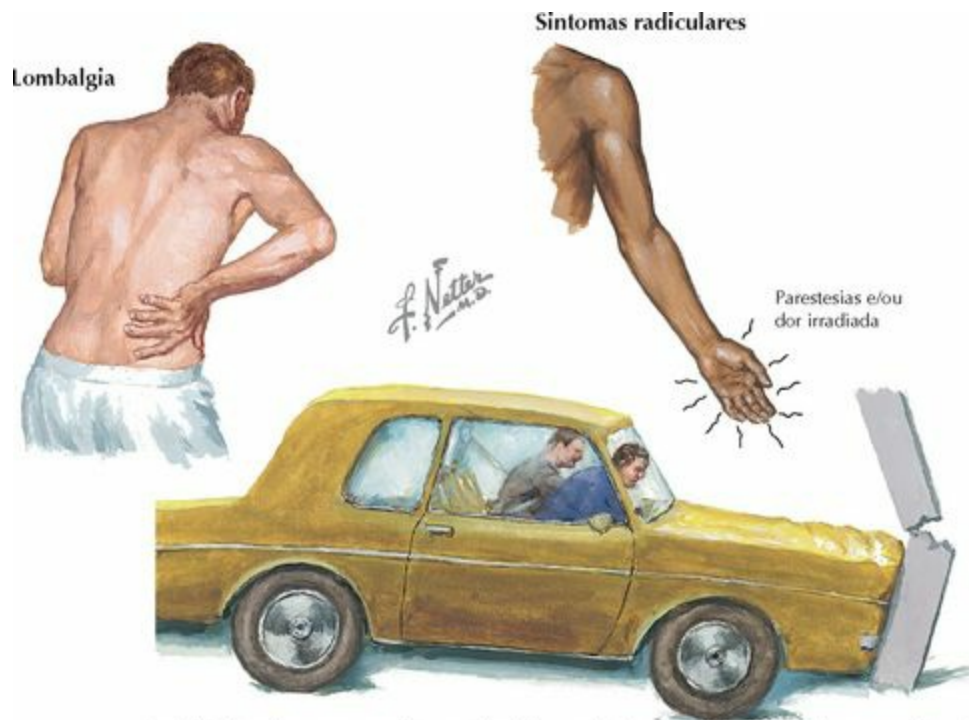
Articulação entre a cabeça da costela e a vértebra torácica (corpo vertebral e processo transversos)

Cápsula articular	Envolve a cabeça da costela e a articulação	Suporte fraco para a articulação
Ligamento intra-articular da cabeça da costela	Cabeça da costela para o corpo vertebral/disco intervertebral	Profundo ao lig. radiado da cabeça da costela
Ligamento radiado da cabeça da costela	Cabeça da costela para os corpos vertebrais e o disco intervertebral	Em forma de leque, reforça a articulação anteriormente
Ligamento costotransversário	Processo transversos para a costela	Ligamento costotransversário superior fixa-se ao processo transversos da vértebra superior

OUTROS

Forame intervertebral: Limites: *superior* e *inferior*: pedículos dos arcos vertebrais; *anterior*: corpo vertebral e discos intervertebrais (unco do corpo na região cervical da coluna vertebral); *posterior*: face articular e cápsula articular. Osteófitos, discos intervertebrais, faces articulares hipertrofiadas e o ligamento amarelo podem estreitar o forame intervertebral

HISTÓRIA DA DOENÇA ATUAL

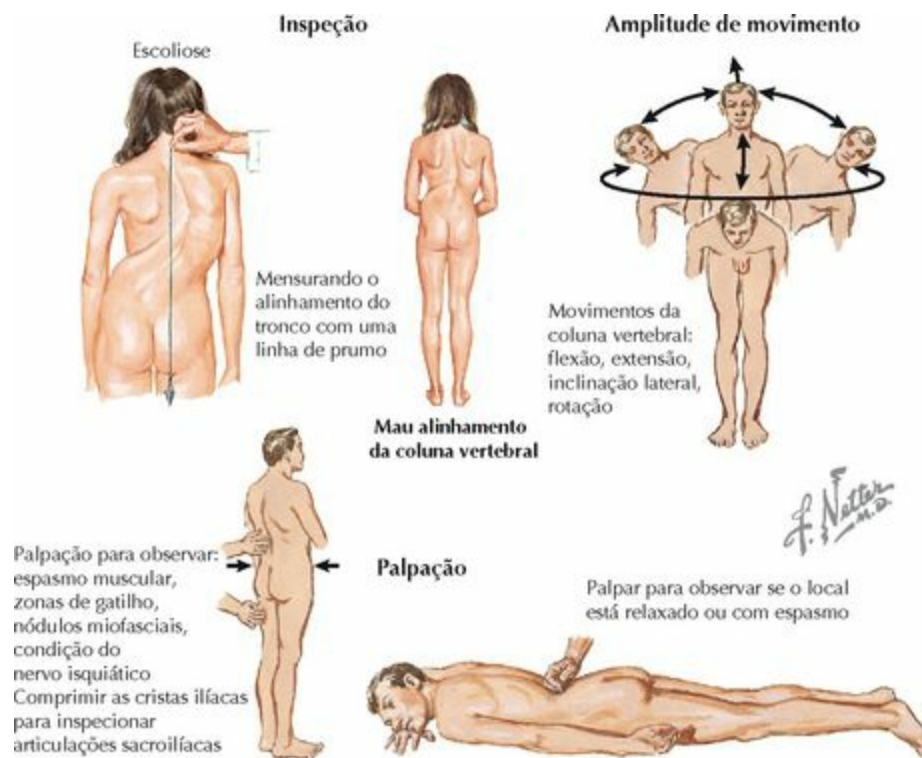


A colisão da cabeça com um objeto estacionário ou veículo em sentido oposto pode, caso o cinto de segurança não esteja sendo utilizado, levar a cabeça contra o para-brisa. Esta situação leva a uma hiperextensão repentina do pescoço, resultando em luxação com ou sem fratura de vértebras cervicais

PERGUNTA	RESPOSTA	APLICAÇÃO CLÍNICA
1. Idade	Jovem	Lesões nos discos intervertebrais, espondilolistese
	Meia-idade	Luxação/compressão, herniação do núcleo pulposo (HNP), doença degenerativa do disco intervertebral (DDD)
	Idoso	Estenose do canal vertebral, disco intervertebral herniado, DDD, espondilose
2. Dor		
a. Característica	Radiada (disparo)	Radiculopatia (HNP)
	Difusa, sem irradiar	Compressão cervical ou lombar
b. Localização	Unilateral vs. bilateral	Unilateral: HNP; bilateral: doença sistêmica ou metabólica, lesão ocupando o espaço
	Pescoço	Espondilose cervical, compressão cervical ou distensão muscular
		Espondilose cervical (+/- mielopatia),

	Braços (+/- irradiação)	HNP
	Lombar	DDD, compressão lombar, distensão muscular, espondilolistese
	Pernas (+/- irradiação)	HNP, estenose do canal vertebral
c. Ocorrência	Dor noturna	Infecção, tumor
	Em atividade	Geralmente de etiologia mecânica
d. Alívio	Braços elevados	Disco intervertebral cervical herniado (HNP)
	Posição sentada	Estenose da coluna (alívio da estenose)
e. Exacerbação	Extensão do dorso	Estenose da coluna (descendo escadas), DAD/hipertrofia dos processos articulares
3. Trauma	Acidente de trânsito (cinto de segurança)	Estiramento cervical (chicote), fraturas cervicais, lesões ligamentares
4. Atividade	Esportes (lesão por estiramento)	“Queimações/agulhadas” (especialmente no futebol americano), fraturas
5. Sintomas neurológicos	Dor, dormência, formigamento Espasticidade, desorientação Sintomas de intestino e bexigas	Radiculopatia, neuropatia, síndrome da cauda equina Mielopatia Síndrome da cauda equina
6. Queixas sistêmicas	Febre, perda de peso, suores noturnos	Infecção, tumor

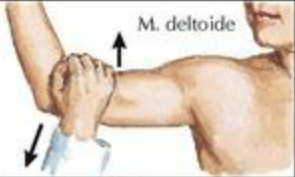


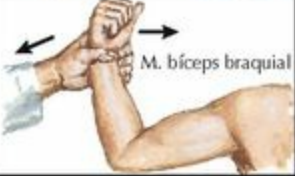


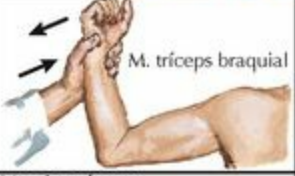





EXAME FÍSICO



EXAME	TÉCNICA	APLICAÇÃO CLÍNICA
INSPEÇÃO		
Marcha	Inclinar-se para frente Base alargada	Estenose da coluna vertebral Mielopatia
Alinhamento	Mau alinhamento	Luxação, escoliose, hiperlordose, hipercifose
Postura	Cabeça inclinada Pelve inclinada	Luxação, espasmo, espondilose, torcicolo Perda da curvatura lordótica: espasmo
Pele	Paciente despido	Manchas café com leite: possivelmente neurofibromatose Manchas vinho do porto: possivelmente espinha bífida
PALPAÇÃO		
Estruturas ósseas	Processos espinhosos	Sensibilidade focal: fratura; deslocamento; luxação; espondilolistese
Tecidos moles	Articulações dos processos articulares na região cervical Cóccix, exame via retal Músculos paravertebrais	Sensibilidade: osteoartrite, luxação Sensibilidade: fratura ou contusão Sensibilidade difusa: distensão muscular; ponto de gatilho: espasmo

AMPLITUDE DE MOVIMENTO

Flexão/extensão: cervical	Queixo no peito/cabeça para trás	Normal: Flexão: queixo a 3-4 cm do peito; extensão 70°
Flexão/extensão: lombar	Tocar os dedos dos pés com as pernas estendidas	Normal: 45°-60° em flexão, 20° a 30° em extensão
Flexão lateral: cervical	Levar a orelha em direção ao ombro	Normal: 30°-40° em cada direção
Flexão lateral: lombar	Inclinar-se para cada lado	Normal: 10°-20° em cada direção
Rotação: cervical	Estabilizar os ombros e fazer a rotação	Normal: 75° em cada direção
Rotação: lombar	Estabilizar a pelve e fazer a rotação	Normal: 5°-15° em cada direção

Nível	Sinais motores (fraqueza)	Reflexo	Perda de sensibilidade
C5	 M. deltoide	 M. bíceps braquial	
C6	 M. bíceps braquial	 M. braquiorradial	
C7	 M. tríceps braquial	 M. tríceps braquial	
C8	 Mm. interósseos	 Nenhum	

EXAME	TÉCNICA	APLICAÇÃO CLÍNICA
NEUROVASCULAR		
Região Cervical		
Sensitivo		
C5	Porção lateral do ombro	Déficit indica uma compressão/lesão da raiz do nervo espinal cervical correspondente

C6	Polegar	Déficit indica uma compressão/lesão da raiz do nervo espinal cervical correspondente
C7	Dedo médio	Déficit indica uma compressão/lesão da raiz do nervo espinal cervical correspondente
C8	Dedo anular e mínimo	Déficit indica uma compressão/lesão da raiz do nervo espinal cervical correspondente
T1	Antebraço (área ulnar) e mão	Déficit indica uma compressão/lesão da raiz do nervo espinal cervical correspondente

Motor

C5	M. deltoide: abdução resistida	Fraqueza indica uma compressão/lesão da raiz do nervo espinal cervical correspondente
C6	M. bíceps braquial: flexão resistida do cotovelo	Fraqueza indica uma compressão/lesão da raiz do nervo espinal cervical correspondente
C7	M. tríceps braquial: extensão resistida do cotovelo	Fraqueza indica uma compressão/lesão da raiz do nervo espinal cervical correspondente
C8	Mm. intrínsecos: abdução resistida dos dedos	Fraqueza indica uma compressão/lesão da raiz do nervo espinal cervical correspondente
T1		Fraqueza indica uma compressão/lesão da raiz do nervo espinal cervical correspondente

Reflexos

C5	M. bíceps braquial	Reflexo hipoativo/ausente indica radiculopatia de C5
C6	M. braquiorradial (BR)	Reflexo hipoativo/ausente indica radiculopatia de C6
C7	M. tríceps braquial	Reflexo hipoativo/ausente indica radiculopatia de C7
Radial inervado	Percutir o tendão do BR no antebraço distal	Braquiorradial hipoativo e flexão dos dedos hiperativa: mielopatia
Hoffman's	Beliscar o dedo médio (DM) com articulação interfalângica distal em flexão	Patológico se a articulação interfalângica do polegar flexionar: mielopatia

Pulsos

Braquial, radial e ulnar

Diminuído/ausente = lesão ou comprometimento vascular

Nível	Sinais motores (fraqueza)	Reflexo	Perda de sensibilidade
L4	<p>M. quadríceps femoral M. tibial anterior L4</p>	<p>Ligamento da patela ("reflexo patelar")</p>	<p>Parte medial da panturrilha/tornozelo</p>
L5	<p>M. extensor longo do hálux F. Netter M.D.</p>	Nenhum	<p>Dorso do pé e 1º espaço interdigital</p>
S1	<p>M. gastrocnêmio S1</p>	<p>Tendão do calcâneo ("reflexo do tornozelo")</p>	<p>Planta e região lateral do pé</p>

EXAME

TÉCNICA

APLICAÇÃO CLÍNICA

NEUROVASCULAR

Região Lombar

Sensitivo

L3

Parte anterior e medial da coxa

Déficit indica uma compressão/lesão da raiz do nervo espinal lombar correspondente

L4

Parte medial da perna e tornozelo

Déficit indica uma compressão/lesão da raiz do nervo espinal lombar correspondente

L5

Dorso do pé e 1º espaço interdigital

Déficit indica uma compressão/lesão da raiz do nervo espinal lombar correspondente

S1

Planta e região lateral do pé

Déficit indica uma compressão/lesão da raiz do nervo espinal lombar correspondente

S2-S4

Sensibilidade perianal

Déficit indica uma compressão/lesão da raiz do nervo espinal lombar correspondente

Motor

L3-L4

M. quadríceps femoral: extensão do joelho

Fraqueza indica uma compressão/lesão da raiz do nervo espinal lombar correspondente

L4	M. tibial anterior: flexão dorsal (FD) do tornozelo	Fraqueza indica uma compressão/lesão da raiz do nervo espinal lombar correspondente
L5	M. extensor longo do hálux: FD do hálux	Fraqueza indica uma compressão/lesão da raiz do nervo espinal lombar correspondente
S1	M. gastrocnêmio: flexão plantar (FP) do tornozelo	Fraqueza indica uma compressão/lesão da raiz do nervo espinal lombar correspondente
S2-S4	M. esfínter do ânus: compressão do ânus	Fraqueza indica uma compressão/lesão da raiz do nervo espinal lombar correspondente
Reflexos		
L4	Ligamento da patela (“reflexo patelar”)	Reflexo hipoativo/ausente indica radiculopatia de L4
S1	Tendão do calcâneo (“reflexo do tornozelo”)	Reflexo hipoativo/ausente indica radiculopatia de S1
S2-S3	M. bulbocavernoso	Reflexo hipoativo/ausente indica radiculopatia de S2-S3 ou choque medular
Babinski	Passar uma caneta ao longo da fáscia plantar	Hálux movimentada para cima: neurônio motor superior/ mielopatia
Clônus do tornozelo	Flexionar e estender rapidamente o tornozelo	Múltiplos movimentos de contração e relaxamento: neurônio motor superior/ mielopatia
Pulsos		
	Tibial posterior e dorsal do pé	Diminuído/ausente = lesão ou comprometimento vascular

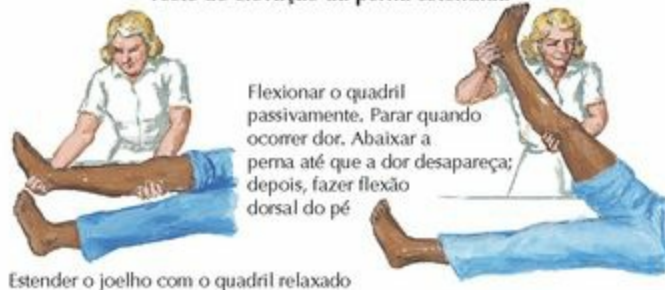
Teste de inclinação para a frente



Manobra de Spurling



Teste de elevação da perna estendida



TESTES ESPECIAIS

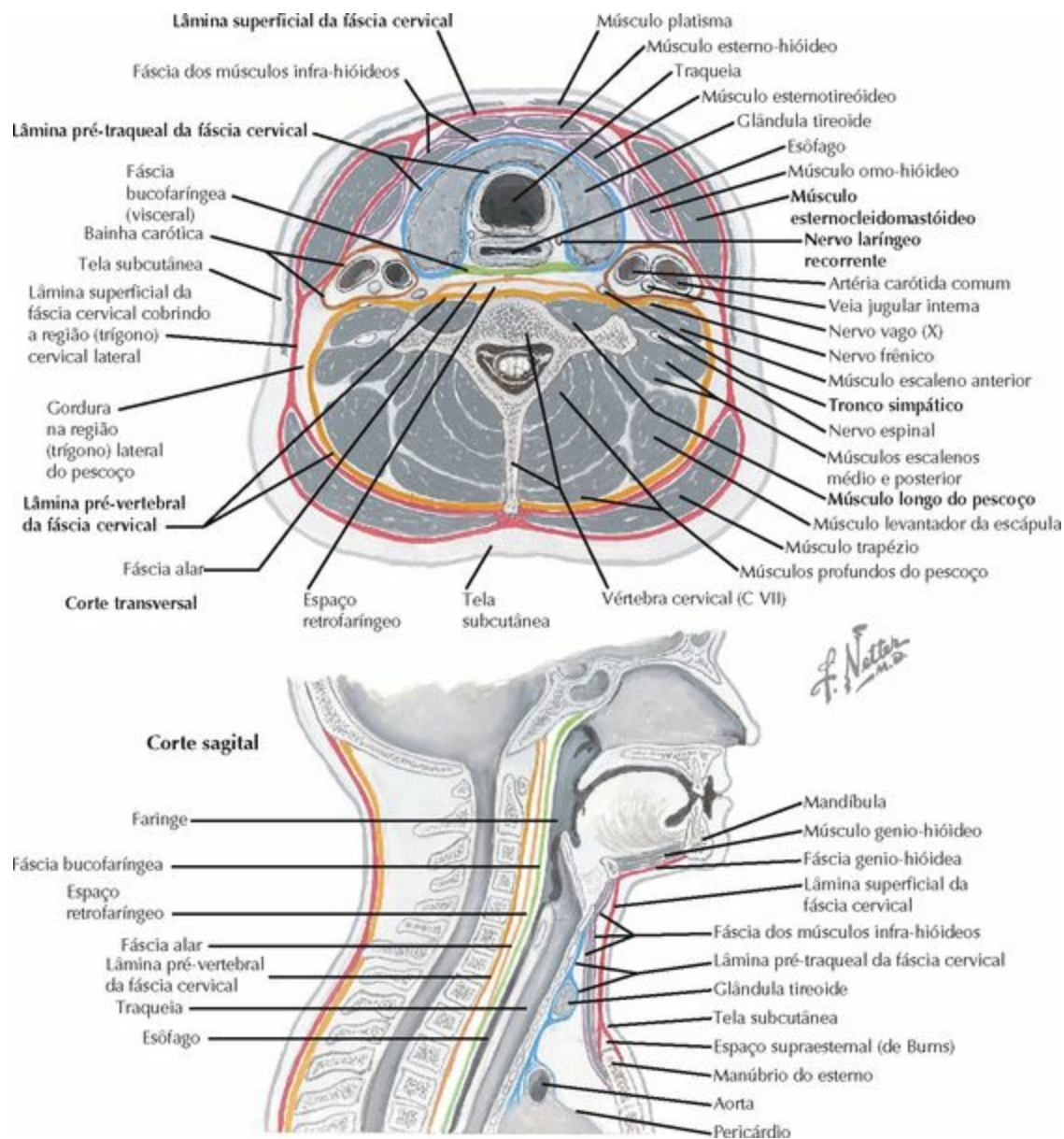
Região Cervical

Spurling	Carga axial, depois flexionar e rodar lateralmente o pescoço	Dor irradiada indica compressão da raiz do nervo espinal
Distração	Força de tração para cima	Alívio dos sintomas indica compressão do forame da raiz do nervo espinal
Kernig	Em posição supina, flexionar o pescoço	Dor nas pernas (ou irradiação de dor) indica irritação meníngea/infecção
Brudzinski	Em posição supina, flexionar o pescoço, quadril flexionado	Redução da dor com o joelho flexionado indica irritação meníngea

Região Lombar

Perna estendida	Flexionar o quadril até surgir a dor e faça dorsiflexão do pé	Quando os sintomas se reproduzem (dor que irradia para baixo do joelho) indicam radiculopatia
Perna estendida 90/90	Posição supina: flexionar o quadril e o joelho a 90°, estender o joelho	>20° de flexão = mm. isquiotibiais encurtados: fonte de dor
<i>Bowstring</i> (corda de arco)	Elevar a perna, flexionar o joelho, pressionar a região poplíteia	Dor radicular com pressão poplíteia indica o nervo isquiático como causa
Raiz sentada (sinal de “sacudir”)	Sentado: tracionar o paciente e estender passivamente o joelho	Paciente com dor “ciática” arqueará o corpo para trás quando o joelho for estendido
Inclinar-se para a frente	De pé, inclinar-se pela cintura	Assimetria do dorso (escápulas/costelas) é indicativa de escoliose
Hoover	Posição supina: mãos embaixo dos calcanhares, paciente eleva uma das pernas	A pressão deveria ser sentida embaixo do calcanhar oposto. Ausência de pressão indica pouco esforço, e não uma fraqueza real
Sinais de Waddell	A presença destes sinais indica patologia não orgânica: 1. Resposta exagerada; 2. Dor ao mínimo toque; 3. Localização não anatômica da dor; 4. Sinal de sacudir negativo com resultado positivo no teste da perna estendida	

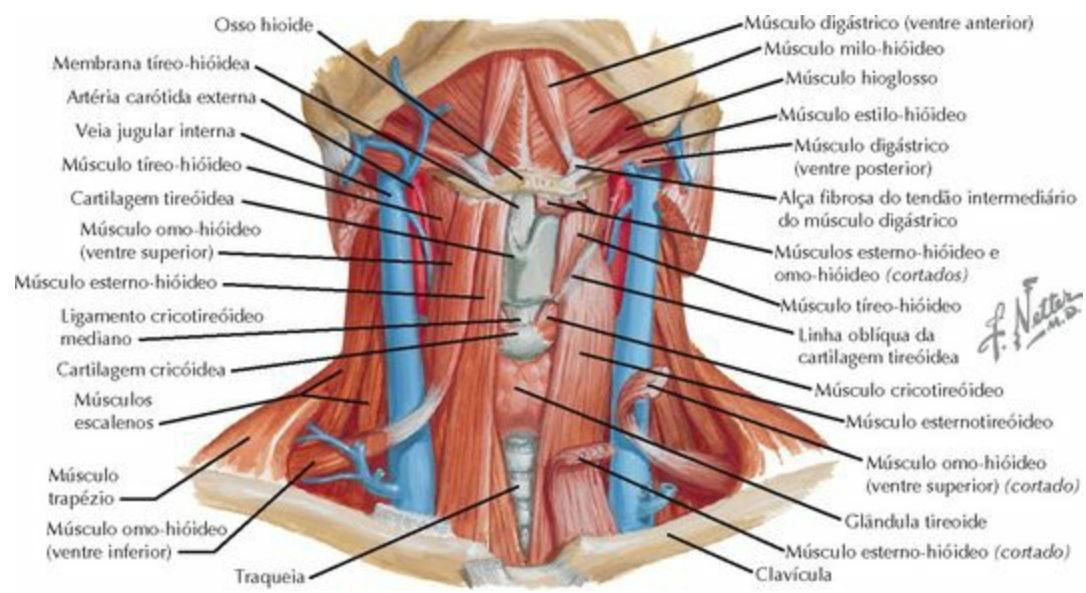
MÚSCULOS



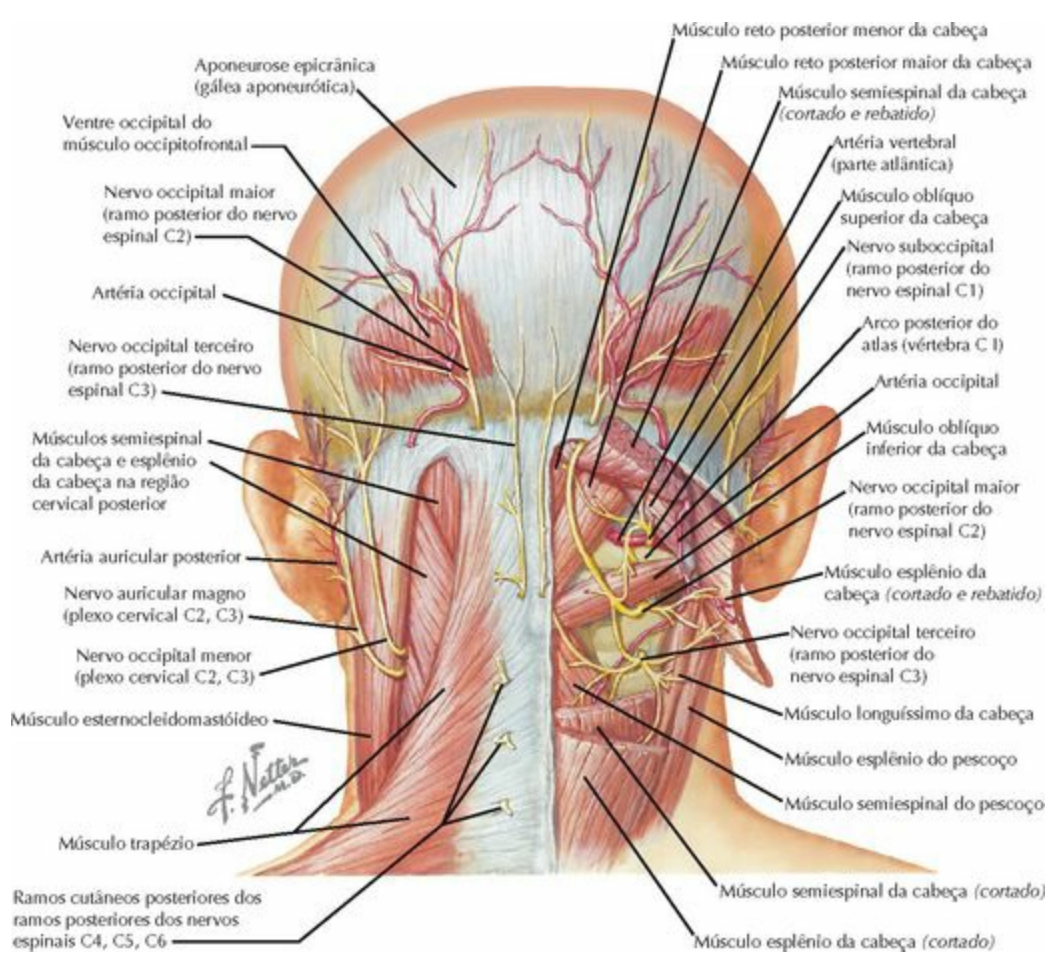
CAMADAS DE FÁSCIAS

CAMADA	CONTEÚDO	COMENTÁRIOS
M. platísmo	Músculo superficial fino	Altamente vascularizado, deve ser dividido para ter acesso à coluna cervical
Lâmina superficial da fáscia cervical	Reveste o m. esternocleidomastóideo	Faz-se uma incisão nesta fáscia em procedimentos cervicais anteriores
Lâmina pré-traqueal da fáscia	Reveste a glândula tireoide e a traqueia	Retirada da bainha carótica para ter acesso à região cervical da coluna vertebral

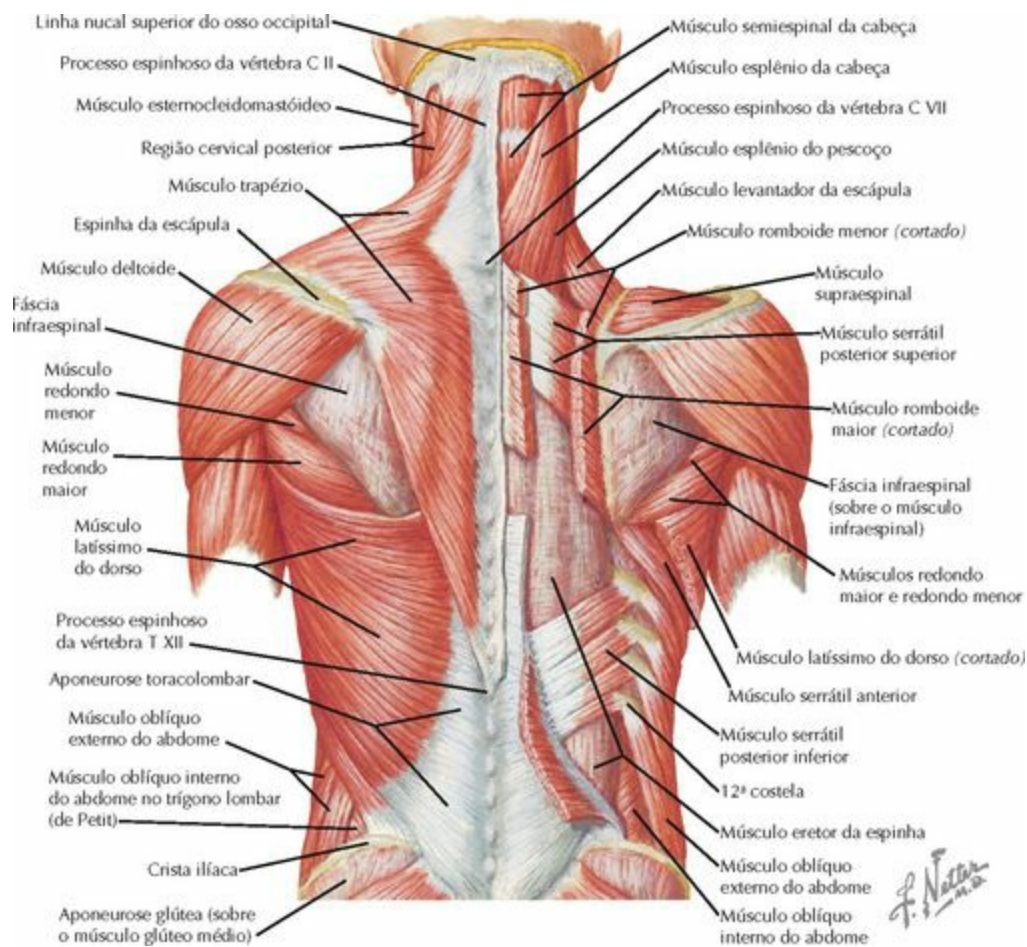
cervical		
Bainha carótica	Artéria carótida, veia jugular interna, nervo vago (NC X)	Mantida intacta e utilizada para retrair estruturas lateralmente, a menos que seja necessário o acesso às estruturas contidas na bainha
Lâmina pré-vertebral da fáscia cervical	Recobre o LLA e o músculo longo do pescoço	Camada de fáscia mais profunda, somente precisa ser incisionada para se obter acesso aos corpos vertebrais e aos discos intervertebrais



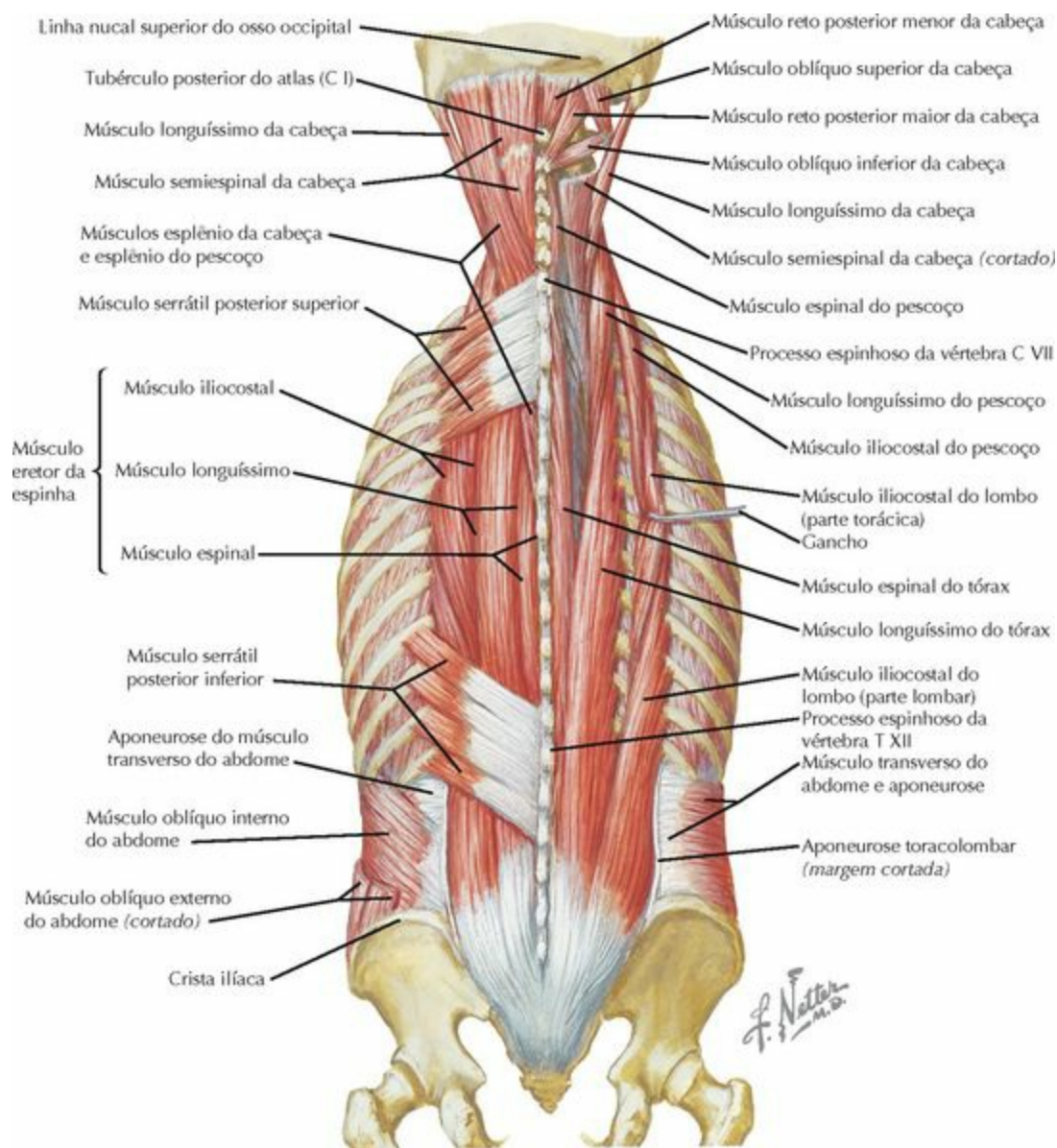
MÚSCULO	ORIGEM (Inserção Proximal)	INSERÇÃO (Inserção Distal)	AÇÃO	NERVO
FACE ANTERIOR DO PESCOÇO				
Platisma	Fáscia: deltóidea / clavipeitoral	Mandíbula e pele	Deprime a mandíbula	NC VII
Esternocleido-mastóideo	Manúbrio do esterno e clavícula	Processo mastoide	Vira a cabeça para o lado oposto	NC XI
REGIÃO CERVICAL ANTERIOR (Trígono Cervical Anterior)				
Músculos supra-hióideos				
Digástrico	Anterior: mandíbula Corpo do osso hioide	Eleva o osso hioide e deprime a mandíbula	Anterior: n. milo-hióideo (NC V)	Posterior: incisura mastóidea Posterior: n. facial (NC VII)
Milo-hióideo	Mandíbula	Rafe milo-hióidea e osso hioide	Idem ao anterior	N. milo-hióideo (NC V)
Estilo-hióideo	Processo estiloide	Corpo do osso hioide	Eleva o osso hioide	Nervo facial (NC VII)
Genio-hióideo	Espinha geniana da mandíbula	Corpo do osso hioide	Eleva o osso hioide	C1 via NC XII
Músculos infra-hióideos				
Superficiais				
Esterno-hióideo	Manúbrio do esterno e clavícula	Corpo do osso hioide	Deprime o osso hioide	Alça cervical
Omo-hióideo	Incisura supraescapular	Corpo do osso hioide	Deprime o osso hioide	Alça cervical
Profundos				
Tíreo-hióideo	Cartilagem tireóidea	Corno maior do osso hioide	Deprime hioide/laringe	C1 via NC XII
Esternotireóideo	Manúbrio do esterno	Cartilagem tireóidea	Deprime e retrai hioide/laringe	Alça cervical (C1-C3)



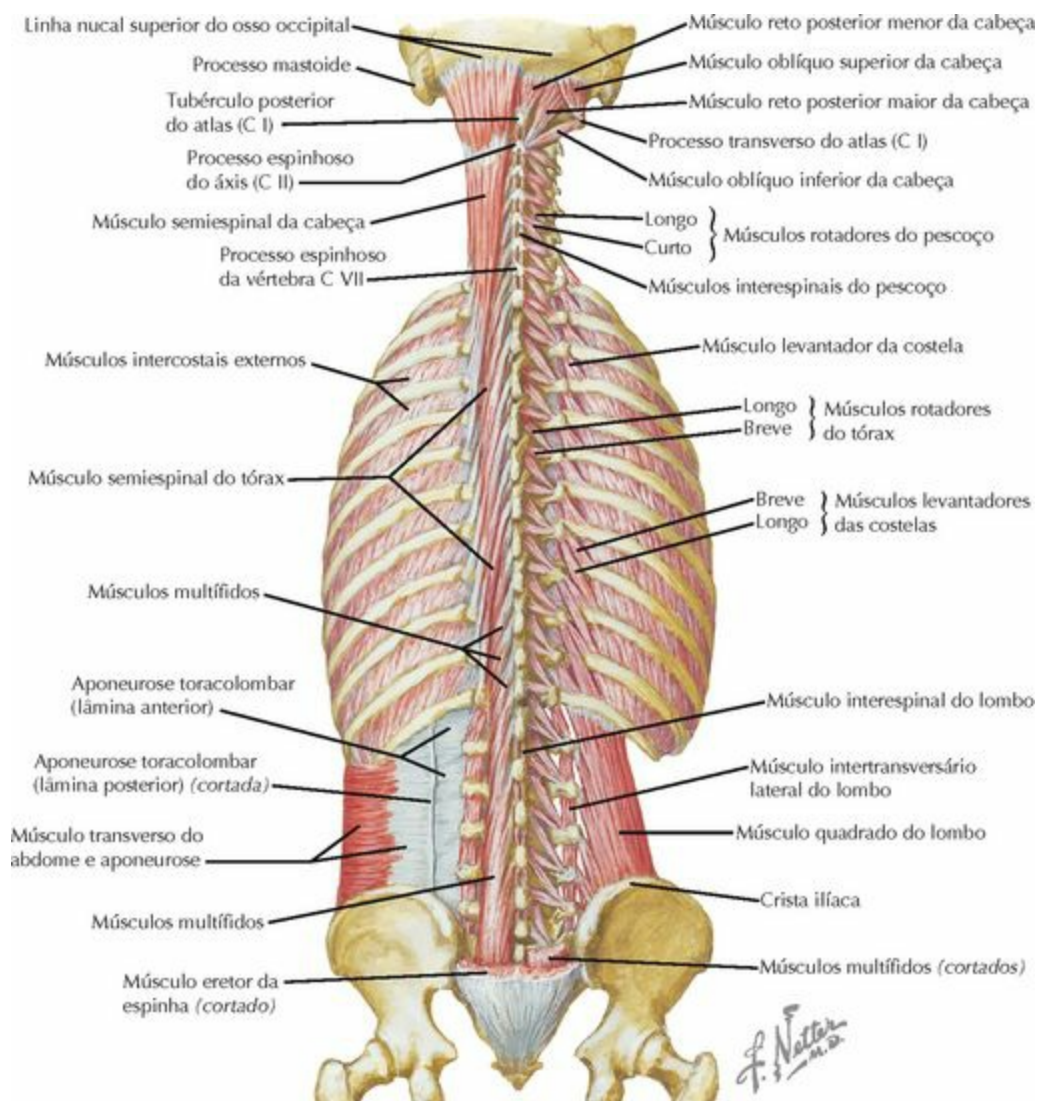
MÚSCULO	ORIGEM (Inserção Proximal)	INSERÇÃO (Inserção Distal)	AÇÃO	NERVO
REGIÃO CERVICAL LATERAL (Trígono Cervical Lateral ou "Posterior")				
Escalenos				
Anterior	Processos transversos C III-C VI	1ª costela	Flexionam lateralmente o pescoço e elevam a 1ª ou a 2ª costela	Raízes dos nervos espinais de C5-C8
Médio	Processos transversos C II-C VII	1ª costela		
Posterior	Processos transversos C IV-C VI	2ª costela		
Região Cervical Posterior ("Trígono Suboccipital")				
Reto posterior maior da cabeça	Processo espinhoso do áxis	Linha nucal inferior	Extensão, rotação e flexão lateral da cabeça	Nervo suboccipital
Reto posterior menor da cabeça	Tubérculo posterior do atlas	Osso occipital	Extensão, flexão lateral da cabeça	Nervo suboccipital
Oblíquo superior da cabeça	Processo transverso do atlas	Osso occipital	Extensão, rotação e flexão lateral da cabeça	Nervo suboccipital
Oblíquo inferior da cabeça	Processo espinhoso do áxis	Processo transverso do atlas	Extensão, rotação lateral da cabeça	Nervo suboccipital
M. semiespinal, ver pág. 58; M. esplênio, ver pág. 57				



MÚSCULO	ORIGEM (Inserção Proximal)	INSERÇÃO (Inserção Distal)	AÇÃO	NERVO
MÚSCULOS DO DORSO (EXTRÍNSECOS)				
Trapézio	Processos espinhosos de C VII-T XII	Clavícula; escápula (espinha e acrômio)	Rotação da escápula	NC XI
Latíssimo do dorso	Processos espinhosos de T VI-S V	Úmero	Extensão, adução e rotação medial (RM) do braço	N. toracodorsal
Levantador da escápula	Processos transversos de C I-C IV	Porção medial da escápula	Eleva a escápula	N. dorsal da escápula e ramos posteriores dos nervos espinais C3 e C4
Romboide menor	Processos espinhosos de C VII-T I	Espinha da escápula	Aduz a escápula	N. dorsal da escápula
Romboide maior	Processos espinhosos de T II-T V	Margem medial da escápula)	Aduz a escápula	N. dorsal da escápula
Serrátil posterior superior	Processos espinhosos de C VII-T III	2ª-5ª costelas (margens superiores)	Eleva as costelas	N. intercostal (T1-T4)
Serrátil posterior inferior	Processos espinhosos de T XI-L III	9ª-12ª costelas (margens inferiores)	Depriime as costelas	N. intercostal (T9-T12)



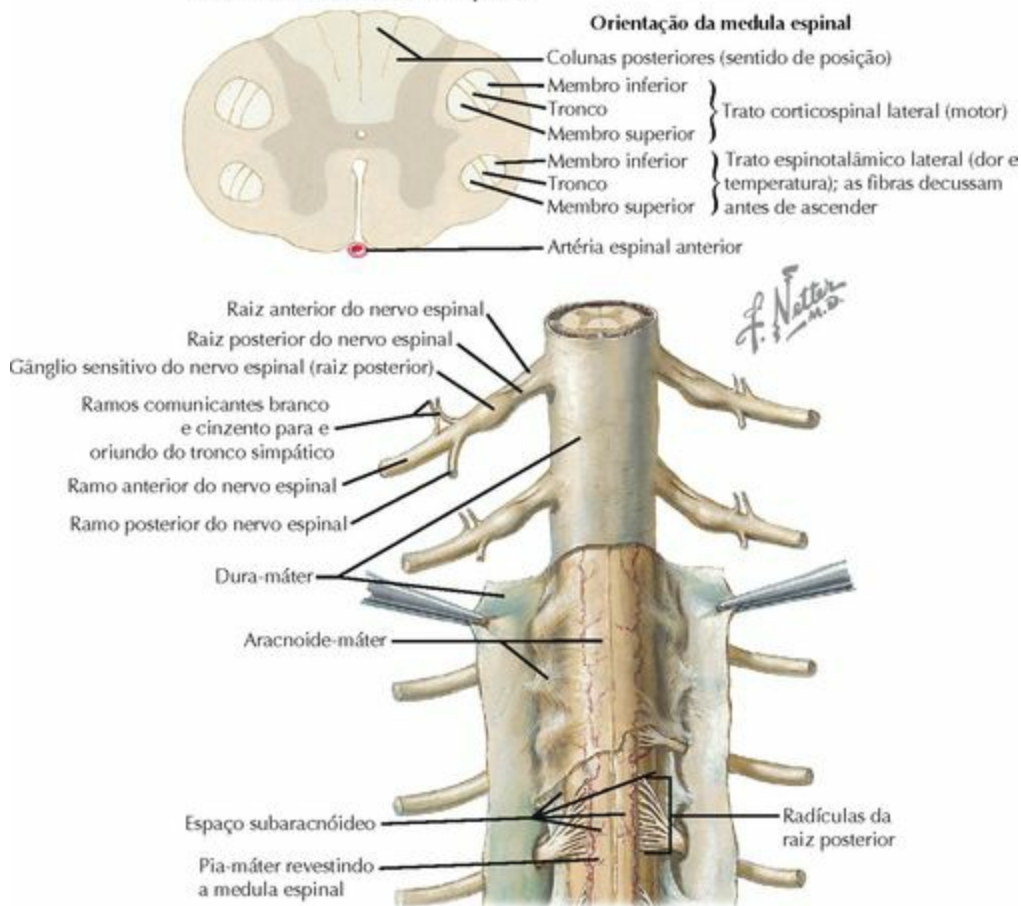
MÚSCULO	ORIGEM (Inserção Proximal)	INSERÇÃO (Inserção Distal)	AÇÃO	NERVO
MÚSCULOS PRÓPRIOS DO DORSO (INTRÍNSECOS)				
Camada Superficial: Grupo dos Mm. Espinotransversais				
Esplênio da cabeça Esplênio do pescoço	Ligamento nucal Processos espinhosos de T I-T VI	Processo mastoide e linha nucal Processos transversos de C I-C IV	Ambos: flexão lateral e rotação do pescoço para o lado da contração	Ramos posteriores dos nervos espinais cervicais inferiores
Camada Intermédia: Grupo Sacroespinal (M. Eretor da Espinha)				
Iliocostal Longuíssimo Espinal	Origem comum: sacro, crista ilíaca, processos espinhosos das vértebras lombares	Costelas Processos espinhosos das vértebras torácicas e cervicais, processo mastoide Processos espinhosos das vértebras da região torácica	Flexão lateral, extensão e rotação da cabeça e da coluna vertebral (para o mesmo lado)	Ramos posteriores dos nervos espinais
Todos esses músculos apresentam três partes: do tórax, do pescoço e da cabeça				



MÚSCULOS	ORIGEM (Inserção Proximal)	INSERÇÃO (Inserção Distal)	AÇÃO	NERVO
MÚSCULOS PRÓPRIOS DO DORSO (INTRÍNSECOS)				
Camada Profunda: Grupo Transversoespinal				
Semiespinal da cabeça	Processos transversos: T I-T VI	Linha nucal	Extensão da cabeça	Ramos posteriores primários
Semiespinal do pescoço e do tórax	Processos transversos	Processos espinhosos	Extensão, rotação para o lado oposto	Ramos posteriores primários
Multifídeos (C II-S IV)	Processos transversos	Processos espinhosos	Flexão lateral, rotação para o lado oposto	Ramos posteriores primários
Rotadores	Processos transversos	Processos espinhosos + 1	Rotação da vértebra superior para o lado oposto	Ramos posteriores primários
Levantadores das costelas	Processos transversos	Curto: costela – 1 Longo: costela – 2	Elevação das costelas durante a inspiração	Ramos posteriores primários
Interespiniais	Processos espinhosos	Processos espinhosos + 1	Extensão da coluna vertebral	Ramos posteriores primários
Intertransversários	Processos transversos	Processos transversos + 1	Flexão lateral da coluna vertebral	Ramos posteriores primários

NERVOS

Lesão da Parte Cervical da Medula Espinal: Síndromes Medulares Incompletas



TRATO

FUNÇÃO

COMENTÁRIO

MEDULA ESPINAL

- Estende-se do tronco encefálico até o cone medular (término em L I) dentro do canal vertebral, no qual está protegida
- O filamento terminal e a cauda equina (raízes dos nervos espinais lombares e sacrais) continuam no canal vertebral
- Apresenta um revestimento em camadas (membranas): dura-máter, aracnoide-máter e pia-máter
- É formada por múltiplos tratos e colunas ascendentes (sensitivas) e descendentes (motoras)
- Apresenta-se mais alargada nas regiões cervical e lombar da coluna vertebral, onde as raízes formam plexos para inervarem as extremidades superiores e inferiores
- Raízes dos nervos espinais pares (direita e esquerda) emergem de cada nível vertebral. As raízes dos nervos espinais são formadas por componentes anteriores (motores) e posteriores (sensitivos)
- Suas lesões podem ser completas ou incompletas (veja [pág. 42](#) para lesões da medula espinal)

Vias Descendentes (Motoras)

Trato corticospinal

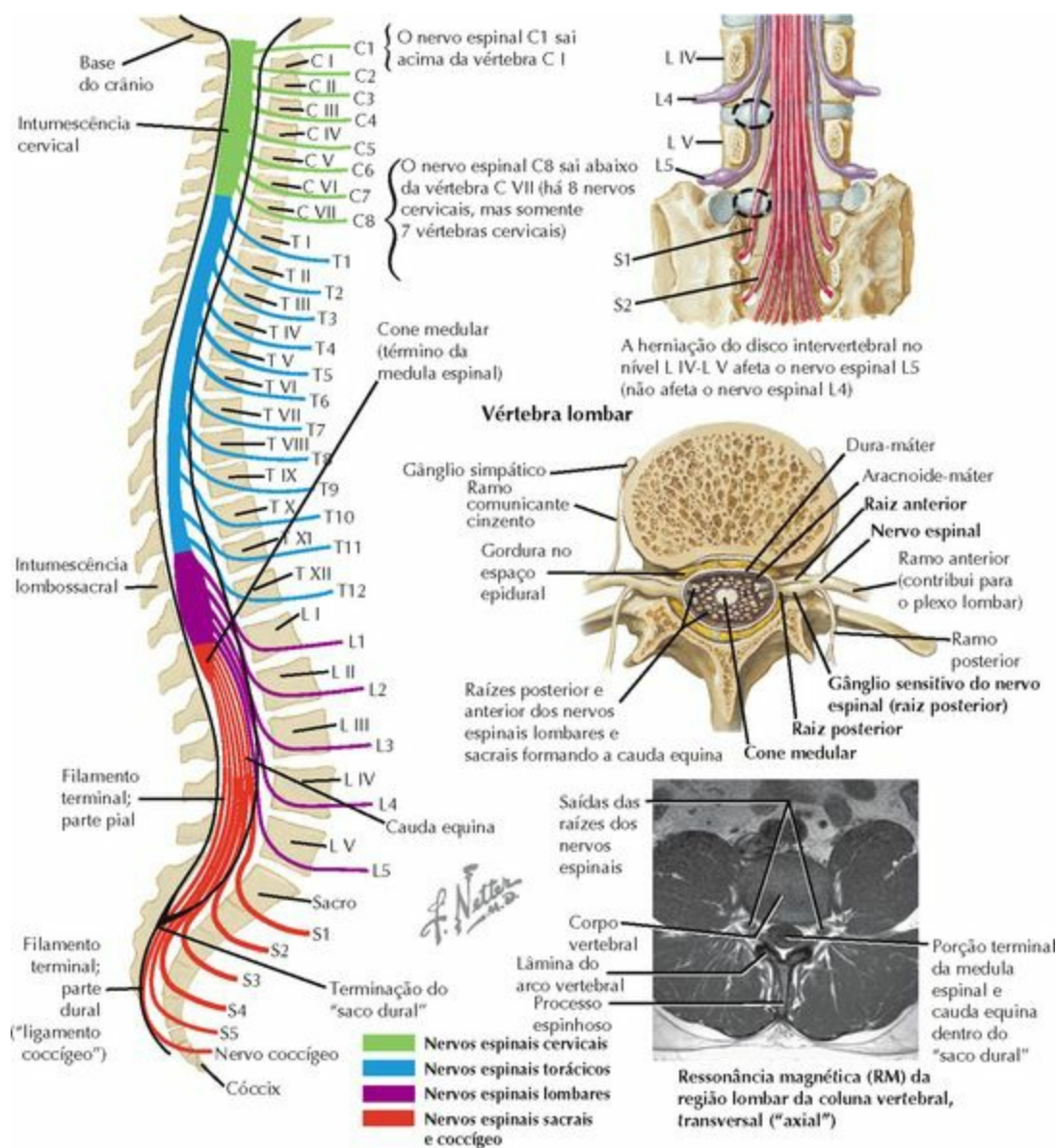
Inervação por neurônios motores – movimento

Menor via motora, lesionada na síndrome da

anterior	voluntário	medula anterior
Trato corticospinal lateral	Inervação por neurônios motores – movimento voluntário	Via motora principal, lesionada na síndrome de Brown-Sequard

Vias Ascendentes (Sensitivas)

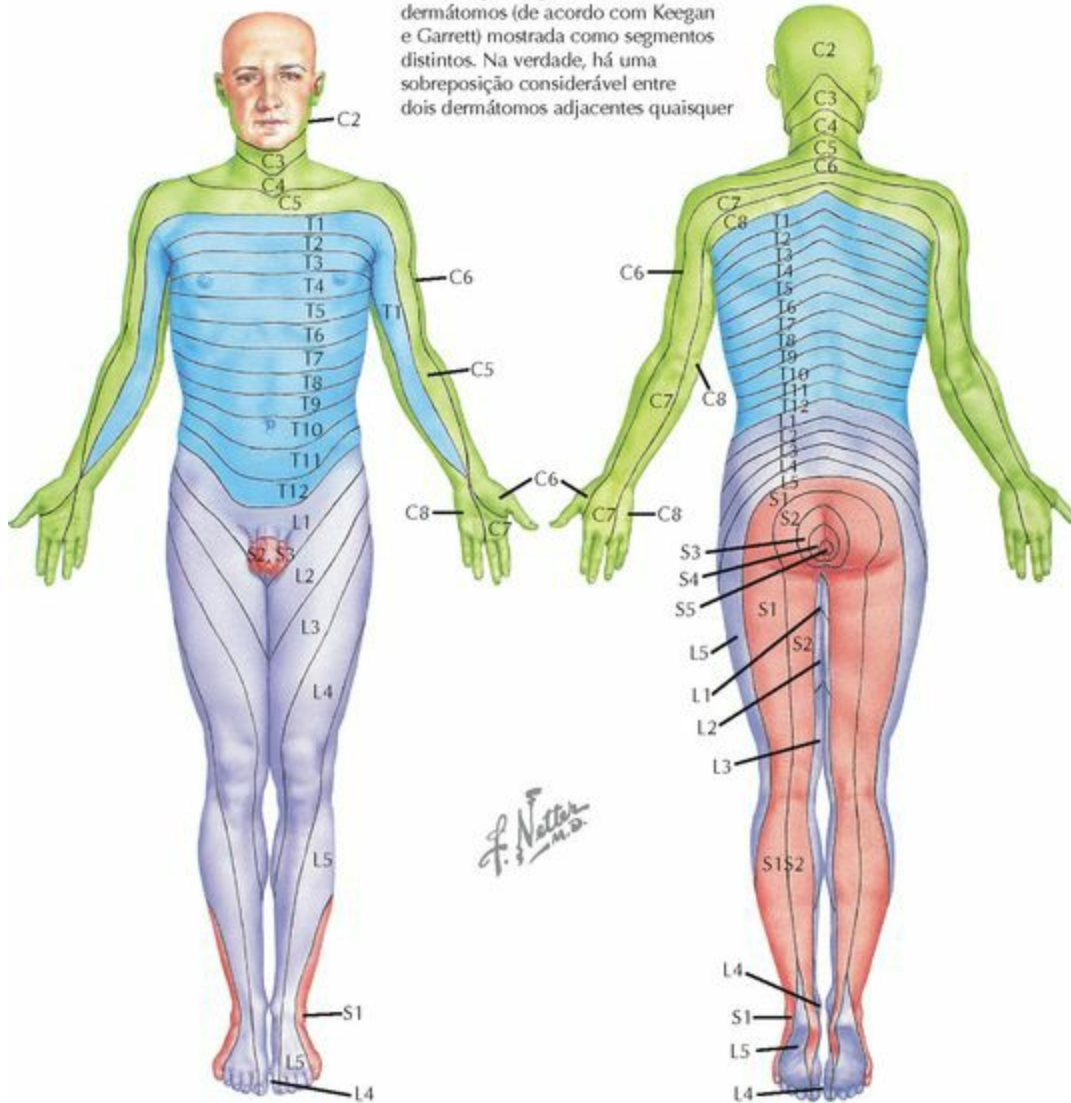
Trato espinotalâmico anterior	Sensibilidade ao toque	Trato lesionado na síndrome medular anterior
Trato espinotalâmico lateral	Sensação de dor e de temperatura	Trato lesionado na síndrome de Brown-Sequard
Colunas dorsais	Propriocepção e sensação vibratória	Normalmente são preservadas, mas podem ser lesionadas na síndrome medular posterior



NERVOS ESPINAIS

- Os nervos espinais são formados por uma raiz anterior (motora) e uma raiz posterior (sensitiva). Há 31 pares de nervos espinais (direitos e esquerdos)
- Os corpos celulares dos nervos sensitivos encontram-se nos gânglios sensitivos dos nervos espinais das raízes posteriores. Os corpos celulares dos nervos motores encontram-se no corno anterior da medula espinal
- As raízes dos nervos espinais deixam a coluna vertebral através dos forames intervertebrais (abaixo dos pedículos dos arcos vertebrais); (os nn. C1-C7 saem acima dos níveis de suas vértebras, os nn. C8-L5 saem abaixo dos níveis de suas vértebras [C7 sai por cima e C8 sai por baixo da **vértebra C VII**])
- Os nervos espinais podem ser comprimidos por discos intervertebrais herniados, osteófitos e tecidos moles hipertrofiados (ligamento amarelo, cápsula da articulação dos processos articulares). Na região lombar da coluna vertebral, o nervo “**transverso**” geralmente é afetado, enquanto a raiz do nervo espinal que passa pelo forame intervertebral normalmente não sofre compressão (exceto na compressão lateral a distância)
- Os nervos espinais lombares e sacrais formam a cauda equina no canal vertebral antes de a deixarem
- Os nervos espinais dividem-se em dois ramos: anterior e posterior. Os ramos posteriores inervam estruturas locais (musculatura do pescoço e do dorso, pele sobrejacente, cápsulas articulares etc.). Os ramos anteriores contribuem para a formação dos plexos (p. ex., cervical, braquial, lombossacral), tornando-se nervos periféricos para as extremidades
- Geralmente nos referimos aos ramos anteriores dos nervos espinais como “raízes nervosas”. Essas raízes juntam-se para formar os diversos plexos

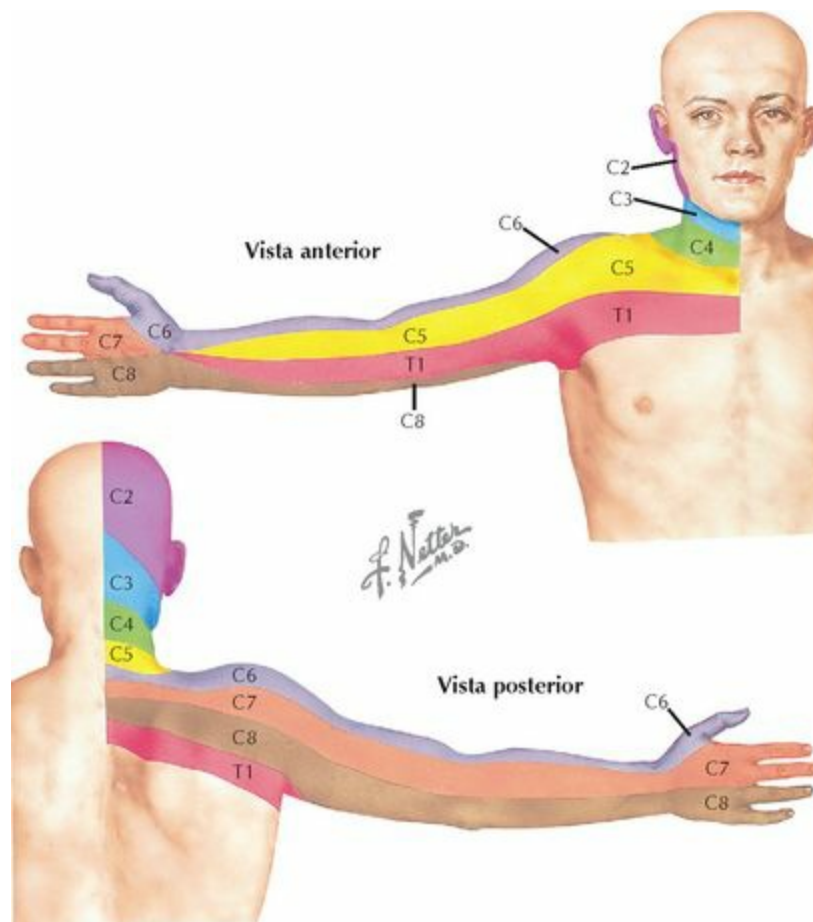
Demarcação esquemática dos dermatômos (de acordo com Keegan e Garrett) mostrada como segmentos distintos. Na verdade, há uma sobreposição considerável entre dois dermatômos adjacentes quaisquer



Níveis dos principais dermatômos

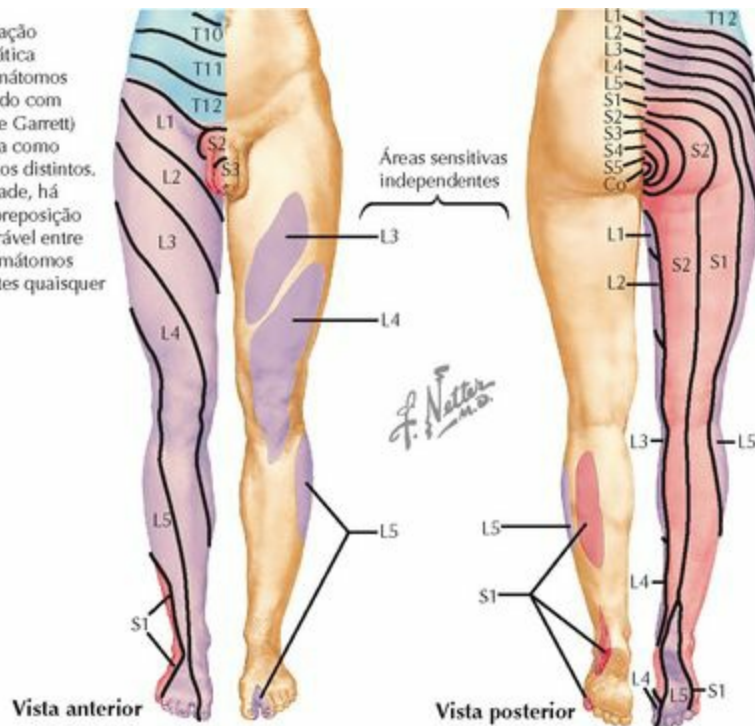
- C5 Clavículas
- C5, C6, C7 Partes laterais dos membros superiores
- C8, T1 Partes mediais dos membros superiores
- C6 Polegar
- C6, C7, C8 Mão
- C8 Dedos anular e mínimo
- T4 Nível das papilas mamárias (mamilos)

- T10 Nível do umbigo
- L1 Região inguinal (virilha)
- L1, L2, L3, L4 Regiões anterior e medial dos membros inferiores
- L4, L5, S1 Pé
- L4 Parte medial do hálux
- S1, S2, L5 Regiões posterior e lateral dos membros inferiores
- S1 Margem lateral do pé e do dedo mínimo
- S2, S3, S4 Périneo

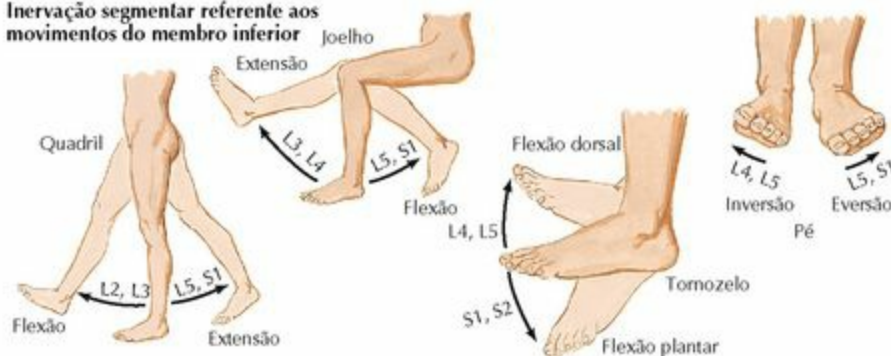


NÍVEL	MOTOR	SENSIBILIDADE	REFLEXO	COMENTÁRIO
RAÍZES DOS NERVOS ESPINAIS CERVICAIS				
C1	M. genio-hióideo M. tíreo-hióideo M. reto da cabeça	Nenhuma	Nenhum	Parte do plexo cervical contribui para a alça cervical
C2	M. longo do pescoço/ cabeça	Escalpo parietal	Nenhum	Inervação muscular via ramos dorsais
C3	Diafragma	Escalpo occipital	Nenhum	Contribui para os nervos frênico e dorsal da escápula
C4	Diafragma	Base do pescoço	Nenhum	Ramos para os nervos frênico e dorsal da escápula e músculo levantador da escápula
C5	M. deltoide	Região lateral do ombro e braço	Bicipital	Ramos do n. dorsal da escápula da raiz de C5
C6	M. bíceps braquial M. extensor radial longo do carpo, m. extensor radial curto do carpo	Região lateral do antebraço e polegar	Braquiorradial	Raiz de nervo espinal cervical mais comumente afetada
C7	M. tríceps braquial M. flexor radial do carpo, m. flexor ulnar do carpo	Antebraço posterior, região central da mão, dedo médio	Tricipital	Saída acima da vértebra C VII
C8	M. flexor superficial dos dedos, m. flexor profundo dos dedos	Antebraço medial, dedos da região ulnar	Nenhum	Saída abaixo da vértebra C VII
T1	Mm. interósseos	Parte medial do braço	Nenhum	Única raiz torácica no plexo braquial

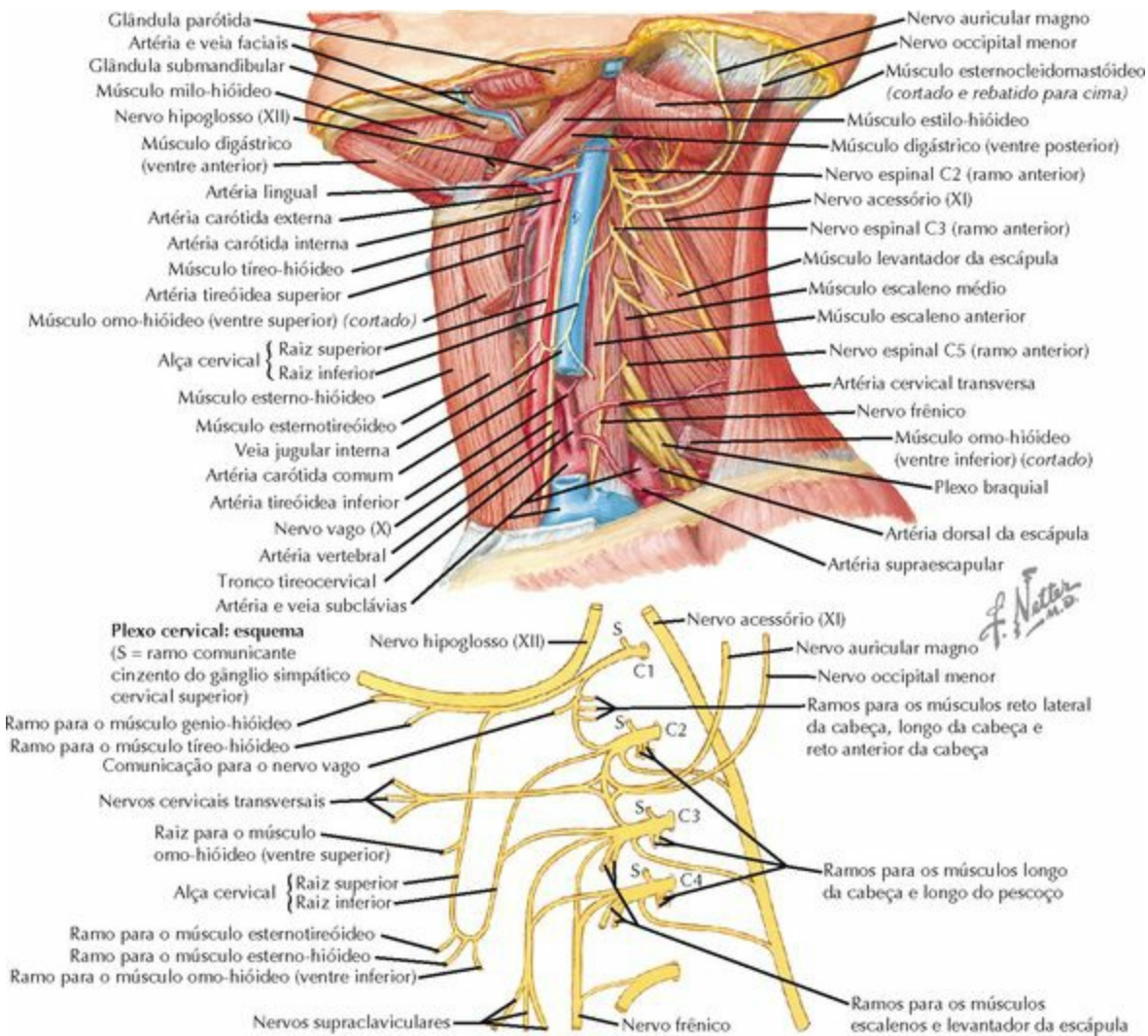
Demarcação esquemática dos dermatômos (de acordo com Keegan e Garrett) mostrada como segmentos distintos. Na verdade, há uma sobreposição considerável entre dois dermatômos adjacentes quaisquer



Inervação segmentar referente aos movimentos do membro inferior



NÍVEL	MOTOR	SENSIBILIDADE	REFLEXO	COMENTÁRIO
RAÍZES DOS NERVOS ESPINAIS LOMBOSSACRAIS				
L1	M. transverso do abdome M. oblíquo interno do abdome	Região inguinal	Nenhum	Raiz do nervo espinal raramente lesionada
L2	M. psoas	Região alta da coxa	Nenhum	Teste por meio da flexão do quadril
L3	M. quadríceps femoral	Coxa anterior e medial	Nenhum	L3 e L4 são testadas por meio do quadríceps
L4	M. tibial anterior	Parte medial da perna, tornozelo e pé	Patelar	Teste com dorsiflexão do tornozelo
L5	M. extensor longo do hálux	Pé (dorso e planta), 1º espaço interdigital, perna lateral	Mm. isquio-tibiais	Raiz lombar comprimida mais frequentemente; teste por meio da flexão dorsal do hálux
S1	M. gastrocnêmio	Região lateral do pé, região posterior da perna	Aquiles	Teste por meio da flexão plantar do tornozelo e andar na ponta do pé
S2-S4	M. esfíncter externo do ânus	Sensibilidade perianal	Compressão anal	Testar o tônus para avaliar a possibilidade de síndrome da cauda equina .



PLEXO CERVICAL

Ramos ventrais de C1-C4 (atrás da v. jugular interna e do m. esternocleidomastóideo)

Nervo occipital menor (C2-C3): emerge da margem posterior do m. esternocleidomastóideo

Nervos supraclaviculares (C3-C4): dividem-se em 3 ramos: mn. supraclaviculares mediais, intermédios e laterais

Sensitivo: região superior atrás da orelha

Sensitivo: sobre a clavícula, m. trapézio e m. deltoide

Motor: nenhum

Motor: nenhum

Nervo auricular magno (C2-C3): saída inferior ao nervo occipital menor; ascende no m. esternocleidomastóideo

Alça cervical (C1-C3): as raízes superior (C1-C2) e inferior (C2-C3) formam a alça

Sensitivo: Sobre a glândula parótida e atrás da orelha externa

Sensitivo: nenhum

Motor: nenhum

Motor: m. omo-hióideo; m. esterno-hióideo; m. esternotireóideo

Nervo frênico (C3-C5): no escaleno

Nervo cervical transverso (C2-C3): saída inferior ao nervo auricular magno, depois, em direção à região anterior do pescoço

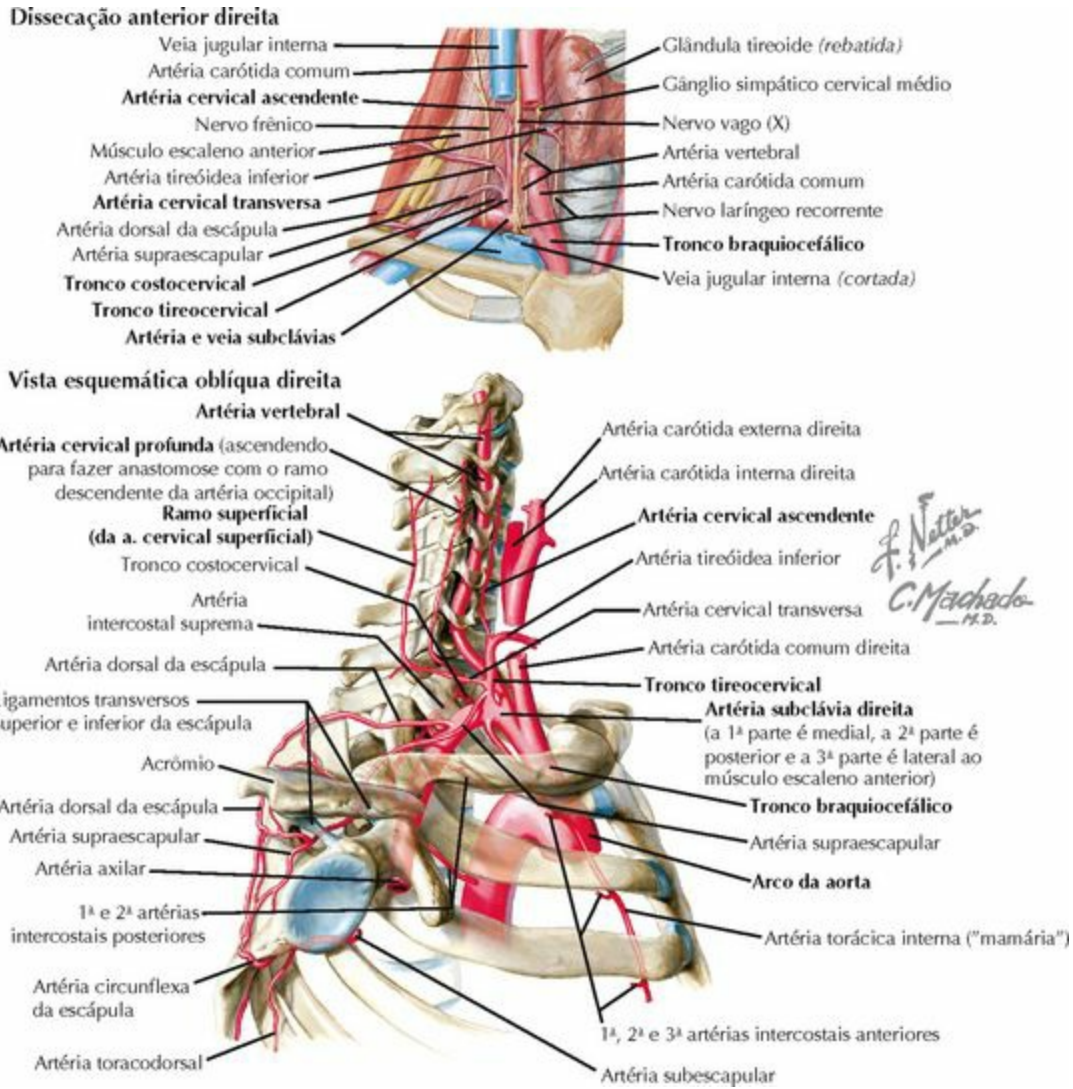
anterior, por dentro do tórax, entre a artéria e a veia subclávias

Sensitivo: pericárdio e parte mediastinal da pleura

Sensitivo: região (trígono) cervical anterior
Motor: nenhum

Motor: diafragma

ARTÉRIAS



TRAJETO	RAMOS	COMENTÁRIO/IRRIGAÇÃO
ARTÉRIA SUBCLÁVIA		
Seus ramos deixam a aorta (esquerda) ou o tronco braquiocéfálico (direito), entre os músculos escalenos (anterior e médio)	Artérias vertebrais (dir. e esq.)	Principal suprimento arterial da região cervical da coluna vertebral e da medula espinal
	Tronco tireocervical	Possui 4 ramos primários
	A. cervical ascendente	Seus ramos correm junto ao nervo frênico , nos músculos escalenos anteriores
	A. cervical transversa	A artéria vertebral cruza o trígono cervical lateral (escalenos etc.)

A. cervical profunda

Deixa o tronco costocervical e faz anastomose com a artéria occipital

ARTÉRIA VERTEBRAL

Entra nos forames transversários de C VI até C I, depois corre em um sulco no atlas; em seguida, dirige-se ao tronco encefálico para formar a artéria basilar

Artéria espinal anterior

A artéria única da linha mediana supre os 2/3 anteriores da medula espinal

Artérias espinais posteriores

2 artérias pareadas suprem o terço posterior da medula espinal

Ascendente anterior

Suprimento sanguíneo primário do **dente do eixo**

Ascendente posterior

Suprimento sanguíneo primário do **dente do eixo**

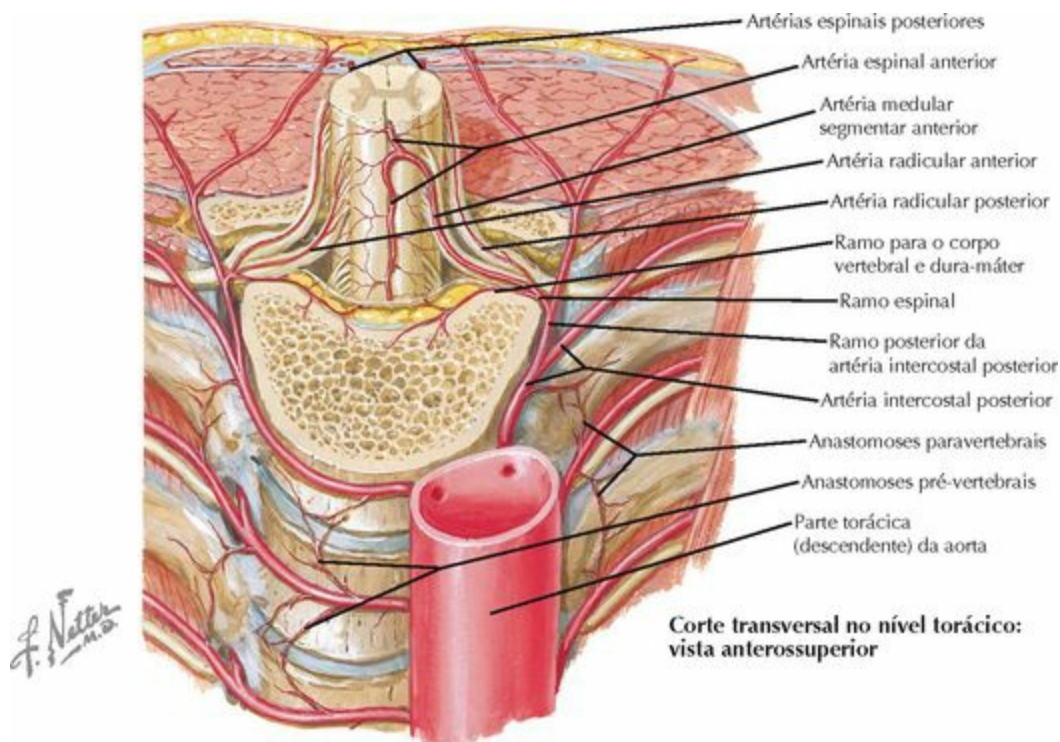
A. medular segmentar anterior

Contribui para a artéria espinal anterior

A. medular segmentar posterior

Contribui para as artérias espinais posteriores

Lesão ou infarto das artérias espinais anterior ou posterior pode resultar em síndrome medular anterior/central ou posterior



TRAJETO

RAMOS

COMENTÁRIO/IRRIGAÇÃO

ARTÉRIA INTERCOSTAL POSTERIOR (TORÁCICA)/ARTÉRIA LOMBAR

Artérias pares (dir. e esq.) deixam a aorta e correm posteriormente ao longo dos corpos vertebrais (entre as costelas na região torácica)

Ramo ventral

Para os corpos vertebrais

Ramo dorsal

Para os elementos posteriores e para a medula espinal

Ramos espinal

Suprimento sanguíneo da medula espinal, raízes dos nervos espinais e corpos vertebrais

A. radicular anterior (a. medular segmentar anterior maior)

“**Artéria de Adamkiewicz**” — artéria medular ímpar (geralmente à esq. de T X-T XII) que conflui para a artéria espinal anterior, **suprindo primariamente** a porção toracolombar da medula espinal. Sua lesão pode resultar em **isquemia/paralisia medular**

RAMOS ESPINAIS

Ramos deixam o ramo dorsal e entram pelos **forames intervertebrais**

A. radicular anterior

Corre na raiz anterior e faz anastomose com a artéria espinal anterior

A. radicular posterior

Corre na **raiz posterior** e faz anastomose com a artéria espinal posterior

Ramo pós-central

Supre os corpos vertebrais e dura-máter

Ramo pré-laminar

Supre as lâminas dos arcos vertebrais e os elementos posteriores

ARTÉRIA ESPINAL ANTERIOR

Artéria ímpar na linha mediana que supre os 2/3 anteriores da medula espinal

Ramos centrais (do sulco)

Suprimento sanguíneo da região central da medula espinal

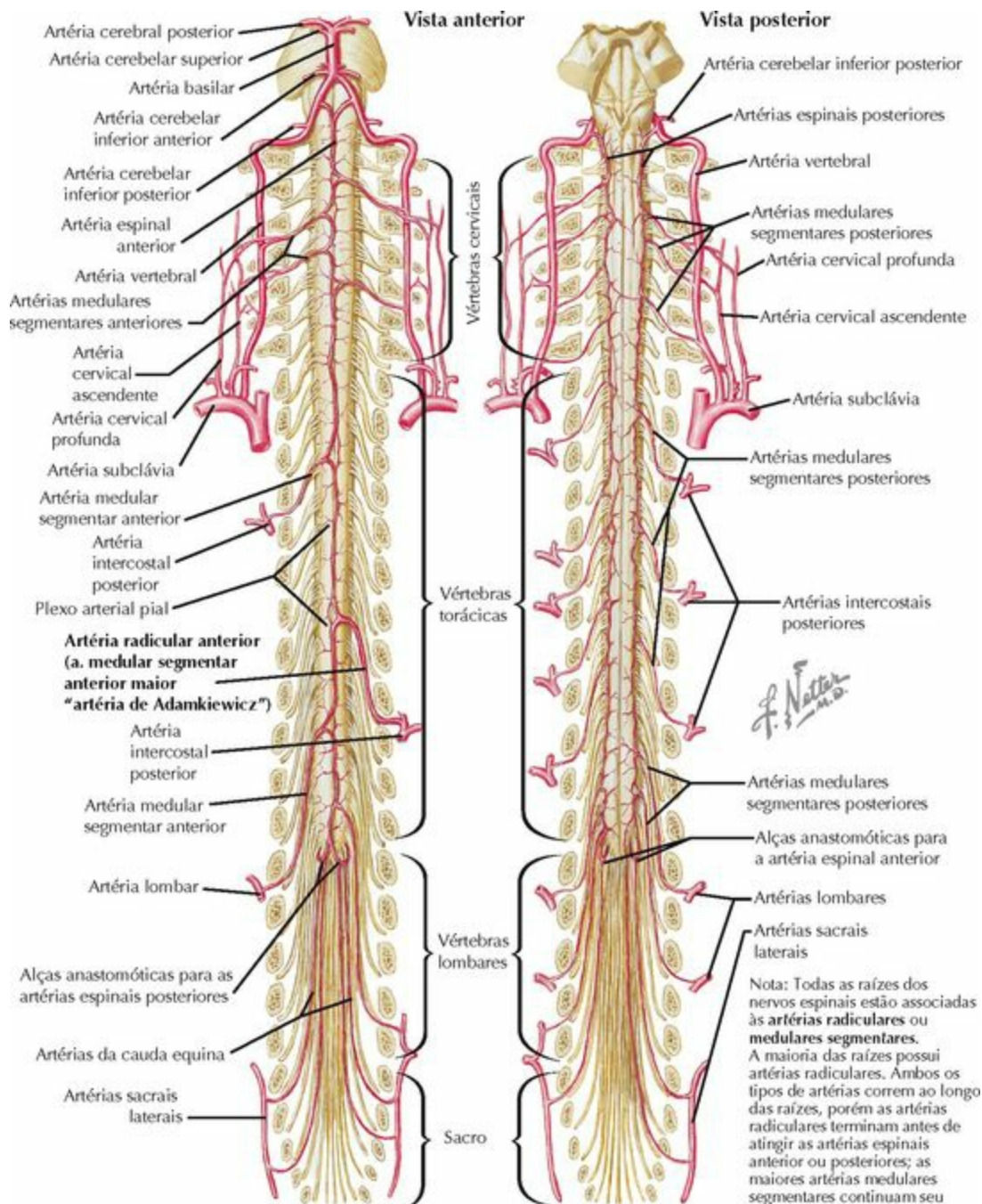
Plexo arterial pial

Supre os 2/3 periféricos da medula espinal

ARTÉRIA ESPINAL POSTERIOR

Artérias pares (dir. e esq.) suprem o terço posterior da medula espinal

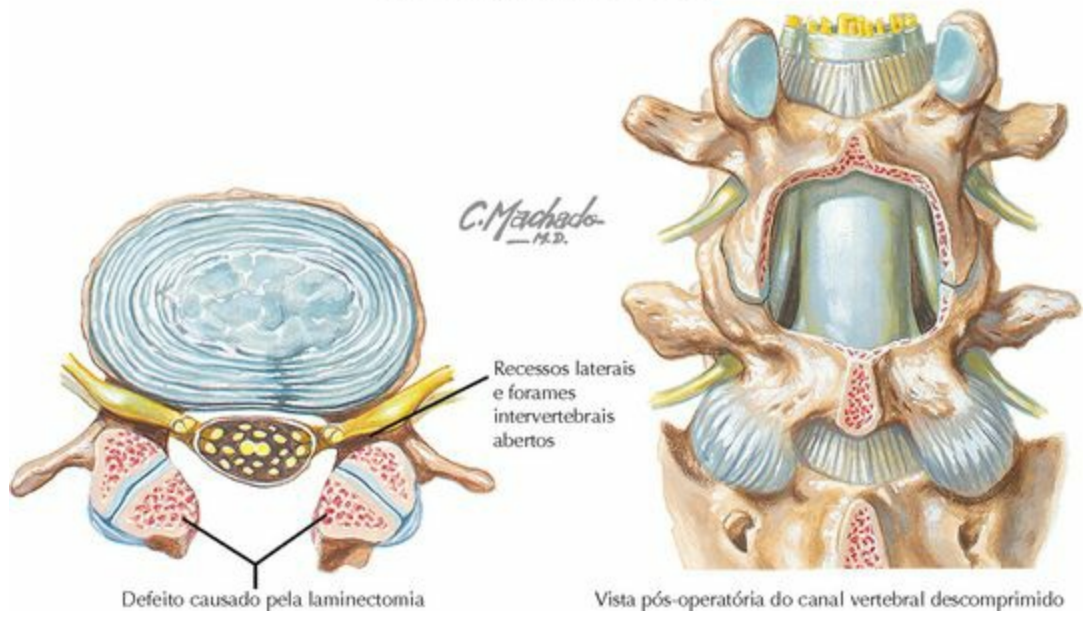
Estas artérias têm suprimento sanguíneo oriundo das artérias medular posterior e radicular



Nota: Todas as raízes dos nervos espinais estão associadas às **artérias radiculares** ou **medulares segmentares**. A maioria das raízes possui artérias radiculares. Ambos os tipos de artérias correm ao longo das raízes, porém as artérias radiculares terminam antes de atingir as artérias espinais anterior ou posteriores; as maiores artérias medulares segmentares continuam seu trajeto, a fim de suprir um segmento correspondente destas artérias

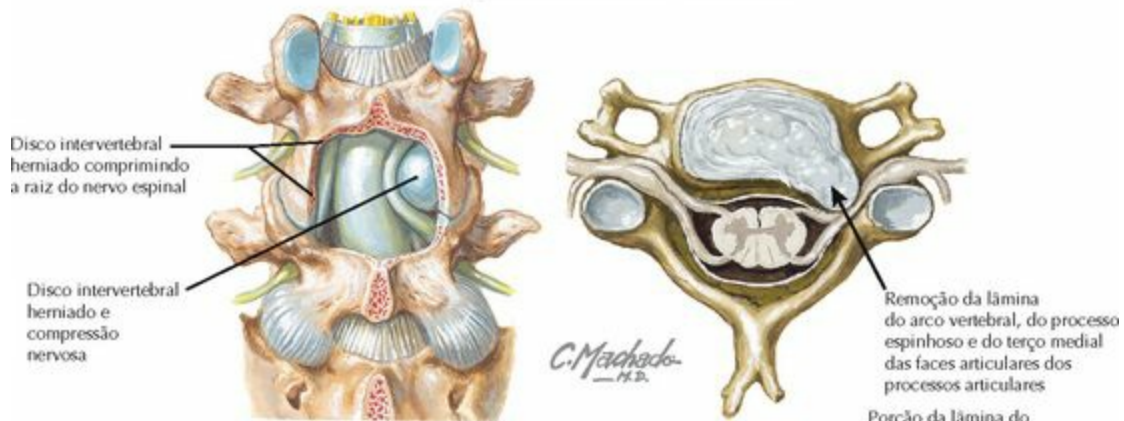
DISTÚRBIOS

Estenose Espinal: Laminectomia



DESCRIÇÃO	HDA e EF	EXAMES COMPLEMENTARES/ ACHADOS	TRATAMENTO
COMPRESSÃO CERVICAL			
<ul style="list-style-type: none"> Tensão/espasmo da musculatura cervical Frequentemente resultado de AVA ("movimento de chicote") ou uso excessivo 	HDA: dor (sem irradiação) EF: ADM diminuída, sensibilidade muscular, exame neurológico normal	RX: séries da região cervical da coluna vertebral RM: geralmente não é necessária	<ul style="list-style-type: none"> Repouso, AINE, fisioterapia (habitualmente 2-6 semanas) Pode-se considerar imobilização limitada com colar flexível
LOMBALGIA			
<ul style="list-style-type: none"> 2ª queixa médica nos Estados Unidos Etiologias múltiplas: tensão muscular, ruptura do anel, espondilose precoce ou DDD Queixa comum de operários (compensação/incapacidade) 	HDA: dor (pode irradiar para as nádegas, mas não abaixo do joelho) EF: ADM diminuída, espasmo/sensibilidade muscular (erector da espinha), exame neurológico normal; teste para observar os sinais de Waddell	RX: séries da região lombar da coluna vertebral (geralmente normais) RM: geralmente não é necessária	<ul style="list-style-type: none"> Alguns sinais e sintomas indicam que outras investigações devem ser feitas: febre/calafrios, radiculopatia, exame neurológico anormal Repouso, AINE, fisioterapia (2-6 semanas) Pode-se considerar órtese lombar
ESTENOSE DO CANAL VERTEBRAL			
<ul style="list-style-type: none"> Estreitamento do canal vertebral resulta em compressão da medula espinal ou da raiz do nervo espinal Causas: hipertrofia da cápsula da articulação dos processos articulares ou do ligamento amarelo, disco edemaciado, DDD, osteófitos 	HDA: dor, parestesias aliviadas na posição sentada ou inclinada para a frente (claudicação neurogênica) EF: dor à extensão do dorso; fazer um bom exame neurológico	RX: séries da região lombar da coluna vertebral: DDD, DAD dos processos articulares TC: estreitamento de canal RM: avaliar compressão medular ou da raiz do nervo espinal	<ul style="list-style-type: none"> Modificação das atividades, AINE Fisioterapia: exercícios de flexão Bloqueio das raízes dos nervos espinais/infiltração epidural Descompressão (laminectomia +/- facetectomia parcial)

Herniação do disco intervertebral cervical

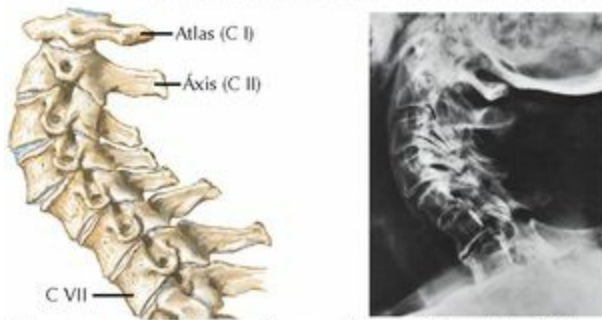


Herniação do disco intervertebral lombar



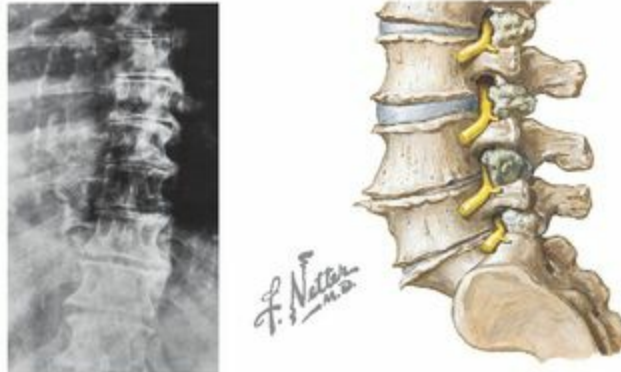
DESCRIÇÃO	HDA e EF	EXAMES COMPLEMENTARES/ ACHADOS	AINE
NÚCLEO PULPOSO HERNIADO (NPH)			
<ul style="list-style-type: none"> • Protrusão do núcleo pulposo através do anel fibroso • Região lombar: L IV-L V nº 1, raiz transversal afetada, exceto em hemiações laterais mais afastadas (na saída da raiz do nervo espinal) • Região torácica: rara • Região cervical: associada à espondilose • Pode comprimir a medula espinal ou as raízes dos nervos espinais 	<p>HDA: dor posterior no pescoço, +/- dor nas extremidades (com irradiação), dores, parestesias e fraqueza</p> <p>PE: variável: ADM diminuída, sensibilidade medular</p> <p>Cervical: +/- teste de Spurling</p> <p>Lombar: +/- teste da perna estendida</p> <p>Neurológico: achados radiculares</p>	<p>RX: frequentemente normal (+/- estreitamento do espaço dos discos intervertebrais ou espondilose)</p> <p>RM: melhor exame para mostrar a protrusão do disco intervertebral e compressão nervosa ou medular</p>	<ul style="list-style-type: none"> • Repouso, modificação das atividades • AINE (limitar o uso de narcóticos) • Fisioterapia • Infiltrações esteroidais epidurais • Discectomia +/- fusão: <ul style="list-style-type: none"> ◦ Tratamento conservador sem sucesso ◦ Déficit neurológico progressivo ◦ Síndrome da cauda equina
SÍNDROME DA CAUDA EQUINA			
<ul style="list-style-type: none"> • Compressão da cauda equina • Comumente de uma grande herniação discal mediana ou extrusão • Disfunção do intestino e da bexiga • Emergência cirúrgica 	<p>HDA/EF: anestesia perianal (em sela), dormência/ fraqueza nas extremidades inferiores, tônus retal diminuído</p>	<p>RX: normal ou com estreitamento do espaço dos discos intervertebrais</p> <p>RM: exame de escolha: compressão da cauda equina</p>	<ul style="list-style-type: none"> • Descompressão – laminectomia/discectomia cirúrgica emergencial • (O prognóstico deve ser cuidadoso, mesmo quando o diagnóstico e o tratamento forem imediatos)

Acometimento da Coluna Vertebral na Osteoartrite



Afilamento extensivo dos discos intervertebrais cervicais e deformidade em hiperextensão, com o estreitamento dos forames intervertebrais. A radiografia em perfil mostra alterações similares

Doença Degenerativa do Disco Intervertebral

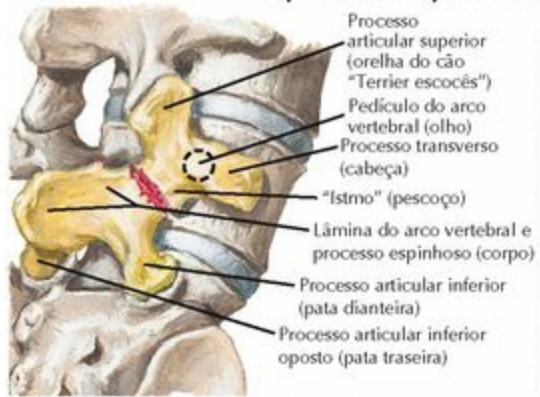


A radiografia da região torácica da coluna vertebral mostra o estreitamento dos espaços intervertebrais e a formação de esporões

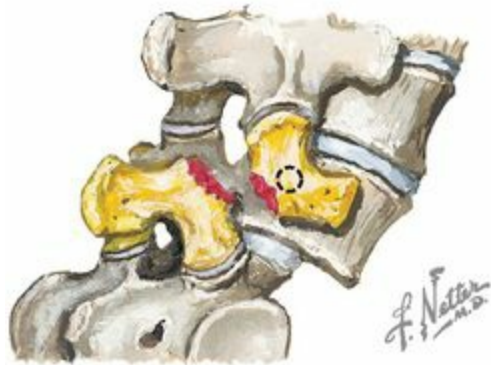
Degeneração dos discos intervertebrais lombares e alterações hipertróficas nas margens dos corpos vertebrais com formação de esporões. A invasão dos forames intervertebrais por osteófitos causa compressão nos nervos espinais

DESCRIÇÃO	HDA e EF	EXAMES COMPLEMENTARES/ ACHADOS	TRATAMENTO
ESPONDIOLOSE CERVICAL			
<ul style="list-style-type: none"> Alterações degenerativas nos discos intervertebrais, faces articulares e "articulações uncovertebrais" C V-C VI nº 1, C VI-C VII nº 2; homens > mulheres Causa dor axial no pescoço Pode levar à compressão medular ou da raiz do nervo espinal: mielo/radiculopatia 	<p>HDA: dor no pescoço, +/- dor nas extremidades superiores, parestesias e/ou fraqueza</p> <p>EF: ADM diminuída, teste de Spurling +, +/- sintomas neurológicos</p>	<p>RX: diminuição ou perda da lordose, aplanamento cervical, perda do espaço dos discos intervertebrais</p> <p>RM: mostra a degeneração do disco ou herniação</p>	<ul style="list-style-type: none"> Modificação das atividades, AINE Fisioterapia, +/- tração Infiltrações epidurais ou facetárias Cirúrgico: <ul style="list-style-type: none"> Discectomia anterior e fusão (DAF) Descompressão posterior/fusão
DOENÇA DEGENERATIVA DO DISCO INTERVERTEBRAL			
<ul style="list-style-type: none"> Alterações nas propriedades dos discos intervertebrais (redução na quantidade de H₂O do disco intervertebral, alterações nas proteínas, etc.) levam à diminuição das propriedades mecânicas Ligamentos e faces articulares assumem maiores sobrecargas, o que pode gerar dor Processo natural: não se sabe por que motivo somente alguns indivíduos sentem dor 	<p>HDA: dor nas costas sem radiculopatia</p> <p>EF: ADM +/- diminuída ou dolorosa, sinais de tensão normais (perna estendida/ testes para os músculos isquiotibiais)</p>	<p>RX: pode ser normal ou pode haver perda da altura dos discos intervertebrais</p> <p>RM: sinal diminuído (disco escuro), altura reduzida</p> <p>Discografia: confirma que o disco intervertebral é a fonte de dor (utilizada na avaliação pré-operatória)</p>	<ul style="list-style-type: none"> Repouso, modificação das atividades, AINE, +/- relaxantes musculares Fisioterapia: alongamento, fortalecimento, controle de peso Considerar imobilização lombar Cirúrgico: fusão lombar ou substituição do disco intervertebral

Espondilólise e Espondilolistese



Espondilólise sem espondilolistese: vista posterolateral demonstrando a formação radiográfica do cão "Terrier escocês". Na radiografia em perfil, o cão parece estar usando uma coleira



Espondilolistese do tipo ístmico: subluxação anterior de L V sobre S I em decorrência da fratura do "istmo". Note que o intervalo é maior e o cão parece ter sido decapitado

DESCRIÇÃO	HDA e EF	EXAMES COMPLEMENTARES/ ACHADOS	TRATAMENTO
ESPONDILÓLISE			
<ul style="list-style-type: none"> • Defeito ou fratura das "partes interarticulares" (sem deslocamento) • Associação com esportes que envolvem hiperextensão (ginástica artística) • Comum em crianças • Local mais comum: L V 	<p>HDA: lombalgia de início insidioso, que piora com a movimentação</p> <p>EF: lordose lombar diminuída, +/- rigidez nos músculos isquiotibiais</p>	<p>RX: incidências oblíquas da coluna lombar mostram que o "cão Terrier escocês" tem uma coleira no pescoço</p> <p>TC: para lesões súbitas</p> <p>TC por emissão de fóton único (SPECT): indica se a lesão tem capacidade de ser curada</p>	<ul style="list-style-type: none"> • Repouso, modificação das atividades • Fisioterapia: especialmente alongamento, exercícios em flexão • Uso de órtese lombar • A cirurgia não é comum, a menos nos casos de espondilolistese avançada
ESPONDILOLISTESE			
<ul style="list-style-type: none"> • Escorregamento de uma vértebra sobre a vértebra subjacente • Sels tipos: <ul style="list-style-type: none"> ◦ Displástica (congenita) ◦ Ístmica (nº 1, L V- S I, hiperextensão) ◦ Degenerativa (Idoso) ◦ Pedilátrico: fusão posterolateral (PL) profilática ◦ Patológica ◦ Pós-cirúrgica 	<p>HDA: lombalgia de início insidioso, que piora com a movimentação; +/- sintomas radiculares</p> <p>EF: ADM diminuída e geralmente dolorosa (especialmente em extensão); +/- achados sensoriais ou motores</p>	<p>RX: vista em perfil é utilizada para determinar os graus (% do corpo vertebral que escorregou)</p> <p>Grau 1: 0-25%</p> <p>Grau 2: 25%-50%</p> <p>Grau 3: 50%-75%</p> <p>Grau 4: > 75%</p> <p>TC/SPECT: para defeitos súbitos e avaliação do potencial de cura</p>	<p>Grau baixo (1-2):</p> <ul style="list-style-type: none"> • Repouso, modificação das atividades • Fisioterapia • Uso de órtese lombar <p>Grau alto (3-4):</p> <ul style="list-style-type: none"> • Traumática (fratura aguda das partes) • Adulto: descompressão e fusão PL

DISTÚRBIOS PEDIÁTRICOS



DESCRIÇÃO	AVALIAÇÃO	TRATAMENTO
MIELODISPLASIA		
<ul style="list-style-type: none"> • Desenvolvimento incompleto da medula espinal (defeito no fechamento do tubo neural) • 4 tipos (dependendo da gravidade) • Associada à alfa-fetoproteína (AFP) materna elevada • Ácido fólico diminuído no período pré-natal • Associada a diversas deformidades (coluna vertebral, quadris, joelhos e pés) • Frequentemente associada à alergia ao látex 	<p>HDA: pode ser diagnosticada na vida intrauterina</p> <p>EF/RX: com base no defeito:</p> <ol style="list-style-type: none"> 1. Espinha bífida 2. Meningocele 3. Mielomeningocele 4. Raquitismo <p>Sintomas/exames baseados no nível funcional mais baixo (L IV intata permite deambulação)</p>	<ul style="list-style-type: none"> • Deve ser individualizado para cada paciente • Pode precisar de ajuda ambulatorial e/ou uso de órteses • Equilíbrio muscular (liberação) • Deformidades individuais <ul style="list-style-type: none"> ◦ Escoliose: maioria necessita de fusão ◦ Quadris: mantê-los contidos ◦ Pés: liberados ou com artrodese
ESCOLIOSE		
<ul style="list-style-type: none"> • Inclinação lateral e rotação da coluna 		

vertebral

• Tipos:

- I. Congênita (vértebras anormais)
 - II. Idiopática: **nº 1**, frequente
 - Infantil < 3 anos
meninos > meninas
 - Juvenil: 3-10 anos
 - Adolescente: **nº 1**, **meninas** > **meninos**, **dir.** > **esq.**
 - III. Neuromuscular: associada a distúrbios neuromusculares
- Progressão da curva avaliada por:
- Magnitude da curva: RX (ângulo de **Cobb**)
 - Maturidade esquelética: usar estágio de **Risser**
- Classificações: King e Moe, Lenke

HDA: paciente ou pais podem notar assimetria no dorso; pode ser observada na escola; +/- dor; sinais neurológicos raros

EF: deformidade grave ou abrupta da coluna, teste de inclinar-se para a frente +; raros achados neurológicos (aumentados em **curvas de convexidade esquerda**)

RX: radiografias panorâmicas: usar o método de Cobb para determinar o ângulo
Filmes dobrados são usados para determinar a flexibilidade da curva/deformidade

- Triagem escolar é eficiente
- Congênita: progressão e necessidade de cirurgia dependem do tipo e da gravidade
- Idiopática: depende da curva e da idade
 - <25°: observação
 - 25°-40°: colete
 - >40°: fusão espinal
- Tipo juvenil frequentemente precisa de fusão
- Neuromuscular: normalmente requer fusões mais extensas, tanto anteriores como posteriores

TORCICOLO

- Cabeça inclinada, queixo rodado para o lado **oposto**
- Contratura do músculo esternocleidomastóideo (ECM)
- Etiologia desconhecida
- Associado à posição intrauterina
- Associado a outros

HDA: pais notam a deformidade, +/- “caroço” no pescoço (no ECM)

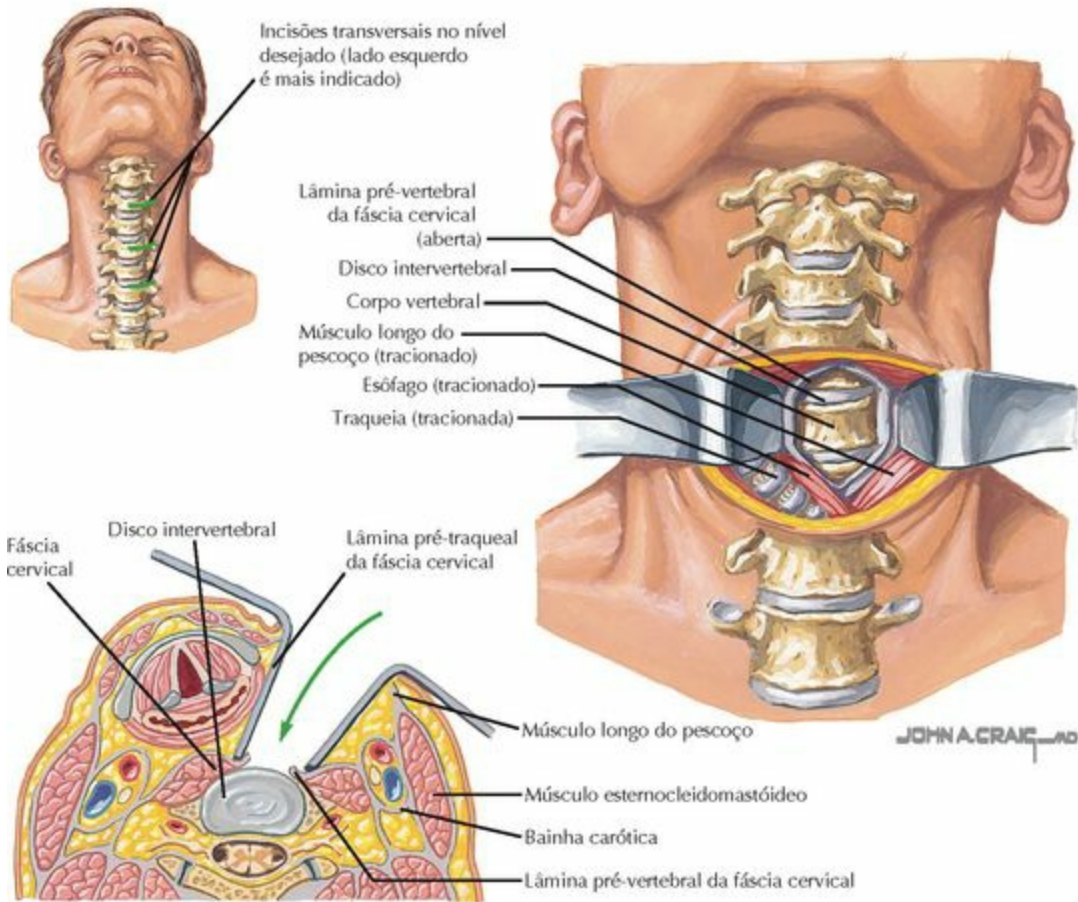
EF: cabeça inclinada e em rotação, +/- “caroço” no ECM, assimetria cranial e/ou facial

RX: coluna vertebral/quadril: raramente há outras deformidades

- Excluir qualquer outro distúrbio
- Fisioterapia: alongamento do ECM
- Pode ser necessário um capacete para o crânio
- Se persistir, tratamento cirúrgico
- Pode ocorrer desenvolvimento

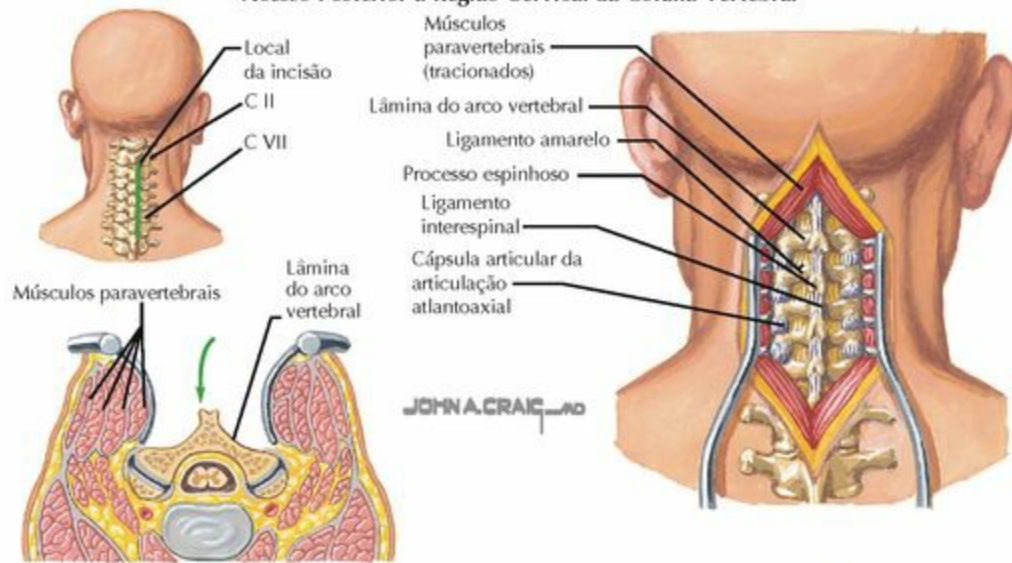
ACESSOS CIRÚRGICOS

Acesso Anterior à Região Cervical da Coluna Vertebral

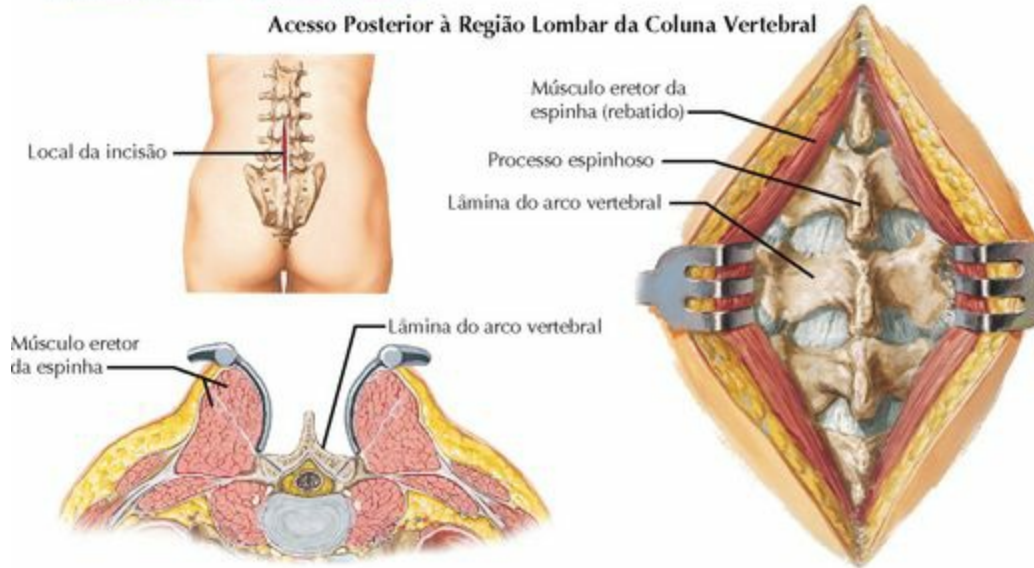


APLICAÇÕES	PLANO ENTRE OS NERVOS	RISCOS	COMENTÁRIOS
ACESSO ANTERIOR			
<ul style="list-style-type: none"> Discectomia cervical anterior e fusão para espondilose cervical e/ou HNP Tumor ou biópsia 	<p>Superficial Fáscia cervical: ECM passa lateralmente Lâmina pré-traqueal: bainha carótica passa lateralmente</p> <p>Profunda As artérias tireóideas limitam a extensão da abordagem</p>	<ul style="list-style-type: none"> Nervo laríngeo recorrente Nervo simpático Artéria carótida Veia jugular interna Nervo vago Artéria tireóidea inferior 	<ul style="list-style-type: none"> Acesso de C III até T I O nervo laríngeo recorrente direito é o mais suscetível à lesão; muitos cirurgiões entram pelo lado esquerdo Lâmina pré-vertebral entre os músculos longos do pescoço (dir. e esq.)

Acesso Posterior à Região Cervical da Coluna Vertebral



Acesso Posterior à Região Lombar da Coluna Vertebral



APLICAÇÕES	PLANO ENTRE OS NERVOS	RISCOS	COMENTÁRIOS
ACESSO POSTERIOR			
Região Cervical			
<ul style="list-style-type: none"> Fusão posterior/espondilose Luxação dos processos articulares 	Músculos paravertebrais cervicais esquerdo e direito (ramos cervicais posteriores)	<ul style="list-style-type: none"> Medula espinal Raízes dos nervos espinais Ramos posteriores Artéria vertebral Vasos segmentares 	<ul style="list-style-type: none"> Abordagem mais comum na região cervical da coluna vertebral Nível de marcação da patologia com marcador pré-operatório radiopaco (ajuda a identificar o nível apropriado para o procedimento)
Região Lombar			
<ul style="list-style-type: none"> Disco intervertebral herniado (HNP)/compressão nervosa e discectomia Fusão lombar 	Músculos paravertebrais esquerdo e direito (ramos dorsais)	<ul style="list-style-type: none"> Vasos segmentares para os paravertebrais 	<ul style="list-style-type: none"> A incisão é feita ao longo dos processos espinhosos

Ombro

Anatomia Topográfica

Osteologia

Radiologia

Trauma

Articulações

Pequenos Procedimentos

História da Doença Atual

Exame Físico

Músculos

Nervos

Estruturas Neurovasculares

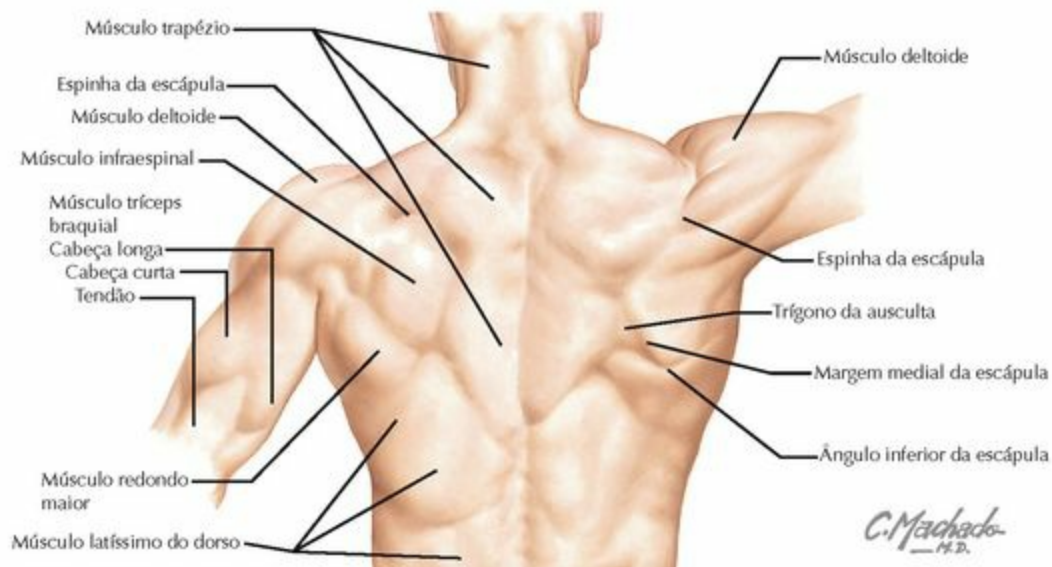
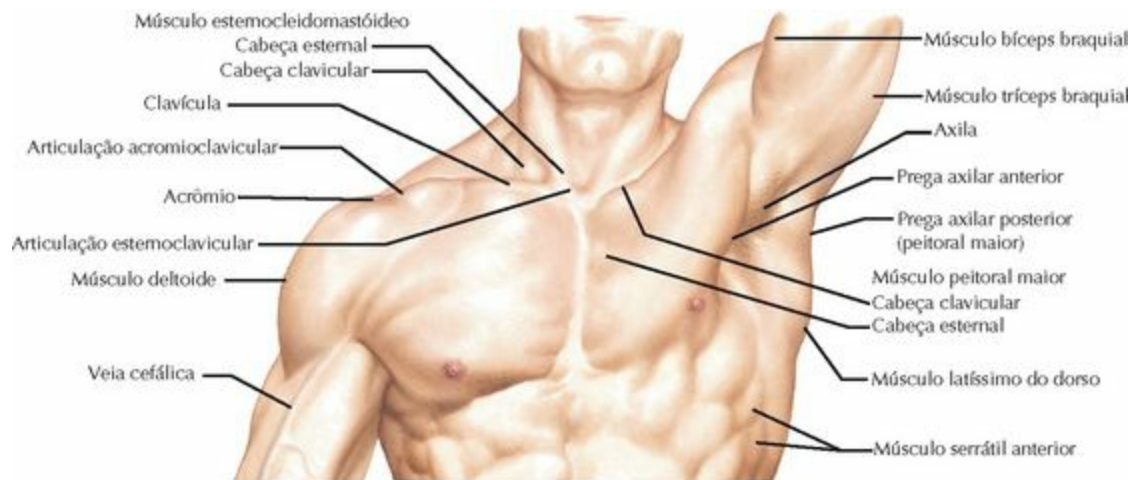
Artérias

Distúrbios

Distúrbios Pediátricos

Acessos Cirúrgicos

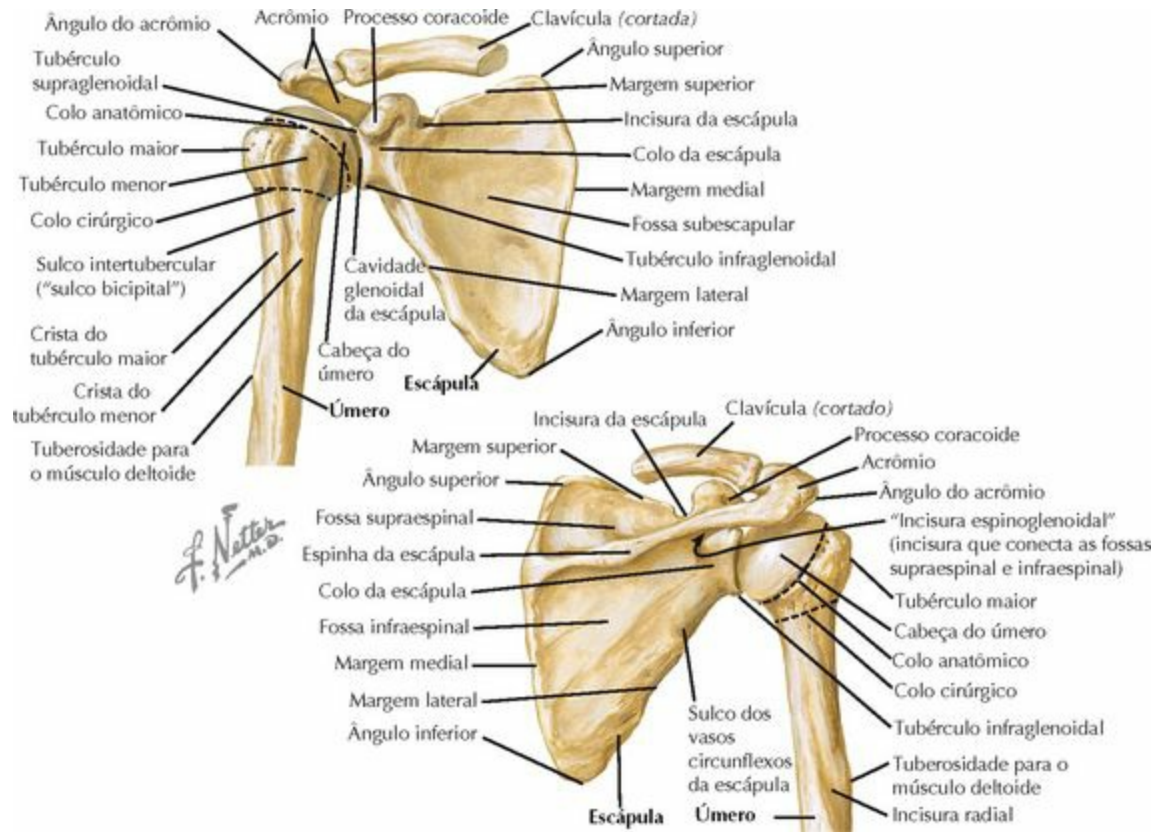
ANATOMIA TOPOGRÁFICA



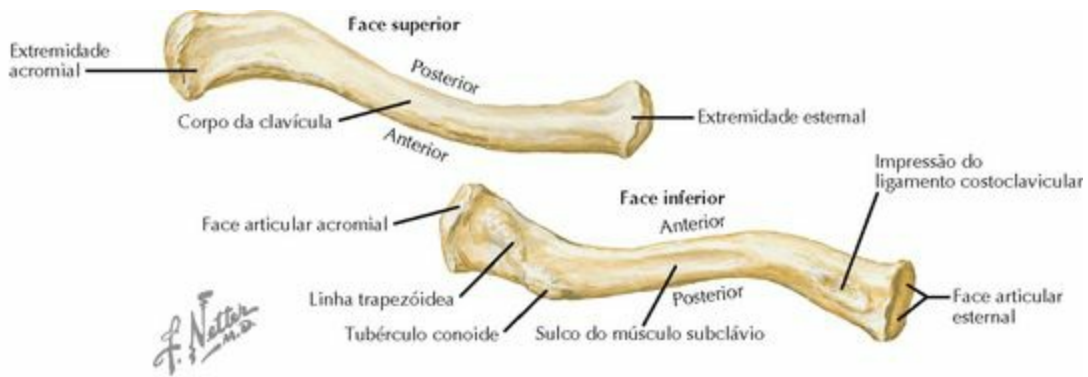
ESTRUTURA	APLICAÇÃO CLÍNICA
Articulação esternoclavicular (EC)	Sítio incomum de infecção ou luxação
Clavícula	Osso subcutâneo: osso comumente fraturado
Articulação acromioclavicular (AC)	Local comum de “luxação do ombro” ou doença/dor degenerativa articular
Acrômio	Marco anatômico do ombro (especialmente para infiltrações, p. ex., subacromial)
M. deltoide	O músculo pode ser testado para avaliar a função motora do nervo axilar
M. trapézio	Local comum de dor; a atrofia resulta em uma escápula lateralmente alada
M. serrátil anterior	A atrofia/paralisia resulta em uma escápula medialmente alada

M. peitoral maior	Pode se romper de sua inserção umeral, resultando em um defeito na prega axilar
Veia cefálica	Localiza-se no intervalo deltopeitoral
Espinha da escápula	Mais proeminente com a atrofia dos músculos supra/infraespinal (paralisia do nervo supraescapular)
Ângulo inferior da escápula	Pode ficar “ alada ” medial ou lateralmente na presença de atrofia muscular (paralisias nervosas)

Osteologia

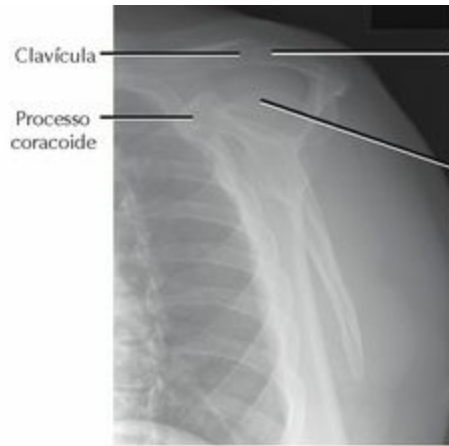


CARACTERÍSTICAS	OSSIFICAÇÃO	FUSÃO	COMENTÁRIOS	
ESCÁPULA				
<ul style="list-style-type: none"> Osso triangular plano Espinha separa posteriormente duas fossas (supra/infraespinal) Duas incisuras Processo coracóide anteriormente Cavidade glenoidal: em formato de pera Acrômio: proeminência lateral em formato de gancho 	<p>Primária Corpo</p> <p>Secundária Processo coracóide Cavidade glenoidal Acrômio Ângulo inferior</p>	<p>8ª semana fetal</p> <p>1 ano</p> <p>15-18 anos</p> <p>15-18 anos</p> <p>15-18 anos</p>	<p>15-20 anos</p> <p>Todos se fundem entre os 15-20 anos</p>	<ul style="list-style-type: none"> Nervo supraescapular pode ser comprimido na incisura escapular (denerva o SE e IE) ou na "incisura espinoglenoidal" (denerva somente o IE) Incisuras da escápula e "espinoglenoidal" O processo coracóide é o ponto de referência para o ombro Cavidade glenoidal: 5°-7° de retroversão, 5° inclinação superior O acrômio não fundido resulta em <i>os acromiale</i> O corpo da escápula é muito fino, o ângulo é mais espesso
PARTE PROXIMAL DO ÚMERO				
<ul style="list-style-type: none"> A cabeça é retrovertida: 35° Colos anatômico e cirúrgico Ângulo cabeça/colo: 130° Dois tubérculos: O maior é lateral O menor é anterior Sulco Intertubercular entre a crista do tubérculo maior e menor: tendão do biceps 	<p>Primária Corpo (diáfise)</p> <p>Secundária Proximal (3): Cabeça Tubérculo maior Tubérculo menor</p>	<p>8ª-9ª semana fetal</p> <p>Nascimento</p> <p>1-2 anos</p> <p>3-4 anos</p>	<p>Nascimento</p> <p>7-20 anos</p>	<ul style="list-style-type: none"> Frats do colo anatômico: risco de osteonecrose Colo cirúrgico: local comum de fraturas (especialmente no idoso) 80% do crescimento do osso ocorre na "fise" proximal; as fraturas proximais em crianças têm grande potencial de remodelação Tubérculo maior: local de inserção dos mm. supraespinal, infraespinal e redondo menor Tubérculo menor: local de inserção do m. subescapular

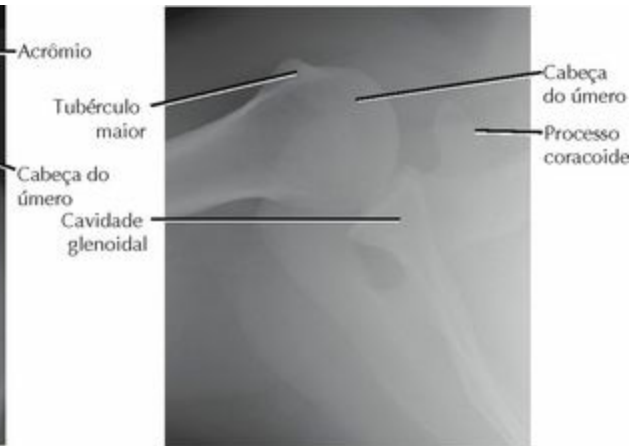


CARACTERÍSTICAS	OSSIFICAÇÃO	FUSÃO	COMENTÁRIOS
CLAVÍCULA			
<ul style="list-style-type: none"> Osso cilíndrico em formato de S 1/3 médio é mais estreito, sem inserções musculares A clavícula alarga-se lateralmente Ausência de cavidade medular verdadeira 	Primária (2) Medial e lateral	7ª semana fetal	9ª semana fetal
	Secundária Esternal Acromial	18-20 anos 18-20 anos	19-25 anos 19-22 anos

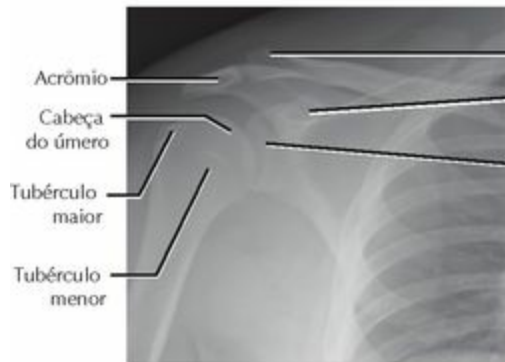
RADIOLOGIA



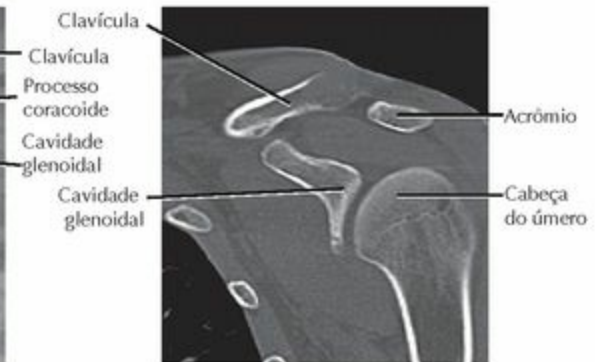
Radiografia, escapular



Radiografia axilar, perfil



Radiografia, AP



TC, frontal (coronal)

RADIOGRAFIA	TÉCNICA	ACHADOS	APLICAÇÃO CLÍNICA
CLAVÍCULA			
Clavícula (2 incidências)	AP com inclinação caudal e cefálica	Clavícula	Fratura, DAD da art. AC
Zanca	AP (da art. AC) com 10° de inclinação cefálica	Articulação acromioclavicular	Doença da art. AC (DAD, frat)
Incidências de estresse	Ambas as artt. AC com e sem carga	Articulações acromioclaviculares	Separação/Instabilidade da art. AC
Serendipite	40° de inclinação cefálica no manúbrio	Articulação esternoclavicular	Doença esternoclavicular
OMBRO			
AP	Chassi perpendicular à escápula	Espaço articular glenoumeral	Trauma (frat./lux.), artrite
Axilar perfil	Braço abduzido, feixe na direção da axila	Posição da cavidade glenoidal/ cabeça do úmero	Luxações, lesão de Hill-Sachs
Escapular Y	Feixe paralelo à escápula	Posição da cabeça do úmero	Trauma, tipo de acrômio
Salda do supraespal	Y escapular com 10° inclinação caudal	Morfologia do acrômio	Acrômio em gancho (tipo 3) está associado à síndrome do impacto
De Stryker	Mão na cabeça, 10° de inclinação cefálica	Cabeça do úmero	Lesão de Hill-Sachs
West point	Decúbito ventral, feixe na direção da axila	Porção anteroinferior da cavidade glenoidal	Lesão óssea de Bankart
OUTROS ESTUDOS			
TC	Transversal (axial), frontal (coronal), sagital	Congruência articular, posição do fragmento fraturado	Fraturas (esp. da parte proximal do úmero, cavidade glenoidal/ intra-articular)
RM	Sequência de pulsos varia	Tecidos moles (tendões, lábio articular)	Rupturas do "manguito rotador" ou dos lábios articulares

Fraturas do Terço Lateral da Clavícula



Tipo I. Fratura sem ruptura de ligamentos e sem desvio. Tratada com uma tpoia simples por algumas semanas



Tipo IIa. A fratura é medial aos ligamentos. Ambos estão intactos



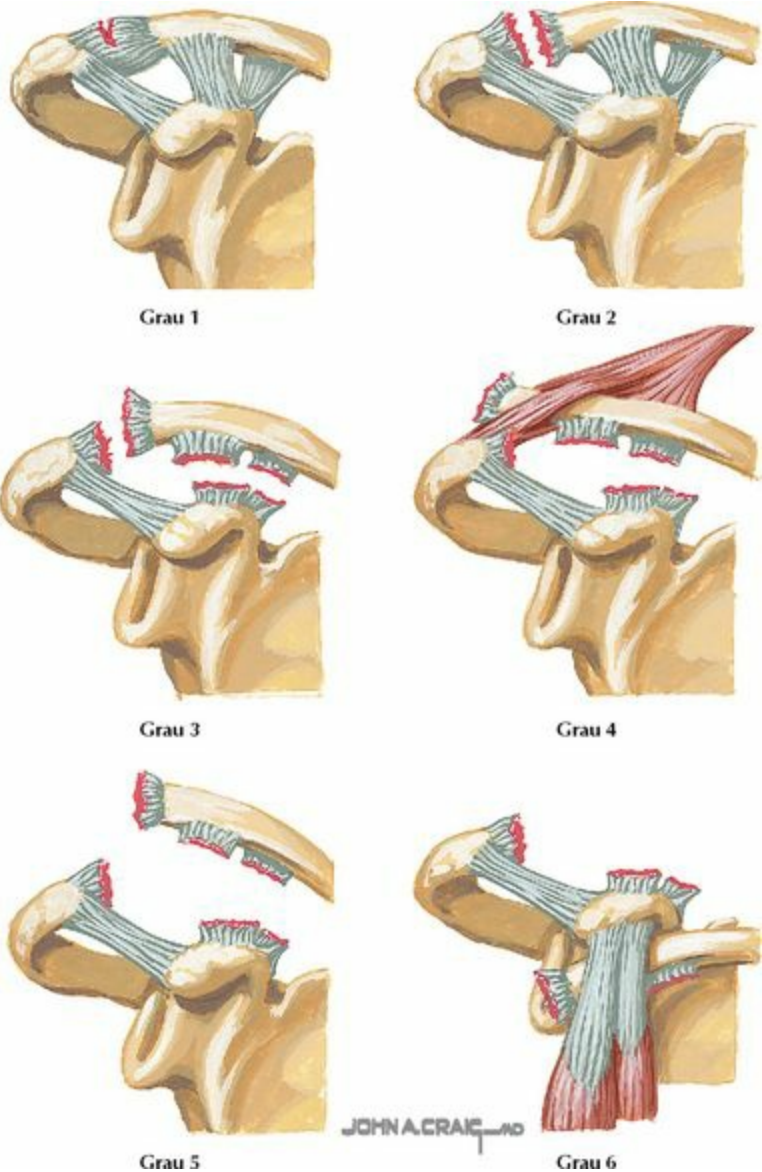
Tipo IIb. A fratura localiza-se entre os ligamentos; o lig. conóide está rompido, o trapecóide está intacto. O fragmento medial pode se elevar



Tipo III. Fratura através da articulação acromioclavicular; sem desvio. Geralmente não diagnosticada ou pode causar uma osteoartrite dolorosa necessitando de artroplastia de ressecção

*F. Natter M.D.
K. Mazzini*

DESCRIÇÃO	AValiação	CLASSIFICAÇÃO	TRATAMENTO
FRATURA DA CLAVÍCULA			
<ul style="list-style-type: none"> Fratura mais comum 80% no terço médio (grupo I) 15% grupo 2, 5% grupo 3 Mecanismo: queda sobre o ombro (p. ex., futebol americano, hóquei) A clavícula não se funde até o início da terceira década de vida, podem ocorrer fraturas por avulsão da camada periosteal distalmente 	<p>HDA: trauma/queda, dor</p> <p>EF: edema, sensibilidade, +/- elevação da pele/ deformidade clínica; fazer exame neurovascular completo</p> <p>RX: 2 incidências da clavícula (avaliar presença de encurtamento)</p> <p>TC: raramente necessária</p>	<ul style="list-style-type: none"> Grupo 1: 1/3 médio Grupo 2: 1/3 distal <ul style="list-style-type: none"> Tipo 1: lateral aos ligamentos CC Tipo 2a: medial aos ligamentos CC Tipo 2b: entre os ligamentos CC (conóide rompido, trapecóide intacto) Tipo 3: fratura na art AC Grupo 3: 1/3 proximal 	<ul style="list-style-type: none"> Tratamento fechado/tipoia para a maioria das fraturas dos grupos 1 e 3 RAFI para as fraturas severamente encurtadas, anguladas, abertas, associadas a lesões vasculares RAFI para a maioria das fraturas grupo 2/ tipo 2 distais
COMPLICAÇÕES: Pseudartrose (esp. distal/fraturas do grupo 2); lesões vasculares ou nervosas			
FRATURA DA ESCÁPULA			
<ul style="list-style-type: none"> Mecanismo: trauma de alta energia Lesão incomum Mais comum em homens jovens >85% apresentam lesões associadas: contusões pulmonares, pneumotórax Bom potencial de consolidação gerada pelos músculos ao redor 	<p>HDA: trauma (p. ex., AVA), dor no dorso e/ou ombro</p> <p>EF: edema, sensibilidade à palpação, diminuição da ADM</p> <p>RX: AP/axilar perfil/ escapular Y; RX cervical</p> <p>TC: fraturas intra-articulares/ cavidade glenoidal, fraturas desviadas do corpo</p>	<ul style="list-style-type: none"> Classificação anatômica: A-G Ideberg (fratura da cavidade glenoidal) <ul style="list-style-type: none"> Tipo I: fratura com avulsão anterior Tipo II: fratura transversal/ oblíqua através da cavidade glenoidal, sai inferiormente Tipo III: fratura oblíqua através da cavidade glenoidal, sai superiormente Tipo IV: fratura transversal sai através do corpo da escápula Tipo V: tipos II + IV 	<ul style="list-style-type: none"> Tratamento fechado com tipoia durante 2 semanas para a maioria das fraturas, seguida por exercícios precoces para ADM RAFI para as fraturas desviadas, instáveis, grandes fraturas intra-articulares (>25%) ou anguladas do colo
COMPLICAÇÕES: Lesões associadas: Fratura de costela nº 1, contusão pulmonar , pneumotórax, lesão vascular ou do plexo braquial			



DESCRIÇÃO	AVLIAÇÃO	CLASSIFICAÇÃO	TRATAMENTO
SEPARAÇÃO DA ARTICULAÇÃO ACROMIOCLAVICULAR			
<ul style="list-style-type: none"> Mecanismo: queda sobre o ombro (p. ex., futebol americano, bicicleta etc.) Progressão de uma lesão isolada do ligamento AC para ruptura combinada dos ligamentos AC e CC com desvio variável da clavícula Também conhecida como "separação do ombro" 	<p>HDA: queda/impacto direto, dor, edema, +/- estalidos</p> <p>EF: sensibilidade AC, +/- instabilidade e deformidade</p> <p>RX: articulação AC (+/- incidências de estresse, esp. grau II) (medir a distância CC)</p> <p>RM: avalia os ligamentos CC</p>	<p>Classificação de Rockwood:</p> <p>I. Distensão do ligamento AC</p> <p>II. Ruptura AC, CC intacto</p> <p>III. Rupturas AC e CC, desvio superior $\leq 100\%$</p> <p>IV. Grau III com desvio posterior</p> <p>V. Grau III com desvio superior $\leq 300\%$</p> <p>VI. Grau III com desvio inferior</p>	<ul style="list-style-type: none"> Graus I e II: tipoia, repouso, fisioterapia Grau III: controverso. Conservador para a maioria, reconstrução CC para atletas de alto nível e trabalhadores braçais Graus IV-VI: reconstrução do ligamento CC
COMPLICAÇÕES: Artrose/DAD da AC; rigidez; lesões associadas (pneumotórax, fratura, neuropraxia)			

Luxação Anterior



Luxação anterior (mais comum)



Radiografia anteroposterior
Luxação anterior

Luxação Posterior



F. Netter M.D.
D. Mascaro



Radiografia anteroposterior.
Difícil determinar se a cabeça do úmero está dentro, anterior ou posterior à cavidade glenoidal



Radiografia em perfil (paralela ao plano do corpo da escápula). Cabeça do úmero claramente vista posteriormente à cavidade glenoidal



Incidência axilar verdadeira. Também demonstra cabeça do úmero posteriormente à cavidade glenoidal

DESCRIÇÃO	AVALIAÇÃO	CLASSIFICAÇÃO	TRATAMENTO
LUXAÇÃO DA ARTICULAÇÃO DO OMBRO (GLENOUMERAL)			
<ul style="list-style-type: none"> Luxação mais comum Comum em pacientes jovens/atletas (recorrência de >90% se <25 anos de idade) Associada a rupturas dos lábios articulares (<40 anos de idade) e do "manguito rotador" (>40 anos de idade) Associada a fraturas: tubérculo ou margem da cavidade glenoidal ("lesão óssea de Bankart") Luxações posteriores associadas a convulsões Fratura por impressão da cabeça do úmero (lesão de Hill-Sachs) pode ocorrer 	<p>HDA: trauma/queda, dor, incapacidade de mover o braço</p> <p>EF: ombro "achatado", ausência de ADM, testar função do nervo axilar</p> <p>RX: 3 incidências para o ombro; deve incluir axilar em perfil para a luxação posterior</p> <p>TC: para avaliar fraturas: tubérculo ou cavidade glenoidal</p>	<p>Anatômica (baseada na localização da cabeça do úmero):</p> <ul style="list-style-type: none"> Anterior (>90%) Posterior (geralmente não diagnosticada) Inferior (<i>luxatio erecta</i>: braço abduzido não pode ser abaixado [rara]) Superior (extremamente rara) 	<ul style="list-style-type: none"> Agudo: reduzir luxação Métodos (com sedação): <ul style="list-style-type: none"> Hipocrática/tração Stimson Milch Retração escapular Imobilizar em tipoia por 2 semanas Fisioterapia RAFI para as fraturas desviadas Considerar reparo precoce do lábio articular em pacientes jovens
COMPLICAÇÕES: Luxação/instabilidade recorrente (esp. em jovens <25 anos de idade); lesão nervosa (axilar, musculocutânea)			

Redução da Luxação Anterior da Articulação do Ombro (Glenoumeral)



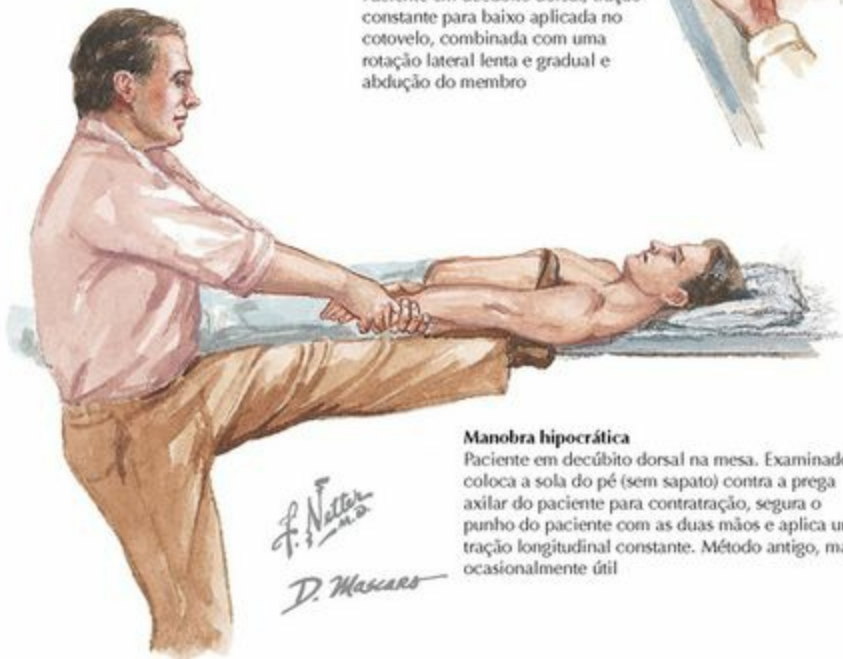
Manobra de Stimson

Paciente em decúbito ventral com o membro afetado pendente; 4,5-7 kg de peso presos ao punho. A tração gradual supera o espasmo muscular e na maioria dos casos leva à redução em 20-25 minutos



Manobra de Milch

Paciente em decúbito dorsal; tração constante para baixo aplicada no cotovelo, combinada com uma rotação lateral lenta e gradual e abdução do membro



Manobra hipocrática

Paciente em decúbito dorsal na mesa. Examinador coloca a sola do pé (sem sapato) contra a prega axilar do paciente para contração, segura o punho do paciente com as duas mãos e aplica uma tração longitudinal constante. Método antigo, mas ocasionalmente útil

Classificação de Neer para as fraturas proximais do úmero em quatro partes

1. Fragmento articular (cabeça do úmero)
2. Tubérculo menor
3. Tubérculo maior
4. Corpo (diáfise). Se não houver desvio de fragmentos, a fratura é considerada estável (mais comum) e tratada com mínima imobilização externa e exercícios precoces para a amplitude de movimento

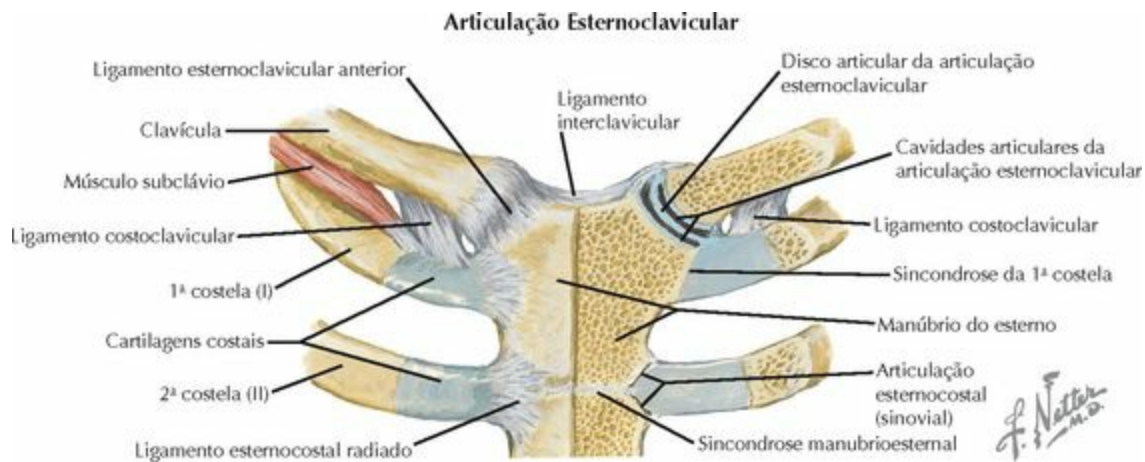


Classificação de Neer para as fraturas das partes proximais do úmero		
Parte 2	Parte 3	Parte 4
Colo anatômico 		
Colo cirúrgico 		
Tubérculo maior 	Tubérculo maior 	Tubérculos maior e menor
Tubérculo menor 	Tubérculo menor 	

F. Netter M.D.
JOHN A. CRAIG

DESCRIÇÃO	AVALIAÇÃO	CLASSIFICAÇÃO	TRATAMENTO
FRATURA DA PARTE PROXIMAL DO ÚMERO			
<ul style="list-style-type: none"> • Fratura comum, especialmente em pacientes idosos/osteoporóticos • A substância esponjosa da extremidade proximal do úmero é suscetível a fraturas • As fixações musculares determinam o padrão de desvio • A maioria das fraturas apresenta desvio pequeno/ 1 parte • Associadas a rupturas do "manguito rotador" 	<p>HDA: trauma/queda, dor, dificuldade de mover o braço</p> <p>EF: sensibilidade umeral, diminuição da ADM, +/- deformidade</p> <p>RX: 3 incidências do ombro</p> <p>TC: identifica os fragmentos e o desvio</p>	<ul style="list-style-type: none"> • Neer: baseado no número de partes (fragmentos) • Partes (4): cabeça, tubérculo maior, tubérculo menor e corpo • Fragmento deve apresentar um desvio >1 cm ou angulação de 45° para ser considerado uma "parte" • Múltiplas combinações possíveis de fragmentos/ partes 	<ul style="list-style-type: none"> • 1 parte: tipoia, mobilização precoce • 2 partes: redução fechada e imobilização por coaptação, depois fisioterapia • 3 partes: cirúrgico: PPC vs. RAFI (placa bloqueada) • 4 partes: RAFI vs. hemiartroplastia
COMPLICAÇÕES: Rigidez do ombro, NAV (fraturas do colo anatômico), lesão nervosa (axilar, plexo braquial), pseudartrose			

ARTICULAÇÕES



LIGAMENTO	FIXAÇÕES	COMENTÁRIOS
COMPLEXO ARTICULAR DO OMBRO		
Geral		
<ul style="list-style-type: none"> • O ombro é formado por 4 articulações separadas. O movimento do ombro é um movimento combinado de todas as 4 articulações: 1. Articulação esternoclavicular. 2. Articulação do ombro (glenoumeral). 3. Articulação acromioclavicular. 4. “Articulação escapulotorácica” • A articulação do ombro é a que possui a maior amplitude de movimento do corpo <ul style="list-style-type: none"> ◦ Flexão: 0°-170° ◦ Extensão: 0°-60° ◦ Abdução: 0°-170°/180° ◦ Rotação medial: até a região torácica da coluna vertebral ◦ Rotação lateral: até 70° • Proporção 2:1 de movimento da articulação do ombro (glenoumeral)/articulação escapulotorácica durante a abdução do ombro • Articulação inerentemente instável com amplo potencial de ADM. Estabilizadores estáticos e dinâmicos fornecem estabilidade articular <ul style="list-style-type: none"> ◦ Estáticos: cavidade glenoidal, lábio articular, congruência articular, ligamentos glenoumerais e cápsula articular, pressão intra-articular negativa ◦ Dinâmicos: músculos/tendões do “manguito rotador”, tendão do m. bíceps braquial, estabilizadores escapulares (músculos periescapulares), propriocepção • A cavidade glenoidal “rasa” gera mínima estabilidade óssea, mas é aprofundada/estabilizada pelo lábio articular fibrocartilágneo • O lábio articular serve como um “para-choque” para a subluxação umeral, bem como local de fixação para as estruturas capsuloligamentares. A instabilidade articular pode ser resultado das rupturas/desinserções do lábio articular com perda do “para-choque” e consequente frouxidão ligamentar • “Manguito rotador”: inserção confluyente “em ferradura” de 4 tendões de músculos estabilizadores que se inserem na parte proximal do úmero (tubérculos maior e menor). Músculos 		

do MR mantêm a cabeça do úmero acomodada na cavidade glenoidal durante todos os movimentos

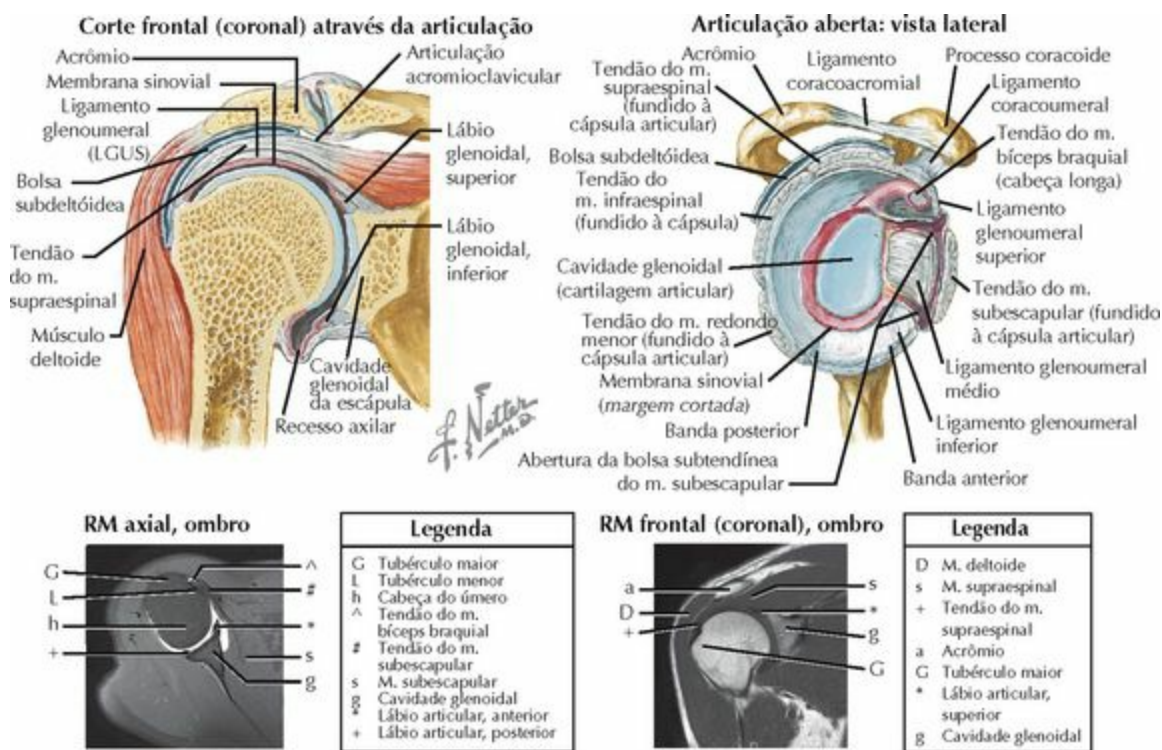
ARTICULAÇÃO ESTERNOCLAVICULAR

Articulação selar (diartrose dupla). Única fixação verdadeira da extremidade superior ao esqueleto axial. ADM: a clavícula realiza até 50° de rotação na articulação sobre o esterno fixo

Cápsula articular	Reveste a articulação	Estabilizador secundário
Esternoclavicular	Da extremidade esternal da clavícula até o esterno	Estabilizador primário da articulação esternoclavicular
	Ligamentos anterior e posterior	Posterior mais forte; luxação anterior mais comum
Costoclavicular	Da parte inferior da clavícula até a cartilagem costal	Ligamento esternoclavicular mais forte
Interclavicular	Entre as extremidades esternais da clavícula	Estabilizador secundário
Disco articular	Disco intra-articular	Disco fibrocartilágneo dentro da articulação

ARTICULAÇÃO ESCAPULOTORÁCICA

A articulação não é uma articulação verdadeira. A escápula desliza/roda ao longo da parte posterior das costelas (II-VII). Vários músculos (incluindo o **serrátil anterior** e o **trapézio**) estão envolvidos. Proporção de 2:1 do movimento da art. do ombro (glenoumeral) em relação ao movimento escapulotorácico durante a flexão e abdução



LIGAMENTO	FIXAÇÕES	COMENTÁRIOS
-----------	----------	-------------

ARTICULAÇÃO DO OMBRO (GLENOUMERAL)

Articulação esferóidea. Inerentemente instável estabilizada por fatores de restrição dinâmicos e estáticos

Ligamentos Glenoumerais

Superior (LGUS)	Margem anterossuperior da cavidade glenoidal/lábio glenoidal até a porção proximal do tubérculo menor	Resiste à translação inferior e RL na adução do ombro Resiste à translação posterior em 90° de flexão
Médio (LGUM)	Margem anterossuperior da cavidade glenoidal/lábio glenoidal (inferior ao LGUS) para a região medial do tubérculo menor	Resiste contra a translação anteroposterior em 45° de abdução Fator de restrição secundária para a translação e RL em adução Complexo de Buford : espessamento do LGUM e ausência de lábio glenoidal anterior/superior
Inferior (LGUI)	Ligamento mais importante, forma a “tipoia” que enrijece em abdução e RL (banda ant.)/RM (banda post.)	
• Banda anterior (LGUIA)	Parte anterior da cavidade glenoidal/lábio glenoidal (posição de 3 horas) até a porção inferior do colo do úmero	Resiste à translação anterior e inferior em abdução e RL ; deve estar tensionado /"desviado" na instabilidade anterior ou IMD
• Banda posterior (LGUIP)	Parte posterior da cavidade glenoidal/lábio glenoidal (posição em 9 horas) até a parte inferior do colo do úmero	Resiste à translação posterior na RM e 90° de flexão

Outros

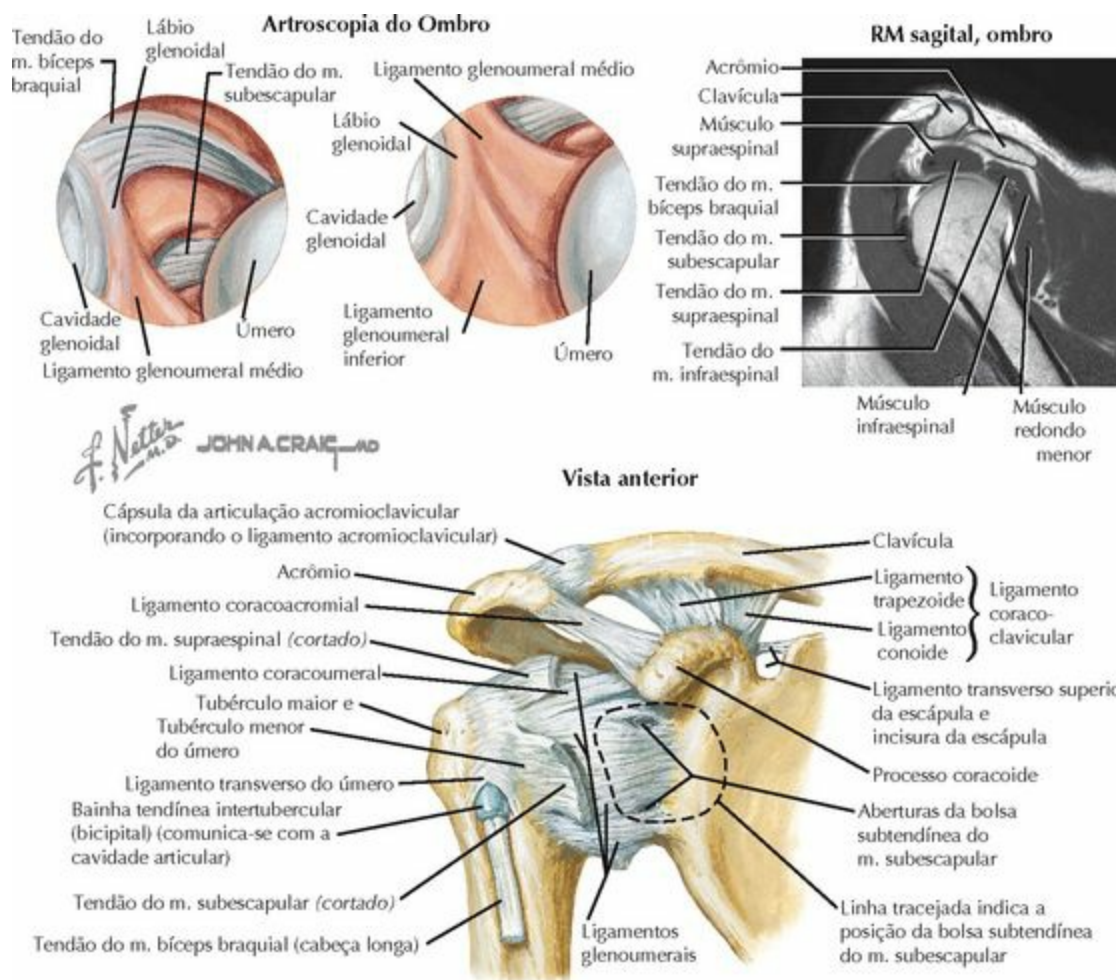
Coracoumeral (LCU))	Base do processo coracoide até os tubérculos menor e maior (em ambos os lados do sulco intertubercular)	Com o LGUS, resiste à translação inferior em adução; faz parte da polia que estabiliza o tendão do m. bíceps braquial na articulação e sulco
Lábio glenoidal	Circunferencialmente preso à cavidade glenoidal	Fibrocartilagem: aprofunda a cavidade glenoidal, promove maior área de contato, aumentando a estabilidade; local de inserção de alguns ligamentos GU
Cápsula articular	Reveste a articulação	Mantém a pressão intra-articular negativa; é fina posteriormente

- Ligamentos glenoumerais: espessamentos discretos da porção anterior e inferior da cápsula articular que geram estabilidade para a articulação. Não existem ligamentos posterior ou superiormente

- Intervalo rotador: espaço triangular entre a margem anterior do m. supraespal e a margem

superior do m. subescapular

- Conteúdo: LGUS, LCU e tendão do m. bíceps braquial, parte anterossuperior da cápsula da articulação do ombro (glenoumeral)
- O tensionamento desse intervalo pode diminuir a translação inferior na adução/“sinal do sulco” em um ombro instável
- Polia do bíceps: o LGUS, LCU e o m. subescapular formam uma polia anterior para manter o tendão do m. bíceps braquial localizado na articulação/sulco intertubercular



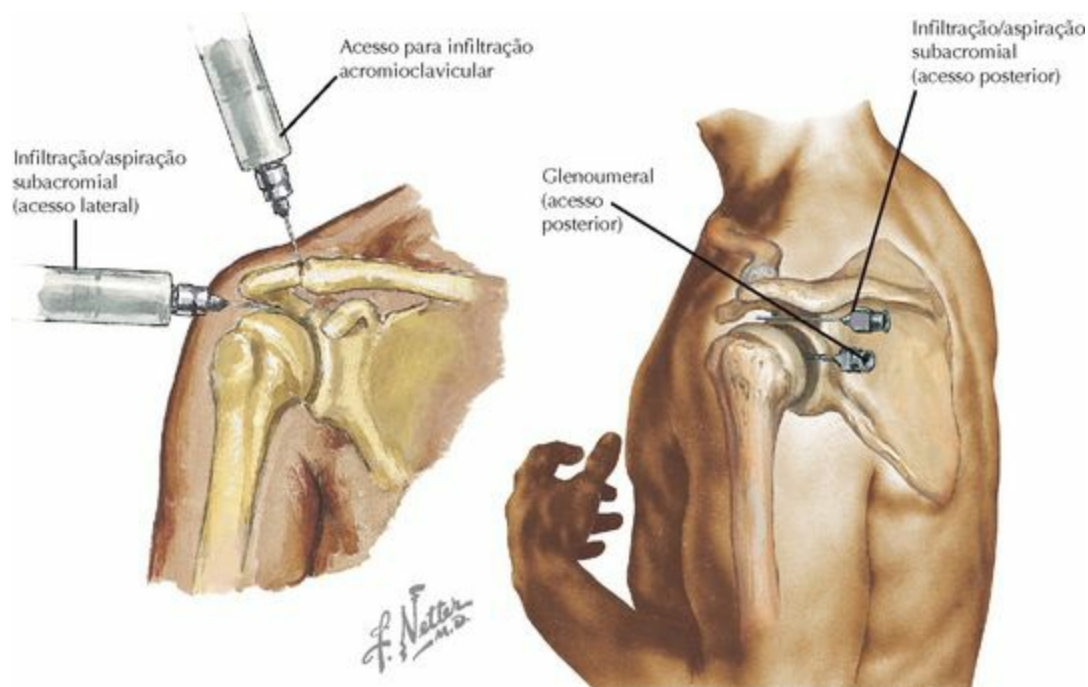
LIGAMENTO	FIXAÇÕES	COMENTÁRIOS
ARTICULAÇÃO ACROMIOCLAVICULAR		
Articulação plana (diartrose). Movimento muito limitado (5° de rotação). Local comum de lesão e/ou degeneração dolorosa		
Cápsula articular	Reveste a articulação	Estabilizador fraco, mas suficiente sob cargas rotineiras
Acromioclavicular	Espessamento da parte superior da cápsula articular	Fornece estabilidade anteroposterior e estabilidade axial É lesionado (em algum grau) em todas as separações AC
Coracoclavicular	Base do processo coracoide até a parte	Fornece estabilidade vertical para a

	inferior da clavícula	clavícula na articulação AC
Conoide	Inserção posteromedial na clavícula	Maior resistência contra carga vertical do que o trapezoide
Trapezoide	Inserção anterolateral na clavícula	Resiste contra carga axial sobre o ombro (fibras mais oblíquas)
Disco articular	Na articulação, entre a clavícula e o acrômio	Interposto para amortecer parcialmente a articulação incongruente

OUTRAS ESTRUTURAS

Coracoacromial	Extremidade do processo coracoide até as partes anterior e inferior do acrômio	Componente chave do arco coracoacromial; impede a migração do úmero no ombro com deficiência do “manguito rotador”
Transverso superior da escápula	Cruza a incisura da escápula	Nervo supraescapular passa abaixo do ligamento, a artéria supraescapular passa acima dele
Transverso do úmero	Tubérculo menor até o tubérculo maior (cruza o sulco intertubercular)	Estabiliza o tendão do m. bíceps braquial dentro do sulco intertubercular Face lateral do intervalo rotador

PEQUENOS PROCEDIMENTOS



ETAPAS

INFILTRAÇÃO DA ARTICULAÇÃO ACROMIOCLAVICULAR

1. Perguntar ao paciente sobre alergias
2. Palpar a clavícula distalmente à articulação AC (sulco)
3. Preparar a pele (sabão antisséptico/iodo) sobre a articulação AC
4. Fazer a anestesia local da pele
5. Usar uma agulha de calibre 25, inseri-la no sulco verticalmente (ou com uma leve inclinação lateral para medial) e na articulação. Você deve sentir um “estalo/diminuição da resistência” conforme a agulha entra na articulação. Infiltrar 2 mL de preparação de anestésico local/corticosteroide 1:1 (a articulação pode acomodar < 2 mL de líquido). Uma protuberância subcutânea indica que a ponta da agulha está sobre a cápsula articular da articulação AC
6. Fazer curativo no local da infiltração

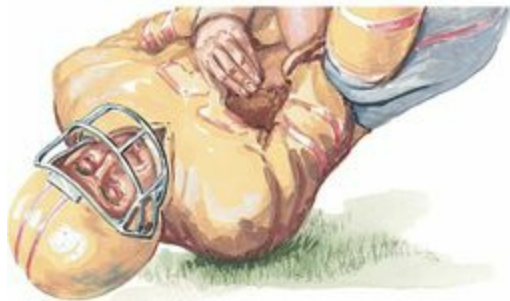
INFILTRAÇÃO DO ESPAÇO SUBACROMIAL

1. Perguntar ao paciente sobre alergias
2. Palpar o acrômio: definir suas margens (esp. margem lateral e o canto posterolateral)
3. Preparar a pele (sabão antisséptico/iodo) sobre a margem acromial
4. Fazer a anestesia local da pele
5. Pressionar o acrômio com o dedo (com luva estéril), inserir a agulha sob o acrômio (lateral ou posterior) com leve inclinação cefálica. **Aspirar para assegurar que não é um vaso**, depois infiltrar 5 mL da preparação; **se estiver na articulação, fluirá facilmente**. Usar: a. infiltração diagnóstica: somente anestésico local; b. infiltração terapêutica: anestésico local/corticosteroide
6. Fazer curativo no local da infiltração

INFILTRAÇÃO GLENOUMERAL

1. Perguntar ao paciente sobre alergias
2. Palpar a região posterior do ombro a procura do “ponto mole” (geralmente 2 cm para baixo, 1 cm medial ao canto posterolateral do acrômio). Também palpar o processo coracoide na face anterior do ombro
3. Preparar a pele (sabão antisséptico/iodo) sobre o “ponto mole” na região posterior do ombro
4. Anestésiar a pele sobre o “ponto mole”. Com luvas estéreis, palpe o “ponto mole” e o processo coracoide
5. A seguir, inserir a agulha no “ponto mole” e direcioná-la para o processo coracoide. Se a agulha atingir o osso, ela deve ser redirecionada (cavidade glenoidal: mover lateralmente; úmero: mover medialmente). Aspirar para assegurar que não é um vaso. Infiltrar a preparação (anestésico local +/- corticosteroide) na articulação (deve fluir facilmente se estiver no espaço articular)
6. Fazer curativo no local da infiltração

HISTÓRIA DA DOENÇA ATUAL



Lesão da articulação acromioclavicular. Geralmente causada por uma queda sobre a ponta do ombro, deprimindo o acrômio (separação do ombro)



Atletas arremessadores podem desenvolver ruptura "manguito rotador", impacto interno e anormalidade do movimento

A instabilidade do ombro é comum em nadadores

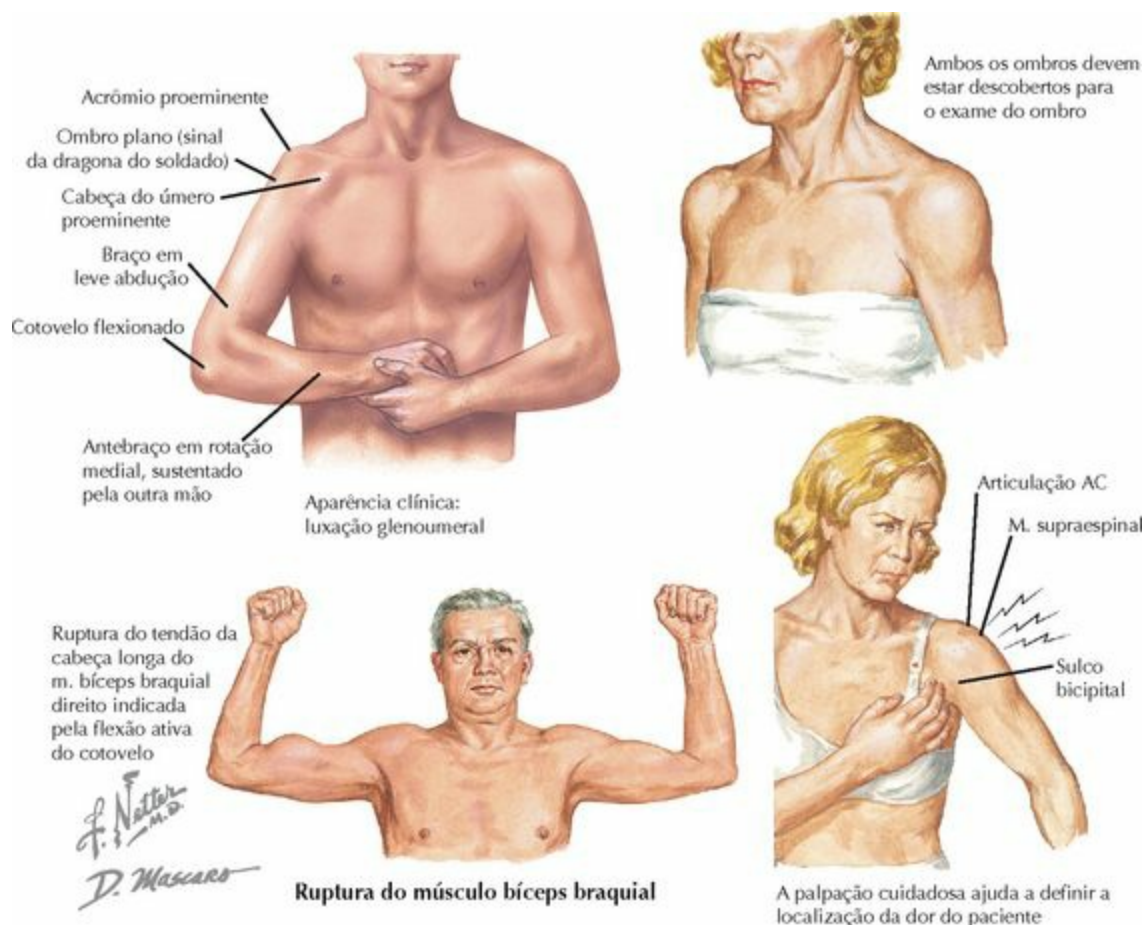


F. Netto M.D.
C. Machado M.D.
JOHN A. CRAIG
D. Mascaro

PERGUNTA	RESPOSTA	APLICAÇÃO CLÍNICA
1. Idade	Idoso	Ruptura do "manguito rotador", impacto, artrite (OA), capsulite adesiva (ombro congelado), fratura de úmero (após queda)
	Jovem	Instabilidade, ruptura de lábio articular, lesão AC, osteólise da parte lateral da clavícula, impacto em atletas
2. Dor		
a. Início	Aguda	Fratura, luxação, ruptura do "manguito rotador", lesão acromioclavicular
b. Localização	Crônica Acima da articulação AC	Impacto, artrite/DAD, ruptura do "manguito rotador" Artrose/separação da articulação AC
c. Ocorrência	Dor noturna	Clássica para ruptura do MR , tumor (raro)
d. Exacerbação/alívio	Piora acima da cabeça Melhora acima da cabeça	Ruptura do "manguito rotador", impacto Radiculopatia cervical

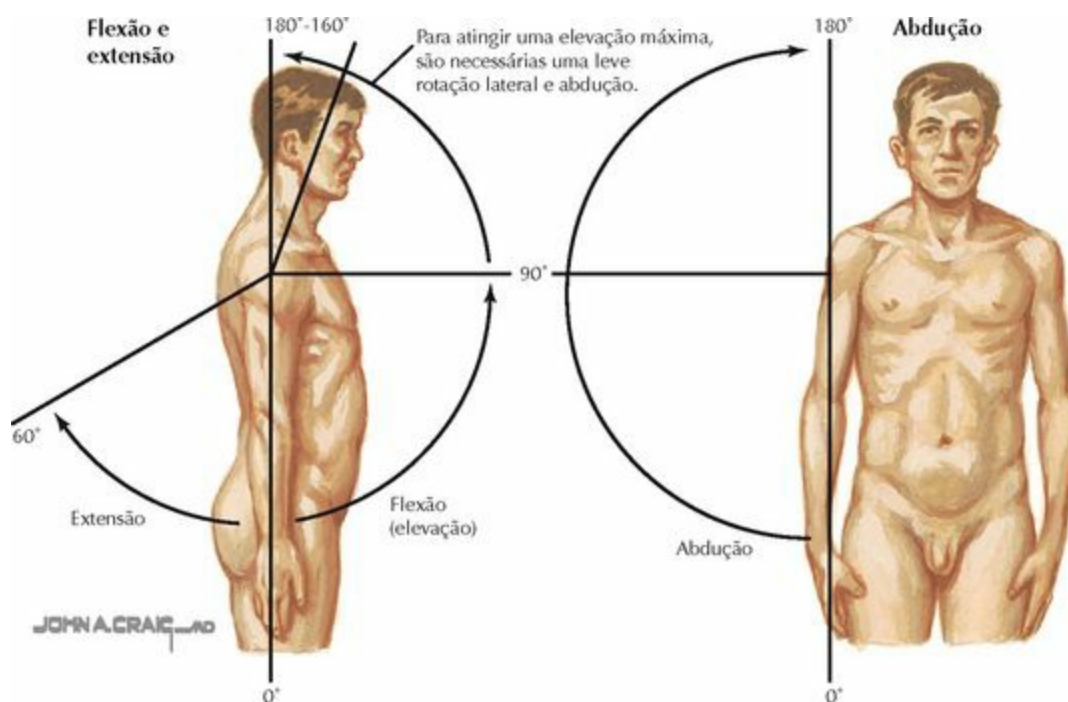
3. Rigidez	Sim	Osteoartrite (OA), capsulite adesiva
4. Instabilidade	“Desliza para dentro e para fora”	Luxação (>90% anterior), esp. em abdução e RL (p. ex., arremessos), subluxação, ruptura do lábio articular
5. Trauma	Impacto direto Lesão acromioclavicular (AC)	Queda sobre a mão hiperestendida Luxação glenoumeral (subluxação; fratura)
6. Ocupação/atividade	Uso acima da cabeça Levantamento de peso Atleta: tipo arremessador Trabalho manual por longos períodos	Ruptura do “manguito rotador” Osteólise (parte lateral da clavícula) Ruptura MR/impacto (interno), instabilidade (nadadores) Artrite (OA)
7. Sintomas neurológicos	Torpor/formigamento/“peso”	Síndrome do desfiladeiro torácico, lesão do plexo braquial
8. HPP	Cardiopulmonar/GI	Dor irradiada para o ombro

EXAME FÍSICO



EXAME/OBSERVAÇÃO	TÉCNICA	APLICAÇÃO CLÍNICA
INSPEÇÃO		
Ambos os ombros devem estar descobertos para uma inspeção e exame apropriados do ombro		
Simetria	Compare os dois lados	Separação acromioclavicular, luxação, atrofia muscular
Atrofia	Perda do contorno /massa muscular	Ruptura de MR, compressão nervosa (p. ex., m. supraescapular)
Deformidade grosseira	Luxação superior	Lesão acromioclavicular (separação)
Deformidade grosseira	Luxação anterior	Luxação anterior (articulação do ombro/glenoumeral)
Deformidade grosseira	Braço de “Popeye”	Ruptura do tendão do m. bíceps braquial (geralmente da extremidade proximal da cabeça longa)
PALPAÇÃO		
		Dor indica lesão/doença acromioclavicular,

Articulação AC	Sentir a extremidade da clavícula	instabilidade da parte lateral da clavícula, separação AC
Tendão do m. supraespal	Sentir o acrômio, abaixo do sulco acromioclavicular	Dor indica bursite e/ou ruptura do tendão do m. supraespal (“manguito rotador”)
Tubérculo maior	Proeminência na parte lateral da cabeça do úmero	Dor indica tendinite do “manguito rotador”, ruptura ou fratura
Tendão do m. bíceps braquial/sulco intertubercular	Sentir o tendão no sulco intertubercular	Dor indica tendinite do m. bíceps braquial

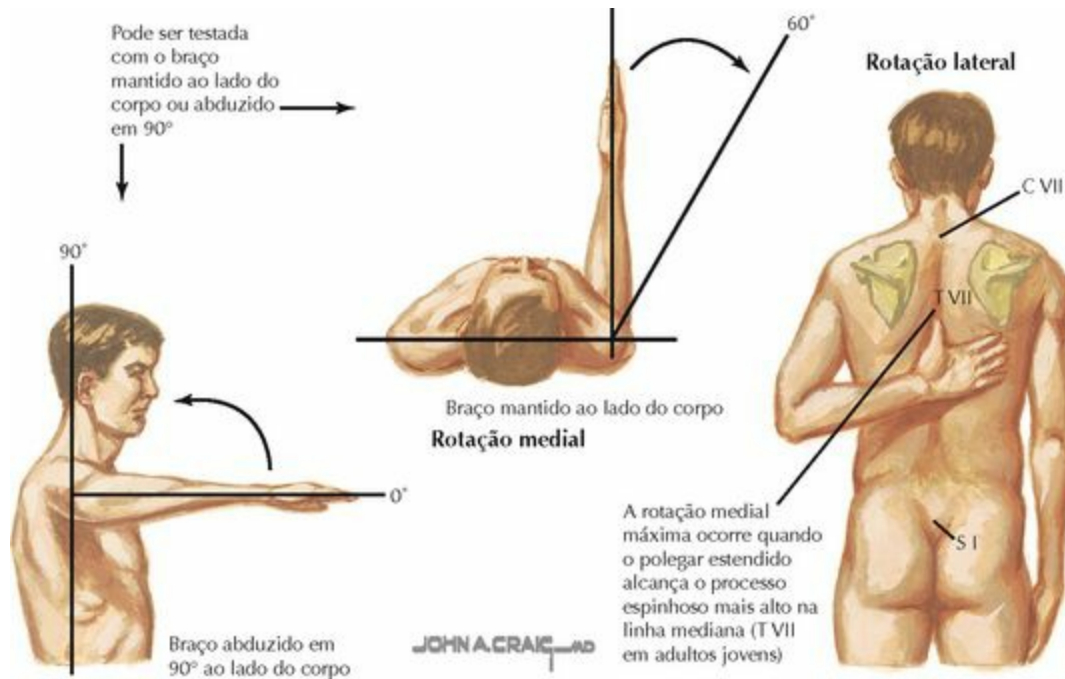


EXAME/OBSERVAÇÃO	TÉCNICA	APLICAÇÃO CLÍNICA
AMPLITUDE DE MOVIMENTO		
Flexão para a frente	Braços ao lado do corpo elevados para a frente	0-160°/180° normal
Extensão	Braços ao lado do corpo para trás	0-60° normal
Abdução	Braços para os lados	0-160°/180° normal
Rotação medial	Colocar o polegar nas costas, anotar o nível	Meio do tórax (T VII) normal, comparar lados
Rotação lateral	1. Cotovelo ao lado do corpo, rotação lateral dos antebraços 2. Abduzir o braço a 90°, rotação	30°-60° normal RL diminuída na capsulite

lateral para cima

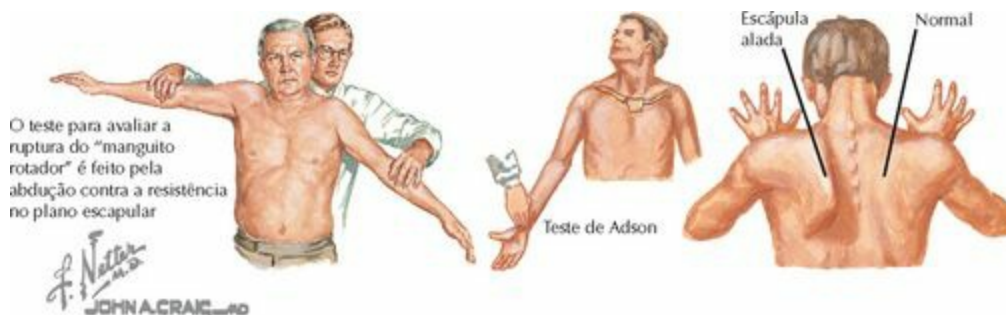
adesiva

- Ruptura do “manguito rotador”: ADM ativa diminuída, ADM passiva “ok”. Capsulite adesiva: ADM ativa e passiva diminuídas
- RL aumentada pode indicar uma **ruptura do m. subescapular**



EXAME/OBSERVAÇÃO	TÉCNICA	APLICAÇÃO CLÍNICA
NEUROVASCULAR		
Sensitivo		
Nervo supraclavicular (C4)	Parte superior do ombro/área clavicular	Déficit indica lesão do nervo/raiz correspondente
Nervo axilar (C5)	Parte lateral do ombro	Déficit indica lesão do nervo/raiz correspondente
Nervo segmentar T2	Axila	Déficit indica lesão do nervo/raiz correspondente
Motor		
N. raiz espinal acessório (NC XI)	Encolhimento do ombro contra a resistência	Fraqueza = Lesão do m. trapézio ou do nervo correspondente
N. supraescapular (C5-C6)	Abdução contra a resistência	Fraqueza = Lesão do m. supraespinal ou do nervo/raiz correspondente
	Rotação lateral	Fraqueza = Lesão do m. infraespinal ou do

	contra a resistência	nervo/raiz correspondente
N. axilar (C5)	Abdução contra a resistência	Fraqueza = Lesão do m. deltoide ou do nervo/raiz correspondente
	Rotação lateral contra a resistência	Fraqueza = Lesão do m. redondo menor ou do nervo/raiz correspondente
Nervo dorsal da escápula (C5)	Encolhimento do ombro	Fraqueza = Lesão do m. levantador da escápula/romboide ou do nervo/raiz correspondente
Nervo toracodorsal (C7-C8)	Adução contra a resistência	Fraqueza = Lesão do m. latíssimo do dorso ou do nervo/raiz correspondente
Nervo peitoral lateral (C5-C7)	Adução contra a resistência	Fraqueza = Lesão do m. peitoral maior ou do nervo/raiz correspondente
Nervo subescapular superior/inferior (C5-C6)	Rotação medial contra a resistência	Fraqueza = Lesão do m. subescapular ou do nervo/raiz correspondente
Nervo torácico longo (C5-C7)	Protração da escápula	Fraqueza = Lesão do m. serrátil anterior ou do nervo/raiz correspondente



EXAME	TÉCNICA	APLICAÇÃO CLÍNICA/DIAGNÓSTICO DIFERENCIAL
TESTES ESPECIAIS		
Impacto/Manguito Rotador		
Sinal do impacto (teste de Neer)	Flexionar para frente > 90°	Dor indica síndrome do impacto
Teste Hawkins	Flexionar para frente 90°, depois RM	Dor indica síndrome do impacto
M. supraespinal/Teste de Jobe	Braço pronado, elevação contra resistência no plano escapular	Dor ou fraqueza indicam ruptura do “manguito rotador” (m. supraespinal) (parcial ou de toda a espessura)
Queda do braço	Elevação > 90°, tentar manter	Incapacidade de manter a flexão (braço

		cai) indica ruptura do m. supraespinal
Sinal do retardo da RL (<i>lag sign</i>)	RL do ombro, paciente mantém	Incapacidade de manter a RL indica ruptura do m. infraespinal
Sinal do Corneteiro	RL contra a resistência em leve abdução	Fraqueza indica ruptura do “manguito rotador” envolvendo o m. infraespinal
Teste de afastamento da mão no dorso (teste de Gerber)	Mão atrás do dorso (nas costas), empurrar para trás	Fraqueza indica ruptura do m. subescapular
Teste de afastamento da mão do dorso com queda	Elevar a mão do dorso, paciente mantém	Incapacidade de manter a mão afastada do dorso indica ruptura do m. subescapular
Pressão do ventre (sinal de Napoleão)	Mão no ventre, empurrar na direção do ventre	Fraqueza indica ruptura do m. subescapular

M. Bíceps Braquial/Parte Superior do Lábio

Compressão ativa (O'Brien)	90° de flexão anterior, 10° de adução, flexão contra resistência; em pronação, <i>depois</i> em supinação	Dor com a flexão contra resistência, maior em pronação indica ruptura LSAP; também pode sugerir doença/lesão da articulação AC
Manivela	90° de abdução, carga axial, rotação	Dor indica ruptura LSAP
Teste de velocidade (<i>speed</i>)	Flexão contra resistência no plano escapular	Dor indica lesão ou tendinite do m. bíceps braquial
Teste de Yergason	Cotovelo em 90°, supinação contra resistência	Dor indica tendinite do m. bíceps braquial

Instabilidade

Teste da apreensão	Abdução, rotação lateral	Dor ou apreensão indicam instabilidade anterior
Relocação	Abdução, RL, força posterior sobre o braço	Alívio da dor/apreensão indica instabilidade anterior
Carga e desvio	Carga axial, translação anterior e posterior	Aumento da translação indica instabilidade anterior ou posterior
Teste de Jerk	Decúbito dorsal, adução, 90° de flexão anterior, empurra posteriormente	Dor/apreensão/translação indicam instabilidade posterior
Sinal do sulco	Tração inferior sobre o braço aduzido	O aumento do sulco acromiomerale (sulco sob a parte lateral do acrômio) indica

Outros

Adução com os braços cruzados à frente do corpo

Aduzir os braços cruzando-os no corpo

Dor na articulação AC indica lesão/doença AC (p. ex., artrose)

Escápula alada

Empurrar uma parede

A escápula alada indica paralisia nervosa ou fraqueza muscular

Teste de Adson

Palpar o pulso radial, rodar o pescoço para o mesmo lado

Torpor ou formigamento sugestivo de síndrome do desfiladeiro torácico

Teste de Wright

Extensão do braço, rotação do pescoço para o lado oposto

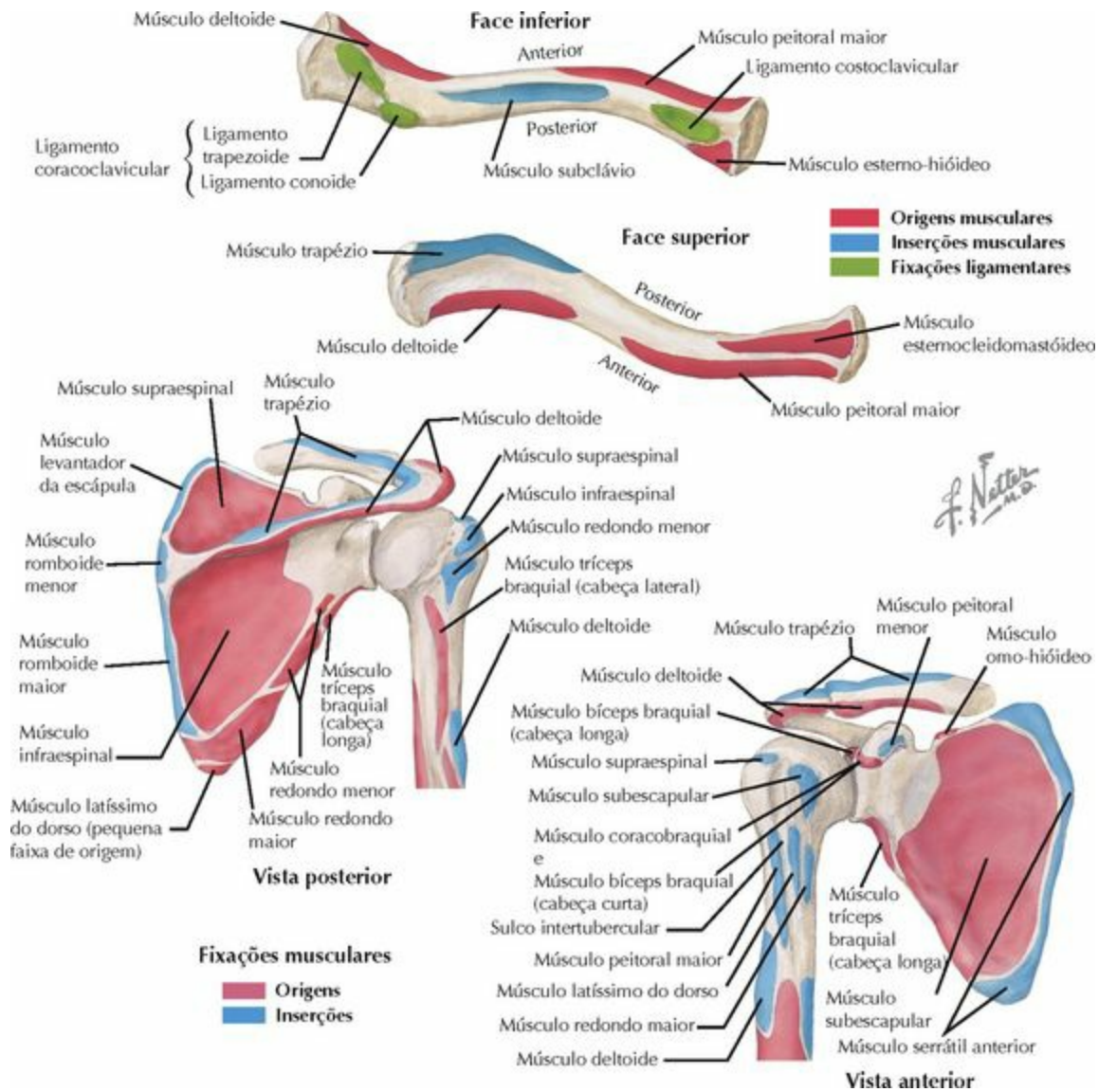
Torpor ou formigamento sugestivo de síndrome do desfiladeiro torácico

Teste de Spurling

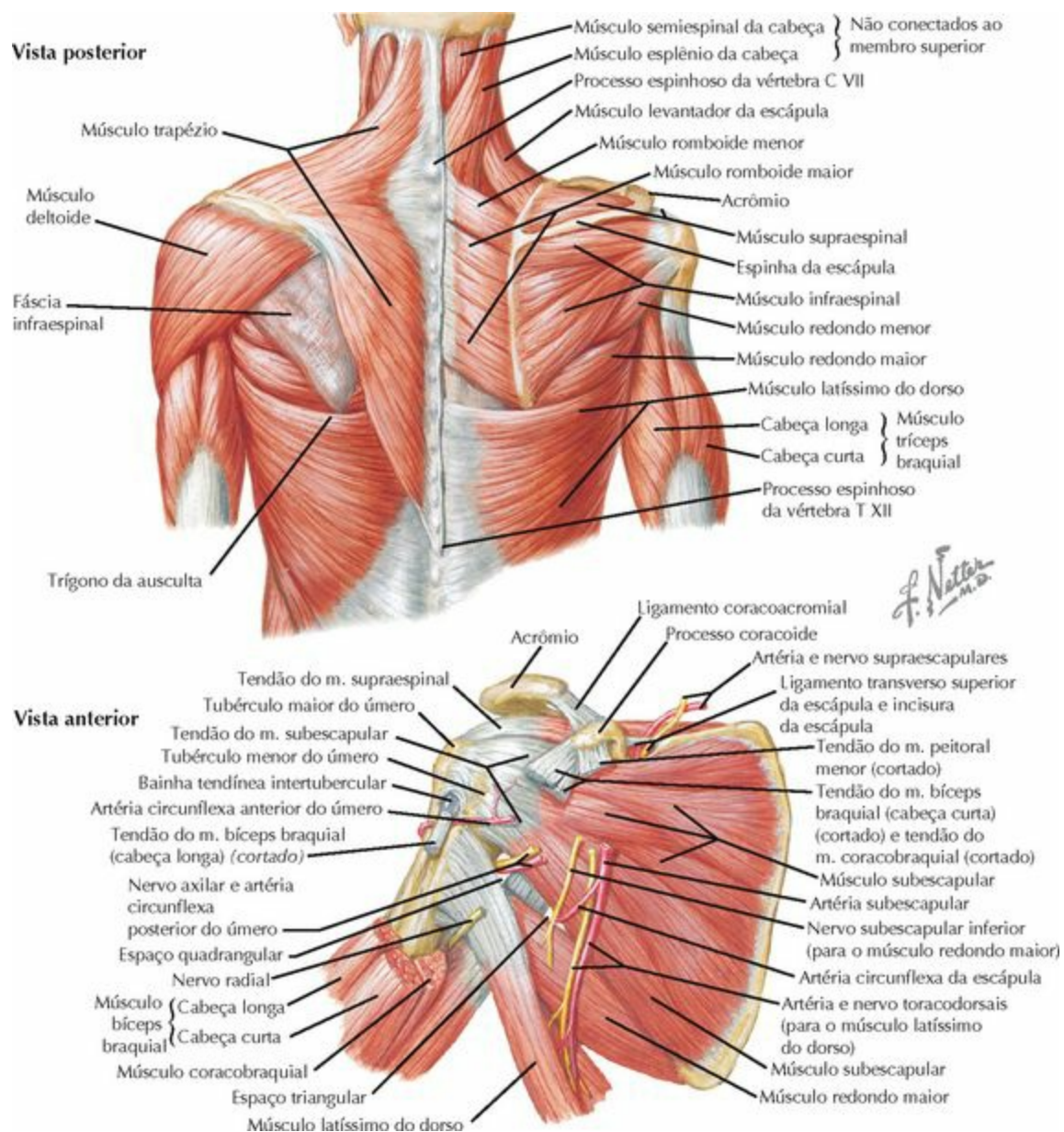
Flexão lateral/compressão axial do pescoço

Reprodução dos sintomas indica lesão/doença na região cervical

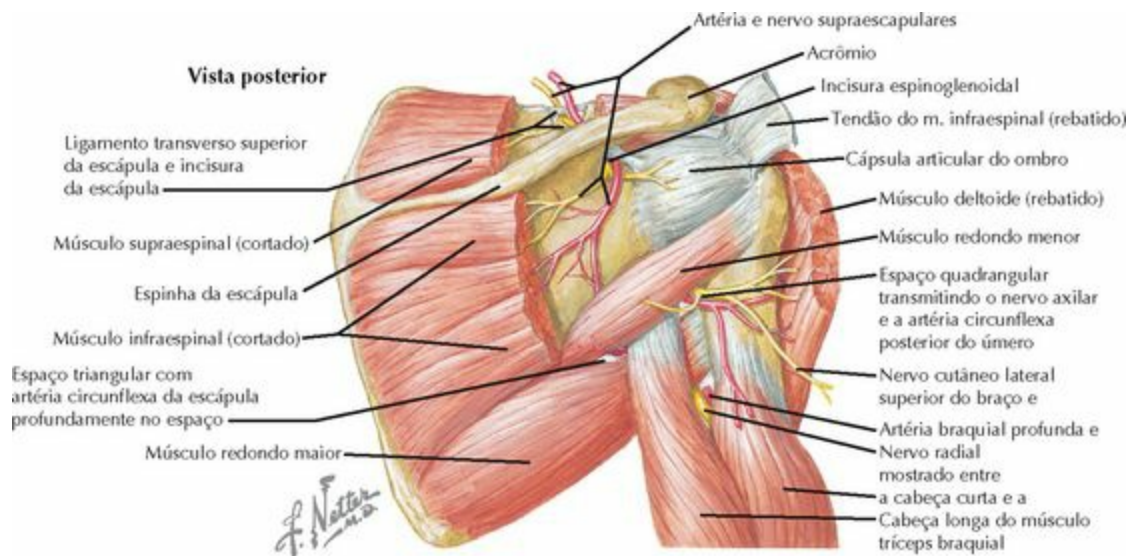
MÚSCULOS: ORIGENS E INSERÇÕES



PROCESSO CORACOIDE	TUBÉRCULO MAIOR	PARTE PROXIMAL DO ÚMERO	ESCÁPULA (ANTERIOR)	ESCÁPULA (POSTERIOR)
ORIGENS				
M. bíceps braquial (cabeça curta)			M. subescapular M. tríceps braquial (cabeça longa)	M. supraespinal M. infraespinal M. deltoide (espinha/acrômio)
M. coracobraquial			M. omo-hióideo	Mm. redondo maior e menor M. latíssimo do dorso
INSERÇÕES				
M. peitoral menor	M. supraespinal M. infraespinal M. redondo menor	M. peitoral maior M. latíssimo do dorso M. redondo maior	M. serrátil anterior	M. trapézio (espinha/acrômio) M. levantador da escápula Mm. romboide maior e menor
<ul style="list-style-type: none"> • A escápula possui 17 músculos que se originam ou se inserem nela • Inserções musculares da parte proximal do úmero (de lateral para medial): mm. peitoral maior, latíssimo do dorso, redondo maior 				



MÚSCULO	ORIGEM (Inserção Proximal)	INSERÇÃO (Inserção Distal)	NERVO	AÇÃO	COMENTÁRIOS
Trapézio	Processos espinhosos C VII-T XII	Clavícula, acrômio, espinha da escápula	NC XI	Elevação e rotação da escápula	Fraqueza resulta em escápula alada
Latíssimo do dorso	T VII-T XII, crista ilíaca	Úmero (sulco intertubercular)	<i>N. toracodorsal</i>	Adução, extensão do braço, RM do úmero	Usado para retalho livre
Levantador da escápula	Processos transversos de C I-C IV	Parte medial superior da escápula	<i>N. dorsal da escápula, C3-4</i>	Elevação da escápula	Conecta o MS à coluna vertebral
Romboide menor	Processos espinhosos de C VII-T I	Parte medial da escápula (na espinha)	<i>N. dorsal da escápula</i>	Adução da escápula	Conecta o MS à coluna vertebral
Romboide maior	Processos espinhosos de T II-T V	Parte medial da escápula	<i>N. dorsal da escápula</i>	Adução da escápula	Conecta o MS à coluna vertebral



ESPAÇO/INTERVALO	MARGENS	ESTRUTURAS
Espaço triangular	M. redondo menor M. redondo maior M. tríceps braquial (cabeça longa)	Artéria circunflexa da escápula
Espaço quadrangular	M. redondo menor M. redondo maior M. tríceps braquial (cabeça longa) Úmero (margem medial)	Nervo axilar Artéria circunflexa posterior do úmero Artéria umeral
	M. redondo maior	

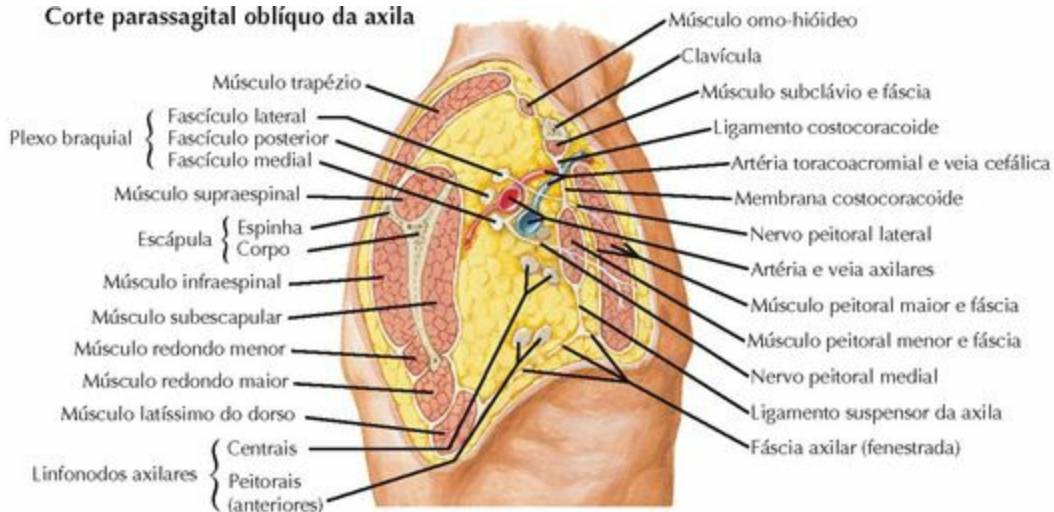
Intervalo triangular

M. tríceps braquial (cabeça longa)
M. tríceps braquial (cabeça curta)

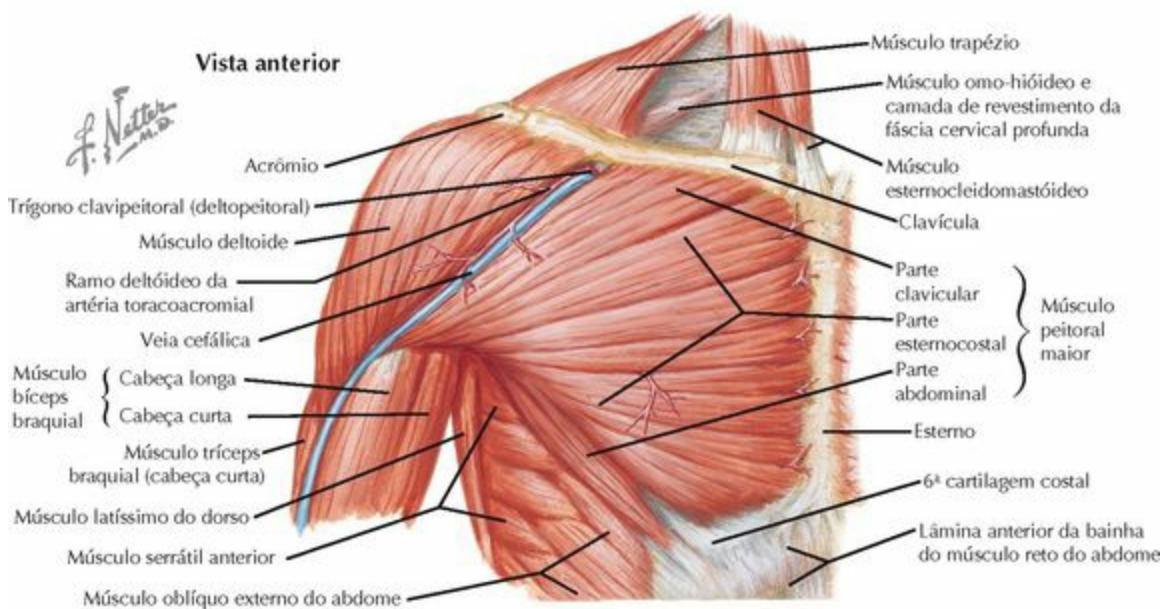
Nervo radial
Artéria braquial profunda

MÚSCULO	ORIGEM (Inserção Proximal)	INSERÇÃO (Inserção Distal)	NERVO	AÇÃO	COMENTÁRIOS
MANGUITO ROTADOR					
Supraespinal	Fossa supraespinal (escápula)	Tubérculo maior (superior)	<i>N. supraescapular</i>	Abdução do braço, estabilidade	Encarcerado no impacto; tendão mais frequentemente rompido do "manguito rotador"
Infraespinal	Fossa infraespinal (escápula)	Tubérculo maior (meio)	<i>N. supraescapular</i>	RL do braço, estabilidade	RL fraca: ruptura do "manguito rotador" ou lesão do nervo supraescapular na <i>incisura</i>
Redondo menor	Parte lateral da escápula	Tubérculo maior (inferior)	<i>N. axilar</i>	RL do braço, estabilidade	Tendão do "manguito rotador" raramente rompido
Subescapular	Fossa subescapular (escápula)	Tubérculo menor	<i>Nn. subescapulares superior e inferior</i>	RM, adução do braço, estabilidade	Em risco no acesso inferior
OUTROS					
Deltóide	Clavícula, acrômio, espinha da escápula	Úmero (tuberosidade para o m. deltóide)	<i>N. axilar</i>	Abdução do braço	Atrofia: lesão do <i>nervo axilar</i>
Redondo maior	Ângulo inferior da escápula	Úmero (sulco intertubercular)	<i>N. subescapular inferior</i>	RM, adução do braço	Protege o <i>nervo radial</i> no acesso posterior

Corte parasagital oblíquo da axila



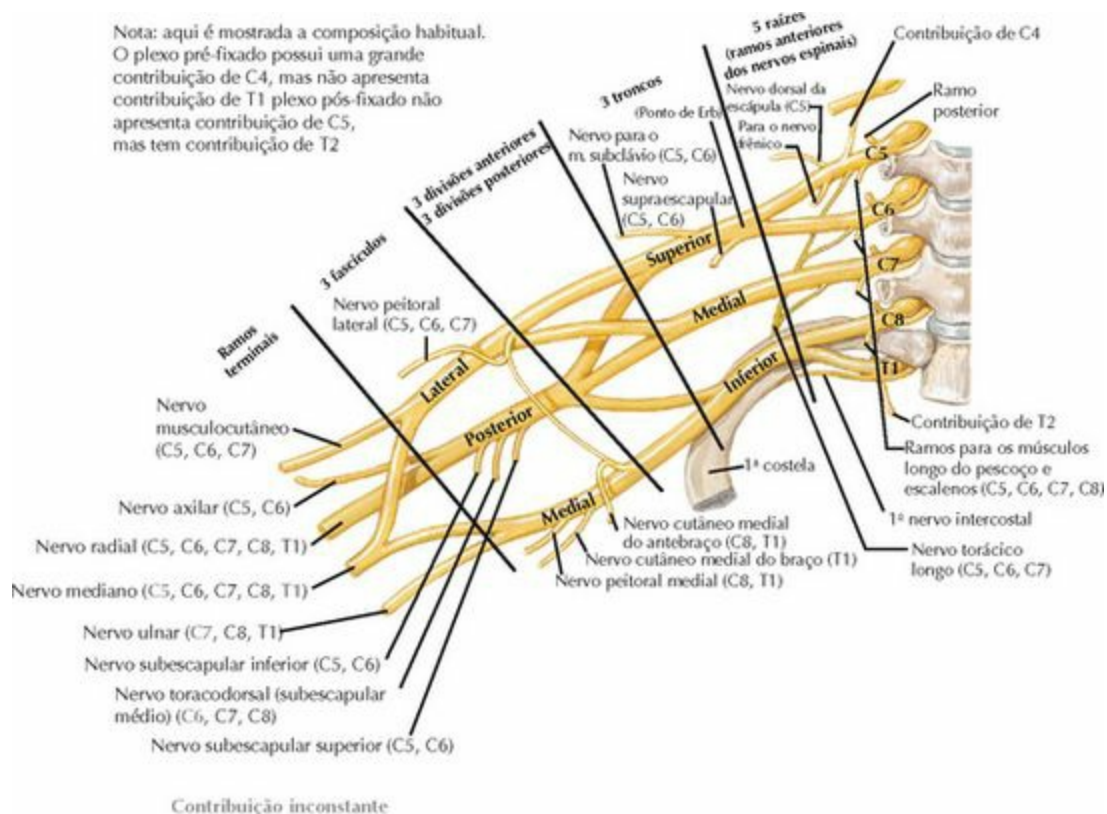
Vista anterior



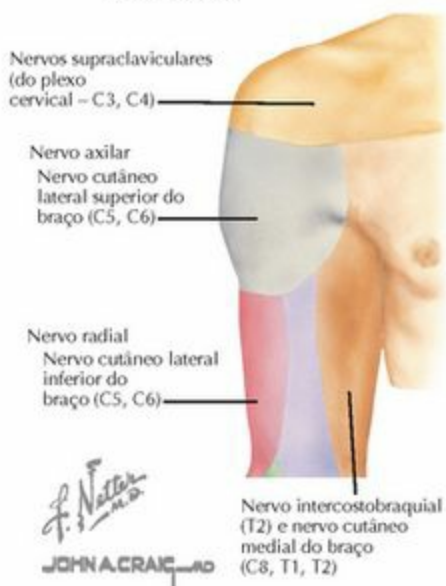
MÚSCULO	ORIGEM (Inserção Proximal)	INSERÇÃO (Inserção Distal)	NERVO	AÇÃO	COMENTÁRIOS
Deltoide	Clavícula, acrômio, espinha da escápula	Úmero (tuberosidade para o m. deltoide)	<i>N. axilar</i>	Abdução do braço	Atrofia: lesão do nervo axilar
Peitoral maior	1. Clavícula 2. Esterno	Úmero (sulco intertubercular)	<i>N. peitoral lateral</i> <i>N. peitoral medial</i>	Adução do braço, RM do úmero	Pode se romper durante o levantamento de peso
Peitoral menor	Costelas III-V	Processo coracoide (escápula)	<i>N. peitoral medial</i>	Estabilização da escápula	Divide a artéria axilar em 3 partes
Serrátil anterior	Costelas I-VIII (lateral)	Escápula (margem anteromedial)	<i>N. torácico longo</i>	Mantém a escápula junto à parede torácica	Paralisia resulta em escápula alada
Subclávio	Costela I (e cartilagem costal)	Clavícula (margem inferior/terço médio)	Nervo para o m. subclávio	Deprime (abaixa) a clavícula	Protege os vasos subclávios

NERVOS

Nota: aqui é mostrada a composição habitual. O plexo pré-fixado possui uma grande contribuição de C4, mas não apresenta contribuição de T1 plexo pós-fixado não apresenta contribuição de C5, mas tem contribuição de T2



Vista anterior



NERVOS CRANIANOS

Ponte espinal do n. acessório (NC XI): cursa sobre o m. levantador da escápula
Sensitivo: nenhum

Motor:

m. trapézio
 m. esternocleidomastóideo

PLEXO CERVICAL

Nervo supraclavicular (C2-C3): 3 partes: anterior, média, posterior

Sensitivo: sobre o m. trapézio, clavícula e m. deltoide (parte superior do ombro)

Motor: nenhum

PLEXO BRAQUIAL

Raízes

Nervo dorsal da escápula (C3-C5): perfura o m. escaleno médio, localizado abaixo do m. levantador da escápula

Sensitivo: nenhum

Motor: m. levantador da escápula
mm. romboides maior e menor

Nervo torácico longo (C5-C7): cursa na superfície anterior do m. serrátil anterior com a artéria *torácica lateral*

Sensitivo: nenhum

Motor: serrátil anterior

Tronco Superior

Nervo supraescapular (C5-C6): passa **por baixo** do ligamento na incisura da escápula e inerva o m. supraespinal; em seguida, passa através da incisura espinoglenoidal (onde pode ser comprimido) para a fossa infraespinal (inerva o m. infraespinal)

Sensitivo: cápsula articular do ombro

Motor: m. supraespinal
m. infraespinal

Nervo subclávio (C5-C6): desce posteriormente à clavícula

Sensitivo: nenhum

Motor: m. subclávio

Fascículo Medial

Nervo peitoral medial (C5-C7): nomeado pelo fascículo, cursa lateralmente ao nervo peitoral lateral

Sensitivo: nenhum

Motor: m. peitoral menor
m. peitoral maior (parte esternal)

Raiz medial do nervo mediano

Fascículo Posterior

Nervo subescapular superior (C5-C6)

Sensitivo: nenhum

Motor: m. subescapular, parte superior

Nervo toracodorsal (C7-C8): Cursa com a artéria **toracodorsal** abaixo do músculo latíssimo do dorso

Sensitivo: nenhum

Motor: m. latíssimo do dorso

Nervo subescapular inferior (C5-C6)

Sensitivo: nenhum

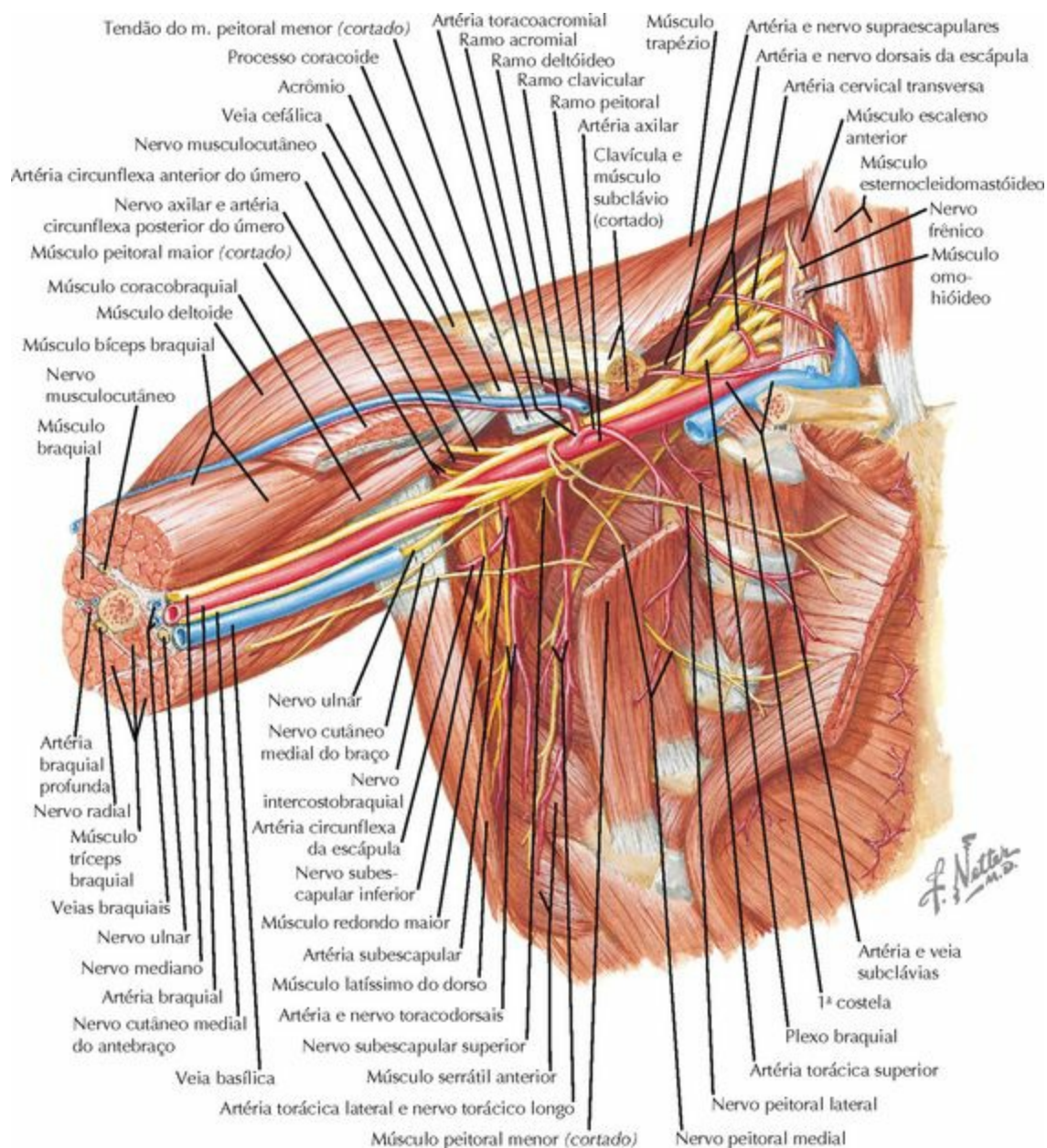
Motor: m. subescapular, parte inferior
m. redondo maior

Nervo axilar (C5-C6): imediatamente inferior à **cápsula** articular. Cursa posteriormente com a **artéria circunflexa posterior do úmero** através do **espaço quadrangular**; depois inclina-se anteriormente por aproximadamente **5 cm** distal ao acrômio. Pode ser lesionado nas **luxações glenomerais** e nos acessos laterais.

Sensitivo: parte lateral da extremidade proximal do braço: **via n. cutâneo lateral superior** do braço

Motor: m. deltoide via **ramo profundo**
m. redondo menor: **via ramo superficial**

ESTRUTURAS NEUROVASCULARES

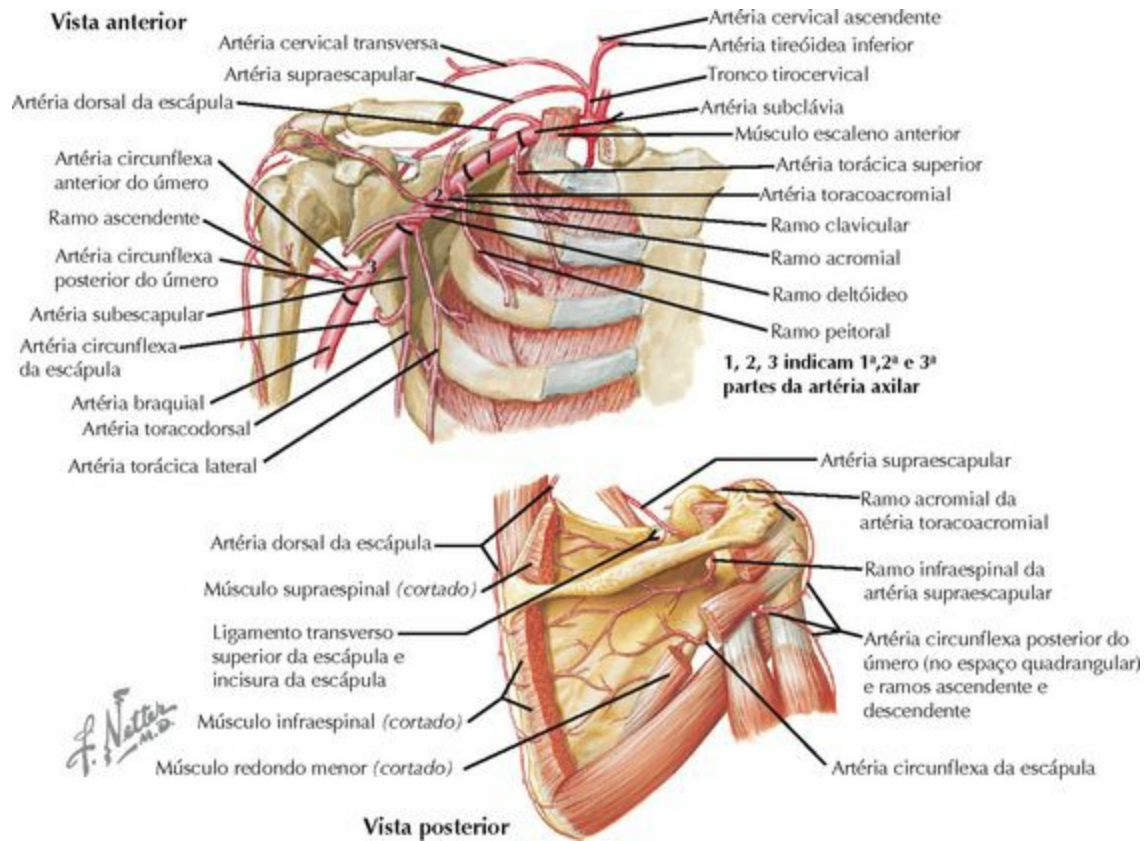


PLEXO BRAQUIAL

- O plexo braquial é um complexo de nervos entrelaçados que inervam o ombro e o membro superior
- É derivado das raízes anteriores de C5-T1 (variações: C4 [pré-fixado], T2 [pós-fixado])
- Subdivisões: ramos (raízes), troncos, divisões, fascículos e ramos
- Os ramos saem entre os músculos escalenos **anterior** e **médio** e cursam com a artéria subclávia na bainha axilar
- Os ramos e troncos são supraclaviculares. Existem 2 nervos provenientes dos ramos e 2 nervos provenientes dos troncos (superior)
- As divisões ocorrem abaixo (posteriormente à) da clavícula. As divisões anteriores inervam os músculos flexores. As divisões posteriores inervam os músculos extensores

- Os fascículos e os ramos terminais são infraclaviculares. Os fascículos são nomeados tendo em vista sua relação com a **artéria axilar**
- Os ramos terminais dos fascículos são nervos periféricos que inervam a região do ombro e o membro superior
- As lesões do plexo braquial podem ser parciais ou completas. As lesões afetam todos os nervos distais ao local da lesão (p. ex., paralisia de Erb: C5-C6)

ARTÉRIAS



TRAJETO

RAMOS

COMENTÁRIOS/SUPRIMENTO

ARTÉRIA SUBCLÁVIA

Ramos oriundos da aorta (esq.) ou do tronco braquiocefálico (dir.), entre os músculos escaleno anterior e médio com o **plexo braquial**

Tronco tireocervical

3 outros ramos para o pescoço

Artéria supraescapular

Passa **sobre** o ligamento transverso superior da escápula até os músculos do manguito rotador

Ramo infraespinal

Passa ao redor da incisura espinoglenoidal com o n. supraescapular

Dorsal da escápula

Divide-se ao redor do músculo levantador da escápula

ARTÉRIA AXILAR

Para os músculos serrátil anterior e peitorais
Possui 4 ramos
Pode ser lesionada nas fraturas de clavícula ou durante a cirurgia

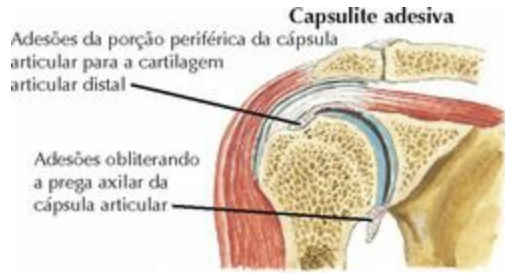
Continuação da a. subclávia depois da **1ª costela**. Passa através da axila em direção ao braço, tornando-se a artéria braquial na margem inferior do músculo **redondo maior**

I. Torácica superior
 II. Toracoacromial
 Ramo clavicular
 Ramo acromial
 Ramo deltóideo
 Ramo *peitoral*
 Torácica lateral
 III. Subescapular
 Circunflexa da escápula
 Toracodorsal
 Circunflexa anterior do úmero
 Ramo
 ascendente
 Artéria arqueada
 Circunflexa posterior do úmero

Com o **ligamento coracoacromial** em risco na **descompressão subacromial**
 Com a veia cefálica, em risco no acesso clavipeitoral (deltopeitoral)
 Cursa com o nervo peitoral lateral
 Cursa com o nervo torácico longo para o m. serrátil anterior
 Possui 2 ramos principais
 Vista posteriormente no **espaço triangular**
 Cursa com o nervo *toracodorsal*.
 Utilizada para retalhos
 Suprimento primário da **cabeça do úmero** (via ramos ascendentes)
 Lesão (p. ex., fraturas do colo anatômico) leva à osteonecrose
 Supre a maior parte da **cabeça do úmero**, também os tubérculos
 Vista no **espaço quadrangular** com o nervo axilar

A artéria axilar é dividida em 3 partes pelas margens do músculo **peitoral menor** (1ª proximal, 2ª posterior, 3ª distal) A primeira parte (I) possui 1 ramo, a segunda parte (II) tem 2 ramos e a terceira parte (III), 3 ramos

DISTÚRBIOS



Corte frontal (coronal) do ombro demonstra adesões entre a cápsula articular e a periferia da cabeça do úmero



Radiografia AP do ombro demonstrando alterações típicas de uma osteoartrite do ombro com estreitamento das articulações e formação proeminente de osteófitos na face inferior da cabeça do úmero

Artrite da art. do ombro (glenoumeral)



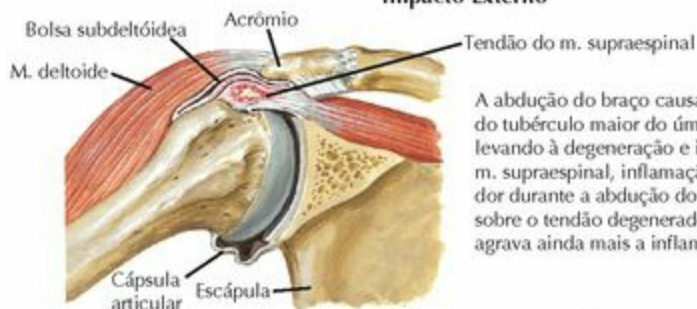
Arthrografia anteroposterior de um ombro normal (esquerda). A prega axilar e a bainha do m. biceps braquial podem ser visualizadas. Volume da cápsula articular normal. Arthrografia anteroposterior de um "ombro congelado" (direita). Diminuição da capacidade articular. A prega axilar e a bainha do m. biceps braquial não são evidentes



J. Natter M.D.
JOHN A. CRAIG M.D.

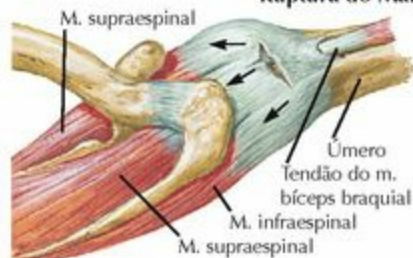
DESCRIÇÃO	HDA e EF	AValiação	TRATAMENTO
CAPSULITE ADESIVA ("OMBRO CONGELADO")			
<ul style="list-style-type: none"> Inflamação sinovial leva a fibrose capsular (espessamento) e diminuição do espaço articular (esp. no recesso) Três estágios: dor, rigidez, resolução/ "descongelamento" 	<p>HDA: dor, rigidez, +/- HPP (DM, doença tireoideana), trauma, imobilização</p> <p>EF: diminuição da ADM ativa e passiva</p>	<p>RX: série para ombro: geralmente normal</p> <p>Artrografia: demonstra diminuição do volume capsular</p>	<ul style="list-style-type: none"> Fisioterapia (exercícios suaves ativos e passivos para ADM) e controle da dor (6+ meses) Lise artroscópica das adesões nos casos refratários
ARTROSE ACROMIOCLAVICULAR			
<ul style="list-style-type: none"> Degeneração da articulação AC Associada a trauma prévio, uso excessivo ou doença do "manguito rotador" Osteólise em fisiculturistas 	<p>HDA: dor, +/- atrito</p> <p>EF: SP na articulação AC, dor com adução além da linha média (<i>crossbody</i>) do corpo, +/- instabilidade sutil (à palpação)</p>	<p>RX: estreitamento e esporões na art. AC</p> <p>RM: geralmente não é necessária; demonstrar edema e degeneração</p>	<ul style="list-style-type: none"> Repouso, modificação de atividades Infiltração com corticosteroides Ressecção aberta ou artroscópica da extremidade acromial da clavícula (Mumford)
ARTRITE DA ARTICULAÇÃO DO OMBRO (GLENOUMERAL)			
<ul style="list-style-type: none"> Osteoartrite nº 1, também AR Pode ser pós-traumática (p. ex., fraturas), secundária a ruptura do MR ou cirurgia (p. ex., Putti-Platt) 	<p>HDA: geralmente idoso, dor, rigidez, +/- trauma antigo</p> <p>EF: diminuição da ADM, +/- atrofia, crepitação</p>	<p>RX: estreitamento articular, osteófitos</p> <p>RM: para avaliação do "manguito rotador", se indicado</p>	<ul style="list-style-type: none"> AINE, fisioterapia Infiltrações com corticosteroides Hemiartroplastia vs. artroplastia total do ombro
TENDINITE DO M. BÍCEPS BRAQUIAL			
<ul style="list-style-type: none"> Assoc. a impacto, ruptura do MR (esp. o m. subescapular) e subluxação do tendão (lesão da polia do bíceps) 	<p>HDA: dor, +/- estalido</p> <p>EF: SP sobre o m. bíceps braquial, testes de Speed e Yergason</p>	<p>RX: geralmente normal</p> <p>RM: avaliar a ruptura</p>	<ul style="list-style-type: none"> Fisioterapia Infiltração com corticosteroides Tenodese vs. tenotomia
RUPTURA DO TENDÃO DO M. BÍCEPS BRAQUIAL (PROXIMAL)			
<ul style="list-style-type: none"> Geralmente na população mais idosa Geralmente ruptura degenerativa Associada a impacto e rupturas do MR 	<p>HDA: dor e deformidade</p> <p>EF: deformidade do tipo "braço de Popeye", fraqueza durante a supinação</p>	<p>RX: geralmente normal</p> <p>RM: geralmente não é necessária, mas demonstrará a ruptura</p>	<ul style="list-style-type: none"> Fisioterapia. o paciente geralmente apresenta uma fraqueza residual durante a supinação Considerar tenodese (esp. em pacientes mais jovens/ativos)

Impacto Externo



A abdução do braço causa impacto de repetição do tubérculo maior do úmero sobre o acrômio, levando à degeneração e inflamação do tendão do m. supraespal, inflamação secundária da bolsa e dor durante a abdução do braço. O depósito calcificado sobre o tendão degenerado produz elevação que agrava ainda mais a inflamação e a dor

Ruptura do Manguito Rotador



Ruptura aguda (vista superior). Geralmente associada à ruptura com fissura paralela às fibras do tendão



Comunicação entre a articulação do ombro e a bolsa subdeltóidea é patognômica de ruptura do manguito rotador



Ruptura com retração, comumente encontrada em cirurgias

DESCRIÇÃO	HDA e EF	AVALIAÇÃO	TRATAMENTO
IMPACTO EXTERNO			
<ul style="list-style-type: none"> • "Manguito rotador" e bolsa presos entre o acrômio e o tubérculo maior • Espectro da doença varia de bursite, tendinopatia, ruptura parcial ou até a ruptura de toda a espessura do manguito rotador 	<p>HDA: dor com as atividades acima da cabeça, levantamentos etc.</p> <p>EF: sinal/teste Neer +, teste Hawkins +</p> <p>MR: forte +/- doloroso</p>	<p>RX: incidência da abertura (<i>outlet</i>): procurar por acrômio em gancho (tipo 2, 3) ou esporão</p> <p>RM: melhor estudo para avaliar uma possível ruptura do MR</p>	<ul style="list-style-type: none"> • AINE, modificação de atividade • Fisioterapia (fortalecimento do manguito rotador) • Infiltração subacromial com esteroides • Descompressão subacromial
RUPTURA DO "MANGUITO ROTADOR"			
<ul style="list-style-type: none"> • Crônica: associada a impacto (usualmente na face da bolsa) • Aguda: em arremessadores (face articular) ou após luxações (> 40 anos de idade) • M. supraespal nº 1 • Classificada pelo tamanho: < 3 cm, 3-5 cm, > 5 cm ou pelo nº de tendões envolvidos 	<p>HDA: dor em atividades acima da cabeça e noturnas, +/- fraqueza</p> <p>EF: dor +/- fraqueza:</p> <ul style="list-style-type: none"> ◦ SE: elevação + Jobe ◦ IE: RL + corneteiro ◦ M. subescapular: RM + levantamento + compressão do ventre, aumento da RL 	<p>RX: Pode demonstrar Ca⁺⁺ do tendão, esporões, ou elevação da cabeça do úmero</p> <p>RM: Excelente para imagens das rupturas do "manguito rotador"; contraste demonstra comunicações entre a articulação e o espaço subacromial</p>	<ul style="list-style-type: none"> • Modificação de atividade, AINE • Fisioterapia: exercícios ADM, fortalecimento do MR, estabilização escapular • Cirúrgico <ul style="list-style-type: none"> ◦ Ruptura parcial: descompressão subacromial e desbridamento vs. reparo do manguito rotador ◦ Ruptura completa: reparo do MR



DESCRIÇÃO	HDA e EF	AValiação	TRATAMENTO
INSTABILIDADE DA ARTICULAÇÃO DO OMBRO (GLENOUMERAL)			
TUBC			
<ul style="list-style-type: none"> • Resultado de uma luxação (Trauma) • Geralmente Unilateral • Ruptura do lábio articular (lesão de Bankart) resulta da subluxação • Cirurgia geralmente é indicada (devido à taxa de recorrência de 90%) 	HDA: luxação, dor e instabilidade recorrente EF: + apreensão e relocação , + carga e desvio (uma direção), + Jerk (lesão posterior)	RX: incidência West Point TC: para lesões da cavidade glenoidal Artrografia por RM: sensível para ruptura do lábio articular; pode demonstrar aumento do volume capsular	<ul style="list-style-type: none"> • Fisioterapia (fortalecimento do "manguito rotador") e ADM • Reparo de Bankart (do lábio articular) com Imbricação capsular (aberta ou artroscópica)
AMBRI			
<ul style="list-style-type: none"> • Atraumática (sem luxação) • Multidirecional (ant., inf., post.) • Bilateral (1 lado geralmente pior) • Responde à Reabilitação • Desvio capsular Inferior pode ajudar 	HDA: dor (pelo aumento da mobilidade articular) EF: carga e desvio (geralmente ant. e post.) + sinal do sulco	RX: geralmente normal RM: geralmente não é necessária na ausência de trauma; lábio articular normal na AMBRI	<ul style="list-style-type: none"> • Fisioterapia (tempo maior) (fortalecimento do "manguito rotador") • Desvio capsular inferior aberto vs. imbricação capsular artroscópica (até 270°)
RUPTURA DO M. PEITORAL MAIOR			
<ul style="list-style-type: none"> • Lesão rara, geralmente em pacientes jovens • Mais comum em fisiculturistas • Contração excêntrica máxima 	HDA: dor aguda EF: deformidade na axila, acentuada com a adução	RX: procurar por avulsão RM: pode avaliar a retração do tendão	<ul style="list-style-type: none"> • Reparo precoce indicado • Reparo tardio controverso • Tratamento conservador gera resultados adequados
ESCÁPULA ALADA			
<ul style="list-style-type: none"> • Medial: fraqueza do m. serrátil anterior devido à paralisia do nervo torácico longo • Lateral: fraqueza do m. trapézio devido à paralisia da raiz espinal do nervo acessório (NC XI) 	HDA: fraqueza EF: escápula alada observada pelo dorso	RX: geralmente normal EMG/ENC: confirma a paralisia nervosa	<ul style="list-style-type: none"> • Observação (1-2 anos) • Casos refratários: Medial: transferência do m. peitoral maior Lateral: transferência do m. levantador da escápula
RUPTURA SUPERIOR DO LÁBIO GLENOIDAL (LESÃO SLAP)			
<ul style="list-style-type: none"> • Ruptura da parte superior do lábio (âncora do biceps) da região anterior para a posterior • Crônica (com ruptura do MR) ou aguda (carga sobre o braço hiperestendido) • 7 tipos baseados na extensão da ruptura 	HDA: dor +/- estalidos, fraqueza etc. EF: + teste de O'Brien , + teste da manivela , +/- arco de movimento doloroso	RX: geralmente normal Artrografia por RM: mais sensível para rupturas dos lábios articulares	<ul style="list-style-type: none"> • Repouso, modificação de atividade, fisioterapia • Desbridamento do lábio superior, reparo ou tenodese do m. biceps braquial baseado no tipo da lesão (I-VII)
SÍNDROME DO DESFILADEIRO TORÁCICO			
<ul style="list-style-type: none"> • Compressão de estruturas neurovasculares (veia, artéria, plexo braquial) no pescoço pela primeira costela e músculos escalenos • Também associada a costelas cervicais 	HDA: sintomas vagos: dor e torpor/sensação de frio EF: + teste de Adson , + teste de Wright , diminuição de pulsos	RX: ombro: normal Região cervical da coluna vertebral: procurar por costela cervical RX tórax: excluir massa pulmonar EMG: plexo braquial	<ul style="list-style-type: none"> • Modificação de atividade • Fisioterapia e treinamento da postura • Ressecção de costela (esp. costela cervical) ou ressecção do processo transverso raramente indicados

DISTÚRBIOS PEDIÁTRICOS

Deformidade de Sprengel



Criança com elevação congênita da escápula esquerda. Observe o encurtamento do pescoço para o mesmo lado e a tendência para o torcicolo



Radiografia demonstra osso omovertebral (setas) conectando a escápula aos processos espinhosos de vértebras cervicais através da articulação osteocondral (1)

F. Natter
M.D.

DESCRIÇÃO

AVALIAÇÃO

TRATAMENTO

DEFORMIDADE DE SPRENGEL

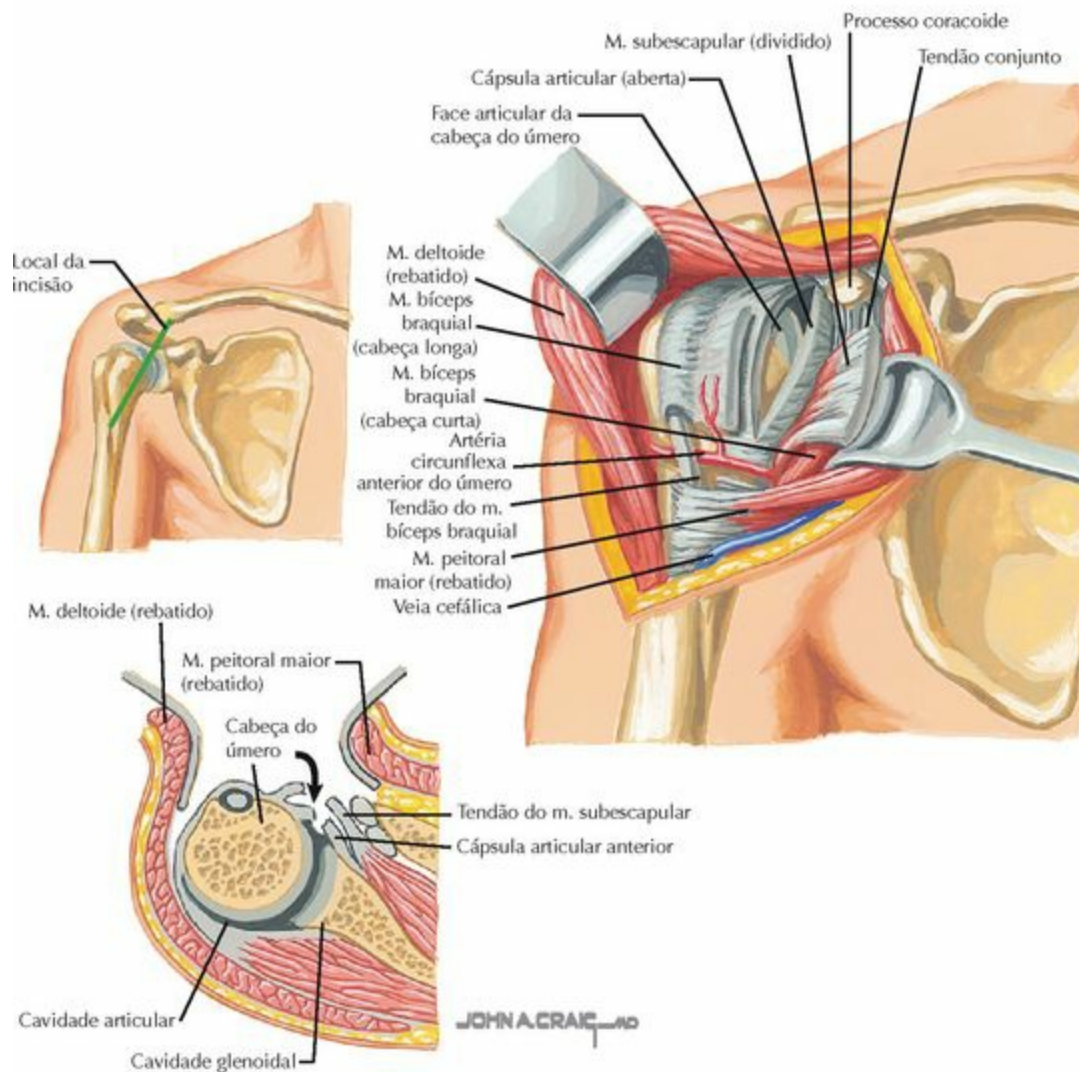
- Escápulas pequenas (hipoplásicas) e altas, osso **omovertebral** conecta a região cervical da coluna vertebral (processo espinhoso) à escápula
- Associada à síndrome de Klippel-Feil, escoliose, doença renal

HDA: os pais notam anormalidade de pescoço/escápula
EF: o pescoço parece curto; geralmente há diminuição da ADM (esp. abdução)
RX: procurar por osso omovertebral

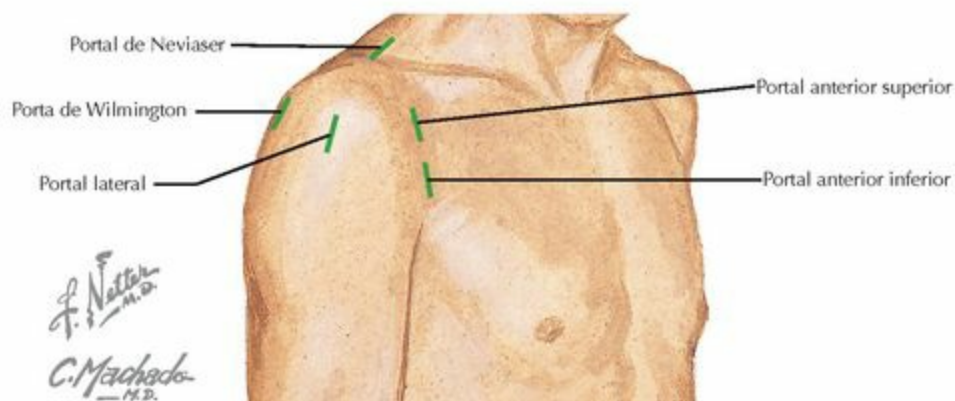
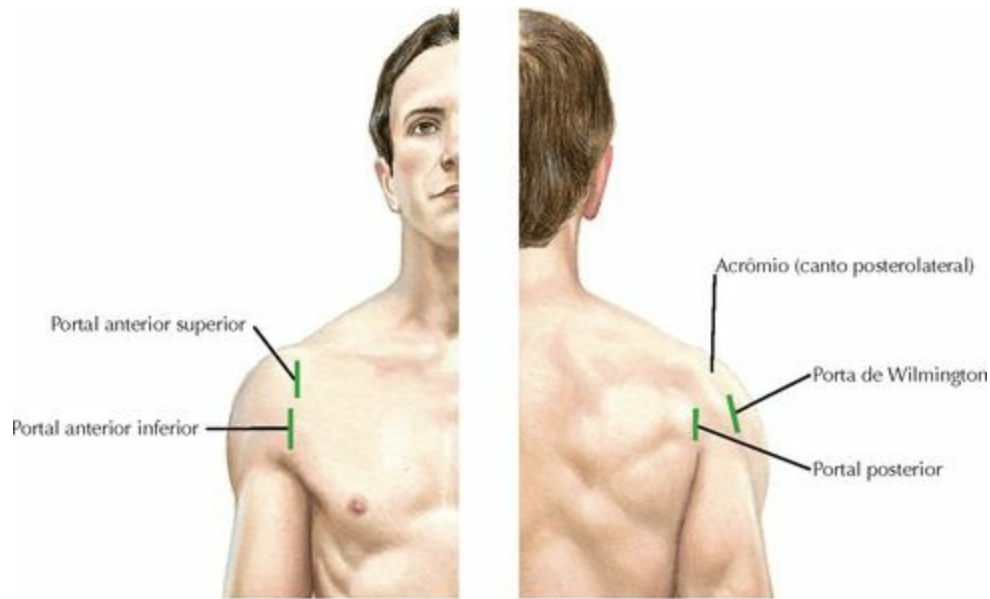
- Leve: observação
- Sintomática: ressecção do osso omovertebral, distalização da escápula com transferência muscular, +/- osteotomia da clavícula para proteger o plexo braquial

ACESSOS CIRÚRGICOS

Acesso Deltopeitoral à Articulação do Ombro



USOS	PLANO ENTRE OS NERVOS	RISCOS	COMENTÁRIOS
ACESSO ANTERIOR (DELTOPEITORAL)			
<ul style="list-style-type: none"> • Reparos abertos do manguito rotador (esp. do m. subescapular) ou do lábio articular • Artroplastia (hemi vs. total) • Fraturas da porção proximal do úmero 	<ul style="list-style-type: none"> • M. deltoide (axilar) • M. peitoral maior (n. peitoral lateral e medial) 	<ul style="list-style-type: none"> • N. musculocutâneo (com retração vigorosa do tendão conjunto) • Veia cefálica • Nervo axilar 	<ul style="list-style-type: none"> • O m. subescapular deve ser aberto e reparado no acesso • 3 vasos cursam ao longo da margem inferior do m. subescapular; podem precisar ser ligados • Adução/RL protege o n. axilar
COMPLICAÇÕES: Ruptura do m. subescapular ; neuropraxia (nervo musculocutâneo ou axilar)			

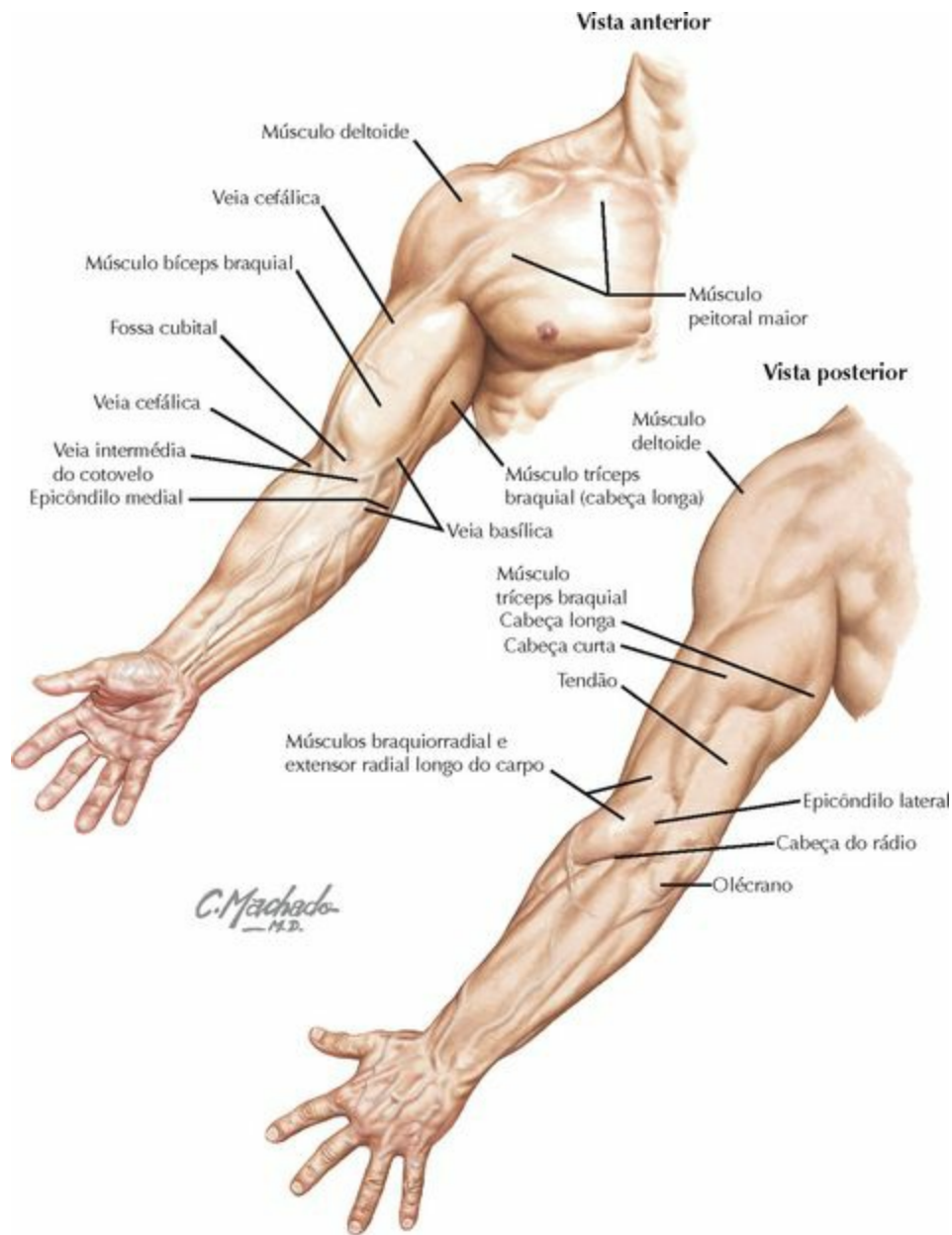


PORTAL	LOCALIZAÇÃO	RISCOS	COMENTÁRIOS
PORTAIS ARTROSCÓPICOS			
Posterior	2 cm abaixo, 1 cm medial ao canto posterolateral do acrômio (no "ponto mole")	Parte posterior da cápsula/ lábio articular	Portal de visualização primário
Anterior superior	Ambos portais anteriores localizam-se entre a articulação AC e o processo coracoide	Ligamento e/ou artéria coracoacromial	Geralmente utilizado para instrumentos
Anterior inferior	No intervalo rotador	Nervo musculocutâneo	Entra logo acima do tendão do m. subescapular
Lateral	2 cm distal à margem acromial	Nervo axilar (5 cm distal)	Visualiza o MR e o acrômio
Wilmington	1 cm ant., 1 cm distal ao canto posterolateral do acrômio	Portal seguro	Útil para o reparo do MR e lábio articular
Neviaser (supraespinal)	Posterior à articulação AC no sulco	Manguito rotador	Visualização da parte anterior da cavidade glenoidal

Braço

Anatomia Topográfica
Osteologia
Radiologia
Trauma
Articulações
Outras Estruturas
Pequenos Procedimentos
História da Doença Atual
Exame Físico
Origens e Inserções
Músculos
Nervos
Artérias
Distúrbios
Distúrbios Pediátricos
Acessos Cirúrgicos

ANATOMIA TOPOGRÁFICA



ESTRUTURA	APLICAÇÃO CLÍNICA
M. tríceps braquial	Pode ser palpado na face posterior do braço. Uma avulsão/ruptura de tendão pode ser palpada na região proximal ao olécrano
M. bíceps braquial	Pode ser palpado na face anterior do braço
Fossa cubital	O tendão do m. bíceps braquial pode ser palpado neste ponto. Se rompido, o tendão não pode ser palpado
Epicôndilo lateral	Local de origem do tendão extensor comum. Sensível na epicondilite lateral (“cotovelo de tenista”)
Epicôndilo	Local de origem do tendão flexor comum. Sensível na epicondilite medial

medial	(“cotovelo de golfista”)
--------	---------------------------------

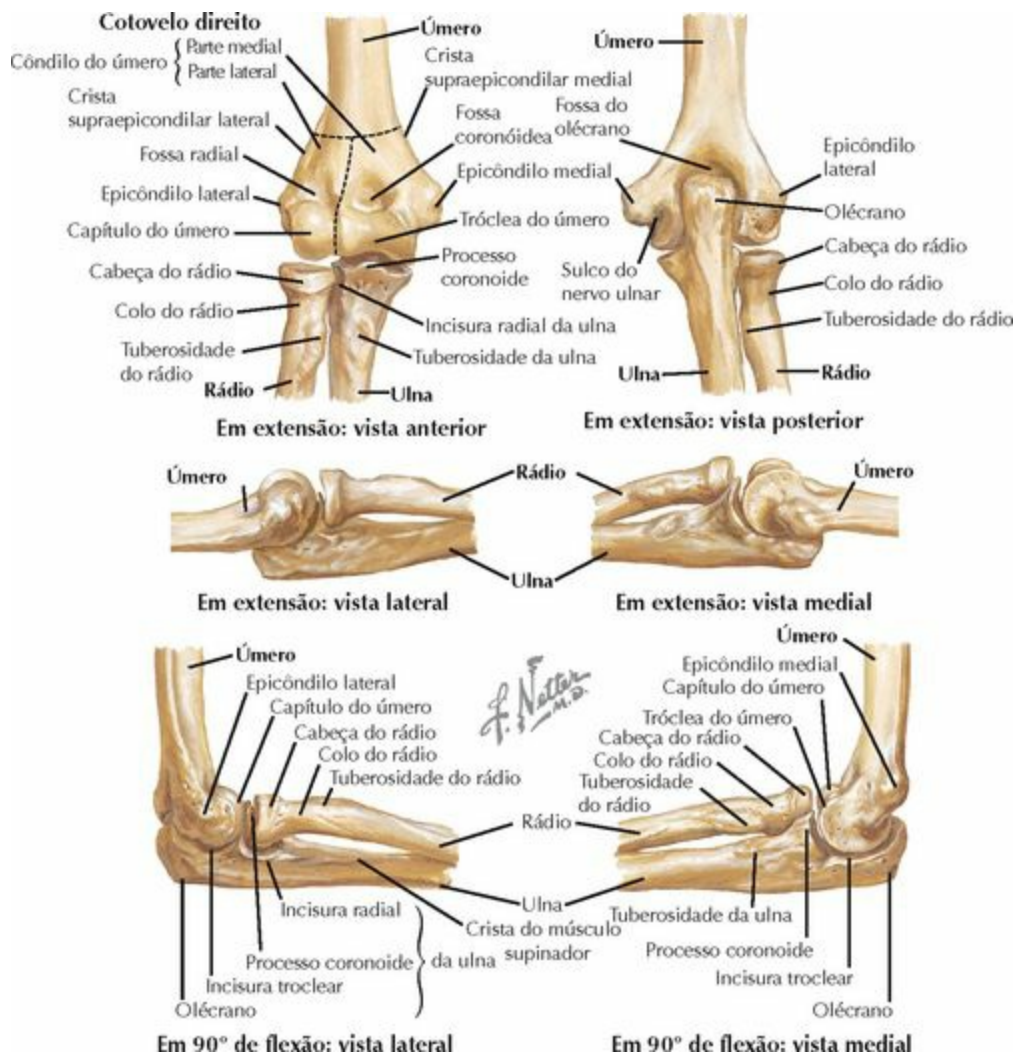
Olécrano	Extremidade proximal da ulna. Sensibilidade dolorosa pode indicar fratura
----------	---

Cabeça do rádio	Extremidade proximal do rádio. Sensibilidade dolorosa pode indicar fratura
-----------------	--

OSTEOLOGIA



CARACTERÍSTICAS	OSSIFICAÇÃO	FUSÃO	COMENTÁRIOS	
ÚMERO				
<ul style="list-style-type: none"> Osso longo tubular Tuberosidade para o músculo deltoide Sulco do n. radial: nervo radial corre no sulco em espiral Côndilo do úmero (parte lateral) <ul style="list-style-type: none"> Capítulo do úmero (articular) Epicôndilo lateral Côndilo do úmero (parte medial) <ul style="list-style-type: none"> Tróclea (articular) Epicôndilo medial Túnel cubital Fossas do olécrano e coronóidea 	Primária Corpo (diáfise) 6 ^a -7 ^a semana (fetal)	Nascimento	<ul style="list-style-type: none"> Potencial de remodelamento limitado nas fraturas distais O m. deltoide é uma força deformante nas fraturas diafisárias Nervo radial pode ser aprisionado nas fraturas diafisárias do 1/3 distal do úmero (fratura descrita por Holstein-Lewis) Fratura do côndilo lateral comum na infância Capítulo do úmero alinha-se com a cabeça do rádio na radiografia simples Epicôndilo lateral: origem do tendão extensor comum e do LCR Processo supracondilar está presente em 5%: o lig. de Struthers pode aprisionar o nervo mediano Epicôndilo medial: origem do tendão flexor comum e do LCU Nervo ulnar corre posteriormente ao epicôndilo medial Fossas preenchidas por gordura; podem ser deslocadas na fratura, resultando em "sinal do coxim adiposo" visto na radiografia simples do cotovelo em perfil 	
	Secundária Proximal (3): Cabeça Tuberosidades	Nascimento 1-4 anos		14-18 anos
	Distal (4): Capítulo do úmero	1 ano		12-17 anos
	Epicôndilo medial Tróclea Epicôndilo lateral	5 anos 7 anos 11 anos		
Ordem mnemônica da ossificação do cotovelo: Capitão [capítulo do úmero] Roy [cabeça do rádio] Manda [epicôndilo medial] em Todos [tróclea] Os [olécrano] Legionários [epicôndilo lateral]; pode ser utilizada para determinar a idade aproximada do paciente				



CARACTERÍSTICAS	OSSIFICAÇÃO	FUSÃO	COMENTÁRIOS
PARTE PROXIMAL DO RÁDIO			
<ul style="list-style-type: none"> • Cabeça e epífise do rádio são intra-articulares • Colo do rádio: ângulo de 10°-15° • Tuberosidade: inserção do m. bíceps braquial 	Secundária Cabeça 2-3 anos	16-18 anos	<ul style="list-style-type: none"> • Parte anterolateral da cabeça do rádio possui menos osso subcondral e é mais suscetível à fratura • Cabeça do rádio deve sempre se alinhar ao capítulo do úmero • Pontos de tuberosidade da ulna na supinação
PARTE PROXIMAL DA ULNA			
<ul style="list-style-type: none"> • Olécrano • Processo coronoide • Crista do músculo supinador • Tuberosidade da ulna • Incisura troclear • Incisura radial 	Secundária Olécrano 9 anos	16-20 anos	<ul style="list-style-type: none"> • Articula com a tróclea, parte da incisura troclear • O processo coronoide fornece estabilidade anterior e inserção para o LCU • Inserção do ligamento colateral radial (LCR) na crista do músculo supinador • Inserção do músculo braquial na tuberosidade da ulna • Incisura troclear: olécrano e processo coronoide • Incisura radial: articula com a cabeça do rádio

RADIOLOGIA



Fossa do
olécrano

Epicôndilo
lateral

Capítulo
do úmero

Cabeça
do rádio

Tuberosidade
do rádio



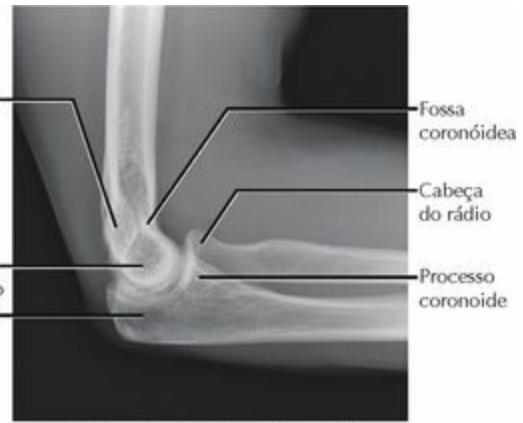
Tróclea do
úmero

Fossa do
olécrano

Epicôndilo
medial

Capítulo
do úmero

Olécrano



Fossa
coronóidea

Cabeça
do rádio

Processo
coronoide

Radiografia do cotovelo, AP

Radiografia do cotovelo, perfil



Capítulo
do úmero

Cabeça
do rádio

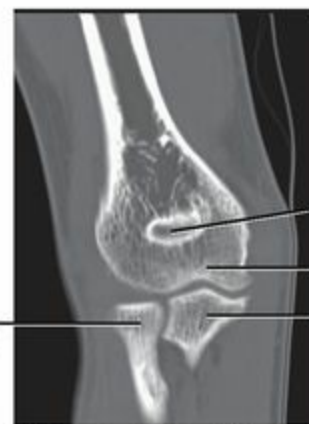
Tuberosidade
do rádio

Epicôndilo
medial

Tróclea do úmero

Processo
coronoide

Radiografia do cotovelo, oblíqua



Cabeça
do rádio

Fossa do
olécrano

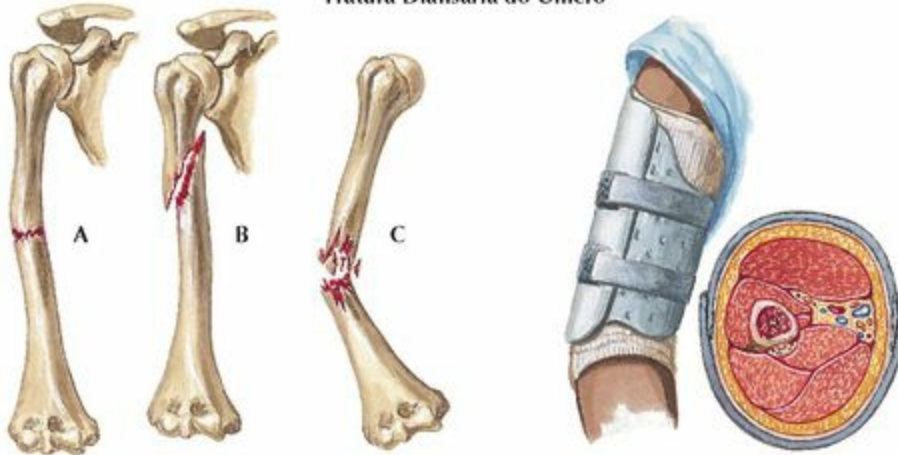
Tróclea
do úmero

Extremidade
proximal
da ulna

TC do cotovelo, frontal (coronal)

RADIOGRAFIA	TÉCNICA	ACHADOS	APLICAÇÃO CLÍNICA
Anteroposterior	Cotovelo estendido, feixe perpendicular à placa	Articulação do cotovelo, parte distal do úmero e partes proximais de rádio e ulna	Fraturas, luxações, artrites/DAD, processo supracondilar
Perfil	Cotovelo flexionado a 90°, feixe da lateral para a cabeça do rádio	Articulação do cotovelo, coxins adiposos (a gordura é deslocada pelo hematoma da fratura)	Fraturas (esp. na infância : coxins adiposos, linha anterior do úmero), DAD(osteófitos)
Oblíqua	Cotovelo estendido, rotação de 30°	Alinhamento e posição dos ossos	Fratura não desviada (cabeça do rádio, fratura oculta)
Radiocapitular	Lateral, feixe de 45° para o cotovelo	Capítulo do úmero/cabeça do rádio isolados	Fraturas: cabeça do rádio, capítulo do úmero, processo coronoide
OUTROS ESTUDOS			
TC	Transversal (axial), frontal (coronal) e sagital	Congruência articular, consolidação óssea, alinhamento ósseo	Fraturas (esp. coronoide , fratura cominutiva intra-articular)
RM	Sequência de pulsos varia	Tecidos moles (ligamentos, tendões, cartilagens), ossos	Ruptura ligamentar (p. ex., LCU) e tendínea (p. ex., do tendão do m. bíceps braquial), OCD
Cintilografia óssea		Todos os ossos avaliados	Infecção, fraturas por estresse, tumores

Fratura Diafisária do Úmero



- A. Fratura transversal do corpo (diáfise)
- B. Fratura oblíqua (em espiral)
- C. Fratura cominutiva com angulação acentuada

Após a diminuição do inchaço inicial, a maioria das fraturas de diáfise do úmero pode ser tratada com braçadeira funcional com componentes de contenção anterior e posterior integrada com tiras de Velcro



Redução aberta e fixação com placa de compressão indicada sob condições especiais



Fratura alinhada e contida com fixador externo. Útil para lesões que necessitam de mudanças frequentes de curativo

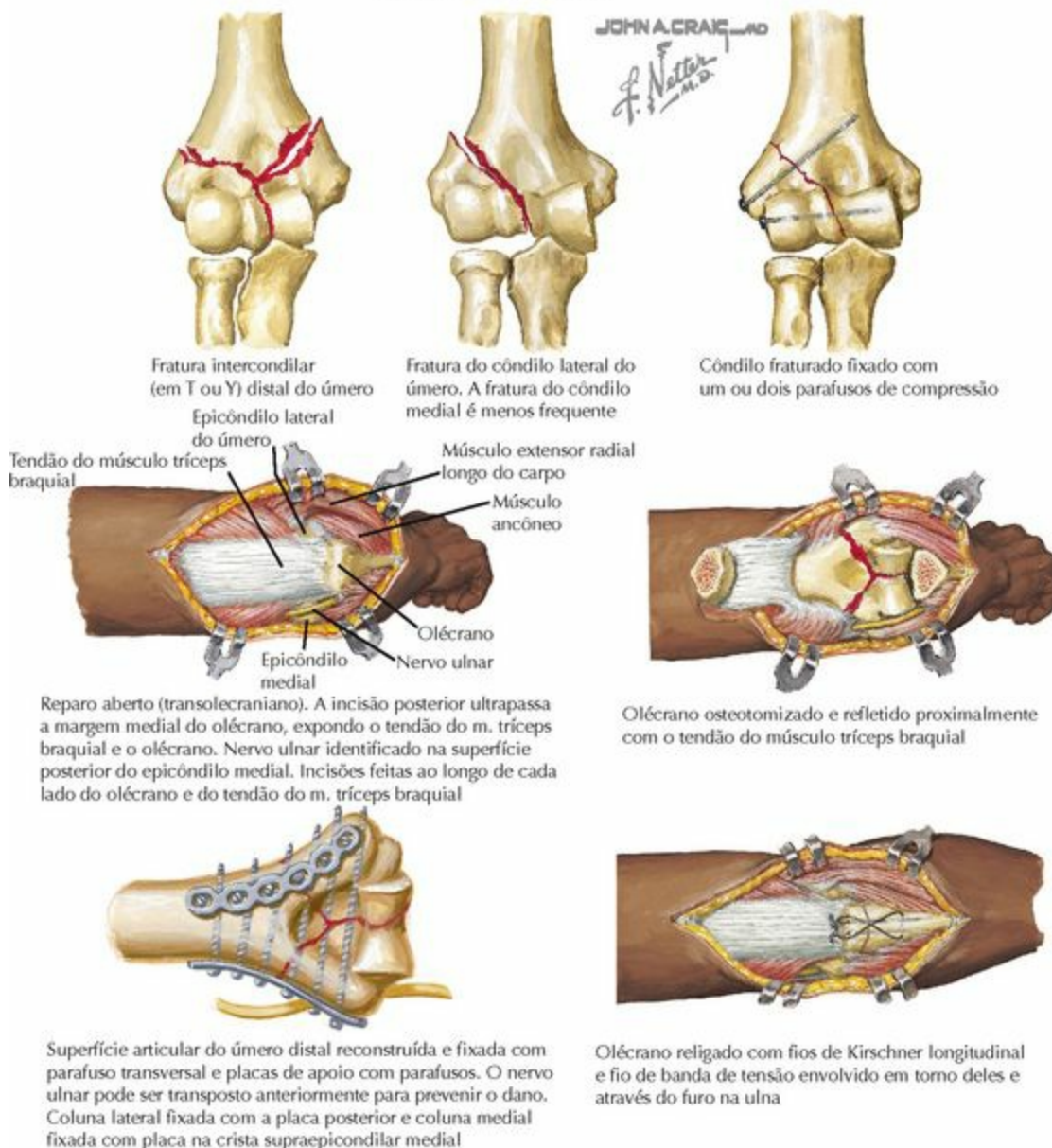
F. Netter M.D.
D. Mascaro



O aprisionamento do nervo radial na fratura distal da diáfise do úmero pode ocorrer no momento da fratura; deve ser evitado durante a redução

DESCRIÇÃO	AVALIAÇÃO	CLASSIFICAÇÃO	TRATAMENTO
FRATURA DIAFISÁRIA DO ÚMERO			
<ul style="list-style-type: none"> • Fratura de osso longo comum • Mecanismo: queda ou golpe direto • Deslocamento baseado na localização da fratura e nos locais de inserção dos músculos. Mm. peitoral e deltoide são forças deformantes primárias • Altas taxas de união • Local de fraturas patológicas 	<p>HDA: trauma/queda, dor e edema</p> <p>EF: edema +/- deformidade, úmero está SP</p> <p>Bom exame neurológico (esp. o n. radial)</p> <p>RX: AP e perfil do braço (além de seqüências de ombro e cotovelo)</p> <p>TC: normalmente não é necessária</p>	<p>Descritiva:</p> <ul style="list-style-type: none"> • Localização: local da fratura • Desviada, angulada ou cominutiva • Padrão transversal, espiral, oblíqua 	<ul style="list-style-type: none"> • Gesso/Imobilizador: deslocamento mínimo/ alinhamento aceitável • Aceitável: <3 cm de encurtamento; <20° de angulação A/P <30° de angulação em varo/valgo • Tratamento cirúrgico: fratura aberta, cotovelo flutuante, fratura segmentar, politraumatismo, lesão vascular • Opções: RAFI, fixação externa, pino IM
<p>COMPLICAÇÕES: paralisia do nervo radial (especialmente nas fraturas do 1/3 distal [Holstein-Lewis]): a maioria é neuropraxia e resolve-se espontaneamente na maioria dos casos; a exploração do nervo é indicada em situações específicas; pseudartrose/consolidação viciosa é incomum</p>			

Fratura Distal do Úmero



DESCRIÇÃO	AValiação	CLASSIFICAÇÃO	TRATAMENTO
FRATURA DA PARTE DISTAL DO ÚMERO			
<ul style="list-style-type: none"> • Na maioria das vezes Intra-articular (adultos); fratura extra-articular (supracondilar) incomum em adultos • Mecanismo: queda • Unicondilar ou bicondilar • Outros: fratura de epicôndilo, capítulo do úmero, tróclea, todas menos frequente 	<p>HDA: trauma/queda, dor, especialmente durante a ADM do cotovelo (diminuída)</p> <p>EF: Edema e sensibilidade dolorosa</p> <p>Bom exame neurovascular</p> <p>RX: seqüências de cotovelo</p> <p>TC: essencial para a avaliação completa da fratura/articulação</p>	<p>Descritiva:</p> <ul style="list-style-type: none"> • Uni ou bicondilar • Tipo T, Y e λ • Desviada, cominutiva angulada (esp. na fenda coronal) 	<ul style="list-style-type: none"> • Não operatório: raramente indicado • Cirúrgico: RAFI (placas e parafusos) • Nervo ulnar frequentemente necessita ser anteriormente transposto • ADM precoce é importante • Artroplastia total de cotovelo: se a fratura é muito cominutiva para RAFI
COMPLICAÇÕES: rigidez do cotovelo, ossificação heterotópica (profilaxia é indicada), paralisia do nervo ulnar na pseudartrose			

Fraturas Supracondilares



Tipo em extensão
Deslocamento posterior do fragmento distal (mais frequente)



Radiografia em perfil



Tipo em flexão
Deslocamento anterior do fragmento distal (incomum)



Normal



Radiografia em perfil do cotovelo em uma criança com 5 anos de idade que apresenta lesão no cotovelo esquerdo. A radiografia mostra elevação do coxim adiposo anterior e posterior. Nenhuma fratura aparente nesta vista, mas radiografias subsequentes confirmaram a presença de uma fratura supracondilar de úmero sem deslocamento¹

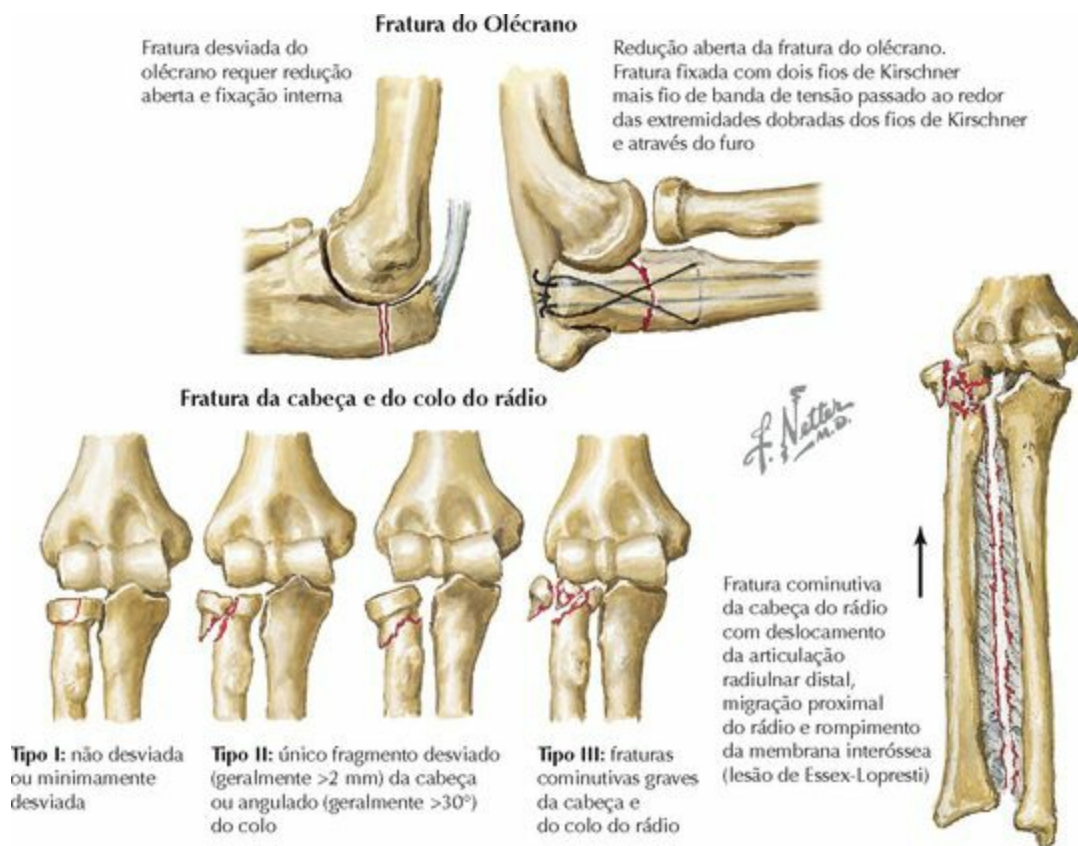


Fratura

Mark M. Miller
F. Netter M.D.

¹**Nota da Revisão Científica:** Essa radiografia mostra outro sinal da fratura supracondilar que é a perda da angulação anterior do capítulo.

DESCRIÇÃO	AVALIAÇÃO	CLASSIFICAÇÃO	TRATAMENTO
FRATURA SUPRACONDILAR DO ÚMERO			
<ul style="list-style-type: none"> • Fratura frequente na infância • Fratura extraepifisial na parte fina do osso (1 mm) entre as fossas do úmero distal • Tipo de extensão mais frequente • Ausência de redução leva à deformidade: cotovelo varo é o mais frequente • Relativamente alta incidência de lesão neurovascular 	<p>HDA: queda, dor, não moverá o braço, +/- deformidade</p> <p>EF: edema +/- deformidade. Bom exame neurovascular (esp. NIA, nervo radial, pulsos)</p> <p>RX: seqüências de cotovelo. Vista em perfil: linha anterior do úmero é anterior ao centro do capitulo do úmero nas fraturas desviadas. Deslocamento do tecido adiposo posterior indica fratura oculta</p>	<ul style="list-style-type: none"> • Tipo de extensão (Gartland) <ul style="list-style-type: none"> ◦ I: não desviada ◦ II: parcialmente desviada (cortical posterior íntegra) ◦ III: desviada (sem continuidade cortical) • Tipo em flexão (incomum) 	<ul style="list-style-type: none"> • Tipo I: imobilização gessada axilopalmar • Tipos II e III: redução fechada e pinos percutâneos, 2 ou 3 pinos (cruzados ou divergentes) Pinos médios podem lesionar o nervo ulnar • Redução aberta para fraturas irreduzíveis (incomum) • Explorar extremidade sem pulso/sem perfusão para aprisionamento da artéria
COMPLICAÇÕES: consolidação viciosa (cotovelo varo nº 1), neurovascular (nervo mediano/ NIA nº 1, nervo radial, artéria braquial)			



DESCRIÇÃO	AVALIAÇÃO	CLASSIFICAÇÃO	TRATAMENTO
FRATURA DO OLÉCRANO			
<ul style="list-style-type: none"> Mecanismo: queda diretamente sobre o cotovelo ou sobre a mão Fratura intra-articular: congruência importante para bons resultados Tendão do m. tríceps braquial é uma força deformante sobre o fragmento proximal 	<p>HDA: trauma (geralmente queda), dor e edema</p> <p>EF: sensibilidade dolorosa, extensão limitada do cotovelo</p> <p>Exame neurológico, esp. do n. ulnar</p> <p>RX: sequências do cotovelo</p> <p>TC: melhor define a fratura</p>	<p>Colton:</p> <ul style="list-style-type: none"> I. Não desviada: <2 mm II. Desviada <ul style="list-style-type: none"> Avulsão Transversa/oblíqua Cominutiva Fratura/luxação desviada 	<ul style="list-style-type: none"> Não desviada: imobilização gessada axilopalmar por 3 semanas, depois ADM suave Desviada: <ul style="list-style-type: none"> Transversa: banda de tensão RAFI ou parafuso IM Oblíqua/cominutiva: RAFI com placa de sustentação Cortar e reinserir o tendão
COMPLICAÇÕES: incômodo causado pelos materiais de implante, rigidez do cotovelo, pseudartrose, artrite (pós-traumática), lesão do nervo ulnar			
FRATURA DA CABEÇA DO RÁDIO			
<ul style="list-style-type: none"> Mecanismo: queda sobre a mão Fratura intra-articular: a parte anterolateral é mais frágil e é o local mais frequente de fratura Essex-Lopresti: fratura da cabeça do rádio com rompimento da membrana MIO e ARUD Associada à luxação do cotovelo 	<p>HDA: trauma/queda, dor</p> <p>EF: movimento reduzido (especialmente pronosupinação)</p> <p>Verifique a estabilidade de ARUD</p> <p>RX: sequências do cotovelo; ver a incidência radiocapitelar é útil, +/- sinal de tecido adiposo</p> <p>CT: útil nos tipos II-IV</p>	<p>Mason: 4 tipos</p> <ul style="list-style-type: none"> I: Não desviada (<2 mm) II: Único fragmento desviado III: Cominutiva IV: Fratura com luxação do cotovelo 	<ul style="list-style-type: none"> Tipo I: aspiração do cotovelo, tipoia por 3 dias, ADM precoce Tipo II: RAFI (especialmente para bloqueio mecânico do movimento) Tipo III: excisão da cabeça do rádio e/ou artroplastia da cabeça do rádio Essex-Lopresti: reconstrução ou artroplastia da cabeça do rádio é necessária
COMPLICAÇÕES: rigidez ou instabilidade do cotovelo; instabilidade do punho (Essex-Lopresti)			

Luxação do Cotovelo



Luxação posterior. Observe a proeminência do olécrano posteriormente e da extremidade distal do úmero anteriormente



Luxação divergente, tipo anteroposterior (rara). Tipo medial-lateral também pode ocorrer (extremamente rara)



Luxação lateral (incomum)

Subluxação da cabeça do rádio



Luxação do rádio no cotovelo



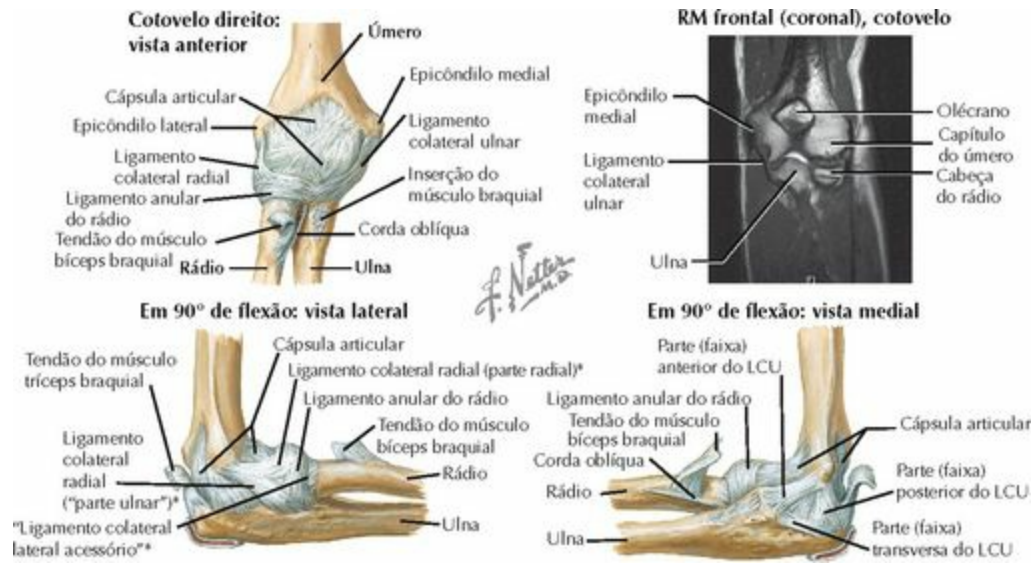
Redução
Com o dedo polegar no espaço antecubital como um suporte, o antebraço é supinado e flexionado

F. Netto M.D.



DESCRIÇÃO	AVALIAÇÃO	CLASSIFICAÇÃO	TRATAMENTO
LUXAÇÃO DO COTOVELO			
<ul style="list-style-type: none"> Mecanismo: geralmente uma queda em pacientes jovens luxação nº 3 mais frequente Associado a fraturas: "Tríade terrível" = luxação do cotovelo com fraturas da cabeça do rádio e processo coronoide Ligamentos colaterais e parte anterior da cápsula são tipicamente todos rompidos 	<p>HDA: trauma/queda, incapacidade para movimentar o cotovelo</p> <p>EF: edema, deformidade, ADM limitada/não limitada do cotovelo</p> <p>Bom exame neurovascular</p> <p>RX: seqüências do cotovelo</p> <p>TC: para definir fraturas associadas</p>	<p>Pela direção dos ossos do antebraço:</p> <ul style="list-style-type: none"> Posterior <ul style="list-style-type: none"> Posterolateral (>80%) Medial Lateral (raro) Anterior (raro) Divergente (raro) 	<ul style="list-style-type: none"> Agudo: redução fechada <ul style="list-style-type: none"> Estável: engessar por 7-10 dias Não estável: engessar por 2-3 semanas Redução aberta para luxações irreduzíveis e/ou fraturas RAFI Fixação externa articulada para cotovelos grosseiramente instáveis
COMPLICAÇÕES: rigidez ou instabilidade do cotovelo, lesão neurovascular (nervos mediano e ulnar, artéria braquial)			
SUBLUXAÇÃO DA CABEÇA DO RÁDIO* ("COTOVELO DE BABÁ")			
<ul style="list-style-type: none"> Mecanismo: geralmente um puxão na mão por um adulto Muito frequente em bebês Diminui com o aumento da idade Estrimamento do ligamento anular do rádio e subluxação da cabeça do rádio 	<p>HDA: criança puxada pela mão, criança não usará o braço</p> <p>EF: cotovelo flexionado, pronado. Cabeça do rádio sensível</p> <p>RX: seqüência do cotovelo; normal, frequentemente não é necessário</p>	Nenhuma	<ul style="list-style-type: none"> Redução fechada: cotovelo completamente estendido, completamente supinado, depois flexionar com pressão branda na cabeça do rádio. Geralmente, um clique ou um estalo é sentido quando se reduz Imobilização raramente é indicada
COMPLICAÇÕES: recorrência			

ARTICULAÇÕES

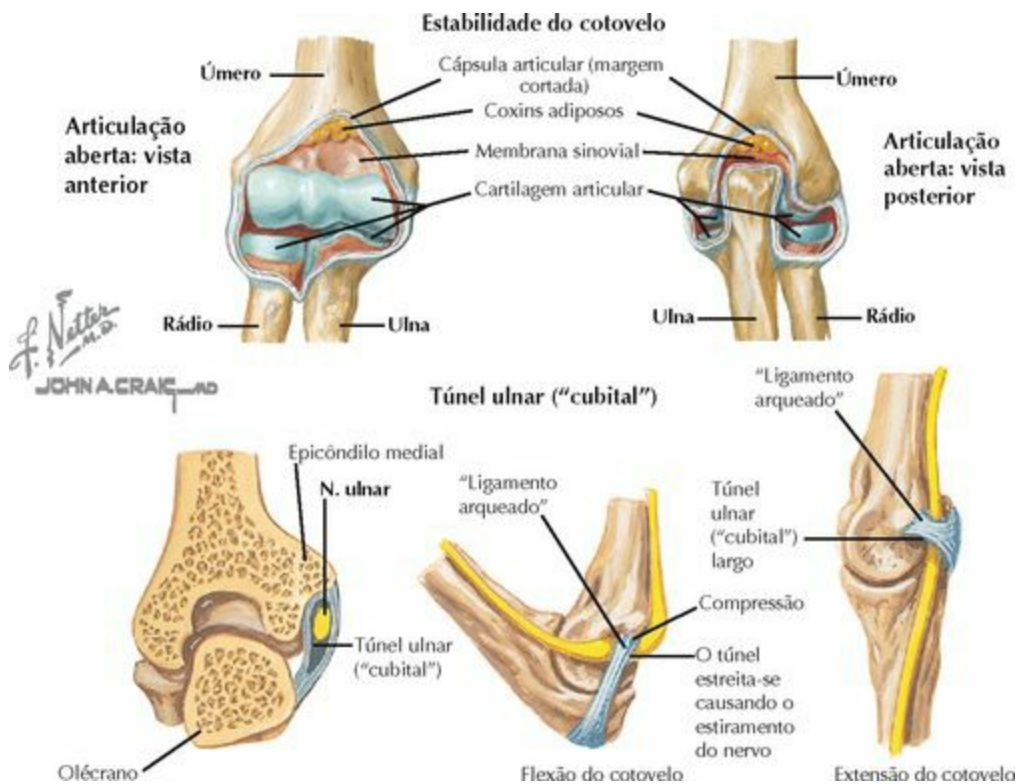


LIGAMENTOS	FIXAÇÕES	COMENTÁRIOS
	COTOVELO	
		<ul style="list-style-type: none"> • O cotovelo compreende três articulações: 1. Art. umeroulnar (tróclea e incisura troclear): articulação do tipo gínglimo 2. Art. umerorradial (cabeça do rádio e capítulo do úmero): “Articulação do tipo trocóideia” 3. Art. radiulnar proximal (cabeça do rádio e incisura radial) • Sua função principal é atuar como uma alavanca para levantar e posicionar a mão adequadamente no espaço • Dois movimentos principais: 1. Flexão e extensão: 0-150° (ADM funcional: 100° [30°-130°]); o eixo é a tróclea 2. Pronossupinação: 70° pronação – 80° supinação (ADM funcional: 100° [50° pronação – 50° supinação]); o eixo é a articulação umerorradial • A estabilidade é promovida pela combinação de contenções ósseas (articulações) e ligamentares; realizando ângulos de 11°-16° em valgo
Ligamento Colateral Ulnar (LCU)		
Parte (faixa) anterior	Do epicôndilo medial (inferiormente) ao processo coronoide (medialmente) (“ tubérculo sublime ”)	Mais importante contenção para o estresse em valgo, sempre tenso; geralmente rompe fora do processo coronoide
Parte (faixa) posterior	Do epicôndilo medial à incisura troclear	Tenso/resiste em valgo em flexão (>90°)
Parte (faixa) transversa	Do olécrano (medialmente) ao processo coronoide (medial e inferiormente)	Estabiliza a incisura troclear

Ligamento Colateral Radial (LCR)

“Parte radial” do LCR*	Do epicôndilo lateral ao ligamento anular do rádio (anteriormente)	Contenção em varo; estabiliza o ligamento anular do rádio
“Parte ulnar” do LCR*	Do epicôndilo lateral à crista do músculo supinador da ulna	Suporte para a subluxação da cabeça do rádio; lesão resulta em instabilidade rotatória posterolateral
“Colateral lateral acessório”*	Do ligamento anular à crista do músculo supinador	Estabiliza o ligamento anular do rádio durante o estresse em varo
Ligamento anular	Partes anterior e posterior da incisura radial da ulna	Permite a rotação da cabeça do rádio; estirado ou rompido na subluxação ou luxação da cabeça do rádio
Outros		
Cápsula articular	Articulações adjacentes	Estabilizador secundário, propensa à contratura
Ligamento quadrado	Da ulna (anterolateralmente) ao colo do rádio (anteriormente) (sob o ligamento anular do rádio)	Tenso na supinação, estabiliza a articulação radiulnar proximal (ARUP)
Corda oblíqua	Da parte proximal da ulna (lateralmente) ao colo do rádio	Estabiliza a articulação durante a pronossupinação

* **Nota da Revisão Científica:** A terminologia anatômica não reconhece a divisão do ligamento colateral radial em “parte ulnar”, “parte radial” e “ligamento colateral lateral acessório”.



ESTABILIDADE DO COTOVELO

Estabilizadores Primários

Articulação umeroulnar	Contenção primária em valgo $<20^\circ$ ou $>120^\circ$ de flexão Contenção primária em varo em extensão (2° em flexão)
Ligamento colateral ulnar (LCU) (especialmente a faixa anterior)	Contenção primária em valgo entre 20° - 120° de flexão Faixa anterior está sempre tensa, faixa posterior tensa $>90^\circ$
Ligamento colateral radial (LCR) (especialmente a parte ulnar)	Contenção primária em varo em flexão (2° em extensão) A parte ulnar do LCR previne a subluxação da cabeça do rádio (p. ex., IRPL)

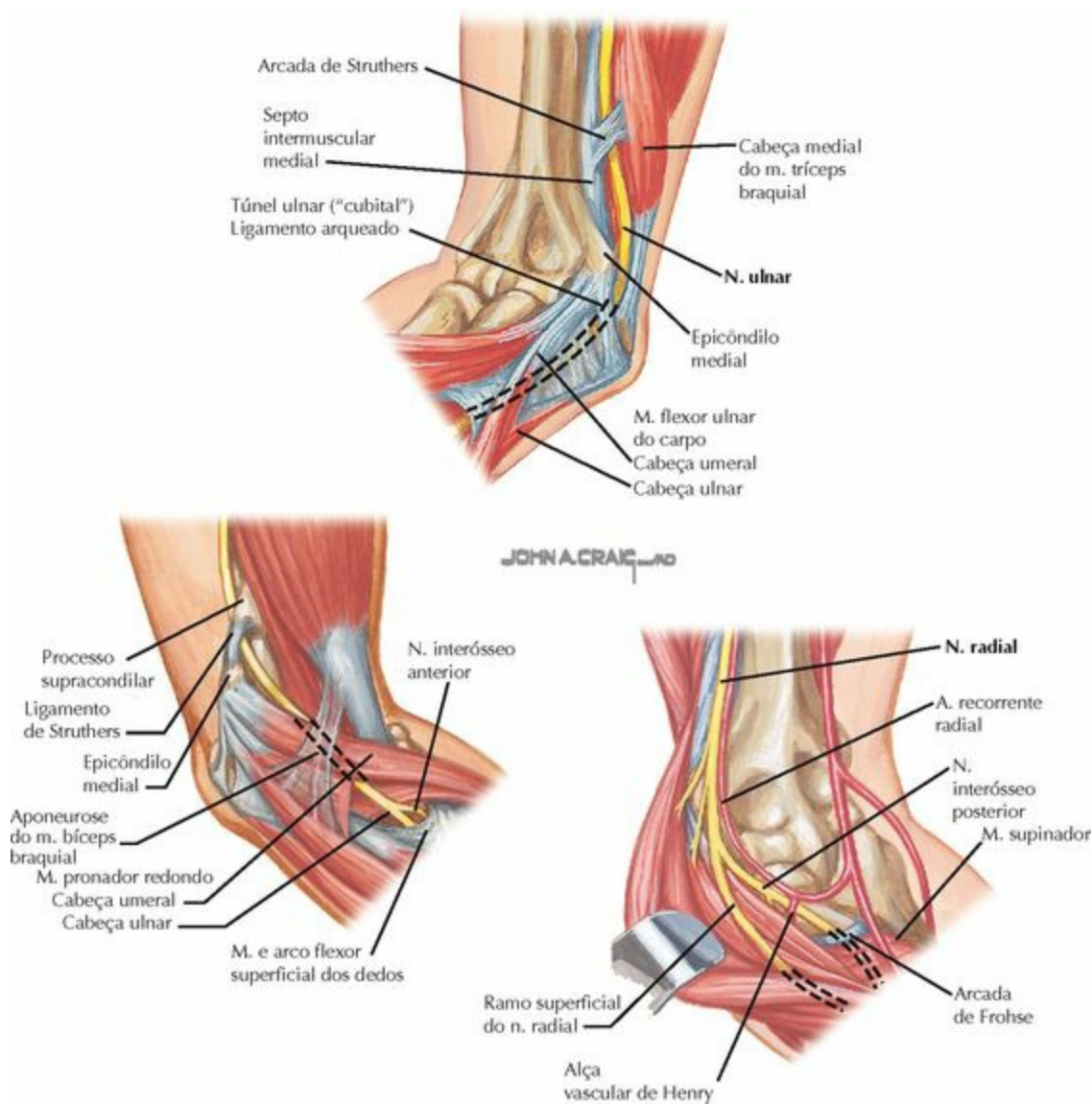
Estabilizadores Secundários

Articulação umerorradial (cabeça do rádio)	Contenção em valgo de 0° - 30° de flexão
Partes anterior e posterior da cápsula articular	Contenção para estresse em varo e valgo
Origens dos tendões flexor e extensor comum	Forças dinâmicas atuam para conter o estresse em varo e valgo

ESTRUTURA	COMPONENTES	COMENTÁRIOS
TÚNEL ULNAR (“CUBITAL”)		
Limites	<ul style="list-style-type: none"> • Teto: “ligamento arqueado” (de Osborne) Do epicôndilo medial ao olécrano • Assoalho: ligamento colateral ulnar (LCU) • Posterior: cabeça medial do m. tríceps braquial • Anterior: epicôndilo medial • Lateral: olécrano 	<ul style="list-style-type: none"> • Apertado na flexão, comprime o nervo ulnar dentro do túnel ulnar (“cubital”) • Pode ser lesionado na cirurgia de descompressão • Tipicamente não comprime o nervo • Epicondilectomia medial ocasionalmente indicada • Não comprime o nervo
Conteúdo	<ul style="list-style-type: none"> • Nervos: nervo ulnar 	<ul style="list-style-type: none"> • Comprimido na síndrome do túnel ulnar (“cubital”)

- Fraturas (consolidação viciosa) do côndilo medial podem provocar aprisionamento do nervo ulnar no túnel ulnar (“cubital”)
- O “ligamento arqueado” também é conhecido como ligamento/fáscia **de Osborne** e o retináculo do túnel ulnar (“cubital”)

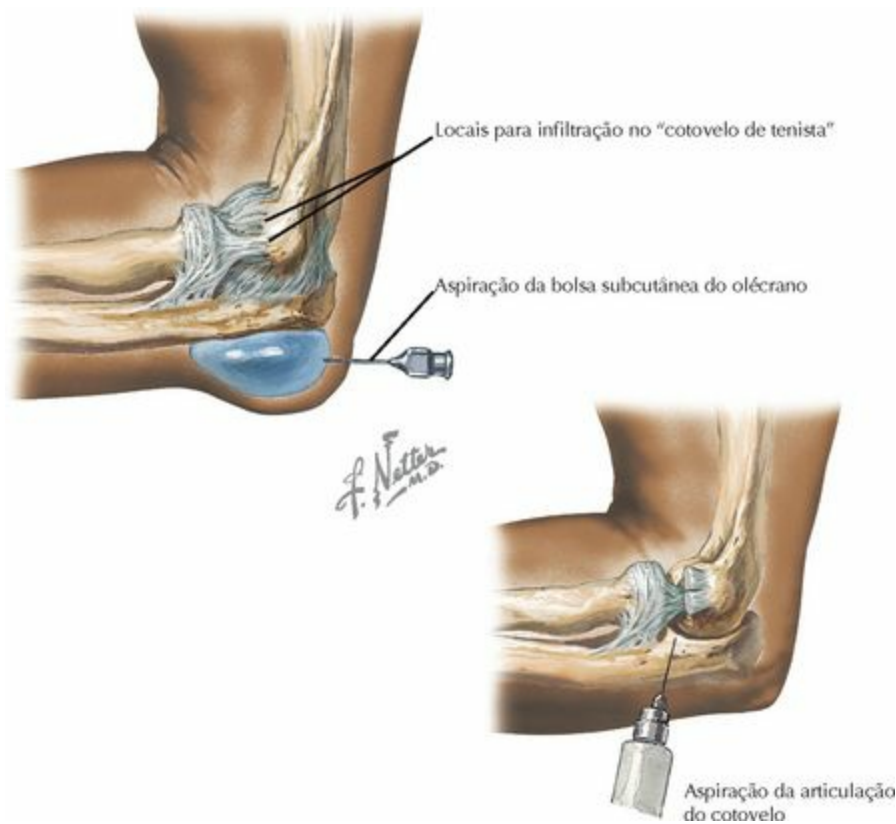
OUTRAS ESTRUTURAS



ESTRUTURA	DESCRIÇÃO	COMENTÁRIOS
	OUTRAS ESTRUTURAS	
Coxins adiposos	Localizado nas fossas coronóidea e do olécrano, envolvido na flexão ou na extensão completa	Pode ser deslocado pelo hematoma da fratura e visto na radiografia como uma radioluscência (“ sinal de vela ”)
Bolsa subcutânea do olécrano	Na ponta do processo do olécrano	Pode tornar-se inflamada ou infectada
Ligamento de Struthers	Uma faixa fibrosa corre do processo supracondilar anômalo para o epicôndilo medial do úmero	Pode comprimir o nervo mediano proximalmente
Aponeurose	Faixa fascial do m. bíceps braquial e	Cobre o nervo mediano e a artéria

do músculo bíceps braquial	do tendão distal que corre profundamente para a fáscia do antebraço	braquial e pode comprimir o nervo mediano
Arcada de Struthers	Fáscia espessa do septo IM para o m. tríceps braquial (cabeça medial), 8 cm proximal ao epicôndilo medial	Ocorre em 70% da população; pode comprimir o nervo ulnar proximal ao túnel ulnar (“cubital”)
Alça vascular de Henry	Ramos da artéria recorrente radial	Pode comprimir o nervo radial/NIP

PEQUENOS PROCEDIMENTOS



PASSOS

ARTROCENTESE DO COTOVELO

1. Flexionar e estender o cotovelo, palpar a parte lateral do côndilo do úmero, a cabeça do rádio e o olécrano lateralmente; sentir o sulco triangular (“**ponto fraco**”) entre os três
2. Preparar a pele sobre o sulco (sabão antisséptico/iodo)
3. Anestesiolar localmente a pele (1/4 do tamanho do ponto)
4. O braço pode ser mantido em extensão ou flexão. Inserir a agulha no “**triângulo**” entre os pontos de referência ósseos (mirar no epicôndilo medial)
5. O líquido deve ser aspirado facilmente
6. Fazer curativo no local da infiltração

ASPIRAÇÃO DA BOLSA SUBCUTÂNEA DO OLÉCRANO

1. Preparar a pele sobre o olécrano (sabão antisséptico/iodo)
2. Anestesiolar localmente a pele (1/4 do tamanho do ponto)
3. Inserir uma agulha de calibre 18 na parte flutuante da bolsa e aspirar o líquido
4. Se há suspeita de infecção, enviar o líquido para a coloração de Gram e cultura
5. Fazer curativo no local da infiltração

INFILTRAÇÃO NO “COTOVELO DE TENISTA”

1. Perguntar ao paciente sobre alergias
2. Flexionar o cotovelo em 90°, palpar a inserção **ERCC** (local de sensibilidade máxima) no

epicôndilo lateral

3. Preparar a pele sobre a região lateral do cotovelo (sabão antisséptico/iodo)
4. Anestésiar localmente a pele (1/4 do tamanho do ponto)
5. Inserir uma agulha de calibre 22 ou menor no tendão **ERCC** na sua inserção no epicôndilo lateral. **Aspirar para garantir que a agulha não está em um vaso**, em seguida infiltrar 2-3 ml de preparação 1:1 local/corticosteroide (espalhar a infiltração por todo o tendão)
6. Fazer curativo no local da infiltração
7. Anotar a melhora dos sintomas

HISTÓRIA DA DOENÇA ATUAL

Fraturas e luxações no cotovelo podem resultar de quedas sobre a mão em flexão dorsal e superestendida



Compressão do nervo ulnar
Compressão do nervo na superfície da mão (poltrona, mesa, mesa de operação etc.)



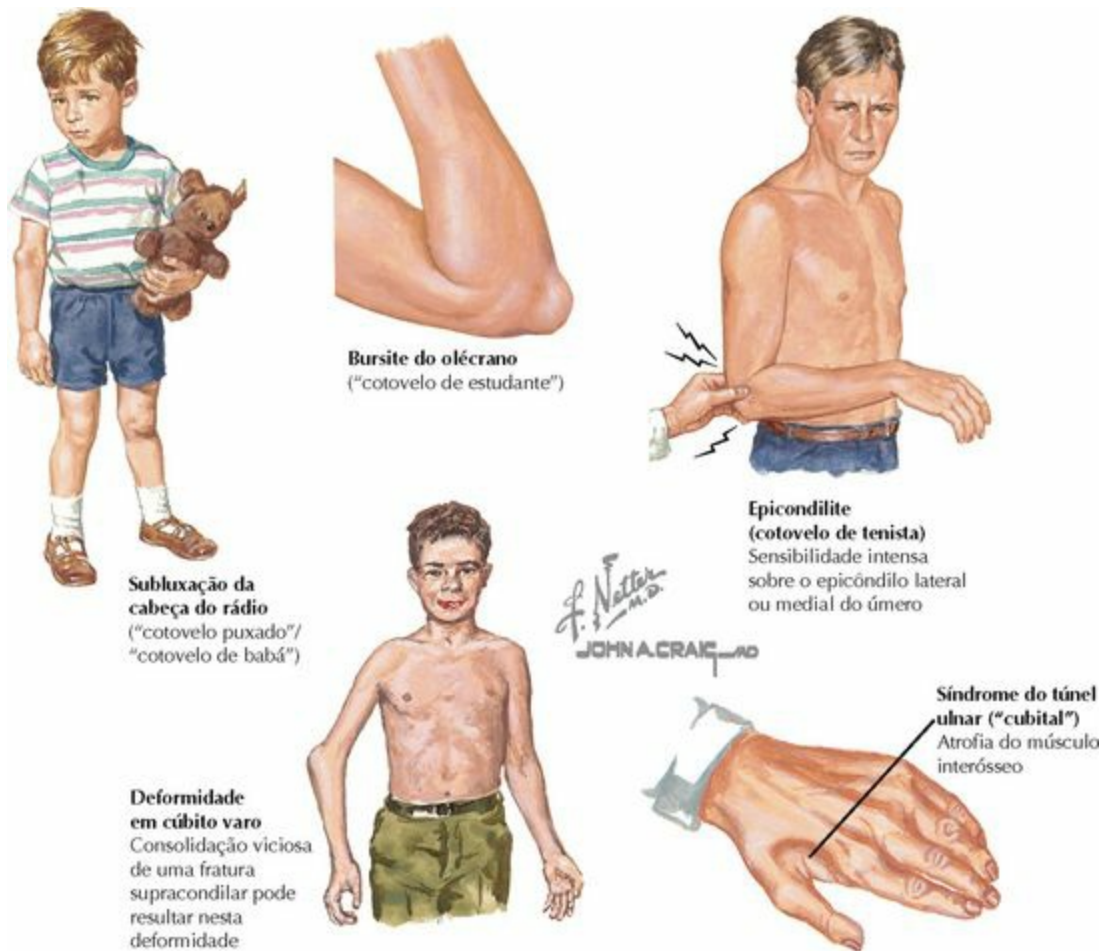
F. Netter M.D.



Dormência e formigamento na distribuição do nervo ulnar na mão. Atrofia interóssea entre os dedos polegar e indicador

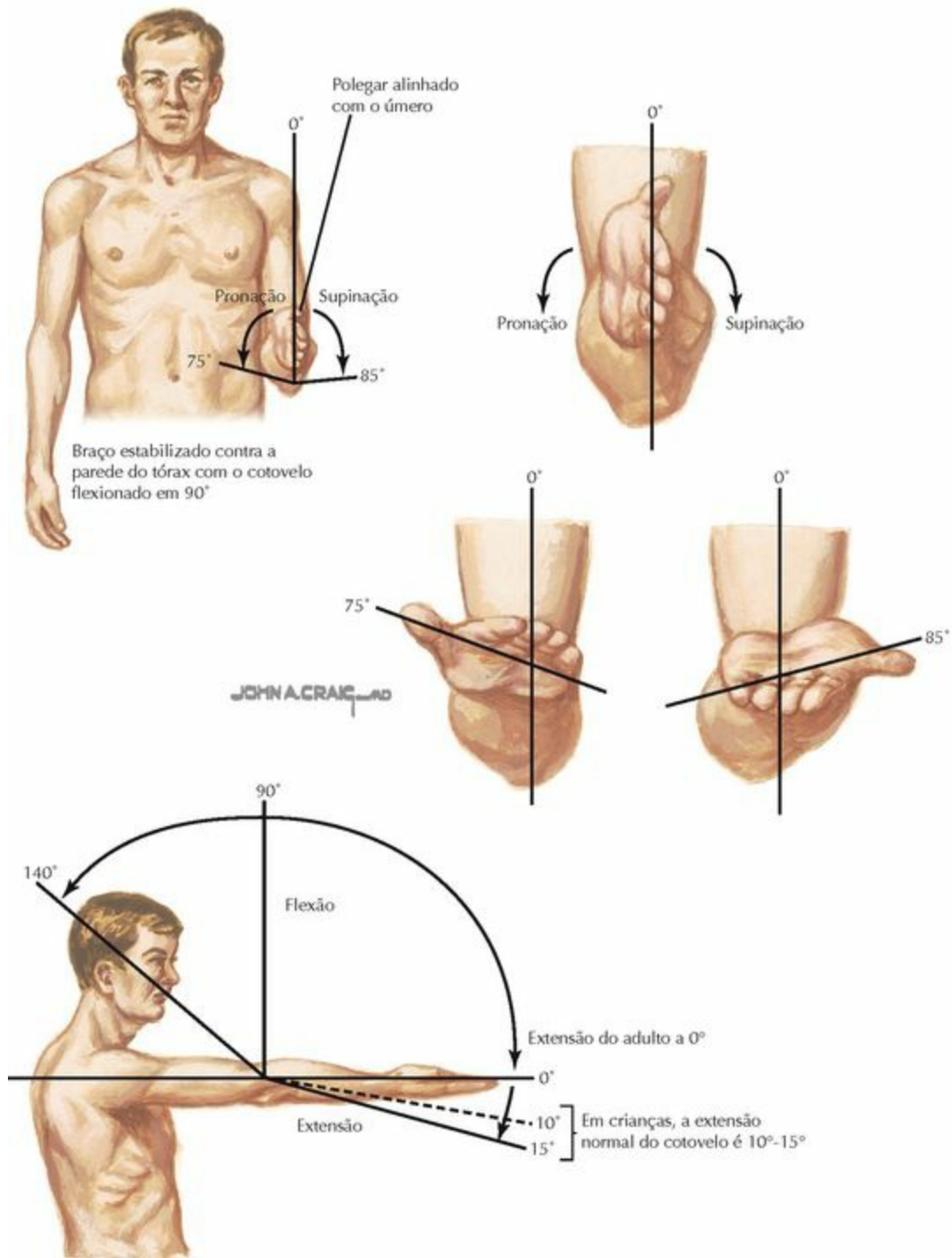
PERGUNTA	RESPOSTA	APLICAÇÃO CLÍNICA
1. Idade	Jovem Meia-idade, idoso	Luxação, fratura Cotovelo de tenista (epicondilite), compressão do nervo, artrite
2. Dor		
a. Início	Agudo Crônico	Luxação, fratura, avulsão/ruptura do tendão, lesão do ligamento Artrite, patologia da região cervical da coluna vertebral
b. Localização	Anterior Posterior Lateral Medial	Rompimento do tendão do m. bíceps braquial, artrite, contratura do cotovelo Bursite do olécrano (inflamatória ou séptica) Epicondilite lateral, fratura (especialmente da cabeça do rádio) Epicondilite medial, aprisionamento do nervo, fratura, estiramento do LCU
c. Ocorrência	Dor noturna/em repouso Com atividade	Infecção, tumor Etiologia ligamentar e/ou tendínea
3. Rigidez	Sem fechamento Com fechamento	Artrite, efusão (trauma), contratura Corpo solto, lesão do ligamento colateral radial
4. Edema	Sobre o olécrano	Bursite do olécrano. Outros: luxação, fratura, gota
5. Trauma	Queda sobre o cotovelo, a mão	Luxação, fratura
6. Atividade	Esportes, movimentos repetitivos Arremesso	Epicondilite, paralisia do nervo ulnar Estiramento ou rompimento do LCU
7. Sintomas nerológicos	Dor, dormência, formigamento	Aprisionamento do nervo (vários locais possíveis), patologia da região cervical da coluna vertebral, síndrome do desfiladeiro torácico
8. História de artrites	Várias articulações envolvidas	Lúpus, artrite reumatoide, psoríase, gota

EXAME FÍSICO



EXAME/OBSERVAÇÃO	TÉCNICA	APLICAÇÃO CLÍNICA
	INSPEÇÃO	
Recusando a usar o braço	Observar o paciente (criança)	Fratura, luxação, subluxação da cabeça do rádio (pronação dolorosa)
Deformidade grosseira, inchaço	Comparar os dois lados	Luxação, fratura, bursite
Realizando ângulos (normal 5°-15°)	Negativo (<5°) Positivo (>15°)	Cúbito varo (p. ex., fratura supracondilar) Cúbito valgo (p. ex., fratura do epicôndilo lateral)
Atrofia muscular	Examinar os músculos da mão	Aprisionamento do nervo (p. ex., síndrome do túnel cubital)
	PALPAÇÃO	
	Epicôndilo e crista	Dor: epicondilite medial (cotovelo de golfista), fratura,

Medial	supraepicondilar medial Nervo ulnar no sulco ulnar	ruptura/estiramento do LCU Parestesia indica aprisionamento do nervo ulnar
Lateral	Epicôndilo e crista supraepicondilar lateral Cabeça do rádio	Dor: epicondilite lateral (cotovelo de tenista), fratura Dor: artrite, fratura , sinovite
Anterior	Tendão do m. bíceps braquial na fossa cubital	Dor: ausência do tendão indica o rompimento do tendão do m. bíceps braquial
Posterior	Cotovelo flexionado: olécrano, fossa do olécrano, tendão do m. tríceps braquial	Bursite do olécrano, rompimento do tendão do m. tríceps braquial



EXAME/OBSERVAÇÃO	TÉCNICA	APLICAÇÃO CLÍNICA
AMPLITUDE DE MOVIMENTO		
Flexionar e estender	Cotovelo ao lado: flexionar e estender o cotovelo	Normal: 0° a 140°-150°; observe se ADM passiva > ADM ativa
Pronado e supinado	Dobrar os cotovelos, polegares para cima, girar o antebraço	Normal: supinado 80°-85°, pronado 75°-80°

Teste de flexão do cotovelo



Teste de instabilidade rotatória posterolateral



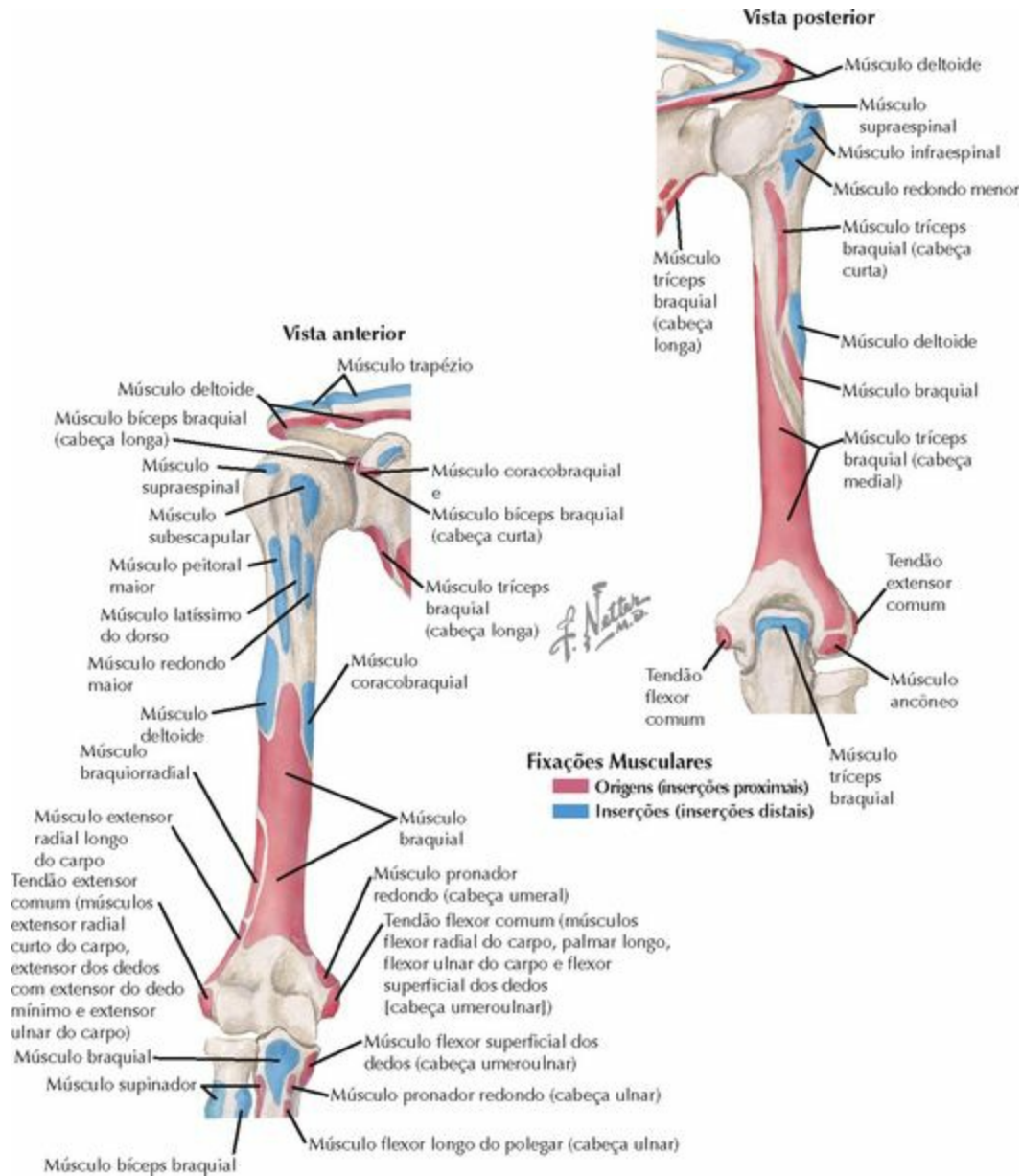
EXAME	TÉCNICA	APLICAÇÃO CLÍNICA
NEUROVASCULAR		
Sensitivo		
N. axilar (C5)	Porção lateral e proximal do braço	Déficit indica lesão no nervo/raiz correspondente
N. radial (C5)	Porção inferolateral e posterior do braço	Déficit indica lesão no nervo/raiz correspondente
N. cutâneo medial do braço (T1)	Região medial do braço	Déficit indica lesão no nervo/raiz correspondente
Motor		
N. musculocutâneo (C5-C6)	Resiste à flexão do cotovelo	Fraqueza = lesão do m. braquial/bíceps braquial ou no nervo/raiz correspondente
N. musculocutâneo (C6)	Resiste à supinação	Fraqueza = lesão do m. bíceps braquial ou no nervo/raiz correspondente
N. mediano (C6)	Resiste à pronação	Fraqueza = lesão do m. pronador redondo ou no nervo/raiz correspondente
N. radial (C7)	Resiste à extensão do cotovelo	Fraqueza = lesão do m. tríceps braquial ou no nervo/raiz correspondente
Reflexos		
C5	Bicipital	Hipoatividade/ausência indica radiculopatia
C6	Braquiorradial	Hipoatividade/ausência indica radiculopatia
C7	Tricipital	Hipoatividade/ausência indica radiculopatia

TESTES ESPECIAIS

Cotovelo de tenista	Deixar o punho fechado, pronado, estender o punho e os dedos contra resistência	Dor no epicôndilo lateral sugere epicondilite lateral
Cotovelo de golfista	Braço supinado, estender o punho e o cotovelo	Dor no epicôndilo medial sugere epicondilite medial
Instabilidade ligamentar	Flexão de 25°, aplicar estresse em varo/valgo	Dor ou fraqueza indica lesão no LCR/LCU
<i>Pivot shift</i> (IRPL)	Cotovelo supinado, estendido, flexionar o ombro acima da cabeça. Carga axial supinada, cotovelo em valgo e flexionado	Apreensão, subluxação palpável da cabeça do rádio ou ondulações da pele sobre a cabeça do rádio, teste positivo para instabilidade rotatória posterolateral (IRPL)
Sinal de Tinel	Batida no sulco do n. ulnar (nervo)	Formigamento na distribuição ulnar indica aprisionamento
Flexão do cotovelo	Flexão máxima do cotovelo por 3 minutos	Formigamento na distribuição ulnar indica aprisionamento
<i>Pinch grip</i>	Pinçar com a ponta do polegar e do indicador	Inabilidade (ou pinçar com a polpa digital, não com a ponta): patologia NIA

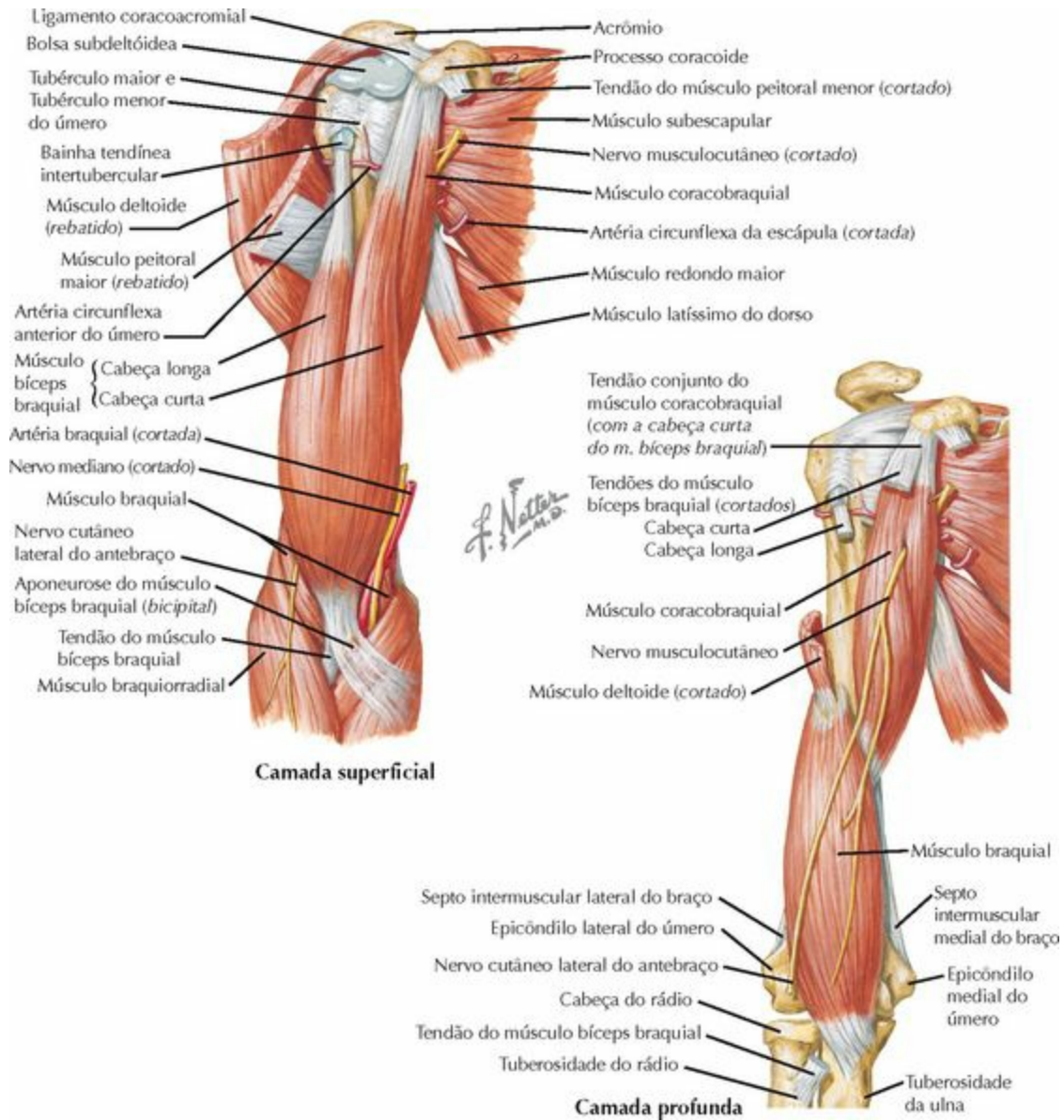
Pulsos: braquial, radial, ulna

ORIGENS E INSERÇÕES

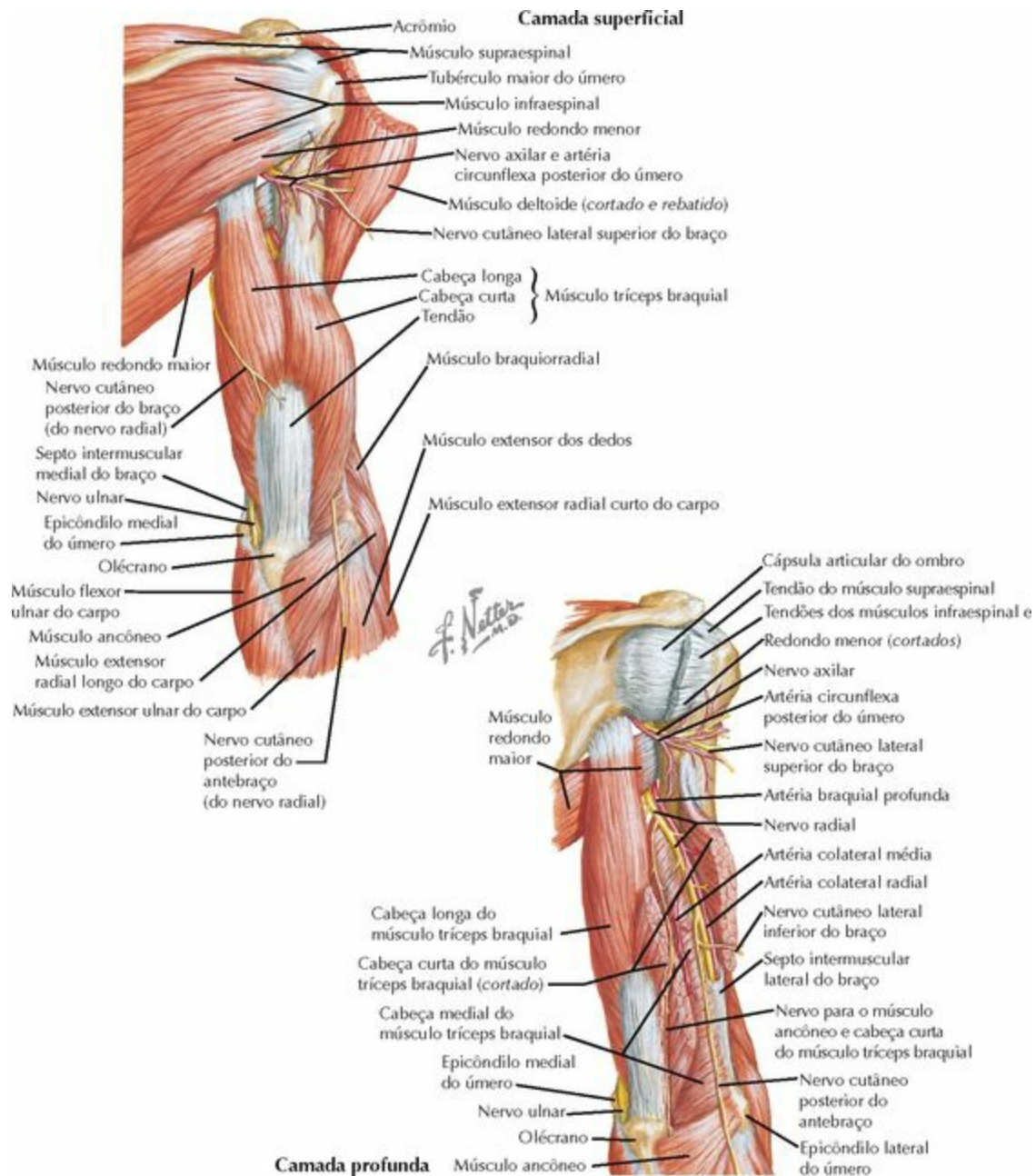


PROCESSO CORACOIDE	TUBÉRCULO MAIOR	FACE ANTERIOR DA PARTE PROXIMAL DO ÚMERO	EPICÔNDILO MEDIAL	EPICÔNDILO LATERAL
ORIGENS				
M. bíceps braquial (cabeça curta) M. coracobraquial			M. pronador redondo Tendão flexor comum (FRC, PL, FUC, FSD)	M. ancônio Tendão extensor comum (ERCC, ED, EDM, EUC)
INSERÇÕES				
M. peitoral menor	M. supraespinal M. infraespinal M. redondo menor	M. peitoral maior M. latíssimo do dorso M. redondo maior		

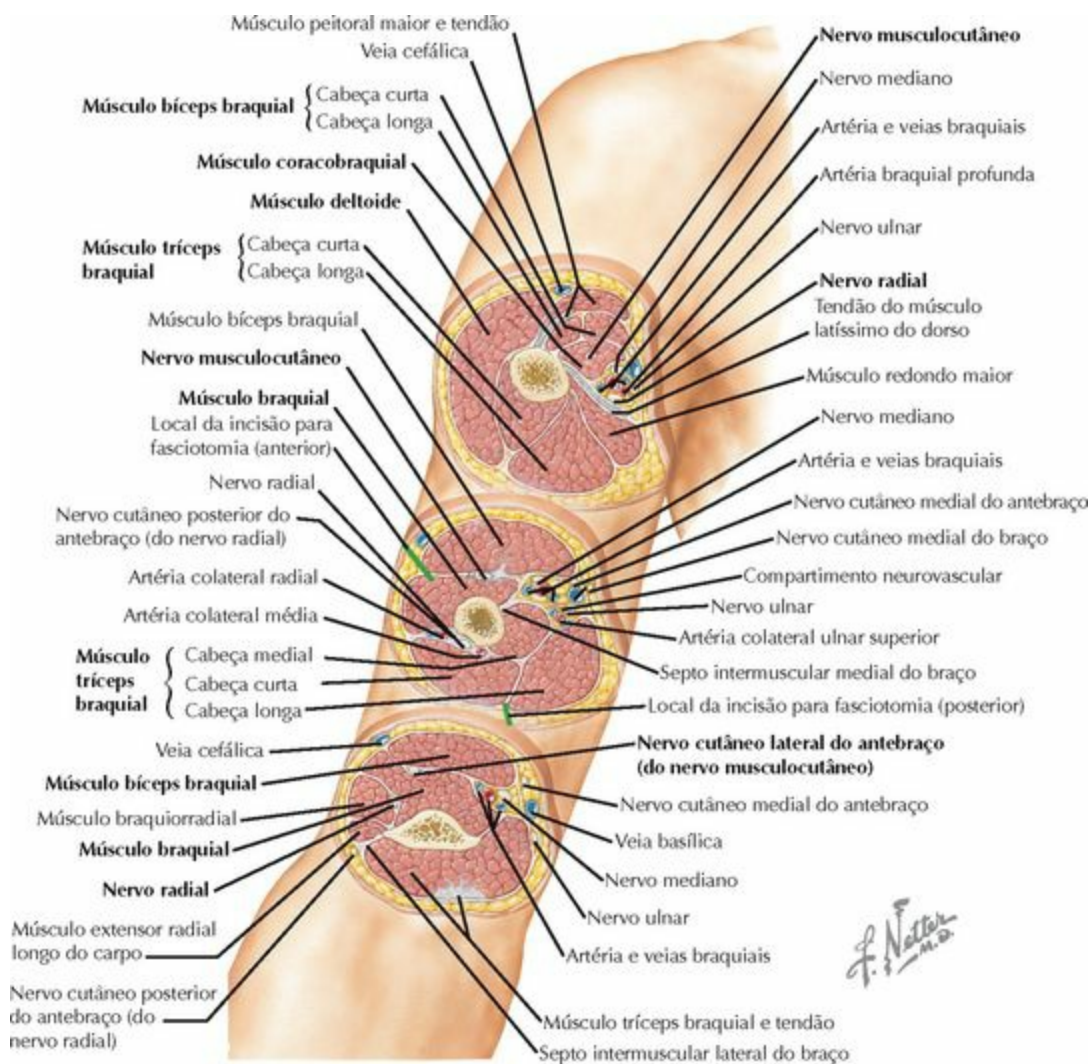
MÚSCULOS: ANTERIOR



MÚSCULO	ORIGEM (Inserção Proximal)	INSERÇÃO (Inserção Distal)	NERVO	AÇÃO	COMENTÁRIO
Coracobraquial	Processo coracoide	Porção média do úmero	Musculocutâneo	Flexão e adução do braço	Parte do tendão "conjunto"
Braquial	Face anterior da parte distal do úmero	Tuberosidade da ulna (parte proximal da ulna)	Medial: n. musculocutâneo Lateral: n. radial	Flexão do antebraço	Dividido no acesso cirúrgico anterior
Bíceps braquial					
Cabeça longa	Tubérculo supraglenoidal	Tuberosidade do rádio (parte proximal do rádio)	Musculocutâneo	Supinação e flexão do antebraço	Rompimento, resulta em "sinal do Popeye"
Cabeça curta	Processo coracoide	Tuberosidade do rádio (parte proximal do rádio)	Musculocutâneo	Supinação e flexão do antebraço	Parte do tendão "conjunto"



MÚSCULO	ORIGEM (Inserção Proximal)	INSERÇÃO (Inserção Distal)	NERVO	AÇÃO	COMENTÁRIO
Tríceps braquial					
Cabeça longa	Tubérculo infraglenoidal	Olécrano	Nervo radial	Estender o cotovelo	Margem dos espaços quadrangular e triangular e intervalo
Cabeça lateral	Face posterior do úmero (parte proximal)	Olécrano	Nervo radial	Estender o cotovelo	Margem no acesso lateral
Cabeça medial	Face posterior do úmero (parte distal)	Olécrano	Nervo radial	Estender o cotovelo	Um plano muscular no acesso posterior



ESTRUTURA

RELAÇÃO

RELAÇÕES

N.
musculocutâneo

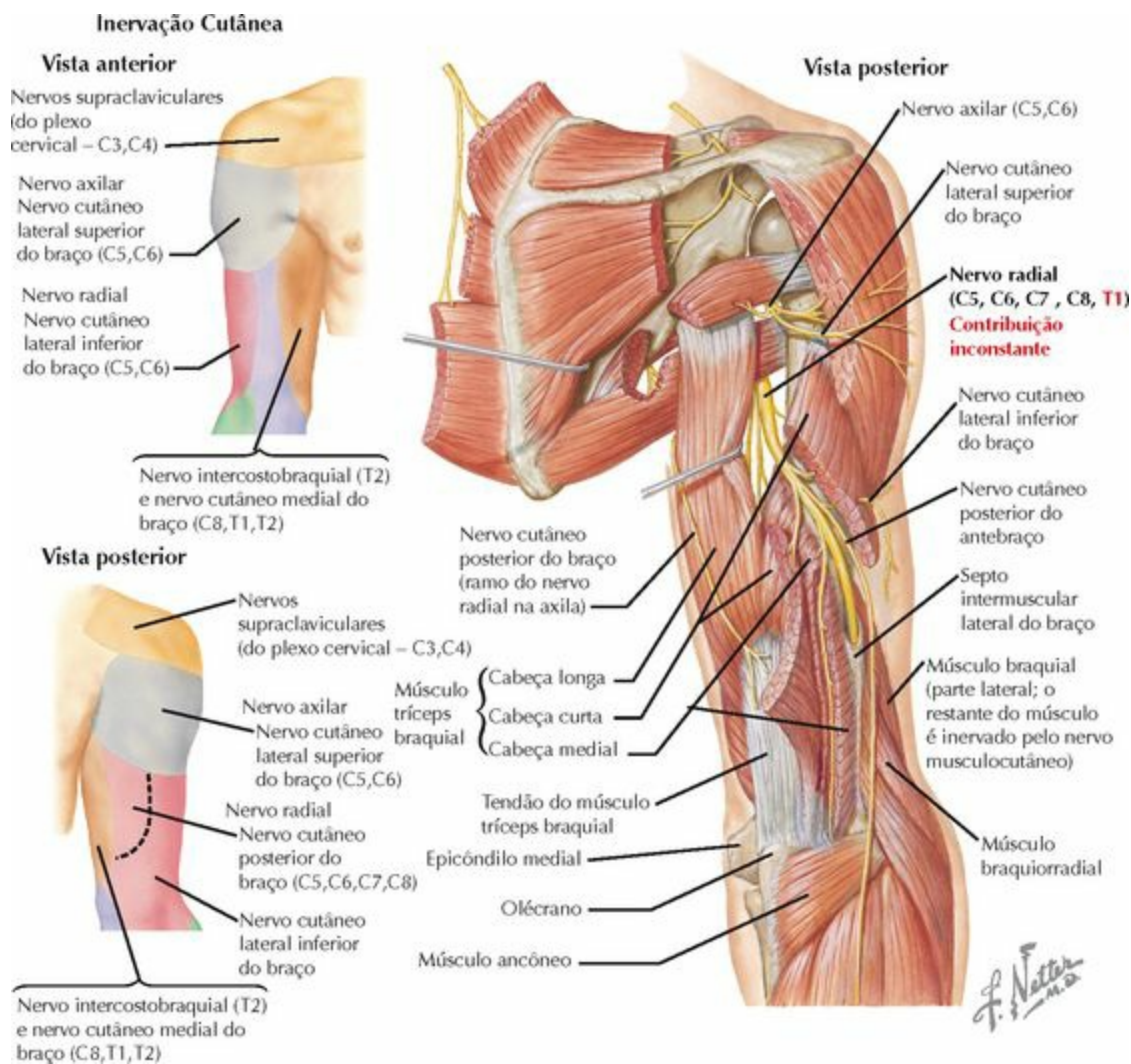
Perfura o m. coracobraquial 8 cm distal ao processo coracoide, então fica entre os músculos bíceps braquial e braquial de onde emerge o nervo cutâneo

	lateral do antebraço (ramo terminal)
N. radial	Começa medial, então se torna espiralado posterior e lateralmente ao redor do úmero (no sulco do n. radial em espiral) e emerge entre os músculos braquial e braquiorradial na face lateral do braço distalmente
N. ulnar	Na face medial do braço, no sentido anteroposterior do compartimento (atravessa o septo IM) dentro do túnel ulnar (“cubital”)
N. mediano	Na face anteromedial do braço, inicialmente lateral à artéria braquial, mas ao cruzá-la torna-se medial
Artéria braquial	Corre com o nervo mediano, então cruza por baixo dele para tornar-se mais mediana na parte distal do braço/cotovelo

COMPARTIMENTOS

Anterior do braço	Músculos: braquial, bíceps braquial, coracobraquial Neurovascular: nervo musculocutâneo, nervo mediano, artéria braquial, nervo radial (distalmente)
Posterior do braço	Músculos: tríceps braquial Neurovascular: nervo radial (parte média do braço), nervo ulnar (parte distal do braço), artéria recorrente radial

NERVOS



PLEXO BRAQUIAL

Fascículo Lateral e Medial

N. mediano (C[5]6-T1): corre na face medial do braço (compartimento anterior), medialmente aos mm. bíceps braquial e braquial (lateralmente à artéria braquial), então cruza (medialmente) por cima da artéria e entra no antebraço sob a aponeurose do músculo bíceps braquial (**bicipital**)

Sensitivo: Nenhum (no braço, ver [Capítulo 6](#), Mão)

Motor: Nenhum (no braço, ver [Capítulos 5 e 6](#), Antebraço e Mão)

Fascículo Posterior

N. radial

(C5-T1): começa medialmente ao úmero, atravessa posteriormente pelo sulco do n. radial (onde ele pode ser aprisionado em uma fratura de úmero, especialmente nas **fraturas do 1/3 distal**) com a artéria braquial profunda, então fica entre os mm. braquiorradial e braquial; divide-se, em seguida, nos ramos profundo (motor-NIP) e superficial (sensitivo)

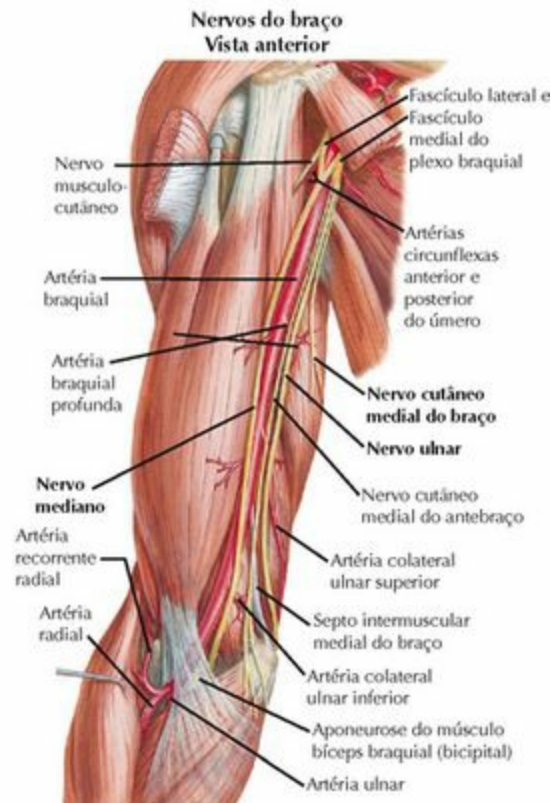
Face posterior: via **nervo cutâneo posterior do braço**

Sensitivo:

Face lateral: via **nervo lateral inferior do braço**

Motor:

- Compartimento posterior do braço
 - M. tríceps braquial
- Compartimento anterior do braço
 - M. braquial (parte **lateral**)



PLEXO BRAQUIAL

Fascículo Lateral

N. musculocutâneo (C5-C7): penetra o m. coracobraquial (**6-8 cm** abaixo do processo coracoide, onde há o risco de retração do **tendão conjunto**), e depois corre entre os mm. bíceps braquial e braquial, inervando a ambos. Existe um ramo terminal sensitivo entre os mm. bíceps braquial e braquial no cotovelo

Sensitivo: Nenhum (no braço, ver [Capítulo 5](#), Antebraço)

Motor:

- Compartimento anterior do braço
 - M. coracobraquial
 - M. bíceps braquial
 - M. braquial (parte **medial**)

Fascículo Medial

N. cutâneo medial do braço (C8-T1): os ramos do fascículo unem-se ao nervo intercostobraquial e passam subcutaneamente na face medial do braço

Sensitivo: Face medial do braço

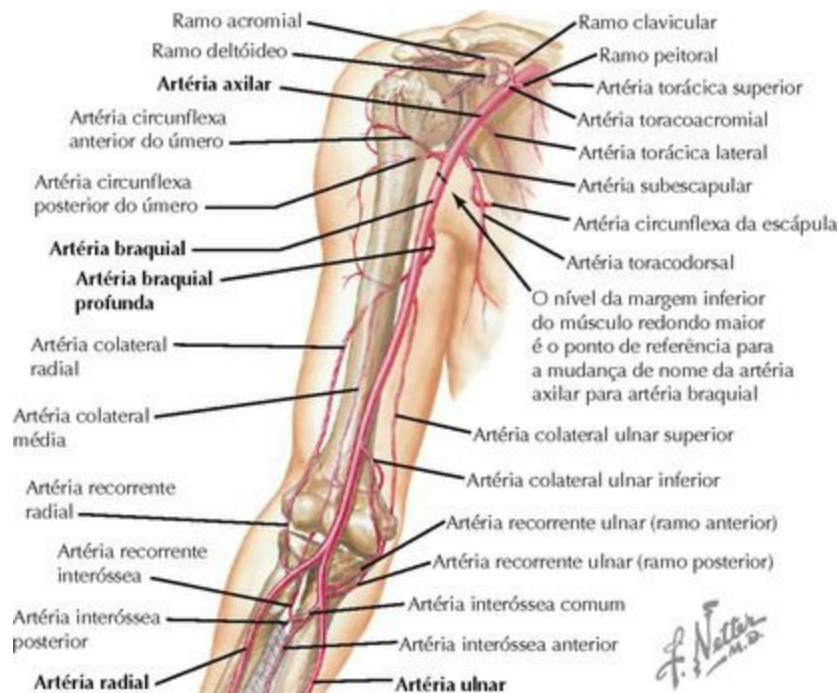
Motor: Nenhum

N. ulnar (C[7]8-T1): passa do compartimento anterior para o compartimento posterior do braço, na face medial do braço sobre o **septo IM**, e depois sob a “**arcada de Struthers**” em direção ao m. tríceps braquial (cabeça medial), em seguida atravessa o **túnel ulnar (cubital)** posteriormente ao epicôndilo medial do úmero.

Sensitivo: Nenhum (no braço, ver [Capítulos 5 e 6](#), Antebraço e Mão)

Motor: Nenhum (no braço, ver [Capítulos 5 e 6](#), Antebraço e Mão)

ARTÉRIAS



RAMOS

TRAJETO

COMENTÁRIO/IRRIGAÇÃO

ARTÉRIA BRAQUIAL

A continuação da artéria axilar. Ela corre lateralmente ao n. mediano e, depois, cruza por baixo desse nervo para assumir uma posição mediana

Artéria braquial profunda

No sulco do nervo radial

Segue o trajeto junto com o **nervo radial**, pode ser lesada neste local

Artéria nutrícia do úmero

Penetra no canal nutrício

Irriga o úmero

Artéria colateral ulnar superior

Com o **nervo ulnar** na parte média do braço

Anastomosa-se com a artéria recorrente ulnar posterior

Artéria colateral ulnar inferior

Ramos na parte distal do braço

Anastomosa-se com a artéria recorrente ulnar anterior

Ramos musculares

Geralmente ramifica lateralmente

Irriga a musculatura do braço

Artéria radial

Ramo terminal

Um dos 2 ramos terminais

Artéria ulnar

Ramo terminal

Um dos 2 ramos terminais

ARTÉRIA BRAQUIAL PROFUNDA

Artéria colateral radial

Na região anterolateral do braço

Anastomosa-se com a artéria recorrente radial

Posteriormente ao

Anastomosa-se com a artéria

Artéria colateral média	úmero	recorrente interóssea
		Usada como pedículo no retalho lateral do braço
ARTÉRIA RADIAL		
Artéria recorrente radial	Passa na parte anterolateral do braço	Anastomosa-se com a artéria colateral radial Os ramos (alça vascular de Henry) podem comprimir o n. radial
ARTÉRIA ULNAR		
Artéria recorrente ulnar (r. anterior)	Na parte anteromedial do braço	Anastomosa-se com a artéria colateral ulnar inferior
Artéria recorrente ulnar (r. posterior)	Na parte posteromedial do braço	Anastomosa-se com a artéria colateral ulnar superior
Artéria interóssea comum	Ramo localizado medialmente	É um tronco com vários ramos
Artéria recorrente interóssea	Posteriormente ao cotovelo	Anastomosa-se com a artéria colateral média
Artéria interóssea (AA. interósseas anterior e posterior)	Junto com a membrana interóssea	Irriga a musculatura do antebraço

DISTÚRBIOS

Prótese para artroplastia total de cotovelo

O desenho da prótese permite 5°-7° de rotação sobre flexão-extensão, em varo-valgo e rotação axial



Estabilidade inerente pelo bloqueio mecânico dos componentes de acordo com a dobradiça

C. Boyter
JOHN A. CRAIG, MD

Três tipos de artroplastia total de cotovelo foram usados. Os resultados foram melhores com uma prótese irrestrita, mas com 5%-20% de incidência de instabilidade pós-operatória, a maioria dos pacientes é tratada agora com uma prótese semirrestrita, que possui estabilidade inerente pela ligação dos componentes geralmente com uma dobradiça (mostrada acima) ou com um arranjo de encaixe do eixo

Transposição submuscular do nervo ulnar

Septo intermuscular medial do braço
Transposição anterior do nervo ulnar
Músculo tríceps braquial



Origem do tendão dividida



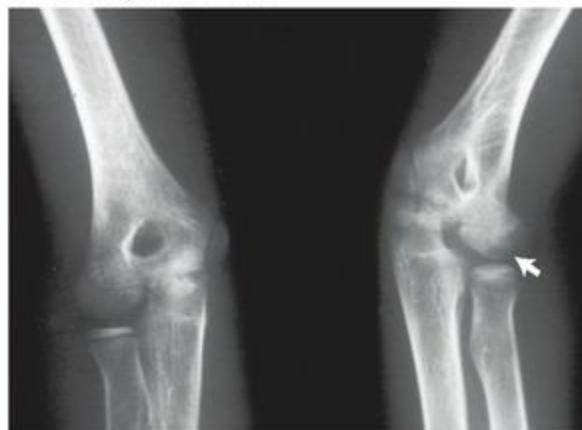
Tendão flexor-pronador reparado sobre o nervo transposto

DESCRIÇÃO	HDA e EF	EXAMES COMPLEMENTARES/ ACHADOS	TRATAMENTO
ARTRITE			
<ul style="list-style-type: none"> • Condição menos comum • Osteoartrite observada em atletas/trabalhadores • Locais de artrites (AR, gota etc.) 	HDA: dor crônica, rigidez, +/- trauma anterior EF: ADM diminuída e sensibilidade dolorosa (especialmente na extensão)	<ul style="list-style-type: none"> • RX: OA vs artrite inflamatória • Sangue: FR, VHS, AAN • Sinóvia: cristais, células, cultura 	<ol style="list-style-type: none"> 1. Conservador (repouso, AINE) 2. Debridamento (osteófito, corpos soltos) 3. Artroplastia umeroulnar 4. Artroplastia total de cotovelo
SÍNDROME DO TÚNEL ULNAR ("CUBITAL")			
<ul style="list-style-type: none"> • Aprisionamento do nervo ulnar no cotovelo • Locais: <ul style="list-style-type: none"> ◦ Septo intermuscular ◦ Arcada de Struthers ◦ Túnel ulnar ("cubital") ◦ Fáscia do FUC 	HDA: dormência/ formigamento na região de distribuição do n. ulnar, +/- dor no cotovelo EF: +/- força de contenção diminuída, atrofia intrínseca, + teste de flexão do cotovelo e/ou de Tinel	RX: procurar pelo epicôndilo medial anormal EMG: confirmar o diagnóstico	<ol style="list-style-type: none"> 1. Repouso, gelo, AINE, modificação da atividade 2. Colocar talas (dia e/ou noite) 3. Transposição do nervo ulnar (submuscular vs subcutâneo)
EPICONDILITE LATERAL (COTOVELO DE TENISTA)			
<ul style="list-style-type: none"> • Degeneração do tendão extensor comum (especialmente o ERCC) • Devido ao exagero (p. ex., tênis) e/ou lesão (microtrauma) do tendão 	HDA: idade 30-60 anos, dor crônica na parte lateral do cotovelo, piora com a extensão do punho EF: epicondilitis lateral SP, dor com extensão do punho fletido	RX: excluir fratura e OA. Pode ocorrer calcificação dos tendões (especialmente do ERCC)	<ol style="list-style-type: none"> 1. Modificação da atividade, AINE 2. Uso de aparelho ortopédico (órtese) ou tipola 3. Alongamento/fortalecimento 4. Infiltração de corticosteroide 5. Liberação cirúrgica do tendão (ERCC n.1)
BURSITE DO OLÉCRANO			
<ul style="list-style-type: none"> • Inflamação da bolsa (infecção/trauma/outros) 	HDA: edema, dor aguda ou crônica EF: massa palpável/flutuante no olécrano	LABS: aspirar a bolsa, enviar o líquido para a cultura, contar as células, coloração de Gram e cristais	<ol style="list-style-type: none"> 1. Bandagem compressiva 2. Modificação da atividade 3. Infiltração de corticosteroide 4. Debridamento cirúrgico

Lesão osteocondral do capitúlo do úmero



Reabsorção óssea observada como áreas radiolúcidas e superfície irregular do capitúlo do úmero



Alterações características no capitúlo do úmero esquerdo (seta) comparado com o cotovelo direito normal

DESCRIÇÃO	HDA e EF	EXAMES COMPLEMENTARES/ ACHADOS	TRATAMENTO
RUPTURA DISTAL DO TENDÃO DO M. BÍCEPS BRAQUIAL			
<ul style="list-style-type: none"> Mecanismo: sobrecarga excêntrica do cotovelo parcialmente flexionado Geralmente homens com 40-60 anos de idade Diagnóstico precoce é importante 	HDA: lesão aguda/ "tiro" EF: tendão não palpável, fraco e/ou dolorido na flexão e supinação	RX: geralmente normal RM: pode confirmar o diagnóstico, mas geralmente não é necessário	<ol style="list-style-type: none"> Precoce: reparo principal (1 ou 2 técnicas de incisão) Tardio: sem cirurgia; fisioterapia
INSTABILIDADE MEDIAL DO COTOVELO			
<ul style="list-style-type: none"> Lesão do LCU (falxa anterior) por estresse em valgo repetitivo Aguda ou crônica, associada a arremessos (beisebol, dardo) 	HDA: dor com arremesso ou falta de habilidade para arremessar EF: sensibilidade dolorosa do LCU, +/- fraqueza em valgo (em >30°)	RX: imagem em estresse pode mostrar os osteófitos posteromediais largos (geralmente dinâmico) RM: avulsão e rompimento	<ol style="list-style-type: none"> Repouso, modificação da atividade Fisioterapia (ADM) Reconstrução do ligamento e debridamento dos osteófitos/corpos soltos
OSTEOCONDRITE DISSECANTE DO COTOVELO			
<ul style="list-style-type: none"> Insuficiência vascular ou microtrauma do capitulo do úmero Adolescentes arremessadores/ginastas com grande carga em valgo/compressiva 	HDA: dor na parte lateral do cotovelo, +/- preso, rígido EF: capitulo do úmero SP, dor com estresse em valgo	RX: lucente, +/- fragmentação do capitulo do úmero TC: ajuda a identificar os corpos soltos	<ol style="list-style-type: none"> Repouso e fisioterapia RAFI dos fragmentos ou debridamento artroscópico dos corpos soltos e condroplastia
INSTABILIDADE ROTATÓRIA POSTEROLATERAL			
<ul style="list-style-type: none"> Lesão do ligamento colateral radial (parte ulnar) Permite que a cabeça do rádio sofra subluxação Mecanismo: traumático (luxação do cotovelo) ou iatrogênico (cirurgia de cotovelo) 	HDA: história de trauma ou cirurgia, dor, +/- fazendo clique EF: + teste do <i>Pivot Shift</i>	RX: frequentemente normal RX em estresse: mostra subluxação da cabeça do rádio RM: identifica o rompimento do LCR	<ol style="list-style-type: none"> Repouso, modificação da atividade Fisioterapia (ADM) Reconstrução do LCR (geralmente com um enxerto palmar)
COTOVELO RÍGIDO			
<ul style="list-style-type: none"> <30°-120° Etiologia intrínseca vs extrínseca Intrínseca: alterações articulares/ artrose (pós-traumática etc.) Extrínseca: contração da cápsula articular 	HDA: trauma, rigidez, dor mínima EF: ADM diminuída (especialmente na flexão e na extensão)	RX: AP/perfil/oblíqua Procurar por osteófitos ou outros sinais de artrose intrínseca da articulação	<ol style="list-style-type: none"> Fisioterapia: ADM Cirúrgico: Intrínseco: excisão dos osteófitos, corpos soltos Extrínseco: liberação da cápsula articular

DISTÚRBIOS PEDIÁTRICOS

Luxação congênita da cabeça e do rádio



A vista lateral da extremidade superior revela uma saliência posterior da cabeça do rádio e a incapacidade de estender completamente o cotovelo

As radiografias anteroposterior e em perfil revelam a luxação posterior da cabeça do rádio, mais evidente durante a flexão do cotovelo. Observe também o capitulo do úmero hipoplásico

DESCRIÇÃO

AVALIAÇÃO

TRATAMENTO

LUXAÇÃO CONGÊNITA DA CABEÇA DO RÁDIO

- Luxação congênita da cabeça do rádio
- Geralmente diagnosticada entre 2-5 anos de idade
- Pacientes são tipicamente muito funcionais
- Unilateral ou bilateral
- Associada a outras síndromes

HDA: pais observam a ADM diminuída, +/- dor ou deformidade (tardia)
EF: ADM diminuída, +/- visível a cabeça do rádio e/ou sensibilidade dolorosa
RX: malformação da cabeça do rádio e do capitulo do úmero

- Assintomática: observação
- Sintomática (dor): excisão da cabeça do rádio na maturidade esquelética (diminui a dor, mas tipicamente não aumenta a ADM)

SINOSTOSE RADIULNAR

- Falha da separação de rádio e ulna
- Rotação do

HDA/EF: ausência de pronosupinação do

- Ressecção da sinostose sem sucesso

antebraço está ausente

- Pode estar associada a outras síndromes
- Bilateral em 60% dos casos

cotovelo/antebraço. Diferentes graus de deformidade fixa ($>60^\circ$ é grave)

RX: Rádio está espessado, ulna está estreita

Mediana/unilateral: observação

- Osteotomia: mão dominante 20° de pronação, não dominante 30° de supinação

OSTEOCONDROSE DO CAPÍTULO DO ÚMERO (DOENÇA DE PANNER)

- Ossificação endocondral desorganizada
- Mecanismo: compressão em valgo (arremessador) ou sobrecarga axial (ginastas)
- Geralmente < 10 anos de idade; meninos $>$ meninas
- Prognóstico favorável a longo prazo

HDA: dor na parte lateral do cotovelo de início insidioso e por uso excessivo (**beisebol, ginástica**)

EF: capítulo do úmero SP, ADM diminuída

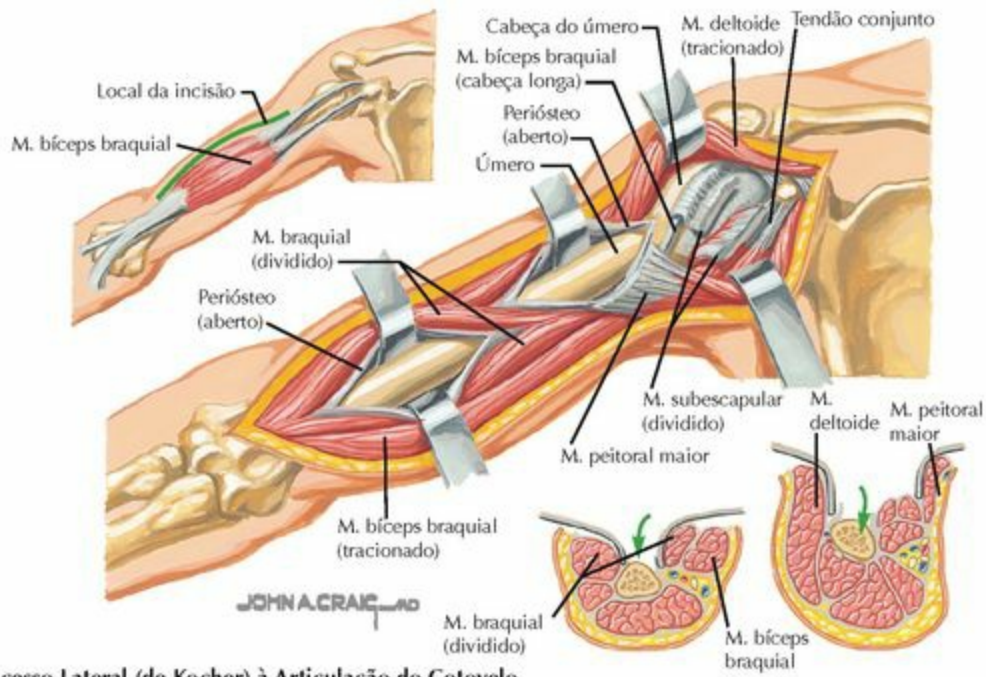
RX: margens irregulares, +/- fissurada, fragmentação (raramente corpos soltos)

1. Repouso (não arremessar, exercícios de ginástica etc.)
2. AINE
3. Imobilização (3-4 semanas)

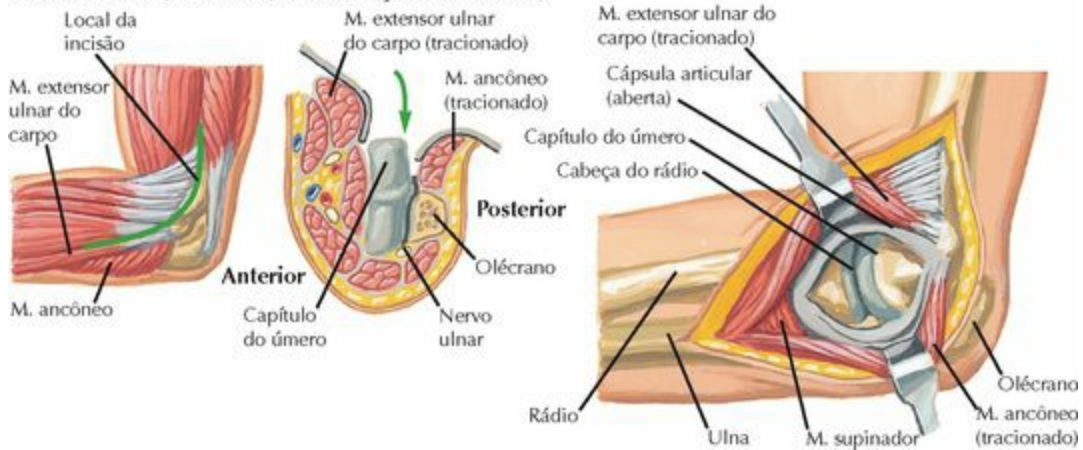
Os sintomas podem persistir por meses, mas a maioria resolve completamente

ACESSOS CIRÚRGICOS

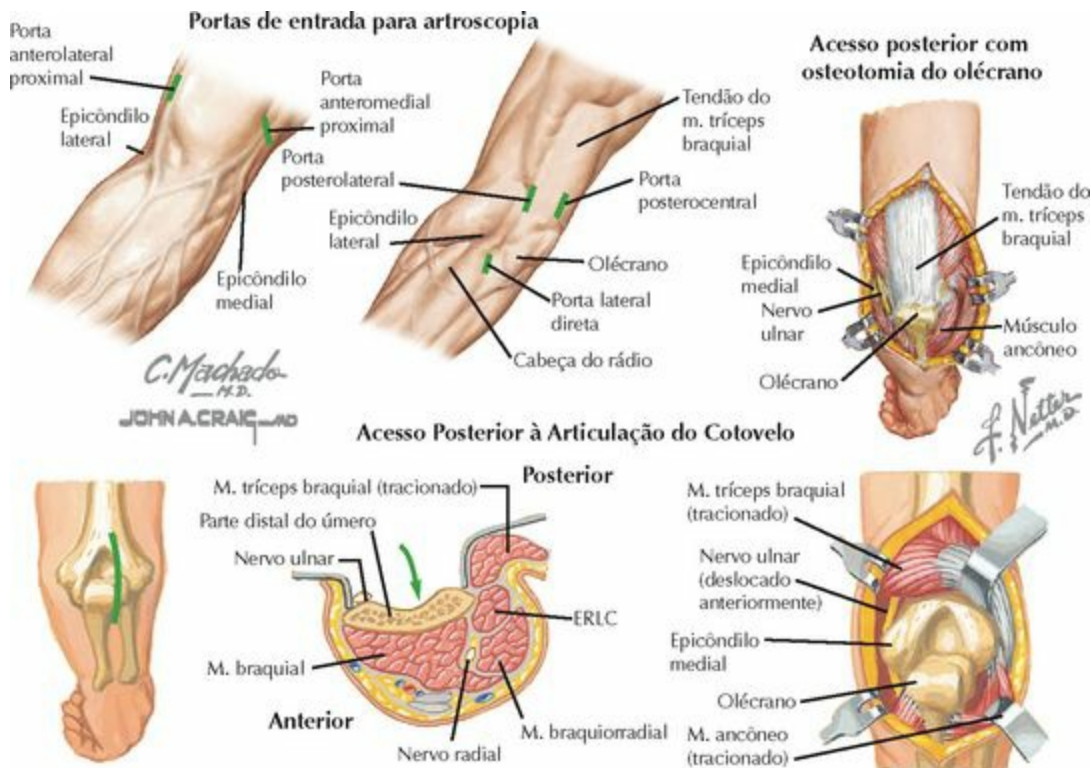
Acesso Anterolateral ao Úmero



Acesso Lateral (de Kocher) à Articulação do Cotovelo



USOS	PLANOS ENTRE OS NERVOS	RISCOS	COMENTÁRIO
ÚMERO: ACESSO ANTERIOR			
<ul style="list-style-type: none"> • RAFI das fraturas • Biópsia óssea ou remoção do tumor 	Proximal <ul style="list-style-type: none"> • M. deltoide (axilar) • M. peitoral maior (peitoral) Distal <ul style="list-style-type: none"> • Divisão do m. braquial: <ul style="list-style-type: none"> ◦ Lateral (radial) ◦ Medial (MC) 	Proximal <ul style="list-style-type: none"> • Nervo axilar • Artéria circunflexa do úmero Distal <ul style="list-style-type: none"> • Nervo radial • Nervo musculocutâneo 	<ul style="list-style-type: none"> • A artéria circunflexa anterior do úmero pode precisar de ligação • O m. braquial possui uma inervação dividida que pode ser usada para um plano entre os nervos
COTOVELO: ACESSO LATERAL (de KOCHER)			
<p>Maioria dos procedimentos na cabeça do rádio e no côndilo (lateral)</p>	<ul style="list-style-type: none"> • M. ancôneo (radial) • EUC (NIP) 	<ul style="list-style-type: none"> • NIP • Nervo radial 	<ul style="list-style-type: none"> • Proteger o NIP: ficar acima do ligamento anular do rádio; manter o antebraço em pronação

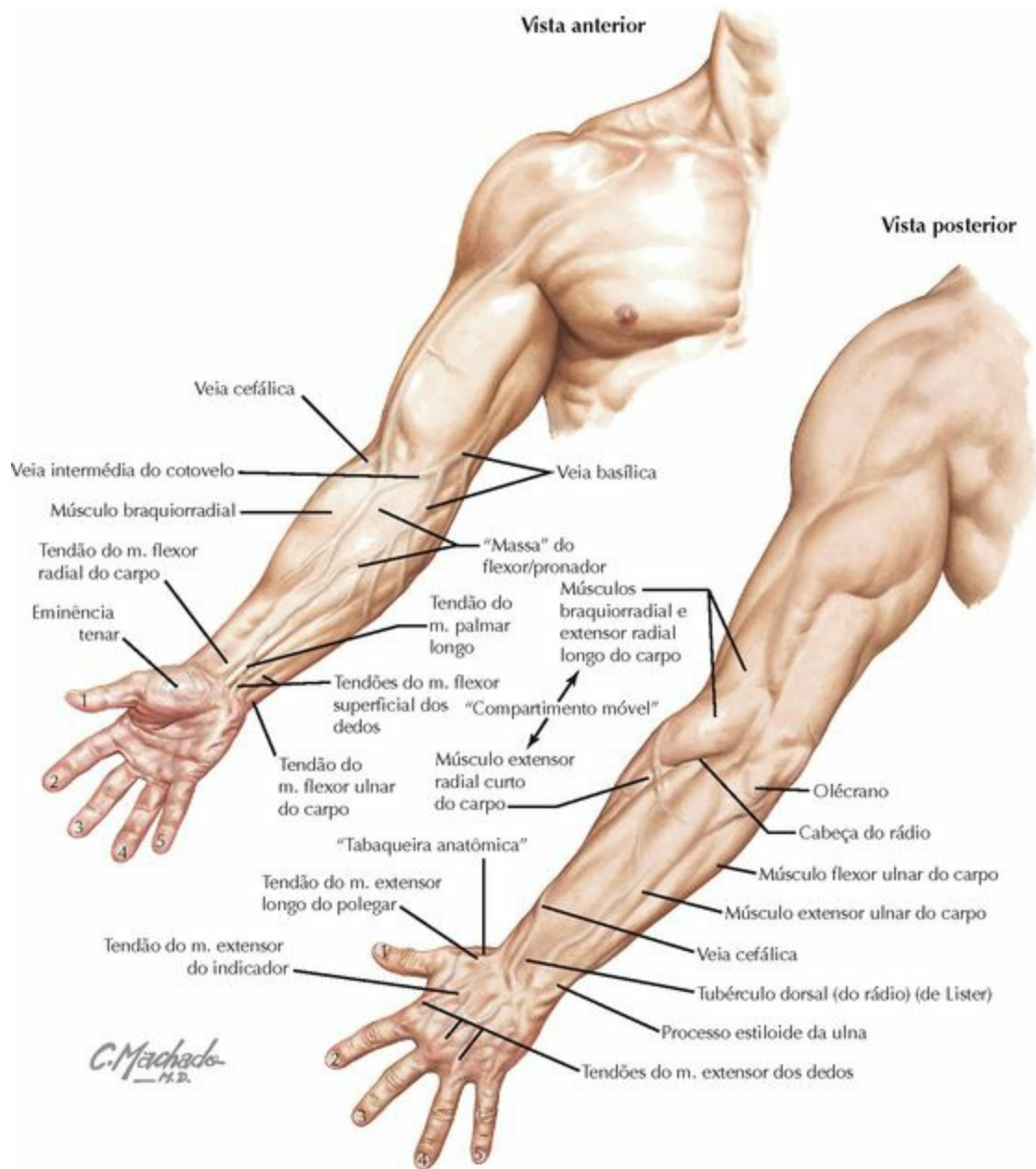


USOS	PLANOS ENTRE OS NERVOS	RISCOS	COMENTÁRIO
ACESSO POSTERIOR			
<ul style="list-style-type: none"> • Fratura da parte distal do úmero • Remoção de corpo solto, procedimentos condrais • Artroplastia umeroulnar • Artroplastia total de cotovelo 	<ul style="list-style-type: none"> • Nenhum plano internervoso • Olécrano está osteotomizado e refletido para expor a parte distal do úmero/articulação 	<ul style="list-style-type: none"> • Nervo ulnar • Pseudartrose do olécrano após a osteotomia 	<ul style="list-style-type: none"> • Melhor exposição da articulação • Olécrano deve ser perfurado e fresado antes da osteotomia • Osteotomia em Chevron é a melhor • Risco de ocorrer a pseudartrose do olécrano
ACESSO POSTERIOR: BRYAN/MORREY			
<ul style="list-style-type: none"> • Alternativa para o acesso posterior com osteotomia • Mesmas indicações dadas acima 	<ul style="list-style-type: none"> • Nenhum plano internervoso • O m. tríceps braquial está parcialmente descolado e traçado lateralmente 	<ul style="list-style-type: none"> • Nervo ulnar 	<ul style="list-style-type: none"> • Visualização da articulação não é tão boa como na osteotomia, não há risco de pseudartrose
PORTAS DE ACESSO PARA ARTROSCOPIA			
Usos: remoção de corpo solto/lesões articulares, debridamento e liberação capsular, redução de fratura, artroplastia limitada			
Anteromedial proximal	2 cm proximalmente do epicôndilo medial anterior ao septo IM	Nervo ulnar Nervo CMA	Compartimento anterior, cabeça do rádio, capitulo do úmero e cápsula articular
Anterolateral proximal	2 cm proximalmente do epicôndilo lateral anterior ao úmero	Nervo radial	Articulação medial, recesso lateral e articulação umerorradial
Posterocentral	3 cm da ponta do olécrano	Seguro (através do tendão)	Compartimento posterior, canais
Posterolateral	3 cm da ponta do olécrano na margem lateral do tendão do m. tríceps braquial	Nervo cutâneo medial e posterior do antebraço	Ponta e fossa do olécrano, tróclea posteriormente
Lateral direta ("ponto fraco")	Entre o epicôndilo lateral, a cabeça do rádio e o olécrano	Nervo cutâneo posterior do antebraço	Capitulo do úmero inferior e articulação radiulnar proximal

Antebraço

Anatomia Topográfica
Osteologia
Radiologia
Trauma
Articulações
Túneis
Outras Estruturas
Pequenos Procedimentos
História da Doença Atual
Exame Físico
Músculos
Nervos
Artérias
Distúrbios
Distúrbios Pediátricos
Acessos Cirúrgicos

ANATOMIA TOPOGRÁFICA

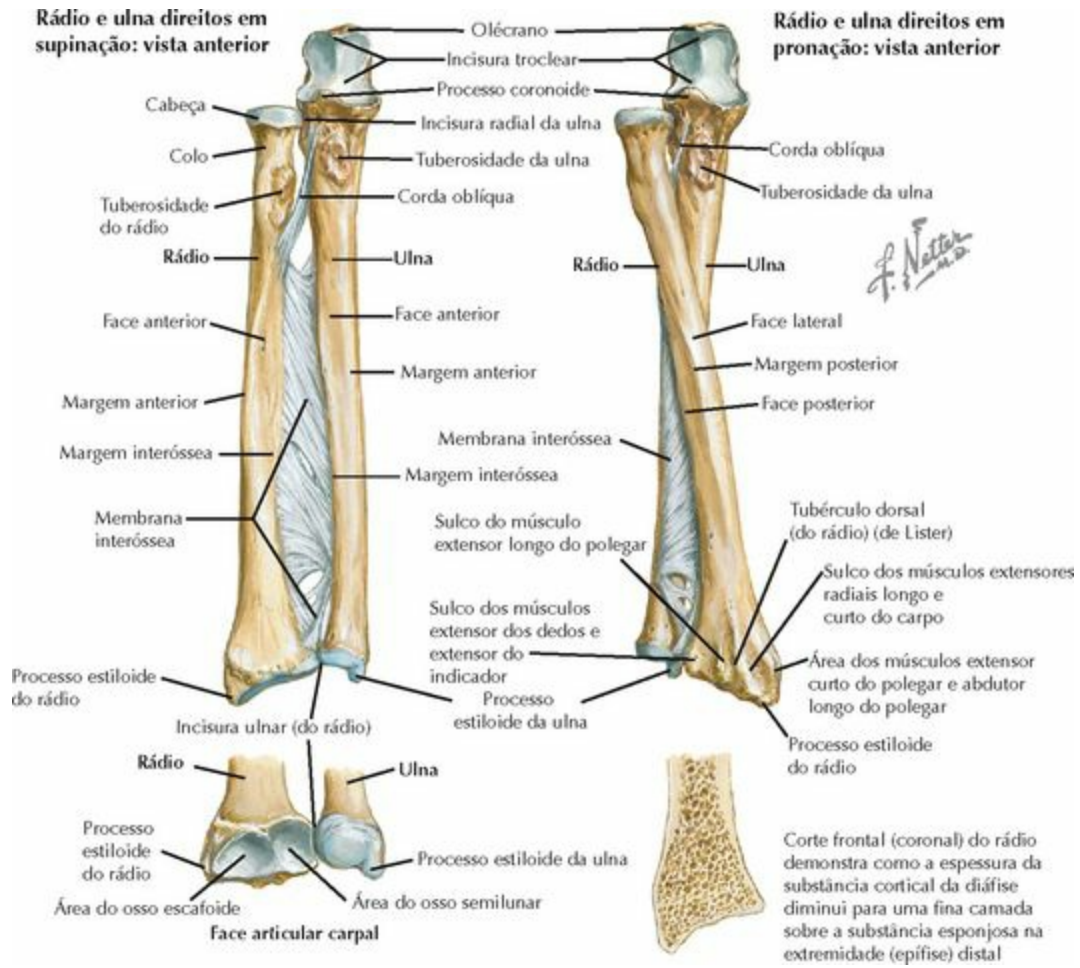


ESTRUTURA	APLICAÇÃO CLÍNICA
Olécrano	Extremidade proximal da ulna. A sensibilidade dolorosa pode indicar fratura
Cabeça do rádio	Extremidade proximal do rádio. A sensibilidade dolorosa pode indicar fratura
Tendão do m. flexor radial do carpo	Marco anatômico para a via de acesso palmar ao punho*. O pulso radial é exatamente lateral ao tendão
Tubérculo dorsal (de Lister)	Tubérculo dorsal na parte distal do rádio. "Farol do punho." O tendão do ELP passa ao seu redor
Processo estiloide da	Extremidade distal proeminente da ulna. Sensibilidade dolorosa pode

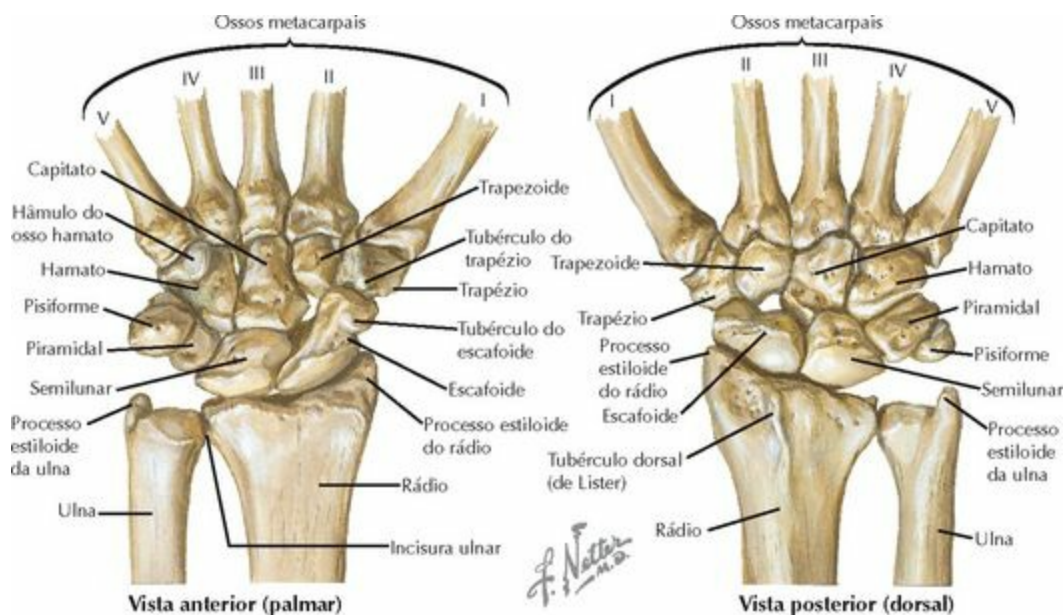
ulna	indicar fratura
Tendão do m. palmar longo	Não está presente em todas as pessoas. Pode ser usado para enxertos tendíneos
“Tabaqueira anatômica”	Local de palpação do escafoide. A sensibilidade dolorosa pode indicar fratura do escafoide

* **Nota da Revisão Científica:** O termo “punho” será mantido em razão de sua aplicação corriqueira na prática clínica, apesar de não constar na Terminologia Anatômica. O termo correspondente correto deveria ser “região radiocarpa”.

OSTEOLOGIA



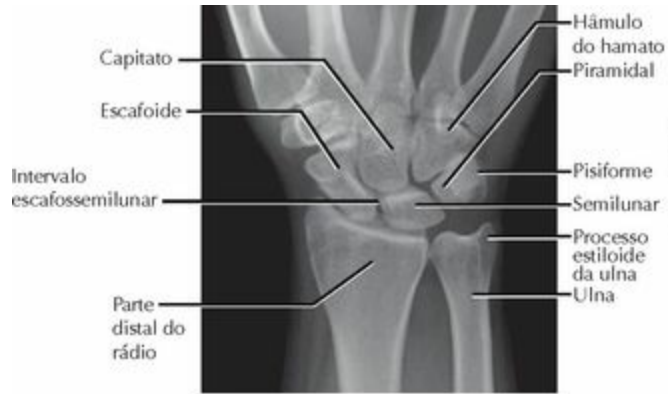
CARACTERÍSTICAS	OSSIFICAÇÃO	FUSÃO	COMENTÁRIOS	
RÁDIO				
<ul style="list-style-type: none"> Osso longo cilíndrico A cabeça é intra-articular Tuberosidade: inserção do m. biceps braquial O corpo (diáfise) é arqueado A extremidade distal alarga-se, é constituída por substância esponjosa, possui áreas para o escafoide e o semilunar e apresenta o processo estiloide Incisura ulnar: ARUD 	Primária Corpo (diáfise)	8ª-9ª semana	14 anos	<ul style="list-style-type: none"> A porção anterolateral da cabeça do rádio tem menos osso subcondral (suscetível à fratura) A tuberosidade aponta no sentido ulnar na supinação O arqueamento do rádio permite a rotação ao redor da ulna A extremidade distal do rádio é constituída por substância esponjosa e é local frequente de fraturas (principalmente em pacientes pediátricos e idosos) Medições radiográficas da extremidade distal do rádio: 11° de inclinação palmar, 22° de inclinação radial, 11-12 mm de altura radial
	Secundária Cabeça Epífise distal	2-3 anos 4 anos	16-18 anos 16-18 anos	
ULNA				
<ul style="list-style-type: none"> Osso longo: osso reto Corte transversal triangular Tuberosidade: inserção do m. braquial Extremidade proximal: olécrano, processo coronoide, incisura radial 	Primária Corpo (diáfise)	8ª-9ª semana	16-18 anos	<ul style="list-style-type: none"> O rádio roda em torno da ulna estacionária através das incisuras proximal e distal durante a pronação/supinação 75% do crescimento da epífise distal Olécrano e o processo coronoide proporcionam a estabilidade óssea primária para a articulação do cotovelo A fratura do processo coronoide pode resultar em instabilidade Local comum de fratura (frequentemente associada à fratura da parte distal do rádio)
	Secundária Olécrano Epífise distal	9 anos 5-6 anos	16-20 anos 16-20 anos	
<ul style="list-style-type: none"> Extremidade distal: processo estiloide 				



CARACTERÍSTICAS	OSSIFICAÇÃO	FUSÃO	COMENTÁRIOS	
FILEIRA PROXIMAL				
Escafoide: formato de barco, 80% coberto por cartilagem articular (não no meio)	5 ^o	5 anos	14-16 anos	<ul style="list-style-type: none"> A irrigação sanguínea entra na região dorsal do "colo", fazendo uma ponte entre as fileiras Osso mais acometido nas fraturas do carpo As fraturas proximais têm risco de pseudartrose/necrose avascular
Sumilunar: formato de meia-lua. Quatro articulações: 1. rádio ("faceta" do semilunar), 2. escafoide, 3. piramidal, 4. capitato	4 ^o	4 anos	14-16 anos	<ul style="list-style-type: none"> Luxações: raras, mas frequentemente passam despercebidas Rodará quando as inserções ligamentares dos ossos adjacentes forem rompidas (instabilidade carpal)
Piramidal: formato de pirâmide. Localiza-se sob o pisiforme e o processo estiloide da ulna	3 ^o	3 anos	14-16 anos	<ul style="list-style-type: none"> 3^a fratura carpal mais comum Articula-se com o complexo fibrocartilágneo triangular "TFCC*")
Pisiforme: grande osso sesamoide. No tendão do FUC, anterolateral ao piramidal	8 ^o	9-10 anos	14-16 anos	<ul style="list-style-type: none"> Múltiplas inserções: FUC, "ligamento carpal transverso" (LCT), m. abductor do dedo mínimo, múltiplos ligamentos
FILEIRA DISTAL				
Trapézio: forma de sela	6 ^o	5-6 anos	14-16 anos	<ul style="list-style-type: none"> Tem um sulco para o FRC
Trapezoide: forma trapezoidal/de cunha	7 ^o	6-7 anos	14-16 anos	<ul style="list-style-type: none"> Articula-se com o 2^o MC
Capitato: maior osso carpal, 1 ^o osso carpal a se ossificar	1 ^o	1 ano	14-16 anos	<ul style="list-style-type: none"> Base do arco do carpo, assoalho da "tabaqueira anatômica" Irrigação sanguínea retrógrada
Hamato: tem um hêmulo ("gancho") com orientação palmar que é distal e radial ao pisiforme	2 ^o	2 anos	14-16 anos	<ul style="list-style-type: none"> O hêmulo pode fraturar, a artéria ulnar pode ser lesionada O "ligamento carpal transverso" insere-se na margem do túnel ulnar (canal de Guyon)
<ul style="list-style-type: none"> Ossificação: cada um de um único centro, em uma direção anti-horária (posição anatômica) começando com o capitato Cada osso tem múltiplas articulações (4-7) com os ossos adjacentes A fileira proximal é considerada o "segmento intercalado" entre a extremidade distal do rádio/"TFCC" e a fileira distal dos ossos carpais O ângulo escafossesimilunar (medido na radiografia em perfil): média 47° (faixa de 30°-60°; <30° = VISI*, > 60 = DISI*). 				

*Nota da Revisão Científica: as siglas TFCC (*triangular fibrocartilage complex* – complexo fibrocartilágneo triangular), TFC (*triangular fibrocartilage* – fibrocartilagem triangular) e os acrônimos VISI (*volar intercalated segment instability* – instabilidade do segmento intercalado palmar) e DISI (*dorsal intercalated segment instability* – instabilidade do segmento intercalado dorsal) são termos consagrados pelo uso na clínica ortopédica, sendo usados em português sem tradução.

RADIOLOGIA



Radiografia do punho, AP



Radiografia do punho, perfil



Radiografia do punho, oblíqua



Radiografia do punho, desvio ulnar

RADIOGRAFIA	TÉCNICA	ACHADOS	APLICAÇÃO CLÍNICA
AP (anteroposterior)	Região palmar para baixo sobre o chassi, feixe perpendicular ao chassi	Ossos carpais, articulação radiocarpal	Luxações ou fraturas na extremidade distal do rádio, ulna e nos ossos carpais
Perfil	Margem ulnar do punho e mão sobre o chassi	Alinhamento dos ossos, articulações	Idêntico ao anterior, instabilidade carpal (semilunar)
Oblíqua	Lateral com rotação de 40°	Alinhamento e posição dos ossos	Idêntico ao anterior
AP com desvio ulnar	AP, desviar o punho no sentido ulnar	Isola o escafoide	Fraturas do escafoide
Incidência do túnel do carpo	Extensão máxima do punho, feixe a 15°	Hamato, pisiforme, trapézio	Fraturas (principalmente hêmulo do hamato)
OUTROS EXAMES			
TC	Transversal (axial), frontal (coronal) e sagital	Congruência articular, consolidação óssea, alinhamento ósseo	Fraturas (escafoide, hêmulo do hamato), pseudartrose
RM	Sequência de pulsos varia	Tecidos moles (ligamentos, tendões, cartilagens), ossos	Fraturas ocultas (p. ex., escafoide), lacerações (p. ex., "TFCC", ligamento escafosssemilunar)
Cintilografia óssea		Todos os ossos avaliados	Infecção, fraturas por estresse, tumores

Fratura de Ambos os Ossos do Antebraço



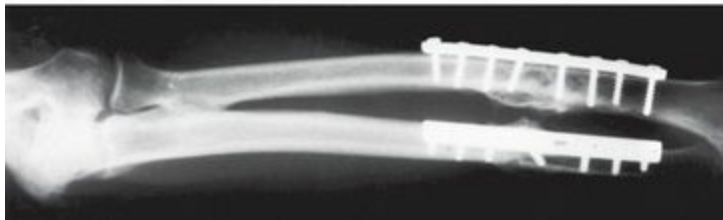
Fratura tanto do rádio quanto da ulna com angulação, encurtamento e cominuição do rádio



Redução aberta e fixação com placa de compressão e parafusos fixos em duas corticais. Bom alinhamento, com restauração do arqueamento radial e do espaço interósseo



Radiografia pré-operatória.
Fraturas dos corpos (diáfises)
de ambos os ossos
do antebraço



Radiografia pós-operatória.
Placas de compressão
aplicadas e fragmentos com
bom alinhamento

DESCRIÇÃO	AVALIAÇÃO	CLASSIFICAÇÃO	TRATAMENTO
FRATURAS DO RÁDIO E DA ULNA			
Fratura de Ambos os Ossos			
<ul style="list-style-type: none"> Mecanismo: queda ou alta energia Os dois ossos comumente fraturam à medida que a energia passa através de ambos As fraturas podem estar em níveis diferentes 	HDA: trauma, dor e edema, +/- deformidade EF: edema, sensibilidade dolorosa, +/- deformidade clínica RX: AP e perfil do antebraço	Descritivo: <ul style="list-style-type: none"> Terço proximal, médio, distal Desviada/angulada Cominutiva Aberta ou fechada 	<ul style="list-style-type: none"> Pediátrica (<10-12 anos): redução fechada e imobilização gessada Adultos: redução aberta com fixação interna (placas e parafusos) por meio de incisões separadas
COMPLICAÇÕES: consolidação viciosa (perda do arqueamento radial leva à diminuição da pronosupinação), leva à perda da amplitude de movimento			
Fratura de Apenas um dos Ossos do Antebraço			
<ul style="list-style-type: none"> Mecanismo: impacto direto; "fratura por cassetete" (fratura de defesa) Mais frequente na ulna 	HDA: impacto direto no antebraço EF: edema, sensibilidade dolorosa RX: AP e perfil do antebraço	Descrição: <ul style="list-style-type: none"> Desviada, encurtada, angulada, cominutiva 	<ul style="list-style-type: none"> Sem desvio: aparelho gessado Desviada: RAFI

Fratura de Monteggia



Fraturas da extremidade proximal da ulna são, em geral, caracterizadas por angulação anterior da ulna e por luxação anterior da cabeça do rádio

Em um tipo menos comum da fratura de Monteggia, a ulna é angulada posteriormente e a cabeça do rádio é deslocada também posteriormente



Fratura de Galeazzi



Vista anteroposterior da fratura do rádio associada à luxação da articulação radiulnar distal

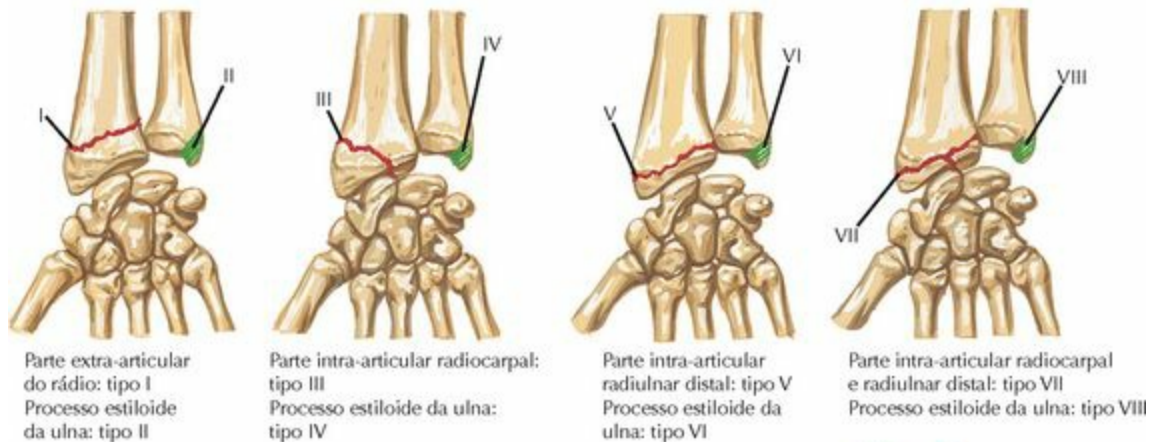
F. Netter M.D.
with
C.A. Luce



Luxação da articulação radiulnar distal mais facilmente identificada na incidência em perfil

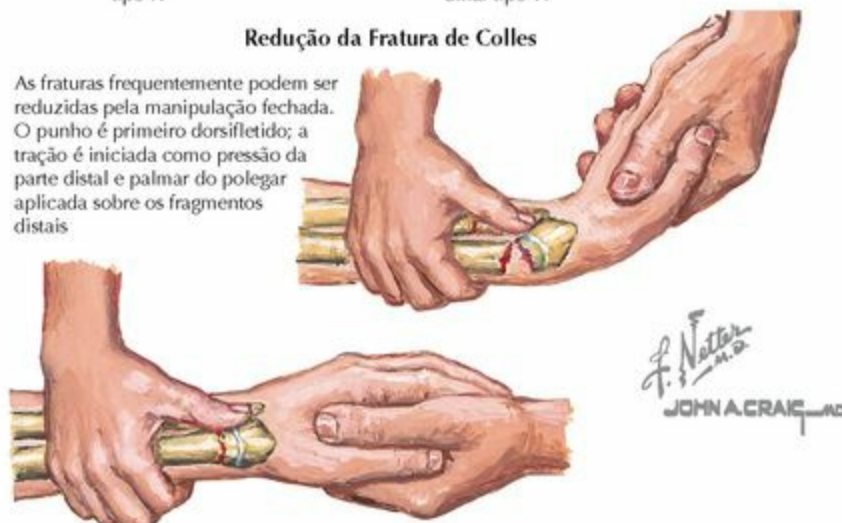
DESCRIÇÃO	AVALIAÇÃO	CLASSIFICAÇÃO	TRATAMENTO
FRATURA DE MONTEGGIA			
<ul style="list-style-type: none"> Na fratura da parte proximal da ulna, as forças de encurtamento resultam em luxação da cabeça do rádio Mecanismo: impacto direto ou queda sobre a mão em extensão 	HDA: queda, dor e edema EF: sensibilidade dolorosa, deformidade. Verificar os compartimentos e fazer o exame neurovascular RX: AP/perfil: antebraço; também, punho e cotovelo	Baseada na localização da cabeça do rádio: <ul style="list-style-type: none"> I: anterior (comum) II: posterior III: perfil IV: anterior com fratura de ambos os ossos associada 	<ul style="list-style-type: none"> Úlna: RAFI (placa/parafusos) Cabeça do rádio: redução fechada (aberta, quando irreductível ou instável) Pediátrica: redução fechada e aparelho gessado
COMPLICAÇÕES: lesão do nervo radial/NIP (a maioria se resolve), ADM diminuída, síndrome compartimental , pseudartrose			
FRATURA DE GALEAZZI			
<ul style="list-style-type: none"> Mecanismo: queda sobre a mão em extensão Fratura do terço distal do corpo (diáfise) do rádio, as forças de encurtamento resultam em luxação radiulnar distal 	HDA: queda, dor e edema EF: sensibilidade dolorosa, deformidade. Verificar os compartimentos e fazer o exame neurovascular RX: AP/perfil do antebraço: ulna comumente dorsal. Da mesma forma, séries do punho e cotovelo	Por mecanismo: <ul style="list-style-type: none"> Pronação: Galeazzi Supinação: Galeazzi invertida (fratura da diáfise da ulna com luxação da ARUD) 	<ul style="list-style-type: none"> Rádio: RAFI ARUD: redução fechada, +/- pinos percutâneos para fixar a articulação em supinação (redução aberta quando instável) Aparelho gessado por 4-6 semanas Pediátrico: redução e aparelho gessado
COMPLICAÇÕES: lesão nervosa, ADM diminuída, pseudartrose, artrose da ARUD			

Classificação de Frykman para as Fraturas da Parte Distal do Rádio



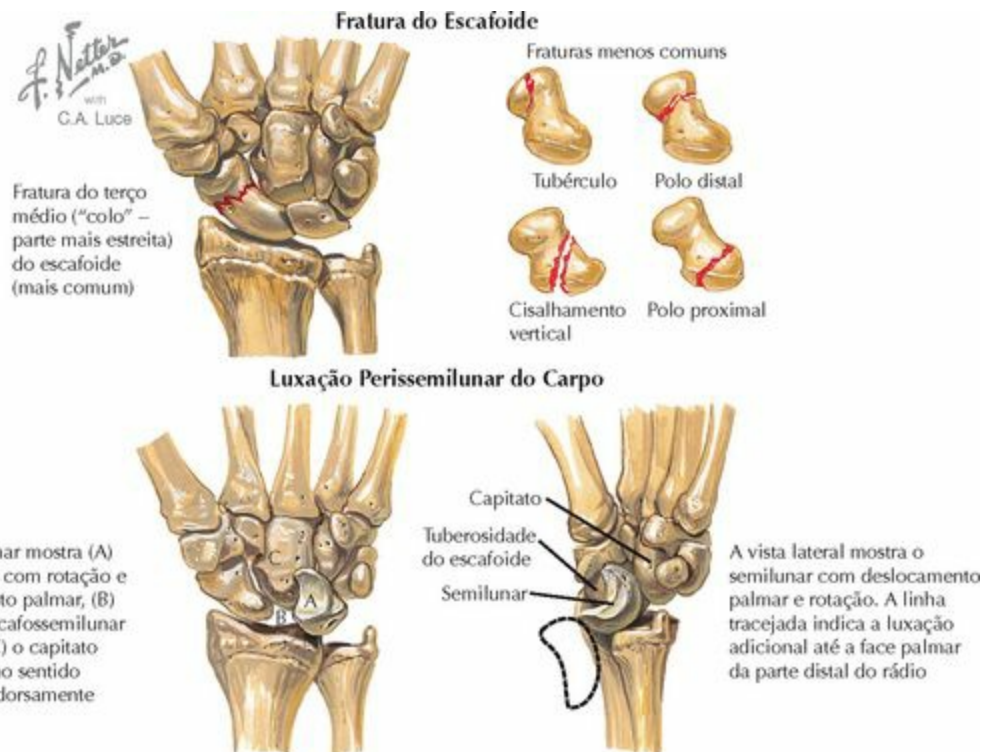
Redução da Fratura de Colles

As fraturas frequentemente podem ser reduzidas pela manipulação fechada. O punho é primeiro dorsifletido; a tração é iniciada como pressão da parte distal e palmar do polegar aplicada sobre os fragmentos distais



Com a pressão e tração mantidas, o punho é suavemente realinhado

DESCRIÇÃO	AVALIAÇÃO	CLASSIFICAÇÃO	TRATAMENTO
FRATURA DA PARTE DISTAL DO RÁDIO			
<ul style="list-style-type: none"> Mecanismo: queda sobre a mão em extensão Muito comum (Colles nº 1) A substância esponjosa é suscetível à fratura (inclusive frat. osteoporótica) Colles (nº 1): luxação dorsal (angulação palmar do ápice) Fratura de Smith: fratura com desvio palmar Fratura de Barton: fratura da margem articular Processo estiloide do rádio ("fratura do motorista") 	<p>HDA: trauma (geralmente queda), dor e edema</p> <p>EF: edema, sensibilidade dolorosa, +/- deformidade. Realizar o exame neurovascular completo</p> <p>RX: série de punho (3 incidências) Medições normais</p> <ul style="list-style-type: none"> Inclinação palmar de 11° Altura radial de 11-12 mm Inclinação radial de 23° <p>TC: para fraturas intra-articulares</p>	<p>Frykman (para Colles):</p> <ul style="list-style-type: none"> Tipos I, II: extra-articular Tipos III, IV: articulação radiocarpal Tipos V, VI: articulação radiocarpal Tipos VII, VIII: as articulações radiulnar e radiocarpal envolvidas <p>• Mesmo nas fraturas que apresentam frat. do processo estiloide da ulna associada</p> <p>Outras fraturas, descritivas: luxadas, anguladas</p>	<ul style="list-style-type: none"> Não desviada: aparelho gessado Desviada: <ul style="list-style-type: none"> Estável: redução fechada, aparelho gessado bem moldado, 4-6 semanas Instável: redução fechada, aplicação de pino percutâneo +/- fixação externa ou RAFI Intra-articular: RAFI (p. ex., placa palmar) Idosos: aparelho gessado, ADM precoce
COMPLICAÇÕES: consolidação viciosa, osteoartrite pós-traumática, rigidez/perda de amplitude de movimento			



DESCRIÇÃO	AVALIAÇÃO	CLASSIFICAÇÃO	TRATAMENTO
FRATURA DO ESCAFOIDE			
<ul style="list-style-type: none"> Mecanismo: queda sobre a mão em extensão Fratura carpal mais comum A irrigação sanguínea retrógrada para o polo proximal é interrompida nas fraturas do "colo", podendo levar à pseudartrose ou à NAV O polo distal comumente cura O alto índice de desconflança diminuirá o risco de fraturas despercebidas 	<p>HDA: trauma (geralmente queda), dor e edema</p> <p>EF: sensibilidade dolorosa na "tabaqueira anatômica", diminuição da ADM</p> <p>RX: incidências de punho AP/Perfil e AP com desvio ulnar</p> <p>TC: para a maioria das fraturas; mostra luxação/padrão</p> <p>RX: fratura oculta, NAV</p>	<p>Localização:</p> <ul style="list-style-type: none"> Polo proximal Meio/"colo" (nº 1) Polo distal <p>Posição:</p> <ul style="list-style-type: none"> Luxada (deslocada) Angulada/encurtada 	<ul style="list-style-type: none"> Não desviada: 1. Imobilização gessada ("GAP e GL"), média de 10-12 semanas; 2. Parafuso percutâneo Luxada: RAFI +/- enxerto ósseo Pseudartrose: RAFI com enxerto de osso tricortical ou enxerto ósseo vascularizado
<p>COMPLICAÇÕES: pseudartrose, artrose do punho ("CAES" no punho da pseudartrose crônica), osteonecrose (principalmente polo proximal)</p>			
INSTABILIDADE/LUXAÇÃO PERISSEMILUNAR			
<ul style="list-style-type: none"> Mecanismo: queda; compressão axial e hiperextensão A instabilidade progride por meio de 4 estágios (Mayfield) quando diversos ligamentos são rompidos A luxação (estágio 4) ocorre através do ponto fraco (espaço de Poirier) A luxação transescapóidea é o padrão de lesão nº 1 	<p>HDA: trauma/queda, dor</p> <p>EF: "plenitude" palmar característica, diminuição da ADM</p> <p>RX: intervalo ES >3 mm ângulo ES: >60° ou <30°</p> <p>TC: avallar fraturas carpais</p> <p>RM: mostra a lesão ligamentar nos estágios iniciais sutis</p>	<p>Instabilidade (Mayfield [4])</p> <ul style="list-style-type: none"> I: ruptura escafossemlunar II: ruptura semilunar-capitato III: ruptura semilunar-piramidal IV: luxação (peri) semilunar <p>Luxação (Instabilidade em estágio 4)</p> <ul style="list-style-type: none"> Arco menor: apenas ligamentos Arco maior: fratura carpal associada 	<ul style="list-style-type: none"> Instabilidade: redução fechada vs. aberta, aplicação de pino percutâneo e reparação primária dos ligamentos Luxação: redução aberta do semilunar, aplicação de pino percutâneo +/- RAFI da fratura do carpo Artrose tardia/do punho: carpectomia da fileira proximal ou fusão "ETT"
<p>COMPLICAÇÕES: artrose de punho (p. ex., CAES da instabilidade), pseudartrose da fratura, dor crônica e/ou instabilidade</p>			



Fratura do rádio em torus

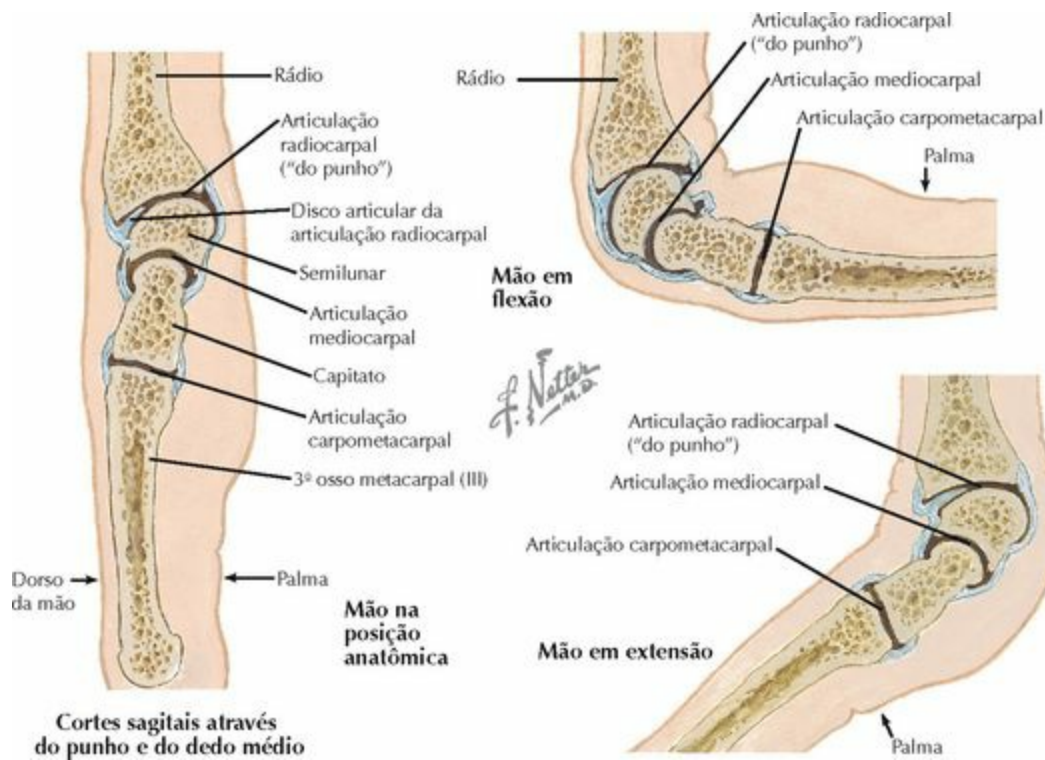


Fraturas em galho verde do rádio e da ulna



DESCRIÇÃO	AVALIAÇÃO	CLASSIFICAÇÃO	TRATAMENTO
FRATURA INCOMPLETA: FRATURA EM TORUS E EM GALHO VERDE			
<ul style="list-style-type: none"> • Comum em crianças (geralmente 3-12 anos) • Mecanismo: queda sobre a mão em extensão é o mais frequente • Mais comum na parte distal do rádio • A elasticidade aumentada do osso infantil permite a deformidade plástica e/ou a fratura unicortical 	<p>HDA: trauma, dor, incapacidade/falta de vontade de usar a mão/membro</p> <p>EF: +/- deformidade. Sensibilidade dolorosa pontual e edema</p> <p>RX: AP e perfil. Fratura em torus: "afivelamento" cortical. Fratura em galho verde: fratura unicortical</p>	<ul style="list-style-type: none"> • Fratura em torus (fivela): compressão côncava do córtex (fivela), lado convexo/de tensão: intacto • Fratura em galho verde: lado côncavo, córtex intacto ou afivelado, lado convexo/de tensão, fratura ou deformidade plástica 	<ul style="list-style-type: none"> • Fratura em torus: a redução raramente é necessária, aparelho gessado por 2-4 semanas • Fratura em galho verde: não desviada – "GL", por 2-4 semanas. Reduzir quando angulação >10° – "GAP" bem moldado, 3-4 semanas
COMPLICAÇÕES: deformidade, consolidação viciosa, lesão neurovascular (rara)			

ARTICULAÇÕES

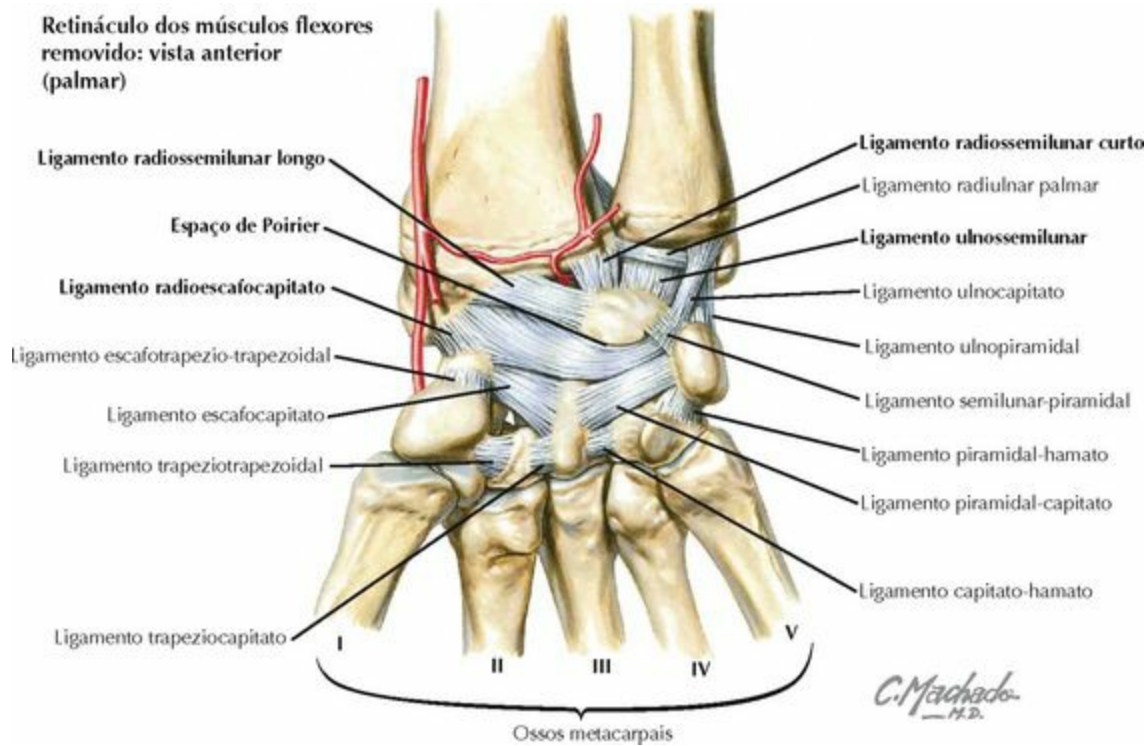


PUNHO

GERAL

- O punho é uma região complexa, compreendendo 3 articulações principais: 1. Radiocarpal (parte distal do rádio/"TFCC" até a fileira proximal), 2. Articulação radiulnar distal (ARUD), 3. Mediocarpal (entre as fileiras do carpo)
- Outras articulações: pisopiramidal e intercarpal "múltipla" (entre 2 ossos adjacentes na mesma fileira)
- A fileira proximal não possui inserções musculares, é considerada o "segmento intercalado" e responde às forças transmitidas. Os ossos da fileira distal estão intimamente interligados e agem como uma única unidade em um punho normal
- Amplitude de movimento
 - Flexão de 65°-80° (40% art. radiocarpal, 60% art. mediocarpal); extensão de 55°-75° (65% art. radiocarpal, 35% art. mediocarpal)
 - Desvio radial: 15°-25°; desvio ulnar: 30°-45° (55% art. mediocarpal, 45% art. radiocarpal)
- Tipos de ligamentos
 - Extrínsecos: conectam a parte distal do antebraço (rádio e ulna) ao carpo
 - Intrínsecos: conectam os ossos do carpo entre si (i. e., origem e inserção do ligamento, ambos dentro do carpo)
 - Interósseos: ligamentos que unem os ossos do carpo dentro da mesma fileira (proximal ou distal)
 - Mediocarpais/intercarpais: ligamentos que conectam os ossos carpais entre as fileiras proximal e distal

- Os ligamentos palmares são **mais fortes** e mais desenvolvidos; a maioria é intracapsular



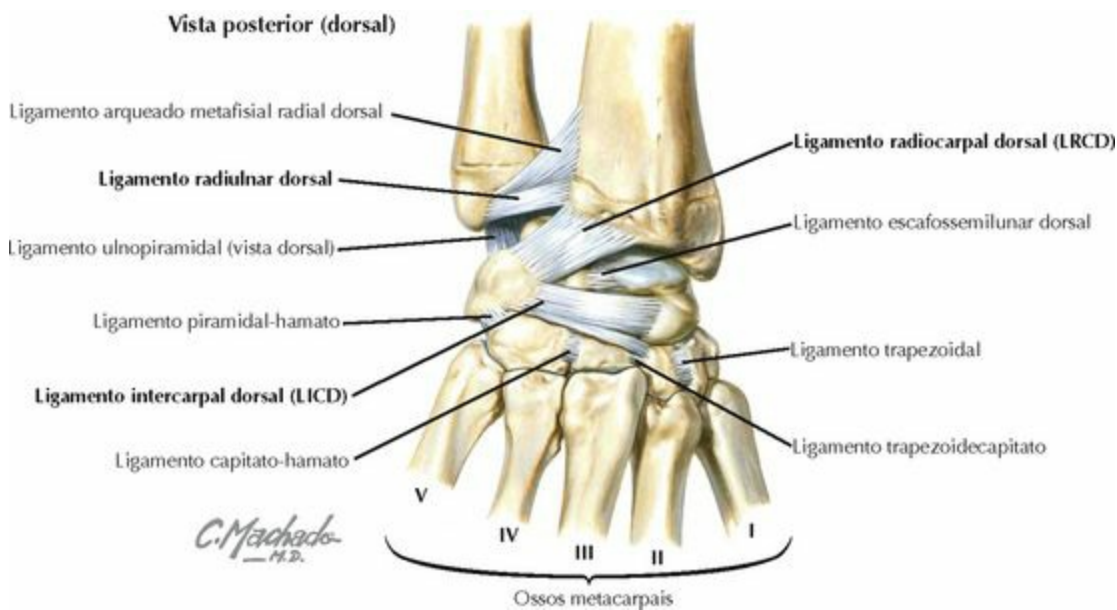
LIGAMENTOS	FIXAÇÕES	FUNÇÃO/COMENTÁRIO
ARTICULAÇÃO RADIOCARPAL		
Ligamentos Extrínsecos – Palmares		
Superficiais		
Radioescafocapitato <ul style="list-style-type: none"> ◦ Radioescafoide (LRE) ◦ Radiocapitato (LRC) 	Rádio ao carpo Processo estiloide do rádio até o escafoide Rádio ao corpo do capitato	Mistura-se com o LUC para formar a margem distal do espaço de Poirier Estabiliza o polo proximal Forma um fulcro ao redor do qual roda o escafoide
Radiossemilunar longo (LRSL)	Face anterior (volar) do rádio ao semilunar	Mistura-se com o ligamento interósseo semilunar-piramidal palmar
Ulnocapitato (LUC)	Ulna/TFC ao capitato	Mistura-se com o LREC lateralmente. Margem distal do espaço de Poirier
Profundos		
Radiossemilunar curto (LRSC)	Porção distal do rádio ao semilunar	Resistente e vertical. Impede a lux. na hiperextensão
Ulnossemilunar (LUS)	TFC ao semilunar	O LUS e o LUP se misturam com o LUC para ajudar a estabilizar a ARUD

Ulnopiramidal (LUP)	TFC ao piramidal	O LUS e o LUP são considerados por alguns como parte do “TFCC”
Radioescafossemilunar	Rádio à articulação ES	“Ligamento de Testut ”, um feixe neurovascular para a articulação ES

Ligamentos Extrínsecos – Dorsais

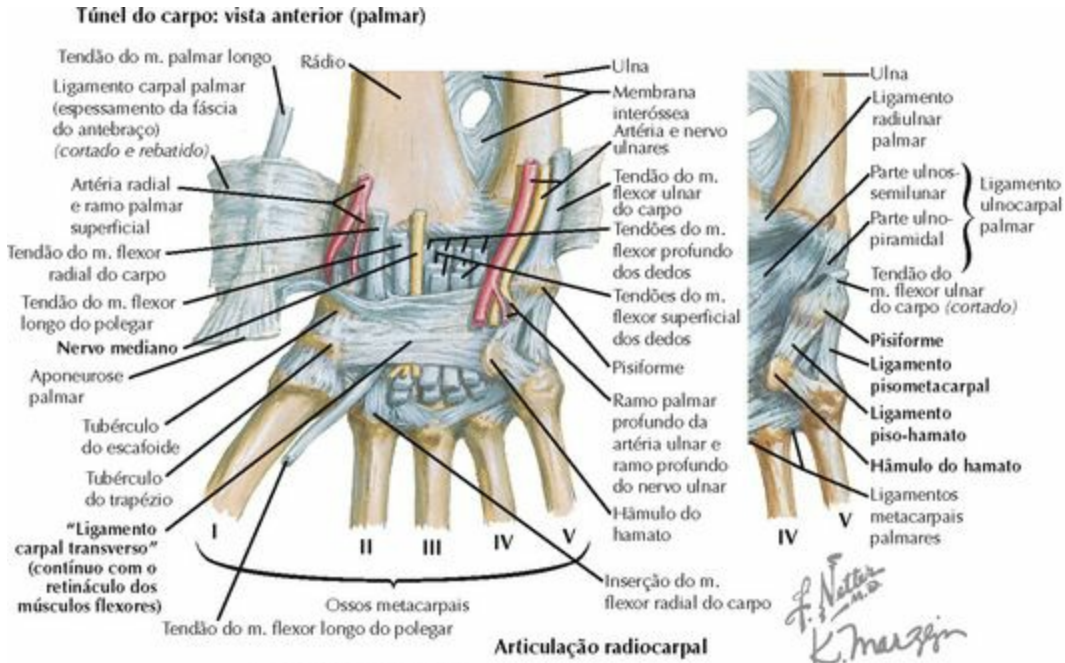
Radiocarpal dorsal (LRCD) <ul style="list-style-type: none"> ◦ Feixe superficial ◦ Feixe profundo 	Rádio ao semilunar/piramidal Rádio ao piramidal Rádio à articulação semilunar-piramidal	Também conhecido como “radiossemilunar-piramidal” (LRSP); principal estabilizador dorsal Os dois feixes geralmente são indistinguíveis As fibras inserem-se no semilunar e/ou no ligamento semilunar-piramidal
--	---	--

- Espaço de Poirier: ponto fraco no sentido palmar (“volar”) onde ocorrem as **luxações perissemilunares** (entre a margem proximal do LREC e LUC, distalmente, e a margem distal do LRSL, proximalmente)
- Não existe um ligamento colateral ulnar verdadeiro no punho. O músculo EUC e a bainha propiciam alguma sustentação colateral ulnar
- Os ligamentos extrínsecos palmares profundos podem ser facilmente observados durante a artroscopia do punho; os superficiais são de difícil visualização
- O LUC, o LUS e o LUP formam o complexo ligamentar ulnocarpal



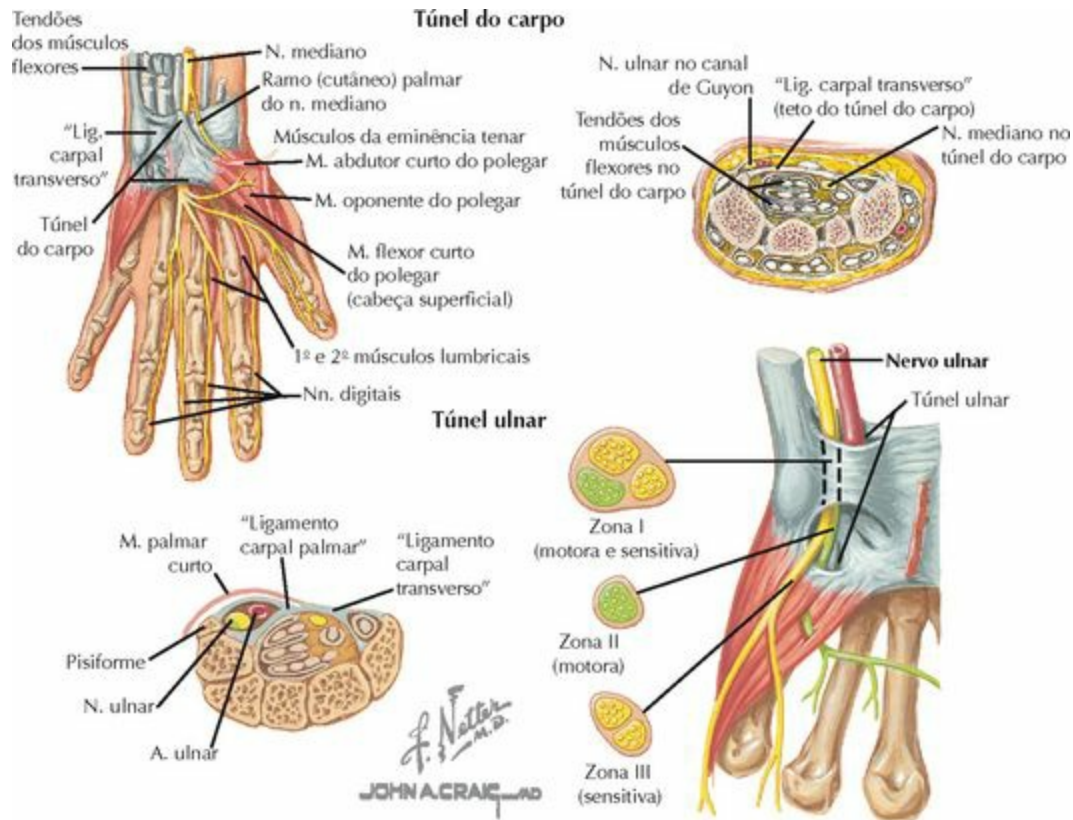
LIGAMENTOS	FIXAÇÕES	FUNÇÃO/COMENTÁRIOS
LIGAMENTOS INTRÍNSECOS		
Articulação Mediocarpal		
Palmar		
Piramidal-hamato-capitato (LPHC)	Piramidal para:	Porção medial/“ulnar” do ligamento arqueado

◦ Piramidal-hamato (LPH) ◦ Piramidal-capitato (LPC)	Hamato Capitato	Ligamento curto e resistente Frequentemente confluyente com a parte do ligamento ulnocapitato (LUC)
Escafo-capitato (LEC)	Escafoide até o capitato	Estabiliza a parte distal do escafoide. Parte radial do ligamento arqueado
Dorsal		
Intercarpal dorsal (LICD)	Do piramidal para o trapézio/trapezoide	Sustentação dorsal primária
Escafo-trapezio-trapezoidal (LETT)	Do escafoide para o trapézio/trapezoide	Sustentação lateral (“radial”) e da articulação escafo-trapezoidal
Articulações Interósseas		
<p>FILEIRA PROXIMAL: 2 articulações. Os ligamentos possuem a forma de “C” com os ramos dorsal e palmar e uma porção membranácea entre eles. A membrana impede a comunicação entre as articulações radiocarpal e mediocarpal. Não aumenta a estabilidade.</p> <ol style="list-style-type: none"> 1. Articulação escafossemilunar (ES): o escafoide confere uma força de flexão ao semilunar. Arco de movimento durante a ADM: escafoide > semilunar. 2. Articulação semilunar-piramidal (SP): o piramidal confere uma força de extensão ao semilunar, o qual sofre resistência pelo semilunar-piramidal 		
Escafossemilunar (ES)	Escafoide até o semilunar	As fibras dorsais são mais fortes . Ruptura: instabilidade, (“ DISI ”) As fibras palmares são mais frouxas e permitem a rotação do escafoide
Semilunar-piramidal (SP)	Semilunar ao piramidal	As fibras palmares são mais fortes . A ruptura (com lesão do LRCD) leva à instabilidade do carpo (“ VISI ”)
<p>FILEIRA DISTAL: 3 articulações conforme abaixo. Os fortes ligamentos interósseos mantêm a fileira distal movimentando-se como uma unidade</p>		
Trapeziotrapezoidal Trapezoidecapitato Capitato-hamato	Do trapézio ao trapezoide Do trapezoide ao capitato Do capitato ao hamato	Cada ligamento possui 3 partes (palmar, dorsal, profunda/interóssea). Os ligamentos da fileira distal são mais fortes dos que os da fileira proximal. O lig. capitato-hamato é o ligamento mais forte da fileira distal.
“Articulação Pisopiramidal”		
Piso-hamato	Do pisiforme ao hamato	Inseri-se no hâmuló do hamato; parte do canal de Guyon
	Do pisiforme à base do 5º	



LIGAMENTOS	FIXAÇÕES	FUNÇÃO/COMENTÁRIO
ARTICULAÇÃO RADIULNAR DISTAL		
<ul style="list-style-type: none"> Esta articulação (ARUD) é estabilizada por uma combinação de estruturas que formam o complexo fibrocartilágneo triangular ("TFCC") O movimento primário é a pronação (60°-80°) e supinação (60°-85°); o rádio roda em torno da ulna estacionária 20% de uma carga axial é transmitida para a ulna em um punho ulnar neutro. A ulna recebe mais carga quando ela é ulna positiva 		
Complexo Fibrocartilágneo Triangular		
<ul style="list-style-type: none"> O "TFCC" está interposto entre a extremidade distal da ulna e a porção medial (ulnar) da fileira proximal do carpo (piramidal). Ele origina-se na margem articular da incisura ulnar (do rádio) e insere-se na base do processo estilóide da ulna O suprimento vascular para o "TFCC" (da artéria ulnar e da artéria interóssea anterior) penetra nos 10%-25% periféricos 		
Fibrocartilagem triangular	Rádio até a "fóvea" da ulna (fibras profundas) e processo estilóide (fibras superficiais)	O TFC tem 3 porções: disco central e 2 ligamentos periféricos (radiulnares)
◦ Disco central (articular)	Mistura-se com a cartilagem articular do rádio	Resiste à compressão e à tensão; avascular e aneural
◦ Radiulnar dorsal	Face dorsal do rádio até a "fóvea" da ulna (<i>ligamentum subcruentum</i>)	Mistura-se com o TFC; tenso na pronação, frouxo na supinação
◦ Radiulnar palmar	Face anterior ("volar") do rádio até a "fóvea" da ulna (<i>ligamentum subcruentum</i>)	Mistura-se com o TFC; tenso na supinação, frouxo na pronação
Homólogo meniscal	Face dorsal do rádio até a face palmar ("volar") do piramidal	Prega sinovial altamente vascularizada
Bainha do tendão do EUC	Processo estilóide da ulna, piramidal, hamato	Considerado um "ligamento colateral medial"
Outros		
<ul style="list-style-type: none"> O LUS, o LUP e o recesso pré-estilóideo são considerados por alguns como sendo parte do TFCC 		
Ulnossemilunar (LUS) Ulnopiramidal (LUP)	TFC ao semilunar TFC ao piramidal	O LUS e o LUP misturam-se com o lig. ulnocapitato para contribuir para a fixação do "TFCC" e para estabilizar a ARUD
Recesso pré-estilóideo	Nenhum	Entre o ligamento radiulnar palmar e o menisco homólogo
<ul style="list-style-type: none"> Outras estruturas que contribuem para a estabilidade da ARUD: EUC, m. pronador quadrado, membrana interóssea O "TFCC" pode ser lacerado (degenerativo ou traumático). As lacerações periféricas podem ser reparadas, as lacerações centrais precisam de debridamento 		

TÚNEIS



ESTRUTURA

COMPONENTES

COMENTÁRIOS

TÚNEL DO CARPO

"Ligamento carpal transverso" (LCT, retináculo dos músculos flexores)

Fixações:
Medial:
pisiforme e hamato
Lateral:
escafoide e trapézio

- Teto do túnel do carpo; pode comprimir o **nervo mediano**
- O "ligamento carpal transverso" é incisado na liberação do túnel do carpo
- O túnel é mais estreito no hâmullo do hamato

Margens

Teto: "ligamento carpal transverso"
Assoalho: ossos centrais do carpo
Parede medial:
pisiforme e hamato
Parede lateral:
trapézio e escafoide

- Ver acima
- Principalmente capitato e o trapezoide
- O hâmullo do hamato forma a parede medial
- O trapézio é a principal estrutura da parede

Conteúdo

Tendões: FSD (4), FPD (4), FLP

- 9 tendões dentro do túnel do carpo
- Comprimido **na síndrome do túnel**

Nervo: mediano

do carpo

- O ramo motor tenar do nervo mediano pode sair sob, através ou distal ao “ligamento carpal transverso”
- Uma artéria mediana persistente ou um músculo aberrante pode ocorrer no túnel e pode provocar a síndrome do túnel do carpo

TÚNEL ULNAR/“CANAL DE GUYON”

Margens

Assoalho:
“ligamento carpal transverso”
Teto: “ligamento carpal palmar”
Parede medial:
pisiforme
Parede lateral:
hâmulo do hamato

- Pode ser liberado simultaneamente com o túnel do carpo
- Contínuo com a fáscia do antebraço
- O feixe neurovascular está sob o ligamento piso-hamato
- A fratura pode provocar compressão do nervo

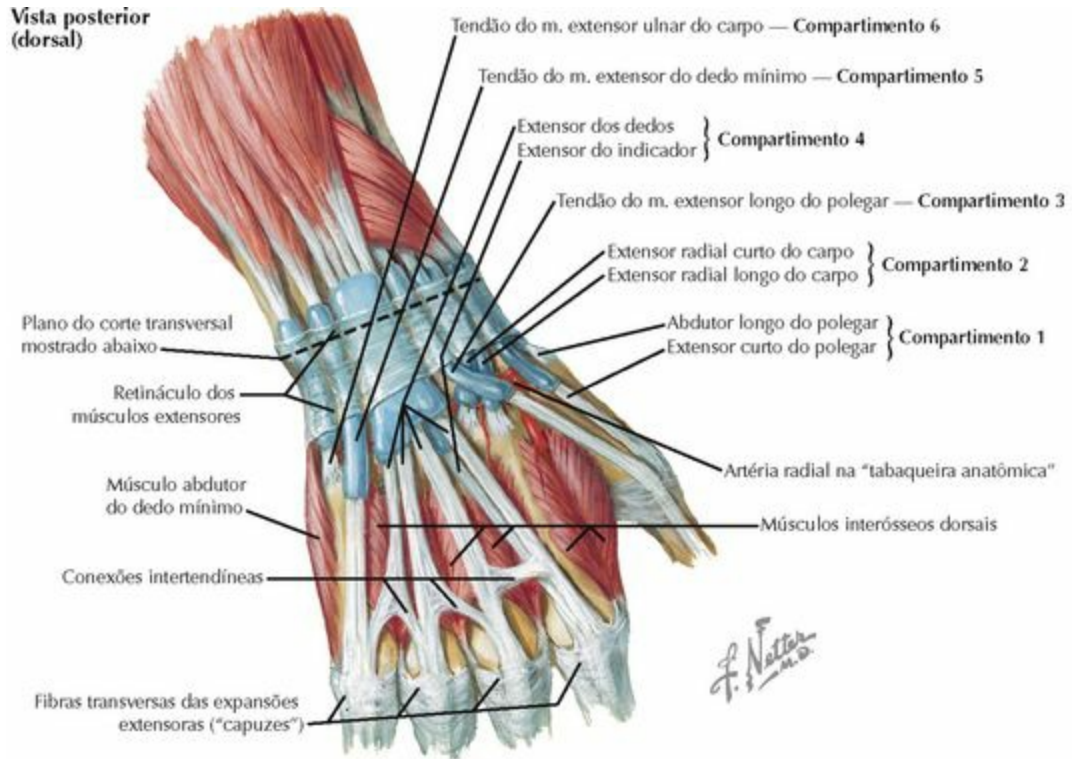
Conteúdo

Nervo ulnar
Artéria ulnar

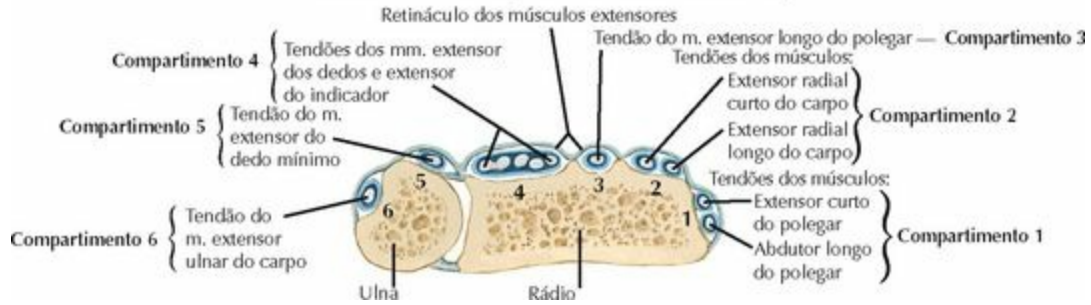
- Divide-se no canal em ramos profundo e superficial
- Termina como arco superficial ao redor do hamato

- As fraturas (consolidação viciosa) ou as massas (p. ex., cistos ganglionares nº 1) podem comprimir o nervo ou a artéria ulnar dentro do canal

OUTRAS ESTRUTURAS

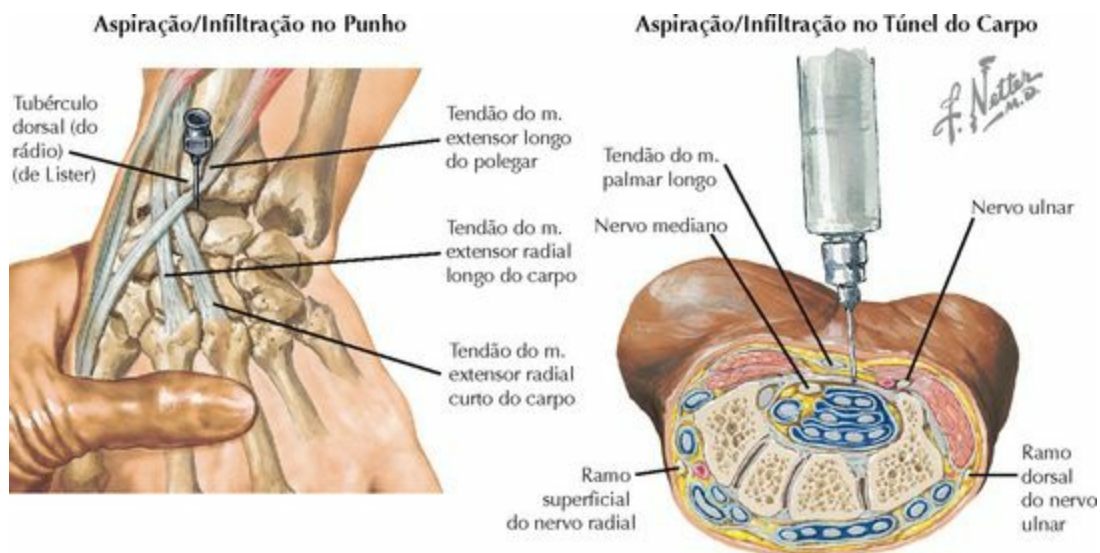


Corte transversal da parte mais distal do antebraço



ESTRUTURA	FUNÇÃO	COMENTÁRIOS
COMPARTIMENTOS EXTENSORES		
Retináculo dos músculos extensores	Cobre dorsalmente o punho	Forma seis compartimentos osteofibrosos através dos quais passam os tendões dos músculos extensores
	Número	Tendão
Compartimentos dorsais	I II III IV V VI	ECP, ALP ERLC, ERCC ELP ED, EI EDM EUC
		Condição Clínica
		Aqui, pode desenvolver-se a tenossinovite de De Quervain A tendinite pode acontecer aqui Faz trajeto ao redor do tubérculo dorsal (do rádio) (de Lister), pode se romper Este compartimento é aberto no acesso dorsal do punho Ruptura (síndrome de Jackson-Vaughn) na AR O tendão pode colidir sobre o processo estiloide da ulna, causando dor
<ul style="list-style-type: none"> • Os tendões do EI e do EDM são mediais aos tendões do ED até os dedos indicador e mínimo, respectivamente • O 1º compartimento pode ter múltiplos deslizamentos que precisam, sem exceção, ser liberados na doença de De Quervain para uma liberação total 		

PEQUENOS PROCEDIMENTOS



ETAPAS

ASPIRAÇÃO/INFILTRAÇÃO NO PUNHO

1. Perguntar ao paciente sobre alergias
2. Palpar a articulação radiocarpal dorsalmente, encontrar o **tubérculo dorsal** (do rádio) (de Lister) e o espaço ulnar relacionado a ele
3. Preparar a pele sobre a região dorsal do punho (sabão antisséptico/iodo)
4. Anestésiar localmente a pele (um quarto do tamanho do local)
5. Aspiração: inserir uma agulha de calibre 20 no espaço ulnar ao **tubérculo dorsal** (do rádio) (de Lister)/ELP/ERCC e **lateral ao ED**, aspirar
Infiltração: inserir uma agulha de calibre 22 no mesmo espaço, **aspirar para ter certeza de que não atingiu nenhum vaso**, em seguida injetar 1-2 mL de preparação local ou local/esteroide dentro da articulação radiocarpal
6. Fazer curativo no local da infiltração
7. Se houver suspeita de infecção, enviar o líquido para coloração por Gram e cultura

INFILTRAÇÃO NO TÚNEL DO CARPO/BLOQUEIO DO NERVO MEDIANO

1. Perguntar ao paciente sobre alergias
2. Pedir ao paciente para apertar a ponta do polegar com a ponta do dedo mínimo; o tendão do **m. palmar longo (PL)** irá fazer protrusão (**10%-20% não possuem esse músculo**). O nervo mediano está abaixo do PL, imediatamente medial ao FRC dentro do túnel do carpo
3. Preparar a pele sobre a superfície palmar (“volar”) do punho (sabão antisséptico/iodo)
4. Anestésiar localmente a pele (um quarto do tamanho local)
5. Inserir a agulha de calibre 22 ou menor no punho até o PL na prega formada pela flexão em ângulo de 45°. **Aspirar para ter certeza de que a agulha não atingiu nenhum vaso**. Infiltrar 1-2 mL de anestésico local ou de preparação de anestésico local/esteroide
6. Fazer curativo no local da infiltração

BLOQUEIO DO PUNHO

Quatro nervos separados são bloqueados. Com base na anestesia necessária, pode ser realizado um bloqueio completo ou parcial:

1. Perguntar ao paciente sobre alergias
2. Preparar a pele sobre cada marco anatômico (sabão antisséptico/iodo)
3. Nervo ulnar: palpar o tendão do FUC imediatamente proximal à prega palmar do punho. Inserir a agulha sob o tendão do FUC. **Aspirar** para ter certeza de que a agulha não atingiu a **artéria ulnar** (o nervo é **medial** à artéria). Infiltrar 3-4 mL de anestésico local no espaço dorsal ao tendão do FUC
4. Ramo dorsal (cutâneo) do nervo ulnar: palpar a parte distal da ulna/processo estiloide. Fazer um “botão anestésico” subcutâneo na região dorsal e medial do punho, imediatamente proximal ao processo estiloide da ulna
5. Ramo superficial do nervo radial: bloquear no processo estiloide do rádio por meio de um “botão anestésico” subcutâneo na região dorsolateral do punho
6. Nervo mediano: bloquear no túnel do carpo conforme descrito acima
7. Ramo palmar (cutâneo) do nervo mediano: fazer um “botão anestésico” sobre a região palmar (“volar”) do punho

- Os bloqueios do ramo superficial do nervo radial e do mediano são efetivos para lesões do polegar, indicador e na maioria das lesões do dedo médio
- Os bloqueios do nervo ulnar e do ramo dorsal são usados para as lesões do dedo mínimo. Muitas lesões do dedo anular requerem bloqueio completo do punho

HISTÓRIA DA DOENÇA ATUAL

Fratura/luxação
As fraturas da parte distal do rádio e do escafoide comumente resultam da queda sobre a mão em extensão



F. Netter M.D.
JOHN A. CRAIG, MD

Movimento repetitivo



Posição flexionada do punho



Uso de ferramentas oscilatórias

Pressão contra uma superfície rígida



Posturas de trabalho anormais podem levar a neuropatias por compressão

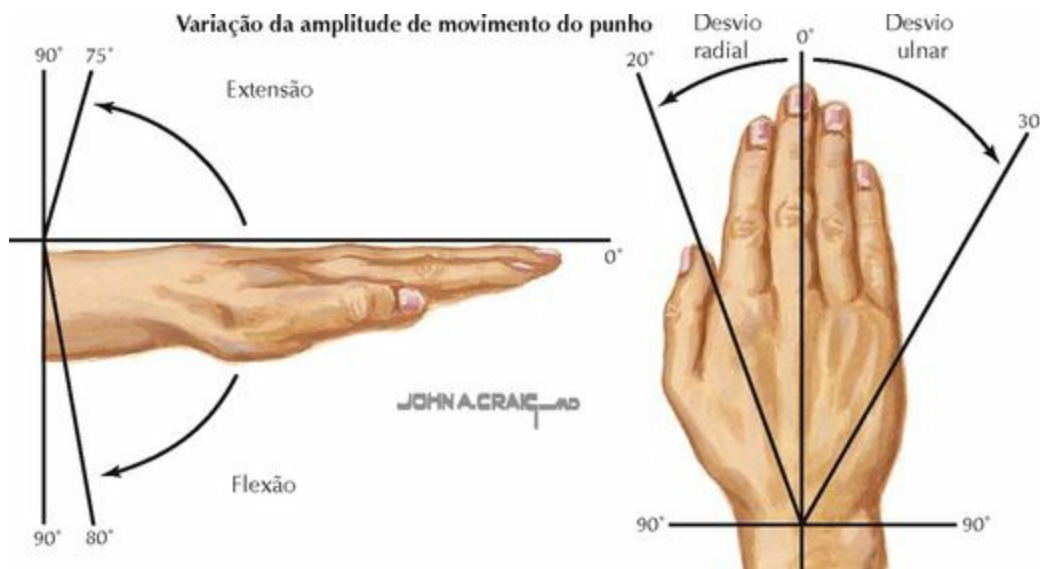
PERGUNTA	RESPOSTA	APLICAÇÃO CLÍNICA
1. Idade	Jovem Meia-idade, idosos	Trauma: fraturas e luxações, cistos Artrite, síndrome de compressão nervosa de nervo, desgaste, LER
2. Dor a. Início b. Localização	Agudo Crônico Dorsal Palmar Radial Ulnar	Trauma Artrite Doença de Kienböck, cisto Síndrome do túnel do carpo (STC), cisto (principalmente radiopalmar) Fratura do escafoide, tenossinovite de De Quervain, artrite Laceração do complexo fibrocartilágneo triangular "TFCC", tendinite (p. ex., EUC)
3. Rigidez	Com dor dorsal Com dor palmar (à noite)	Doença de Kienböck Síndrome do túnel do carpo
4. Edema	Articulação: depois do trauma Articulação: sem trauma Ao longo dos tendões	Fratura ou entorse Artrites, infecção, gota Tendinite de flexor ou extensor (calcificação), doença de De Quervain
5. Instabilidade	Cliques, estalidos	Instabilidade do carpo (p. ex., luxação escafossemilunar)
6. Massa	Ao longo da articulação do punho	Cisto
7. Trauma	Queda sobre a mão	Fraturas: parte distal do rádio, escafoide; luxação: semilunar; laceração do "TFCC"
8. Atividade	Movimento repetitivo (p. ex., digitação)	STC, tenossinovite de De Quervain
9. Sistemas neurológicos	Dormência, formigamento Fraqueza	Síndrome de compressão nervosa (p. ex., STC), síndrome do desfiladeiro torácico, radiculopatia (região cervical da coluna vertebral) Síndrome de compressão nervosa (mediano, ulnar, radial)
10. História de artrites	Múltiplas articulações envolvidas	Artrites

EXAME FÍSICO



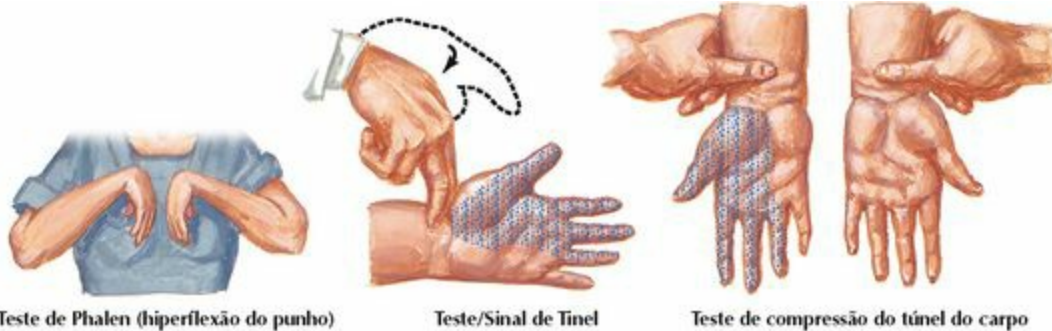
EXAME	TÉCNICA	APLICAÇÃO CLÍNICA
INSPEÇÃO		
Deformidade macroscópica	Ossos e tecidos moles	Fraturas, luxações: antebraço e punho
Edema	Especialmente dorsal ou radial Difusa	Cisto sinovial Trauma (fratura/luxação), infecção
Atrofia	Perda de músculo	Compressão do nervo periférico (p. ex., STC)
PALPAÇÃO		
Alterações cutâneas	Quente, avermelhada Fria, seca	Infecção, gota Comprometimento neurovascular
Processos estilóides do rádio e da ulna	Palpar cada um separadamente	A sensibilidade dolorosa pode indicar fratura
	Fileiras proximal	Sensibilidade dolorosa na “tabaqueira anatômica”: fratura do escafoide; sensibilidade dolorosa no

Ossos carpais	e distal Fileira proximal Pisiforme	semilunar: doença de Kienböck Dissociação escafossemilunar Sensibilidade dolorosa: artrite pisopiramidal ou tendinite do FUC
Tecidos moles	6 compartimentos extensores dorsais “TFCC”: distal ao processo estilóide da ulna Compartimentos	Sensibilidade dolorosa sobre o 1º compartimento: doença de De Quervain Sensibilidade dolorosa indica a lesão do “TFCC” Compartimentos firmes/tensos = síndrome compartimental.



EXAME	TÉCNICA	APLICAÇÃO CLÍNICA
AMPLITUDE DE MOVIMENTO		
Flexionar e estender	Flexionar (no sentido da palma), estender no sentido oposto	Normal: flexão 80°, extensão 75°
Desvio radial/ulnar	No mesmo plano que a palma	Normal: radial 15°-25°; ulnar 30°-45°
Pronar e supinar	Flexionar o cotovelo em 90°, rodar o punho	Normal: supinação de 90°; pronação 80°-90° (apenas 10°-15° no punho; a maioria do movimento ocorre no cotovelo)
NEUROVASCULAR		
Sensitivo		
Nervo cutâneo lateral do antebraço (C6)	Região lateral do antebraço	O déficit indica a lesão do nervo/raiz correspondente
Nervo cutâneo		

medial do antebraço (T1)	Região medial do antebraço	O déficit indica a lesão do nervo/raiz correspondente
Nervo cutâneo posterior do antebraço	Região posterior do antebraço	O déficit indica a lesão do nervo/raiz correspondente
Motor		
Nervo radial (C6-C7)	Extensão do punho contra resistência	Fraqueza = Lesão do ERLC/C ou do nervo/raiz correspondente
NIP (C6-C7)	Desvio ulnar contra resistência	Fraqueza = Lesão do EUC ou do nervo/raiz correspondente
Nervo ulnar (C8)	Flexão do punho contra resistência	Fraqueza = Lesão do FUC ou do nervo/raiz correspondente
Nervo mediano (C7)	Flexão do punho contra resistência	Fraqueza = Lesão do FRC ou do nervo/raiz correspondente
Nervo mediano (C6)	Pronação contra resistência	Fraqueza = Lesão do m. pronador redondo ou do nervo/raiz correspondente
Musculocutâneo (C6)	Supinação contra resistência	Fraqueza = Lesão do m. bíceps braquial ou do nervo/raiz correspondente
Reflexo		
C6	Braquiorradial	Hipoativo/ausência indica a radiculopatia correspondente
Pulsos		
	Radial, ulnar	Diminuídos/ausentes = lesão ou comprometimento vascular (realizar o teste de Allen)



Teste de Phalen (hiperflexão do punho)

Teste/Sinal de Tinel

Teste de compressão do túnel do carpo

Testes de provocação geram parestesias na mão



Teste de deslocamento do escafoide

Desvio radial
Desvio ulnar
O polegar aplica uma pressão dorsal sobre o tubérculo do escafoide

O teste de Finkelstein exacerba a dor; é realizado ao flexionar o polegar colocando, em seguida, o punho em desvio ulnar

K. Carter
JOHN A. CRAIG, MD
C. Machado - M.D.

EXAME	TÉCNICA	APLICAÇÃO CLÍNICA/DIAGNÓSTICO DIFERENCIAL
TESTES ESPECIAIS		
Compressão carpal de Durkan	Pressão manual sobre o nervo mediano no túnel do carpo	Reprodução dos sintomas (p. ex., formigamento, dormência): compressão do nervo mediano (teste mais sensível para a síndrome do túnel do carpo [STC])
Teste de Phalen	Flexionar ambos os punhos por 1 minuto	Reprodução dos sintomas (p. ex., formigamento): compressão do n. mediano (STC)
Tinel	Percutir a região palmar (“volar”) do punho (túnel do carpo/LCT)	Reprodução dos sintomas (p. ex., formigamento): compressão do n. mediano (STC)
Finkelstein	Flexionar o polegar em direção à palma, desviar o punho no sentido ulnar	Dor no 1º compartimento dorsal (tendões do ALP/ECP) sugere a tenossinovite de De Quervain
“Tecla de piano”	Estabilizar a ulna e realizar a translação do rádio no sentido dorsal e “volar”	Frouxidão ou subluxação (estalido) indica a instabilidade da ARUD
Watson (desvio do	Empurrar dorsalmente sobre o polo distal do escafoide, trazer o punho do desvio ulnar para o	Um estalido ou pancada (subluxação do escafoide sobre a margem da parte distal do rádio) é positivo para a instabilidade carpal

escafoide)

desvio radial

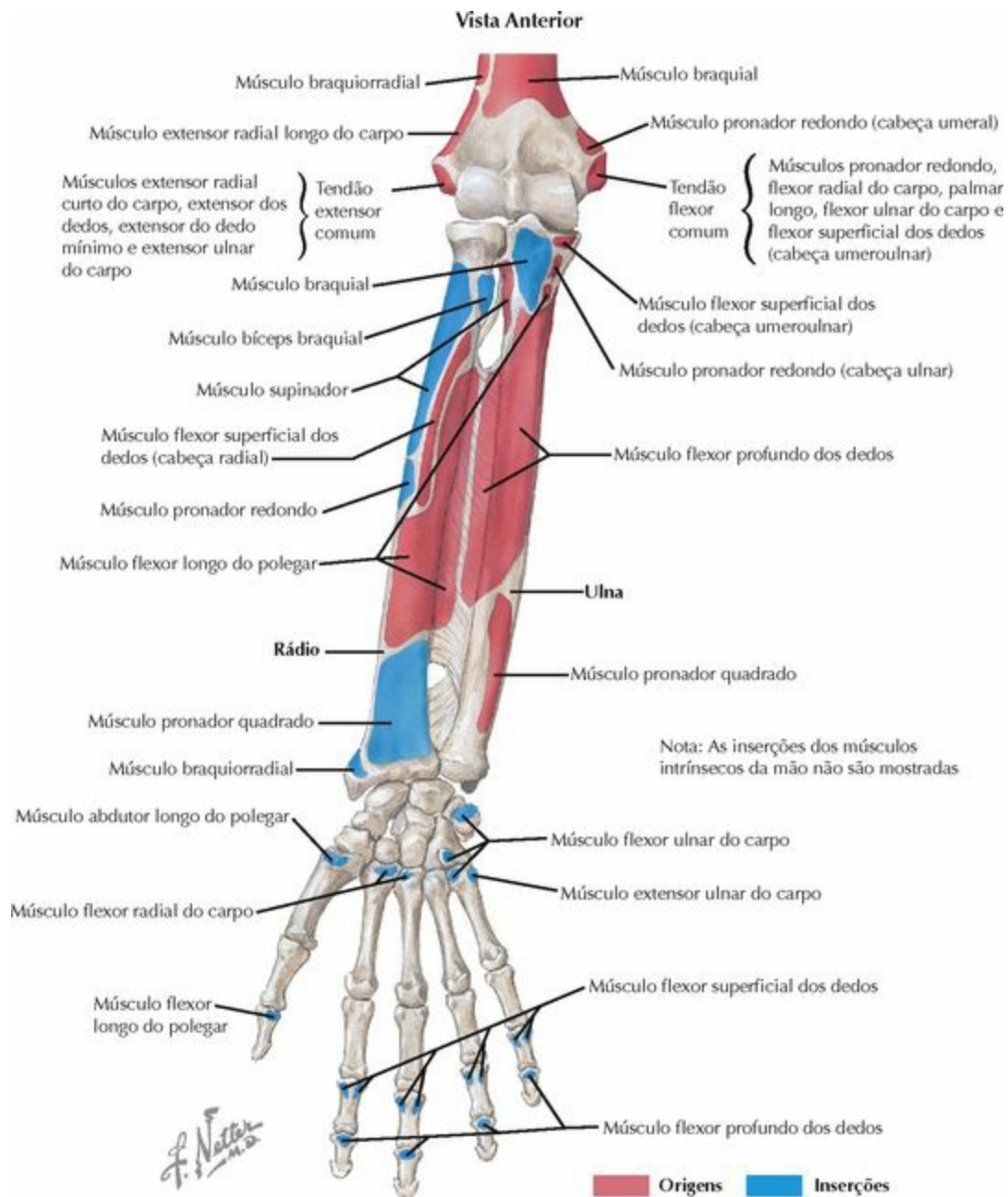
(dissociação escafossemlunar)

Teste de Allen

Ocluir manualmente as artérias radial e ulnar, fechar a mão e, em seguida, liberar apenas uma artéria

A demora ou a ausência do “retorno da cor” da palma e dos dedos sugere o comprometimento arterial da artéria liberada

MÚSCULOS: ORIGENS E INSERÇÕES



PARTE PROXIMAL DA ULNA

PARTE PROXIMAL DO RÁDIO

ANTERIOR

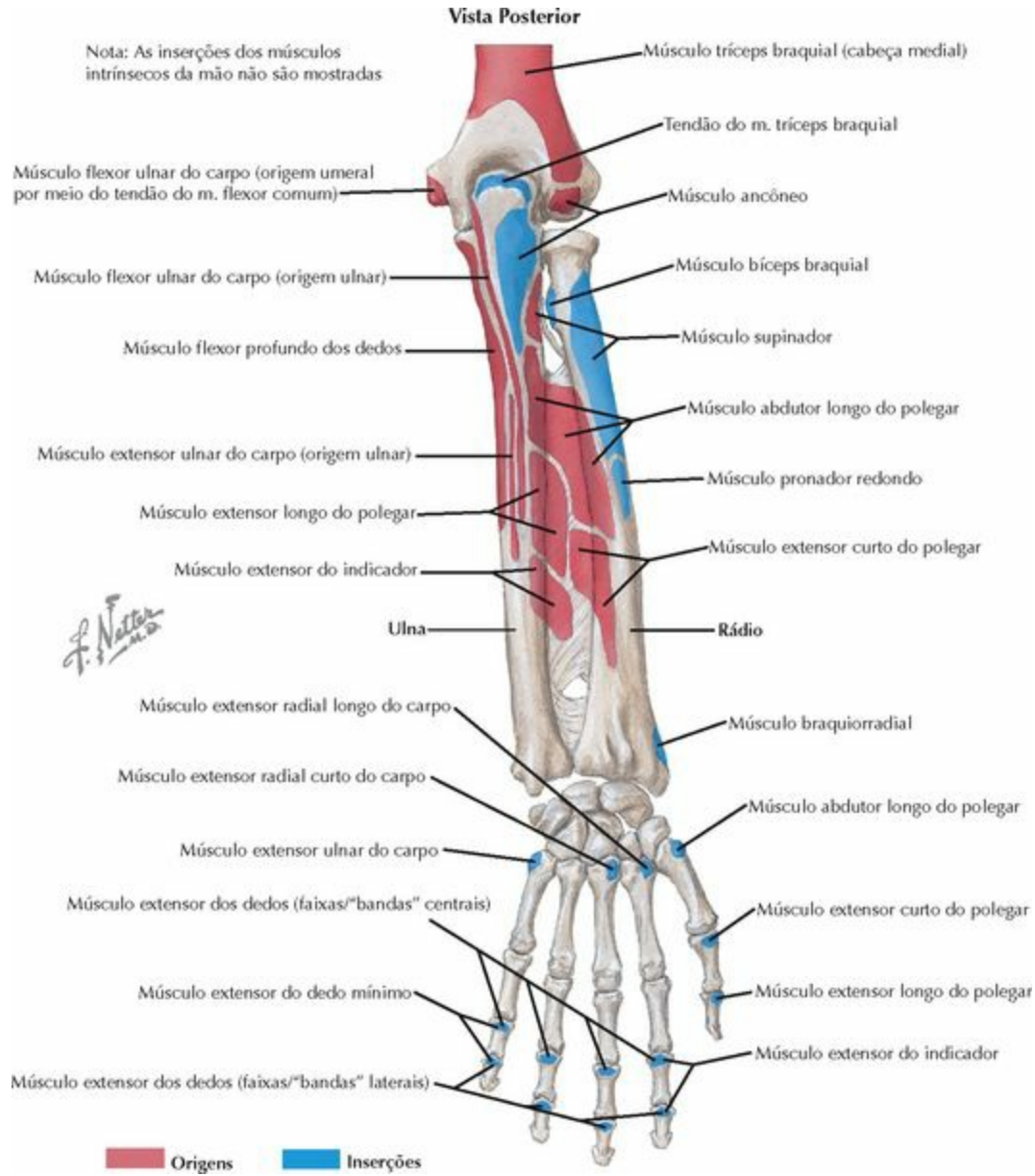
Origens

M. flexor superficial dos dedos (1 cabeça)
 M. pronador redondo
 M. supinador
 M. flexor profundo dos dedos

M. flexor superficial dos dedos (1 cabeça)

Inserções

M. bíceps braquial



PARTE PROXIMAL DA ULNA

PARTE PROXIMAL DO RÁDIO

POSTERIOR

Origens

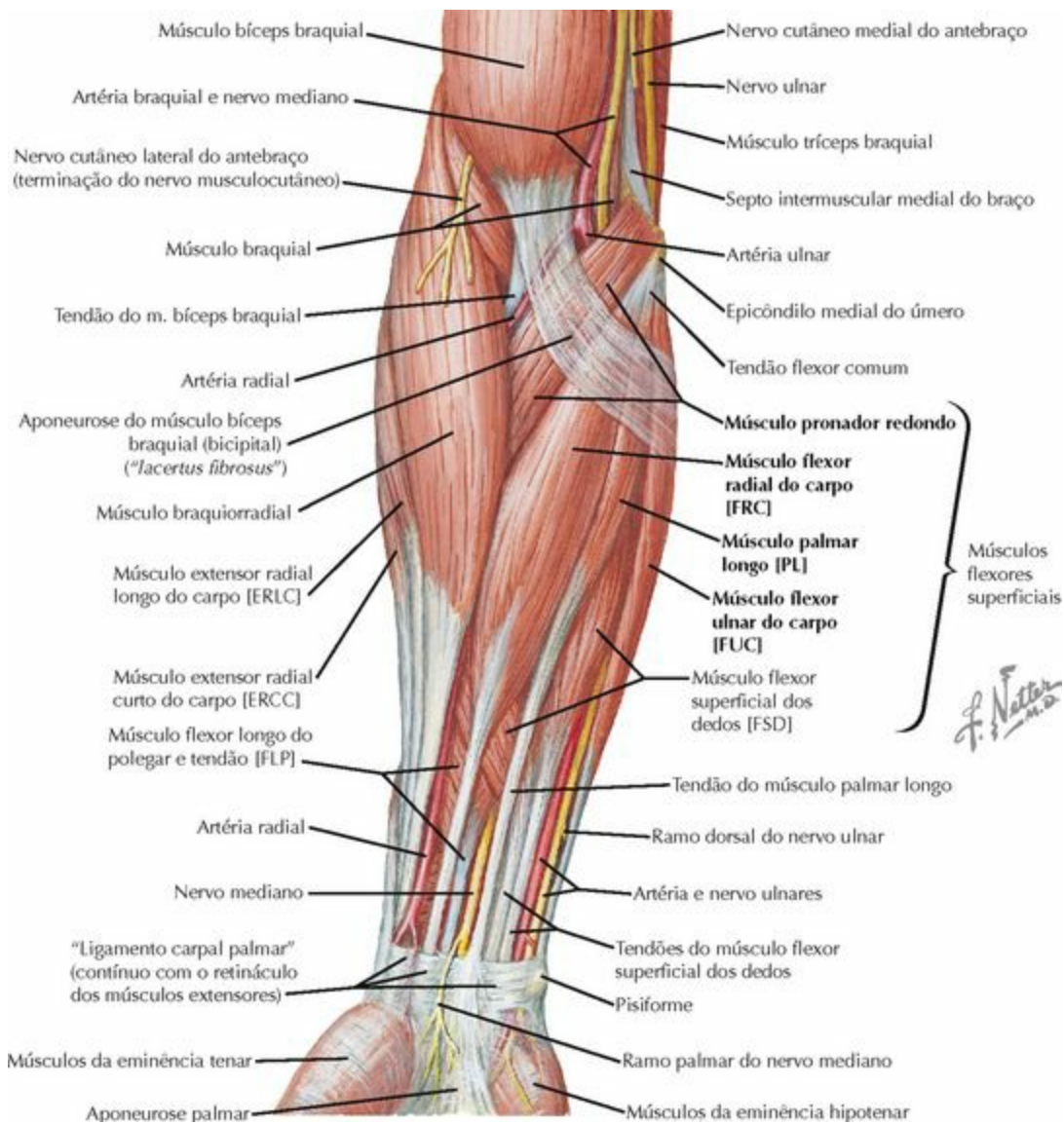
M. flexor ulnar do carpo
 M. flexor profundo dos dedos
 M. supinador

Nenhum

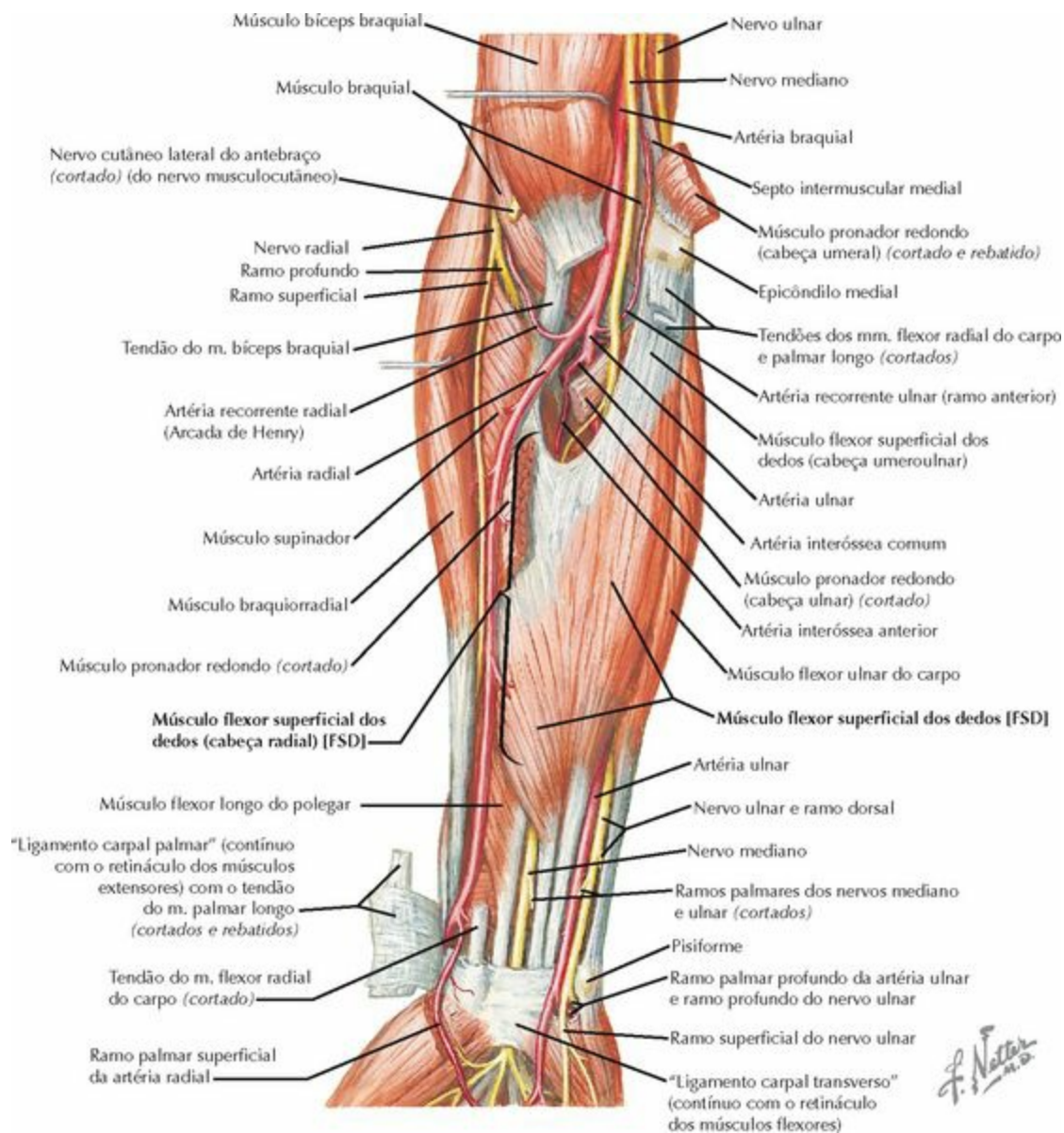
Inserções

M. tríceps braquial
 M. ancôneo

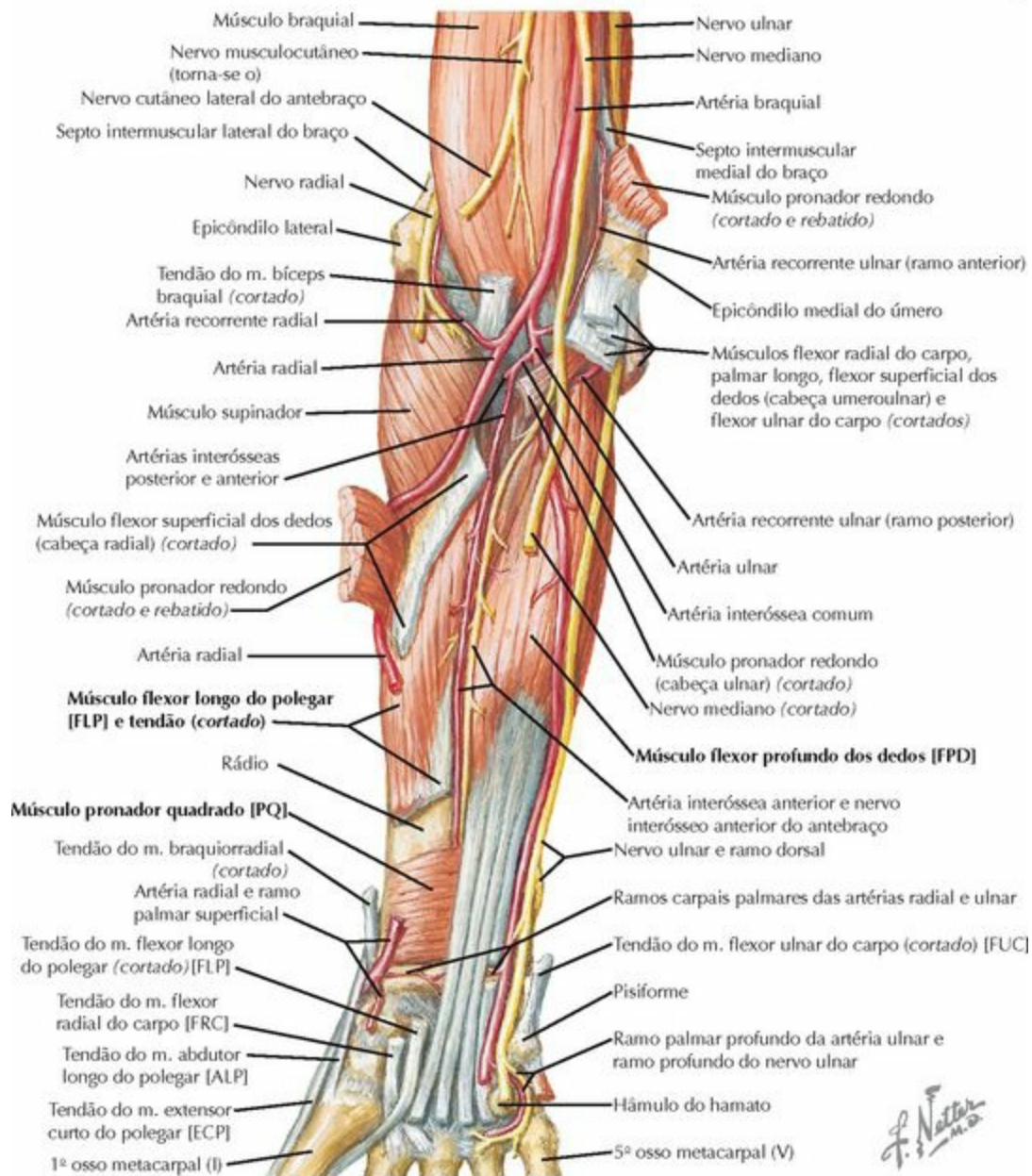
M. bíceps braquial
 M. supinador



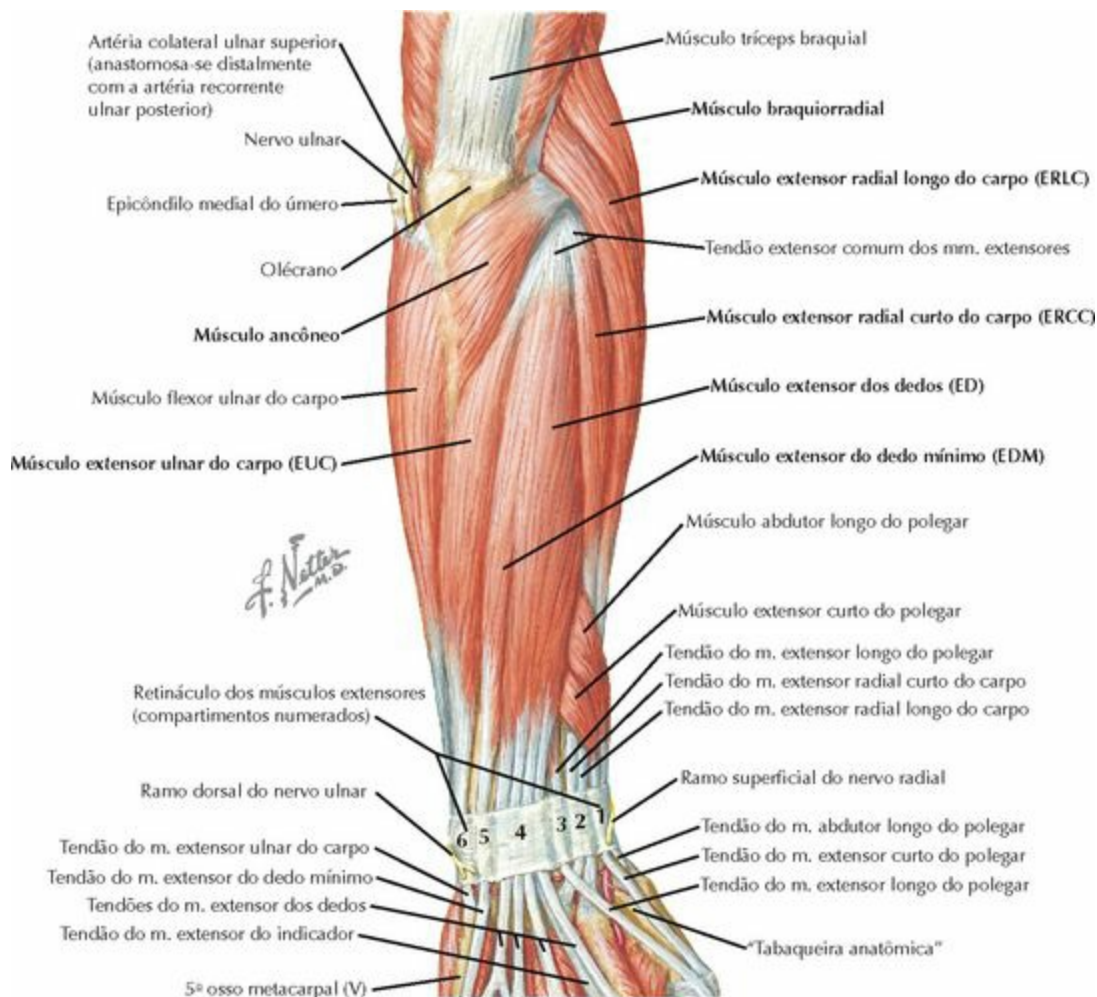
MÚSCULO	ORIGEM (Inserção Proximal)	INSERÇÃO (Inserção Distal)	NERVO	AÇÃO	COMENTÁRIOS
FLEXORES SUPERFICIAIS					
Pronador redondo (PR) Cabeça umeral Cabeça ulnar	Epicôndilo medial Parte proximal da ulna	Parte lateral do terço médio do rádio	Mediano	Pronação e flexão do antebraço	Pode comprimir o nervo mediano (síndrome do pronador)
Flexor radial do carpo (FRC)	Epicôndilo medial	Base do 2 ^o (e 3 ^o) metacarpal	Mediano	Flexão do punho, desvio radial	A artéria radial é imediatamente lateral
Palmar longo (PL)	Epicôndilo medial	Retináculo dos músculos flexores/ aponeurose palmar	Mediano	Flexão do punho	Usado para transferências de tendão, 10% de ausências congênitas
Flexor ulnar do carpo (FUC)	1. Epicôndilo medial 2. Face posterior da ulna	Pisiforme, hâmulos do hamato, 5 ^o MC	Ulnar	Flexão do punho, desvio ulnar	Flexor mais poderoso da mão. Pode comprimir o nervo ulnar



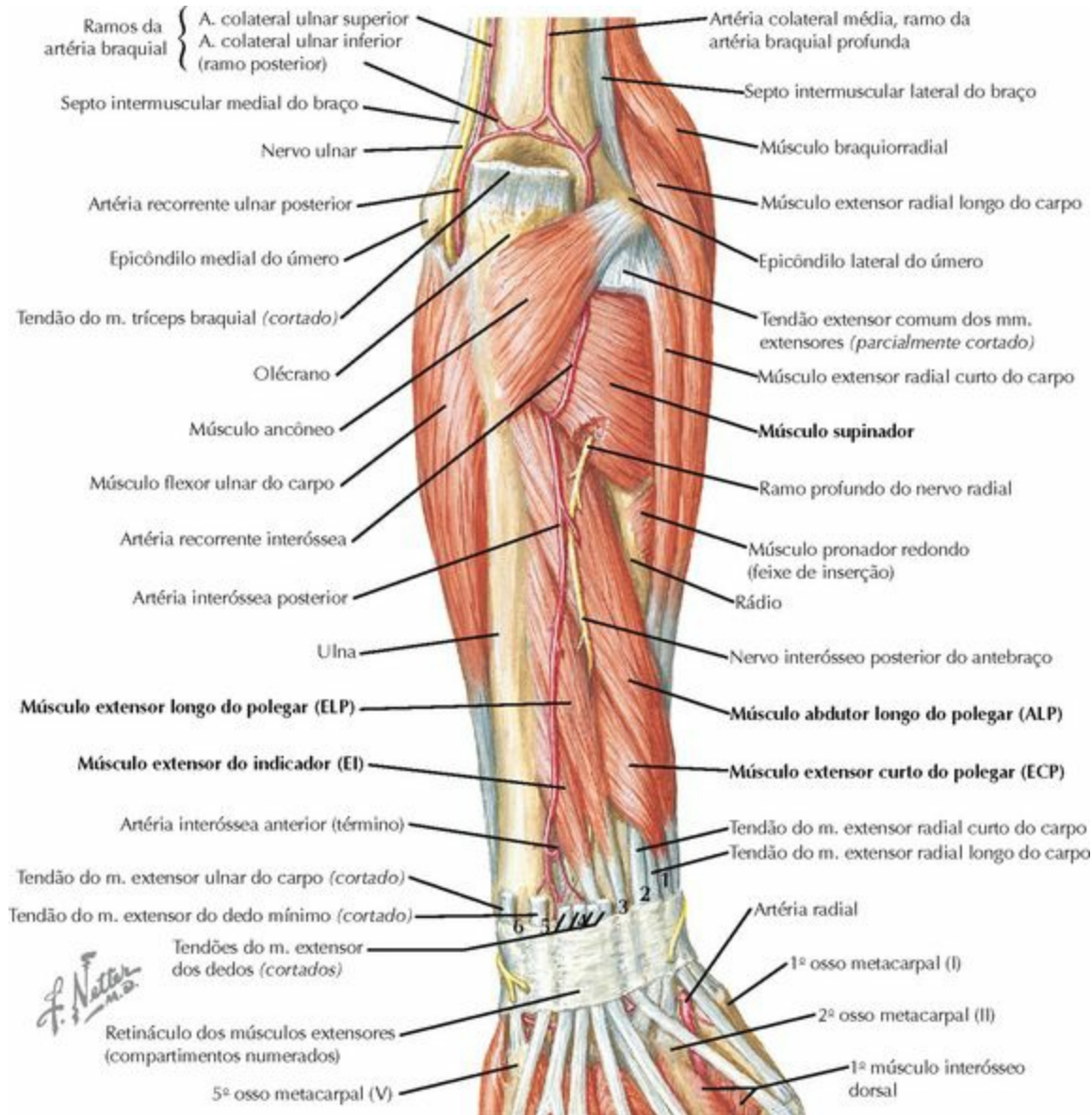
MÚSCULO	ORIGEM (Inserção Proximal)	INSERÇÃO (Inserção Distal)	NERVO	AÇÃO	COMENTÁRIO
FLEXORES SUPERFICIAIS					
Flexor superficial dos dedos (FSD)	1. Epicôndilo medial na parte proximal da ulna 2. Face anterior da parte proximal do rádio	Falanges médias dos dedos (exceto o polegar)	Mediano	Flexiona a AIFP (também flexiona os dedos e a mão)	O teste do tendão do FSD (flexor superficial "sublimus") sublimar isolará o músculo e testará a função
O FSD é frequentemente considerado um "flexor intermédio" por causa de sua posição entre os músculos					



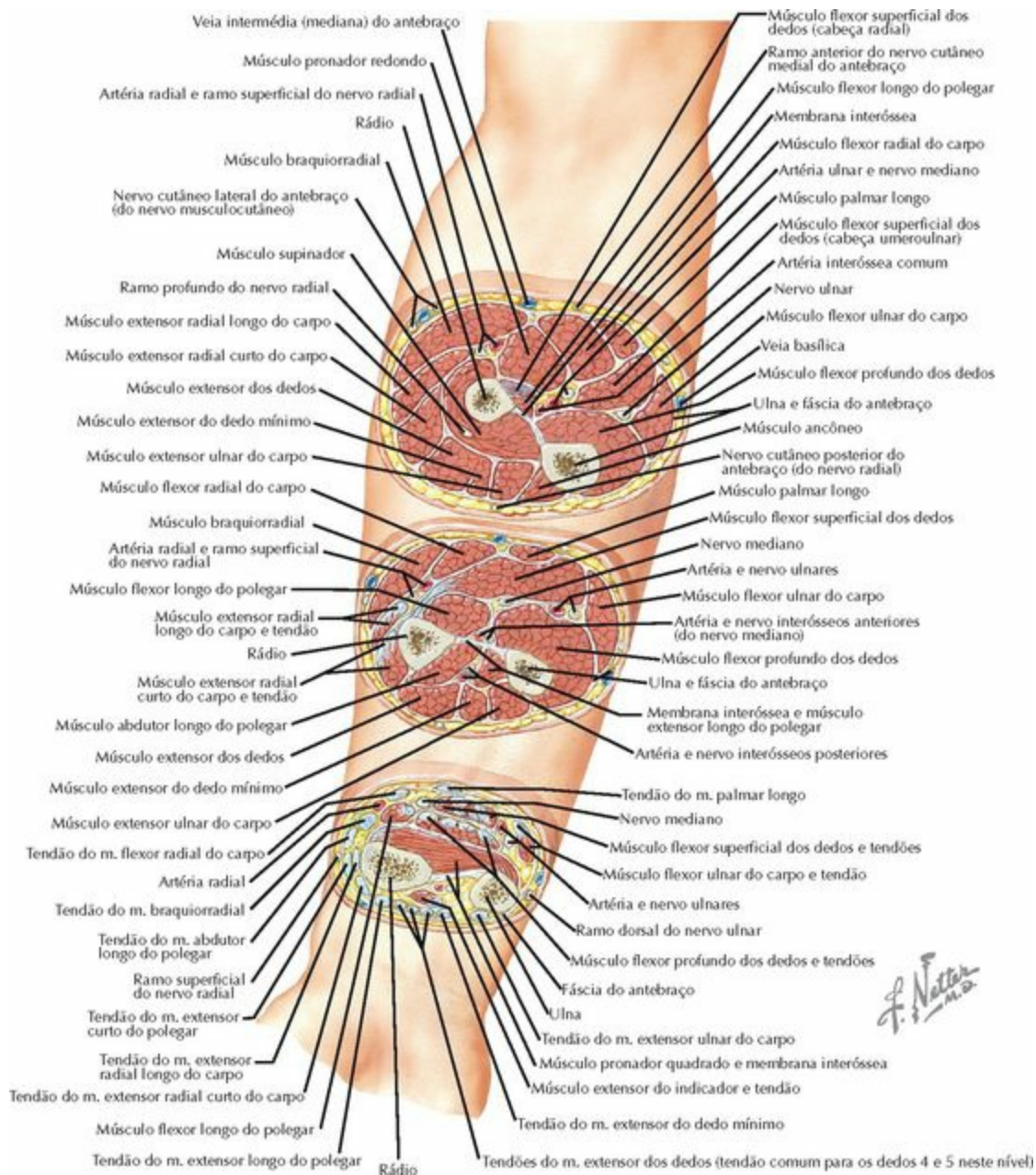
MÚSCULO	ORIGEM (Inserção Proximal)	INSERÇÃO (Inserção Distal)	NERVO	AÇÃO	COMENTÁRIO
FLEXORES PROFUNDOS					
Flexor profundo dos dedos (FPD)	Região anterior da ulna e membrana interóssea	Falange distal (DI, +/- DM) Falange distal (DA, DMin, +/- DM)	Mediano/NIA Ulnar	Flexiona a AIFD (também flexiona o dedo e a mão)	Avulsão: dedo de Jersey O teste profundo isolará e testará a função
Flexor longo do polegar (FLP)	Região anterior do rádio e parte proximal da ulna	Falange distal do polegar	Mediano/NIA	Flexiona o polegar (art. IF)	FPD e FLP são mais suscetíveis à contratura de Volkmann
Pronador quadrado (PQ)	Região medial da parte distal da ulna	Região anterior da parte distal do rádio	Mediano/NIA	Pronação do antebraço	Pronador primário (inicia a pronação)
<ul style="list-style-type: none"> • O NIA inerva todos os três flexores profundos. É testado ao se fazer sinais de "OK" 					



MÚSCULO	ORIGEM (Inserção Proximal)	INSERÇÃO (Inserção Distal)	NERVO	AÇÃO	COMENTÁRIO
EXTENSORES SUPERFICIAIS					
Ancôneo	Epicôndilo lateral (região posterior)	Parte proximal da ulna (região posterior)	Radial	Extensão do antebraço	Plano muscular no acesso de Kocher
Extensor dos dedos (ED)	Epicôndilo lateral	MCF: faixas (bandas) sagitais F2: feixe central F3: inserção terminal	Radial-NIP	Extensão dos dedos	Avulsão do tendão: F2: em boteira F3: dedo em martelo
Extensor do dedo mínimo (EDM)	Epicôndilo lateral	Idêntico ao anterior no dedo mínimo	Radial-NIP	Extensão do DM	No 5º compartimento dorsal
Extensor ulnar do carpo (EUC)	Epicôndilo lateral	Base do 5º MC	Radial-NIP	Extensão e adução da mão	Pode provocar ressalto doloroso sobre a ulna
"COMPARTIMENTO MÓVEL"					
Braquiorradial (BR)	Côndilo parte lateral	Parte distal do rádio (região lateral)	Radial	Flexão do antebraço	É uma força de deformação nas fraturas do rádio
Extensor radial longo do carpo	Côndilo parte lateral	Base do 2º MC	Radial	Extensão da mão	ERLC
Extensor radial curto do carpo	Epicôndilo lateral	Base do 3º MC	Radial-NIP	Extensão da mão	O ERCC degenera no cotovelo de tenista

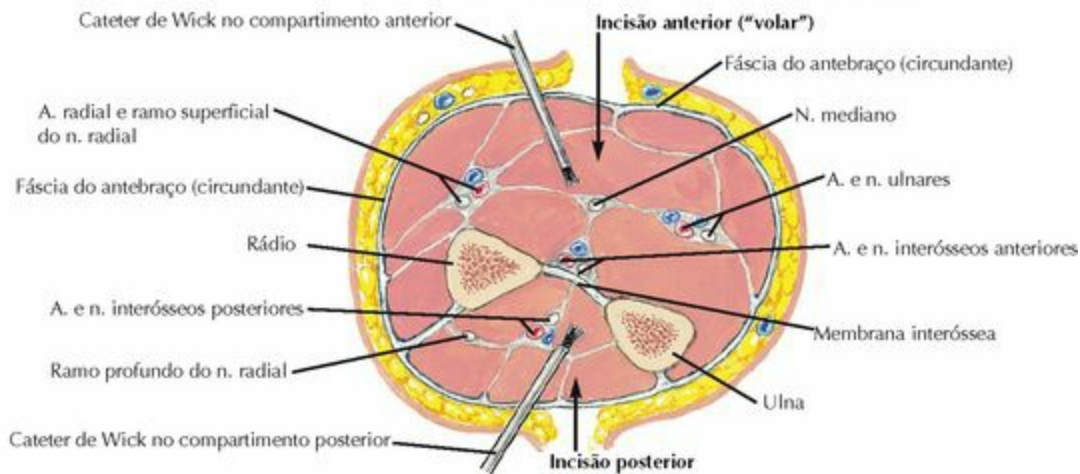


MÚSCULO	ORIGEM (Inserção Proximal)	INSERÇÃO (Inserção Distal)	NERVO	AÇÃO	COMENTÁRIO
EXTENSORES PROFUNDOS					
Supinador	Região posteromedial da ulna	Parte proximal do rádio (região lateral)	Radial-NIP	Supinação do antebraço	O NIP perfura músculos, pode ser comprimido
Abductor longo do polegar (ALP)	Região posterior do(a) rádio/ulna	Base do 1ª MC	Radial-NIP	Abdução e extensão do polegar (ACMC)	Doença de De Quervain (pode ter múltiplos feixes)
Extensor curto do polegar (ECP)	Região posterior do rádio	Base da falange proximal do polegar	Radial-NIP	Extensão do polegar (AMCF)	Margem radial da "tabaqueira anatômica"
Extensor longo do polegar (ELP)	Região posterior da ulna	Base da falange distal do polegar	Radial-NIP	Extensão do polegar (AIF)	O tendão vira 45° no tubérculo dorsal (do rádio) (de Lister)
Extensor do Indicador (EI)	Região posterior da ulna	Idêntico ao ED e EDM	Radial-NIP	Extensão do dedo Indicador	Medial até o tendão do ED; último músculo do NIP

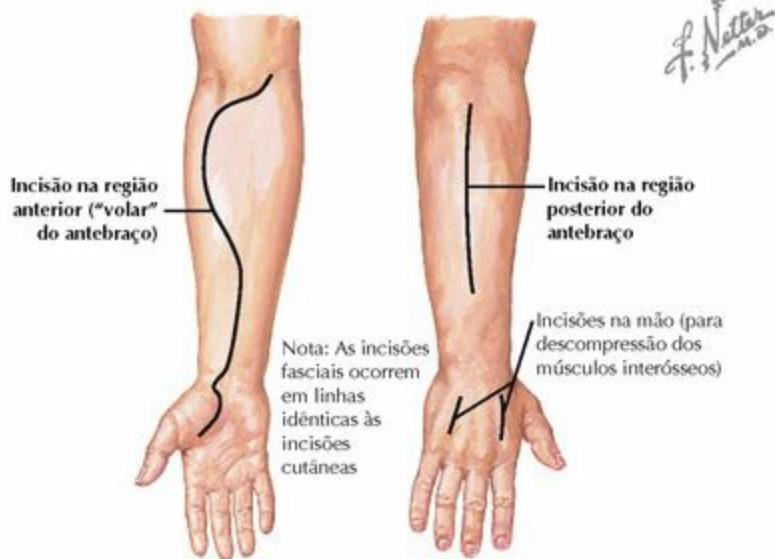


ESTRUTURA	RELAÇÃO
RELAÇÕES	
Nervo/artéria ulnar	Passa sob o FSD, sobre o ápice do FPD, medialmente (ulnar) à artéria
Nervo radial (ramo superficial)	Passa sob o tendão/músculo braquiorradial, lateralmente (radial) à artéria
Artéria radial	É lateral (radial) ao tendão e músculo FRC
Nervo mediano	É lateral (radial) ao nervo ulnar, passa entre o FPD e FLP para dentro do túnel do carpo
Nervo interósseo posterior (NIP)	Perfura proximalmente o músculo supinador, passa entre o ALP e o ELP, ao longo da membrana interóssea

Incisões para a Síndrome Compartimental do Antebraço e da Mão



Corte através da porção média do antebraço



ESTRUTURA	CONTEÚDO
COMPARTIMENTOS	
Anterior	
Superficial Médio Profundo	Pronador redondo (PR), flexor radial do carpo (FRC), palmar longo (PL), flexor ulnar do carpo (FUC) Flexor superficial dos dedos (FSD) Flexor profundo dos dedos (FPD), flexor longo do polegar (FLP), pronador quadrado (PQ)
Posterior	
Superficial Profundo	Ancôneo, extensor dos dedos (ED), extensor do dedo mínimo (EDM), extensor ulnar do carpo (EUC) Supinador, abductor longo do polegar (ALP), extensor curto do polegar (ECP), extensor longo do polegar (ELP), extensor do indicador (EI)
“Móvel”	
	Braquiorradial, extensor radial longo do carpo (ERLC), extensor radial curto do carpo (ERCC)

FASCIOTOMIAS

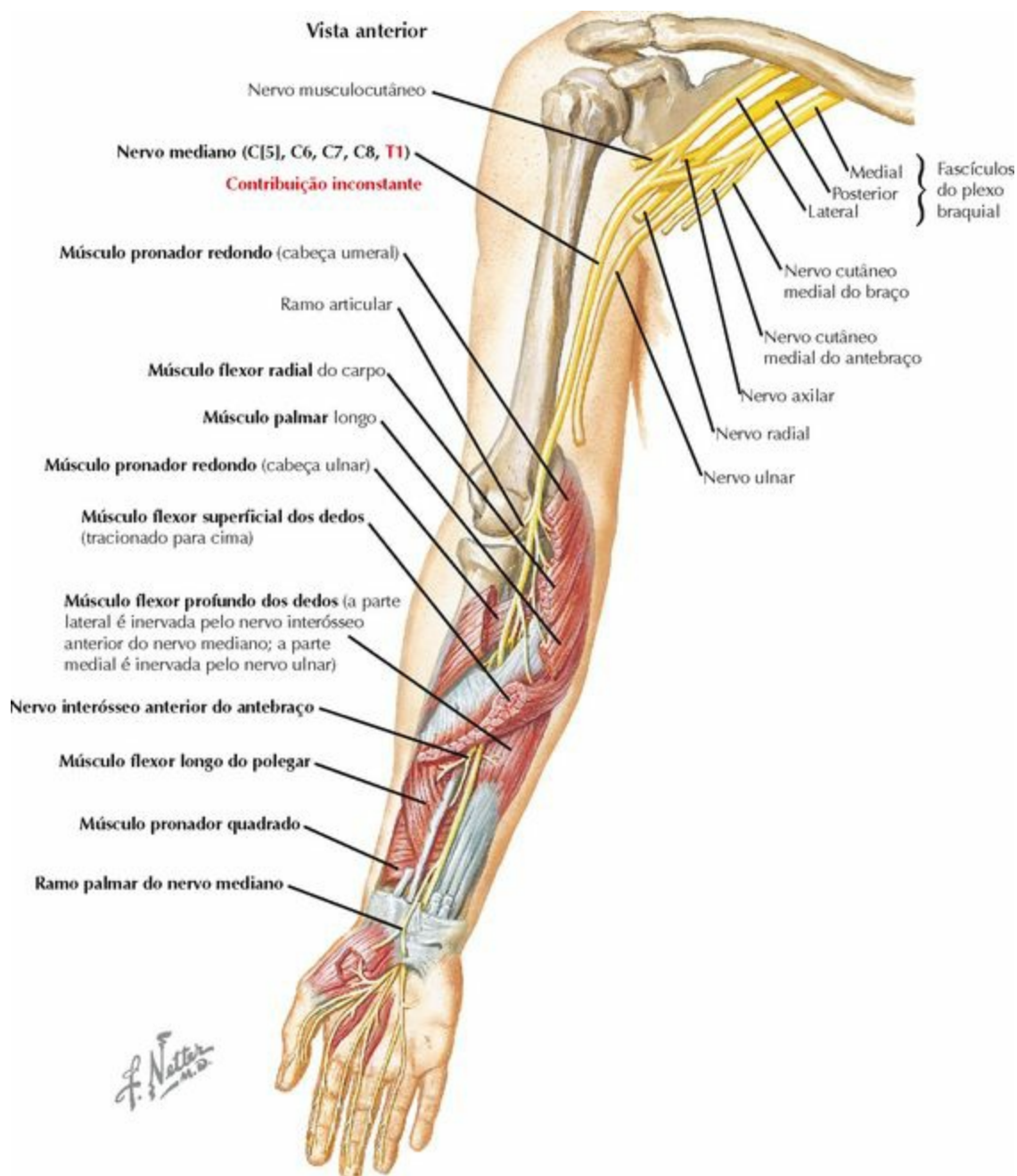
Incisão
anterior
(palmar)

Libera todo o compartimento anterior

Incisão
posterior
(dorsal)

Libera todo o compartimento posterior e o compartimento móvel

NERVOS



PLEXO BRAQUIAL

Fascículos Medial e Lateral

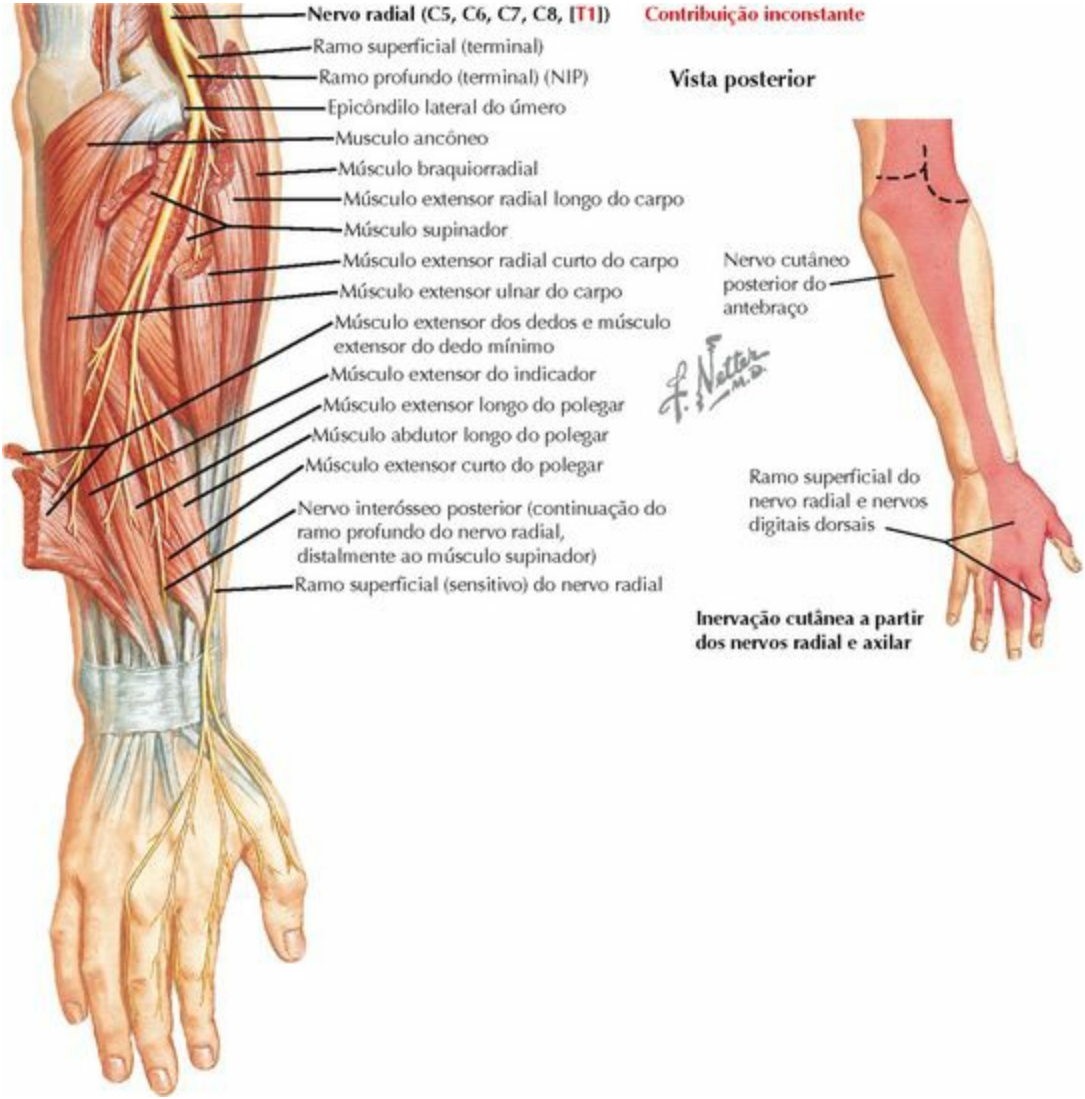
Nervo mediano (C[5]6-T1): na região anterior do antebraço, sob a aponeurose do músculo bíceps braquial (bicipital)*, entre as 2 cabeças do **m. pronador redondo***. O **NIA** (nervo interósseo anterior) ramifica-se e, em seguida, passa sob o **arco do FSD***, depois sobre/entre o **FPD** e o **FLP** para dentro do **túnel do carpo***. O **ramo cutâneo palmar** divide-se 5 cm proximalmente ao punho e passa abaixo/com o **FRC** e o **PL**. O **ramo “recorrente motor”** divide-se depois (50%), sob (30%) ou através (20%) do “ligamento carpal transversal” (LCT)

Sensitivo:

Nenhum (no antebraço, ver Mão)

<i>Motor:</i>	<ul style="list-style-type: none"> • Compartimento anterior <ul style="list-style-type: none"> ◦ M. pronador redondo (PR) ◦ M. flexor radial do carpo (FRC) ◦ M. palmar longo (PL) ◦ M. flexor superficial dos dedos (FSD)
Nervo interósseo anterior (NIA): ramifica-se proximalmente, depois faz trajeto ao longo da membrana interóssea com a artéria interóssea anterior, entre o FLP e o FPD	
<i>Sensitiva:</i>	Região palmar (“volar”) da cápsula do punho
<i>Motor:</i>	<ul style="list-style-type: none"> • Compartimento anterior – flexores profundos <ul style="list-style-type: none"> ◦ M. flexor profundo dos dedos (FPD) para o 2º(3º dedos) ◦ M. flexor longo do polegar (FLP) ◦ M. pronador quadrado (PQ)

* Local com grande potencial para compressão do nervo



Fascículo Posterior

Nervo radial (C5-T1): entra no antebraço entre o m. braquiorradial (BR) e o braquial, em seguida divide-se nos ramos profundo e superficial. O **ramo superficial** passa sob o BR até o primeiro espaço intermetacarpal. Ele pode ser comprimido sob o **tendão do BR***. É lateral à artéria radial. O ramo profundo perfura o m. supinador, em seguida transforma-se no **NIP**

Sensitivo: Região posterior do antebraço: por meio do **nervo cutâneo posterior do antebraço**

Motor:

- Ancôneo
- “Compartimento móvel”
 - M. braquiorradial (BR)
 - M. extensor radial longo do carpo (ERLC)

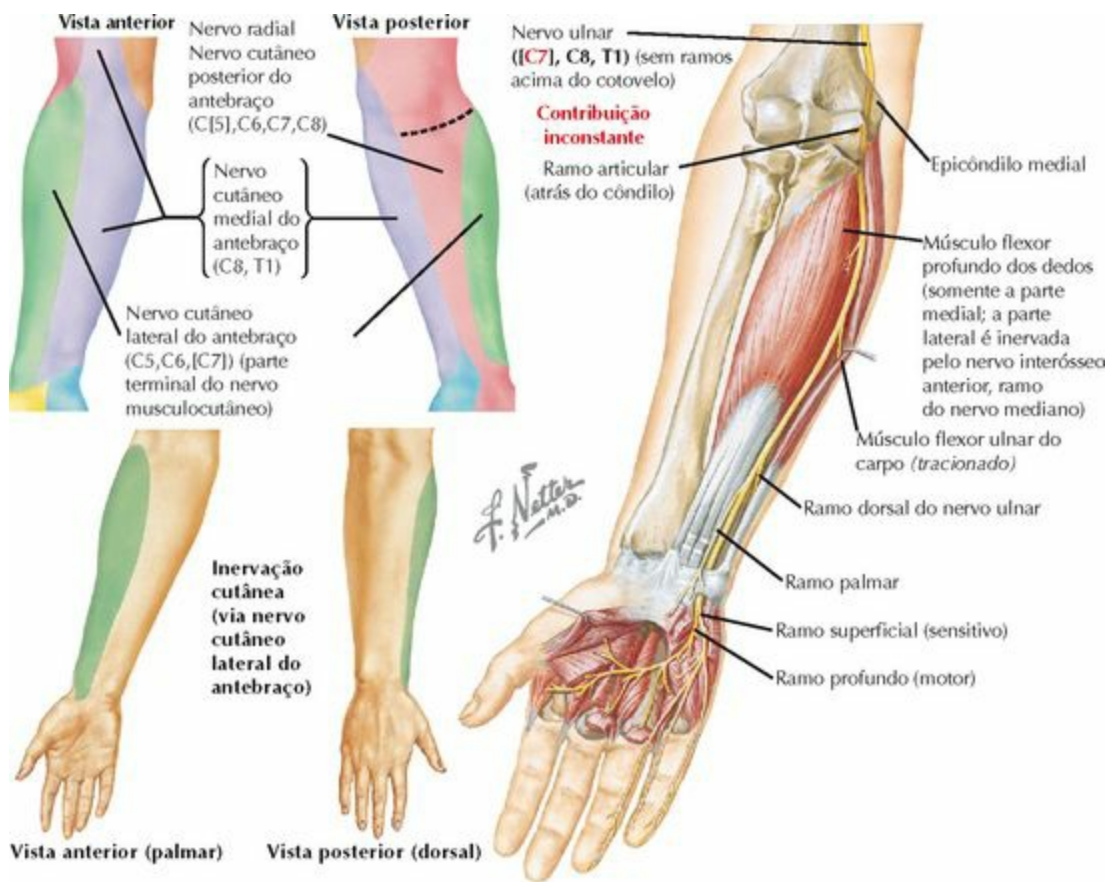
Nervo Interósseo Posterior do Antebraço (NIP): passa além da artéria radial recorrente* (**arcada de Henry**) e do **ERCC**, através da **arcada do m. supinador (de Frohse)*** (parte proximal), para dentro do m. supinador, além de sua **margem distal***, em seguida ao longo da membrana interóssea sob o ED e entre o ALP e o ELP

Sensitivo: Região posterior na cápsula do punho (no 4º compartimento dorsal)

Motor:

- “Compartimento móvel”
 - M. extensor radial curto do carpo (ERCC)
- Compartimento posterior – extensores superficiais
 - M. supinador
 - M. extensor dos dedos (ED)
 - M. extensor do dedo mínimo (EDM)
 - M. extensor ulnar do carpo (EUC)
- Compartimento posterior – extensores profundos
 - M. abductor longo do polegar (ALP)
 - M. extensor curto do polegar (ECP)
 - M. extensor longo do polegar (ELP)
 - M. extensor do indicador (EI)

* Local com grande potencial para compressão do nervo



PLEXO BRAQUIAL

Fascículo Lateral

Musculocutâneo (C5-C7): sai entre o m. bíceps braquial e o braquial, puramente sensitivo, passa nos tecidos subcutâneos acima do m. braquiorradial

Sensitivo: Região lateral do antebraço: por meio do **nervo cutâneo lateral do antebraço**

Motor: Nenhum (no antebraço)

FASCÍCULO MEDIAL

Nervo Cutâneo Medial do Antebraço (C8-T1): ramifica-se diretamente do fascículo, passa por via subcutânea anteriormente ao epicôndilo medial para dentro da região medial do antebraço

Sensitivo: Antebraço medial

Motor: Nenhum

Ulnar (C[7]8-T1): passa posteriormente ao epicôndilo medial dentro do **túnel cubital***, em seguida através da **aponeurose/cabeças do FUC***, depois passa sobre o FPD (sob o FSD) até o punho. Os ramos **dorsal e palmar (cutâneos)** dividem-se **4-5 cm** proximalmente ao punho; depois, o nervo passa para dentro do túnel ulnar (**canal de Guyon***), onde se divide nos ramos profundo (motor) e **superficial (sensitivo)**

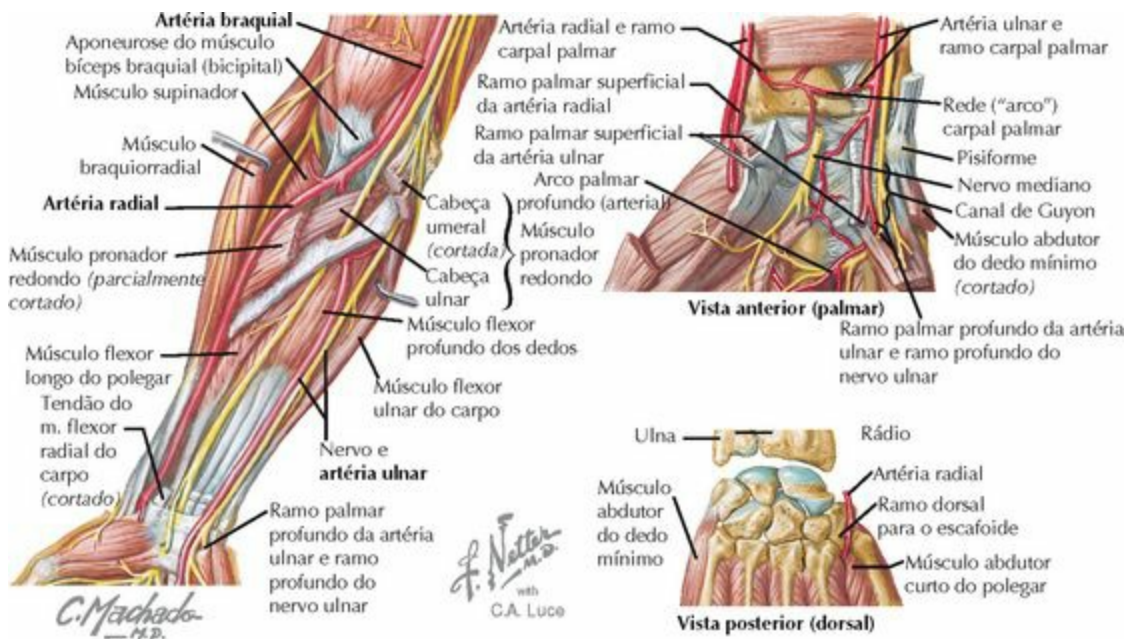
Sensitivo: Nenhum (no antebraço)

Motor:

- Compartimento anterior
 - M. flexor ulnar do carpo (FUC)
 - M. flexor profundo dos dedos (FPD) para o (3º), 4º 5ºdedos

- * Local com grande potencial para compressão do nervo

ARTÉRIAS



TRAJETO	RAMOS	
ANTEBRAÇO		
Artéria Radial		
Passa sobre o m. pronador redondo, sobre o FSD e FLP e lateralmente ao FRC	Recorrente radial (arcada de Henry) Ramos musculares	
Artéria Ulnar		
Passa sob a cabeça ulnar do m. pronador redondo, sobre o FPD, lateral e adjacente ao nervo ulnar	Recorrente ulnar – ramo anterior Recorrente ulnar – ramo posterior <ul style="list-style-type: none"> ◦ Interóssea comum ◦ Interóssea anterior ◦ Interóssea posterior Recorrente interóssea Ramos musculares	
PUNHO		
Artéria Radial		
	Ramo carpal palmar	Profundamente aos tendões dos mm. flexores Profundamente

Lateral ao tendão do FRC, curva-se dorsalmente, sob os tendões do ALP e ECP, entre as 2 cabeças do 1º músculo interósseo dorsal, até a região palmar, terminando no arco palmar profundo

Ramo carpal dorsal
Ramo palmar superficial
 ◦ Ramo palmar para o escafoide
 Ramo dorsal para o escafoide
Arco palmar profundo

aos tendões dos mm. extensores
 Anastomosa-se com o arco palmar superficial
 Supre 25% do escafoide (parte distal)
 Supre 75% do escafoide (parte proximal)
 Ramo terminal da artéria radial na mão

Artéria Ulnar

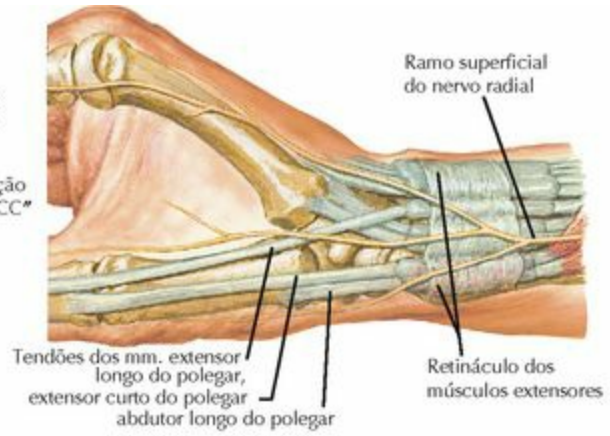
No “ligamento carpal transversal” (LCT), dentro do túnel ulnar (canal de Guyon), divide-se nos ramos palmares profundo e “superficial”

Ramo carpal palmar
 Ramo carpal dorsal
Ramo palmar profundo
Arco palmar superficial

Profundo aos tendões dos mm. flexores
 Profundo aos tendões dos mm. extensores
 Anastomosa-se com o arco palmar profundo
 Ramo terminal da artéria ulnar

- Teste de Allen: ocluir as artérias radial e ulnar no punho. O paciente deve comprimir a mão fechada. Libere a pressão em uma artéria e verifique a perfusão da mão. Repita com a outra artéria. O teste confirma a permeabilidade dos arcos/vasos

DISTÚRBIOS

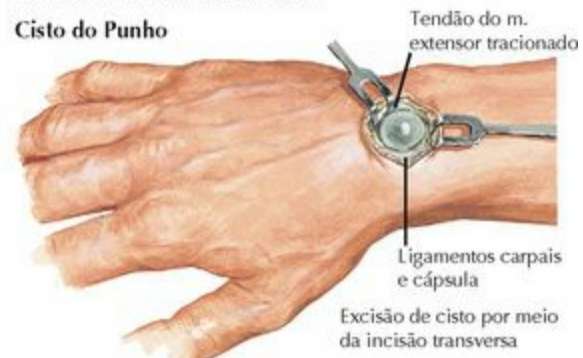


Trajeto dos tendões dos mm. abductor longo do polegar e do extensor curto do polegar através do 1º compartimento do retináculo dos músculos extensores



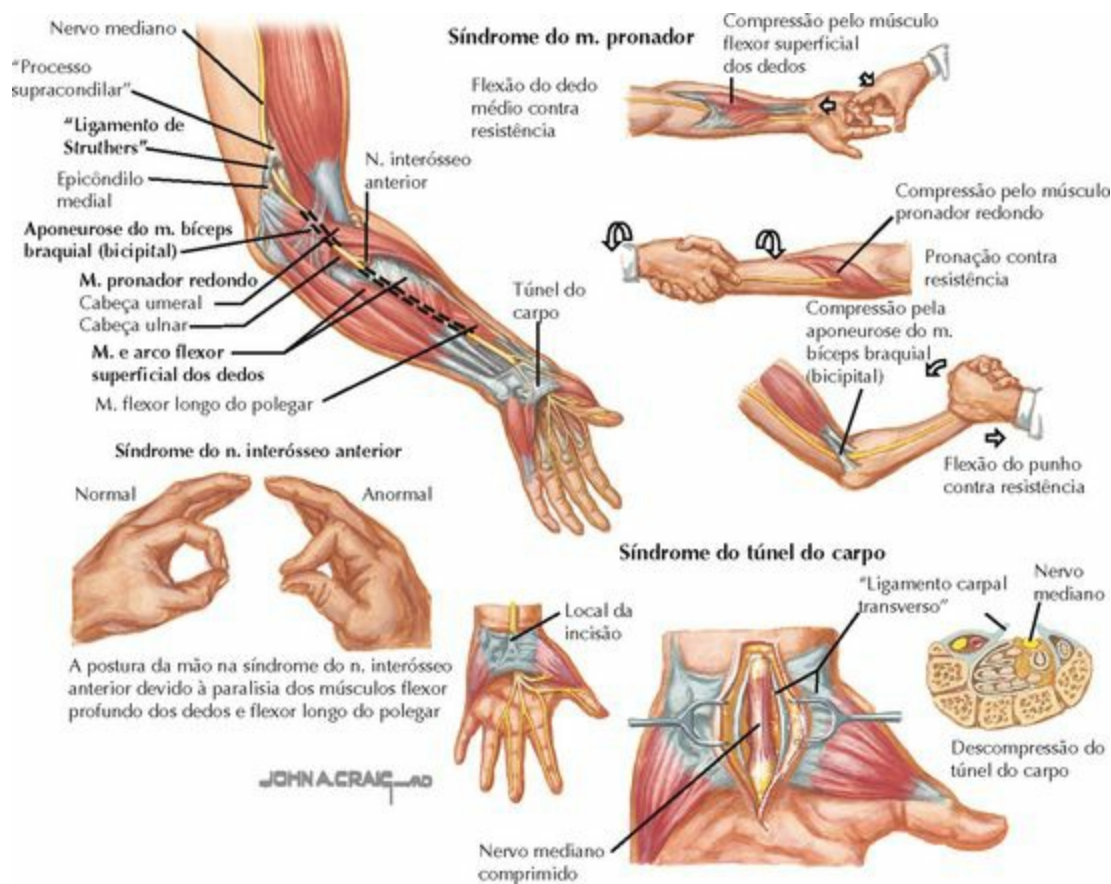
Laceração da fibrocartilagem triangular (TFC)

Cisto do Punho

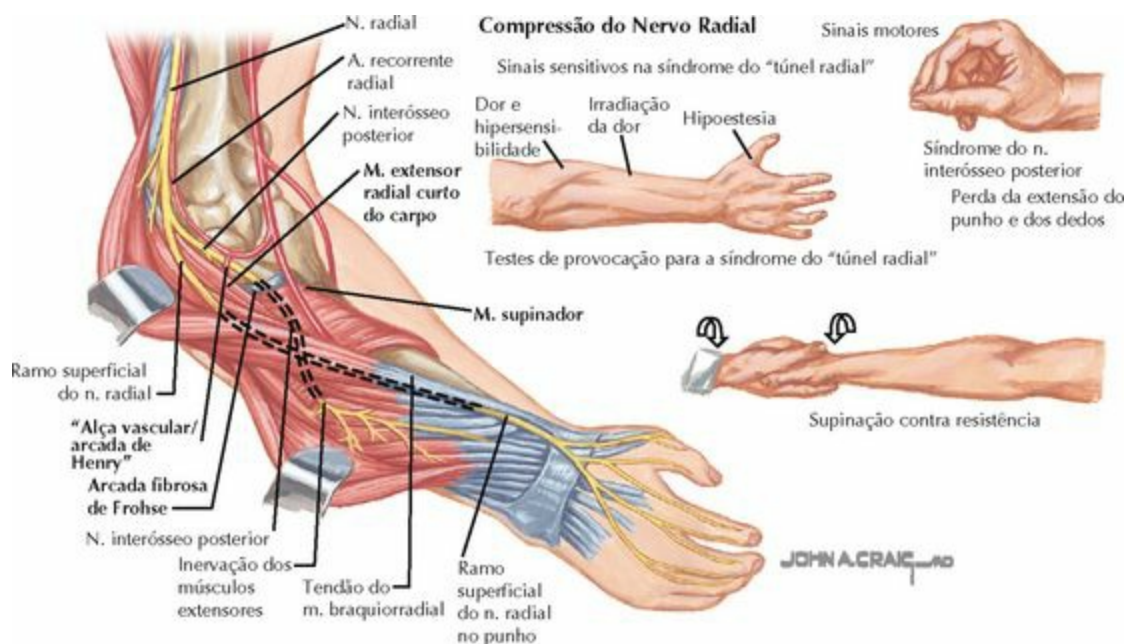


F. Natter
M.D.

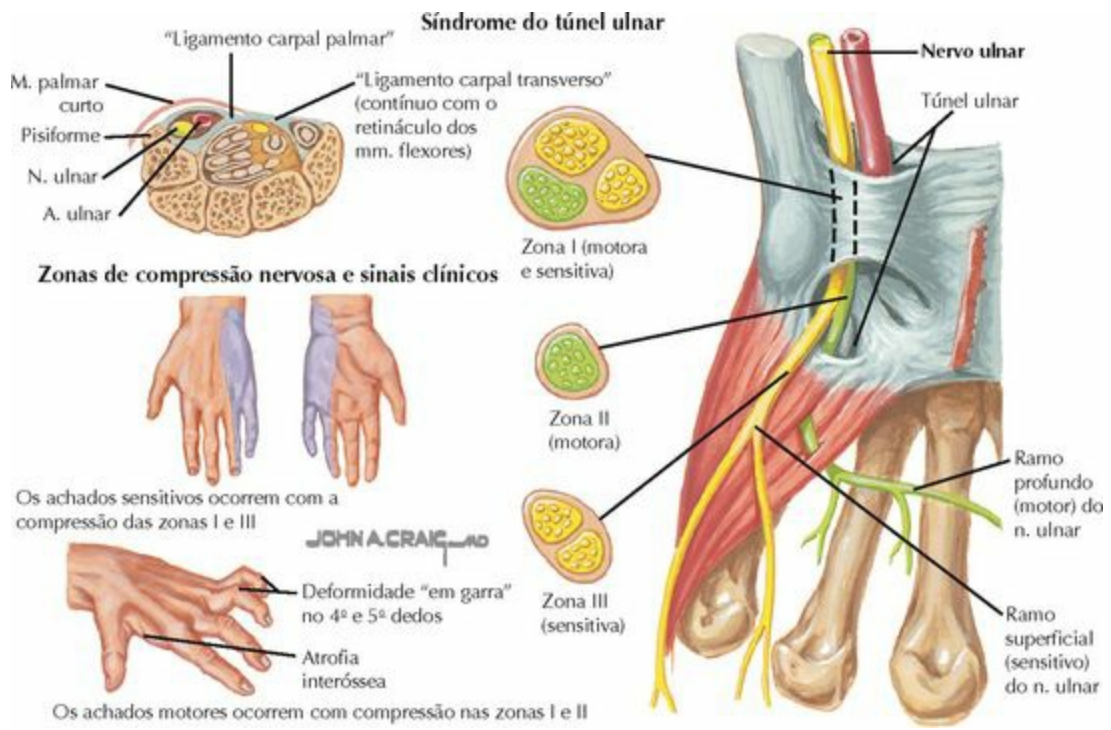
DESCRIÇÃO	HDA e EF	EXAMES COMPLEMENTARES/ ACHADOS	TRATAMENTO
LACERAÇÃO DO COMPLEXO FIBROCARILAGÍNEO TRIANGULAR (TFCC)			
<ul style="list-style-type: none"> • Pode ser traumática (classe 1) ou degenerativa (classe 2) • Apenas a periferia é vascular (p. ex., a laceração periférica pode ser reparada) 	HDA: dor na região medial do punho, +/- estalido/rangido EF: a TFC é sensível à palpação, + TFCC, crepitação, +/- tecla do plano	RX: geralmente normal; as lacerações estão associadas à fratura da base do processo estiloide RM: exame de escolha para o diagnóstico de lacerações	<ol style="list-style-type: none"> 1. Classe 1: reparar ou debridar a laceração (fixar a fratura do estiloide, quando necessário) 2. Classe 2: AINE, imobilização, procedimento de encurtamento ulnar
TENOSSINOVITE DE "DE QUERVAIN"			
<ul style="list-style-type: none"> • Inflamação do primeiro compartimento dorsal (tendões do ALP/ECP) • Mulheres de meia-idade nº 1 • Associada à anormalidade de tendão 	HDA: dor/edema radial EF: sensibilidade dolorosa no 1º compartimento dorsal, teste de Finkelstein +	RX: geralmente normal RM: nenhuma indicação	<ol style="list-style-type: none"> 1. Imobilizar e AINE 2. Infiltração com corticosteroide dentro da bainha 3. Liberação cirúrgica
CISTO SINOVIAL			
<ul style="list-style-type: none"> • Cisto preenchido por sinóvia originando-se de uma articulação do punho • Massa mais comum no punho • Localização mais comum na região dorsal do punho (geralmente da articulação ES) 	HDA: massa, +/- dor EF: massa móvel e palpável, +/- sensibilidade dolorosa, translucinação +	RX: a série de punho geralmente se mostra normal RM: mostrará bem o cisto, necessária apenas quando o diagnóstico é incerto	<ol style="list-style-type: none"> 1. Observação, quando for assintomático 2. Aspiração (recidiva de 20%) 3. Excisão (incluindo a base do cisto; recidiva de <10%)



DESCRIÇÃO	HDA e EF	EXAMES COMPLEMENTARES/ACHADOS	TRATAMENTO
COMPRESSÃO DO NERVO MEDIANO			
Síndrome do Músculo Pronador			
<ul style="list-style-type: none"> • Compressão da parte proximal do nervo mediano • Locais: 1. "Ligamento de Struthers", 2. M. pronador redondo, 3. Aponeurose do m. bíceps braquial (bicipital), 4. Aponeurose/arco FSD 	<p>HDA: dormência, formigamento, +/- fraqueza</p> <p>EF: sensibilidade diminuída na palma, sinal do pronador ou FSD +</p>	<p>RX: observar se o processo supracondilar está ausente no úmero</p> <p>EMG/ECN: pode confirmar o diagnóstico (também pode estar normal)</p>	<ol style="list-style-type: none"> 1. Mudança de atividade/reposo 2. Imobilização, AINE 3. Descompressão cirúrgica de todos os locais de compressão proximais
Síndrome do Nervo Interósseo Anterior (NIA)			
<ul style="list-style-type: none"> • Raramente há compressão do nervo • Mesmos locais da síndrome do m. pronador • Apenas sintomas motores 	<p>HDA: fraqueza, +/- dor</p> <p>EF: pinçamento fraco com polegar (FLP) e IF (FPD)</p>	<p>RX: geralmente normal</p> <p>EMG/ECN: confirmará o diagnóstico quando incerto</p>	<ol style="list-style-type: none"> 1. Mudança de atividade 2. Imobilização, AINE 3. Descompressão cirúrgica
Síndrome do Túnel do Carpo			
<ul style="list-style-type: none"> • Compressão no túnel do carpo • Neuropatia mais comum • Associada a doenças metabólicas (da gl. tireoide, diabetes), gravidez 	<p>HDA: dormência, +/- dor</p> <p>EF: +/- atrofia tenar, testes de Durkin +, de Phalen +/- e de Tinel +</p>	<p>RX: geralmente normal</p> <p>EMG/ECN: confirmará o diagnóstico, quando incerto (latência aumentada, velocidade diminuída)</p>	<ol style="list-style-type: none"> 1. Mudança de atividade 2. Imobilizações noturnas, AINE 3. Infiltração com corticosteroide 4. Liberação do túnel do carpo



DESCRIÇÃO	HDA e EF	EXAMES COMPLEMENTARES/ ACHADOS	TRATAMENTO
COMPRESSÃO DO NERVO RADIAL			
Síndrome do Nervo Interósseo Posterior (Síndrome do M. Supinador)			
<ul style="list-style-type: none"> • Compressão no "túnel radial" • Locais: 1. Faixas (bandas) fibrosas, 2. Arcada de Henry, 3. ERCC, 4. Arcada de Frohse (margem proximal do m. supinador), 5. Margem distal do m. supinador 	<p>HDA: fraqueza da mão e punho, +/- dor no cotovelo</p> <p>EF: extensão do polegar/dedo fraca, SP no "túnel radial"</p>	<p>RX: pesquisar por anormalidades radioumerais (rádio e capítulo)</p> <p>RM: avaliar massas</p> <p>EMG/ECN: confirmar o diagnóstico e localizar a lesão</p>	<ol style="list-style-type: none"> 1. Modificação da atividade 2. Imobilização, AINE 3. Descompressão cirúrgica (liberação completa)
Síndrome do "Túnel Radial"			
<ul style="list-style-type: none"> • Compressão no "túnel radial" • Mesmos locais do anterior • Apenas dor, nenhuma fraqueza 	<p>HDA: dor na região lateral do cotovelo</p> <p>EF: SP, "túnel radial", sem fraqueza</p>	<p>RX: avaliar a articulação radiocarpal</p> <p>RM: avaliar massas</p> <p>EMG/ECN: inúteis</p>	<ol style="list-style-type: none"> 1. Modificação da atividade 2. Imobilização, AINE 3. Descompressão cirúrgica
Síndrome de Wartenberg			
<ul style="list-style-type: none"> • Compressão do ramo superficial do nervo radial no punho (entre os tendões do ERLC e BR) • Apenas sintomas sensitivos 	<p>HDA: dormência/dor</p> <p>EF: sensibilidade diminuída no DV/ polegar, sinal de Tinel +, sintoma com pronação</p>	<p>RX: geralmente normal</p> <p>RM: geralmente sem valor</p> <p>EMG/ECN: pode confirmar o diagnóstico</p>	<ol style="list-style-type: none"> 1. Modificação da atividade 2. Imobilização do punho, AINE 3. Descompressão cirúrgica
COMPRESSÃO DO NERVO ULNAR			
Síndrome do Túnel Ulnar (Canal de Guyon)			
<ul style="list-style-type: none"> • Compressão no canal de Guyon • Etiologia: cisto sinovial, consolidação viciosa do hamato, artéria trombótica, músculo • Sintomas sensitivos (zona 3), motores (zona 2) ou mistos (zona 1) 	<p>HDA: dormência, fraqueza na mão</p> <p>EF: sensibilidade diminuída, +/- atrofia, mão em garra, fraqueza</p>	<p>RX: pesquisar por fratura</p> <p>TC: avaliar fratura/ consolidação viciosa</p> <p>RM: útil para massas</p> <p>US: avaliar trombose</p> <p>EMG: confirmar o diagnóstico</p>	<ol style="list-style-type: none"> 1. Modificação da atividade 2. Imobilização, AINE 3. Descompressão cirúrgica (abordar a causa subjacente da compressão)



DESCRIÇÃO	AVALIAÇÃO	TRATAMENTO
INSTABILIDADE CARPAL		
Instabilidade Carpal, Dissociativa (ICD)		
<p>Instabilidade dentro de uma fileira carpal; dois tipos principais:</p> <ol style="list-style-type: none"> 1. Instabilidade do segmento intercalado dorsal (DISI) <ul style="list-style-type: none"> ◦ Devido à ruptura do ligamento escafossesmilunar (ES) ou à fratura/pseudartrose do escafoide ◦ Deformidade: escafoide flexionado, semilunar estendido ◦ Pode levar à artrite ETT ou ao CAES do punho 2. Instabilidade do segmento intercalado palmar (“volar”) (VISI) <ul style="list-style-type: none"> ◦ Devido à ruptura do ligamento semilunar-piramidal (também requer a lesão do ligamento radiocarpal dorsal) 	<p>HDA: trauma, dor +/- estalido</p> <p>EF: diminuição da ADM +/-, dor na “tabaqueira anatômica” ou no intervalo ES/SLP +/-, teste de Watson + (DISI) ou teste de Regan + (VISI)</p> <p>RX: incidências do punho e com o punho fechado</p> <ul style="list-style-type: none"> ◦ DISI: intervalo ES >3 mm, ângulo ES >70°, “sinal do anel” ◦ VISI: arcos carpais rompidos <p>RM: pode confirmar a lesão do ligamento</p>	<p>Tratamento agudo/inicial:</p> <ol style="list-style-type: none"> 1. Fratura: RAFI do escafoide 2. Ligamento: reparação ou reconstrução do ligamento ES ou SLP com fixação por pino 3. Capsulodese <p>Tratamento crônico/tardio:</p> <ol style="list-style-type: none"> 1. Fusão limitada (p. ex., fusão ETT para DISI)
Instabilidade Carpal, Não Dissociativa (ICND)		
<ul style="list-style-type: none"> • Instabilidade entre as fileiras do carpo • Variações mediocarpais ou 	<p>HDA: queda/trauma ou hiperfrouxidão ligamentar;</p>	<ol style="list-style-type: none"> 1. Conservador: imobilização com

radiocarpais

- Associada à hiperfrouxidão generalizada ou a trauma dos ligamentos (p. ex., translação ulnar na articulação radiocarpal) ou dos ossos (p. ex., fratura da parte distal do rádio)

estabilido/batida

EF: sensibilidade dolorosa, instabilidade

RX: avaliar fraturas e translação carpal estática

Fluoroscopia: translação carpal dinâmica

tala/aparelho gessado (esp. **mediocarpal**)

2. Artrodese (fusão)

- Mediocarpal
- Radiocarpal

Instabilidade Carpal, Combinada (ICC)

- Instabilidade tanto dentro de uma fileira, quanto entre fileiras
- Luxação perissemilunar mais comum
- Lesão do arco maior = lesão transóssea
- Lesão do arco menor = lesão ligamentar

HDA: queda/trauma, dor

EF: sensibilidade dolorosa, instabilidade

RX: ruptura dos arcos do carpo, anormalidade do semilunar (ângulo e/ou posição)

1. RAFI dos ossos com reparação primária dos ligamentos
2. Tardia: artrodese

Artrite Reumatoide



A radiografia mostra o adelgaçamento da cartilagem nas articulações interfalângicas proximais, erosão dos ossos carpais e da articulação do punho, osteoporose e deformidades dos dedos

Doença de Kienböck



Radiografia do punho mostra a característica esclerose do semilunar

DESCRIÇÃO	HDA e EF	EXAMES COMPLEMENTARES/ACHADOS	TRATAMENTO
CONDIÇÕES DEGENERATIVAS/ARTRÍTICAS			
<ul style="list-style-type: none"> A osteoartrite primária no punho é incomum. Geralmente, é pós-traumática (fratura da parte distal do rádio/escafoide ou lesão do ligamento) 			
Colapso Escafossesmilunar Avançado (CESA)			
<ul style="list-style-type: none"> Artrite do punho decorrente da deformidade em flexão pós-traumática do escafoide (lesão do ligamento ES ou fratura do escafoide) A artrite progride durante quatro estágios (I-IV) 	HDA: trauma/queda prévio (frequentemente não tratada), dor EF: diminuição da ADM +/- com dor, sensibilidade dolorosa à palpação	RX: 4 estágios. DAD em: I. Proc. estíloide do rádio e escafoide II. Articulação entre o rádio e o escafoide III. Articulação entre o capitato e o semilunar IV. Migração do capitato (a articulação entre o rádio e o semilunar é poupada)	I. Estiloidectomia e fusão do escafoide, do trapézio e do trapezoide II. Carpectomia da fileira proximal ou escafoidectomia e fusão de 4 cantos (semilunar, piramidal, capitato, hamato) III. Fusão dos 4 cantos IV. Artrodese do punho (fusão)
Artrite Reumatoide			
<ul style="list-style-type: none"> O transtorno inflamatório ataca a membrana sinovial e destrói a articulação Articulação radiocarpal (supinação e translação palmar medial) e a ARUD (ulna subluxa dorsalmente) afetadas 	HDA: dor (principalmente pela manhã), rigidez, deformidade EF: edema, deformidade (volar, translação ulnar do carpo)	RX: série do punho. Depende da gravidade. Degeneração branda à destruição da articulação LABS: FR, AAN, VHS	1. Tratamento clínico 2. Sinovectomia 3. Transferências de tendão 4. Fusão ou artroplastia do punho
Doença de Klenböck			
<ul style="list-style-type: none"> Osteonecrose do semilunar Etiologia: traumática ou microtrauma por repetição no semilunar 4 estágios radiográficos Associado à varlância ulnar negativa do punho 	HDA: dor, rigidez e incapacidade do punho EF: sensibilidade dolorosa do semilunar/fileira proximal, diminuição da ADM, força de preensão diminuída	RX: Estágio I: radiografia normal; II: esclerose do semilunar IIIA: semilunar fragmentado IIIB: IIIA + scafoide flexionado IV. DAD das articulações adjacentes RM: necessária para diagnosticar o estágio I	Estágio: I: Imobilização I-III A: Encurtamento radial II B: Fusão ETT ou carpectomia da fileira proximal (CFP) IV: Fusão do punho ou CFP

DISTÚRBIOS PEDIÁTRICOS

Deformidade de Madelung



Vista dorsal da mão mostrando a proeminência da cabeça da ulna

A proeminência da cabeça da ulna, o desvio palmar da mão e o arqueamento do antebraço são claramente observados na incidência radial



Radiografia mostrando a inclinação ulnar das faces articulares da parte distal do rádio, o encunamento dos ossos do carpo no espaço resultante e o arqueamento do rádio



Radiografia em perfil demonstrando a proeminência dorsal da cabeça da ulna com desvio palmar dos ossos do carpo

Mão em Clava Radial



Antebraço curto e arqueado com acentuado desvio radial da mão. Polegar ausente. A radiografia mostra o déficit parcial do raio radial (presença de vestígios do rádio). Escafoide, trapézio, metacarpal e falanges do polegar ausentes



Procedimento de centralização

F. Netter M.D.

DESCRIÇÃO

AVALIAÇÃO

TRATAMENTO

DEFORMIDADE DE MADELUNG

- Deformidade da parte distal do rádio
- A lesão da “fise” **ulnar** “volar” provoca o aumento da inclinação radial e “volar” do rádio
- Idades 6-12; mulheres > homens

HDA: dor nos punhos e deformidade
EF: deformidade e cabeça da ulna proeminente
RX: deformidade da parte distal do rádio (inclinação e declive aumentados) e subluxação dorsal da ulna

Assintomático: observação e/ou modificação da atividade
 Sintomático: osteotomia radial +/- recesso ulnar

MÃO EM CLAVA RADIAL (HEMIMELIA RADIAL)

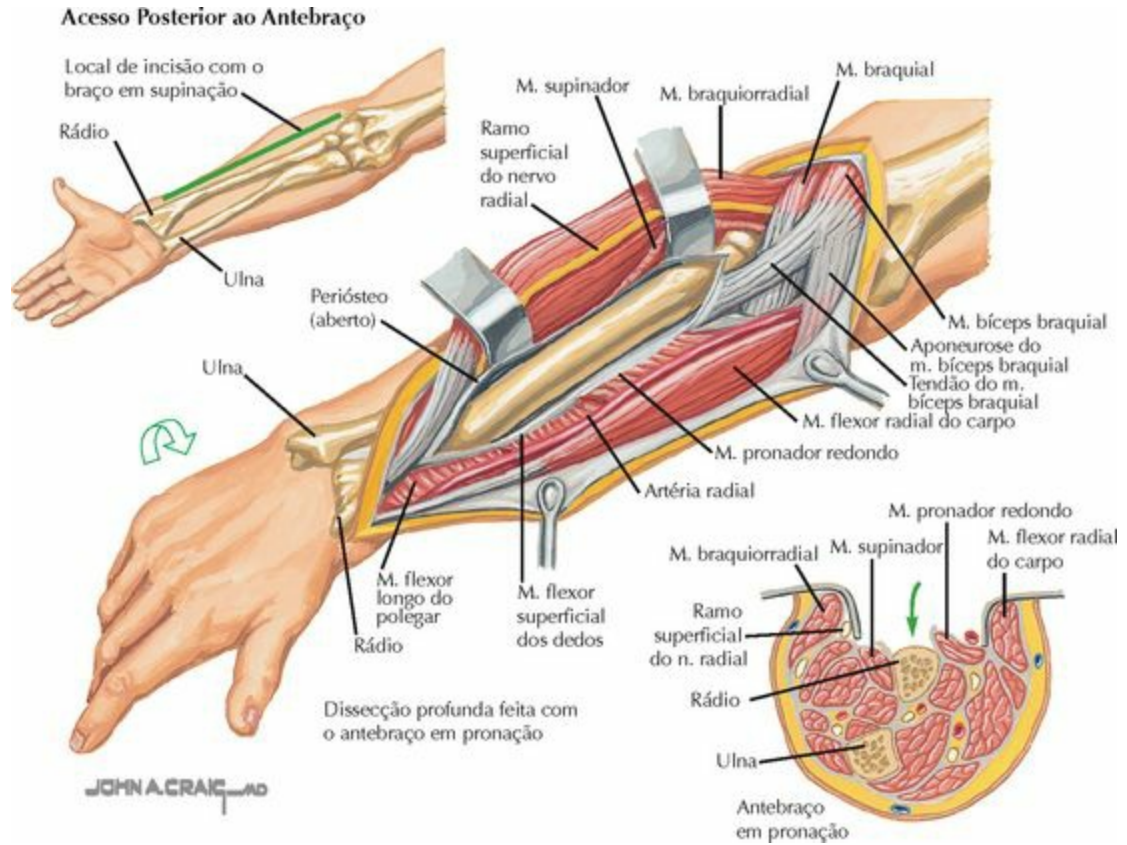
1. ADM do

- Falha da formação (parcial ou completa: estágios I-IV) do rádio
- Associada a síndromes (TAR, VATER)

HDA/EF: arqueamento do antebraço, desvio radial da mão
RX: rádio curto ou ausente, ulna arqueada

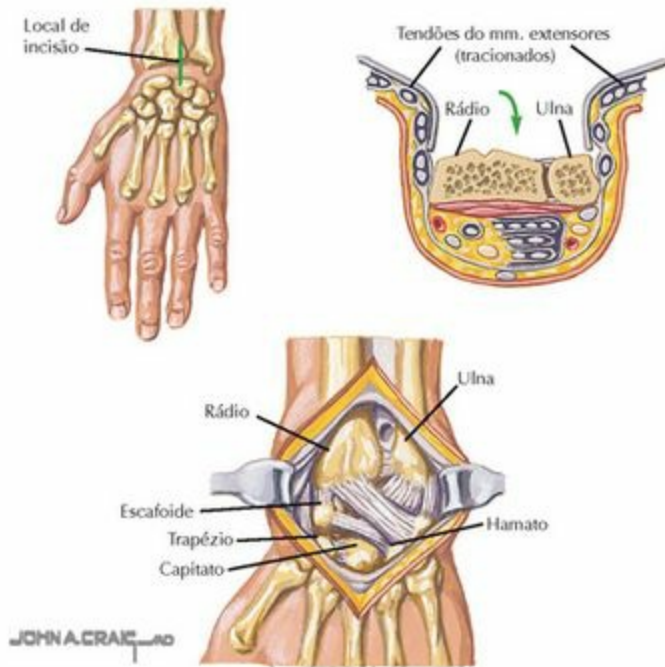
cotovelo (nenhuma cirurgia, quando rígido)
2. Centralização da mão (1 ano de idade)

ACESSOS CIRÚRGICOS

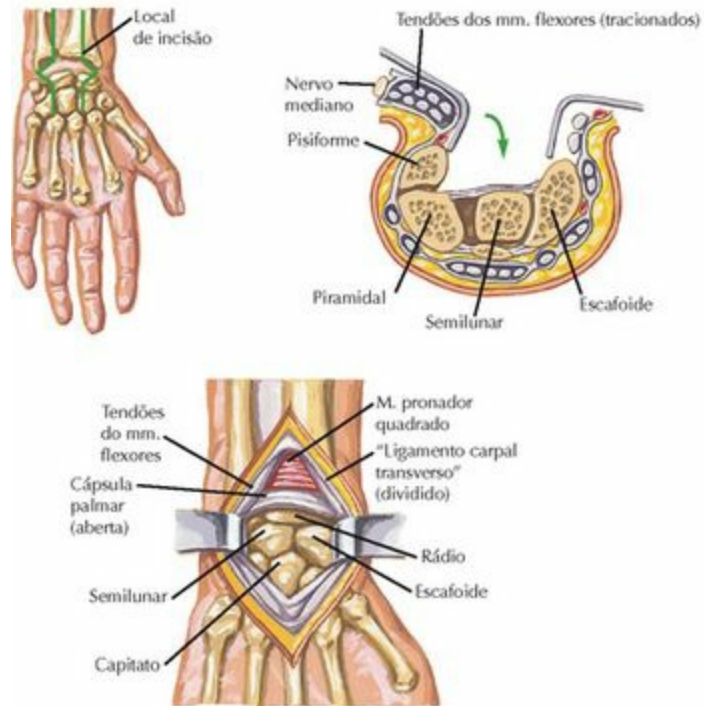


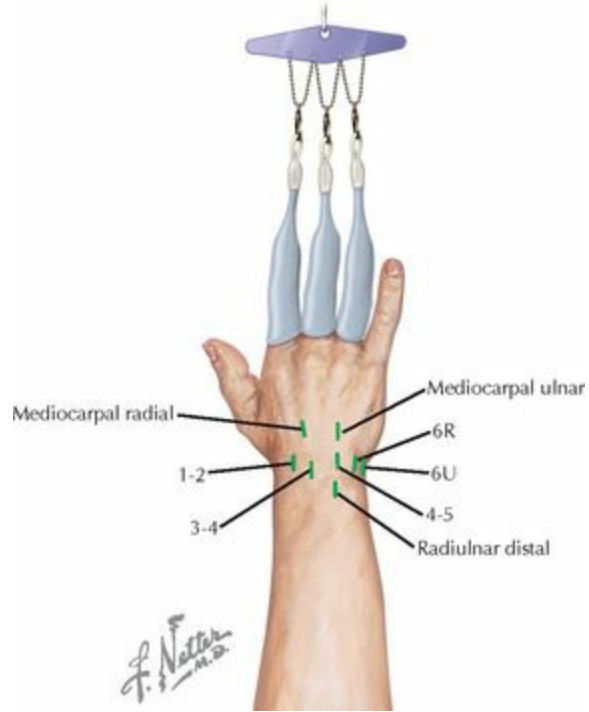
USOS	PLANO ENTRE OS NERVOS	RISCOS	COMENTÁRIO
ANTEBRAÇO: ACESSO ANTERIOR (DE HENRY)			
<ul style="list-style-type: none"> • RAFI das fraturas • Osteotomia • Biópsia e tumores ósseos 	<p>Proximal</p> <ul style="list-style-type: none"> ◦ M. braquiorradial (radial) ◦ M. pronador redondo (mediano) <p>Distal</p> <ul style="list-style-type: none"> ◦ M. braquiorradial (radial) ◦ FRC (mediano) 	<ul style="list-style-type: none"> • Artéria radial • Ramo superficial do nervo radial • Nervo interósseo posterior (NIP) 	<ul style="list-style-type: none"> • O mais comum é que apenas uma parte da incisão seja necessária/usada • A artéria recorrente radial deve ser ligada proximalmente • Distalmente, deve afastar o m. pronador quadrado para alcançar a parte distal do rádio
PUNHO: ACESSO DORSAL			
<ul style="list-style-type: none"> • RAFI das fraturas • Carpectomia ou fusão do punho • Reparação do tendão 	<ul style="list-style-type: none"> • Nenhum plano entre nervos (todos os músculos inervados pelo nervo radial [NIP]) • O 4º compartimento dorsal é aberto, e os tendões são retraídos 	<ul style="list-style-type: none"> • Ramo superficial do nervo radial • Artéria radial 	<ul style="list-style-type: none"> • Quando necessário, um compartimento diferente do 4º pode ser aberto • O ramo sensitivo capsular do NIP está no 4º compartimento
PUNHO: ACESSO PALMAR			
<ul style="list-style-type: none"> • RAFI (p. ex., parte distal do rádio, escafoide) • Liberação do túnel do carpo • Reparação de tendão 	<p>Proximal (idêntico ao de Henry)</p> <ul style="list-style-type: none"> ◦ M. braquiorradial (radial) ◦ FRC (mediano) <p>Distal (sobre o punho e a região palmar)</p> <ul style="list-style-type: none"> ◦ Nenhuma 	<ul style="list-style-type: none"> • Nervo mediano ◦ Ramo palmar ◦ Ramo recorrente motor • Arco palmar superficial 	<ul style="list-style-type: none"> • Incisar o "ligamento carpal transverso" para acessar a região palmar ("volar") da cápsula do punho/ossos • Deve afastar o m. pronador quadrado para expor a parte distal do rádio

Acesso Dorsal à Articulação do Punho



Acesso Palmar à Articulação do Punho



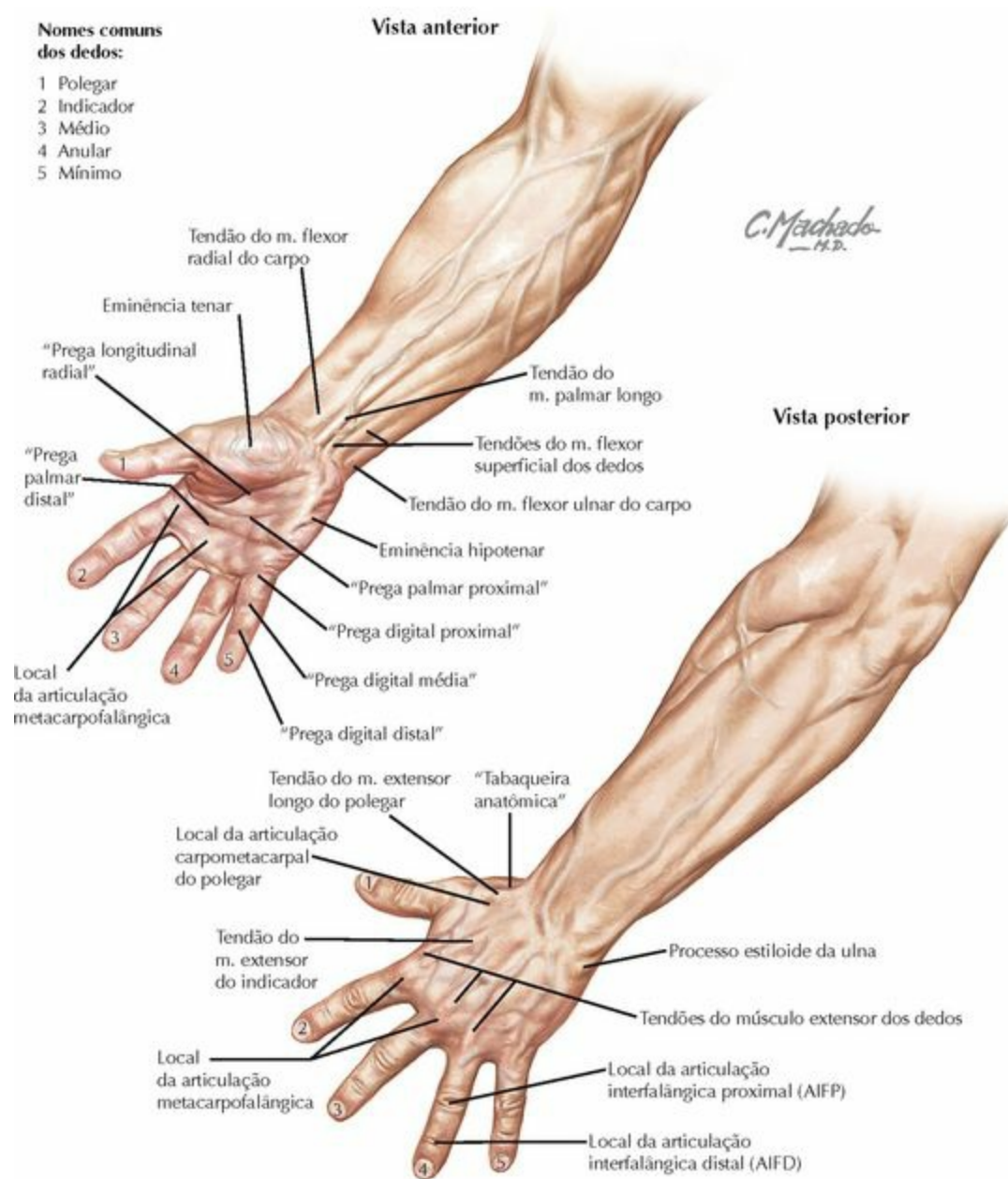


PORTAL	LOCALIZAÇÃO	RISCOS	COMENTÁRIOS
PORTAIS DE ARTROSCOPIA DO PUNHO			
<ul style="list-style-type: none"> • Usos: diagnóstico, lacerações do "TFCC", sinovectomia, auxilia na fixação de fratura, remoção de corpo livre, lesões condrais • Os portais são denominados em relação aos compartimentos extensores dorsais do punho (R e U indicam o lado radial ou ulnar do tendão) 			
1-2	Entre os tendões do ALP e ERLC. Distal ao processo estilóide do rádio	<ol style="list-style-type: none"> 1. Ramo profundo da artéria radial 2. Ramo superficial do n. radial 3. Nervo cutâneo lateral do antebraço 	<ul style="list-style-type: none"> • O uso é limitado devido à grande proximidade e ao risco de lesão neurovascular • Mostra a parte distal do escafoide e do processo estilóide do rádio
3-4	Entre os tendões do ELP e ED, 1 cm distal ao tubérculo dorsal (do rádio) (de Lister)	Nenhum (ramo capsular do NIP no 4º compartimento)	<ul style="list-style-type: none"> • Portal artroscópico de trabalho "<i>workhorse</i>" da artroscopia • Mostra o ligamento interósseo ES, o ligamento de Testut (LRES), as fossas da região distal do rádio
4-5	Entre os tendões do ED e EDM	Nenhum	<ul style="list-style-type: none"> • Mostra a inserção radial do "TFCC", ligamento interósseo SLP
6R	Lado radial do tendão do EUC (entre o EDM e EUC)	Ramo dorsal do n. ulnar	<ul style="list-style-type: none"> • Mostra a inserção ulnar do "TFCC", LUP, LUS e recesso pré-estilóideo
6U	Lado ulnar do tendão do EUC	Ramo dorsal do n. ulnar	<ul style="list-style-type: none"> • Similar ao 6R. Menos usado devido ao risco de lesão nervosa. Pode ser usado para infusão
Mediocarpal radial	1 cm distal ao portal 3-4, ao longo da margem radial do 3º MC	Nenhum	<ul style="list-style-type: none"> • Parte distal do escafoide, parte proximal do capitato, ligamento ES, articulação ETT
Mediocarpal ulnar	1 cm distal ao portal 4-5, em linha com o 4º MC	Nenhum	<ul style="list-style-type: none"> • Articulação entre o semilunar-piramidal, ligamento ES, articulação entre o piramidal-hamato
Outros portais: mediocarpal: ETT e piramidal-hamato. Radiulnar distal: proximal e distal à cabeça da ulna			
FASCIOTOMIAS			
Ver pág. 169			

Mão

Anatomia Topográfica
Osteologia
Radiologia
Trauma
Tendões
Articulações
Outras Estruturas
Procedimentos Menores
História da Doença Atual
Exame Físico
Origens e Inserções
Músculos
Nervos
Artérias
Distúrbios
Distúrbios Pediátricos
Acessos Cirúrgicos

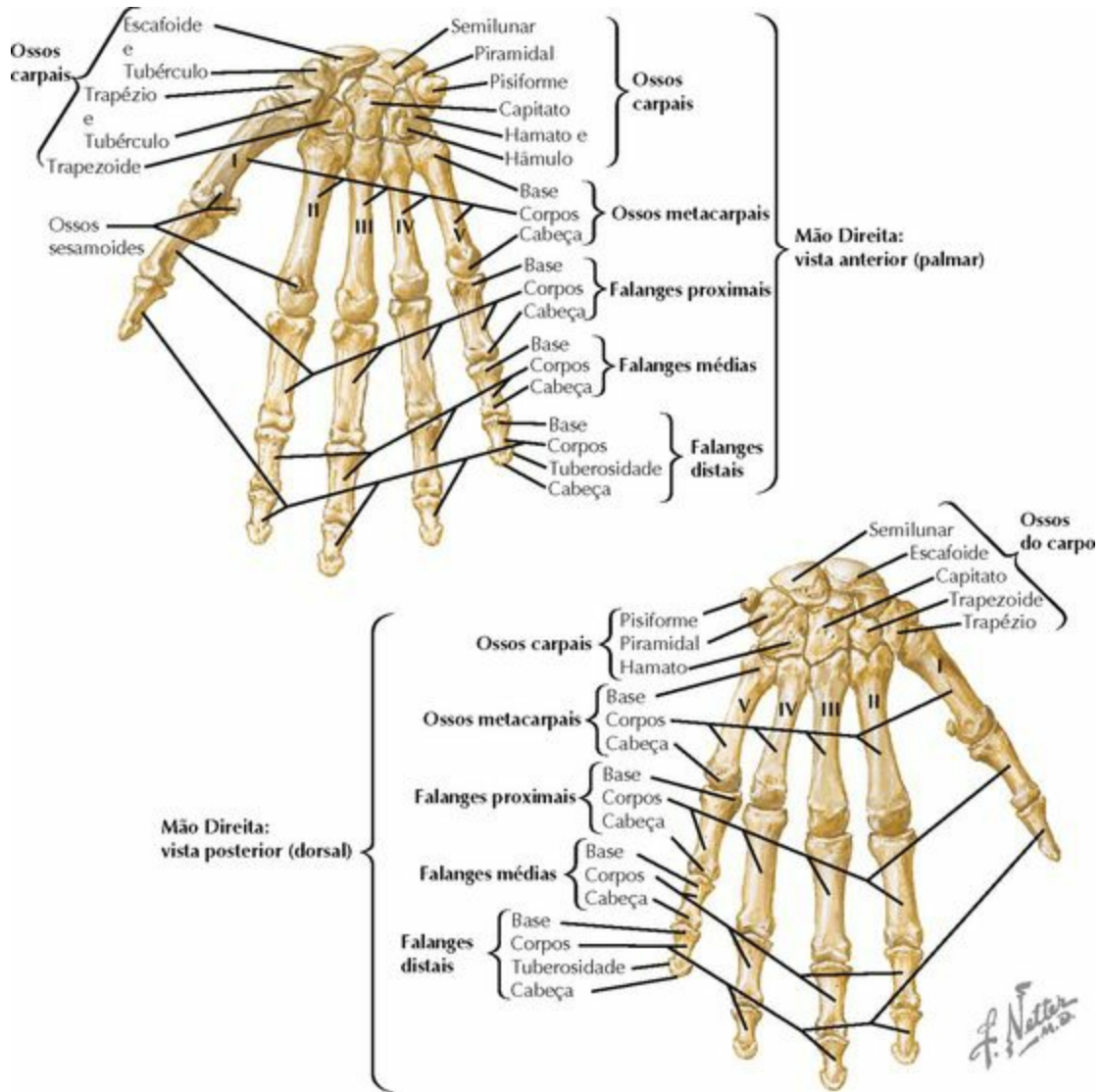
ANATOMIA TOPOGRÁFICA



ESTRUTURA	APLICAÇÃO CLÍNICA
Tendão do m. palmar longo	Não está presente em todas as pessoas. Pode ser usado para enxerto de tendões
"Tabaqueira anatômica"	Local do escafoide. Sensibilidade dolorosa no local pode indicar fratura do escafoide
Articulação carpometacarpal do polegar	Local comum de artrite e fonte de dor radial na mão
Eminência tenar	Atrofia pode indicar compressão do nervo mediano (p. ex., síndrome do túnel do carpo)
	Atrofia pode indicar compressão do nervo ulnar (p. ex., síndrome

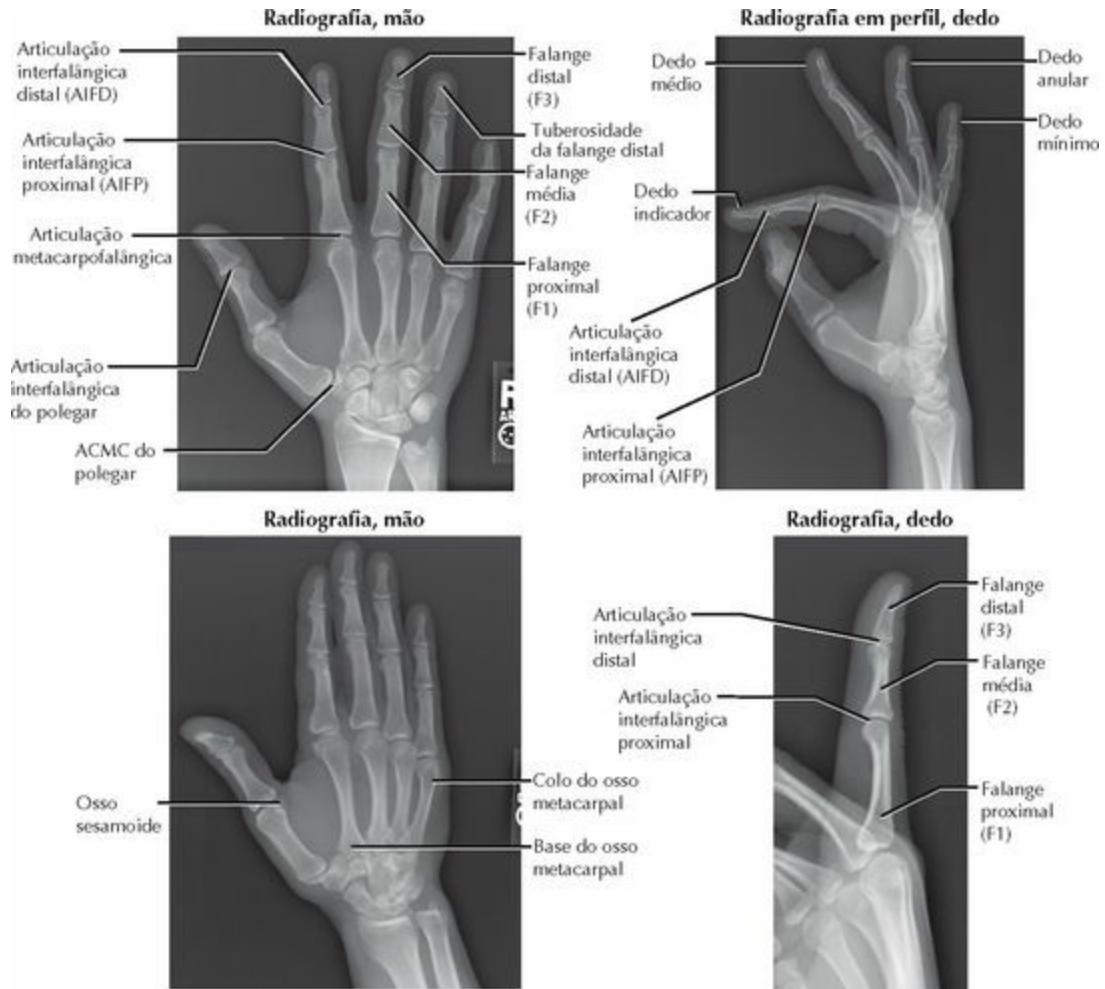
Eminência hipotenar	do túnel cubital ou ulnar)
“Prega palmar proximal”	Local aproximado do arco palmar superficial na palma
“Prega palmar distal”	Local das articulações metacarpofalângicas na região palmar

OSTEOLOGIA



CARACTERÍSTICAS	OSSIFICAÇÃO	FUSÃO	COMENTÁRIOS
METACARPAIS			
<ul style="list-style-type: none"> • Triangular em corte transversal: apresenta dois locais de inserção muscular palmar • O MC do polegar tem base em forma de sela: aumenta a mobilidade 	Primária: corpo Secundária: epífise	9ª semana (fetal) 2 anos 18 anos 18 anos	<ul style="list-style-type: none"> • Denominados I-V (do polegar ao dedo mínimo) • Apenas uma "fise" por osso na cabeça; no MC do polegar, está na base
FALANGES			
<ul style="list-style-type: none"> • A face palmar é quase plana • Tubérculos e cristas são locais de inserção 	Primário: corpo Secundário: epífise	8ª semana (fetal) 2-3 anos 14-18 anos 14-18 anos	<ul style="list-style-type: none"> • 3 falanges em cada dedo, exceto nos polegares • Apenas uma das "fises" por osso, localizada na base
<ul style="list-style-type: none"> • Terminologia para os dedos: polegar, dedo indicador (DI), dedo médio (DM), dedo anular (DA), dedo mínimo (DMin), falange proximal (F1), falange média (F2), falange distal (F3) 			

RADIOLOGIA



RADIOGRAFIA	TÉCNICA	ACHADOS	APLICAÇÃO CLÍNICA
AP (anteroposterior)	Palma da mão para baixo no chassi, o feixe deve passar perpendicular ao chassi	Metacarpais, falanges e articulações CMC, MCF e IF	Fraturas de mão e dedos, luxações das articulações da mão e DAD
Perfil	Região medial (ulnar) do punho e mão sobre o chassi, com flexão dos dedos	Alinhamento dos ossos, articulações	As mesmas acima
Oblíqua	Lateral com 40° de rotação	Alinhamento e posição dos ossos	As mesmas acima
Incidência com estresse no polegar	Polegar abduzido 0° com 30° de flexão, feixe sobre AMCF	AMCF do polegar sobre estresse	Avaliar a integridade do ligamento colateral medial (ulnar) (polegar do esquiador)
OUTROS EXAMES			
TC	Transversal (axial), frontal (coronal) e sagital	Congruência articular, consolidação e alinhamento ósseo	Fraturas (especialmente escafoide , hâmulo do hamato), pseudartrose
RM	Sequência de pulsos varia	Tecidos moles (ligamentos, tendões), ossos	Fraturas ocultas (p. ex. escafoide), lesões de ligamentos/tendões
Cintilografia óssea		Todos os ossos são avaliados	Infecção, fraturas de estresse, tumores

Fraturas Metacarpais



Fratura da Base do Osso Metacarpal do Polegar



Fratura da Falange Proximal



A redução das fraturas das falanges ou dos ossos metacarpais requer um alinhamento rotacional e longitudinal correto. Na mão normal, as pontas dos dedos flexionados apontam em direção ao tubérculo do escafoide, como mostrado na mão à esquerda

DESCRIÇÃO	AVALIAÇÃO	CLASSIFICAÇÃO	TRATAMENTO
FRATURAS METACARPAIS			
<ul style="list-style-type: none"> • Comum em adultos, geralmente um mecanismo de queda ou soco • 5º MC mais comum (Fratura do boxeador) • Fraturas da base do 1º MC: luxação, fraturas intra-articulares problemáticas <ul style="list-style-type: none"> ◦ Fratura de Bennett: deformidade da fratura gerada pelo ALP ◦ Fratura de Rolando: pode provocar DAD • 4º e 5º MC podem tolerar alguma angulação, 2º e 3º não toleram 	<p>HDA: trauma, dor, edema, +/- deformidade</p> <p>EF: edema, sensibilidade dolorosa. Observar a deformidade em rotação. Observar a integridade neurovascular</p> <p>RX: mão. Avaliar a angulação e o encurtamento</p> <p>TC: útil para avaliar pseudartrose</p>	<p>Por localização:</p> <ul style="list-style-type: none"> • Cabeça • Colo (mais comum) • Corpo (transversa, em espiral) • Base <ul style="list-style-type: none"> ◦ do 1º MC <ul style="list-style-type: none"> ◦ Bennett: fratura do lábio palmar do MC ◦ Rolando: cominutiva ◦ do 5º MC: "Bennett invertido" 	<ul style="list-style-type: none"> • Não desviada: imobilizar • Desviada: reduzir <ul style="list-style-type: none"> ◦ Estável: imobilizar ◦ Instável: RF-FP vs. RAFI <ul style="list-style-type: none"> ◦ Encurtada: RAFI • Intra-articular <ul style="list-style-type: none"> ◦ Cabeça: RAFI ◦ Base do polegar: <ul style="list-style-type: none"> ◦ Bennett: RF-FP ◦ Rolando: RAFI
COMPLICAÇÕES: pseudartrose/consolidação viciosa, deficiência de preensão, osteoartrite pós-traumática (especialmente nas fraturas de Rolando)			

Fraturas das Falanges



Fratura oblíqua (diáfise) extra-articular



Fratura intra-articular da base da falange. Fraturas intra-articulares da falange sem desvios e estáveis podem ser tratadas com imobilização, observação cuidadosa e exercícios ativos precoces



Fraturas intra-articulares do côndilo

F. Natter

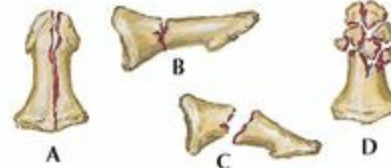


Fratura da falange média com desvio



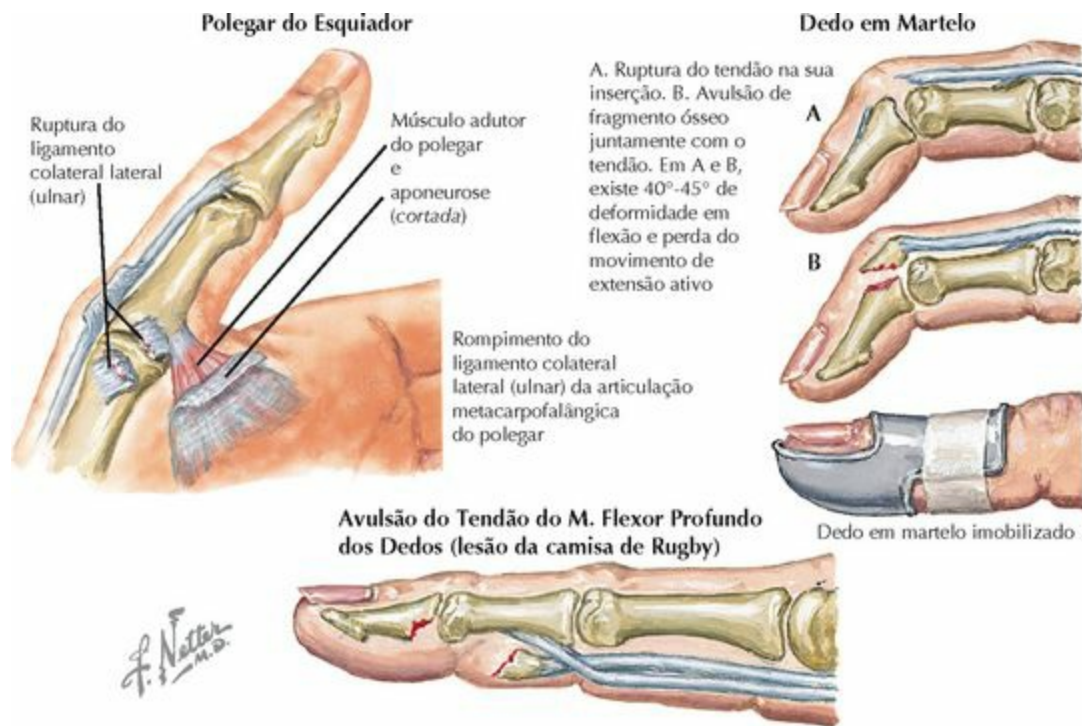
Tala com bloqueio para extensão utilizada nas fraturas com desvio em direção proximal

Fraturas da falange distal



Tipos de fraturas
A. Longitudinal
B. Transversa sem desvio
C. Transversa angulada
D. Cominutiva

DESCRIÇÃO	AValiação	CLASSIFICAÇÃO	TRATAMENTO
FRATURAS DAS FALANGES			
<ul style="list-style-type: none"> Lesão comum Mecanismos: compressão, esmagamento ou torção A falange distal é a mais afetada A rigidez é um problema comum; a movimentação precoce aliada à terapia ocupacional são necessárias para alcançar melhores resultados As fraturas intra-articulares podem provocar o desenvolvimento precoce da osteoartrite É comum a lesão do vale da unha com a fratura da tuberosidade da falange distal 	<p>HDA: trauma, dor, edema, +/- deformidade</p> <p>EF: edema e sensibilidade dolorosa. Checar deformidade rotacional. Checar integridade neurovascular</p> <p>RX: mão. Avaliar angulação e encurtamento.</p> <p>TC: útil para avaliar a pseudartrose da fratura</p>	<p>Descrição:</p> <ul style="list-style-type: none"> Intra vs. extra-articular Deslocadas e não deslocadas Transversas, espirais e oblíquas <p>Localização:</p> <ul style="list-style-type: none"> Côndilo Colo Corpo/diáfise Base Tuberosidade da falange distal 	<ul style="list-style-type: none"> Extra-articular: <ul style="list-style-type: none"> Estáveis: enfaixar/tala Instáveis: RF-FP vs. RAFI Intra-articular: RAFI Fratura da parte palmar da base da falange média <ul style="list-style-type: none"> Estáveis: Tala com bloco de extensão Instável: RAFI Fratura da tuberosidade da falange distal: irrigar o ferimento, tratar o vale (leito) da unha se necessário, tala (<i>splint</i>) digital para fraturas
<p>COMPLICAÇÕES: rigidez, perda da amplitude de movimento (em especial para as fraturas intra-articulares), pseudartrose e consolidação viciosa das fraturas, osteoartrite</p>			



O tendão do m. flexor profundo dos dedos pode ser lacerado diretamente da falange distal ou provocar a avulsão de fragmento ósseo grande ou pequeno

DESCRIÇÃO	HDA e EF	EXAMES COMPLEMENTARES/ACHADOS	TRATAMENTO
DEDO EM MARTELO – AVULSÃO DO TENDÃO DO M. EXTENSOR DOS DEDOS			
<ul style="list-style-type: none"> Ruptura do tendão do m. extensor dos dedos da falange distal Forma de osso ou tecidos moles Mecanismo: bloqueamento súbito do dedo 	<p>HDA: "bloqueamento" do dedo, dor, deformidade da AIFD</p> <p>EF: lentidão na extensão da AIFD; incapacidade para iniciar a extensão da AIFD</p>	<p>RX: série de mão. Procurar fratura óssea por avulsão (ED) da base do dorso da F3</p>	<ol style="list-style-type: none"> Tala de extensão para AIFD por 6 semanas na maioria das lesões Fragmento avulsionado com subluxação de AIFD: considerar PPC vs. RAFI
LESÃO DA CAMISA DE RUGBY – AVULSÃO DO TENDÃO DO M. FLEXOR PROFUNDO DOS DEDOS			
<ul style="list-style-type: none"> Ruptura do tendão do FPD da F3 Mecanismo: extensão forçada contra o dedo fletido O tendão retrai irregularmente 	<p>HDA: extensão forçada da AIFD, lesão e dor</p> <p>EF: incapacidade de flexionar a AIFD (teste minucioso)</p>	<p>RX: série de mãos. Procurar fratura por avulsão na face palmar da base de F3. Pode estar retraído em direção ao dedo/palma</p>	<p>Classificação de Leddy: Tipo:</p> <ul style="list-style-type: none"> 1: para a palma. Reparo precoce 2: para a AIFP. Reparo < 6 semanas 3: ósseo para A4: RAFI
POLEGAR DO ESQUIADOR			
<ul style="list-style-type: none"> Lesão do ligamento colateral ulnar característica da art. CM do polegar Mecanismo: desvio radial forçado Geralmente um ferimento do bastão do esqui 	<p>HDA: dor, diminuição da força do movimento de pinçamento</p> <p>EF: dor e frouxidão da AMCF em 30° de flexão, massa palpável +/- (Lesão de Stener)</p>	<p>RX: mão, excluir fratura por avulsão</p> <p>Fluoroscopia: comparar a assimetria bilateral</p> <p>RM: se o diagnóstico não for claro</p>	<ul style="list-style-type: none"> Rompimento incompleto (entorse) ou sem lesão de Stener: tala de 4-6 semanas Rompimento completo ou lesão de Stener: reparo primário
<ul style="list-style-type: none"> Lesão de Stener: quando o ligamento colateral lateral (ulnar) rompido fica acima da aponeurose adutora, produzindo uma massa palpável A manobra de estresse da art. CM do polegar em extensão testa a integridade do ligamento colateral acessório e da lâmina palmar 			

TENDÕES



ZONA	LIMITES	COMENTÁRIOS
ZONAS DOS TENDÕES DOS MM. FLEXORES		
I	Distal à inserção do FSD	Lesão de um único tendão (FSD). Reparo primário. O encurtamento do tendão >1 cm resulta em contratura da AIFD. Pode também resultar em efeito quadriga
II	Retináculo dos mm. flexores dos dedos	“Terra de ninguém”. Os dois tendões (do FSD e do FPD) requerem reparo precoce (com 7 dias) e mobilização. Lesões podem ocorrer em diferentes locais de cada tendão e longe do corte da pele. Preservar as “polias” A2 e A4 da bainha fibrosa durante o reparo
III	Palma	Reparo primário. Lesões ao arco arterial e ao nervo mediano são comuns
IV	Túnel do carpo	Deve liberar e reparar o “ligamento carpal transversal” durante o reparo do tendão
V	Punho e antebraço	Reparo primário (+ alguma lesão neurovascular). Os resultados são geralmente favoráveis
Polegar I	Distal à inserção do FLP	Reparo primário do tendão. Taxa de re-ruptura é alta
Polegar II	Retináculo dos mm. flexores do polegar	Reparo primário do tendão. Preservar tanto a “polia” A1 , como também a oblíqua
Polegar	Eminência	Não operar nessa zona. O ramo recorrente (motor) tem risco de ser

III tenar lesionado

ZONAS DOS TENDÕES DOS MM. EXTENSORES

I Articulação IFD “Dedo em Martelo”. Tala de extensão por 6 semanas contínuas

II Falange média Rupturas completas: reparo primário e tala de extensão

III Articulação IFP Lesão no **feixe central**. Tala de extensão por 6 semanas. Se os **“ligamentos triangulares”** romperem também, as **faixas (bandas) laterais** migram para a palma, resultando no dedo em batoeira

IV Falange proximal Reparo primário do tendão (e das faixas [bandas] laterais, se for necessário) seguido de tala de extensão

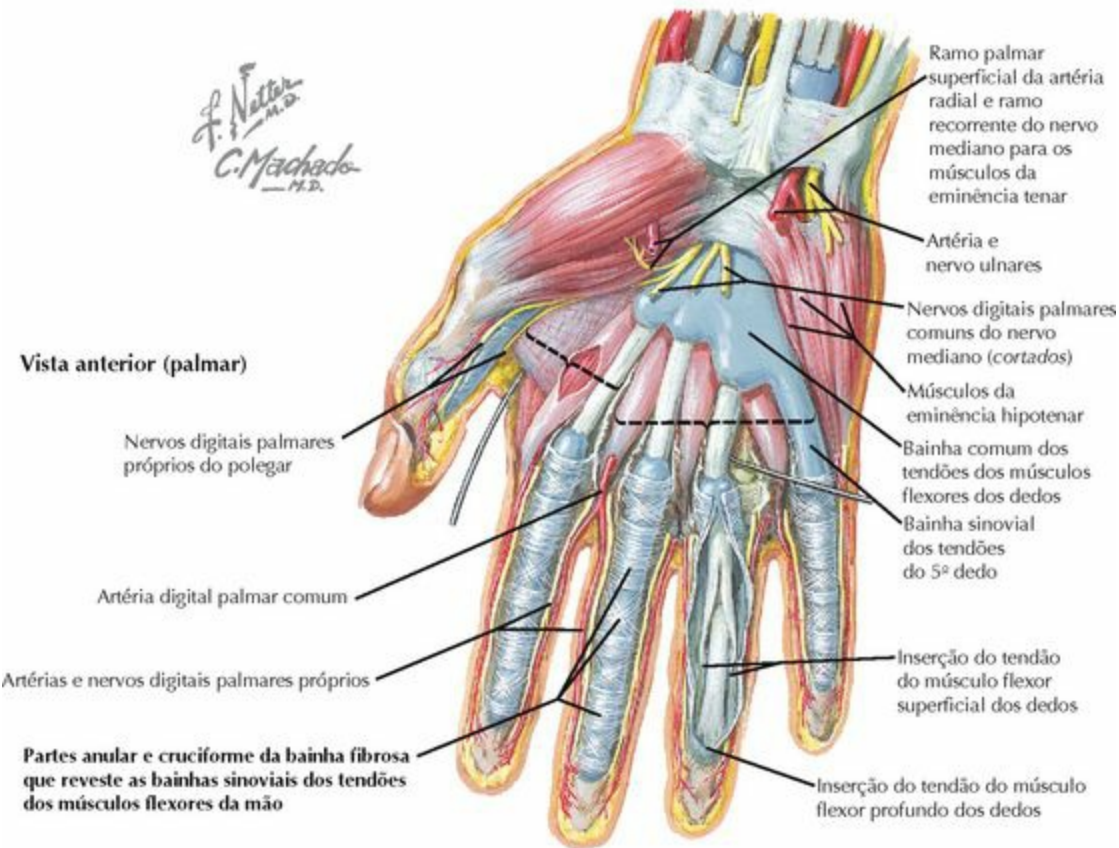
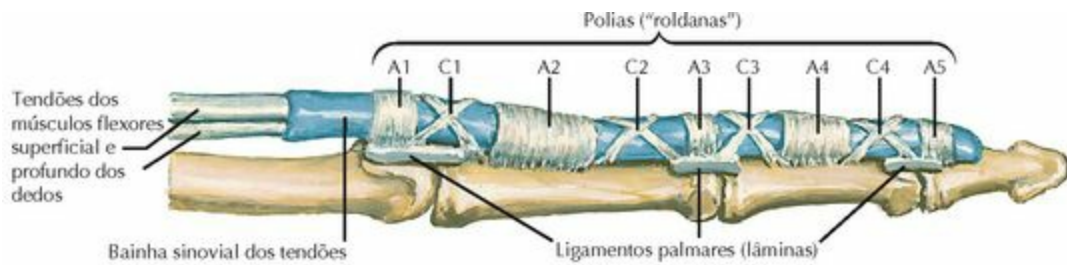
V Articulação MCF Geralmente soco com lesão cortocontusa pelos dentes. É necessário o reparo do tendão e das **faixas (bandas) sagitais**

VI Metacarpal Reparo primário e movimentação precoce/tala dinâmica

VII Punho O retináculo provavelmente será lesionado. Reparo primário do tendão, mobilização precoce/tala dinâmica

VIII Parte distal do antebraço Na junção musculotendínea. Reparo primário do tecido tendíneo com imobilização

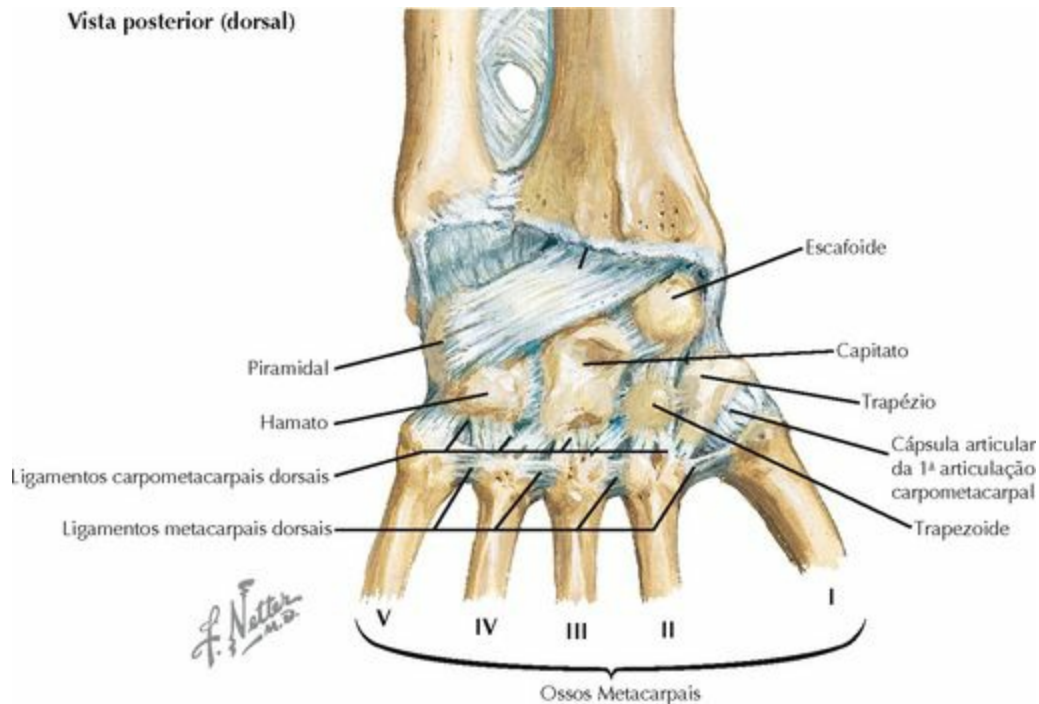
IX Parte proximal do antebraço Frequentemente há lesão muscular. Alto índice de lesão neurovascular. Reparo muscular e imobilização



ESTRUTURA	DESCRIÇÃO	COMENTÁRIO
BAINHA SINOVIAL DOS TENDÕES DOS MM. FLEXORES		
Bainha comum dos tendões dos músculos flexores	Túnel osteofibroso revestido com tenossinóvia Protege, lubrifica e nutre o tendão	Local de possível infecção; procurar por sinais de Kanavel (ver a tabela de Distúrbios)
Polias ("roldanas")	Espessamentos da bainha para estabilizar os tendões – 5 partes anulares (A1[AMCF], A3[AIFP], A5[AIFD] sobre as articulações; A2 e A4 sobre as falanges) e 3 ou 4 partes cruciformes da bainha fibrosa	A2 e A4 (sobre F1 e F2) são mais importantes; devem estar intactas para prevenir a deformidade em "corda de arco" dos tendões A1 pode levar ao dedo "em gatilho" A3 cobre a AIFP e o ligamento palmar (lâmina)
		Os vínculos são arrancados

Vínculos	Os 2 vínculos (longo e curto) garantem a vascularização dos tendões dentro da bainha	na ruptura do FPD do tipo 1 (lesão hipovascular) e ficam preservados nas rupturas dos tipos 2 e 3
Ligamento palmar (“lâmina”)	Espessamento anterior (palmar) da cápsula articular das articulações interfalângicas	Os tendões dos músculos FSD e FPD inserem-se aqui para flexionar a AIFP e a AIFD, respectivamente. Previnem a hiperextensão

ARTICULAÇÕES



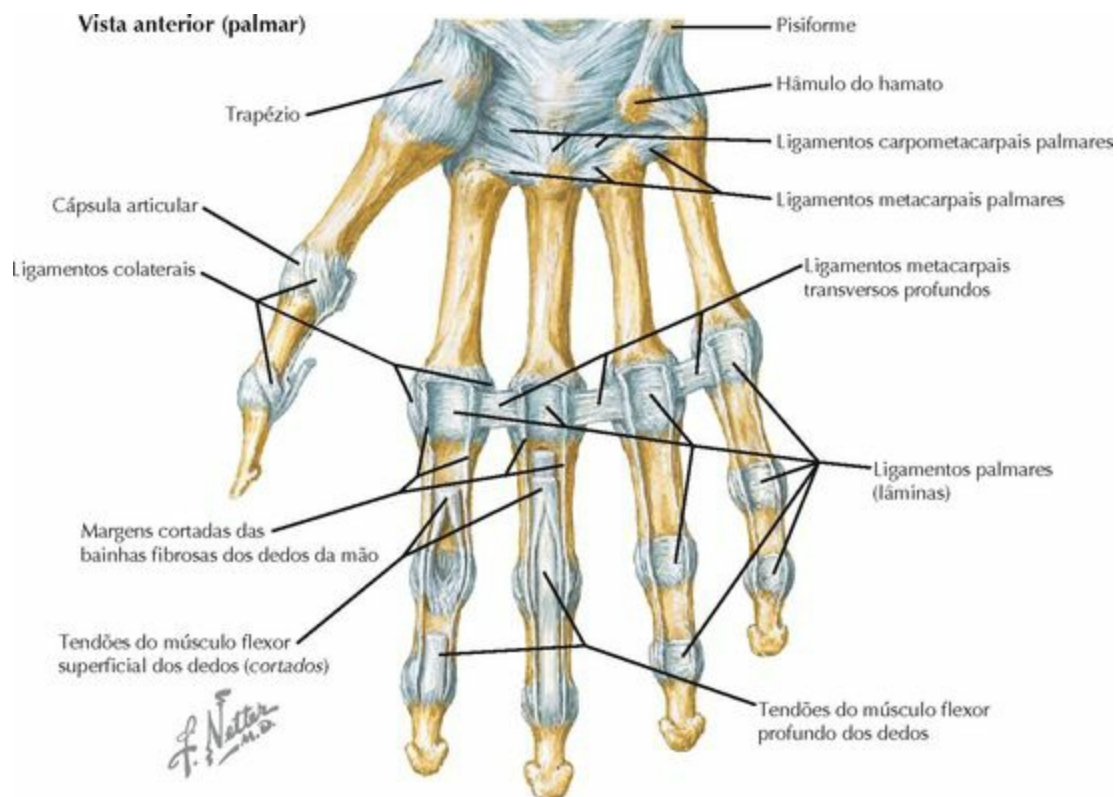
LIGAMENTO	FIXAÇÕES	COMENTÁRIOS
ARTICULAÇÃO CARPOMETACARPAL		
Do Polegar		
<ul style="list-style-type: none"> • Articulação selar. Altamente móvel, apresenta estabilidade óssea e ligamentar. Predisposto a desenvolver osteoartrite • Movimentos primários: flexão, extensão, adução e abdução • Movimentos complexos (combinados): oposição, retropulsão, abdução palmar, abdução/adução radial (lateral) 		
Cápsula articular	Da base do metacarpal ao trapézio	Reveste a articulação e é um estabilizador secundário
“Oblíquo anterior (palmar)”	Da “face ulnar” da base do 1º MC ao tubérculo do trapézio	“Beak” ligament. Fixa os fragmentos na fratura de Bennett . Fornece resistência primária para impedir a subluxação. Lesões podem levar à osteoartrite
“Radial dorsal”	Do dorso do trapézio à região dorsal da base do MC	O mais forte . Fornece suporte radial e dorsal . Rompe na luxação posterior (dorsal)
1º intermetacarpal	Da “face ulnar” da base do 1º MC à “face radial” da base do 2º MC	Previne o desvio radial do 1º MC
“Oblíquo	Do trapézio à região	

posterior”	dorsal da “face ulnar” da base do MC	Estabilizador secundário
“Colateral ulnar”	Da região anterolateral do trapézio à “face ulnar” da base do MC	Limita a abdução e a extensão
“Radial lateral”	Radialmente no trapézio e na base MC	Abaixo da inserção do tendão ALP

Dos Dedos

• Articulações planas. A 2ª e 3ª articulações CMC quase não possuem movimento; assim, em razão desta imobilidade, permitem uma angulação mínima na **fratura metacarpal**. A 4ª e 5ª articulações CMC apresentam maior mobilidade anteroposterior; logo, em razão desta mobilidade, permitem uma angulação maior na **fratura metacarpal**

Cápsula articular	Da base do metacarpal ao carpo	Aumenta a estabilidade
Ligamentos CMC	Da base do metacarpal ao carpo	Ligamentos dorsais (mais fortes), palmares, interósseos
Intermetacarpal	Entre as bases dos ossos metacarpais adjacentes	Aumenta a estabilidade ulnar e radial da articulação CMC



LIGAMENTO	FIXAÇÕES	COMENTÁRIO
-----------	----------	------------

ARTICULAÇÃO METACARPOFALÂNGICA

Do Polegar

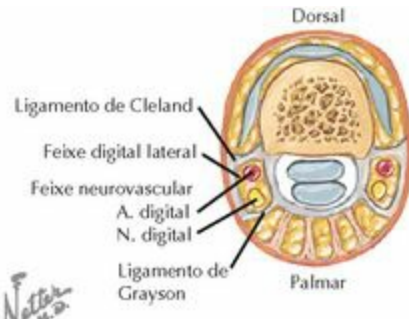
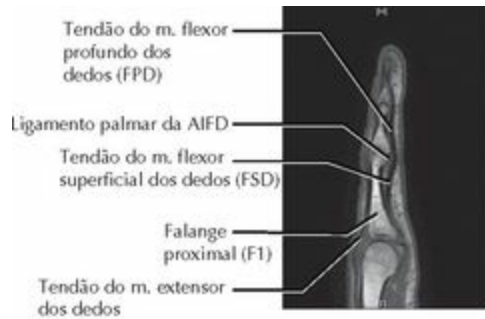
- Articulação sinovial (diartrose). Movimento: primário = flexão e extensão; secundário = rotação, adução, abdução

Cápsula articular	Reveste a articulação	Estabilizador secundário (dorsalmente). Tenso em flexão
Colaterais (“radial e ulnar”)	Da cabeça do metacarpal à região palmar da falange proximal	Estabilizador primário. Tenso em flexão, testar em 30° de flexão O lig. colateral “ ulnar ” é afetado na lesão do polegar do esquiador
Colateral (“parte acessória”)	Do ligamento palmar ao lig. colateral	Tenso em extensão. Testar sua integridade em extensão
Palmar (lâmina)	Da região palmar da cabeça do metacarpal à região palmar da base da falange proximal	Estabilizador primário em extensão. Frouxidão em extensão indica lesão no lig. palmar (+/- “lig. colateral acessório”).

Dos dedos

- Articulação sinovial (diartrose). Movimento: primário = flexão e extensão (ADM 0-90°); secundário = desvio radial e ulnar
- A assimetria da cabeça do metacarpal e da origem do ligamento colateral resulta no efeito de virabrequim (“**cam effect**”) (tenso na flexão e frouxo na extensão)

Cápsula articular	Reveste a articulação	Estabilizador secundário, reflexões sinoviais palmar e dorsal
Colaterais (“radial/lateral e ulnar/medial”)	Da região dorsal da cabeça do MC à região palmar da base da F1	Estabilizador primário, tenso na flexão, frouxo na extensão
Colateral (“parte acessória”)	Da região palmar da cabeça do MC ao lig. palmar (lâmina)	Do palmar aos colaterais; estabilizam os ligamentos palmares
Palmar (lâmina)	Da região palmar da cabeça do MC à região palmar da base da F1	Limita a extensão, suporte palmar
Metacarpal transverso profundo	Entre as cabeças dos metacarpais adjacentes e o lig. palmar das articulações MCF	Conecta os ligamentos palmares, as articulações MCF e os metacarpais Pode prevenir encurtamentos em decorrência de fraturas isoladas dos metacarpais



F. Netter M.D.
JOHN A. CRAIG, D.O.



Nota: Os ligamentos das articulações metacarpofalângica e interfalângica são similares.

LIGAMENTO	FIXAÇÕES	COMENTÁRIOS
-----------	----------	-------------

ARTICULAÇÃO INTERFALÂNGICA PROXIMAL

- Articulações do tipo gínglimo. Movimento primário = flexão e extensão (AIFP: ADM 0-110°, AIFD: ADM 0-60°). Movimento mínimo de rotação ou desvio. Não há efeito virabrequim “cam effect” nesta articulação. A articulação IFP tem propensão ao enrijecimento/**contratura** após lesão e/ou imobilização

Cápsula articular	Reveste a articulação	Estabilizador fraco, especialmente no dorso (o feixe central fornece mais suporte)
Colateral (“radial e ulnar”)	Da parte central da cabeça da F1 à região palmar da F2	Estabilizador primário para os movimentos de desvio. Tensão constante durante toda ADM
Colateral (“parte acessória”)	Da região palmar da cabeça da falange proximal ao lig. palmar (não no osso)	Origem palmar até o eixo de rotação: tenso na extensão, frouxo na flexão Isto pode resultar em contratura (não imobilizar em flexão)
Palmar (lâmina)	Da região palmar da falange média à região palmar da falange proximal (via ligamentos de contenção)	Resiste (impede) primariamente à hiperextensão. Possui fixação distal forte e fixação proximal frouxa (mais propensa à lesão) Os ligamentos “de contenção” geralmente se encurtam após a lesão: contratura

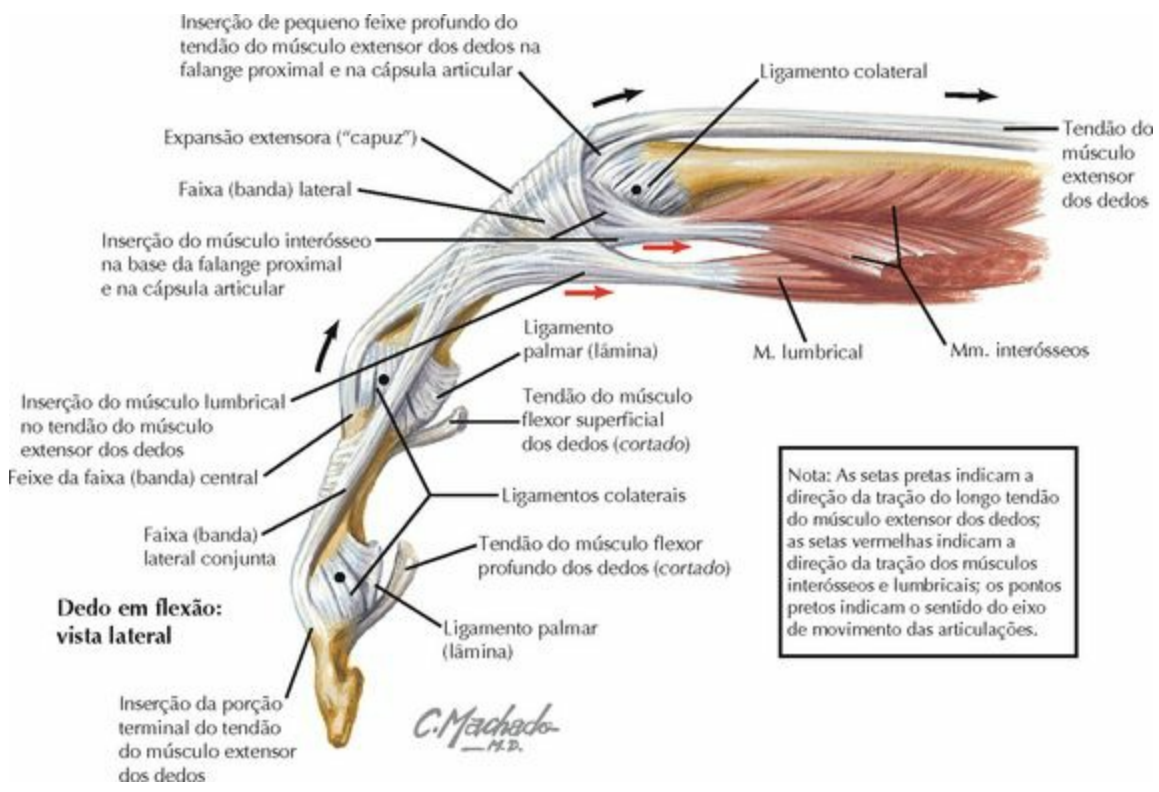
OUTRAS ARTICULAÇÕES INTERFALÂNGICAS

- Articulação interfalângica (AIF) do polegar e articulações interfalângicas distais (AIFD)
- Articulações do tipo gínglimo: Movimento primário = flexão e extensão (AIF: ADM 0°-90°; AIFD: ADM 0°-60°). Mínima rotação ou desvio

Cápsula articular	Reveste as articulações	Estabilizador fraco
Colateral (“radial e ulnar”)	Entre as falanges adjacentes	Similar à AIFP, tensão constante, sem efeito virabrequim
Colateral (“parte acessória”)	Da região palmar aos ligamentos colaterais	Similar ao AIFP, menos propenso à contratura do que a AIFP
Palmar (lâmina)	Região palmar, entre as falanges	Resiste primariamente à hiperextensão, pode ser lesionado

OUTRAS ESTRUTURAS

Ligamento de Grayson	Da bainha dos tendões do m. flexor à pele; da região palmar ao feixe neurovascular	Estabiliza a pele e o feixe neurovascular . Está envolvido na doença/nódulos de Dupuytren
Ligamento de Cleland (lig. cutâneo digital [interfalângico])	Do perióstio à pele	Estabiliza a pele durante a flexão/extensão; da região do dorso até o feixe neurovascular



MOVIMENTO	ESTRUTURA	COMENTÁRIO
	MOVIMENTO ARTICULAR	

Articulação Metacarpofalângica

Flexão	Músculos interósseos	Inserem-se na falange proximal e na faixa (banda) lateral (da região palmar ao eixo de movimento)
	Lumbricais	Inserem-se na faixa (banda) (radial) lateral (região palmar ao eixo de movimento da AMCF)
Extensão	ED pela faixa (banda) sagital	Inserção da faixa (banda) sagital na lâmina palmar, criando um “laço” em torno da base da falange proximal e a articulação estendida por meio do “laço”. ED possui uma inserção mínima na F1 (que não estende a articulação), mas estende as articulações via faixas (bandas) sagitais

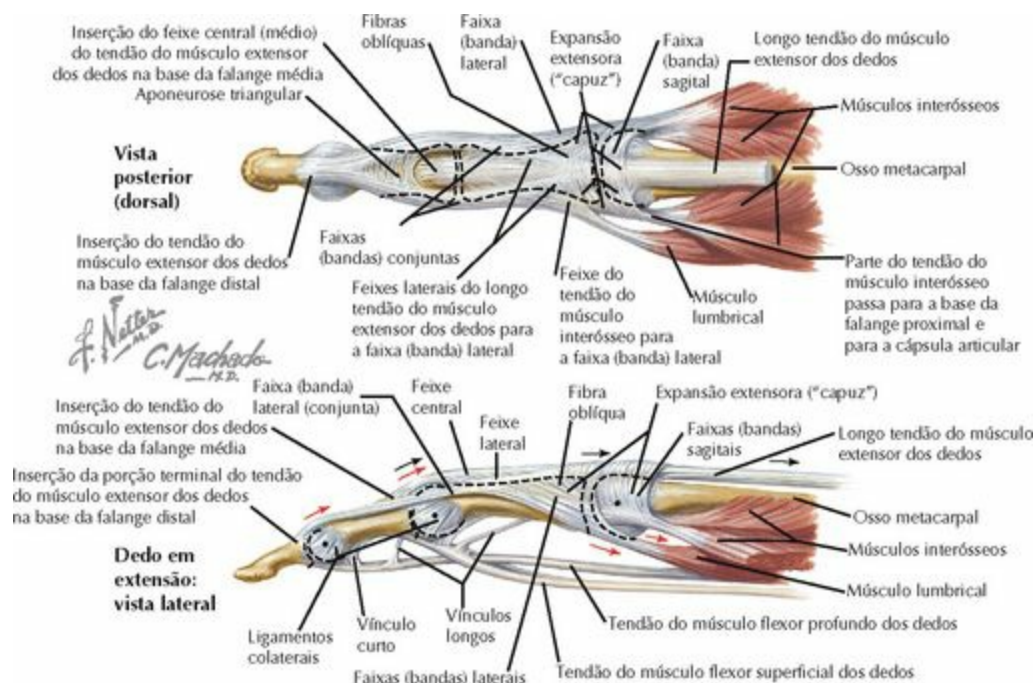
Articulação Interfalângica Proximal

Flexão	Flexor superficial dos dedos (FSD) Flexor profundo dos dedos (FPD)	Flexor primário da AIFP por meio da inserção na região palmar da base da falange média Flexor secundário da AIFP
Extensão	ED via feixe central (faixa/banda)	O feixe central do tendão do ED insere-se na região dorsal da base da F2 para estender a AIFP
	Lumbricais via faixas (bandas) laterais	Possui fixação na faixa (banda) (radial) lateral (dorsal ao eixo de movimento)

Articulação Interfalângica Distal

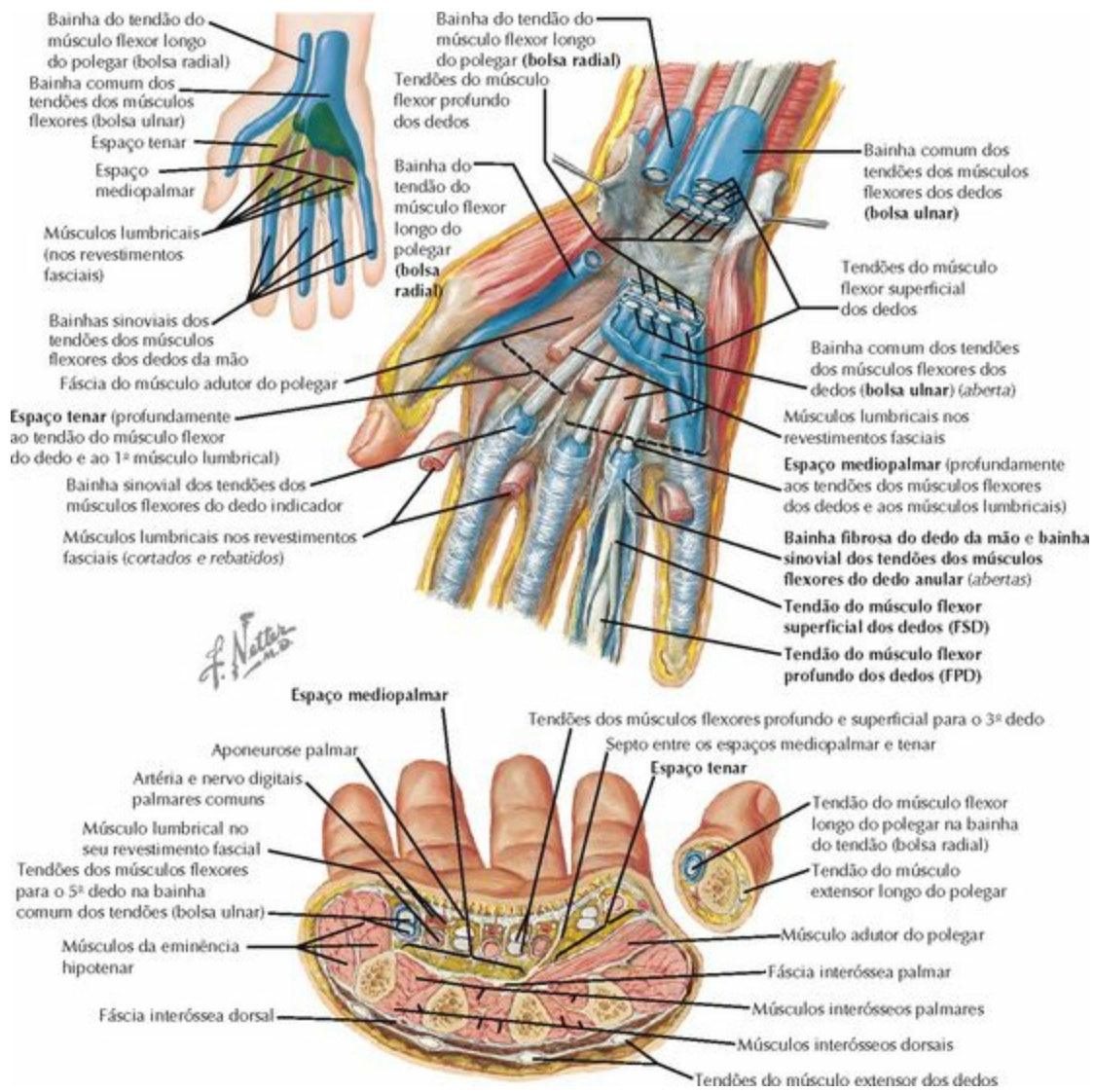
Flexão	Flexor profundo dos dedos (FPD)	O tendão fixa-se na região palmar da base, tracionando através da bainha tendínea
Extensão	ED via porção terminal do tendão do m. extensor dos dedos “Ligamento retinacular oblíquo (LRO)”	A faixa (banda) lateral converge para se inserir na região dorsal da base da F3 Liga a AIFP e a AIFD durante a extensão; estende a AIFD quando a AIFP está estendida

OUTRAS ESTRUTURAS



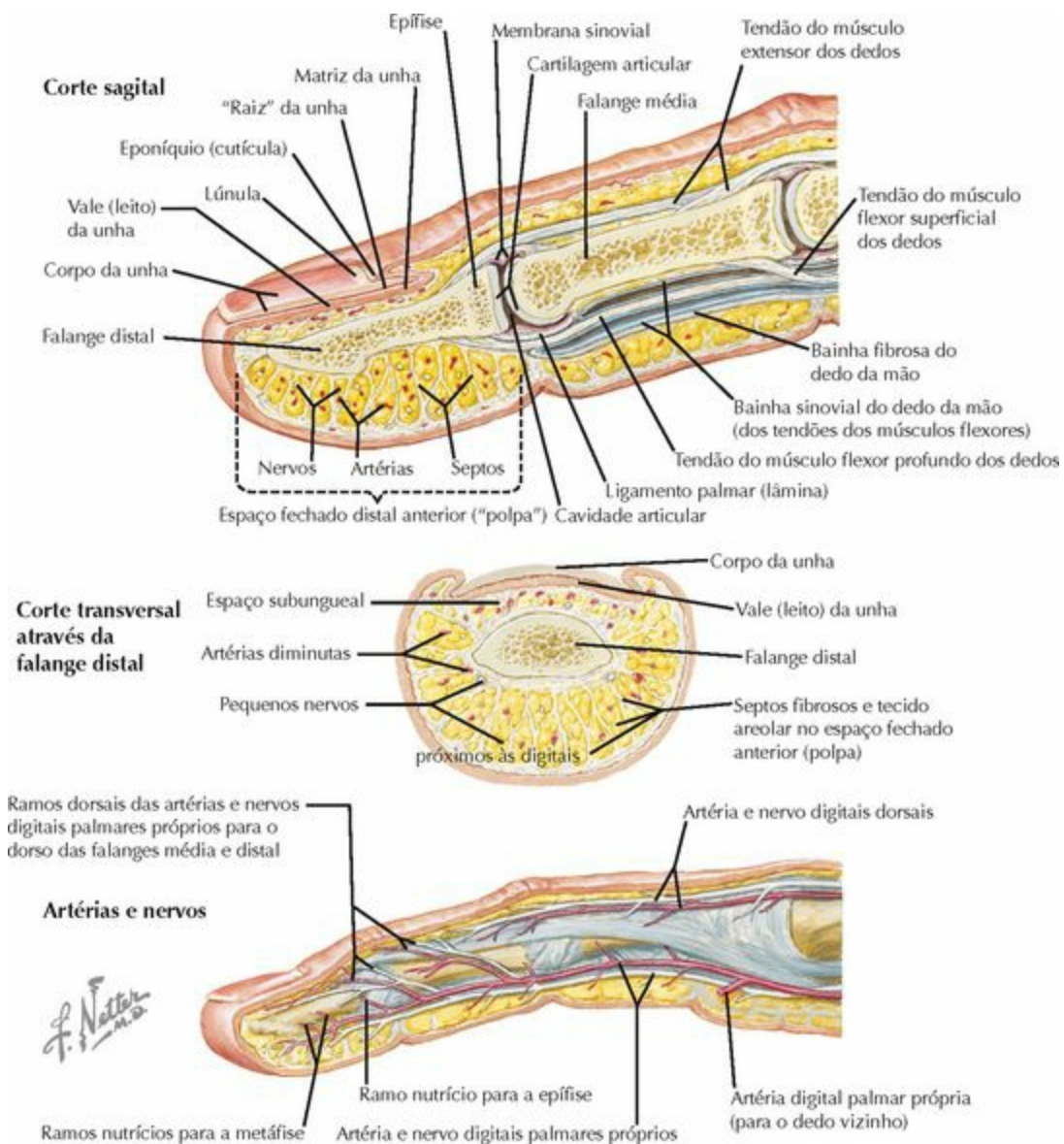
ESTRUTURA	DESCRIÇÃO	COMENTÁRIO
APARELHO INTRÍNSECO		
<ul style="list-style-type: none"> • Aponeurose extensora dorsal (também chamada de expansão extensora, “capuz” dorsal ou “capuz” extensor) 		
^ Faixa (banda) sagital	Inserção na lâmina palmar (F1); o tendão do m. extensor dos dedos (ED) desliza por baixo	Estende a AMCF por um “laço” em torno da base de F1; as faixas (bandas) sagitais radiais (laterais) são fracas e podem se romper
^ Fibras oblíquas	Cobrem a AMCF e a base da falange proximal	Mantêm o ED alinhado (no centro) acima da AMCF
^ Faixas (bandas) laterais	As fibras laterais da expansão extensora conectam as porções tendíneas dos mm. interósseos/lumbricais para formar as faixas (bandas) laterais	Palmar ao eixo da AMCF: flexão da AMCF Dorsal ao eixo da AIFP: extensão da AIFP
<ul style="list-style-type: none"> • Tendão do músculo extensor dos dedos (ED) (extrínseco) desliza por baixo da expansão extensora “capuz dorsal” (para estender a AMCF) antes de se dividir em 3 partes na falange proximal 		
^ Feixe lateral	ED divide-se em 3 partes acima da F1 formando dois feixes laterais	Estes feixes se unem às faixas (bandas) laterais
^ Feixe central	Feixe central da divisão em 3 partes; inserção na base da F2	Extensão da AIFP; rompe na lesão em botoeira
^ Porção		

terminal do tendão do músculo extensor dos dedos	Confluência de duas faixas (bandas) laterais conjuntas na região dorsal da base da falange distal	Extensão da AIFD por meio da inserção na região dorsal da base da F3; sofre avulsão na lesão do dedo em martelo
• Faixa (banda) lateral conjunta	Confluência dos feixes laterais do ED e das faixas (bandas) laterais da aponeurose extensora	Os dois se unem distalmente para fazer a porção terminal do tendão do músculo extensor dos dedos
• “Ligamento retinacular transverso”	Da lâmina palmar da AIFP e da bainha dos mm. flexores para as faixas (bandas) laterais conjuntas	Previne a subluxação dorsal da faixa (banda) lateral conjunta durante a extensão da AIFP
• Ligamento triangular (aponeurose)	Faixas (bandas) transversais sobre F2 conectam ambas as faixas (bandas) laterais conjuntas e a porção terminal do tendão do m. extensor dos dedos	Previne a subluxação palmar da faixa (banda) lateral durante a flexão da AIFP; rompe na lesão em botoeira
• “Ligamento retinacular oblíquo”	Da região palmar da F1 para a região dorsal da F3/porção terminal do tendão do m. extensor dos dedos	Estende a AIFD quando a AIFP está estendida
OUTRAS ESTRUTURAS		
Junção tendínea	Conexões tendíneas entre os tendões do ED para os dedos adjacentes proximalmente à AMCF	Previne extensão completa do dedo quando o dedo adjacente está flexionado (ver pág. 155)



ESPAÇOS DA MÃO

ESTRUTURA	CARACTERÍSTICAS	COMENTÁRIO
Espaço tenar	Entre os tendões flexores e o músculo adutor do polegar	Espaço potencial: local de possível infecção
Espaço mediopalmar	Entre os tendões flexores e os metacarpais	Espaço potencial: local de possível infecção
Espaço de Parona	Entre o tendão flexor e o músculo pronador quadrado. As bainhas flexoras do polegar e do dedo mínimo se comunicam aqui	Espaço potencial: abscesso em ferradura pode ocorrer aqui como trajeto de infecção proximal
Bolsa radial	Extensão proximal da bainha do FLP	A infecção pode ter trajetória proximal
Bolsa ulnar	Comunica-se com a bainha flexora dos tendões do DMin, FSD e FPD	A infecção da bainha comum dos tendões dos mm. flexores pode ter trajetória proximal para a bolsa



ESTRUTURA	CARACTERÍSTICAS	COMENTÁRIO
PONTA DO DEDO		
Unha	Epitélio córneo	Em caso de avulsão completa, considerar substituição para evitar eponíquio e adesão da matriz
Vale (leito)/matriz da unha		
Germinal	Abaixo do eponíquio e do vale da unha para a margem da lúnula	O local em que a unha cresce (1 mm por semana) deve estar intacto (reparado) para o crescimento normal da unha
Estéril	Abaixo da unha, distalmente à lúnula	Adere à unha. O reparo pode prevenir a deformidade da unha
"Polpa"	Múltiplos septos, nervos e artérias	O panarício é uma infecção da "polpa"

Paroníquia

Pregas radial e ulnar da unha

Lugar comum de infecção

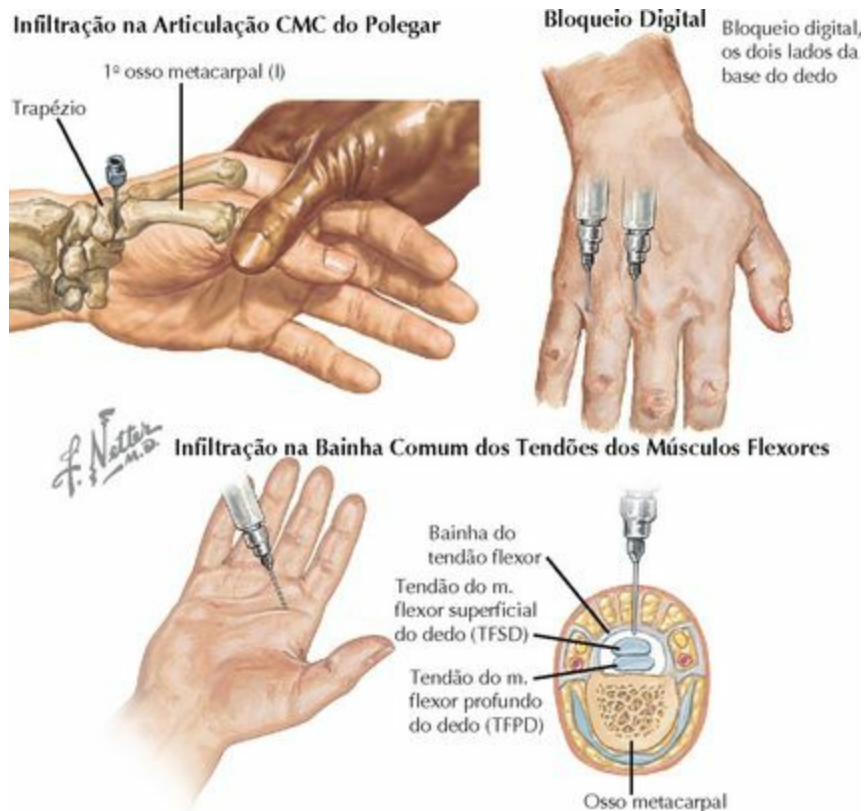
Eponíquio

Prega proximal da unha

Lugar comum de infecção

- A artéria digital é superficial/anterior ao nervo proximalmente, mas passa dorsalmente ao nervo no dedo
- O feixe vasculonervoso palmar supre a parte distal e a ponta do dedo

PROCEDIMENTOS MENORES



PASSOS

INFILTRAÇÃO DA ARTICULAÇÃO CMC DO POLEGAR

1. Perguntar ao paciente sobre alergias
2. Palpar a articulação CMC na região radial/lateral palmar
3. Preparar a pele sobre a articulação (sabão antisséptico/iodo)
4. Anestésiar a pele localmente (1/4 do tamanho do local)
5. Palpar a base do osso MC do polegar, fazer tração axial no polegar, com leve flexão para abrir a articulação. Usar agulha de calibre 22 ou menor e introduzi-la na articulação (se for necessário, usar um intensificador de imagem para confirmar que a agulha está na articulação). **Aspirar** para assegurar que a agulha não atingiu um vaso. Infiltrar 1-2 mL de 1:1 preparação local de corticosteroide (**sem epinefrina**) na articulação CMC. O líquido deve fluir facilmente se a agulha estiver na articulação
6. Fazer um curativo no local da infiltração

BLOQUEIO NA BAINHA COMUM DOS TENDÕES DOS MÚSCULOS FLEXORES

1. Perguntar ao paciente sobre alergias
2. Palpar os tendões dos músculos flexores na prega palmar distal acima da cabeça do osso metacarpal/roldana A1
3. Preparar a pele sobre a palma (sabão antisséptico/iodo)
4. Inserir agulha de calibre 25 no tendão flexor ao nível da prega palmar distal. Retirar a agulha muito suavemente, de modo que fique apenas fora do tendão, mas no interior da bainha. Infiltrar

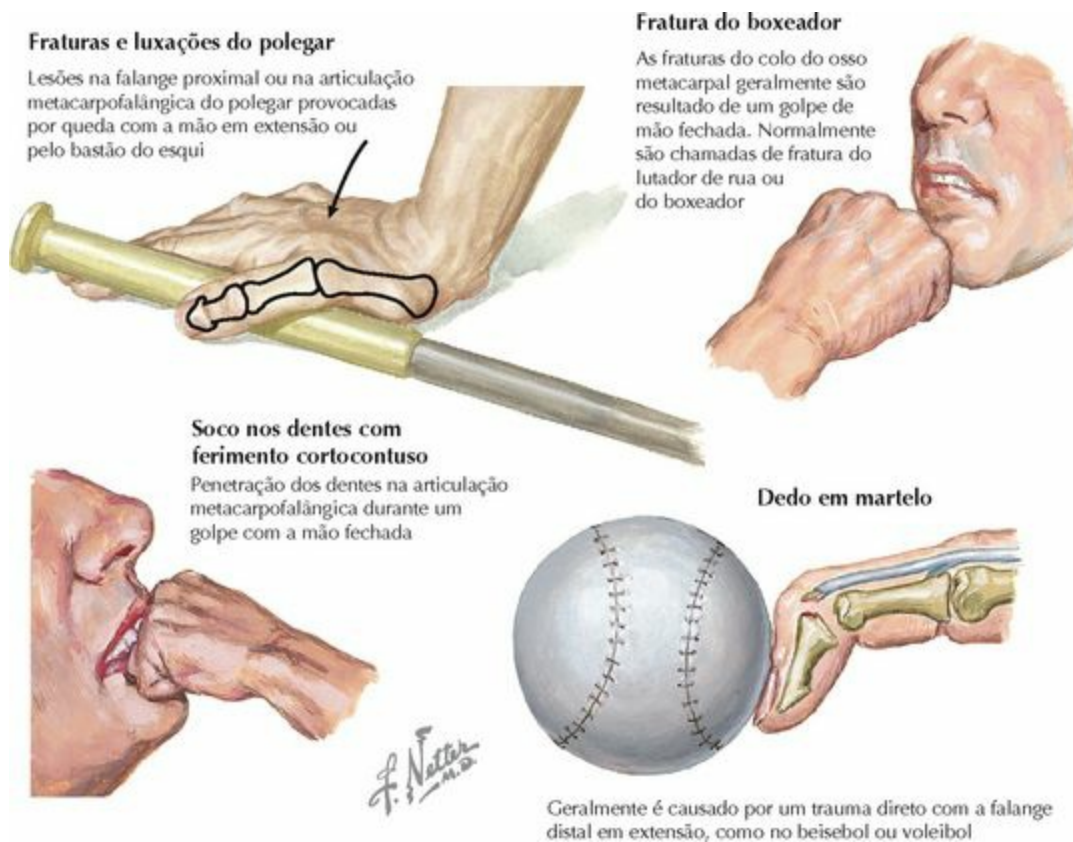
2-3 mL de anestésico local **sem epinefrina** (Adicionar corticosteroide se a infiltração for para o dedo em gatilho.)

5. Fazer curativo no local da infiltração

BLOQUEIO DIGITAL/METACARPAL

1. Preparar a pele sobre o espaço interdigital proximal dorsal (sabão antisséptico/iodo)
2. Inserir agulha de calibre 25 entre as cabeças (“colos”) dos ossos metacarpais (bloqueio metacarpal) ou também dos dois lados da falange proximal (bloqueio digital) no espaço interdigital. **Aspirar** para assegurar que a agulha não atingiu um vaso. Infiltrar 1-2 mL de anestésico local (**sem epinefrina**) dos dois lados do osso. Considerar a possibilidade de ser necessário infiltrar o anestésico também no dorso do dedo (acima do osso)
3. Tomar cuidado para não infiltrar **muito líquido** no espaço fechado da parte proximal do dedo
4. Fazer curativo no local das infiltrações

HISTÓRIA DA DOENÇA ATUAL



PERGUNTA	RESPOSTA	APLICAÇÃO CLÍNICA
1. Mão dominante	Direita ou esquerda	A mão dominante é lesionada com mais frequência
2. Idade	Jovem	Trauma, infecção
	Meia-idade	Artrite, compressão nervosa
3. Dor		
a. Início	Aguda	Trauma, infecção
	Crônica	Artrite
b. Localização	ACMC do polegar	Artrite (OA) especialmente em mulheres
	Articulações MCF, IF	Artrite (osteoartrite, reumatoide)
	Palmar (dedos)	Tenossinovite purulenta (+ sinais de Kanavel)
4. Rigidez	Durante a manhã, há "travamento"/rigidez	Artrite reumatoide
	Prendendo/gatilho	Dedo em gatilho
5. Edema	Depois do trauma	Infecção (p. ex., tenossinovite purulenta, panarício, paroníquia)
	Sem trauma	Dedo em gatilho, artrite, gota e tendinite

6. Massa		Cisto sinovial , contratura de Dupuytren, tumor de células gigantes
7. Trauma	Queda, lesões esportivas	Fratura, luxação, avulsão do tendão, lesão ligamentar
	Ferida aberta	Infecção
8. Atividade	Esportes, mecânica	Trauma (p. ex., fratura, luxação, lesão tendínea ou ligamentar)
9. Sintomas neurológicos	Dor, torpor, formigamento	Compressão nervosa (p. ex., túnel do carpo), síndrome do desfiladeiro torácico, radiculopatia (cervical)
	Fraqueza	Compressão nervosa (normalmente no punho ou mais proximal).
10. História de artrites	Várias articulações envolvidas	Artrite reumatoide, síndrome de Reiter etc.

EXAME FÍSICO

Artrite reumatoide
Deformidade "em botoeira" do dedo indicador com deformidade em "pescoço de cisne" nos outros dedos



Osteoartrite
"Nódulos" de Heberden vistos nas articulações interfalângicas distais dos dedos indicador e médio. "Nódulos" de Bouchard vistos nas articulações interfalângicas proximais dos dedos anular e mínimo



Rotação e desvio do dedo anular
Todos os dedos devem apontar para o escafoide quando a mão é fechada



Compressão do nervo ulnar
Atrofia dos músculos interósseos devido à compressão do nervo ulnar

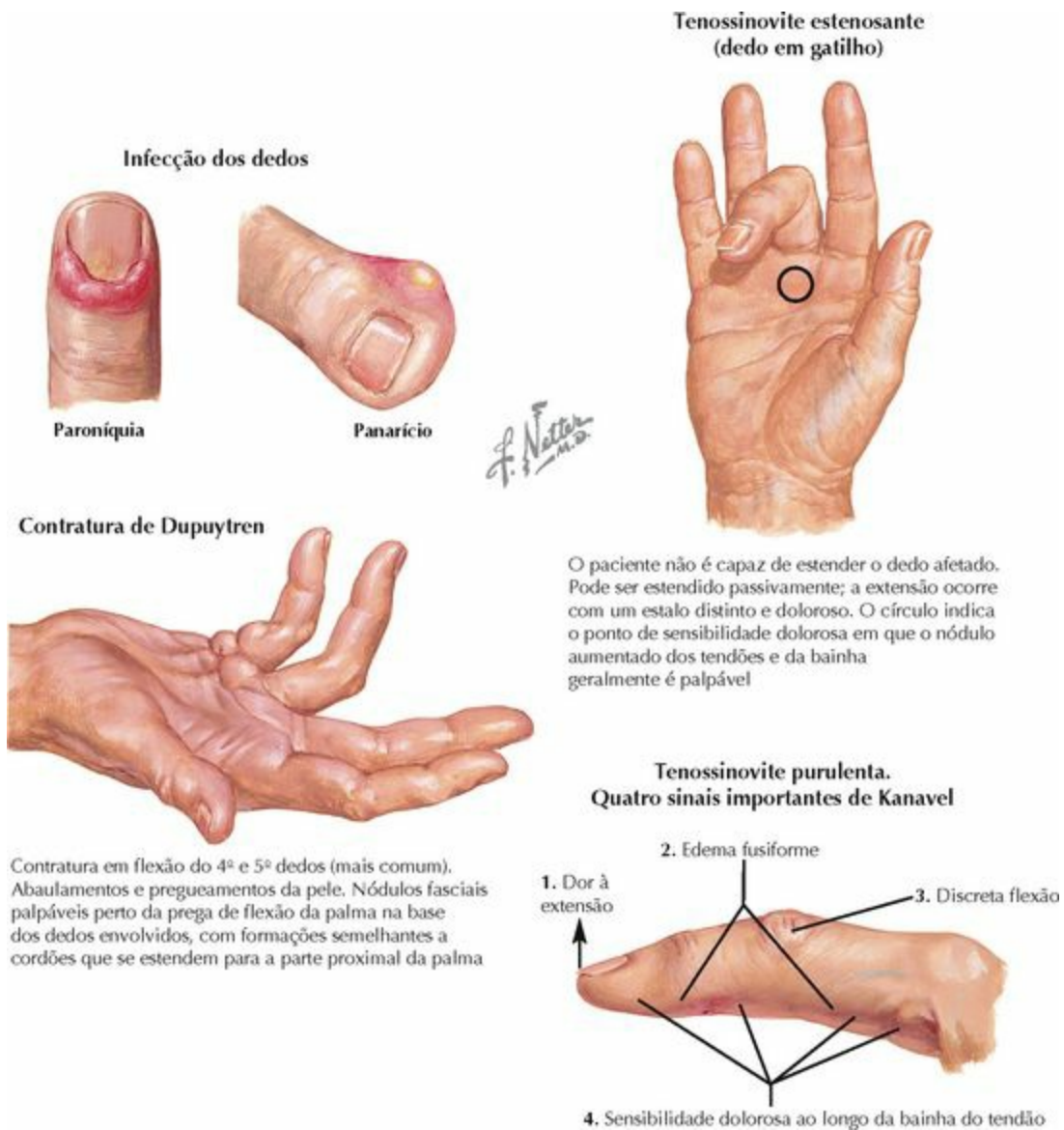


Compressão do nervo mediano
Atrofia dos músculos tenares devido à compressão do nervo mediano

JOHN A. CRAIG, M.D.
F. Netter, M.D.

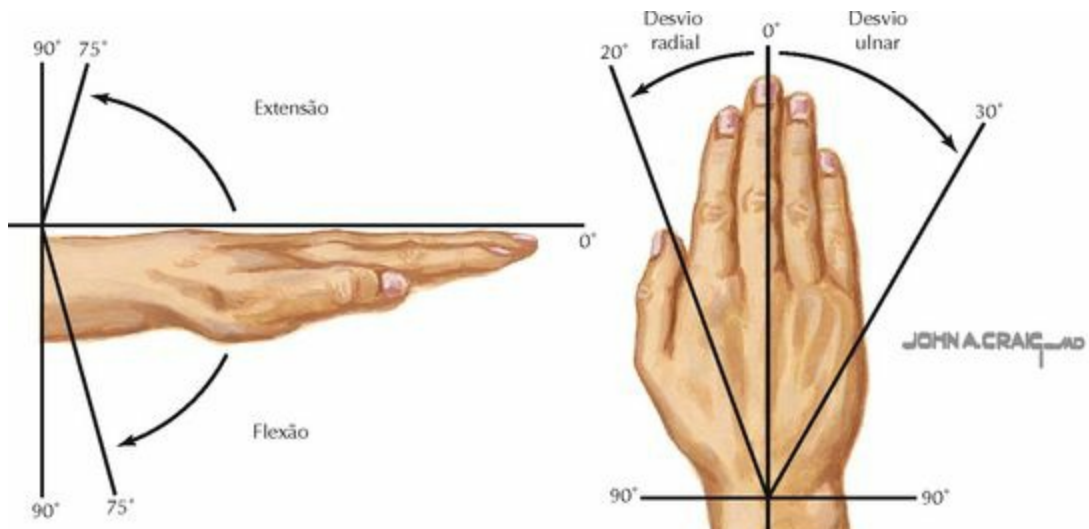
EXAME	TÉCNICA	APLICAÇÃO CLÍNICA
INSPEÇÃO		
Deformidade grosseira	Desvio ulnar/pescoço de cisne, lesão em botoeira	Artrite reumatoide
	Deformidade rotacional ou angular	Fratura
Posição do dedo	Flexão	Contratura de Dupuytren, tenossinovite purulenta
	Rotação dos dedos	Fratura (aguda), consolidação viciosa de uma fratura
Alterações na pele, no cabelo e na unha	Fria, alopecia, unhas côncavas etc.	Doenças neurovasculares: de Raynaud, diabetes, lesão nervosa
		Osteoartrite: "nódulos" de Heberden

Edema	IFD	(nas IFD: nº 1),
	IFP	Nódulos de Bouchard (nas IFP)
	MCF	Artrite reumatoide
	Dedo fusiforme	Tenossinovite purulenta
Atrofia muscular	Eminência tenar	Lesão no nervo mediano, STC , comprometimento de C8/T1
	Eminência hipotenar/mm. intrínsecos	Lesão do nervo ulnar (p. ex., síndrome do túnel cubital)



EXAME	TÉCNICA	APLICAÇÃO CLÍNICA
PALPAÇÃO		
Pele	Quente, vermelha	Infecção
	Fria, seca	Comprometimento neurovascular

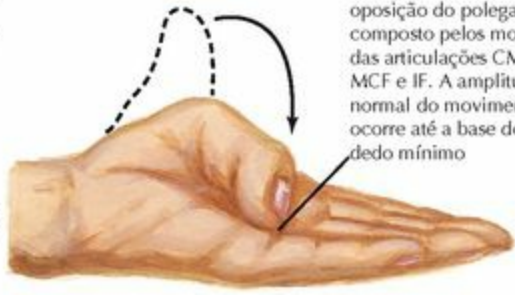
Ossos metacarpais	Em todo seu comprimento	Sensibilidade dolorosa pode indicar fratura
Falanges e articulações dos dedos	Separadamente	Sensibilidade dolorosa: fratura e artrite Edema: artrite
Tecidos moles	Eminência tenar	Atrofia indica lesão no nervo mediano
	Eminência hipotenar	Atrofia indica lesão no nervo ulnar
	Palma (fáscia palmar)	Nódulos: contratura de Dupuytren , estalo na roldana A1 durante a extensão dos dedos: dedo em gatilho
	Tendões dos mm. flexores: ao longo da região palmar do dedo	Sensibilidade dolorosa sugere tenossinovite purulenta
	Todas as partes da ponta dos dedos	Sensibilidade dolorosa: dolorosa paroníquia ou panarício



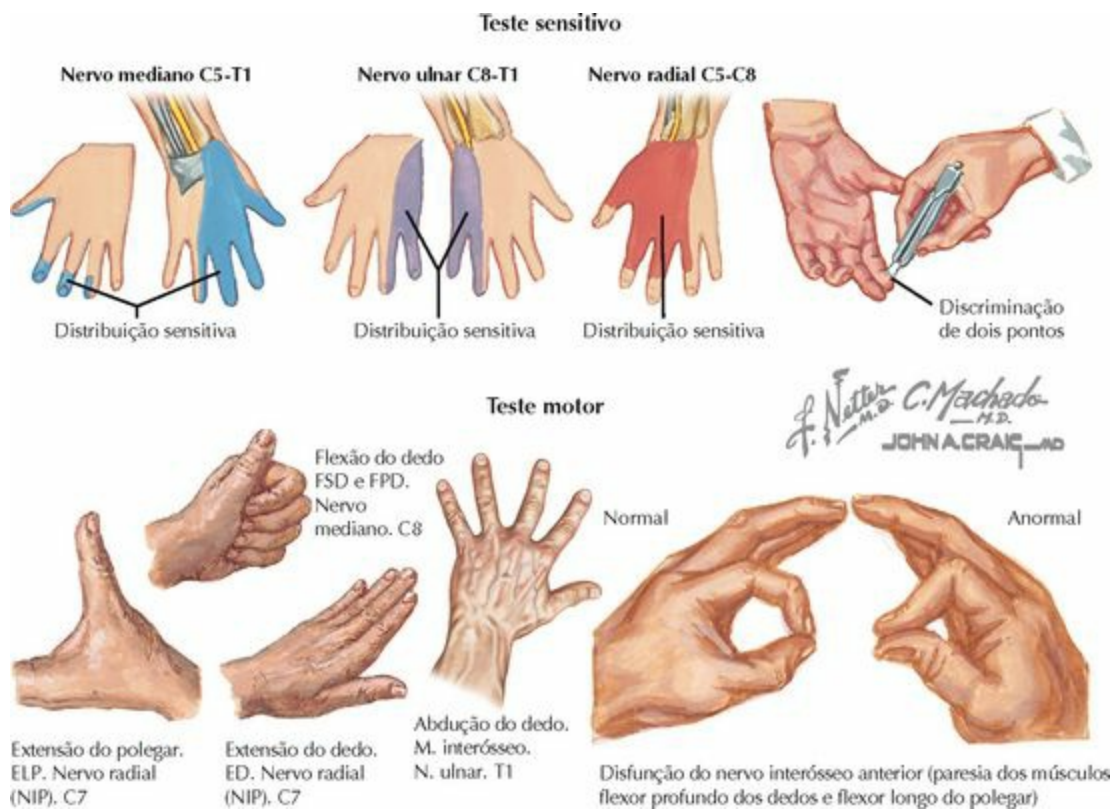
O movimento normal de flexão do dedo é composto pela flexão das articulações MCF, IFP e IFD, permitindo que a ponta do dedo toque a prega palmar distal



O movimento normal de oposição do polegar é composto pelos movimentos das articulações CMC, MCF e IF. A amplitude normal do movimento ocorre até a base do dedo mínimo



EXAME	TÉCNICA	APLICAÇÃO CLÍNICA
AMPLITUDE DE MOVIMENTO		
Dedo		
Articulação MCF	Flexionar 90°, estender 0°, aduzir/abduzir 0°-20°	Redução da flexão se engessado em extensão (ligamentos colaterais encurtam)
Articulação IFP	Flexionar 110°, estender 0°	A hiperextensão conduz à deformidade em “pescoço de cisne”
Articulação IFD	Flexionar 80°, estender 10°	Todos os dedos devem apontar na direção do escafoide em flexão total
Polegar		
Articulação CMC	Abdução radial: flexionar 50°, estender 50°	O movimento é no plano da palma
	Abdução palmar: abduzir 70°, aduzir 0°	O movimento é perpendicular ao plano da palma
Articulação MCF	No plano da palma: flexionar 50°, estender 0°	
Articulação IF	No plano da palma: flexionar 75°, estender 10°	
Oposição	Tocar o polegar na base do dedo mínimo	O movimento ocorre principalmente na articulação MCF



EXAMES**TÉCNICA****APLICAÇÃO CLÍNICA****NEUROVASCULAR****Sensitivo**Nervo radial
(C6)Espaço interdigital
dorsal do polegar

O déficit indica lesão do nervo/raiz correspondente

Nervo
mediano
(C6-C7)Margem radial do
dedo indicador

O déficit indica lesão do nervo/raiz correspondente

Nervo ulnar
(C8)Margem ulnar do
dedo mínimo

O déficit indica lesão do nervo/raiz correspondente

MotorNervo
radial/NIP
(C7)Extensão do dedo na
art. MCF

Fraqueza = m. extensor dos dedos ou lesão do nervo

Abdução/extensão do
polegar

Fraqueza = ALP/ELP ou lesão do nervo/raiz

Nervo
mediano/NIA
(C8)Flexão da art. IFP
dos dedosFraqueza = Lesão do FSD ou do nervo/raiz
correspondenteFlexão da art. IFD do
dedo indicador

Fraqueza = Lesão do FPD ou do nervo (NIA)

Flexão da art. IF do
polegarFraqueza = Lesão do FLP ou do nervo/raiz
correspondenteRamo
recorrente
motor

Oposição do polegar

Fraqueza = ACP, OP, ½ FCP ou lesão do nervo; (STC)

Nervo ulnar
(ramo
profundo)
(T1)

Abdução do dedo

Fraqueza = Lesão dos mm. interósseos dorsal/palmar ou
do nervo

Adução do polegar

Fraqueza = m. adutor do polegar ou lesão do nervo/raiz

Reflexo

Hoffmann

Pinçar a falange
distal do DM na
flexão da AIFDSó é patológico se a AIF do polegar flexionar:
mielopatia**Vascular**Enchimento
capilarComprimir a ponta
do dedo

A cor (sangue) deve retornar em menos de 2 segundos

Teste de
AllenOcluir as artérias
radial e ulnar, então
liberar uma delasAs mãos devem ficar rosas se a artéria que foi liberada
e os arcos estiverem patentes. Se a coloração “rosada”
não retornar = lesão arterial

Doppler

Arcos, pulsos
digitaisUsar se estiver em dúvida a respeito de pulsos/vasos
patentes

Sinal de Froment Positivo



Quando segurar um pedaço de papel entre os dedos polegar e indicador, a articulação IF do polegar irá flexionar, se o músculo adutor do polegar estiver fraco (paralisia do nervo ulnar)

F. Netter M.D.
K. Marzani
JOHN A. CRAIG, MD

Teste de Elson

Feixe central do tendão do m. extensor dos dedos está normal (intacto)



Feixe central do tendão do m. extensor dos dedos está anormal (rompido)



Teste de instabilidade do polegar

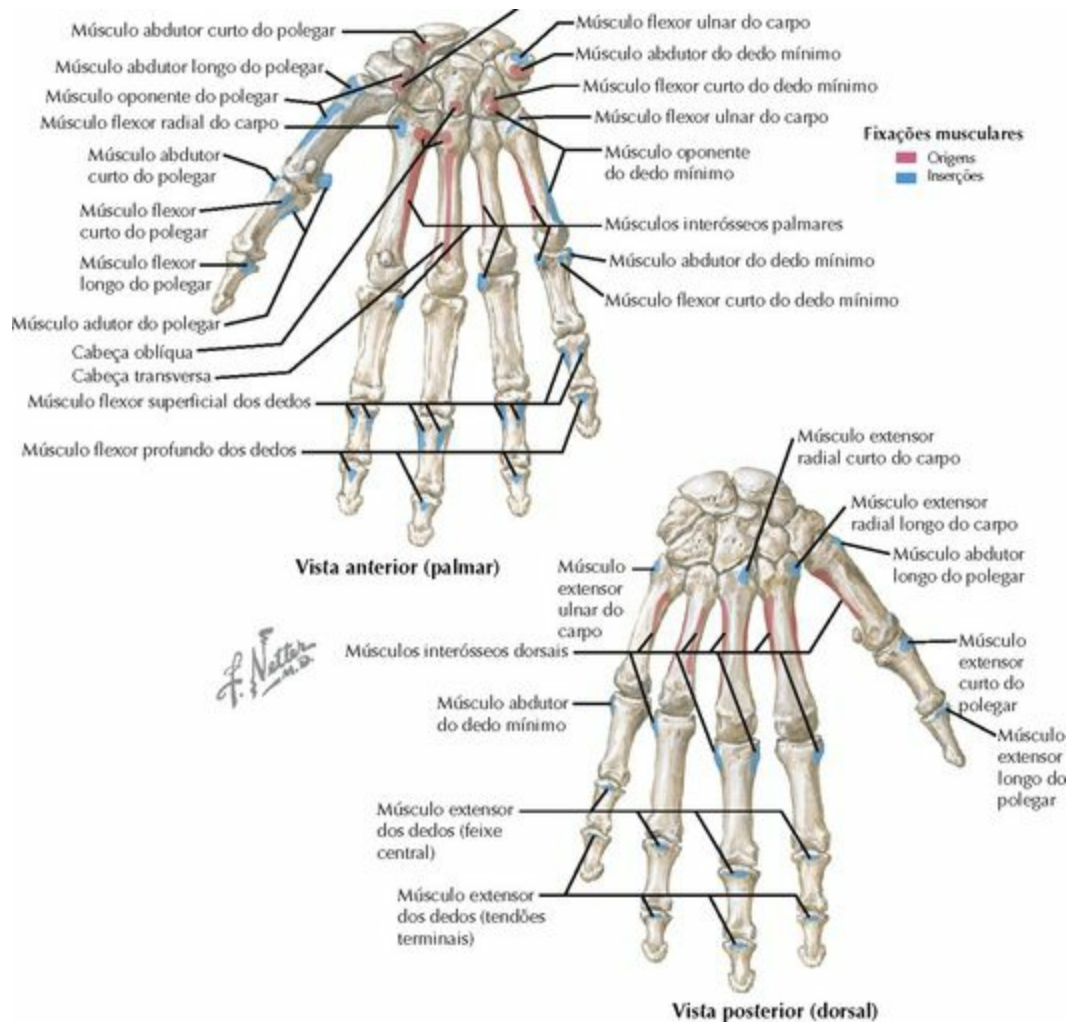
Teste de tensão (estresse) para o ligamento colateral ulnar rompido do polegar (polegar do esquiador)



EXAME	TÉCNICA	APLICAÇÃO CLÍNICA
TESTES ESPECIAIS		
Teste profundo	Estabilizar a AIFP em extensão, flexionar apenas a AIFD	Incapacidade para flexionar só a AIFD indica doença do FPD
Teste do flexor superficial	Estender todos os dedos, flexionar um só dedo na AIFP	Incapacidade de flexionar a AIFP de um dedo isolado indica doença do FSD
Sinal de Froment	Segurar papel com o polegar e com o indicador; puxar o papel	A flexão positiva da AIF sugere paralisia do m. adutor do polegar e/ou do nervo ulnar
Teste de atrito na articulação CMC	Compressão axial e rotação da articulação CMC	Dor indica artrite na articulação CMC do polegar
Teste de instabilidade do dedo	Estabilizar a articulação proximal; aplicar estresse em varo e valgo	Lassidão indica lesão no ligamento colateral

<p>Teste de instabilidade do polegar</p>	<p>Estabilizar a AMCF, aplicar estresse em valgo em extensão e em 30° de flexão</p>	<p>Lassidão em 30°: lesão do ligamento colateral ulnar Lassidão em extensão: lesão do ligamento colateral acessório e/ou da lâmina palmar</p>
<p>Teste Bunnell-Littler</p>	<p>Estender a AMCF, flexionar passivamente a AIFP</p>	<p>A flexão forçada da AIFP ou a incapacidade de flexioná-la indica músculos intrínsecos rígidos</p>
<p>Teste de Elson</p>	<p>Flexionar a AIFP a 90° acima da borda da mesa e aplicar resistência à extensão na F2</p>	<p>A extensão rígida da AIFD (por meio das faixas [bandas] laterais) indica lesão do feixe central do tendão do m. extensor dos dedos (lesão em botoeira)</p>

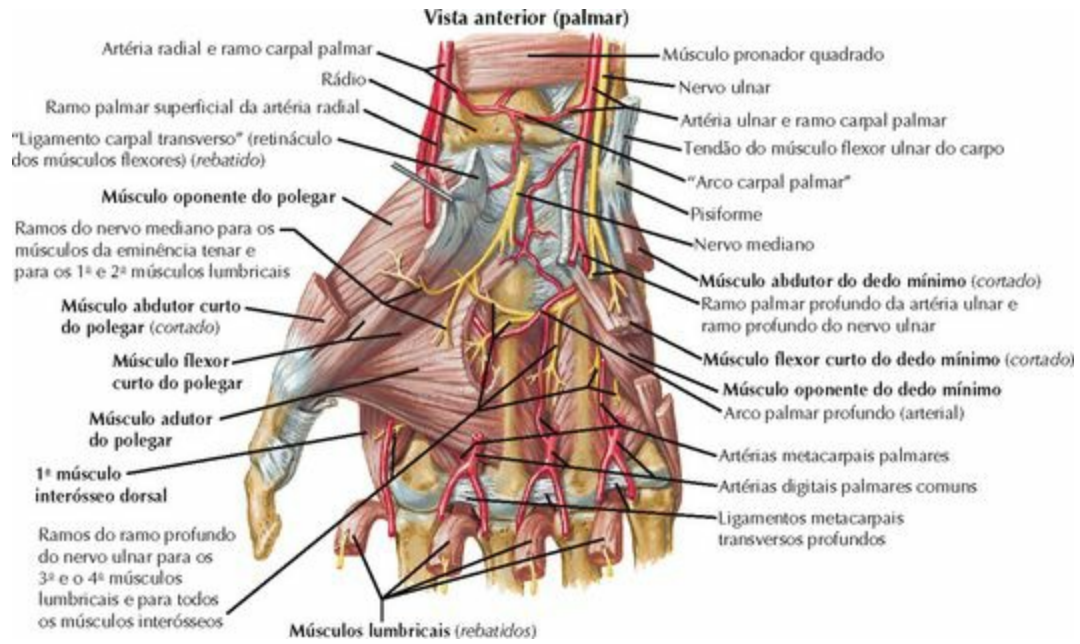
ORIGENS E INSERÇÕES



CARPO	METACARPO	FALANGES – DORSO	FALANGES – PALMA
Trapézio M. abductor curto do polegar M. flexor curto do polegar M. oponente do polegar Capitato M. adutor do polegar Hamato M. flexor curto do dedo mínimo M. oponente do dedo mínimo Pisiforme M. abductor do dedo mínimo	M. interósseo dorsal M. interósseo palmar M. adutor do polegar M. abductor longo do polegar M. oponente do polegar M. oponente do dedo mínimo M. flexor radial do carpo M. flexor ulnar do carpo M. extensor radial longo do carpo M. extensor radial curto do carpo M. extensor ulnar do carpo	Falange proximal M. extensor curto do polegar Mm. interósseos dorsais M. abductor do dedo mínimo Falange média M. extensor dos dedos (feixe central) Falange distal M. extensor longo do polegar M. extensor dos dedos (porção terminal do tendão)	Falange proximal M. abductor curto do polegar M. flexor curto do polegar M. adutor do polegar Mm. interósseos palmares M. flexor curto do dedo mínimo M. abductor do dedo mínimo Falange média M. flexor superficial dos dedos Falange distal M. flexor longo do polegar M. flexor profundo dos dedos

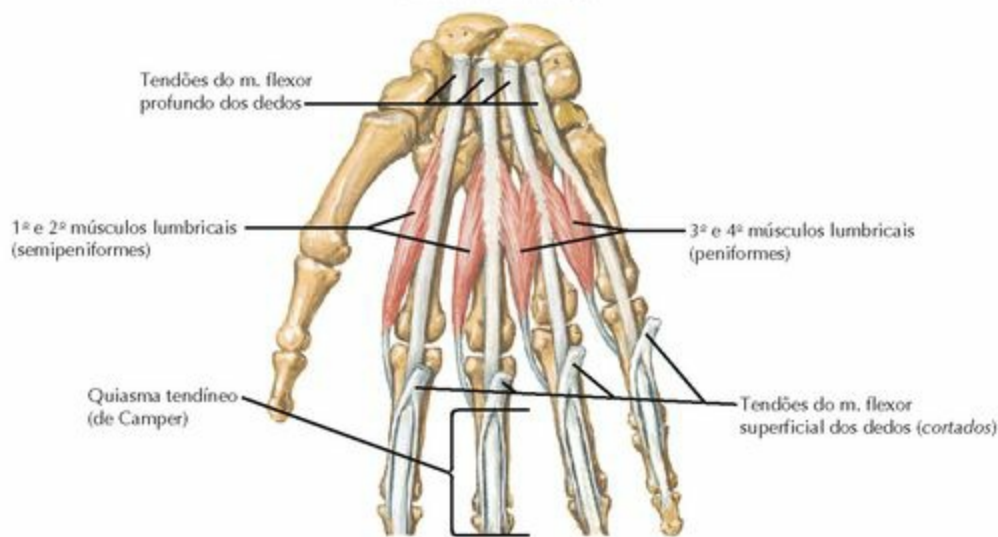
Os músculos lumbricais originam-se no tendão do músculo flexor profundo dos dedos (FPD) e inserem-se nas faixas (bandas) laterais

MÚSCULOS



MÚSCULO	ORIGEM (Inserção Proximal)	INSERÇÃO (Inserção Distal)	NERVO	AÇÃO	COMENTÁRIO
COMPARTIMENTO TENAR					
Abdutor curto do polegar (ACP)	Escafoide, trapézio	Região lateral da falange proximal do polegar	Mediano	Pronação palmar	Músculo primário no movimento de oposição
Flexor curto do polegar 1. Cabeça superficial 2. Cabeça profunda	"Ligamento carpal transverso" Trapézio	Base da falange Proximal do polegar	Mediano Ulnar	Flexão da AMCF do polegar	O músculo possui inervação dupla
Oponente do polegar	Trapézio	Região lateral do MC do polegar	Mediano	Oposição (flexão/abdução) do polegar	Pronação/estabilização da art. MCF do polegar
COMPARTIMENTO ADUTOR					
Adutor do polegar 1. Cabeça oblíqua 2. Cabeça transversa	1. Capitato, 2ª e 3ª MC 2. 3ª MC	Base ulnar da falange proximal do polegar	Ulnar	Adução do polegar e flexão da MCF do polegar	Testar a função com o teste Froment
COMPARTIMENTO HIPOTENAR					
Palmar curto (PC)	"Ligamento carpal transverso" (LCT)	Pele na parte medial da palma	Ulnar	Enruga a pele	Protege o nervo ulnar
Abdutor do dedo mínimo (ADMin)	Pisiforme (tendão do FUC)	Base ulnar da falange proximal	Ulnar	Abdução do DMin	Nervo e artéria ulnar abaixo dele
Flexor curto do dedo mínimo (FCDMin)	Hamato (LCT)	Base da falange proximal do DMin	Ulnar	Flexão da AMCF do DMin	Profundo ao ADMin e nervo
Oponente do dedo mínimo (ODMin)	Hamato (LCT)	Região medial do 5ª MC	Ulnar	Oposição do DMin (flexão e supinação)	Profundo aos outros músculos
<ul style="list-style-type: none"> • Os músculos abdutores são superficiais; os músculos oponentes são profundos • O ramo recorrente (motor) do n. mediano inerva os músculos tenares e os dois mm. lumbricais laterais/radiais • O ramo profundo do n. ulnar inerva os mm. hipotenares, adutor do polegar, interósseos e os dois lumbricais mediais/ulnares 					

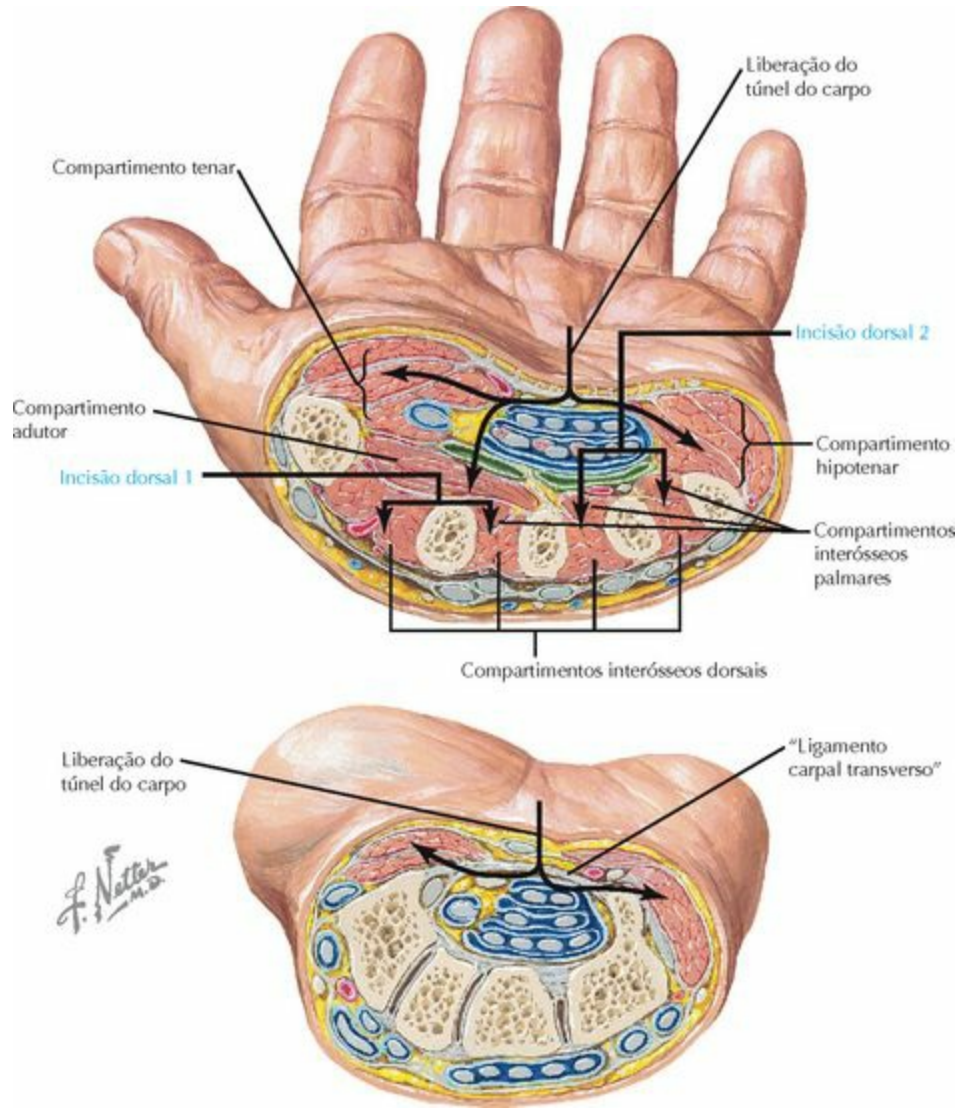
Músculos lumbricais



Músculos interósseos



MÚSCULO	ORIGEM (Inserção Proximal)	INSERÇÃO (Inserção Distal)	NERVO	AÇÃO	COMENTÁRIO
INTRÍNSECOS					
Lumbricais 1 e 2	Tendões do FPD (lateral 2)	Faixas (bandas) laterais	Mediano	Estende AIFP, flexiona AMCF	Únicos músculos do corpo a se inserirem em seus próprios antagonistas (FPD). Anterior aos ligamentos MC transversos profundos
Lumbricais 3 e 4	Tendões do FPD (medial 3)	Faixas (bandas) laterais	Ulnar	Estende a AIFP, flexiona a AMCF	
Interósseo dorsal (IOD)	Ossos metacarpais adjacentes	Falange proximal e expansão extensora (faixas (bandas) laterais)	Ulnar	Abdução dos dedos Flexão da AMCF	DAB: "os Dorsais Abduzem" Peniforme: cada ventre possui uma inserção separada
Interósseo palmar (IOP)	Ossos metacarpais adjacentes	Expansão extensora (faixas (bandas) laterais)	Ulnar	Adução dos dedos	PAD: "os Palmares Aduzem" Semipeniforme



CONTEÚDO

COMPARTIMENTO

COMPARTIMENTOS (10)

Tenar	Músculos abdutor curto do polegar, flexor curto do polegar e oponente do polegar
Hipotenar	Músculo abdutor do dedo mínimo, flexor curto do dedo mínimo e oponente do dedo mínimo
Adutor	Músculo adutor do polegar
Interósseo palmar (3)	Músculos interósseos palmares
Interósseo dorsal (4)	Músculos interósseos dorsais

FASCIOTOMIAS

Incisões	3 incisões (2 dorsais e 1 liberação do túnel do carpo) podem liberar todos os compartimentos
Dorsal (1)	Sobre o 2º MC, dissecar dos 2 lados: liberação lateral/radial de 2 interósseos (2 dorsais e 1 palmar)

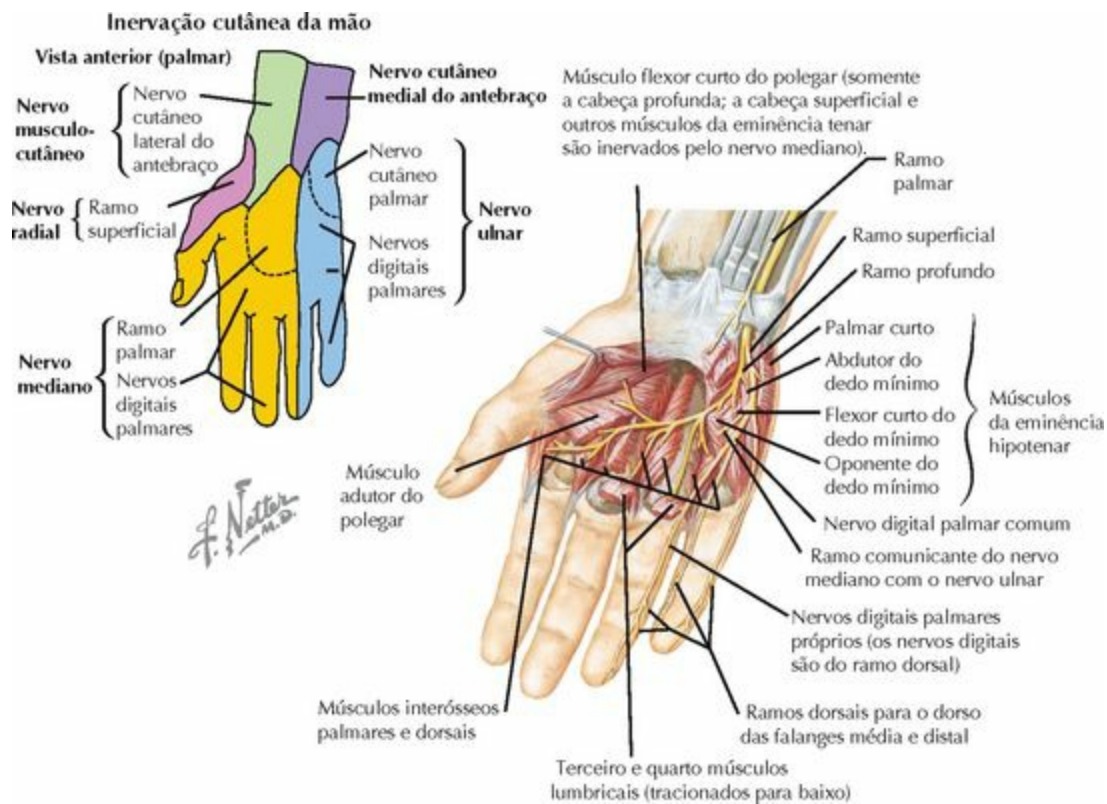
Dorsal (2)

Sobre o 4º MC, dissecar dos 2 lados: liberação medial/ulnar de 4 interósseos (2 dorsais e 2 palmares)

Medial

Liberação do “ligamento carpal transversal” e, em seguida, dos compartimentos tenar, hipotenar e adutor

NERVOS



PLEXO BRAQUIAL

Fascículo Medial

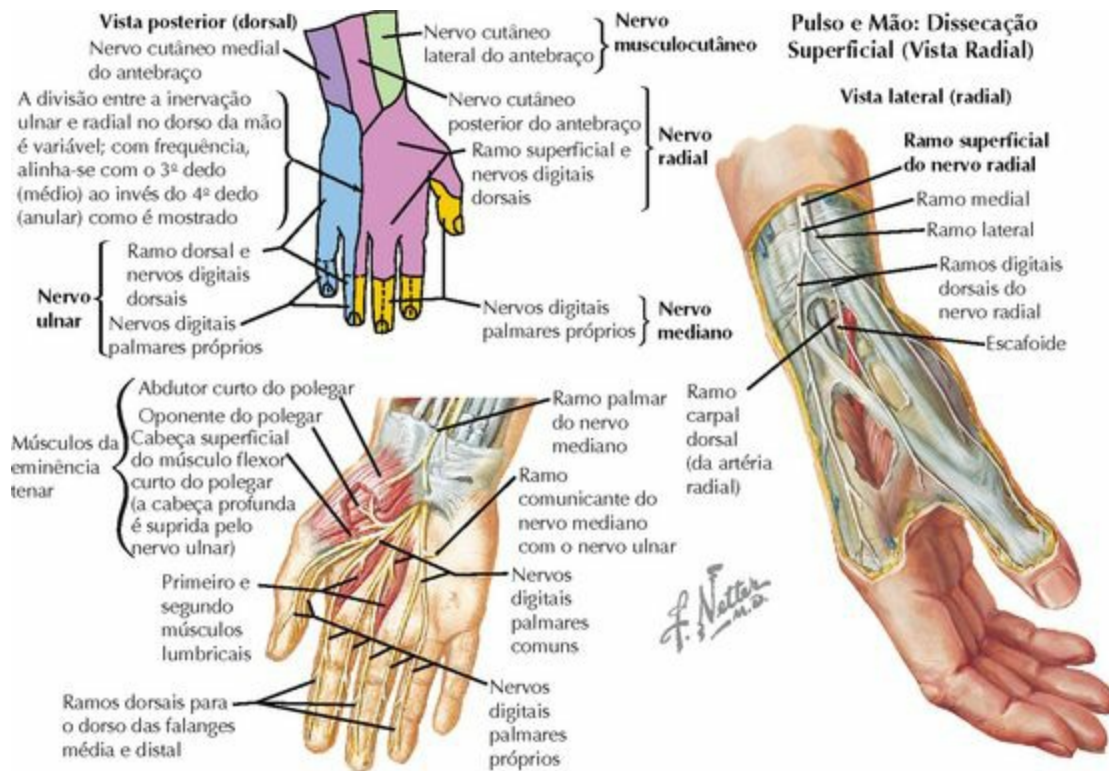
N. ulnar (C[7] 8-T1): passa pelo antebraço abaixo do FUC, sobre o FPD. O **ramo dorsal** (cutâneo) divide-se proximalmente a 5 cm do punho. Esse nervo continua na região ulnar da face dorsal dos dedos como **nervos digitais dorsais**. O nervo ulnar entra no **canal de Guyon** e então divide em ramos **superficial** (sensitivo) e **profundo** (motor). O ramo profundo contorna o hâmulos do hamato e passa junto com o **arco palmar profundo (arterial)**. O ramo superficial continua na face palmar dos dedos como **nervos digitais palmares**.

<i>Sensitivos:</i>	Região ulnar do dorso da mão: via ramo dorsal Região dorsal dos dedos mínimo e anular: via nervos digitais dorsais Região ulnar (medial) proximal da palma: via ramo palmar Região ulnar (medial) distal da palma: via nervo digital palmar comum Região palmar dos dedos mínimo e anular: via nervos digitais palmares próprios
--------------------	---

- Ramo superficial** (sensitivo)
- Palmar curto – apenas um músculo é inervado por esse ramo
- Ramo profundo** (motor): segue com o arco palmar profundo (arterial)
- Compartmento hipotenar
 - Abductor do dedo mínimo (ADMin)
 - Flexor curto do dedo mínimo (FCDMin)
 - Oponente do dedo mínimo (ODMin)

Motor:

- Compartimento adutor
 - Adutor do polegar
- Músculos intrínsecos
 - Lumbricais (medial dois [3,4])
 - Interósseos dorsais (IOD)
 - Interósseos palmares (IOP)
- Compartimento tenar
 - Flexor curto do polegar (FCP) – apenas a **cabeça profunda**



PLEXO BRAQUIAL

Fascículos Lateral e Medial

N. mediano (C[5]8-T1): passa pelo antebraço sobre o FPD. O **ramo palmar** (cutâneo) ramifica-se proximalmente ao túnel do carpo. O nervo mediano passa pelo túnel do carpo. O **ramo recorrente motor** surge distalmente ao “ligamento carpal transversal” (LCT) e supre os músculos da eminência tenar. Variações anatômicas incluem a saída através (**em risco** na liberação do túnel do carpo) ou abaixo do LCT. O restante do nervo é sensitivo e inerva a região radial palmar de 3½ dedos.

Sensitivo:

Palma: **via ramo palmar** (cutâneo)

Região palmar do polegar, DI, DM, região radial do DA: via **nervos digitais palmares**

Região dorsal e distal do polegar, DI, DM, região radial do DA: via **nervos digitais palmares próprios**

Ramo recorrente motor

Motor:

- Compartimento tenar
 - Abductor curto do polegar (ACP)
 - Oponente do polegar
 - Flexor curto do polegar (FCP) – apenas a **cabeça superficial**
- Músculos intrínsecos
 - Lumbricais (lateral dois [1,2])

Fascículo Posterior

Radial (C5-T1): o ramo superficial passa abaixo do m. braquiorradial até o punho, então se bifurca em ramos medial e lateral que suprem o dorso da mão e o espaço interdigital do polegar. Eles continuam como **nervos digitais dorsais** até a região dorsal dos dedos

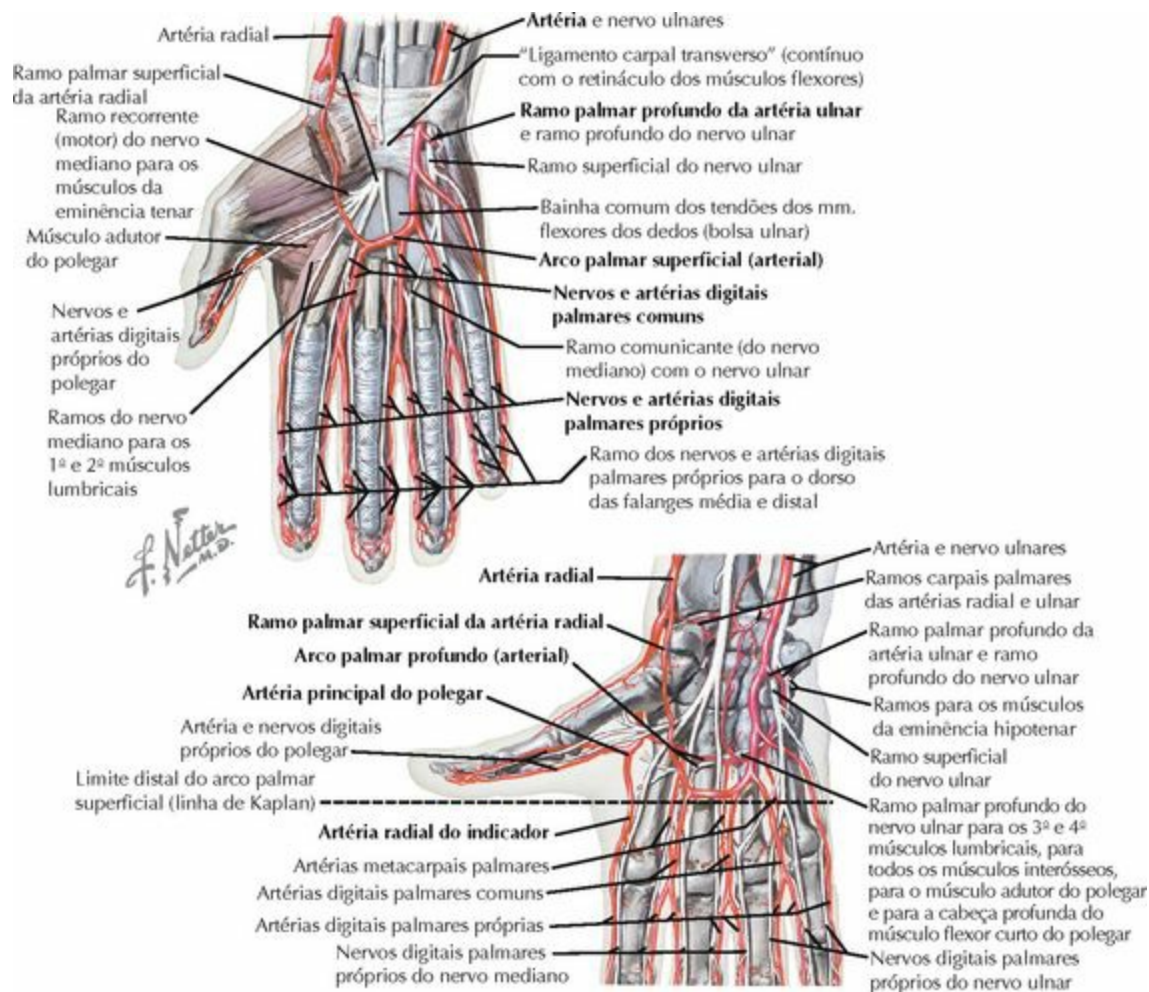
Sensitivo:

Região dorsal radial da mão: via **ramo superficial**
Região dorsal e proximal do polegar, DI, DM, região radial do DA: via **nervos digitais dorsais**

Motor:

Nenhum (na mão)

ARTÉRIAS



TRAJETO

RAMOS

COMENTÁRIO/IRRIGAÇÃO

- **Artéria radial:** no punho, se divide e emite o **ramo superficial**, que se anastomosa com o arco palmar superficial. O **ramo profundo** passa através do ventre muscular do **1^o músculo interósseo dorsal** e termina como **arco palmar profundo**
- **Artéria ulnar:** no punho, se divide e emite o **ramo profundo**, que se anastomosa com o arco palmar profundo. O **ramo superficial** termina como **arco palmar superficial**

ARCO PALMAR PROFUNDO

Passa anteriormente às bases dos ossos metacarpais É proximal ao arco superficial

A. principal do polegar
 A. radial do indicador
 Aa. digitais próprias do polegar (2)
 A. metacarpal

Continuação do ramo profundo da artéria radial
 Irriga a região radial do DI; pode se originar do arco profundo
 Dois ramos terminais da bifurcação da artéria principal do polegar
 Anastomosa-se com as artérias

palmar (3)

digitais comuns

ARCO PALMAR SUPERFICIAL

Localizado na linha de Kaplan; **distal** ao arco profundo

A. digital palmar própria para o DMin
A. digital palmar comum (3)
A. digital palmar própria

Primeiro ramo do arco; irriga a região ulnar do dedo mínimo
Bifurcam-se no 2º ao 4º espaços interdigitais
Passa nas margens radial e ulnar dos dedos

- O arco palmar superficial irriga a maior parte da mão/dedos. É dominante em 2/3 dos indivíduos. Esse arco aparece completo em 80% dos indivíduos
- O arco palmar profundo irriga o polegar (e a região radial do DI). Normalmente não é o arco dominante. Esse arco aparece completo em 98% dos indivíduos
- Os arcos são codominantes em 1/3 dos indivíduos. O **teste de Allen** determina se o arco é completo (mas não mostra qual é o dominante)
- As artérias são anteriores (palmares) em relação aos nervos, mas cruzam os nervos e tornam-se dorsais a eles nos dedos

DISTÚRBIOS

Osteoartrite



O corte através da articulação interfalângica distal mostra "nódulos" ósseos irregulares e hiperplásticos ("nódulos" de Heberden) nas margens articulares da falange distal. A cartilagem articular sofreu erosão e a cavidade articular diminuiu



A radiografia da articulação interfalângica distal mostra alterações degenerativas em estágio avançado. Destruição da cartilagem articular e osteófitos marginais ("nódulos" de Heberden)



Alterações degenerativas em estado avançado na articulação carpometacarpal do polegar

Artrite Reumatoide



Radiografia mostra a diminuição da cartilagem articular nas articulações interfalângicas proximais, erosão dos ossos carpais e da articulação do punho, osteoporose e deformidades dos dedos



Deformidade em botoeira no dedo indicador com deformidade dos outros dedos em pescoço de cisne

DESCRIÇÃO	HDA e EF	EXAMES COMPLEMENTARES/ ACHADOS	TRATAMENTO
OSTEOARTRITE			
<ul style="list-style-type: none"> Perda da cartilagem articular Devido ao desgaste ou situação pós-traumática AIFD nº 1 ("nódulos" de Heberden) AIFP nº 2 ("nódulos" de Bouchard) 	HDA: velhice ou HDA de lesão Dor: piora com atividade EF: "nódulos"/deformidade, sensibilidade dolorosa, diminuição da ADM	RX: achados OA: perda do espaço articular, osteófitos, esclerose, cistos subcondrais	<ol style="list-style-type: none"> AINE Infiltração de esteroide Anquilose/artrodese Artroplastia
CISTO MUCOSO			
<ul style="list-style-type: none"> Cisto sinovial da articulação artrítica (AIFD nº 1) 	HDA: massa próxima à articulação EF: massa, +/- sensibilidade dolorosa	RX: Articulação artrítica	<ol style="list-style-type: none"> Retirada do cisto e osteófito associado
ARTRITE REUMATOIDE			
<ul style="list-style-type: none"> Doença autoimune que ataca a membrana sinovial e destrói as articulações AMCF nº 1 Desenvolve múltiplas deformidades 	HDA: dor e enrijecimento (piora durante a manhã) EF: deformidades (desvio ulnar, pescoço de cisne, botoeira)	RX: destruição da articulação LABS: FR, AAN, VHS, hemograma, ácido úrico	<ol style="list-style-type: none"> Administração de medicamentos Sinovectomia (uma articulação) Transferência/reparo do tendão Artrodese/artroplastia
DEFORMIDADE EM PESCOÇO DE CISNE			
<ul style="list-style-type: none"> Inserção do FSD/lesão da lâmina palmar Traumática ou associada à AR Faixas laterais subluxadas dorsalmente/hiperextensão da AIFP 	HDA: lesão ou AR EF: deformidade: AIFD flexionada, AIFP hiperestendida (lesão)	RX: mostra deformidade óssea	<ol style="list-style-type: none"> Início: tala Final: liberação cirúrgica e reconstrução Artrodese
DEFORMIDADE EM BOTOEIRA			
<ul style="list-style-type: none"> Lesão no feixe central do tendão do m. extensor dos dedos (ED) e no ligamento triangular Traumático ou associado à AR Faixas (bandas) laterais subluxadas anteriormente, hiperflexão da AIFP 	HDA: lesão traumática ou AR EF: deformidade: flexão da AIFP, + teste de Elson (incapacidade de estender a AIFP fletida)	RX: mostra deformidade óssea	<ol style="list-style-type: none"> Início: tala na AIFP em extensão Reconstrução das faixas (bandas) laterais e do feixe central Artrodese/artroplastia

Tenossinovite



Tenossinovite do dedo médio. Tratada com incisão em zigue-zague na palma. A bainha do tendão foi aberta para expor as partes cruciformes das roldanas ("polias") da bainha fibrosa. Um fino cateter de plástico foi inserido para irrigação. As linhas de incisão indicam as bainhas dos tendões dos outros dedos (A); bolsas radial e ulnar (B); espaço subtendíneo de Parona (C)

Panarício



Corte transversal mostra a divisão de septos na "polpa" do dedo

Infecção de Paroníquia



Eponíquio elevado da superfície da unha

Esporotricose



Começa como um pequeno nódulo e espalha-se pela mão, pelo punho e pelo antebraço (até de forma sistêmica)

Abcesso em ferradura



Difunde-se de um foco no polegar através das bolsas radial e ulnar e da bainha do tendão do dedo mínimo, com ruptura no espaço subtendíneo de Parona

DESCRIÇÃO	HDA e EF	EXAMES COMPLEMENTARES/ ACHADOS	TRATAMENTO
TENOSSINOVITE PURULENTA (DOS TENDÕES DOS MÚSCULOS FLEXORES)			
<ul style="list-style-type: none"> • Infecção da bainha tendínea • Geralmente por feridas puntiformes/mordida • Pode se espalhar proximalmente nos espaços profundos ou no espaço de Parona (abscesso em ferradura) 	HDA: dor e edema EF: sinais de Kanaval (4): 1. Posição flexionada 2. Edema fusiforme 3. Dor à extensão passiva 4. Sensibilidade dolorosa na bainha dos músculos flexores	RX: radiografias simples, excluir corpo estranho, ar subcutâneo LABS: hemograma, VHS, PCR	1. Diagnóstico < 24 h: antibióticos IV, observação cuidadosa (I&D/LMC se não melhorar) 2. Diagnóstico > 24 h: irrigação e debridamento da bainha + antibióticos IV
PANARÍCIO			
<ul style="list-style-type: none"> • Infecção ou abscesso profundo na "polpa" do dedo • <i>S. aureus</i>, nº 1 	HDA: dor e edema EF: abscesso localizado, edema, eritema, +/- drenagem	RX: geralmente não é necessário	1. Incisão e drenagem (deve liberar os septos na "polpa") 2. Antibióticos (IV vs. oral)
PARONÍQUIA/EPONÍQUIO			
<ul style="list-style-type: none"> • Infecção no vale da unha • Infecção da mão mais comum • Etiologia: roer a unha ou a pele solta acima da cutícula 	HDA: dor e edema EF: eritema, sensibilidade, drenagem +/-	RX: geralmente não é necessário	1. Fase inicial: banhos com água quente 2. I&D /LMC e antibióticos orais 3. Retirada parcial da unha
INFECÇÕES DE ESPAÇOS PROFUNDOS			
<ul style="list-style-type: none"> • Infecções nos espaços ou tecidos profundos (p. ex. tenar, hipotenar, de Parona [em ferradura]) 	HDA: dor e edema EF: edema, eritema, sensibilidade dolorosa flutuação, +/- drenagem	RX: geralmente, normal RM/TC: podem ajudar se o diagnóstico não é claro	1. Incisão e drenagem, colocar dreno, antib. IV 2. Tratar e cobrir o ferimento/ trocar o curativo quando necessário
ESPOROTRICOSE			
<ul style="list-style-type: none"> • Infecção fúngica (<i>Sporothrix s.</i>) por plantas/ rosas • Propagação pelos vasos linfáticos 	HDA: erupção cutânea (exantema)/manchas na pele EF: fase inicial: nódulo solitário Fase final: múltiplos nódulos/ erupção cutânea (exantema)	RX: geralmente não é necessário	Solução de iodo e potássio

Infecções de espaço profundo



Infecção do espaço tenar por tenossinovite do dedo indicador devido a ferimento por objeto perfurante



Infecção do espaço palmar médio secundária à tenossinovite do dedo médio. O foco é uma lesão infectada por objeto perfurante na prega distal. A linha de incisão está indicada

Doença de Dupuytren



Excisão parcial da fáscia palmar com cuidado para não atingir os feixes neurovasculares

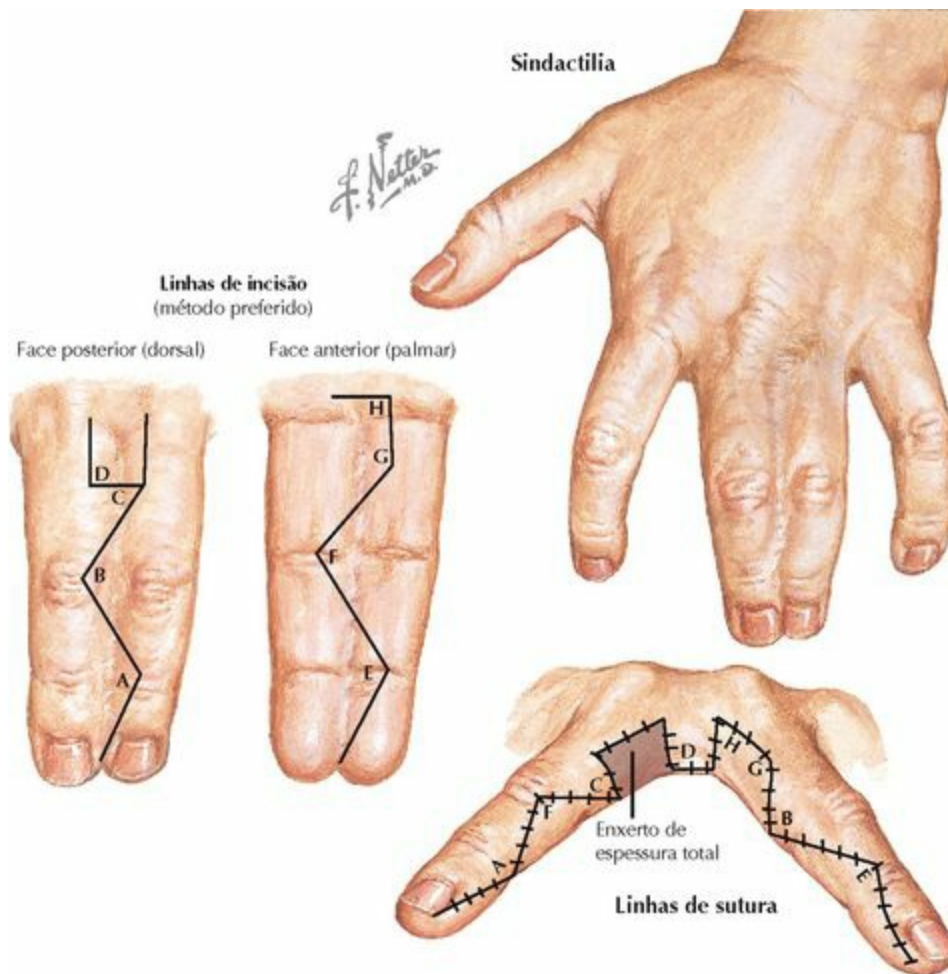
Tenossinovite Estenosante (dedo em gatilho)



Espessamento inflamatório da bainha fibrosa ("polia") dos tendões dos músculos flexores com aumento nodular fusiforme de ambos os tendões.

DESCRIÇÃO	HDA e EF	EXAMES COMPLEMENTARES/ ACHADOS	TRATAMENTO
MORDIDAS: HUMANAS/DE ANIMAIS			
<ul style="list-style-type: none"> • Normalmente, mão dominante • Luta com a mão fechada = soco na boca nº 1 • Bactéria: <i>Streptococcus</i>, <i>Staphylococcus aureus</i> Humano: <i>Eikenella corrodens</i> Animal: <i>Pasteurella multocida</i> 	<p>HDA: mordida, dor e edema</p> <p>EF: laceração ou ferimento perfurante, edema, +/- drenagem, eritema (local ou extensão proximal)</p>	<p>RX: séries de mão: excluir corpo estranho (p. ex., dente) ou gás nos tecidos/ articulações</p> <p>LABS: hemograma, VHS, PCR</p>	<ol style="list-style-type: none"> 1. dT e profilaxia antirrábica se necessário 2. I&D/LMC, cuidado com a ferida 3. Antibióticos IV (ampicilina/sulbactam)
TENOSSINOVITE ESTENOSANTE (DEDO EM GATILHO)			
<ul style="list-style-type: none"> • Estenose/espessamento da polia A1 no tendão flexor • Associado a DM, AR, idade • Forma congênita em crianças 	<p>HDA: +40 anos, dor, ressalto ou bloqueio (esp. no período da manhã)</p> <p>EF: sensibilidade na bainha do tendão flexor com crepitação na flexão/extensão</p>	<p>RX: geralmente normal</p> <p>RM: não é necessário, o EF é diagnóstico</p>	<ol style="list-style-type: none"> 1. Tala, radiografia ocupacional 2. Infiltração de corticosteroides na bainha do tendão 3. Liberação da polia A1
DOENÇA DE DUPUYTREN			
<ul style="list-style-type: none"> • Contratura da fáscia palmar • Os miofibroblastos produzem cordões espessos de colágeno tipo III • Associada aos europeus do norte (descendentes), DM, álcool 	<p>HDA: geralmente homens, + 40 anos, com queixa de massa na mão</p> <p>EF: nódulos na palma, +/- contratura da AMCF ou AIFP</p>	<p>RX: geralmente normal</p> <p>RM: não é necessária se o diagnóstico é claro. Pode ser útil se a etiologia da massa não é clara.</p>	<ol style="list-style-type: none"> 1. Fase inicial (massa, sem contratura): confirmar 2. Fase tardia (contratura): excisão cirúrgica dos cordões
CISTO RETINACULAR			
<ul style="list-style-type: none"> • Cisto (tipo ganglionar) da bainha do tendão flexor • Tipo de massa mais comum na mão 	<p>HDA: massa pequena na palma</p> <p>EF: firme, nódulo com o tamanho de uma ervilha, não se move com o tendão</p>	<p>RX: geralmente normal</p> <p>RM: não é necessária</p>	<ol style="list-style-type: none"> 1. Aspiração/punção 2. Excisão cirúrgica, se recorrente

DISTÚRBIOS PEDIÁTRICOS



DESCRIÇÃO	AVALIAÇÃO	TRATAMENTO
SINDACTILIA		
<ul style="list-style-type: none"> • Falha na diferenciação do tecido do dedo • Anomalia congênita mais comum da mão • Completo (até a ponta do dedo) vs. incompleto • Simples (tecido mole) vs. complexo (osso) 	<p>HDA: dedos estão conectados</p> <p>EF: os dedos estão conectados até as pontas ou mais abaixo (incompletamente)</p> <p>RX: determinará se os ossos estão fundidos (complexo)</p>	<ol style="list-style-type: none"> 1. Aguardar aproximadamente um ano, depois realizar cirurgia para separar os dedos 2. O planejamento cuidadoso da incisão e o enxerto de pele melhoram os resultados
CAMPTODACTILIA		
<ul style="list-style-type: none"> • Anomalia congênita em flexão dos dedos 	<p>HDA: dedo flexionado.</p>	

- Geralmente afeta a AIFP do dedo mínimo
- Tipo 1 (crianças), tipo 2 (adolescentes)
- Etiologia: inserção anormal dos lumbricais ou do FSD

Percebido ao nascimento ou durante a adolescência.
EF: incapacidade de extensão completa da articulação
RX: mostra a flexão, ossos tipicamente normais

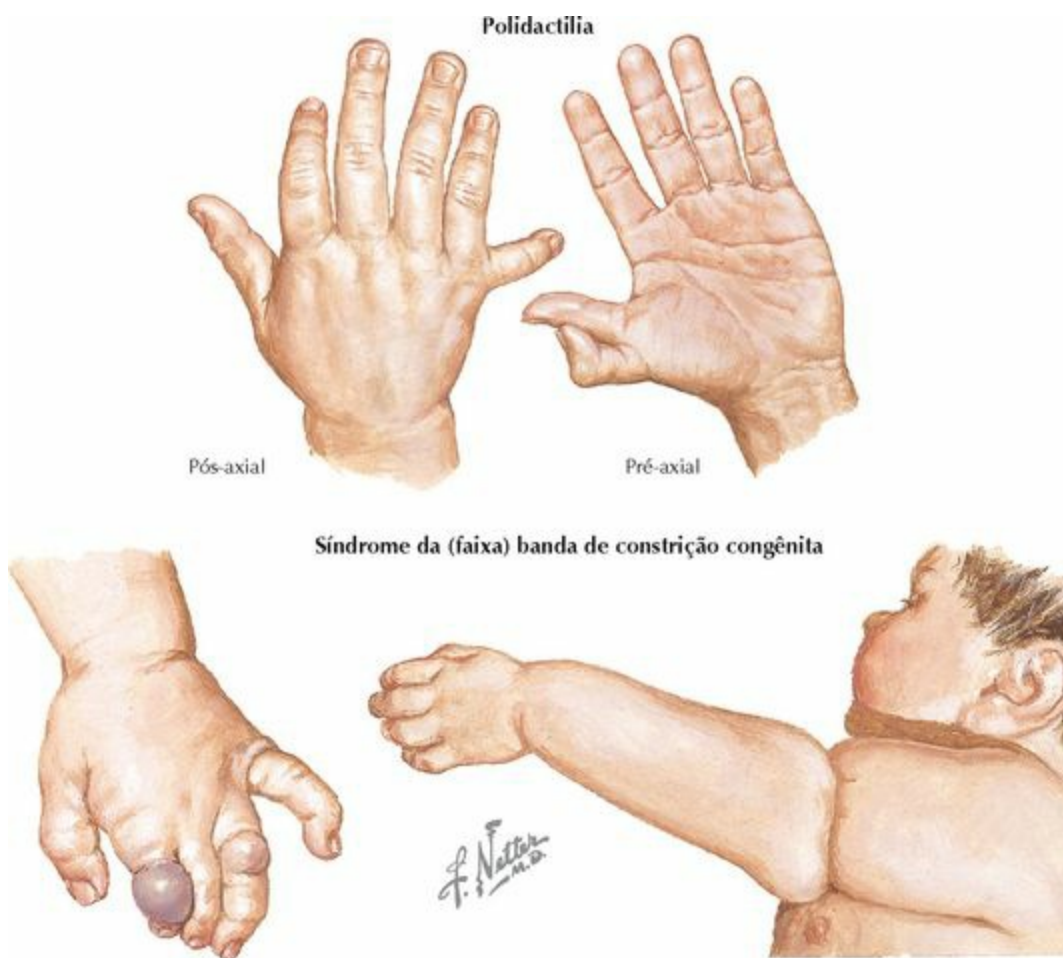
1. Conservador: alongamento e tala.
2. Contratura funcionalmente debilitante: cirurgia de liberação/transferência tendínea

CLINODACTILIA

- Desvio do dedo no plano coronal
- Desvio radial do dedo mínimo nº 1
- Etiologia: falange média em forma de **delta**

HDA/EF: desvio do dedo, queixas estéticas e funcionais
RX: mostra a falange média em forma de delta

1. Moderado: sem tratamento
2. Déficit funcional: correção cirúrgica/osteotomia e realinhamento



DESCRIÇÃO

AVALIAÇÃO

TRATAMENTO

POLEGAR DUPLICADO (POLIDACTILIA PRÉ-AXIAL)

- Um polegar extra ou

uma porção extra dele

- Classificação de Wassel (7 tipos): o **tipo 4** é o **mais comum**
- Autossômico dominante ou esporádico
- Associada a algumas síndromes

HDA/EF: polegar extra/porção extra do polegar
RX: mostrará falanges bífidas ou extras dependendo do tipo de duplicação

1. Reconstrução cirúrgica para obter estabilidade do polegar. Geralmente conservam as estruturas mediais do polegar e reconstroem o lado lateral (p. ex., **tipo 4**)

HIPOPLASIA DO POLEGAR

- Ausência parcial ou completa do polegar
- Classificação de Blauth: tipos I-V
- Tratamento baseado na presença da **articulação CMC**
- Associada a algumas síndromes

HDA/EF: polegar pequeno ou ausência do polegar
RX: varia entre ossos pequenos, encurtados ou ausentes (falanges, metacarpal e trapézio). Avaliar a presença da **articulação CMC**

1. Tipo I: polegar pequeno: sem tratamento
 2. Tipo II-III A: reconstrução
 3. Tipo III B-V (sem ACMC): amputação e policização

SÍNDROME DA FAIXA (BANDA) DE CONSTRIÇÃO CONGÊNITA

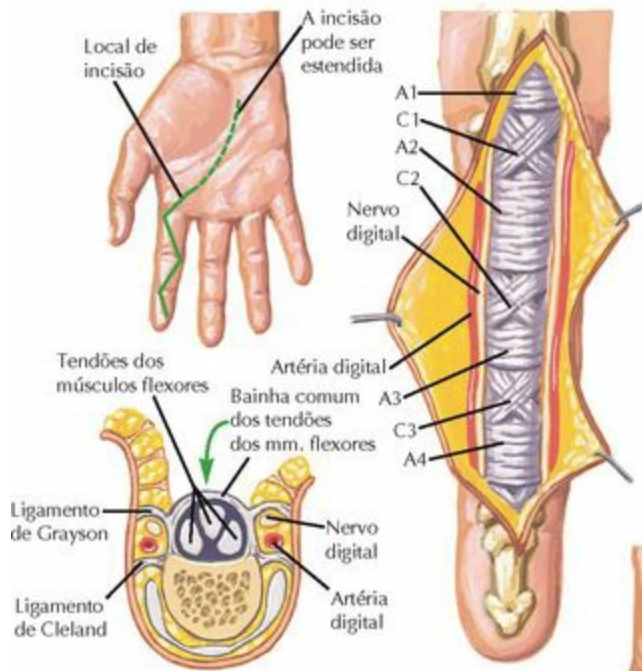
- Faixas (bandas) constrictivas levam à necrose dos dedos ou redução do seu crescimento e/ou desenvolvimento
- Não é hereditário

HDA/EF: dedos curtos/truncados com as faixas (bandas) de redução do crescimento
RX: falanges pequenas, encurtadas ou ausentes

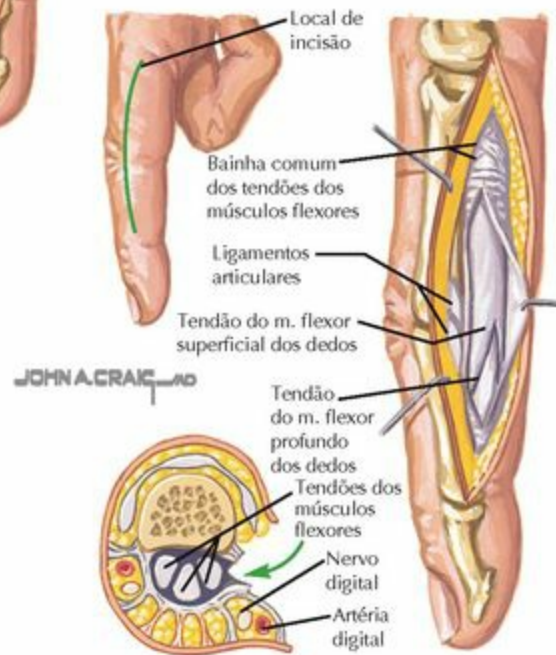
1. Amputações completas se necessário
 2. Retirada/liberação das faixas (bandas). Suturar a pele com a técnica de Z-plastia pode ser necessário

ACESSOS CIRÚRGICOS

Acesso palmar ao dedo



Acesso lateral médio ao dedo



USOS	PLANO ENTRE OS NERVOS	RISCOS	COMENTÁRIO
DEDO: ACESSO PALMAR			
<ul style="list-style-type: none"> • Tendões dos músculos flexores (reparo/exploração) • Nervos digitais • Liberação dos tecidos moles • Tendões dos mm. flexores 	Sem planos	<ul style="list-style-type: none"> • Artéria digital • Nervo digital • Drenagem da infecção 	<ul style="list-style-type: none"> • Fazer incisão em "zigue-zague" conectando as pregas do dedo • O feixe neurovascular é lateral à bainha comum dos tendões
DEDO: ACESSO LATERAL MÉDIO			
<ul style="list-style-type: none"> • Fraturas de falanges 	Sem planos	<ul style="list-style-type: none"> • Nervo digital • Artéria digital 	<ul style="list-style-type: none"> • Os tecidos moles são finos, a cápsula articular pode ser cortada se não houver cuidado

Pelve

Anatomia Topográfica

Osteologia

Radiologia

Trauma

Articulações

História da Doença Atual

Exame Físico

Origens e Inserções

Músculos

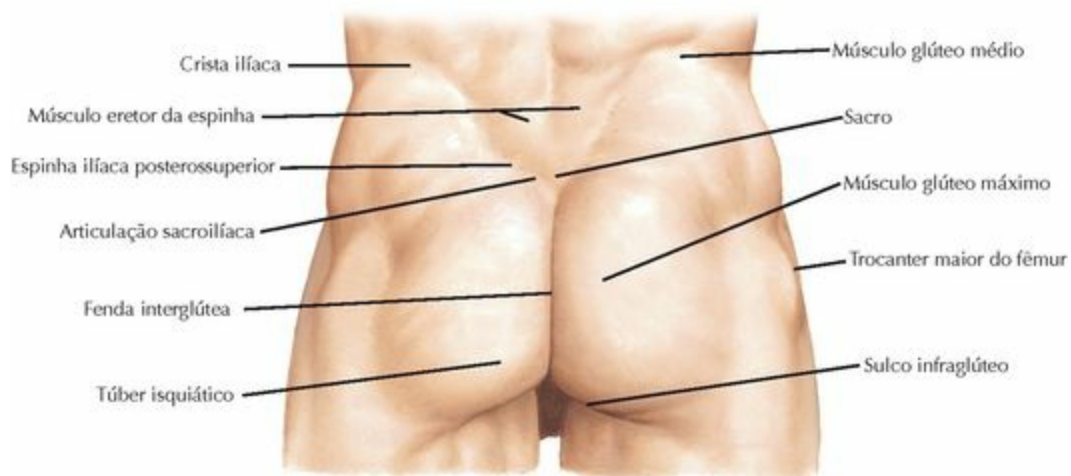
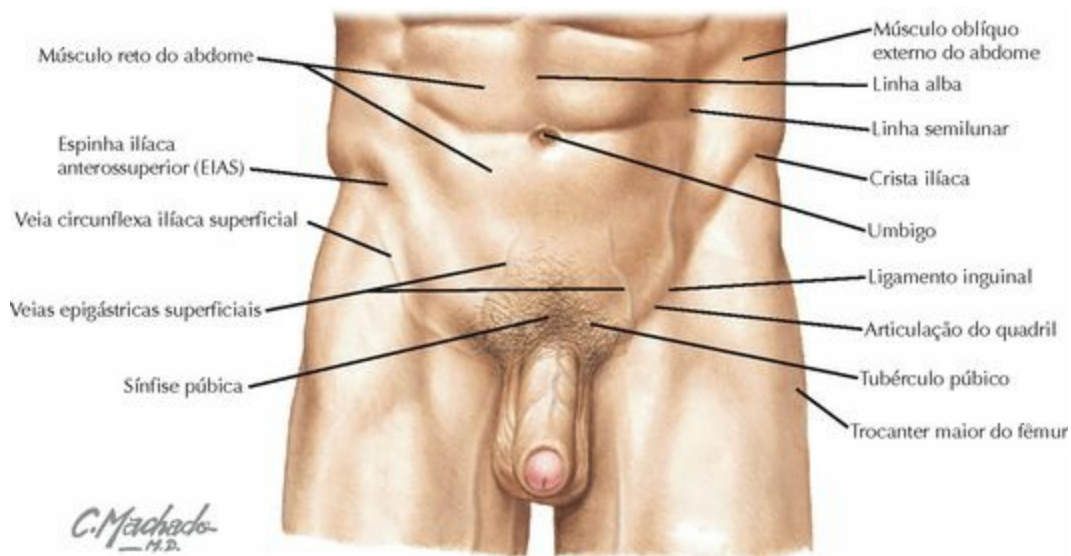
Nervos

Artérias

Distúrbios

Acessos Cirúrgicos

ANATOMIA TOPOGRÁFICA



ESTRUTURA	APLICAÇÃO CLÍNICA
Crista ilíaca	Local comum de contusão da pelve (“ <i>hip pointers</i> ”) Local de retirada de enxerto ósseo autólogo
Espinha ilíaca anterossuperior	Origem do músculo sartório. Uma fratura por avulsão pode ocorrer aqui O nervo cutâneo femoral lateral (NCFL) passa por aqui e pode ser comprimido neste ponto Marco usado para medir o ângulo “Q” do joelho
Símfise púbica	Local da osteíte púbica; causa incomum da dor pélvica anterior
Ligamento inguinal	A artéria ilíaca externa torna-se artéria femoral neste ponto; o pulso femoral pode ser palpado inferiormente ao ligamento, no triângulo femoral
Trocanter maior	Sensibilidade dolorosa pode indicar bursite trocantérica
Músculo eretor da espinha	O uso excessivo e espasmos são causas comuns de lombalgia (L)
Espinha ilíaca	

posterossuperior

Local de retirada de enxerto ósseo em procedimentos espinais posteriores

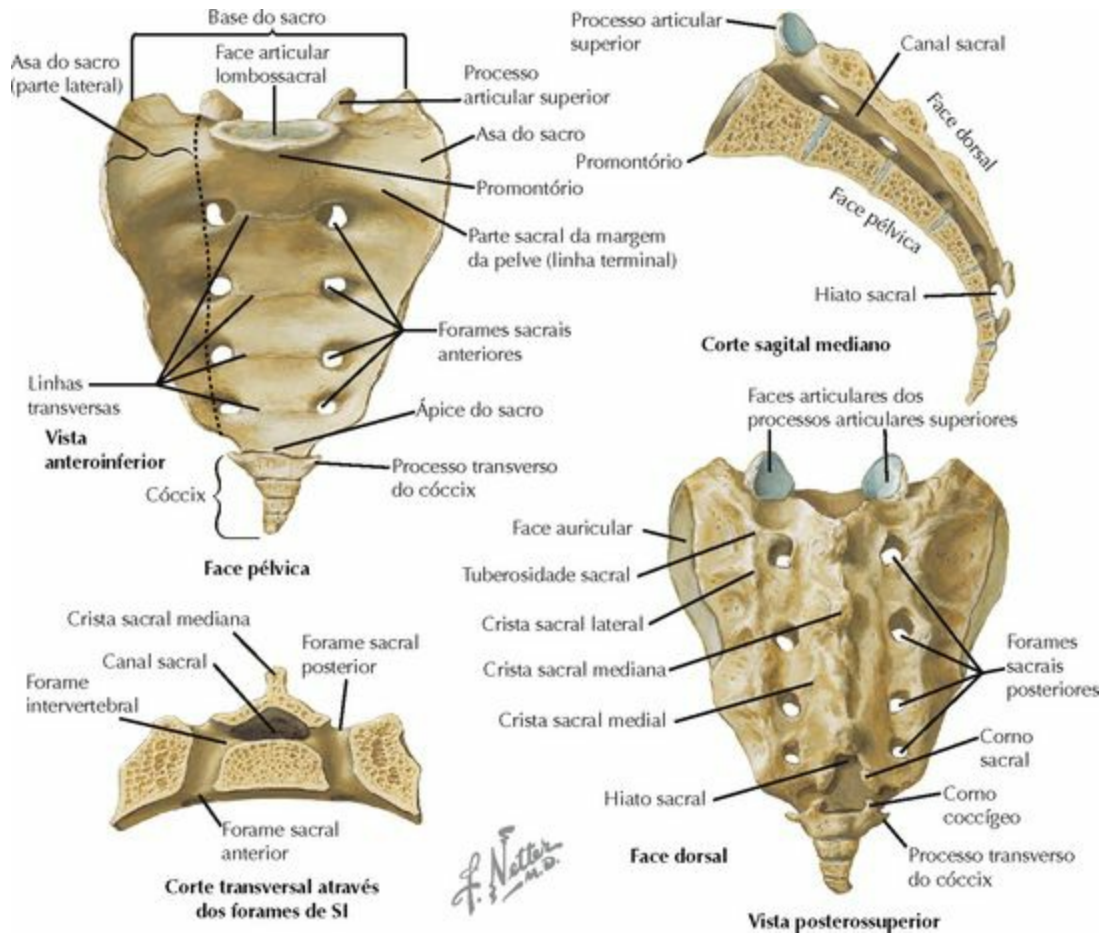
Articulação
sacroilíaca

Degeneração da articulação pode causar lombalgia (L)

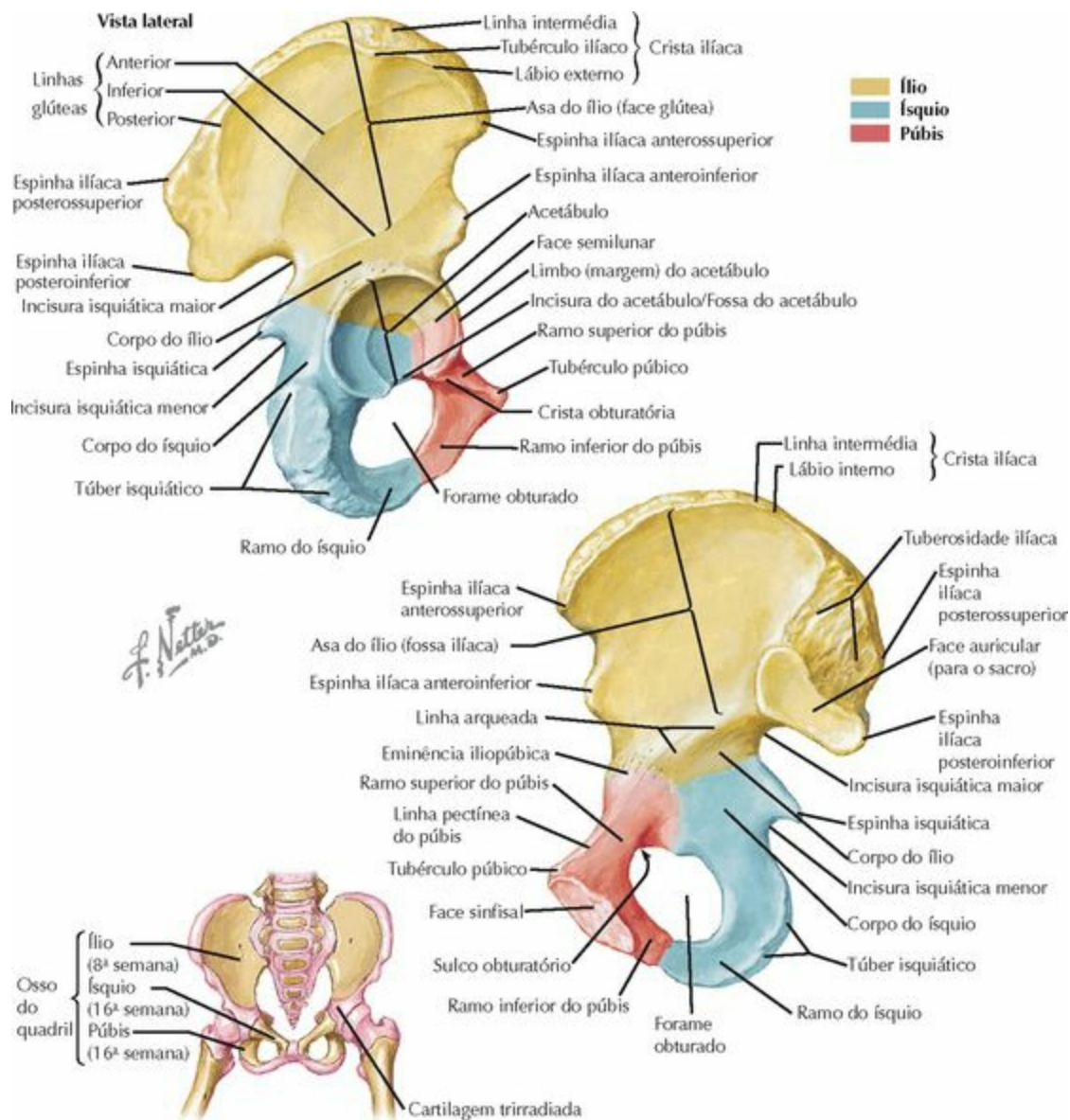
Túber isquiático

Fratura por avulsão (músculos isquiotibiais) ou bursite podem ocorrer aqui

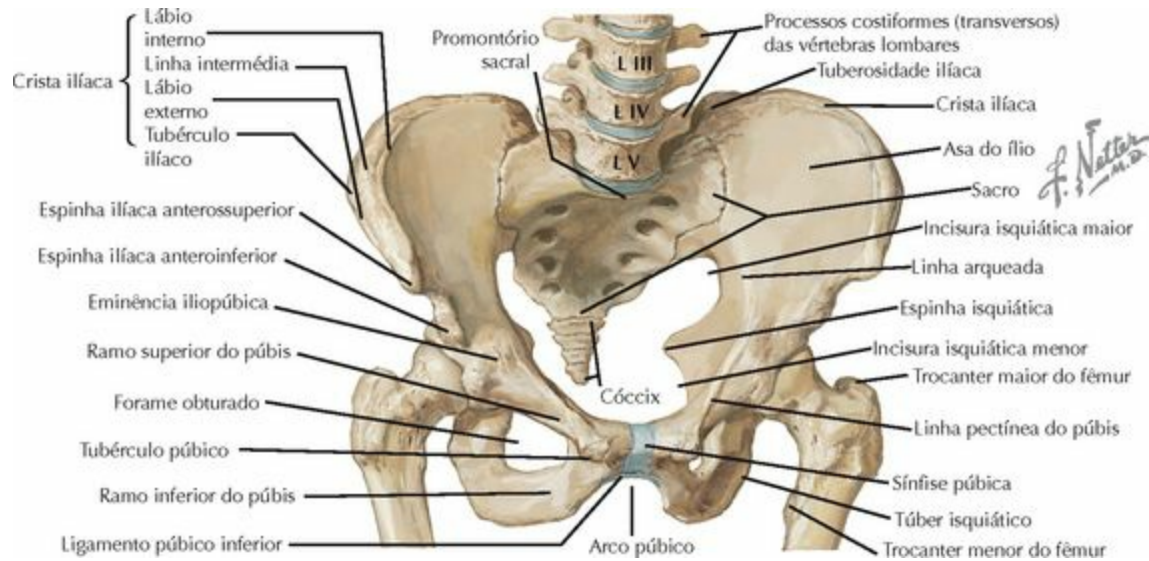
OSTEOLOGIA



CARACTERÍSTICAS	OSSIFICAÇÃO	FUSÃO	COMENTÁRIOS	
PELVE				
<ul style="list-style-type: none"> • Combinação de 3 ossos (dois ossos do quadril/"inominado" e o sacro) e 3 articulações (duas articulações sacroilíacas e a sínfise púbica) • A pelve não tem estabilidade própria. Ela necessita de suporte ligamentar para sua estabilidade • A pelve é dividida em duas partes pela margem da pelve: <ul style="list-style-type: none"> ◦ Pelve maior (falsa) – acima da margem da pelve, limitada pela asa do sacro e pela asa do ílio ◦ Pelve menor (verdadeira) – abaixo da margem da pelve, limitada pelo ísquilo e pelo púbis. 				
SACRO				
<ul style="list-style-type: none"> • 5 vértebras fusionadas • 4 pares de forames (esquerdo e direito) • A asa expande-se lateralmente • O canal sacral abre-se no hiato sacral distalmente • Cifose (aprox. 25°), o ápice está em S III 	Primária Corpo Arcos Elementos costais Secundária	8ª semana (fetal) 2-8 anos 2-8 anos 11-14 anos	2-8 anos 2-8 anos 20 anos	<ul style="list-style-type: none"> • Transmite peso da coluna vertebral para a pelve • Os nervos saem através dos forames sacrais (anteriores e posteriores) • A asa do sacro é um local comum de fraturas sacrais • O canal sacral estreita-se distalmente antes de se abrir no hiato sacral • Os segmentos fusionam-se até a puberdade
CÓCCIX				
<ul style="list-style-type: none"> • 4 vértebras fusionadas • Não possui características de uma vértebra típica 	Arco primário Corpo	7ª-8ª semana (fetal)	1-2 anos 7-10 anos	<ul style="list-style-type: none"> • É ponto de fixação dos mm. glúteo máximo e coccígeo • Local comum de fratura

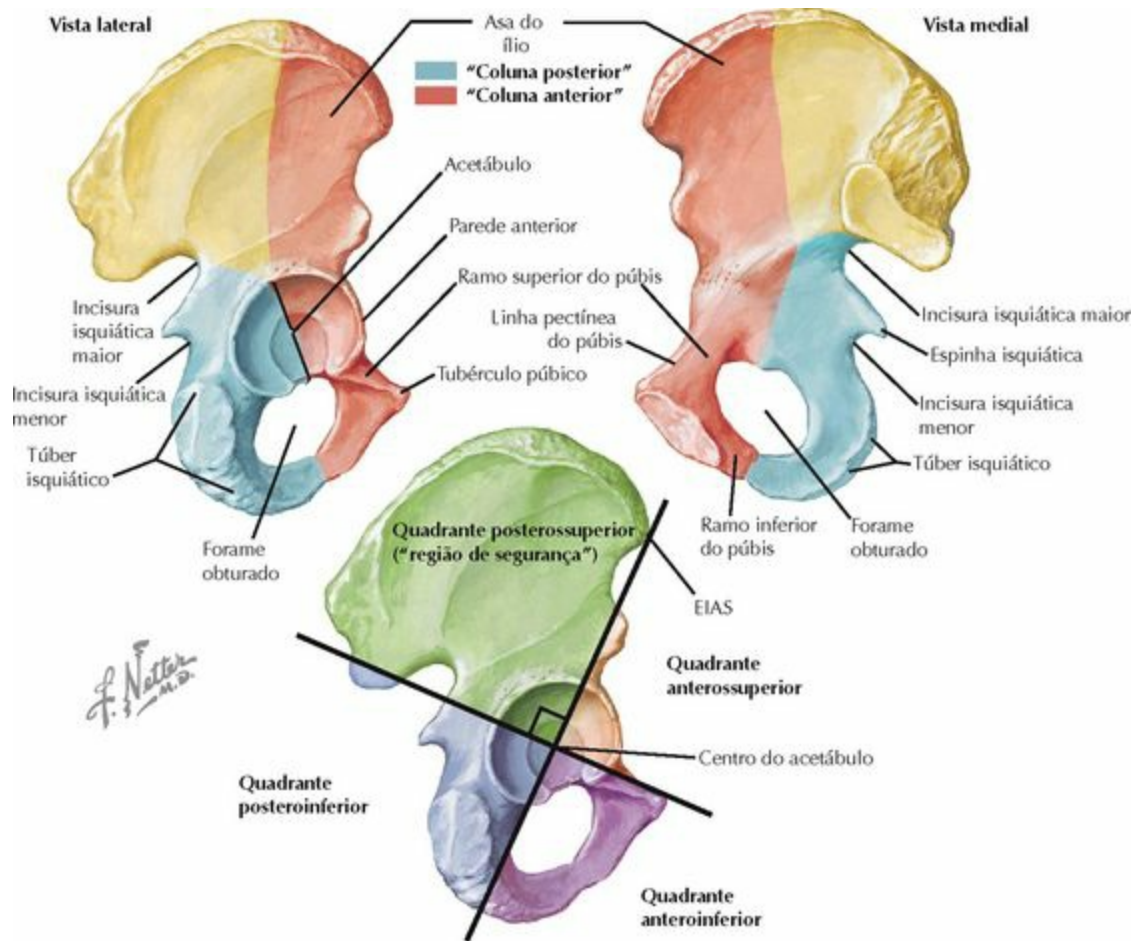


CARACTERÍSTICAS	OSSIFICAÇÃO	FUSÃO	COMENTÁRIOS
OSSO DO QUADRIL ("INOMINADO")			
<ul style="list-style-type: none"> • 3 ossos (ílio, ísquio, púbis) fundem-se para se tornarem um osso comum na cartilagem trirradiada no acetábulo • Ílio: corpo e asa • Púbis: ramos inferior e superior • Ísquio: corpo e túber • Acetábulo: "cavidade" da articulação do quadril, tem 2 paredes (anterior e posterior), fossa e uma incisura inferiormente. A cartilagem articular tem a forma de uma ferradura 	<p>Primária (uma em cada corpo)</p> <p>Secundária Crista ilíaca Trirradiada Túber isquiático EIAI Púbis</p>	<p>2ª-6ª mês</p> <p>15 anos</p> <p>Todos se fundem 20 anos</p>	<ul style="list-style-type: none"> • A crista ilíaca é um local comum para retirada de enxerto ósseo tricortical e esponjoso • A contusão da crista ilíaca é conhecida como "hip pointer" • A ossificação da crista ilíaca é usada para determinar a maturidade esquelética (Índice de Risser) • As espinhas ilíacas servem como pontos de referência anatômica e locais de inserção de músculos (EIAS, EIAI, EIPS, EIPI) • Acetábulo: 45° de inclinação oblíqua, 15° de anteversão



ESTRUTURA	FIXAÇÕES/ESTRUTURAS RELACIONADAS	COMENTÁRIOS
PONTOS DE REFERÊNCIA ANATÔMICA E OUTRAS ESTRUTURAS DA PELVE		
Espinha ilíaca anterosuperior (EIAS)	M. sartório Ligamento inguinal Músculos transverso e oblíquo interno do abdome	<ul style="list-style-type: none"> • NCFL cruza a EIAS e pode ser comprimido nesse local • O m. sartório pode sofrer avulsão neste ponto (fratura por avulsão) • Ponto de referência anatômica para medir ângulo Q do joelho
Espinha ilíaca anteroinferior (EIAI)	M. reto femoral M. tensor da fáscia lata Ligamento iliofemoral (cápsula da articulação do quadril)	<ul style="list-style-type: none"> • O m. reto femoral pode sofrer avulsão nesse ponto (fratura por avulsão)
Espinha ilíaca posterossuperior (EIPS)	Ligamento sacroilíaco posterior Marcada por concavidade na pele	<ul style="list-style-type: none"> • Excelente local para enxerto ósseo
Linha arqueada	M. pectíneo	<ul style="list-style-type: none"> • Continua com a linha pectínea. Forte, região de suporte de peso
Linhas glúteas	3 linhas: anterior, inferior, posterior	<ul style="list-style-type: none"> • Origens distintas dos músculos glúteos
Trocanter maior	VEJA ORIGENS/INSERÇÕES	<ul style="list-style-type: none"> • Sensível na bursite trocantérica
Trocanter menor	Músculos ilíaco e psoas	<ul style="list-style-type: none"> • O tendão pode provocar um “estalido” ao mover-se sobre o trocanter (“quadril em ressalto”)
	VEJA	<ul style="list-style-type: none"> • Atrito excessivo = bursite isquiática

Túber isquiático	ORIGENS/INSERÇÕES Ligamento sacrotuberal	• Pode ocorrer avulsão dos mm. isquiotibiais (fratura por avulsão)
Espinha isquiática	Inserção dos mm. coccígeo e levantador do ânus Ligamento sacroespinal	
Forame isquiático menor	Saída dos mm. rotadores laterais curtos: M. obturador externo M. obturador interno	• O m. obturador interno é um ponto de referência anatômica para a “coluna posterior” • O m. obturador externo não é visto no acesso posterior
Forame isquiático maior	Estruturas que passam por ele: 1. Nervo glúteo superior 2. Artéria glútea superior 3. Músculo piriforme 4. Nervo Pudendo 5. Artéria pudenda interna 6. Nervo para o m. Obturador interno 7. Nervo cutâneo femoral Posterior 8. Nervo Isquiático 9. Nervo glúteo Inferior 10. Artéria glútea inferior 11. Nervo para o m. Quadrado femoral	• O músculo piriforme é o ponto de referência • O nervo e a artéria glútea superior saem acima do m. piriforme • POPI IQ é uma técnica mnemônica para os nervos (estruturas) que saem abaixo do m. piriforme (de medial para lateral) (ver pág. 243) • Nervo isquiático (especialmente a divisão fibular) pode sair da pelve acima ou através do m. piriforme como uma variação anatômica



ESTRUTURA	ESTRUTURAS RELACIONADAS	COMENTÁRIOS
COLUNAS DO ACETÁBULO		
Anterior (iliopúbica)	1. Ramo superior do púbis 2. Parede anterior do acetábulo 3. Parte anterior da asa do ílio 4. Margem da pelve	Envolvido em vários padrões diferentes de fratura
Posterior (ilioisquiática)	1. Túber isquiático 2. Parede posterior do acetábulo 3. Incisuras isquiáticas maior e menor	Envolvido em vários padrões diferentes de fratura

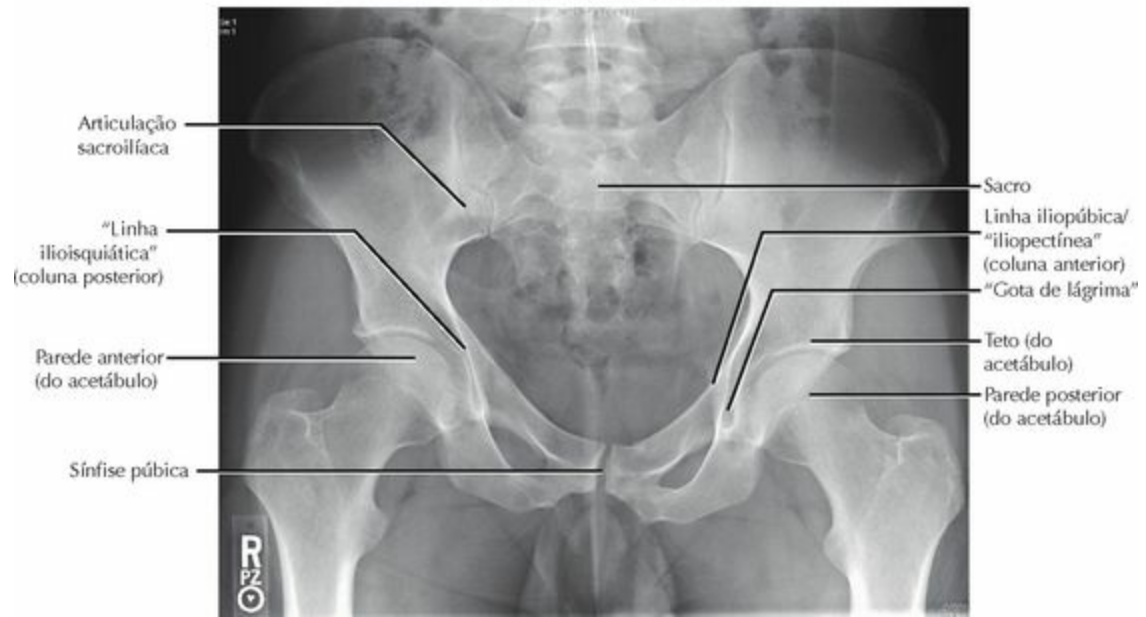
REGIÕES/QUADRANTES DO ACETÁBULO

As regiões/quadrantes são divididas por duas linhas: 1. EIAS ao centro do acetábulo, 2. uma linha perpendicular à linha 1

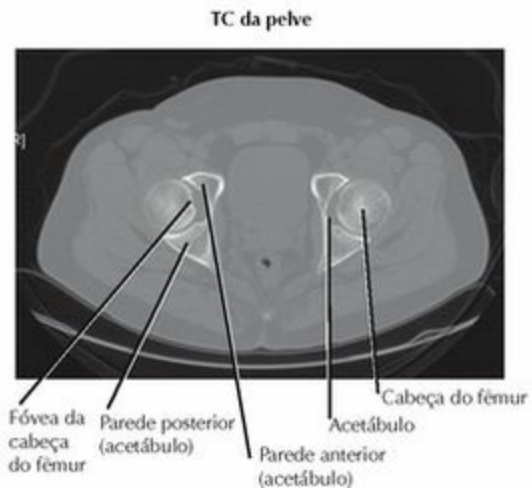
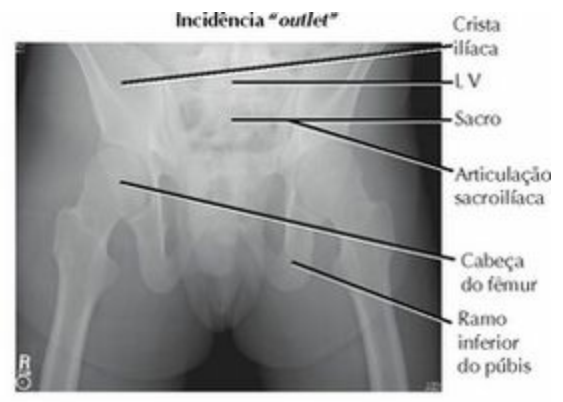
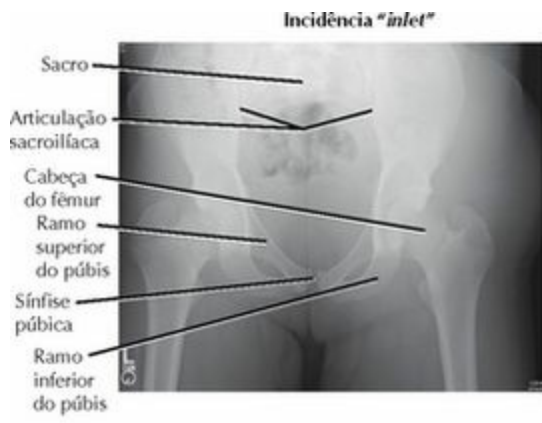
As estruturas podem ser lesionadas quando os parafusos são fixados nessas regiões/quadrantes (p. ex., componente acetabular)

Anterossuperior	Artéria e veia ilíacas externas	Não colocar parafusos nessa região
Anteroinferior	Nervo obturatório, artéria e veia	Não colocar parafusos nessa região
Posterossuperior	Nervo isquiático Nervo glúteo superior, artéria, veia	Esta é uma região segura para colocação de parafusos
Posteroinferior	Nervo isquiático Nervo glúteo inferior, artéria, veia Nervo pudendo interno, artéria, veia	Esta é uma região segura secundária. A colocação segura de parafusos pode ser conseguida com cuidado, caso seja necessária

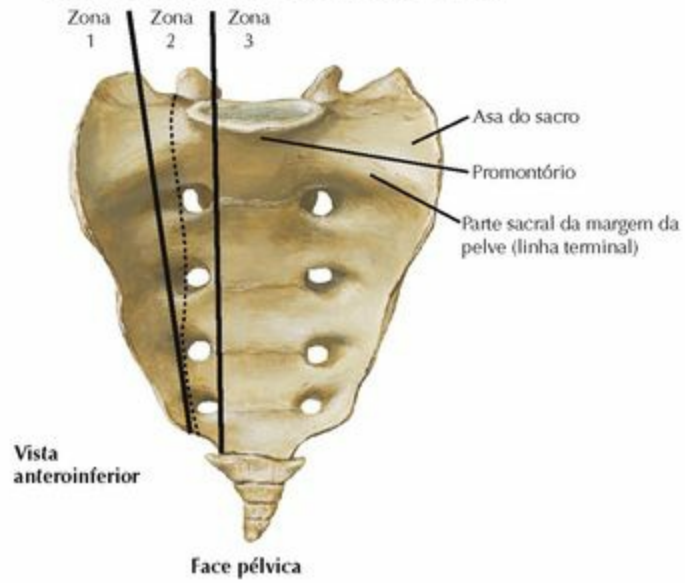
Radiografia da pelve, AP



RADIOGRAFIA	TÉCNICA	ACHADOS	APLICAÇÃO CLÍNICA
AP (anteroposterior)	AP, 15° de RM dos pés, feixe direcionado sobre a parte mediana da pelve	6 linhas radiográficas: 1. Iliopectínea ou Iliopúbica (coluna anterior) 2. Ilioisquiática (coluna posterior) 3. "Gota de lágrima" vista na radiografia 4. Teto do acetábulo ("cúpula") 5. Margem/parede anterior do acetábulo 6. Margem/parede posterior do acetábulo	Trilagem de fraturas (sacral, acetabular pélvica, parte proximal do fêmur), uso do protocolo ATLS; displasia, doença articular degenerativa/artrite
Incidência "inlet" da pelve	AP, feixe 45° caudal	Articulações sacroilíacas, margem da pelve/ramos do púbis, sacro	Fraturas do anel pélvico: mostra desvio posterior ou alargamento da sínfise
Incidência "outlet" da pelve	AP, feixe 45° cefálico	Crista ilíaca, sínfise púbica, forames sacrais	Fraturas do anel pélvico: mostra desvio superior da hemipelve
Incidências oblíquas (de Judet)	Felxe no quadril com lesão:		
Oblíqua obturatriz	Elevar o quadril afetado a 45°	Forame obturado	Fratura do acetábulo: coluna anterior, parede posterior
Oblíqua alar	Elevar o quadril não afetado a 45°	Crista ilíaca, incisuras isquiáticas	Fratura do acetábulo: coluna posterior, parede anterior
OUTROS ESTUDOS			
TC	Axial, coronal e sagital	Congruência articular, fragmentos de fratura	Fraturas, principalmente sacro e acetábulo
RM	Porção terminal do tendão do músculo extensor dos dedos	Tecidos moles: músculos, cartilagens	Lesão do lábio articular, tumores, fratura de estresse
Cintilografia óssea		Avaliação de todos os ossos	Tumores, Infecção



Fratura vertical do sacro, classificação de Denis



Fraturas do sacro



Fratura transversa do sacro com desvio mínimo



Fratura do cóccix

Esta fratura comumente não requer tratamento especial, a não ser tomar cuidado ao sentar; a utilização de almofada inflável pode ser útil. A dor pode persistir por um longo período

DESCRIÇÃO	AVALIAÇÃO	CLASSIFICAÇÃO	TRATAMENTO
FRATURA DO SACRO			
<ul style="list-style-type: none"> Mecanismo: Idosos – queda; Jovens – alta energia (p. ex., AVA) A lesão isolada é rara, geralmente está associada a fraturas da pelve ou da coluna vertebral Lesão na raiz do nervo é muito comum Radiografias identificam <50% das fraturas Facilmente não diagnosticada e difícil de tratar; pode levar à dor crônica 	<p>HDA: trauma (queda ou acidente), dor +/- sintomas neurológicos</p> <p>EF: palpação da coluna vertebral e do sacro. Exame neurológico completo incluindo exame retal</p> <p>RX: AP da pelve, perfil do sacro</p> <p>TC: necessária para o diagnóstico e para o planejamento pré-operatório</p>	<p>Pela direção da fratura</p> <ul style="list-style-type: none"> Vertical. Denis: <ul style="list-style-type: none"> Zona 1: lateral aos forames Zona 2: através dos forames Zona 3: medial aos forames II. Transversa III. Obliqua Complexo: em forma de "U" ou "H" 	<ul style="list-style-type: none"> Minimamente desviada/estável: <ul style="list-style-type: none"> Não cirúrgico Desviada/Instável: <ul style="list-style-type: none"> Redução fechada e fixação percutânea Redução aberta, fixação interna Lesão do nervo: descompressão
COMPLICAÇÕES: Lesão da raiz do nervo e síndrome da cauda equina, em especial nas fraturas na zona 3; pseudartrose/consolidação viciosa, dor crônica			

Classificação das fraturas da pelve (Young e Burgess)



Compressão anteroposterior tipo I (CAP-I)



Compressão anteroposterior tipo II (CAP-II)



Compressão anteroposterior tipo III (CAP-III)

JOHN A. CRAIG MD

DESCRIÇÃO	AVALIAÇÃO	CLASSIFICAÇÃO	TRATAMENTO
FRATURA DO ANEL PÉLVICO			
<ul style="list-style-type: none"> Mecanismo: trauma de alta energia (p. ex., AVA) Associação com várias lesões: GI, GU, fraturas de extremidades, neurológica, vascular, cabeça (CL) Alta taxa de morbidade, geralmente devido à hemorragia não controlada (sangramento venoso>arterial) esp. nas fraturas CAP 3 ("livro aberto") Fraturas expostas têm alta taxa de morbidade e complicação A estabilidade da fratura baseia-se no rompimento ligamentar (esp. sacrotuberal, sacroespinhal, sacroilíaco posterior) Avulsão do ligamento ilioilombar/ processo transverso de LV sugere fratura Instável Compressão lateral é mais comum <ul style="list-style-type: none"> CL1: força dirigida posteriormente CL2: força dirigida anteriormente 	<p>HDA: trauma de alta energia, dor +/- sintomas neurológicos</p> <p>EF: Inspeção do períneo em lesão aberta. O MI pode apresentar desvio rotacional. "Pelvic rock" da pelve. Exame retal e vaginal para lesões associadas. Exame neurológico completo, inclusive exame do tônus retal e reflexos bulbocavernosos</p> <p>RX: AP da pelve, incidências "inlet" e "outlet" são essenciais.</p> <p>TC: especialmente útil para definir lesão sacral/ASI</p> <p>Arteriografia: se estiver hemodinamicamente instável após a estabilização da pelve; considerar embolização de uma artéria</p>	<p>Young e Burgess</p> <p>Compressão AP (CAP)</p> <ol style="list-style-type: none"> <2,5 cm diástase púbica + 1 ou 2 fraturas de ramos púbicos >2,5 cm diástase + lesão sacroilíaca anterior, porém verticalmente estável Ruptura completa ant. (símfise) e post. (ASI). Instável <p>Compressão lateral (CL)</p> <ol style="list-style-type: none"> Compressão sacral + fratura do ramo ipsilateral CL1 + frat. da asa do ilio ou lesão post. da ASI. Verticalmente estável CL2 com CAP3 contralateral (pelve "em ventania") <p>Cisalhamento vertical</p> <p>Rompimento dos ligamentos sacroilíaco, sacrotuberal e sacroespinhal + fraturas dos ramos. Verticalmente Instável</p>	<ul style="list-style-type: none"> Protocolo ATLS. Tratamento de lesões com risco de morte Hemorragia pélvica: compressão pélvica (p. ex., com lençol) ou fixação externa para reduzir volume pélvico Colostomia de desvio para lesão aberta ou qualquer comunicação com o intestino aberto Conservador: carga de acordo com a dor para CL1, CAP1, fratura dos ramos Cirúrgico para CL2 e 3, estresse vertical <ul style="list-style-type: none"> Anterior: RAFI na símfise Posterior: 1. RAFI da asa do ilio e fraturas sacrais; 2. parafusos SI para luxação da ASI
<p>COMPLICAÇÕES: Hemorragia (venosa > arterial [a. pudenda interna > a. glútea superior]), lesões neurológicas (raiz de L 5 em risco com a colocação de parafuso na art. sacroilíaca), consolidação viciosa/pseudartrose, dor crônica (em especial na ASI) e incapacidade funcional, infecção, tromboembolismo</p>			

Classificação das Fraturas da Pelve (Young e Burgess)



Compressão lateral tipo I
(CL-I)



Compressão lateral tipo II
(CL-II)



Compressão lateral tipo III
(CL-III)

Cisalhamento vertical



Fraturas dos ramos da pelve



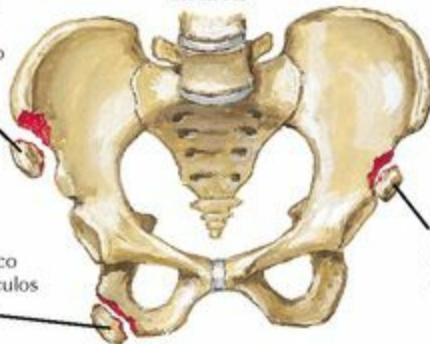
A fratura ipsilateral dos ramos do púbis e do ísquio requer somente tratamento sintomático de curta duração com repouso e atividade limitada com auxílio de andador ou muleta para deambulação de 4 a 6 semanas

Fratura da pelve sem rompimento do anel pélvico

Avulsão da espinha ilíaca anterossuperior devido à tração do músculo sartório

Avulsões

Avulsão do túber isquiático devido à tração dos músculos da região posterior da coxa (isquiotibiais)



Avulsão da espinha ilíaca anteroinferior devido à tração do músculo reto femoral

F. Natter M.D.
JOHN A. CRAIG MD

DESCRIÇÃO	AVALIAÇÃO	CLASSIFICAÇÃO	TRATAMENTO
FRATURA DA PELVE – OUTRAS			
<ul style="list-style-type: none"> Mecanismo: trauma de baixa energia (queda, lesão esportiva etc.) Fraturas estáveis isoladas, sem rompimento do anel pélvico Pode ocorrer no osso osteopênico 	<p>HDA: dor, especialmente com sustentação de peso</p> <p>EF: sensibilidade à palpação no ponto ósseo</p> <p>RX: AP, Incidências "inlet"/"outlet"</p> <p>TC: em geral, não é necessária, pode determinar o desvio</p>	<p>Fraturas Isoladas: ramos inferior ou superior do púbis, asa do ílio e crista ilíaca</p> <p>Avulsão: EIAS (m. sartório), EIAI (m. reto femoral), túber isquiático (mm. Isquiotibiais)</p>	<ul style="list-style-type: none"> Fraturas Isoladas: tratamento com repouso relativo, com carga assim que tolerado Fratura por avulsão: a maioria com tratamento conservador. Se o desvio for muito acentuado, utilizar a fixação
<p>COMPLICAÇÕES: consolidação viciosa/pseudartrose, dor crônica/incapacidade funcional, tromboembolismo</p>			

Acetábulo – Fraturas Elementares



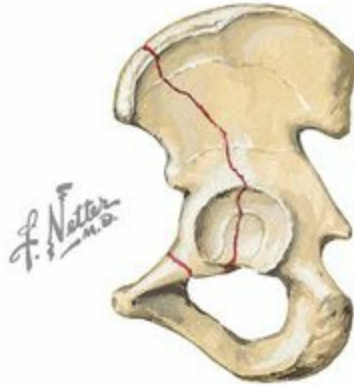
Fratura da parede posterior



Fratura da coluna posterior



Fratura em cunha da parede anterior



Fratura da coluna anterior



Fratura transversal

DESCRIÇÃO	AVALIAÇÃO	CLASSIFICAÇÃO	TRATAMENTO
FRATURA DO ACETÁBULO			
<ul style="list-style-type: none"> Mecanismo: trauma brusco de alta energia (p. ex, AVA); cabeça do fêmur contra o interior do acetábulo Padrão de fratura determinado pelo vetor de força e posição da cabeça do fêmur no momento do impacto Várias lesões associadas: GI, GU, fraturas de extremidades Abordagem cirúrgica: <ul style="list-style-type: none"> Kocher-Langenbeck: fraturas posteriores (parede posterior, coluna posterior, transversal, tipo T) Ilioinguinal: fraturas anteriores (parede anterior, coluna anterior/hemitransversa, dupla coluna) 	<p>HDA: trauma de alta energia, dor, incapacidade para sustentar peso</p> <p>EF: MI pode apresentar desvio rotacional. Inspeccionar a pele para observar se há lesão de Morel-Lavalle. Exame neurológico</p> <p>RX: AP de pelve, oblíquas obturatriz e alar (incidência de Judet) são essenciais. Ângulo do arco do teto: centro da cabeça até a fratura (<45°, com apoio/pisar [sustentar peso])</p> <p>TC: essencial para definir precisamente a fratura (tamanho, afundamento, envolvimento articular, corpos soltos e fazer o planejamento pré-operatório)</p>	<p>Letournel e Judet:</p> <ul style="list-style-type: none"> Fraturas elementares <ul style="list-style-type: none"> Parede posterior Coluna posterior Parede anterior Coluna anterior Transversal Fraturas associadas <ul style="list-style-type: none"> Coluna posterior e parede posterior Transversal e parede posterior Tipo T Coluna anterior e hemitransversa posterior Ambas as colunas 	<ul style="list-style-type: none"> Reduzir o quadril se desviado (tracionar se necessário para manter a redução) Conservador: sem carga (não pisar) por 12 semanas <ul style="list-style-type: none"> <2 mm de desvio articular Ângulo do arco do teto >45° Parede posterior frat. <20%-30% Cirúrgico: RAFI, sem carga (não pisar) por 12 semanas <ul style="list-style-type: none"> 2 mm de desvio articular Parede posterior >40% Fratura/luxação Irredutível Impacto marginal Corpos soltos na articulação do quadril Radioterapia na profilaxia contra ossificação heterotópica
<p>COMPLICAÇÕES: artrite pós-traumática, lesão no nervo (nervo isquiático), pós-cirúrgico (ossificação heterotópica, lesão do nervo isquiático, sangramento), consolidação viciosa/pseudartrose, infecção (associação com a lesão de Morel-Lavalle), tromboembolismo</p>			

Acetábulo – Fraturas Associadas



Coluna posterior/parede posterior



Transversal/parede posterior



Fratura em forma de "T"

F. Netter M.D.
JOHN A. CRAIG M.D.

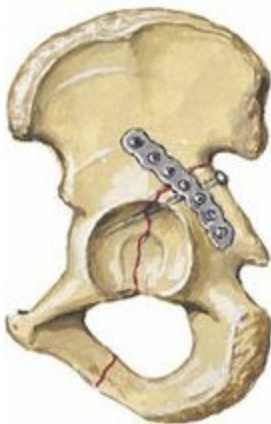


Coluna anterior/hemitransversa posterior

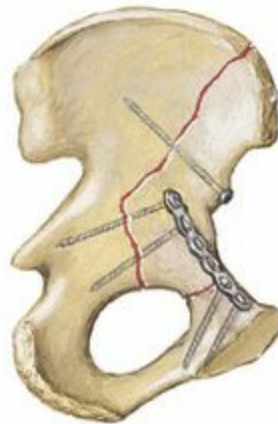


Dupla coluna

Redução aberta e fixação interna de fratura do acetábulo



Fratura da coluna posterior
Reparo com placa e parafusos de tração

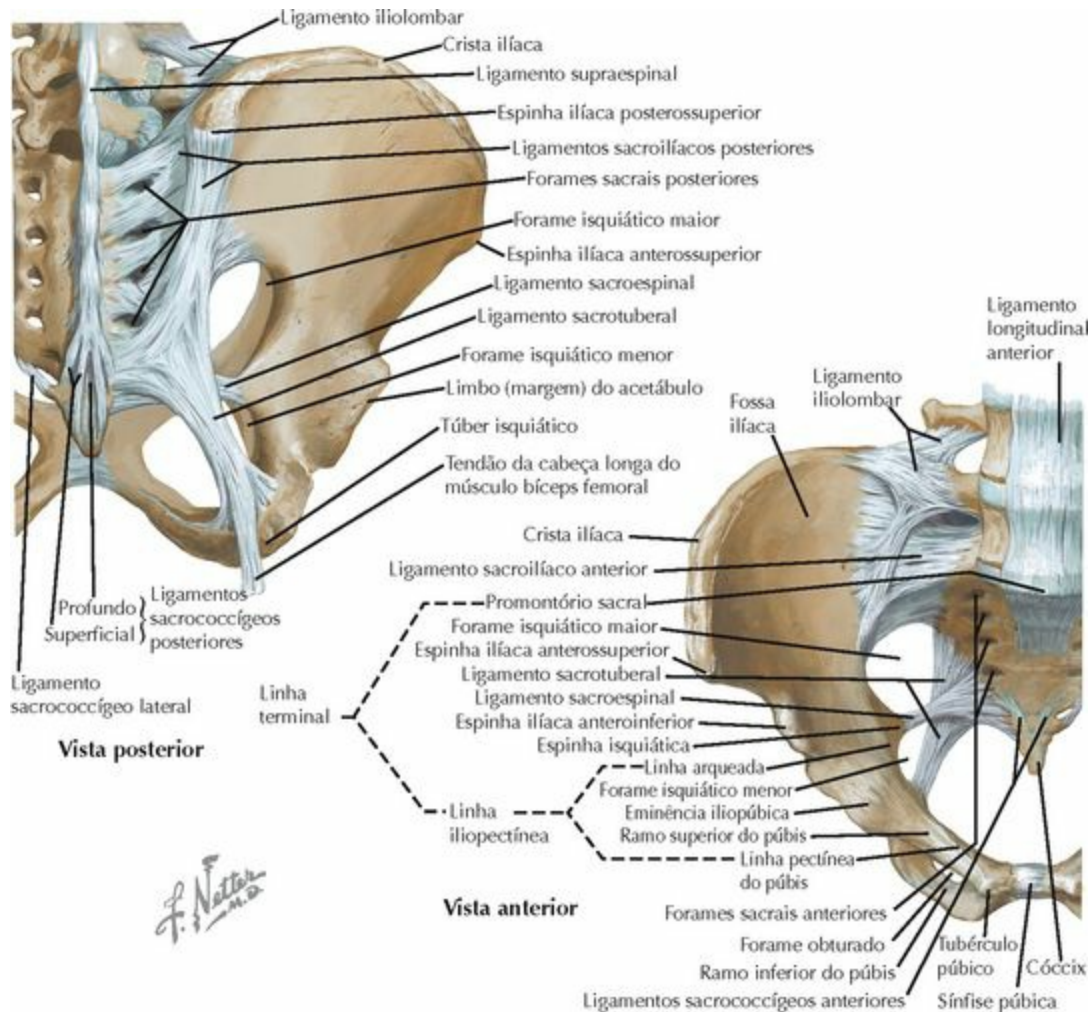


Fratura da coluna anterior
Reparo com placa e parafusos longos



Fratura transversa
Reparo com placa e parafusos de tração

ARTICULAÇÕES

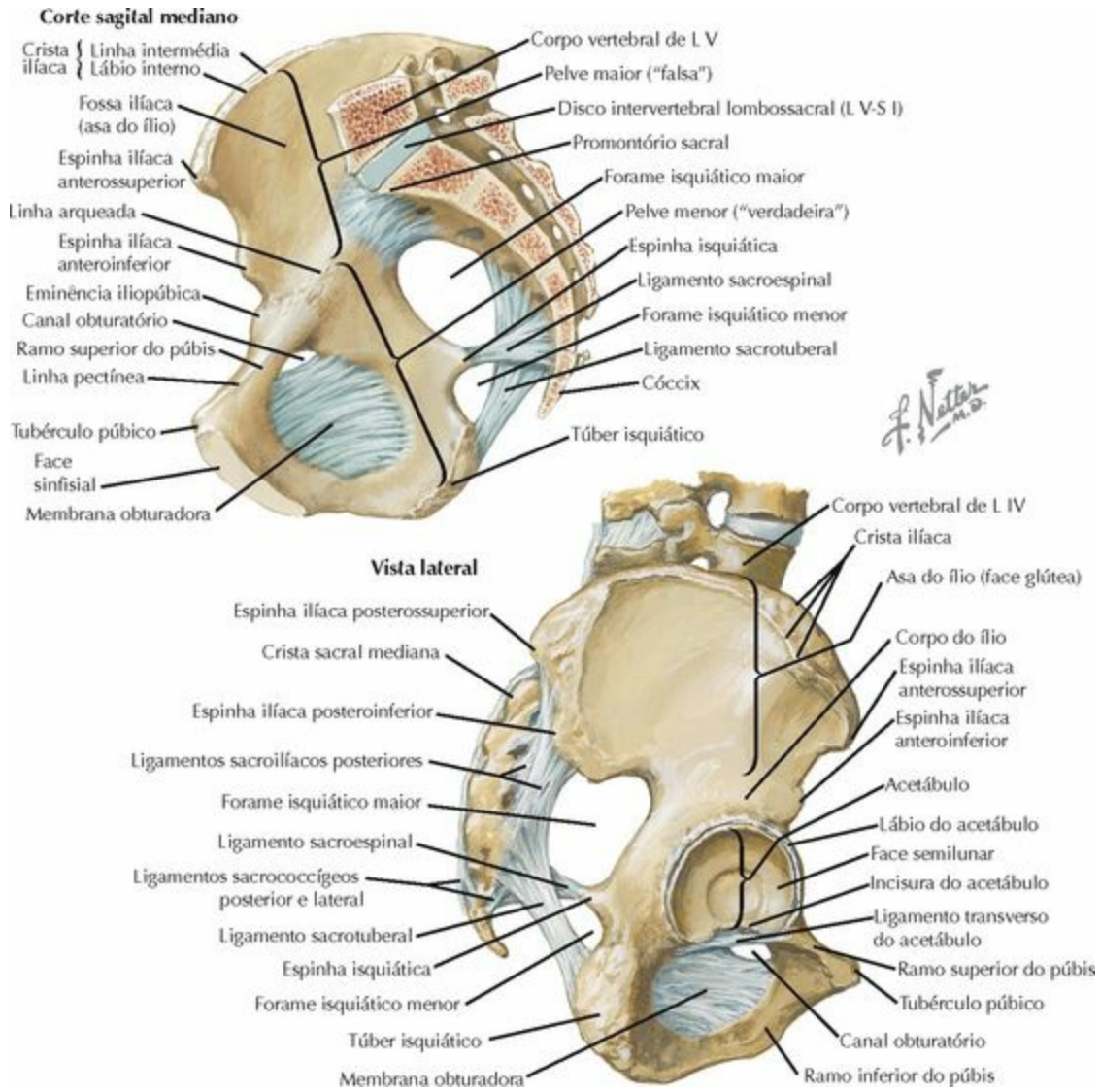


LIGAMENTOS	FIXAÇÕES	COMENTÁRIOS
ARTICULAÇÃO SACROILÍACA		
<ul style="list-style-type: none"> • Esta é uma articulação plana. Possui movimentos mínimos de rotação durante a marcha. A articulação normal não deve apresentar nenhum movimento vertical • A estabilidade vertical é essencial; o peso do corpo é transmitido através dessa articulação • A face articular (localizada inferiormente à articulação) é revestida com: sacro (cartilagem articular), ílio (fibrocartilagem) 		
Sacroilíaco posterior	Da região posterolateral do sacro à região posteromedial do ílio	Mais forte da pelve: chave para estabilidade vertical
◦ Sacroilíaco curto	Orientação oblíqua: do sacro à EIPS e EIPI	Resiste às forças de rotação
◦ Sacroilíaco longo	Orientação vertical: do sacro à EIPS	Resiste às forças verticais Mistura com ligamento sacrotuberal
Sacroilíaco anterior	Região anterior do sacro à região anterior do ílio	Mais fraco que o posterior; resiste às forças de rotação

Interósseo	Do sacro ao ílio	Adiciona suporte aos ligamentos sacroilíacos anterior e posterior
------------	------------------	---

ESTABILIDADE DA PELVE

Estabilidade rotacional	Orientação transversal/horizontal	Ligamentos SI posteriores curtos, SI anterior, sacroespinal e iliolumbar
Estabilidade vertical	Orientação longitudinal/vertical	Ligamentos SI posteriores longos , sacrotuberal e lombossacral



LIGAMENTOS	FIXAÇÕES	COMENTÁRIOS
SÍNFISE PÚBLICA		
<ul style="list-style-type: none"> • Articulação (anterior) entre as duas hemipelvas. As faces articulares são revestidas por cartilagem hialina • Entre os dois ossos púbicos da articulação há um disco fibrocartilágneo 		
Púbico superior	Ambos os ossos púbicos superiormente (e anteriormente)	Ligamento de suporte forte

Púbico inferior	Ambos os ossos púbicos inferiormente	As inserções musculares também fornecem suporte inferiormente
-----------------	--------------------------------------	---

OUTROS LIGAMENTOS

Sacroespinal	Região anterolateral do sacro até a espinha isquiática	Resiste à rotação, divide os forames isquiáticos
Sacrotuberal	Região posterolateral do sacro até o túber isquiático	Resiste às forças verticais, fornece estabilidade vertical
Iliolombar	Processo transversal L IV e L V até a crista ilíaca, posteriormente	Fratura por avulsão é sinal de lesão instável do anel pélvico
Lombossacral	Processo transversal de L V até a asa do sacro	Suporte anterior, auxilia na estabilidade vertical

HISTÓRIA DA DOENÇA ATUAL

Fratura da pelve por compressão anteroposterior
(fratura "em livro aberto")



O impacto frontal violento causa compressão anteroposterior da pelve

F. Natter M.D.

Lesão por compressão lateral da pelve (sobreposição da pelve)

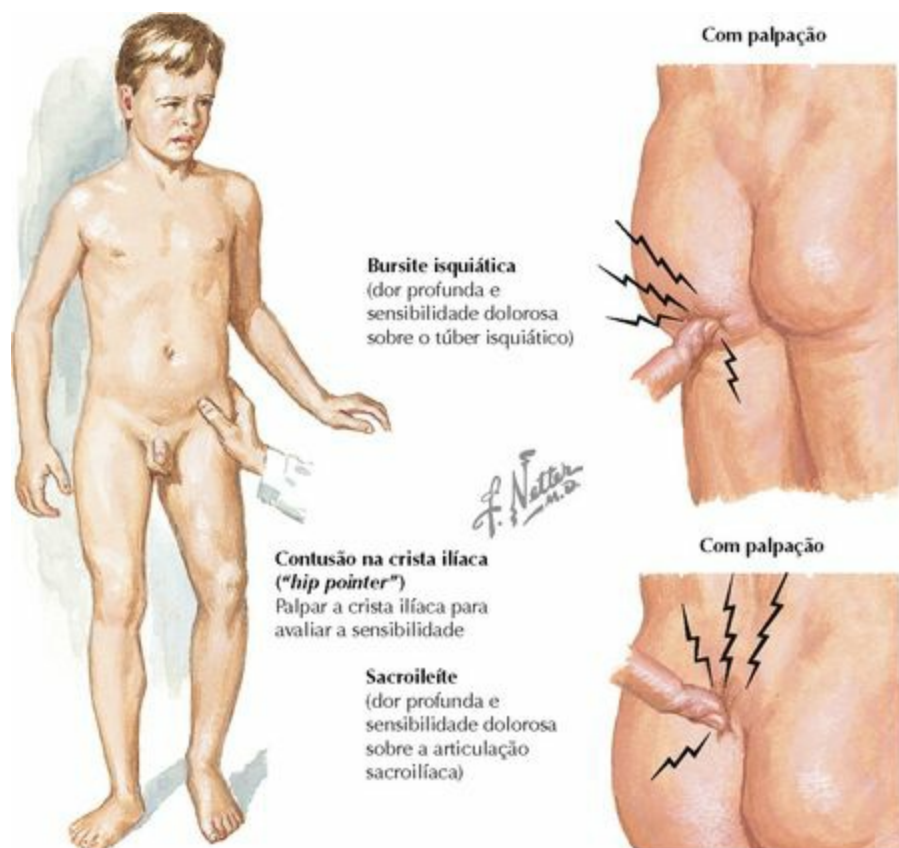
Causada por golpe violento ao lado da pelve (lateralmente)



PERGUNTA	RESPOSTA	APLICAÇÃO CLÍNICA
1. Idade	Jovem	Espondilite anquilosante
	Meia-idade – idoso	Sacroileíte, diminuição da mobilidade
2. Dor		
a. Início	Aguda	Trauma: fratura, luxação, contusão
	Crônica	Inflamação sistêmica, distúrbio degenerativo
b. Características	Profunda, não específica	Etiologia sacroilíaca, infecção, tumor
	Irradiada	Para a coxa ou nádega, articulação SI, região lombar da coluna vertebral
c. Ocorrência	Entrar e sair da cama, em escada	Etiologia sacroilíaca
	Adução dos MMII	Etiologia na sínfise púbica
3. HPP	Gravidez	Lassidão dos ligamentos na articulação SI causa dor

4. Trauma	Queda sobre a nádega, lesão com torção	Lesão da articulação sacroilíaca
	Alta velocidade: AVA, queda	Fratura, rompimento do anel pélvico
5. Atividade/trabalho	Torção, ficar em pé sobre uma perna	Etiologia sacroilíaca
6. Sintomas neurológicos	Dor, dormência, formigamento	Etiologia na coluna vertebral, etiologia sacroilíaca
7. História de artrites	Várias articulações envolvidas	Envolvimento SI de AR, síndrome de Reiter, espondilite anquilosante etc.

EXAME FÍSICO



EXAME/OBSERVAÇÃO	TÉCNICA	APLICAÇÃO CLÍNICA
INSPEÇÃO		
Pele	Manchas, feridas	Trauma recente
EIAS/crista ilíaca	Ambos os níveis (mesmo plano)	Se estiver em plano diferente: discrepância no comprimento do membro inferior, torção sacral
Curvatura lombar	Aumento da lordose	Contratura em flexão
	Diminuição da lordose	Espasmo muscular paraespinal
PALPAÇÃO		
Estruturas ósseas	Em pé: EIAS, tubérculos púbico e ilíaco, EIPS	Desigualdade entre os lados = obliquidade pélvica; discrepância do comprimento do membro inferior
	Deitado: crista ilíaca, túber isquiático	Contusão da crista ilíaca/contusão, fraturas Bursite isquiática, fratura por avulsão
	Articulação sacroilíaca	Sacroileíte

Estruturas moles	Ligamento inguinal	Massa protuberante: hérnia
	Pulso femoral e linfonodos	Pulso diminuído: lesão vascular; linfonodos palpáveis: infecção
	Grupos musculares	Cada grupo deve ser simétrico bilateralmente
AMPLITUDE DE MOVIMENTO		
Flexão anterior	Em pé: inclinar para a frente	EIPS deve elevar-se levemente (igualmente)
Extensão	Em pé: inclinar para trás	EIPS deve deprimir-se (igualmente)
Flexão do quadril	Em pé: joelho no tórax (peito)	EIPS deve cair, mas irá se elevar na articulação SI hipomóvel O túber isquiático deve mover-se lateralmente; será elevado na articulação SI hipomóvel

Teste de Trendelenburg
Esquerda: paciente demonstra teste de Trendelenburg negativo de quadril direito normal. Direita: teste positivo do quadril esquerdo comprometido. Quando o peso está sobre o lado afetado, o quadril normal cai, indicando fraqueza do músculo glúteo médio esquerdo. O tronco desvia para a esquerda conforme o paciente tenta manter o equilíbrio



Exame retal



Exame retal para função do esfíncter e para a sensação perianal. A presença de muito sangue indica fratura da pelve que se comunica com o colo



Exame ginecológico

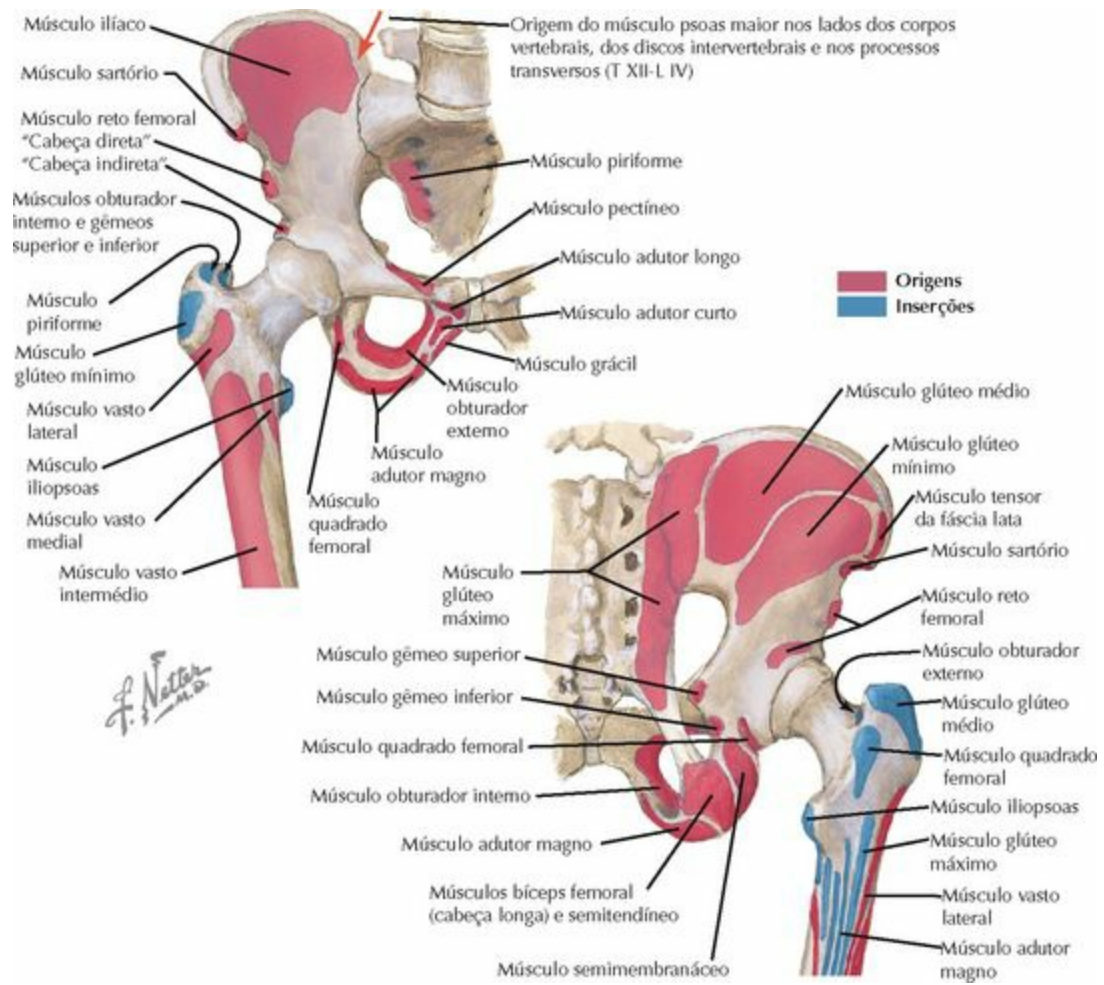


Teste do reflexo bulbocavernoso

EXAME/OBSERVAÇÃO	TÉCNICA	APLICAÇÃO CLÍNICA
NEUROVASCULAR		
Sensitivo		
Nervo ílio-hipogástrico [L1]	Região suprapúbica, parte lateral da região glútea e coxa	Déficit indica lesão do nervo/raiz correspondente
Nervo ilioinguinal [L1]	Região inguinal	Déficit indica lesão do nervo/raiz correspondente
Nervo genitofemoral	Escroto ou monte do púbis	Déficit indica lesão do nervo/raiz correspondente
		Déficit indica lesão do nervo/raiz

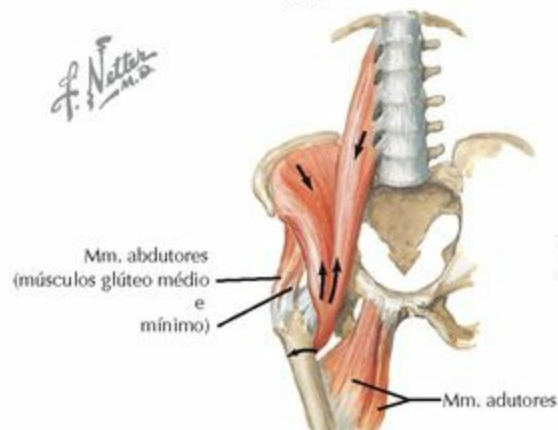
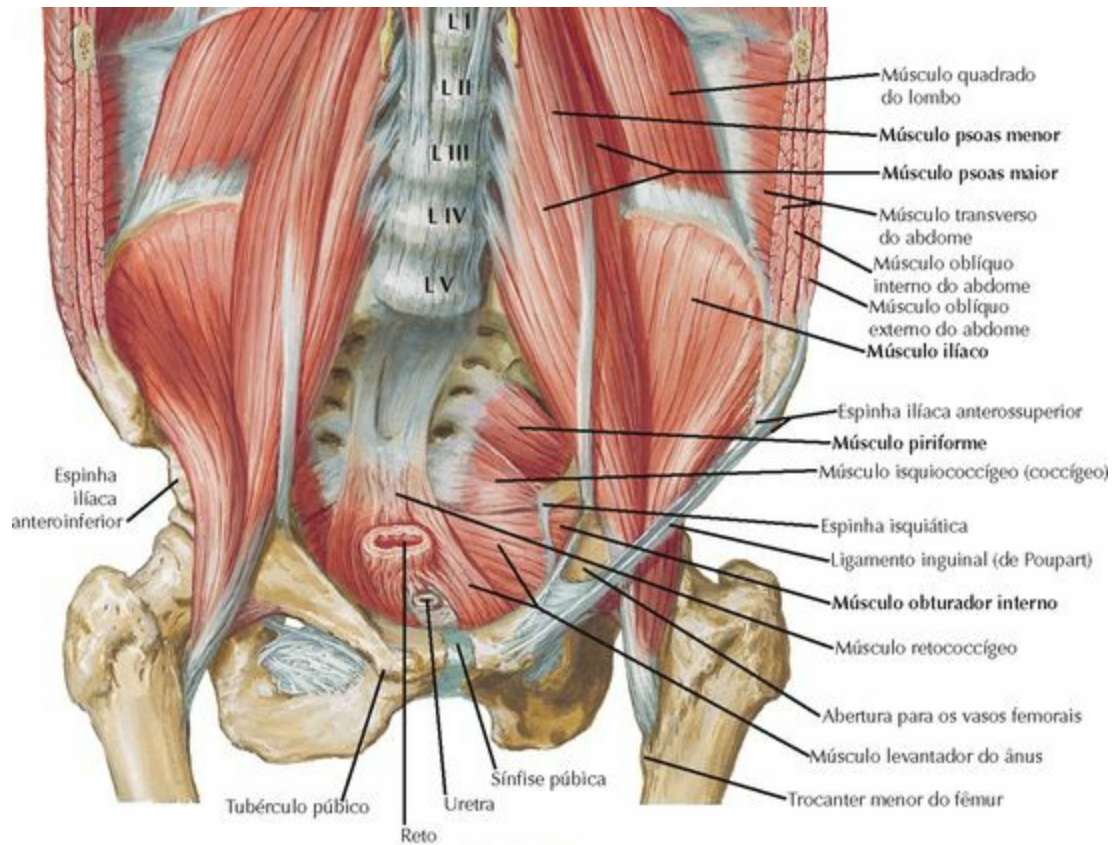
Nervo cutâneo femoral lateral (L2-L3)	Região lateral de quadril/coxa	correspondente (p. ex., meralgia parestésica)
Nervo pudendo (S2-S4)	Períneo	Déficit indica lesão do nervo/raiz correspondente
Motor		
Nervo femoral (L2-L4)	Flexão do quadril	Fraqueza: lesão do m. iliopsoas ou do nervo/raiz correspondente
Nervo glúteo inferior	Rotação lateral	Fraqueza: lesão do m. glúteo máximo ou do nervo/raiz correspondente
Nervo para o m. quadrado femoral	Rotação lateral	Fraqueza: lesão dos mm. rotadores curtos ou do nervo/raiz correspondente
Nervo glúteo superior	Abdução	Fraqueza: lesão do m. glúteo médio ou do nervo/raiz correspondente
Outros		
Reflexo	Bulbocavernoso	Dedo no reto, comprimir ou puxar o pênis (Foley)/clitóris; o m. esfíncter externo do ânus deve contrair
Pulsos	Pulso femoral	Diminuição anormal do pulso
TESTES ESPECIAIS		
“ <i>Pelvic rock</i> ”	Empurrar ambas as cristas ilíacas	Instabilidade/movimento indica lesão do anel pélvico
Teste de estresse SI	Pressionar EIAS e crista ilíaca	Dor na SI pode ser lesão no ligamento SI
Sinal de Trendelenburg	Em pé: levantar uma perna (flexionar quadril)	Lado flexionado: pelve deve elevar-se; se cair, há disfunção do m. abductor ou do m. glúteo médio (n. glúteo superior)
Patrick (FABROL)	F lexionar, AB duzir, RO tação L ateral do quadril, depois abduzir mais	Positivo se houver dor ou se o MI não continuar a abduzir abaixo do outro membro; patologia da articulação SI
Meralgia	Pressão medial na EIAS	Reprodução da dor, queimação, dormência = compressão do NCFL
Exame retal e vaginal	Principalmente após trauma	A presença de muito sangue indica trauma comunicante com esses órgãos

ORIGENS E INSERÇÕES



RAMO DO PÚBIS	TROCANTER MAIOR	TÚBER ISQUIÁTICO	LINHA ÁSPERA
ORIGENS (INSERÇÃO PROXIMAL)			
M. pectíneo M. adutor longo M. adutor curto M. adutor magno* M. grácil M. obturador Interno M. obturador externo		M. semimembranáceo M. semitendíneo M. bíceps femoral (cabeça longa) M. adutor magno* <i>Ísquio</i> M. quadrado femoral M. gêmeo Inferior	M. vasto lateral M. vasto Intermédio M. vasto médio M. bíceps femoral (cabeça curta)
INSERÇÕES (INSERÇÃO DISTAL)			
	M. glúteo médio (posterior) M. glúteo mínimo (anterior) M. quadrado femoral (Inferior) M. obturador externo (fossa) MM. ROTADORES LATERAIS CURTOS M. piriforme M. gêmeo superior M. obturador Interno M. gêmeo Inferior		M. glúteo máximo M. adutor magno M. adutor curto M. adutor longo M. pectíneo
* Possui duas origens			

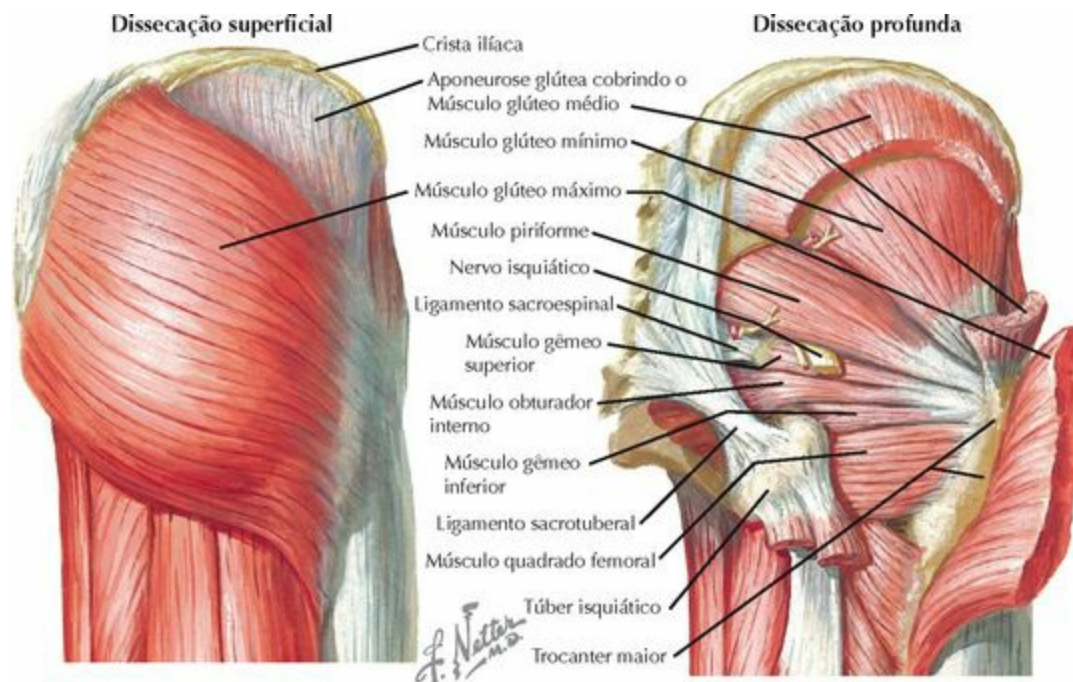
MÚSCULOS



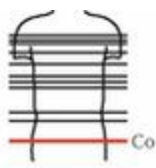
Nota: as setas indicam a direção da ação do músculo iliopsoas.

MÚSCULO	ORIGEM (Inserção Proximal)	INSERÇÃO (Inserção Distal)	NERVO	AÇÃO	COMENTÁRIO
FLEXORES DO QUADRIL					
Psoas maior	Vértex T XII-L V	Trocanter menor	Femoral	Flexão do quadril	Cobre o plexo lombar
Psoas menor	Vértex T XII-L I	Eminência ilíopúbica	Ramo anterior de L1	Auxilia na flexão do quadril	Fraco – presente em 50% das pessoas
Ilíaco	Fossa ilíaca/asa do sacro	Trocanter menor	Femoral	Flexão do quadril	Cobre a parte anterior do fêmur

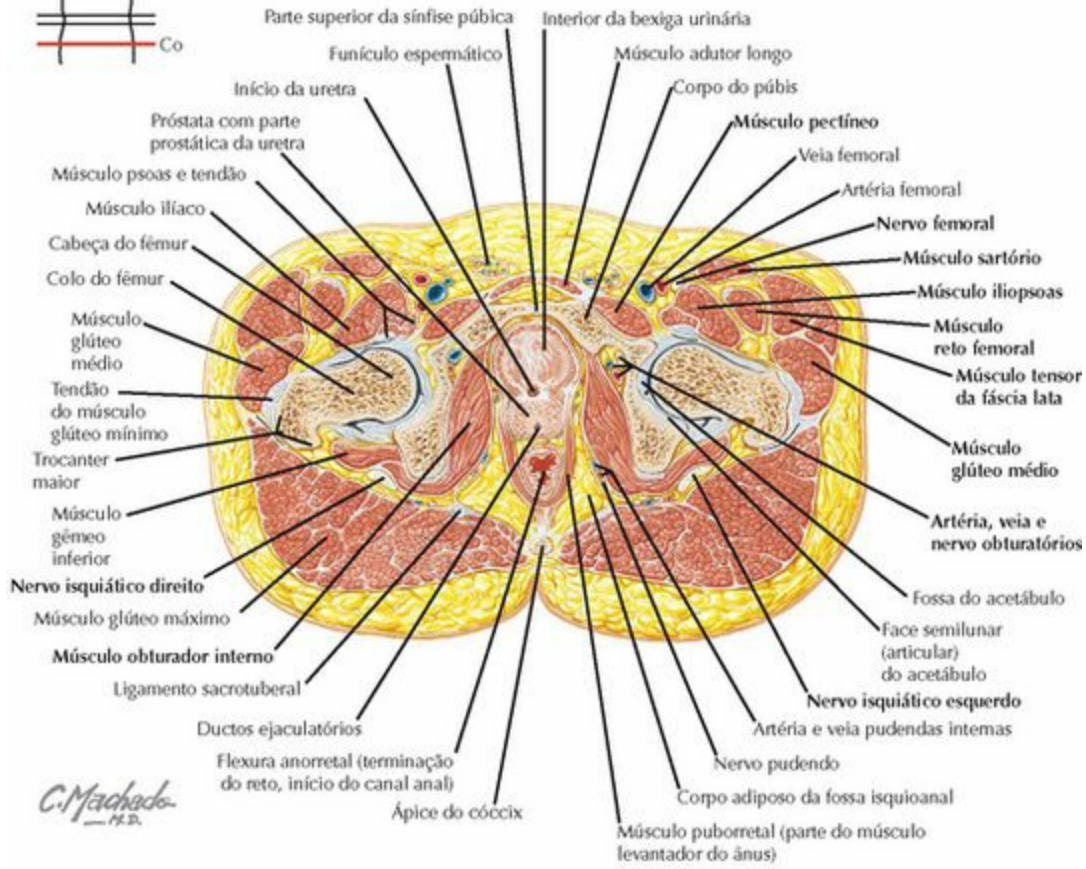
Veja também os músculos do quadril/coxa no Capítulo 8



MÚSCULO	ORIGEM (Inserção Proximal)	INSERÇÃO (Inserção Distal)	NERVO	AÇÃO	COMENTÁRIO
ABDUTORES DO QUADRIL					
Tensor da fáscia lata	Crista ilíaca, EIAS	Trato iliotibial/parte proximal da tibia	Glúteo superior	Abdução, flexão, RM da coxa	Um plano no acesso anterior ao quadril
Glúteo médio	Ílio entre as linhas glúteas anterior e posterior	Trocanter maior (região posterior)	Glúteo superior	Abdução, RM da coxa	Marcha de Trendelenburg se o músculo estiver fora
Glúteo mínimo	Ílio entre as linhas glúteas anterior e inferior	Trocanter maior (região anterior)	Glúteo superior	Abdução, RM da coxa	Trabalha em conjunto com médio
EXTENSORES DO QUADRIL E ROTADORES LATERAIS					
Glúteo máximo	Ílio, região posterior do sacro	TIT, tuberosidade glútea (fêmur)	Glúteo inferior	Extensão, RL da coxa	Deve ser incisionado no acesso posterior ao quadril
Obturador externo	Ramo isquiopúbico, membrana obturadora	Fossa trocântérica	Para o m. obturador	RL da coxa	Inseri-se no ponto de entrada da haste intramedular
Rotadores Laterais Curtos					
Piriforme	Região anterior do sacro	Parte superior do trocanter maior	Para o m. piriforme	RL da coxa	Usado como ponto de referência anatômica para o nervo isquiático
Gêmeo superior	Espinha isquiática	Região medial do trocanter maior	Para o m. obturador interno	RL da coxa	Desinserido no acesso posterior ao quadril
Obturador interno	Ramo isquiopúbico, membrana obturadora	Região medial do trocanter maior	Para o m. obturador interno	RL, adução da coxa	Passa através do forame isquiático menor
Gêmeo inferior	Túber isquiático	Região medial do trocanter maior	Para o m. quadrado femoral	RL da coxa	Desinserido no acesso posterior ao quadril
Quadrado femoral	Túber isquiático	Crista intertrocântérica	Para o m. quadrado femoral	RL da coxa	O ramo ascendente da artéria circunflexa medial passa abaixo do músculo



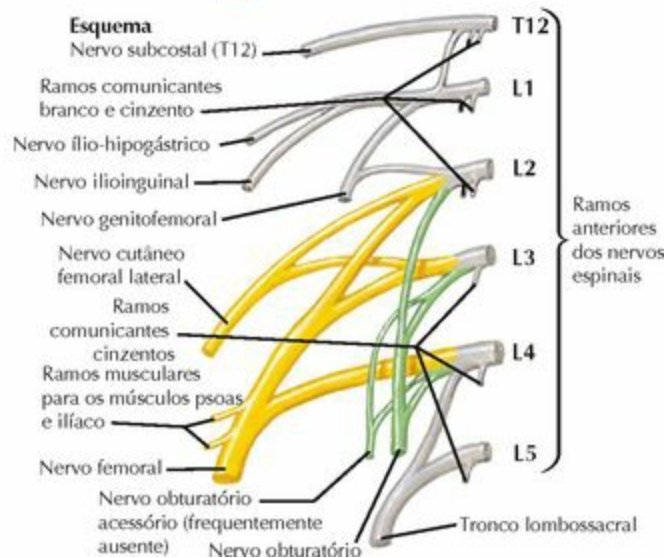
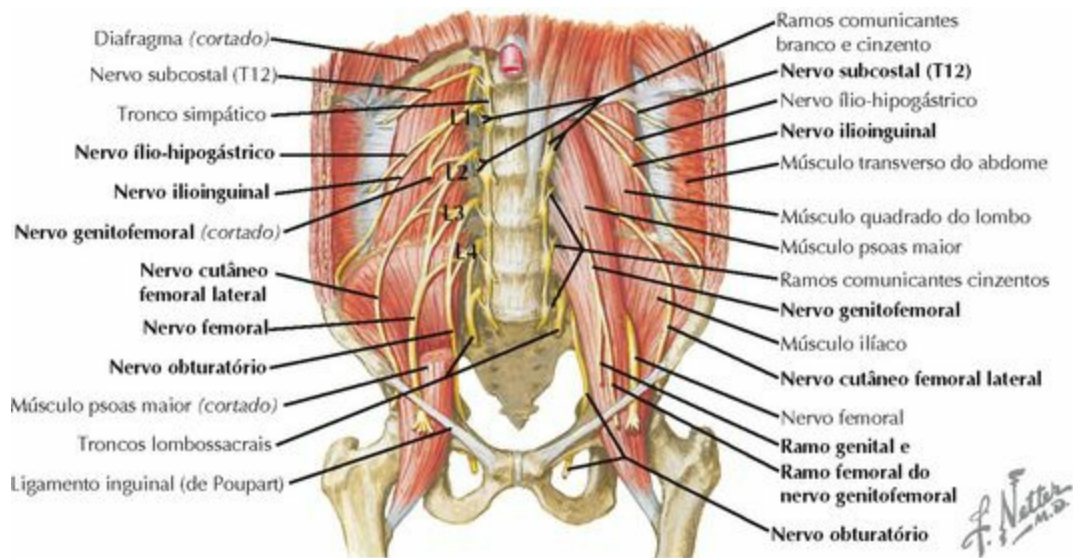
Corte Transversal: Crista Púbrica, Cabeças Femorais, Cóccix



RM da Pelve



NERVOS



PLEXO LOMBAR

O plexo lombar é composto pelos ramos anteriores de L1-L4. Duas divisões: anterior (inerva os músculos flexores), posterior (inerva os músculos extensores). O plexo é formado dentro do músculo psoas

Divisão Anterior

N. subcostal (T12): inferior à costela XII

Sensitivo: Região subxifoide

Motor: Nenhum

N. ílio-hipogástrico [L1]: abaixo do m. psoas, perfura os músculos abdominais

Sensitivo: Acima do púbis
Região posterolateral das nádegas

M. transverso do abdome

Motor: M. oblíquo interno do abdome

N. ilioinguinal (L1): abaixo do m. psoas, perfura os músculos abdominais

Sensitivo: Região inguinal e anteroposterior da coxa

Motor: Nenhum

N. genitofemoral (L1-L2): perfura o m. psoas; situa-se na face anterior do músculo psoas

Sensitivo: Escroto ou lábio maior do pudendo

Motor: M. cremaster

N. obturatório (L2-L4): sai pelo canal obturatório, ramifica-se em divisão anterior e posterior (pode ser lesionada pelos **afastadores** colocados atrás do ligamento transverso do acetábulo [LTA])

Sensitivo: Região inferomedial da coxa pelo **ramo cutâneo do nervo obturatório**

Motor: M. oblíquo externo
M. obturador externo (divisão posterior)

N. obturatório acessório (L2-L4): inconstante

Sensitivo: Nenhum

Motor: M. psoas

Divisão Posterior

N. cutâneo femoral lateral (NCFL) (L2-L3): passa no m. ilíaco, cruza inferiormente a EIAS (pode ser **comprimido** neste local: meralgia parestésica)

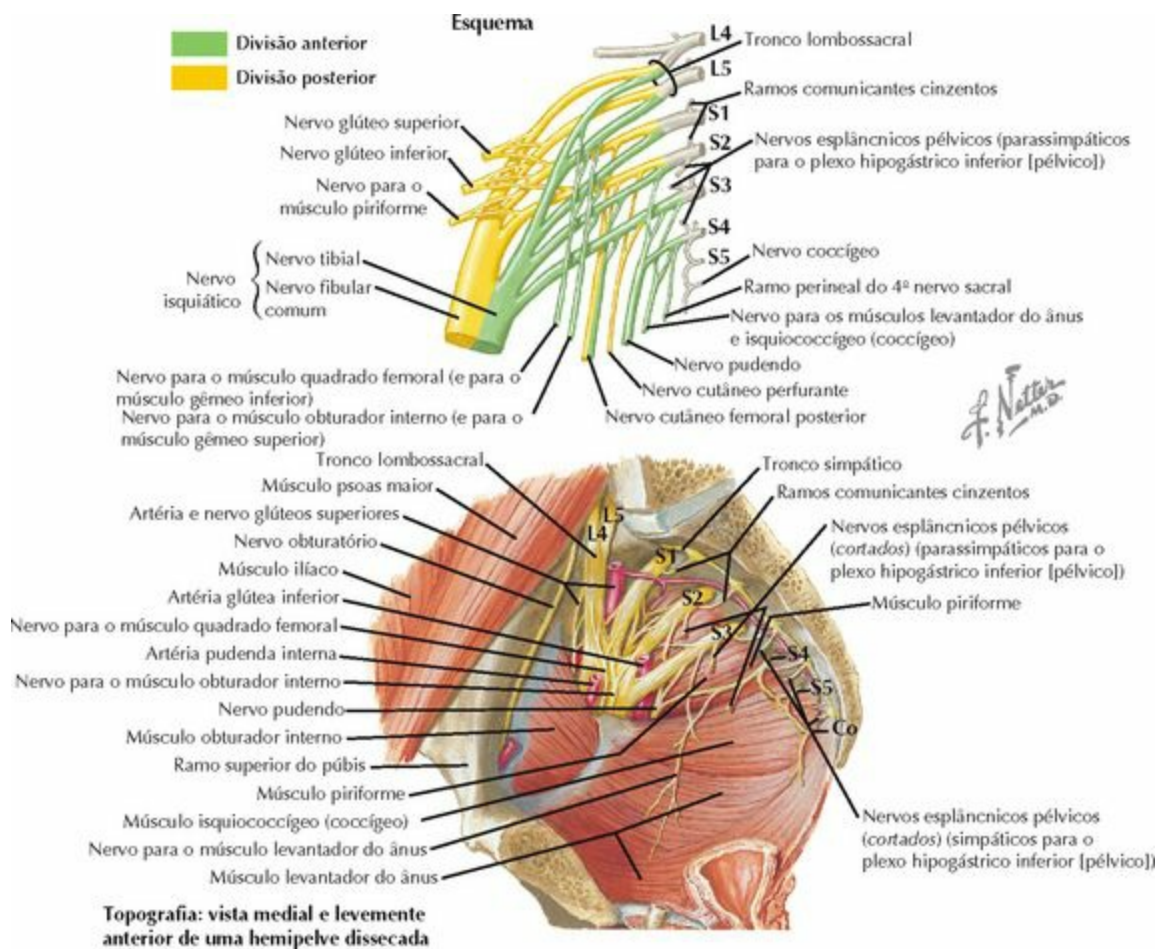
Sensitivo: Nenhum (na pelve)

Motor: Nenhum

N. femoral (L2-L4): localiza-se entre o m. psoas maior e o m. ilíaco

Sensitivo: Nenhum (na pelve)

Motor: Psoas
M. ilíaco
M. pectíneo



PLEXO SACRAL

O plexo sacral é composto pelos ramos anteriores de L4-S3(4). Duas divisões: anterior (inerva os músculos flexores), posterior (inerva os músculos extensores). O plexo situa-se anteriormente ao músculo piriforme

Divisão Anterior

Nervo para o m. quadrado femoral (L4-S1): sai pelo forame isquiático maior

Sensitivo: Nenhum

Motor: M. quadrado femoral
M. gêmeo inferior

Nervo para o m. obturador interno (L5-S2): sai pelo forame isquiático maior

Sensitivo: Nenhum

Motor: M. obturador interno
M. gêmeo superior

N. pudendo (S2-S4): sai pelo forame isquiático **maior** e entra novamente na pelve pelo forame isquiático **menor**

Sensitivo: Períneo:
Via **nervo perineal** (nn. escrotais/labiais)
Via **nervo retal inferior**
Via **nervo dorsal** do pênis/clitóris

Motor:

M. bulboesponjoso: **nervo perineal**
M. isquiocavernoso: **nervo perineal**
M. esfíncter da uretra: **nervo perineal**
“Diafragma urogenital”: **nervo perineal**
M. esfíncter externo do ânus: **nervo retal inferior**

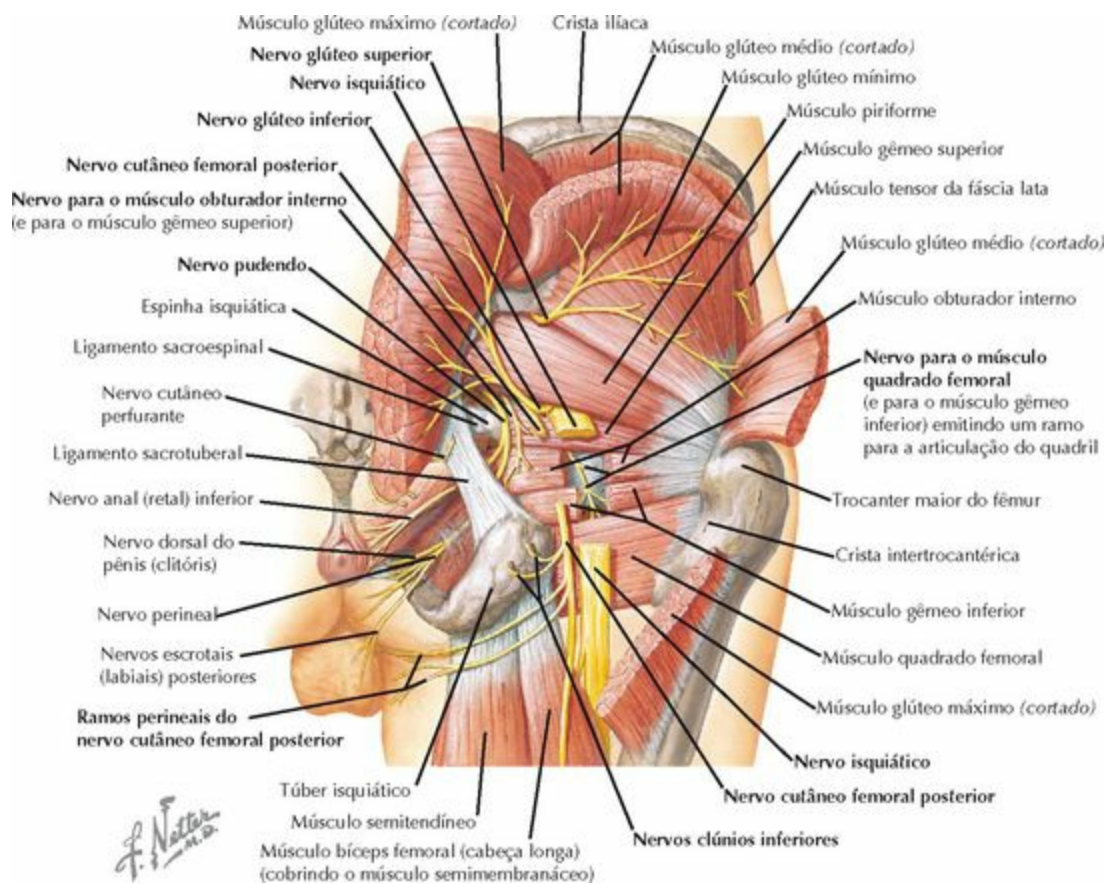
Nervo para o m. isquiococcígeo (S3-S4): inerva diretamente o músculo

Sensitivo:

Nenhum

Motor:

M. isquiococcígeo
M. levantador do ânus



PLEXO SACRAL

Divisão Posterior

N. glúteo superior (L4-S1): sai pelo forame isquiático maior, **acima** do m. piriforme

Sensitivo:

Nenhum

Motor:

M. glúteo médio
M. glúteo mínimo
M. tensor da fáscia lata

N. glúteo inferior (L5-S2): sai pelo forame isquiático maior

Sensitivo:

Nenhum

Motor: M. glúteo máximo

Nervo para o m. piriforme (S1-S2): inerva diretamente o músculo

Sensitivo: Nenhum

Motor: M. piriforme

Outras Divisões

N. cutâneo femoral posterior (S1-S3): sai pelo forame isquiático maior, abaixo do m. piriforme, medialmente ao nervo isquiático

Sensitivo:

Região inferior das nádegas: pelos **nervos clúneos inferiores**

Região posterior do períneo: **ramos perineais**
Região posterior da coxa (ver [Capítulo 8](#))

Motor:

Nenhum

N. isquiático (L4-S3): o **maior** nervo do corpo. Dois componentes: tibial (divisão anterior) e fibular (divisão posterior). Sai pelo forame isquiático maior, **abaixo** do m. piriforme. Variações anatômicas incluem saída **através** ou **acima** do m. piriforme. Rebatendo os músculos rotadores laterais curtos, protegerá o nervo isquiático no acesso posterior ao quadril

Sensitivo:

Nenhum (na pelve; ver [Capítulos 8-10](#))

Motor:

Nenhum (na pelve; ver [Capítulos 8-10](#))

Outros Nervos (não de plexos)

Nn. clúneos superiores (L1-L3): ramificações dos ramos **posteriores**.

Nn. clúneos mediais (S1-S3): ramificações dos ramos **posteriores**.

Sensitivo: $\frac{2}{3}$ superiores das nádegas

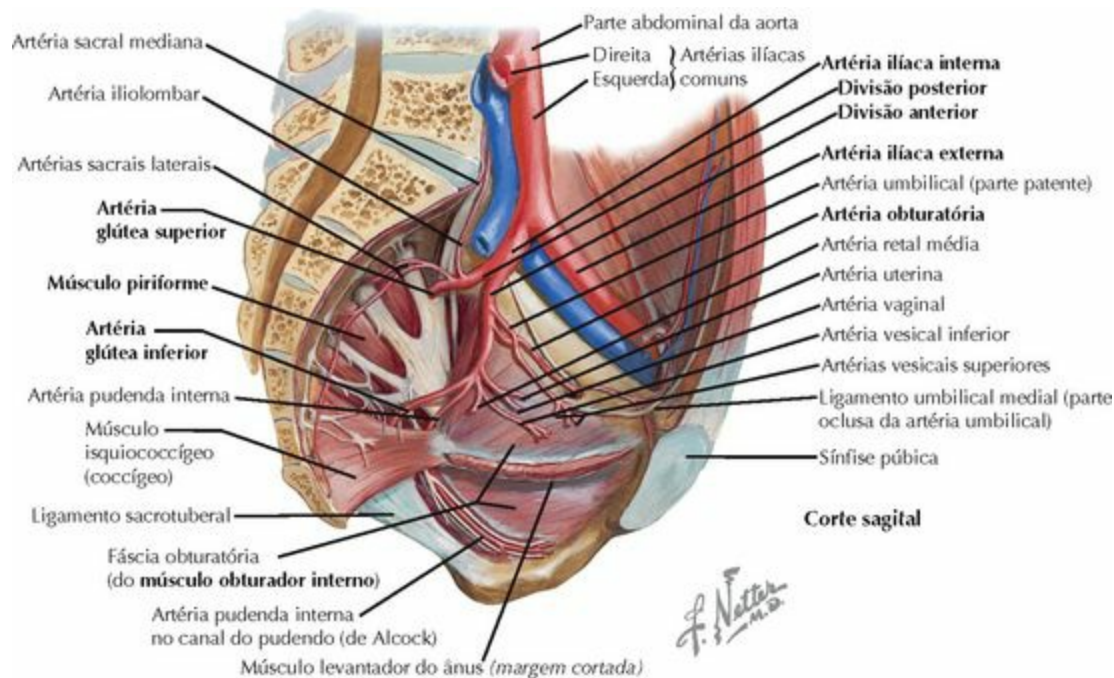
Sensitivo: Região sacral e porção medial da região glútea

• O músculo piriforme é um ponto de referência anatômica importante da região glútea. A maioria dos nervos sai inferiormente a ele.

POPI IQ é uma técnica mnemônica: n. Pudendo, n. para m. Obturador interno, n. cutâneo femoral Posterior, n. Isquiático, n. glúteo

Inferior, n. para o m. Quadrado femoral

ARTÉRIAS

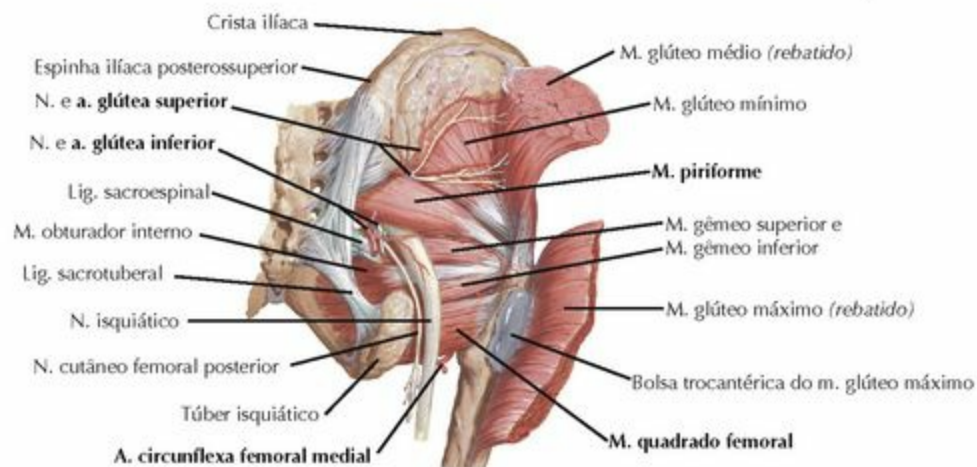
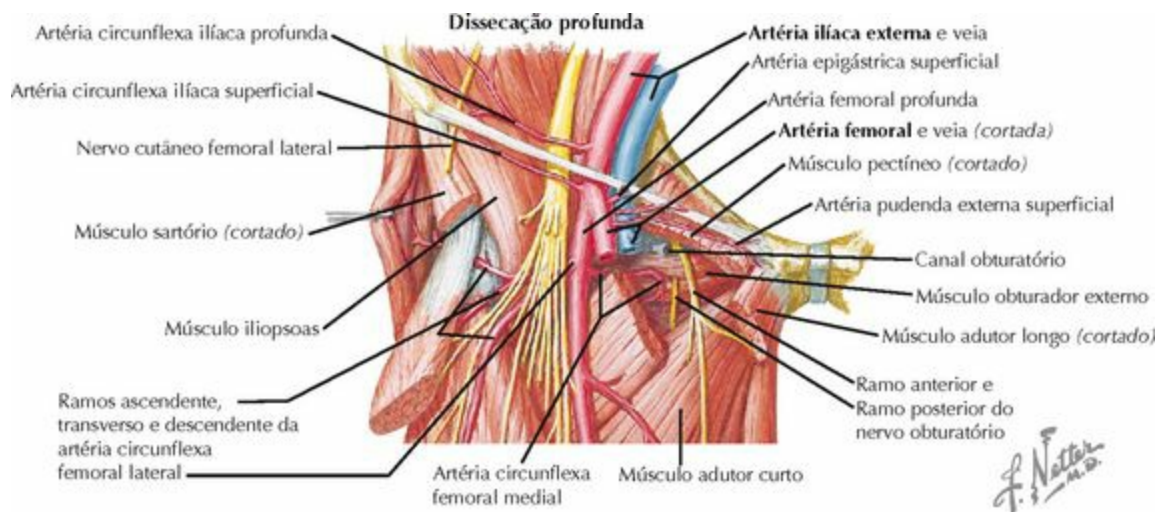


ARTÉRIA	TRAJETO	COMENTÁRIO/IRRIGAÇÃO
AORTA		
Íliacas comuns	Dicotomizam em L IV, passam anteriormente à coluna vertebral	Irrigam a pelve e os membros inferiores
Sacral mediana	Passa anteriormente à coluna vertebral e ao sacro	Anastomosa-se com as artérias sacrais laterais
ARTÉRIA ILÍACA COMUM		
Íliaca interna	Inferiormente ao ureter em direção ao sacro, então se divide	Irriga a maior parte da pelve e dos órgãos pélvicos Divide-se em divisões anteriores e posteriores
Íliaca externa	Na face anterior do músculo psoas até o ligamento inguinal	Não irriga muitas estruturas da pelve
ILÍACA INTERNA		
Divisão Anterior		
Obturatória	Através do forame obturado juntamente com o nervo obturatório	O ramo acetabular passa dentro do ligamento da cabeça do fêmur
<i>Glútea inferior</i>	Sai pelo forame isquiático maior abaixo do m. piriforme	Irriga o músculo glúteo máximo

Vários ramos viscerais	Umbilical Uterina/vaginal (mulheres) Vesical inferior (homens) Retal média Pudenda interna	Irriga a bexiga urinária (via artérias vesicais superiores) Irriga o útero/vagina (via artéria vaginal) Irriga a bexiga urinária, próstata e ducto deferente Anastomose com as artérias retais superior e inferior Faz trajeto com nervo pudendo Ramos retais inferiores a partir dessa artéria
------------------------	--	--

Divisão Posterior

<i>Glútea superior</i>	Sai pelo forame isquiático maior acima do m. piriforme	Pode ser lesionada na incisura isquiática maior, por fraturas na coluna posterior ou lesões do anel pélvico
Iliolombar	Passa superficialmente em direção à fossa ilíaca	Irriga os músculos ílio, ilíaco e psoas
Sacral lateral	Passa ao longo do sacro, anteriormente às raízes sacrais	Irriga sacro/músculos e nervos sacrais Anastomosa-se com a artéria sacral mediana (aorta)



ARTÉRIA

TRAJETO

COMENTÁRIO/IRRIGAÇÃO

ARTÉRIA ILÍACA EXTERNA

Circunflexa ilíaca profunda	Passa lateralmente, abaixo do m. oblíquo interno do abdome até a crista ilíaca	Irriga os músculos da região anterolateral da parede do abdome
Epigástrica inferior	Passa superiormente pela fáscia transversal	Irriga os músculos da região anterior da parede do abdome
Artéria femoral	Continuação da AIE abaixo do ligamento inguinal	Ramo terminal da artéria ilíaca externa

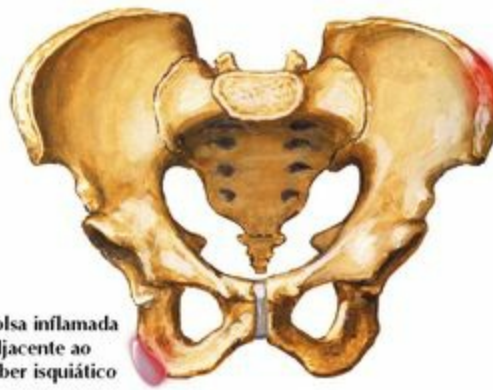
ARTÉRIA FEMORAL

Circunflexa ilíaca superficial	Nos tecidos subcutâneos em direção à EIAS	Irriga os tecidos superficiais do abdome
Epigástrica superficial	Nos tecidos subcutâneos em direção ao umbigo	Irriga os tecidos superficiais do abdome
Pudenda externa superficial e profunda	Medialmente sobre os mm. adutores e o funículo espermático até as regiões inguinal e genital	Irriga os tecidos subcutâneos da região púbica e escroto/lábios maiores
Femoral profunda	Entre o músculo adutor longo e o pectíneo/adutor curto	Emite as artérias circunflexas (2) e as perfurantes
Circunflexa femoral medial	Entre o músculo pectíneo e o psoas, então posterior ao colo do fêmur abaixo do m. quadrado femoral	Passa abaixo do músculo quadrado femoral; pode ser lesionado no acesso posterior ao quadril
Circunflexa femoral lateral	Passa lateral e profundamente aos músculos sartório e reto femoral	Em risco no acesso anterolateral do quadril

DISTÚRBIOS



Osteíte púbica



Contusão da crista ilíaca



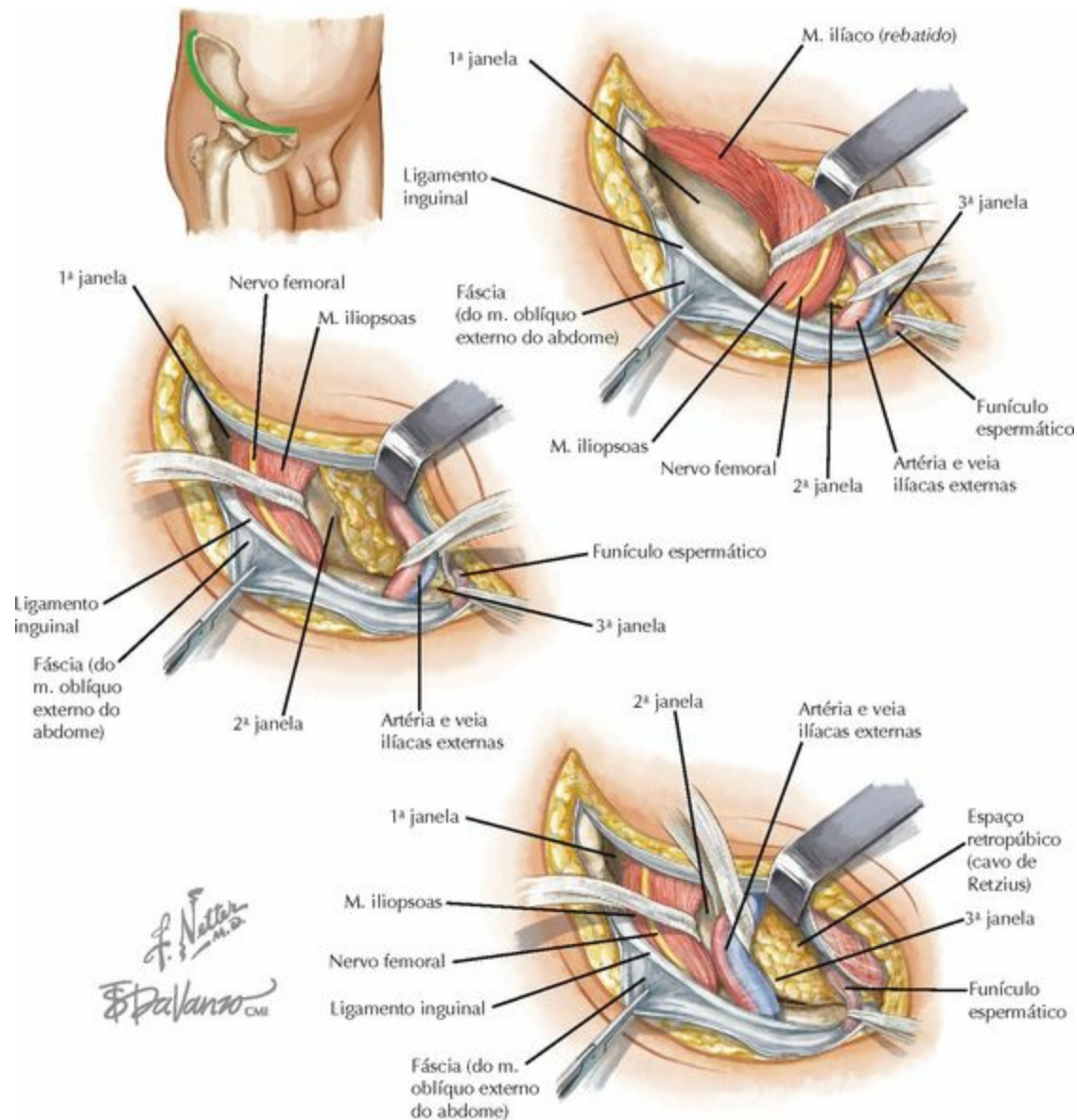
Sacroileíte

Bolsa inflamada adjacente ao túber isquiático

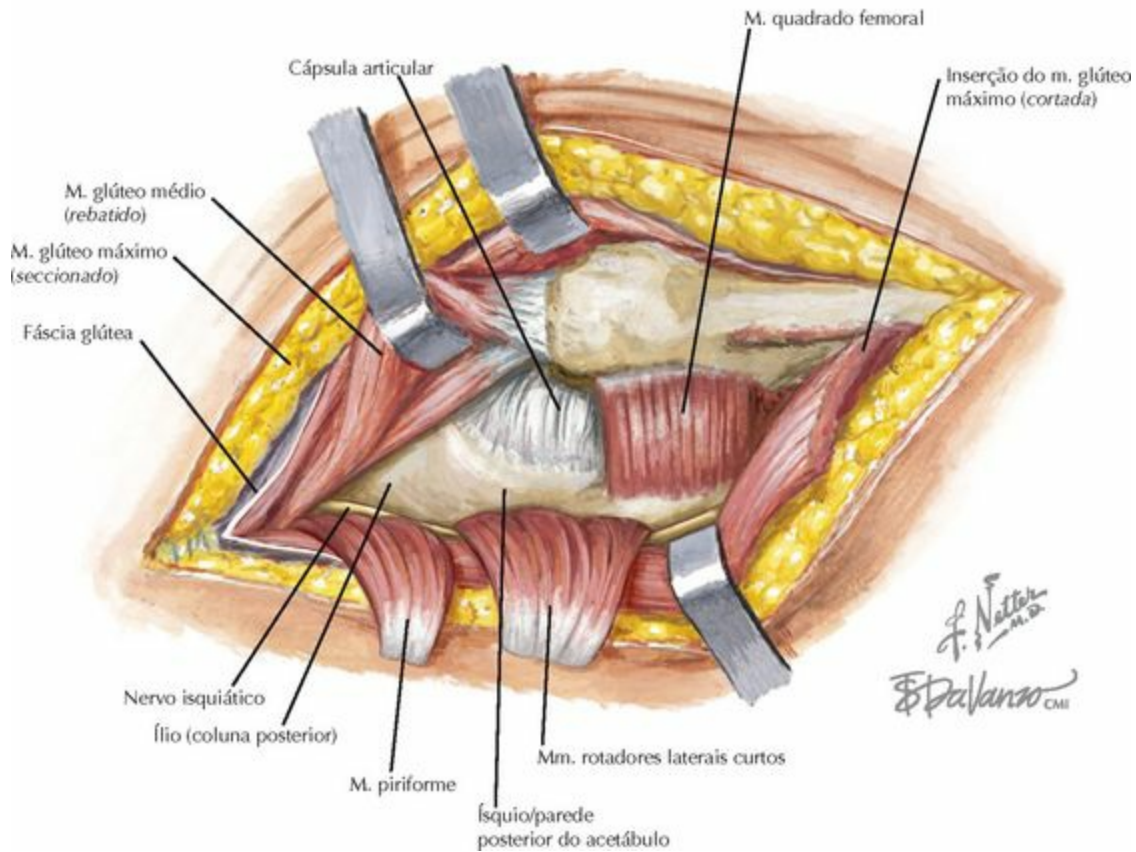
Túber isquiático e contusão da crista ilíaca ("hip pointer")

DESCRIÇÃO	HDA e EF	EXAMES COMPLEMENTARES/ ACHADOS	TRATAMENTO
OSTEÍTE PÚBICA			
<ul style="list-style-type: none"> Inflamação ou degeneração da sínfise púbica Etiologia: microtrauma de repetição (esportes) ou fratura 	HDA: dor púbica anterior, esporte ou trauma EF: sínfise púbica é sensível à palpação	RX: AP de pelve (+/- incidências "inlet e outlet") TC/RM: em geral, não são necessários para diagnóstico	<ol style="list-style-type: none"> Modificação das atividades Repouso, AINE Artrodese se os sintomas forem resistentes ao tratamento conservador
SACROILEÍTE			
<ul style="list-style-type: none"> Inflamação ou degeneração da articulação sacroilíaca Infecção também pode ocorrer neste local Associação da síndrome de Reiter 	HDA: dor lombar EF: articulação SI sensível à palpação, + teste de FABRÖL; infiltração pode ajudar no diagnóstico	RX/TC: articulação SI, +/- DAD Cintilografia óssea: para excluir infecção LABS: hemograma, VHS, PCR se houver suspeita de infecção	<ol style="list-style-type: none"> Repouso, AINE Infiltração pode ser diagnóstica e terapêutica (corticosteroide) Artrodese: raramente indicada
BURSITE ISQUIÁTICA			
<ul style="list-style-type: none"> Inflamação da bolsa da tuberosidade isquiática Frequentemente por ficar na posição sentada por muito tempo Mimetiza a lesão dos mm. isquiotibiais 	HDA: dor nas nádegas, ao sentar EF: túber isquiático sensível à palpação; mm. isquiotibiais ativos NÃO são dolorosos	RX: pelve, para excluir avulsão do túber isquiático RM: pode avaliar/excluir lesão na inserção dos músculos isquiotibiais	<ol style="list-style-type: none"> Repouso AINE Modificação das atividades: evitar sentar ou utilizar almofadas
CONTUSÃO DA CRISTA ILÍACA ("HIP POINTER")			
<ul style="list-style-type: none"> Trauma direto na crista ilíaca Comum em esportes de contato (p. ex., futebol, hóquei etc.) 	HDA: trauma, dor no "quadril" EF: crista ilíaca sensível à palpação	RX: Pelve, excluir fratura RM/TC: Em geral, não são necessários para o diagnóstico	<ol style="list-style-type: none"> Repouso, AINE Acolchoamento da crista ilíaca Infiltração com corticosteroide

ACESSOS CIRÚRGICOS



USOS	PLANO ENTRE OS NERVOS	RISCOS	COMENTÁRIOS
ACESSO ILIOINGUINAL			
<ul style="list-style-type: none"> Redução aberta, fixação interna da fratura acetabular envolvendo a coluna posterior do acetábulo 	3 janelas – Intervalos (acessos): <ol style="list-style-type: none"> Lateral ao m. Iliopsoas e ao n. femoral (anterior, ASI, fossa ilíaca, margem da pelve) Entre o m. Iliopsoas/n. femoral e a artéria ilíaca externa (margem da pelve, região superolateral do ramo do púbis) Medialmente à artéria ilíaca externa e ao funículo espermático (lâmina quadrilátera e espaço retropúbico [cavo de Retzius]) 	<ul style="list-style-type: none"> Vasos ilíacos externos Corona mortis (anastomose entre a. obturatória e a. ilíaca externa) Nervo femoral Nervo cutâneo femoral lateral Artéria epigástrica inferior Funículo espermático Bexiga urinária (Foley) 	<ul style="list-style-type: none"> Bom conhecimento da anatomia do abdome e da pelve é essencial para realizar este acesso Deve desinsersir a fixação pélvica dos músculos abdominais e do músculo ilíaco para a exposição Usar drenos de borracha para isolar o m. Iliopsoas/n. femoral e os vasos ilíacos externos para acessar janela

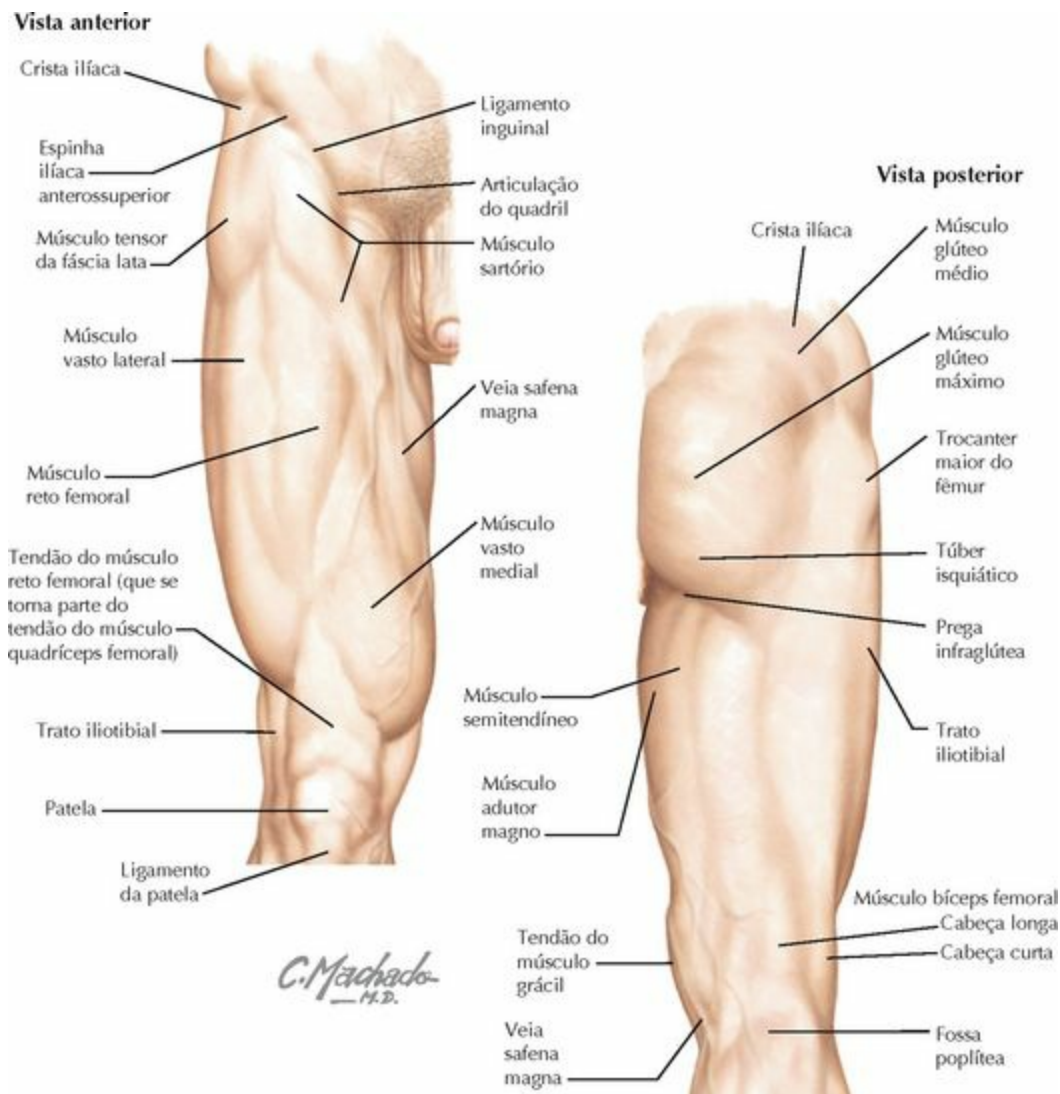


USOS	PLANO ENTRE OS NERVOS	RISCOS	COMENTÁRIOS
ACESSO DE KOCHER-LANGENBECK			
<ul style="list-style-type: none"> • Redução aberta, fixação interna das fraturas acetabulares envolvendo a coluna posterior do acetábulo 	<p>Nenhum plano internervoso</p> <ul style="list-style-type: none"> • A fáscia do m. glúteo máximo (n. glúteo inferior) é seccionada em linha com suas fibras; o nervo glúteo inferior é o limite dessa divisão • O m. tensor da fáscia lata também divide-se em linha com suas fibras 	<ul style="list-style-type: none"> • Nervo isquiático • Artéria glútea inferior • Vasos glúteos superiores e nervo (especialmente com afastamento excessivo) 	<ul style="list-style-type: none"> • Ossificação heterotópica é comum, profilaxia (p. ex., radioterapia) é frequentemente necessária • Não desinsirir o m. quadrado femoral devido ao risco vascular

Coxa/Quadril

Anatomia Topográfica
Osteologia
Radiologia
Trauma
Articulações
Pequenos Procedimentos
História da Doença Atual
Exame Físico
Origens e Inserções
Músculos
Nervos
Artérias
Distúrbios
Distúrbios Pediátricos
Acessos Cirúrgicos

ANATOMIA TOPOGRÁFICA



ESTRUTURA	APLICAÇÃO CLÍNICA
Crista ilíaca	Local comum de contusões da crista ilíaca Local comum de retirada para enxerto ósseo autólogo
Trocanter maior	Sua sensibilidade dolorosa pode indicar bursite trocantérica
Túber isquiático	Fraturas de avulsão (tendões dos músculos posteriores da coxa/isquiotibiais ou bursite podem ocorrer aqui)
Trato iliotibial	Pode ser pressionado sobre o trocanter maior do fêmur criando a síndrome do quadril em resalto Seu encurtamento pode causar dor na região lateral do joelho ou da coxa
Músculo quadríceps femoral <ul style="list-style-type: none"> • Vasto lateral • Vasto medial 	Sua atrofia pode indicar uma lesão e/ou contribuir para a dor no joelho

- Reto femoral
- Vasto intermédio (não mostrado)

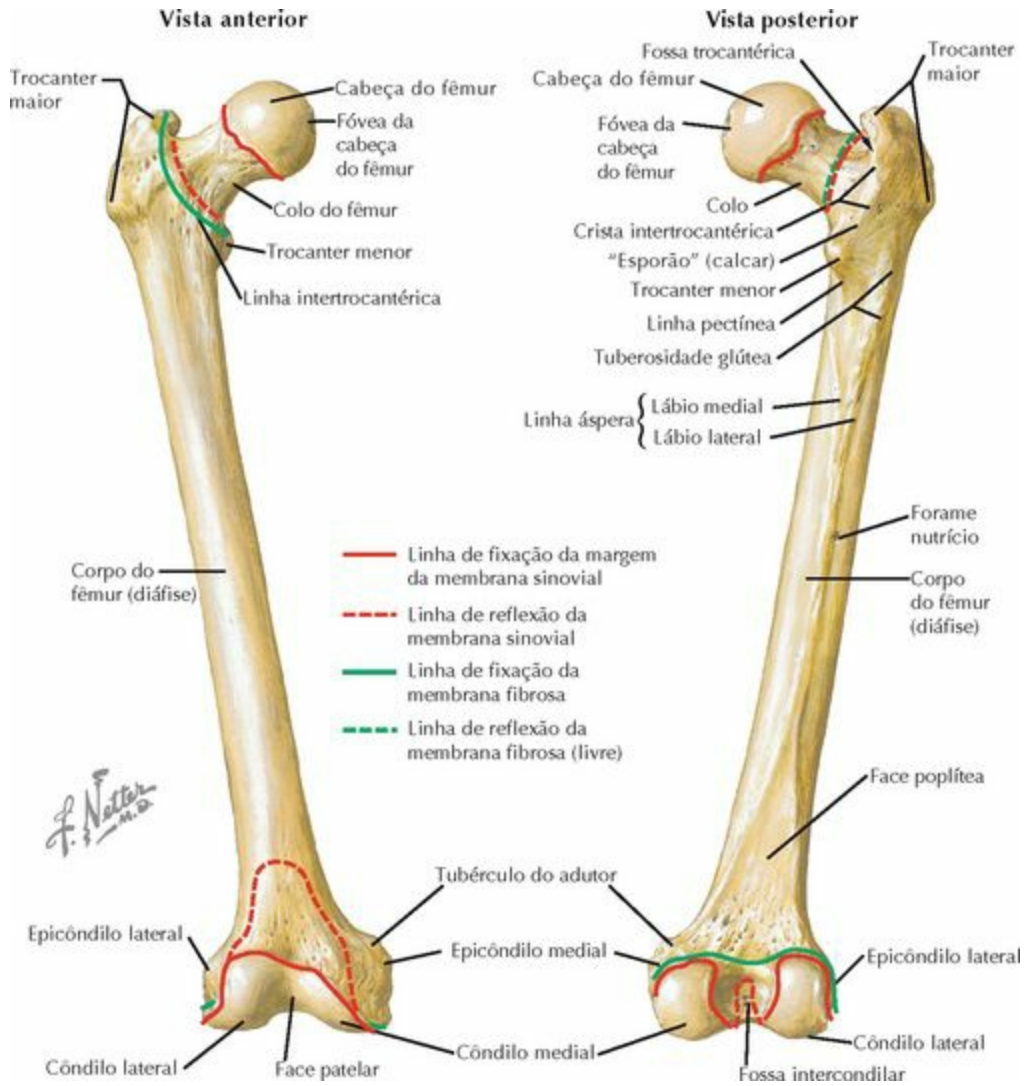
Tendão do músculo quadríceps femoral

Pode romper com contrações excêntricas. Seu defeito é sentido aqui

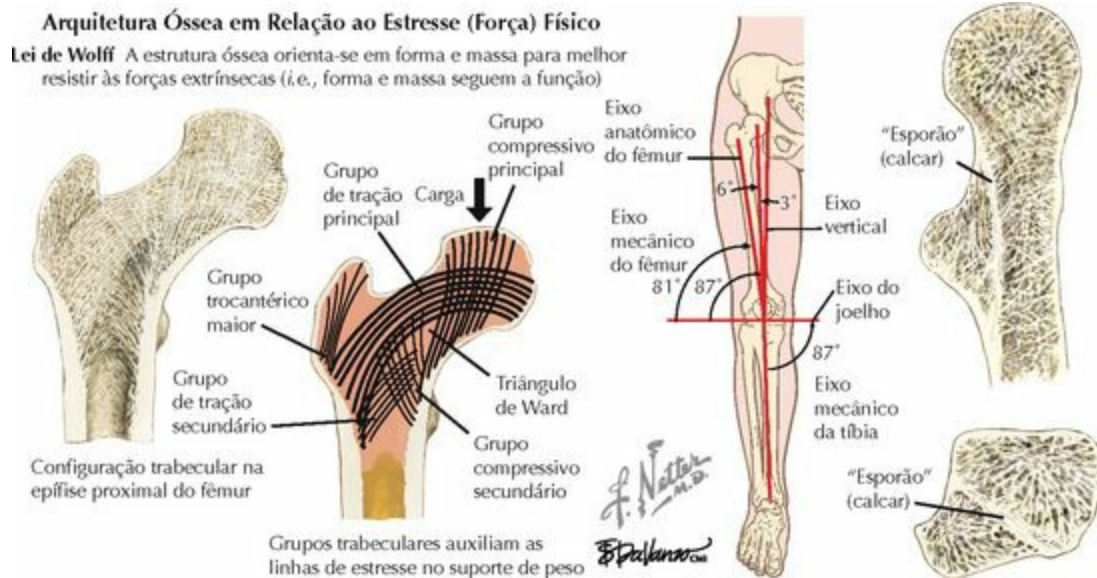
Fossa poplítea

O pulso da artéria poplítea pode ser palpado aqui

OSTEOLOGIA



CARACTERÍSTICAS	OSSIFICAÇÃO	FUSÃO	COMENTÁRIOS	
FÊMUR				
<ul style="list-style-type: none"> • Características de osso longo • Epífise proximal do fêmur <ul style="list-style-type: none"> ◦ Cabeça: quase esférica (2/3) ◦ Colo: antevertido do eixo (diáfise) ◦ Trocanter maior: lateral ◦ Trocanter menor: posteromedial • Diáfise (corpo): tubular, inclinada anteriormente <ul style="list-style-type: none"> ◦ Linha áspera posterior: inserção de fâscias e músculos • Epífise distal do fêmur: dois côndilos <ul style="list-style-type: none"> ◦ Medial: maior e mais posterior ◦ Lateral: mais anterior e proximal ◦ Tróclea: depressão articular anterior entre os côndilos 	Primária (corpo) Secundária Epífise distal Cabeça Trocanter maior Trocanter menor	7 ^a -8 ^a semana (fetal) Ao nascimento 1 ano 4-5 anos 10 anos	16-18 anos 19 anos 18 anos 16 anos 16 anos	<ul style="list-style-type: none"> • Suprimento sanguíneo <ul style="list-style-type: none"> ◦ Cabeça/colo: primariamente da artéria circunflexa femoral medial (também da artéria circunflexa femoral lateral e do ramo acetabular da artéria obturatória) ◦ Diáfise: artérias nutricias (ramos da artéria femoral profunda) • A vascularização da cabeça é suscetível à ruptura em fraturas ou luxações – leva à necrose avascular • A densidade óssea na parte proximal do fêmur diminui com a idade, tornando-o mais suscetível a fraturas • O "esporão" (calcar) do fêmur é uma região óssea densa orientada verticalmente na face posteromedial da epífise proximal do fêmur • A fossa trocantérica é a base posteromedial do trocanter maior: ponto inicial para fixações do fêmur • Colo/ângulo da diáfise: 120°-135° • Anteversão do fêmur: 10°-15° • Epífise distal do fêmur: cresce aproximadamente 7 mm por ano



GRUPO

COMENTÁRIO

OSTEOLOGIA DA PARTE PROXIMAL DO FÊMUR

- A epífise proximal do fêmur compreende diversos grupos de trabéculas ósseas que suportam a cabeça e o colo
- A presença ou a ausência destes grupos auxilia na determinação da presença e graus de osteopenia na epífise proximal do fêmur
- O desalinhamento das trabéculas ósseas determina o tipo da fratura desviada do colo do fêmur

Grupo

Da região superior da cabeça do fêmur para a região medial do colo, a

compressivo primário	substância óssea esponjosa (osso trabecular) mais forte, suporta o peso do corpo
Grupo de tensão primário	Da região inferior da cabeça do fêmur à região lateral do córtex
Grupo compressivo secundário	Orientado ao longo das linhas de estresse na epífise proximal do fêmur
Grupo de tensão secundário	Orientado ao longo das linhas de estresse na região lateral da epífise proximal do fêmur
Grupo trocântérico maior	Orientado ao longo das linhas de estresse no interior do trocanter maior
Triângulo de Ward	Área com relativamente poucas trabéculas no interior do colo do fêmur

ALINHAMENTO DA PARTE DISTAL DO FÊMUR

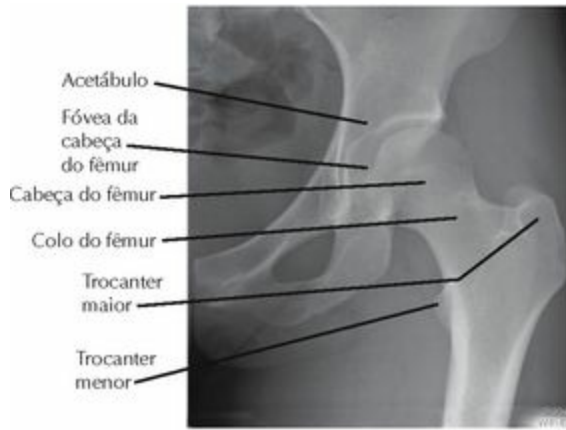
Definições

Eixo anatômico	Linha traçada ao longo do eixo do fêmur
Eixo mecânico	Linha traçada entre o centro da cabeça do fêmur e a linha intercondilar
Eixo do joelho	Linha traçada ao longo da face inferior de ambos os côndilos do fêmur
Eixo vertical	Linha vertical, perpendicular ao solo
Ângulo lateral do fêmur	Ângulo formado entre o eixo do joelho e o eixo do fêmur

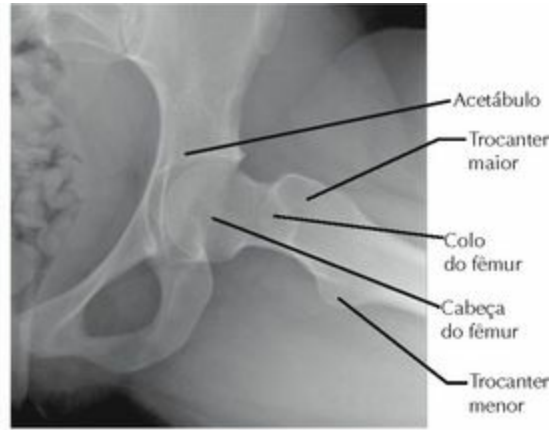
Relações

Eixo do joelho	Paralelo ao solo e perpendicular ao eixo vertical
Eixo mecânico	Média de 6° do eixo anatômico Aproximadamente 3° do eixo vertical
Ângulo lateral do fêmur	81° em relação ao eixo anatômico do fêmur 87° em relação ao eixo mecânico do fêmur

RADIOLOGIA



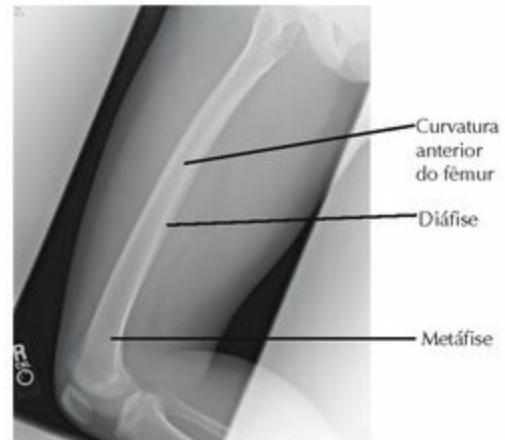
Radiografia do quadril, AP



Radiografia do quadril, perfil



Radiografia do fêmur, AP



Radiografia do fêmur, perfil

RADIOGRAFIA	TÉCNICA	ACHADOS	APLICAÇÃO CLÍNICA
Pelve AP	Posição supina, feixe na sínfise	Ossos do quadril e pelve	Fraturas, luxações e artrite
Quadril AP	Feixe direcionado à epífise proximal do fêmur	Cabeça do fêmur, acetábulo	Fraturas, artrite
Perfil (Incidência da rã)	Flexão, abdução. Rotação lateral do quadril, feixe no quadril	Colo do fêmur, cabeça do fêmur, acetábulo e limbo do acetábulo	Fraturas, artrite
Perfil (<i>cross-table</i>)	Flexão contralateral do quadril para removê-lo; feixe direcionado ao quadril através da mesa	Colo do fêmur, cabeça do fêmur, limbo do acetábulo. As regiões corticais anterior e posterior são bem vistas em perfil	Muitas vezes necessária para filmes de fraturas pré-operatórios Usadas no transoperatório (fluoroscopia) para RAFI
Fêmur AP	Posição supina, feixe na região média do fêmur	Fêmur e tecidos moles	Fraturas e tumores
Fêmur perfil	Feixe lateralmente na região média do fêmur	Fêmur e tecidos moles	Fraturas e tumores
Ver Capítulo 7, Pelve, para incidências do acetábulo			
OUTROS ESTUDOS			
TC	Vistas transversais (axiais), frontais (coronais) e sagitais	Congruência articular, fragmentos de fraturas	Fraturas de acetábulo ou colo do fêmur intra-articulares
RM	Sequência de pulsos varia	Lábio articular, cartilagem articular, substância esponjosa (osso trabecular)	Ruptura de lábio articular, necrose avascular, fraturas de estresse
Cintilografia óssea	Radiolótoto	Todos os ossos avallados	Fraturas de estresse, infecção e tumores

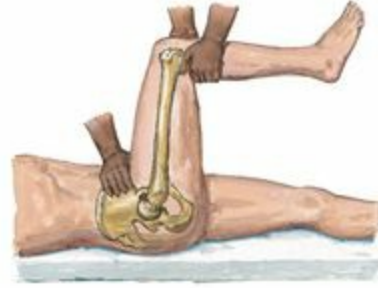
Luxação Posterior



Vista anteroposterior. A cabeça do fêmur luxada localiza-se posterossuperiormente ao acetábulo. O fêmur está aduzido e em rotação medial; o quadril está flexionado. O nervo isquiático pode ser estirado



Radiografia anteroposterior mostrando uma luxação posterior



Manobra de Allis. O paciente em posição supina (decúbito dorsal) na mesa, sob anestesia ou sedação. O examinador aplica uma tração distal firme no joelho em flexão para empurrar a cabeça do fêmur para o acetábulo; um movimento de rotação leve pode também ajudar. Um assistente fixa a pelve pressionando sobre as espinhas ilíacas anterossuperiores

Luxação Anterior



Vista anterior. A cabeça do fêmur está no forame obturado do osso do quadril; o quadril está fletido e o fêmur amplamente abduzido e em rotação lateral



Posição característica do membro afetado. O quadril está fletido, a coxa abduzida e em rotação lateral

DESCRIÇÃO	AValiaÇÃO	CLASSIFICAÇÃO	TRATAMENTO
LUXAÇÃO DO QUADRIL			
<ul style="list-style-type: none"> Traumas de grande impacto (especialmente AVA, lesões por choque contra o painel do carro) ou quedas significativas Emergências ortopédicas; risco de NAV da cabeça do fêmur aumenta com a demora na redução Lesões múltiplas associadas +/- fraturas (p. ex., cabeça do fêmur/colo do fêmur e acetábulo) Mais comumente posteriores (85%) 	<p>HDA: trauma, dor forte, impossibilidade para mover a coxa/quadril</p> <p>EF: posição da coxa:</p> <ul style="list-style-type: none"> Posterior: aduzida, fletida e em rotação medial Anterior: abduzida, fletida e em rotação lateral Dor (especialmente durante o movimento), bom exame neurovascular (nervo isquiático) <p>RX: AP de pelve, "Incidência da rã" em perfil (cabeça do fêmur aparece de tamanho diferente), séries de fêmur e joelho</p> <p>TC: para exclusão de fraturas ou fragmentos ósseos/corpos soltos (pós-redução)</p>	<p>Posterior: Thompson:</p> <p>I: Pouca ou nenhuma fratura da parede posterior II: Ampla fratura da parede posterior III: Fratura cominutiva do acetábulo IV: Fratura do assoalho do acetábulo V: Fratura da cabeça do fêmur</p> <p>Anterior: Epstein:</p> <p>I (A, B, C): Superior II (A, B, C): Inferior A: Sem fratura associada B: Fratura da cabeça do fêmur C: Fratura do acetábulo</p>	<p>A redução precoce é essencial (menos de 6 horas), então repetir o RX e o exame neurológico</p> <p>Posterior:</p> <p>I: Redução fechada e uso de travesselo para abdução II-IV:</p> <ol style="list-style-type: none"> Redução fechada (aberta se irreduzível) RAFI (fratura ou excisão de fragmentos/corpos soltos) <p>Anterior: Redução fechada, RAFI se necessário</p>
<p>COMPLICAÇÕES: osteonecrose pós-traumática (NAV) (risco reduzido com a redução precoce); lesão do nervo isquiático (luxações posteriores); lesões do nervo/artéria femoral (luxações anteriores); osteoartrite; ossificação heterotópica</p>			



Tipo I – Fratura impactada



Tipo II – Fratura sem deslocamento



Tipo III – Fratura com deslocamento parcial



Tipo IV – Fratura com deslocamento. Linha vertical da fratura geralmente sugere um prognóstico ruim

F. Natta
M.D.
JOHN A. CRAIG M.D.

DESCRIÇÃO	AVALIAÇÃO	CLASSIFICAÇÃO	TRATAMENTO
FRATURA DO COLO DO FÊMUR			
<ul style="list-style-type: none"> Mecanismo <ul style="list-style-type: none"> Queda de pessoa idosa é o mais comum Lesão de alto impacto em adultos jovens (p. ex., AVA) Fraturas intracapsulares Vascularização da cabeça do fêmur em risco nas fraturas com deslocamento Associada à osteoporose. Alto índice de morbidade e complicação 	<p>HDA: queda, dor, incapacidade para sustentar o peso/caminhar</p> <p>EF: MI encurtados, abduzidos e em rotação lateral.</p> <p>Dor com manobras de rotação do membro inferior</p> <p>RX: pelve AP, perfil ("cross-table")</p> <p>RM: se sintomático com RX negativo (isto é, excluir fratura oculta)</p>	<p>Garden (4 tipos):</p> <p>I: Fratura incompleta, impacto em valgo</p> <p>II: Fratura completa; sem deslocamento</p> <p>III: Fratura completa, deslocamento parcial (varo)</p> <p>IV: Fratura completa, deslocamento total</p>	<p>Jovem (alto Impacto)</p> <ul style="list-style-type: none"> Redução urgente (redução fechada vs. redução aberta) RAFI (3 parafusos paralelos) <p>Idoso</p> <ul style="list-style-type: none"> Avaliação médica precoce Tipos I e II: RAFI (3 parafusos) Tipos III e IV: hemiartroplastia Clinicamente instável, não operatório
<p>COMPLICAÇÕES: osteonecrose (NAV): incidência aumenta com o tipo de fratura (deslocamento) +/- colapso segmentar tardio; pseudartrose; falha do material de síntese</p>			

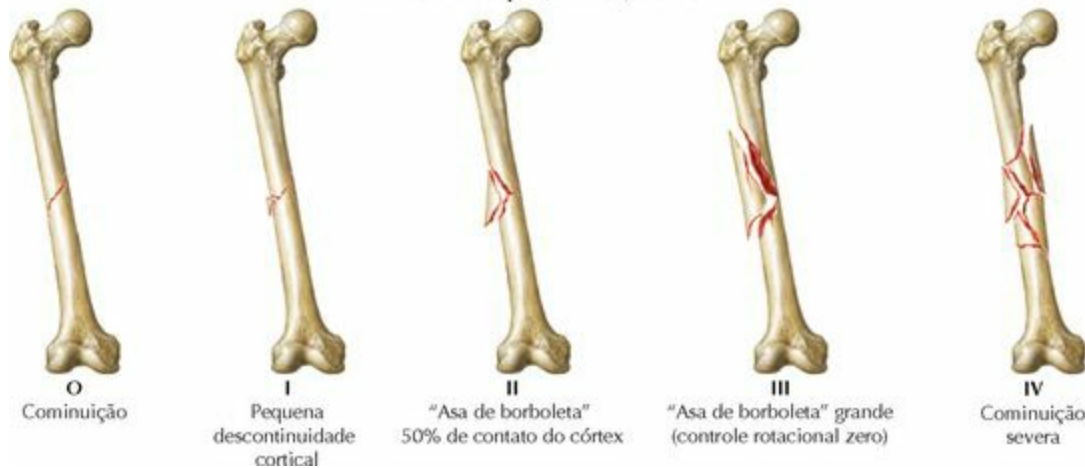
Fratura Intertrocantérica do Fêmur



I. Fratura sem deslocamento

III. Fratura cominutiva com deslocamento

Fraturas do corpo (Diáfise) do Fêmur



O Cominuição

I Pequena descontinuidade cortical

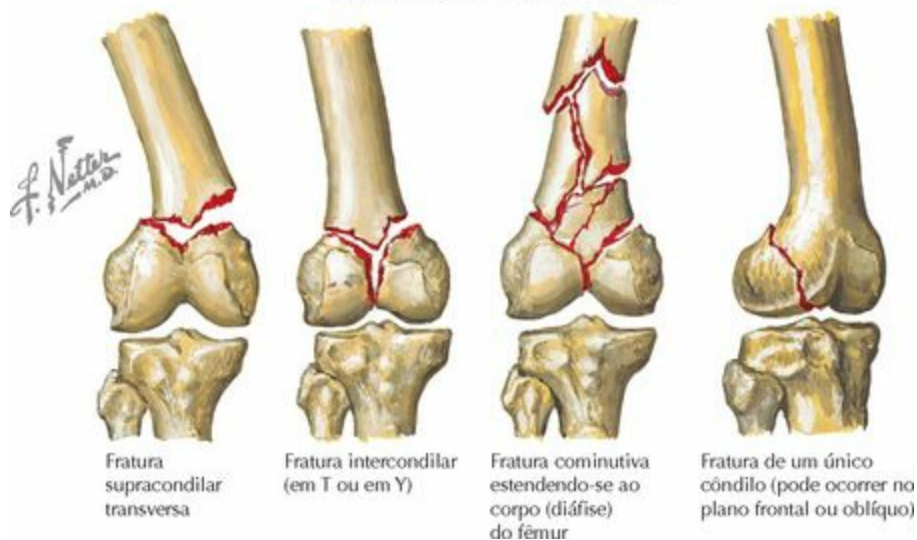
II "Asa de borboleta" 50% de contato do córtex

III "Asa de borboleta" grande (controle rotacional zero)

IV Cominuição severa

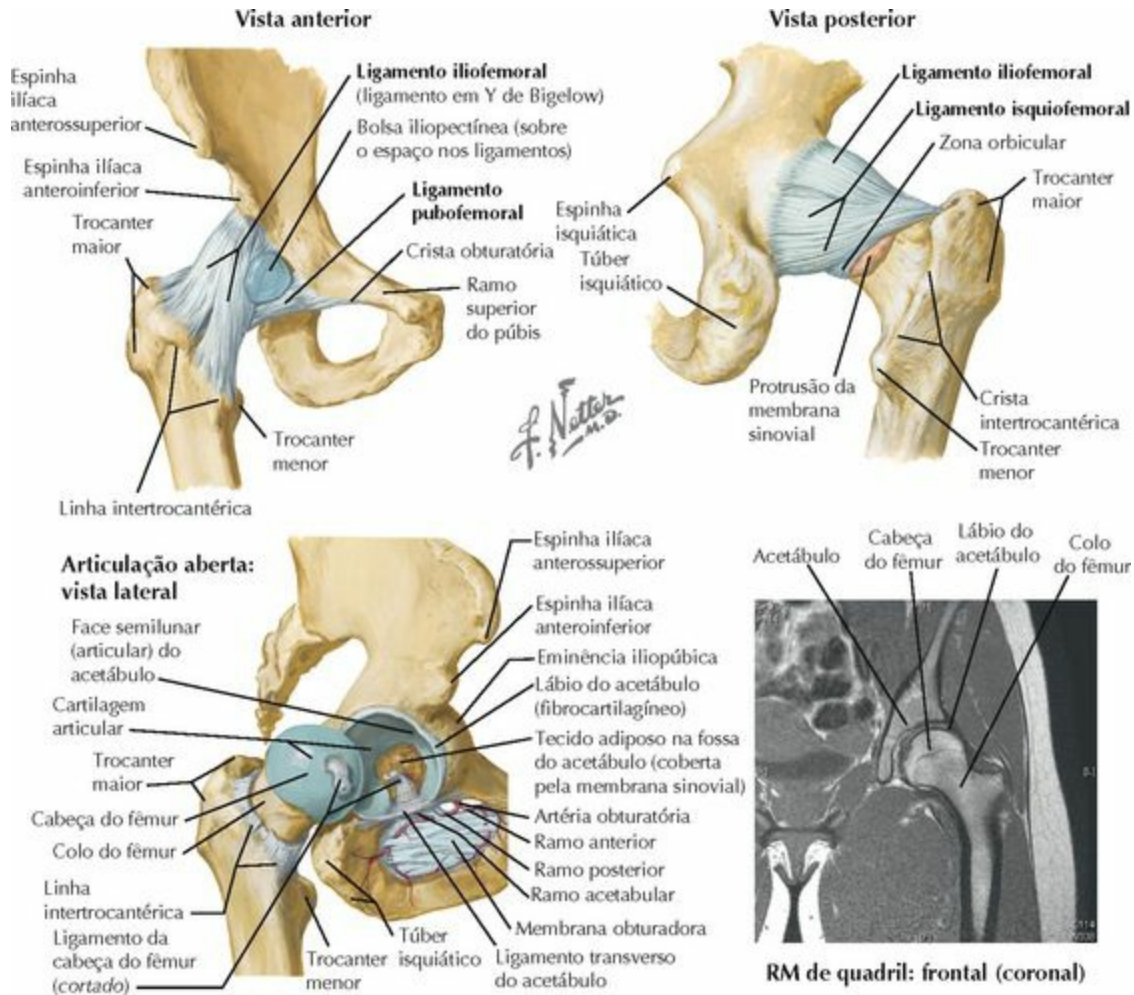
DESCRIÇÃO	AVALIAÇÃO	CLASSIFICAÇÃO	TRATAMENTO
FRATURA INTERTROCANTÉRICA			
<ul style="list-style-type: none"> • Queda de pessoa idosa é o mais comum • Associação de osteoporose • Ocorre ao longo ou abaixo da linha Intertrocantérica • Fraturas extracapsulares • Vascularização estável • Consolida bem com fixação adequada 	<p>HDA: queda, dor, incapacidade para sustentar o peso/caminhar</p> <p>PE: MI encurtado e em rotação lateral. Dor com teste de rotação da perna</p> <p>RX: AP de pelve/quadril e perfil "cross-table"</p> <p>RM: se sintomática com RX negativo (excluir fratura oculta)</p>	<p>Evans/Jensen:</p> <ul style="list-style-type: none"> • Tipo IA: sem deslocamento • Tipo IB: 2 partes deslocadas • Tipo IIA: 3 partes, fragmento do trocanter maior • Tipo IIB: 3 partes, fragmento do trocanter menor • Tipo III: 4 partes <p>Obliquidade reversa</p>	<ul style="list-style-type: none"> • Avaliação médica precoce • RAFI precoce (menos de 48 h) <ul style="list-style-type: none"> ◦ Deslizamento do quadril parafuso/placa ◦ Haste cefalomedular • Obliquidade reversa <ul style="list-style-type: none"> ◦ Placa lâmina ◦ Haste cefalomedular • Não operatória; paciente clinicamente instável
<p>COMPLICAÇÕES: pseudartrose/consolidação viciosa, decréscimo da condição ambulatorial, falha do material de síntese, mortalidade (20% nos primeiros 6 meses)</p>			
FRATURA DO CORPO (DIÁFISE) DO FÊMUR			
<ul style="list-style-type: none"> • Emergência ortopédica • Lesão de alto impacto (p. ex., AVA, quedas) • Lesões associadas (comum) • Fonte potencial de perda sanguínea importante • Pode ocorrer síndrome do compartimento • Transporte do paciente em tração 	<p>HDA: trauma, dor, edema, incapacidade para caminhar/sustentar o peso</p> <p>EF: deformidade, +/- ferimento aberto e lesões de partes moles; checar pulsação da região distal</p> <p>RX: AP/perfil de fêmur; Joelho: série para trauma Quadril: excluir fratura ipsilateral do colo do fêmur</p>	<p>Winquist/Hansen (5 tipos):</p> <p><i>Estável</i></p> <p>0: Sem fragmentação</p> <p>I: Fragmentação mínima</p> <p>II: Cominutiva: mais de 50% dos córtices intactos</p> <p><i>Instável</i></p> <p>III: Cominutiva: menos de 50% dos córtices intactos</p> <p>IV: Fragmentação completa, sem córtex intacto</p>	<p>Operatória: dentro de 24 horas</p> <ul style="list-style-type: none"> • Anterógrada, fresada, haste intramedular bloqueada • Haste retrógrada se necessário • Fixação externa <ul style="list-style-type: none"> ◦ Instável clinicamente ◦ Alto grau de fratura exposta <p>Tração – se a cirurgia demorar, paciente clinicamente instável</p>
<p>COMPLICAÇÕES: lesões neurovasculares/choque hemorrágico, pseudartrose/consolidação viciosa, falha do material de síntese, lesões de joelho (5%)</p>			

Fratura da Parte Distal do Fêmur



DESCRIÇÃO	AVALIAÇÃO	CLASSIFICAÇÃO	TRATAMENTO
FRATURA SUBTROCANTÉRICA			
<ul style="list-style-type: none"> • 5 cm no interior do trocanter menor • Mecanismo: <ul style="list-style-type: none"> ◦ Queda com baixo impacto: idoso, fratura patológica ◦ Alto impacto: jovem (p. ex., AVA) • A vascularização é tênue, pode comprometer a consolidação • Excluir fratura patológica se a fratura ocorre por pequeno trauma ou sem trauma • Alto estresse biomecânico 	<p>HDA: trauma, dor, incapacidade para sustentar o peso</p> <p>EF: encurtamento e rotação do MI. Sem ADM (dor), checar as condições neurovasculares</p> <p>RX: AP e perfil do fêmur. Também AP de pelve, quadril (AP e perfil "<i>cross table</i>"), e séries de joelho</p> <p>TC: geralmente não é necessária</p>	<p>Russell-Taylor:</p> <p>Tipo I: sem extensão ou envolvimento da fossa trocantérica</p> <p>A: trocanter menor intacto</p> <p>B: trocanter menor deslocado</p> <p>Tipo II: fratura que envolve a fossa trocantérica</p> <p>A: trocanter menor intacto</p> <p>B: trocanter menor deslocado</p>	<p>Por tipo:</p> <p>IA: haste intramedular padrão</p> <p>IB: haste cefalomedular</p> <p>IIA: haste cefalomedular com ponto de partida trocantérico</p> <p>IIIB: osteossíntese com placa 95° ou haste cefalomedular com ponto de partida trocantérico</p>
<p>COMPLICAÇÕES: pseudartrose, consolidação viciosa, perda da fixação/falha do implante, perda de alguma função ambulatorial (especialmente no idoso)</p>			
FRATURA DA PARTE DISTAL DO FÊMUR			
<ul style="list-style-type: none"> • Mecanismo: impacto direto <ul style="list-style-type: none"> ◦ Jovem: alto impacto ◦ Idoso: baixo impacto (queda) • Congruência articular necessária para a função normal do joelho • Muitas lesões associadas (p. ex., fratura de tibia, lesões dos ligamentos do joelho) • Lesões vasculares são possíveis • Quadríceps femoral e músculos isquiotibiais: encurtamento pela fratura. Gastrocnêmios: deslocamento posterior pela fratura 	<p>HDA: trauma, dor, incapacidade para sustentar o peso</p> <p>EF: edema, +/- deformidade grave. Avaliação cuidadosa do pulso (se necessário um exame Doppler)</p> <p>RX: AP e perfil de joelho, fêmur e tibia</p> <p>TC: avaliação do envolvimento intra-articular e planejamento pré-operatório</p>	<p>AO/Muller:</p> <p>A: Extra-articular, subtipos 1, 2, 3</p> <p>B: Unicondilar, subtipos 1, 2, 3</p> <p>C. Bicondilar, subtipos 1, 2, 3</p>	<ul style="list-style-type: none"> • Sem deslocamento/estável: <ul style="list-style-type: none"> ◦ Gesso, imobilização, órtese • Com deslocamento/instável: <ul style="list-style-type: none"> ◦ Extra-articular: placa ou haste ◦ Intra-articular: redução anatômica das superfícies articulares e placa bloqueada/placa lâmina • Fixação externa: temporariamente em fratura aberta, edema severo nos tecidos moles, paciente instável
<p>COMPLICAÇÕES: artrite pós-traumática, pseudartrose/consolidação viciosa, rigidez do joelho/perda da ADM</p>			

ARTICULAÇÕES



LIGAMENTOS

FIXAÇÕES

COMENTÁRIOS

QUADRIL

• A articulação do quadril é do tipo esferóideia. Ela apresenta estabilidade intrínseca devido aos ossos, ligamentos e estruturas musculares

Lábio do acetábulo

Ao longo da margem do acetábulo exceto inferiormente

Aprofunda o encaixe, aumenta a cobertura da cabeça do fêmur; pode ser **lacerado** (causa de dor no quadril)

Transverso do acetábulo

Da região anteroinferior para a região posteroinferior do acetábulo

Cobre a incisura do acetábulo na região central inferior do acetábulo

Da cabeça do fêmur

Da fôvea da cabeça do fêmur para a incisura do acetábulo

Há uma pequena artéria para a cabeça do fêmur no interior deste ligamento

Do acetábulo ao colo do fêmur

Tem alguns discretos espessamentos

Cápsula articular

- Iliofemoral (2 faixas/bandas)
- Pubofemoral
- Isquiofemoral

Superior: EIAS/ílio para o trocanter maior

Inferior: Ílio para a linha intertrocantérica/trocanter menor

Ramo anterior do púbis para a linha intertrocantérica

Região posterior do acetábulo para a região superior do colo do fêmur

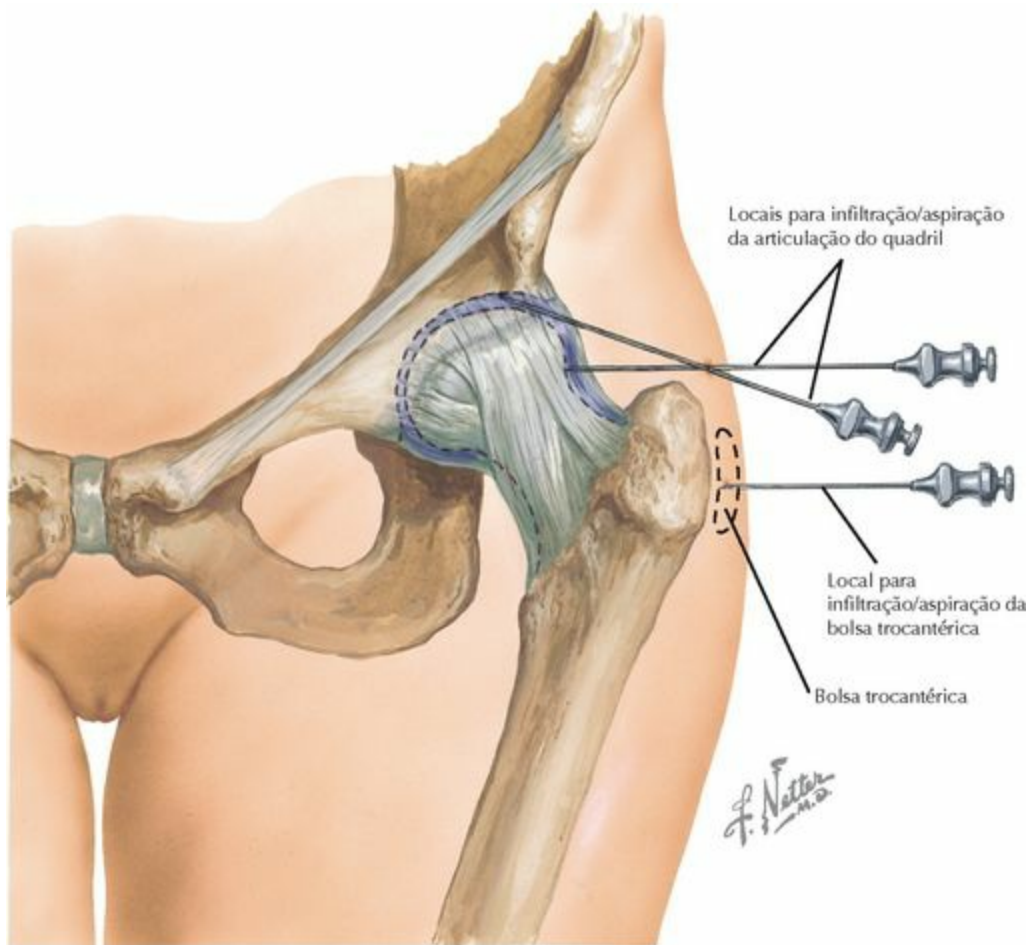
(ligamentos)

Também conhecido como “ligamento em Y de Bigelow”; provê forte **suporte anterior**, resiste à extensão

Previne a hiperextensão do quadril, suporte **inferior** da articulação

Largo, um ligamento relativamente fraco (suporte **posterior** mínimo). Não provê uma cobertura posterior completa da articulação, de lateral para posterior o colo é extracapsular

PEQUENOS PROCEDIMENTOS



PASSOS

INFILTRAÇÃO/ASPIRAÇÃO DO QUADRIL

1. Perguntar ao paciente sobre alergias
2. Colocar o paciente em posição supina (decúbito dorsal), palpar o trocater maior
3. Preparar a pele sobre o lugar da infiltração (sabão antisséptico/iodo)
4. Anestesia local da região (um quarto do tamanho do local)
5. **Anterior:** encontrar o ponto de intersecção entre a linha vertical abaixo da EIAS e a linha horizontal do trocater maior. Inserir uma agulha espinal de calibre 20 (de 3 polegadas) ligeiramente para cima em direção medial ao ponto **Lateral:** inserir uma agulha espinal de calibre 20 (de 3 polegadas) superior e medial ao trocater maior até atingir o osso (**a agulha deve estar no interior da cápsula articular, a qual se estende para baixo do colo do fêmur**). Pode-se movimentar a agulha para cima do colo dentro da articulação
6. Infiltrar (ou aspirar) o anestésico local ou local/esteroide dentro da articulação. (**O líquido deve fluir facilmente se a agulha estiver dentro da articulação**)
7. Fazer curativo na região da infiltração

INFILTRAÇÃO NA BOLSA TROCANTÉRICA

1. Perguntar ao paciente sobre alergias

2. Colocar o paciente em decúbito lateral, palpar o trocanter maior
3. Preparar a pele sobre a região lateral da coxa (sabão antisséptico/iodo)
4. Inserir uma agulha de calibre 20 (pelo menos 1 1/2 polegada; 3 polegadas em pacientes grandes) na coxa até o osso no ponto de maior sensibilidade. Retirar a agulha (1-2 mm) de forma que ela esteja fora do osso e somente na bolsa. **Aspirar para ter certeza de que a agulha não esteja em um vaso**
5. Infiltrar a anestesia local ou local/corticosteroides no interior da bolsa. Pode-se redirecionar a agulha levemente para infiltrar em uma bolsa septada
6. Fazer curativo na região da infiltração

HISTÓRIA DA DOENÇA ATUAL



Trauma
O mecanismo da lesão muitas vezes é o impacto contra o painel do veículo, que impulsiona a cabeça do fêmur para trás, para fora do acetábulo

F. Netter
M.D.

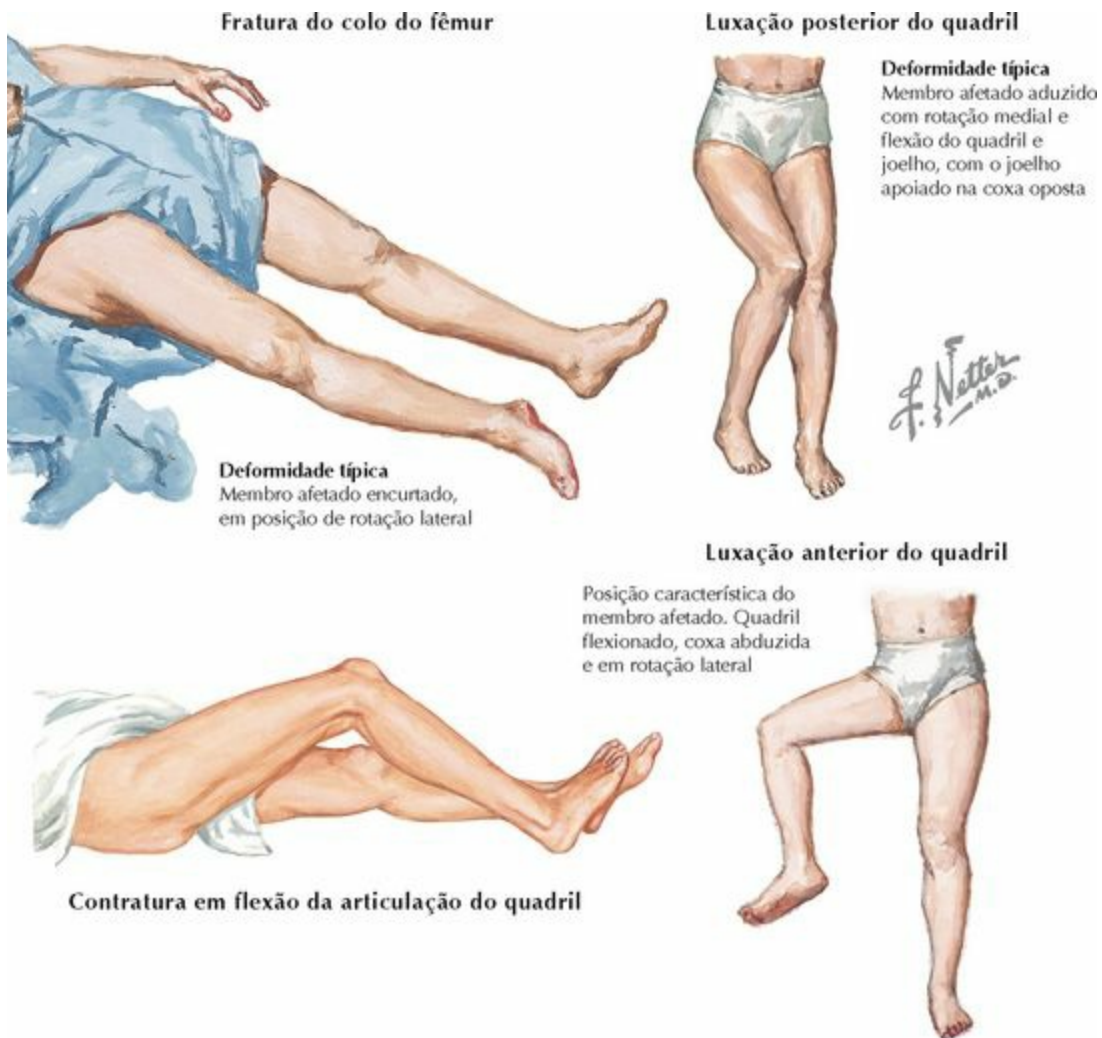


Compressão do NCFL
Dormência disestesia na região lateral da coxa

PERGUNTA	RESPOSTA	APLICAÇÃO CLÍNICA
1. Idade	Jovem Meia-idade, idoso	Trauma, doenças do desenvolvimento Artrite, fraturas
2. Dor		
a. Início	Aguda Crônica	Trauma, (fratura, luxação), infecção Artrite, lesão do lábio do acetábulo
b. Localização	Região lateral da quadril/coxa Nádegas/região posterior da coxa Região inguinal/região medial da coxa Região anterior da coxa	Bursite, compressão do NCFL, síndrome do ressalto do quadril Considerar etiologia espinal Etiologia acetabular ou da articulação do quadril (comumente não é da coluna vertebral) Patologia da parte proximal do fêmur
c. Ocorrência	Deambulação/suporte de peso/movimento À noite	Etiologia da articulação do quadril (<i>i.e.</i> , não é da pelve/coluna vertebral) Tumor, infecção

3. Ressalto	Com deambulação	Síndrome do ressalto do quadril, corpos livres, artrite
4. Deambulação assistida	Bengala, muleta, andador	O uso (e frequência) indica a severidade da dor e da condição
5. Tolerância para atividade	Redução da atividade e distância percorrida	Menor distância percorrida e menos atividades realizadas = mais grave
6. Trauma	Queda, AVA	Fratura, luxação, lesão do lábio do acetábulo
7. Atividade/trabalho	Uso repetitivo	Fratura de estresse do fêmur
8. Sintomas neurológicos	Dor, dormência, formigamento	Compressão do NCFL , etiologia espinal (p. ex., radiculopatia)
9. Histórico de artrites	Múltiplas articulações envolvidas	Doença inflamatória sistêmica

EXAME FÍSICO



EXAME/OBSERVAÇÃO	TÉCNICA	APLICAÇÃO CLÍNICA
INSPEÇÃO		
Pele	Manchas, feridas Deformidades evidentes	Trauma Fratura, luxação
Posição	Encurtamento, rotação lateral Adução, rotação medial Abdução, rotação lateral Flexão	Fratura do colo de fêmur ; fratura intertrocantérica Luxação posterior Luxação anterior Contratura do quadril em flexão
Marcha		
Antálgica (dolorosa) Balanço (Trendelenburg) Balanço	Diminuição da fase de apoio Inclinação lateral (sobre o lado que suporta o peso) Inclinação posterior	Joelho, tornozelo, calcanhar (esporão), médio pé, dor nos dedos do pé Fraqueza do músculo glúteo médio

(mantendo o quadril estendido)

Fraqueza do músculo glúteo máximo

PALPAÇÃO

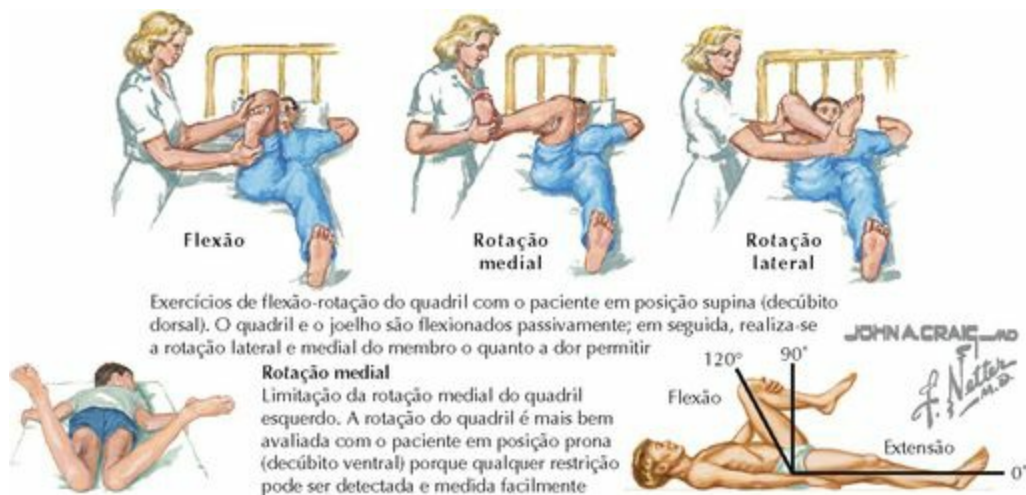
Estruturas ósseas

Trocanter maior/bolsa sinovial

Dor/bolsa palpável: infecção/bursite, tendinite do músculo glúteo médio
Ressalto: trato iliotibial pode se sobrepor ao trocanter maior

Trocanter menor

Ressalto: o tendão do músculo psoas pode se sobrepor ao trocanter menor



EXAME/OBSERVAÇÃO	TÉCNICA	APLICAÇÃO CLÍNICA
AMPLITUDE DE MOVIMENTO		
Flexão	Supino (decúbito dorsal): joelho no peito Teste de Thomas	Normal: 120°-135° Excluir contratura em flexão (ver Testes Especiais, p. 263)
Extensão	Prono (decúbito ventral): levantar a perna da maca	Normal: 20°-30°
Abdução/adução	Supino (decúbito dorsal): perna para lateral/medial	Normal: Abdução: 40°-50°, Adução: 20°-30°
Rotação medial/lateral	Sentado: pé para lateral/medial Prono (decúbito ventral): flexão da perna e do joelho para dentro/fora	Normal: Rotação medial: 30°, Rotação lateral: 50° Normal: Rotação medial: 30°, Rotação lateral: 50°
NEUROVASCULAR		
Sensitivo		
Nervo genitofemoral (L1-L2)	Região anteromedial proximal da coxa	O déficit indica lesão do nervo/raiz correspondente

Nervo obturatório (L2-L4)	Região inferomedial da coxa	O déficit indica lesão do nervo/raiz correspondente
Nervo cutâneo femoral lateral (L2-L3)	Região lateral da coxa	O déficit indica lesão do nervo/raiz correspondente
Nervo femoral	Região anteromedial da coxa	O déficit indica lesão do nervo/raiz correspondente
Nervo cutâneo femoral posterior (S1-S3)	Região posterior da coxa	O déficit indica lesão do nervo/raiz correspondente

Motor

Nervo obturatório (L2-L4)	Adução da coxa/quadril	Fraqueza = lesão do grupo dos músculos adutores ou do nervo/raiz
Nervo glúteo superior (L5)	Abdução da coxa	Fraqueza = lesão do músculo glúteo médio ou do nervo/raiz
Nervo femoral (L2-L4)	Flexão do quadril Extensão do joelho	Fraqueza = lesão do músculo iliopsoas ou do nervo/raiz Fraqueza = lesão do músculo quadríceps femoral ou do nervo/raiz
Nervo glúteo inferior (L5-S2)	Extensão do quadril	Fraqueza = lesão do músculo glúteo máximo ou do nervo/raiz
Nervo isquiático:		
Nervo tibial (L4-S3)	Flexão do joelho	Fraqueza = lesão da cabeça longa do músculo bíceps femoral ou do nervo/raiz
Nervo fibular (L4-S2)	Flexão do joelho	Fraqueza = lesão da cabeça curta do músculo bíceps femoral ou do nervo/raiz

Outros

Reflexo	Nenhum	
Pulso	Femoral	



Teste de Stinchfield
Dor ao levantar a perna estendida com resistência indica patologia de quadril



F. Netter M.D.
C. Machado M.D.

Teste de impacto
Dor com flexão do quadril, adução e rotação medial é indicativa de impacto femoroacetabular e artrite precoce

Teste de rolagem
O examinador coloca as mãos sobre o membro inferior e, suavemente, movimenta o membro na articulação do quadril em rotação medial e lateral



Sinal de Thomas
A contratura em flexão do quadril é determinada com o paciente em posição supina (decúbito dorsal). O quadril não afetado é flexionado até a retificação da região lombar da coluna vertebral na mesa de exame. O quadril afetado é incapaz de manter a extensão total, e o ângulo de flexão é registrado



EXAME/OBSERVAÇÃO	TÉCNICA	APLICAÇÃO CLÍNICA
TESTES ESPECIAIS		
Teste de impacto	Posição supina (decúbito dorsal): flexão, adução, rotação medial do quadril	Dor pode ser indicativa de impacto femoroacetabular
Patrick (FABROL)	Flexão, AB dução, RO tação Lateral do quadril, então abduzir mais (figura 4)	Positivo se doloroso. Patologia da articulação sacroilíaca ou da articulação do quadril
Teste de rolagem	Posição supina (decúbito dorsal), quadril estendido: rotação medial, rotação lateral	Dor no quadril é condizente com artrite
Stinchfield	Suspender a perna estendida contra resistência	Dor é positivo para patologia de quadril
Sinal de Thomas	Posição supina (decúbito dorsal), joelho em direção ao peito	Se a coxa oposta se levantar da mesa, há contratura em flexão
Ober	Decúbito lateral: flexão e abdução do quadril	Quadril estendido e aduzido; se ficar em abdução, há contratura do trato

		iliotibial
M. piriforme	Decúbito lateral: adução do quadril	Dor no quadril/pelve indica síndrome do piriforme (comprimindo o nervo isquiático)
90-90 perna estendida	Flexão do quadril e joelho 90°, extensão do joelho	Maior que 20° de flexão após a extensão total do joelho = encurtamento dos músculos posteriores da coxa (isquiotibiais)
Ely	Posição prona (decúbito ventral): flexão passiva do joelho	Se o quadril flexiona enquanto o joelho é flexionado, há encurtamento do músculo reto femoral
Comprimento da perna	EIAS ao maléolo medial	Uma diferença de medida de mais de 1 cm é positivo
Meralgia parestética	Pressão medial na EIAS	Reprodução de dor, ardor e dormência = compressão do nervo cutâneo femoral lateral

Ver [Capítulo 7](#), Pelve, para o teste de Trendelenburg

Teste de Ortolani (redução)

Com o bebê relaxado e contido em uma superfície firme, os quadris e os joelhos são flexionados em 90°. Os quadris são examinados um de cada vez. O examinador segura a coxa do bebê com o dedo médio sobre o trocanter maior e levanta a coxa para trazer a cabeça do fêmur de sua posição de luxação posterior para o lado oposto do acetábulo. Simultaneamente, a coxa é suavemente abduzida, reduzindo a cabeça do fêmur para dentro do acetábulo. Em achados positivos, o examinador sente a redução por meio de um "estalo" palpável e quase audível



F. Natter
M.D.



Sinal de Allí ou Galeazzi

Com os joelhos e quadris flexionados, o joelho do lado afetado fica mais baixo porque a cabeça do fêmur localiza-se posterior ao acetábulo nesta posição

Teste de Barlow (luxação)

O contrário do teste de Ortolani. Se a cabeça do fêmur estiver no acetábulo no momento do exame, o teste de Barlow é feito para descobrir alguma instabilidade no quadril. A coxa do bebê é presa, como na figura acima, e aduzida com uma pressão suave para baixo. A luxação é palpável enquanto a cabeça do fêmur desliza para fora do acetábulo. O diagnóstico é confirmado com o teste de Ortolani

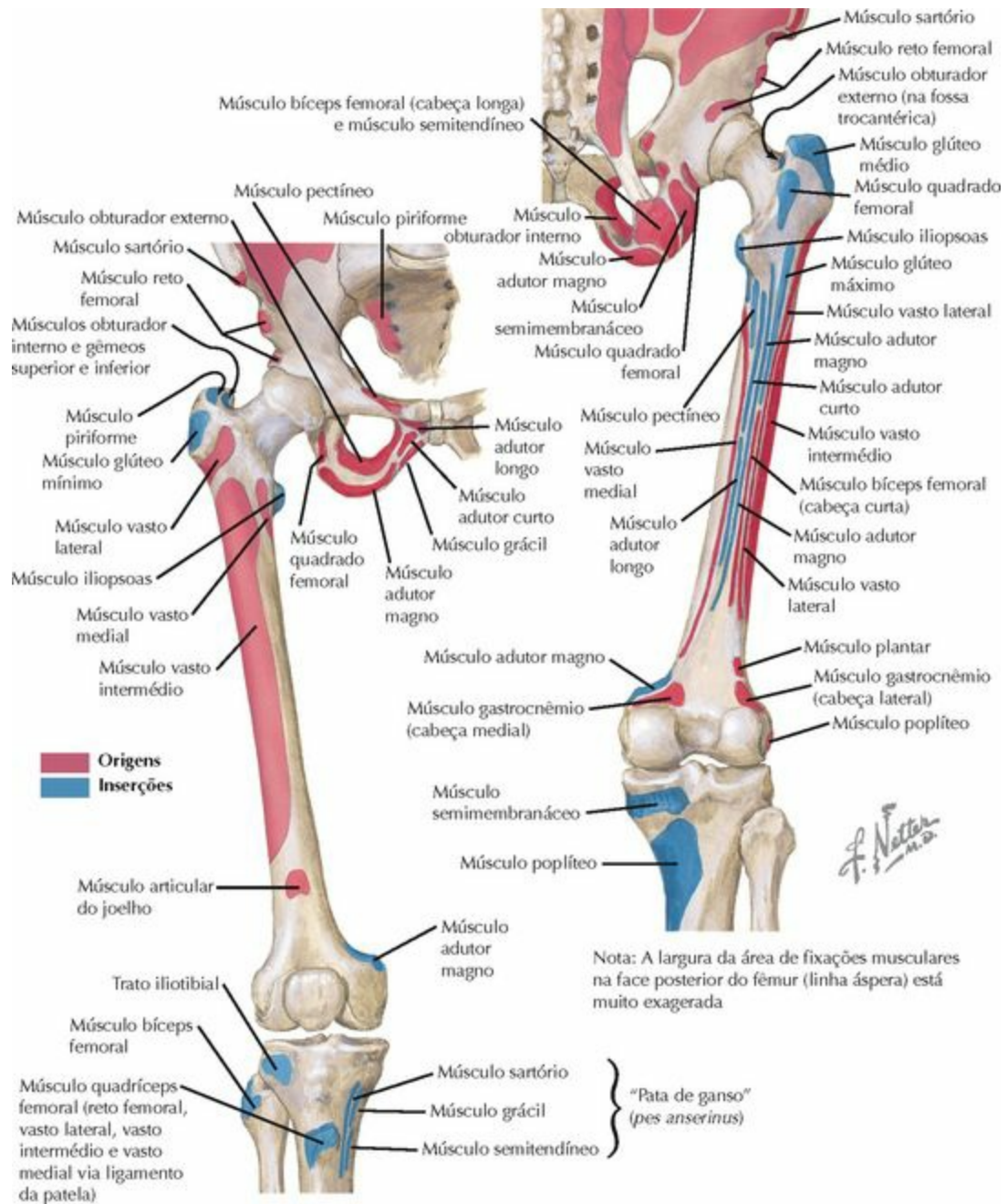
Teste para a limitação da abdução

Paciente em posição supina (decúbito dorsal) e relaxado sobre a maca. Os membros inferiores são suavemente e passivamente abduzidos para determinar a amplitude de movimento de cada um. Visto na doença de Perthes



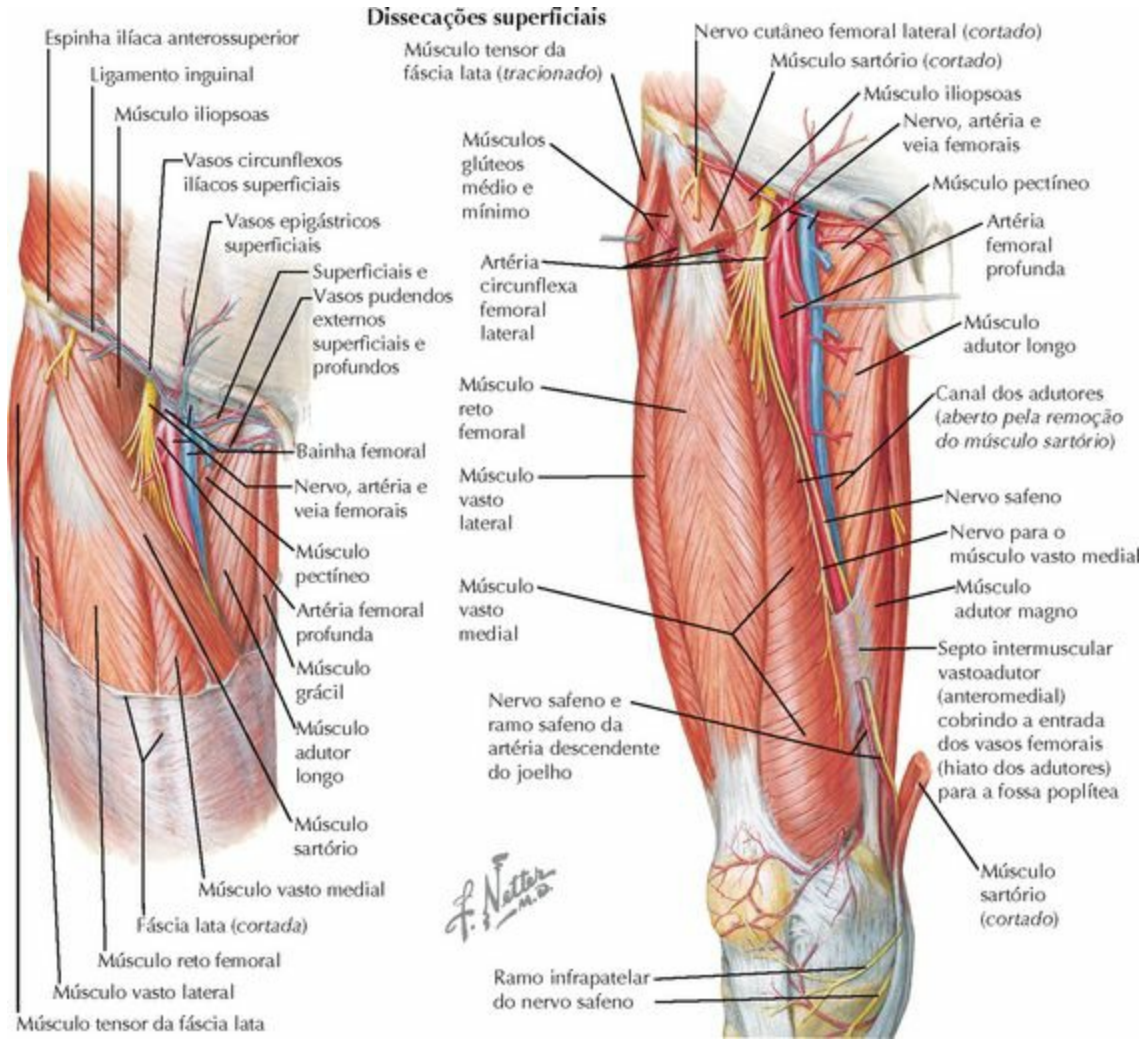
EXAME/OBSERVAÇÃO	TÉCNICA	APLICAÇÃO CLÍNICA
TESTES ESPECIAIS		
Ortolani (pediátrico)	Quadris em 90°, abduzir os quadris	Um "estalo" indica que o(s) quadril(is) estava(m) luxado(s) e agora foi(ram) reduzido(s)
Barlow (pediátrico)	Quadris em 90°, força posterior	Um "estalo" indica que o(s) quadril(is) está(ão) agora luxado(s), devendo ser reduzido(s) com o teste de Ortolani
Galeazzi (pediátrico)	Posição supina (decúbito dorsal): flexionar os quadris e joelhos	Qualquer discrepância na altura do joelho: 1. Luxação do quadril 2. Encurtamento do fêmur

ORIGENS E INSERÇÕES

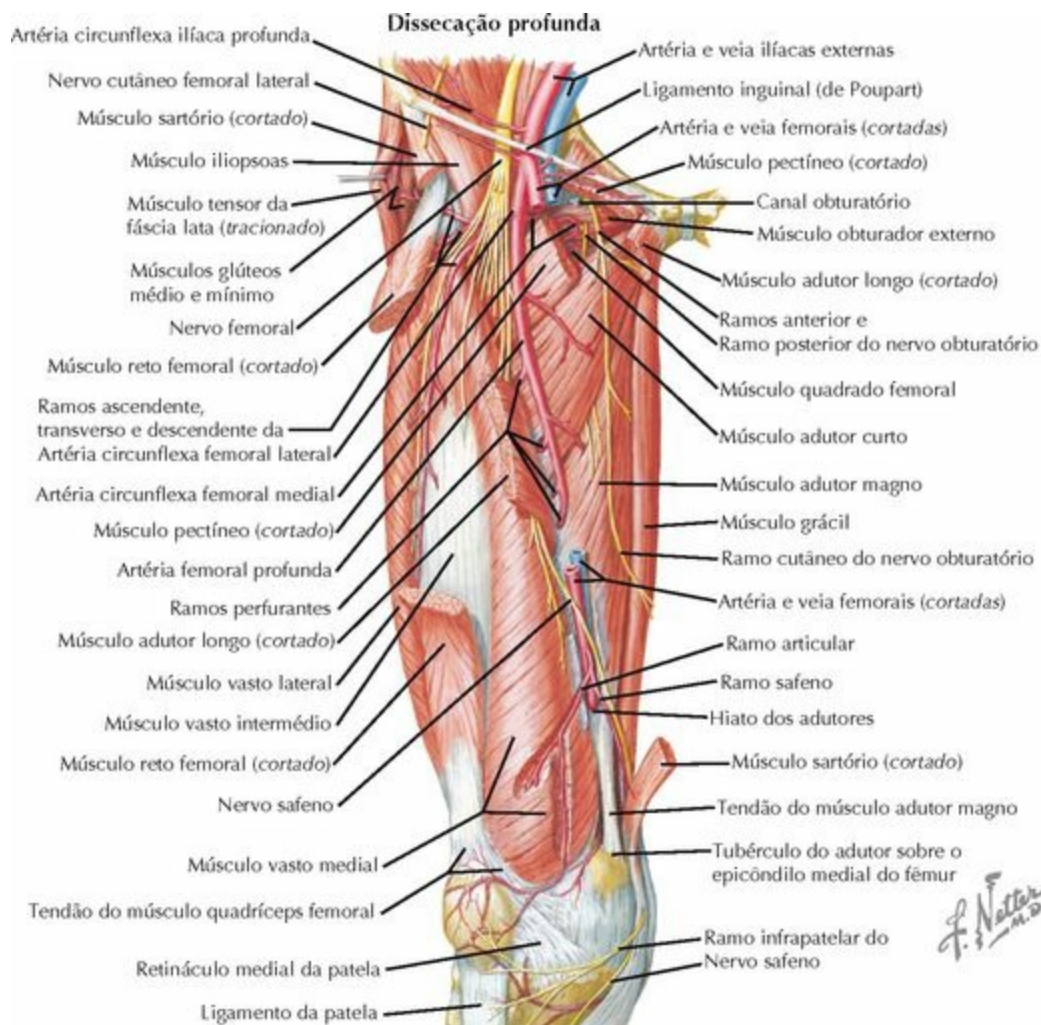


RAMO DO PÚBIS	TROCANTER MAIOR	TÚBER ISQUIÁTICO	LINHA ÁSPERA/REGIÃO POSTERIOR DO FÊMUR
M. pectíneo (linha pectínea/superior) M. adutor magno (inferior) M. adutor longo (anterior) M. adutor curto (inferior) M. grácil (inferior) M. psoas menor (superior)	M. piriforme (anterior) M. obturador interno (anterior) M. gêmeo superior M. glúteo médio (posterior) M. glúteo mínimo (anterior)	M. gêmeo inferior M. quadrado femoral M. semimembráceo M. semitendíneo M. bíceps femoral (cabeça longa) M. adutor magno*	M. adutor magno* M. adutor longo M. adutor curto M. bíceps femoral (cabeça curta) M. pectíneo M. glúteo máximo M. vasto lateral M. vasto medial
* O músculo adutor magno possui duas origens			

MÚSCULOS

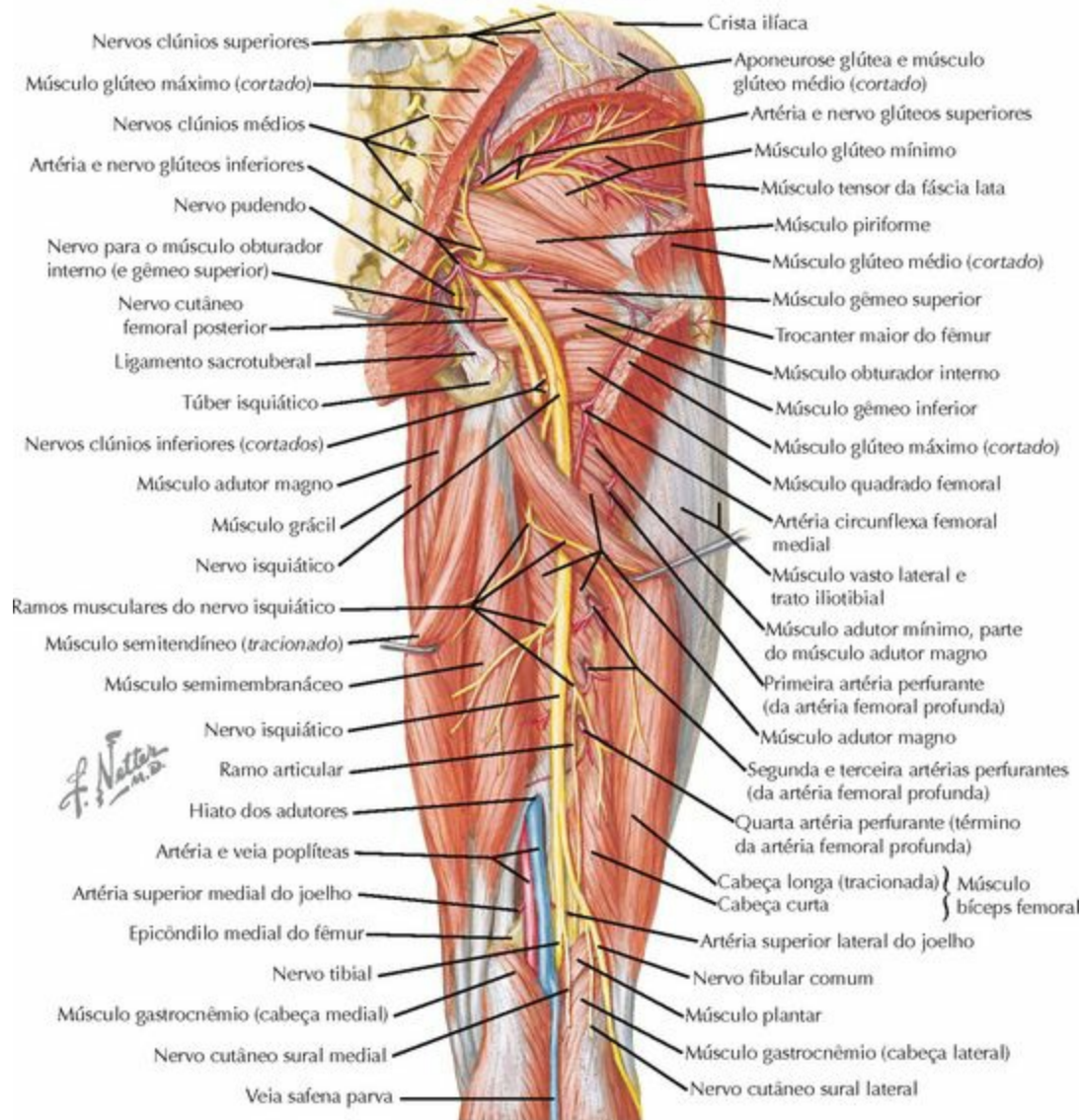


MÚSCULO	ORIGEM (Inserção Proximal)	INSERÇÃO (Inserção Distal)	NERVO	AÇÃO	COMENTÁRIOS
ANTERIOR					
Articular do joelho	Região anterior da parte distal do corpo (diáfise) do fêmur	Cápsula articular	Femoral	Traciona a cápsula superiormente na extensão	Pode se juntar ao músculo vasto intermédio
Sartório	Espinha íliaca anterossuperior	Região medial da parte proximal da tibia ("pata de ganso")	Femoral	Flexão, rotação lateral do quadril	Pode ser arrancado da EIAS (fratura por avulsão)
Quadríceps Femoral					
Reto femoral	1. EIAI 2. Margem superior do acetábulo	Patela/tuberosidade da tibia	Femoral	Flexão da coxa, extensão da perna	Pode ser arrancado da EIAI (fratura por avulsão)
Vasto lateral	Trocanter maior, região lateral da linha áspera	Região lateral da patela/tuberosidade da tibia	Femoral	Extensão da perna	Fibras oblíquas podem afetar o ângulo Q
Vasto intermédio	Parte proximal do corpo (diáfise) do fêmur	Patela/tuberosidade da tibia	Femoral	Extensão da perna	Cobre o músculo articular do joelho
Vasto medial	Linha intertrocanterica, região medial da linha áspera	Região medial da patela/tuberosidade da tibia	Femoral	Extensão da perna	Apresenta fraqueza em muitas desordens patelofemorais

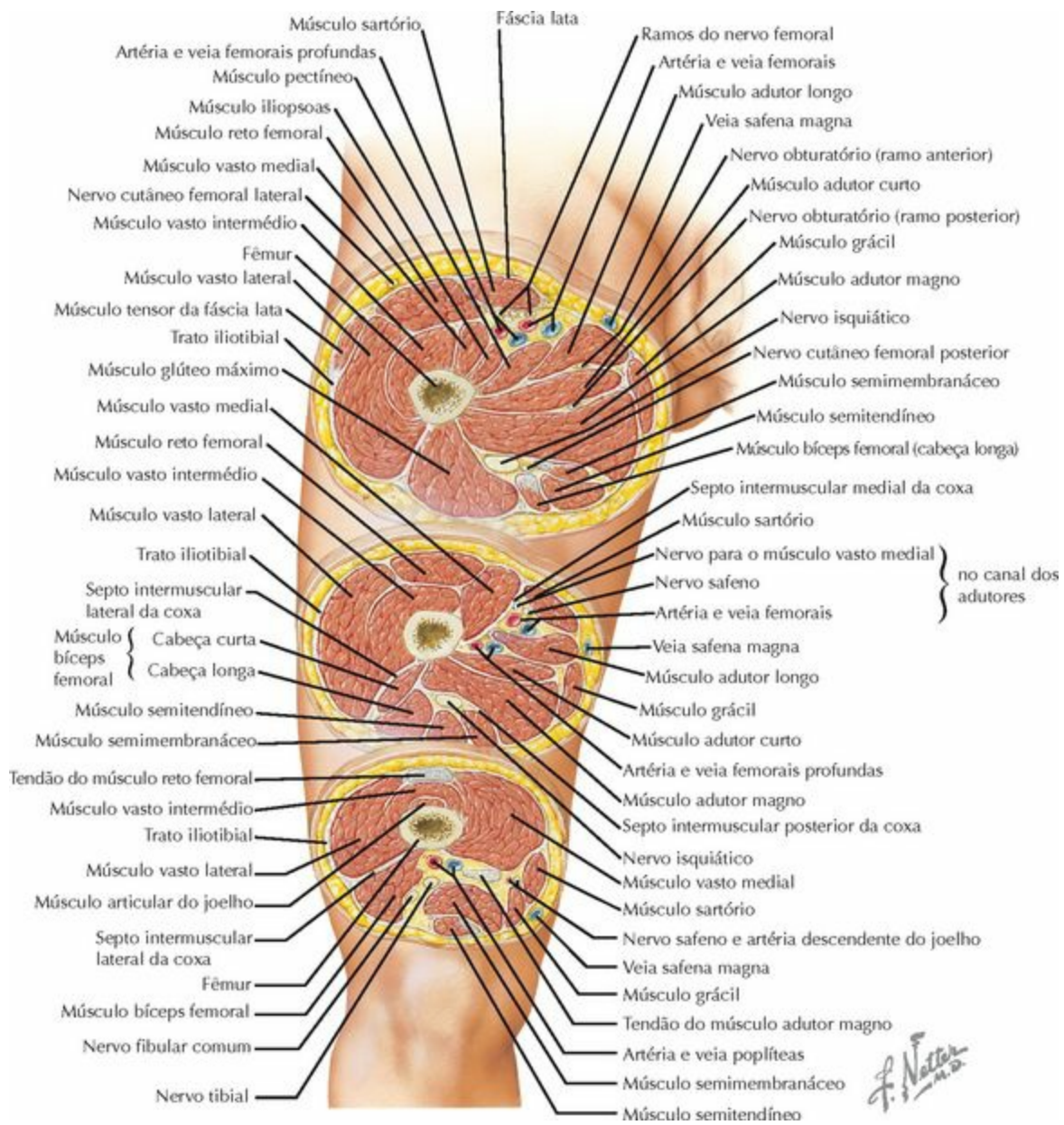


MÚSCULO	ORIGEM (Inserção Proximal)	INSERÇÃO (Inserção Distal)	NERVO	AÇÃO	COMENTÁRIOS
MEDIAL					
Obturador externo	Ramo isquiopúbico, membrana obturadora	Fossa trocantérica	Obturatório	Rotação lateral da coxa	Inserção no ponto de início da haste intramedular
Adutores do Quadril					
Adutor longo	Corpo do púbis (inferior)	Linha áspera (terço médio)	Obturatório	Adução da coxa	O tendão pode ossificar
Adutor curto	Corpo e ramo inferior do púbis	Linha pectínea, linha áspera	Obturatório	Adução da coxa	Profundo ao músculo pectíneo
Adutor magno	1. Ramo do púbis 2. Túber isquiático	Linha áspera e tubérculo do adutor	1. Obturatório 2. Isquiático	Adução e flexão/ extensão da coxa	Este músculo tem duas partes separadas
Grácil	Corpo e ramo inferior do púbis	Parte proximal e medial da tibia ("pata de ganso")	Obturatório	Adução da coxa, flexão/rotação medial da perna	Usado em reconstrução de ligamentos
Flexores do Quadril					
Pectíneo	Linha pectínea do púbis	Linha pectínea do fêmur	Femoral	Flexão e adução da coxa	Parte do assoalho do triângulo femoral

Dissecação profunda

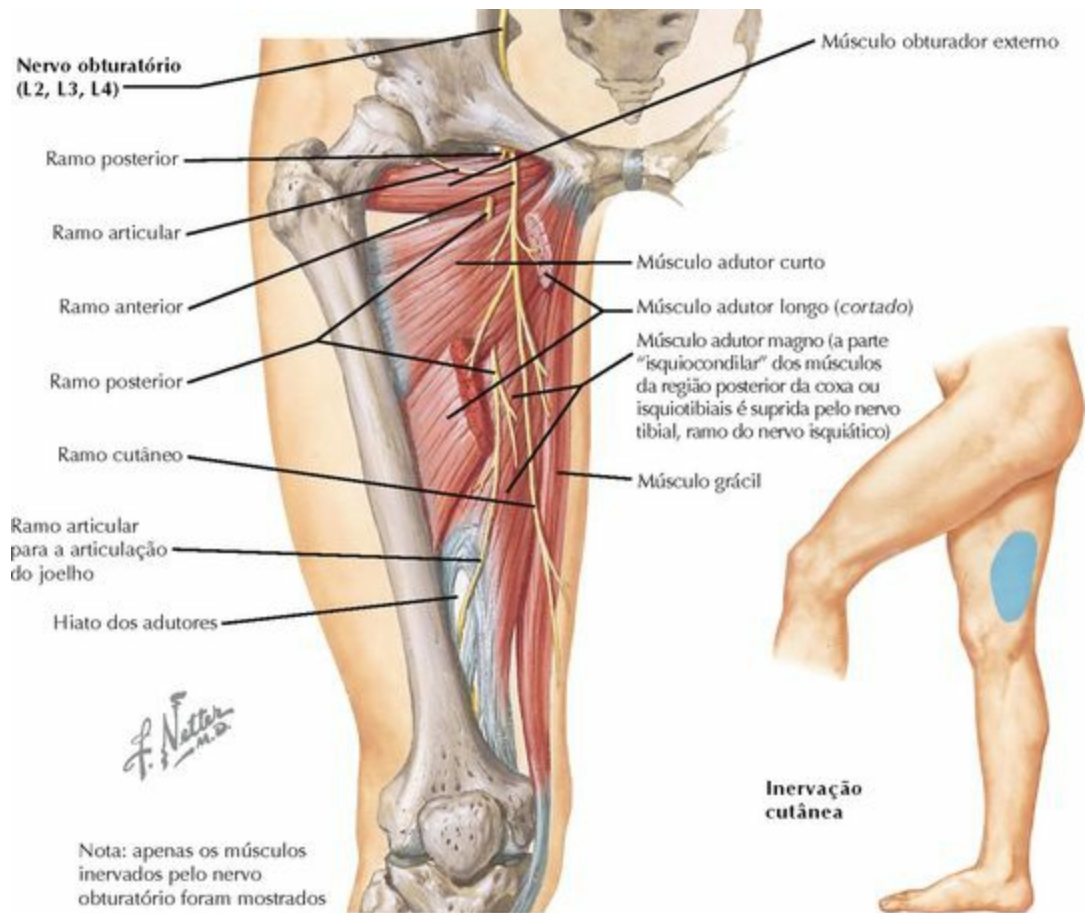


MÚSCULO	ORIGEM (Inserção Proximal)	INSERÇÃO (Inserção Distal)	NERVO	AÇÃO	COMENTÁRIOS
POSTERIOR: MM. ISQUIOTIBIAIS					
Semitendíneo	Túber isquiático	Região medial da parte proximal da tíbia ("pata de ganso")	Isquiático (nervo tibial)	Extensão da coxa e flexão da perna	Seu tendão é usado em reconstruções de ligamentos (LCA)
Semimembrânico	Túber isquiático	Região posterior e medial do côndilo da tíbia	Isquiático (nervo tibial)	Extensão da coxa e flexão da perna	Um limite no acesso medial
Bíceps femoral: cabeça longa	Túber isquiático	Cabeça da fíbula	Isquiático (nervo tibial)	Extensão da coxa e flexão da perna	Pode ser arrancado de sua origem (fratura por avulsão)
Bíceps femoral: cabeça curta	Linha áspera, linha supracondilar	Fíbula, região lateral da tíbia	Isquiático (nervo fibular)	Extensão da coxa e flexão da perna	Partes de seu tendão se inserem com a cabeça longa



ESTRUTURA	RELAÇÕES
COMPARTIMENTOS	
Anterior	M. quadríceps femoral: vasto lateral, vasto intermédio, vasto medial, reto femoral
Posterior	Mm. bíceps femoral (cabeças longa e curta), semitendíneo, semimembrânico e nervo isquiático
Medial	Mm. adutor magno, adutor longo, adutor curto, grácil, artéria e veia femorais
FASCIOTOMIAS	
Incisão lateral	Liberação do compartimento anterior e do compartimento posterior
Incisão medial	Liberação do compartimento medial

NERVOS



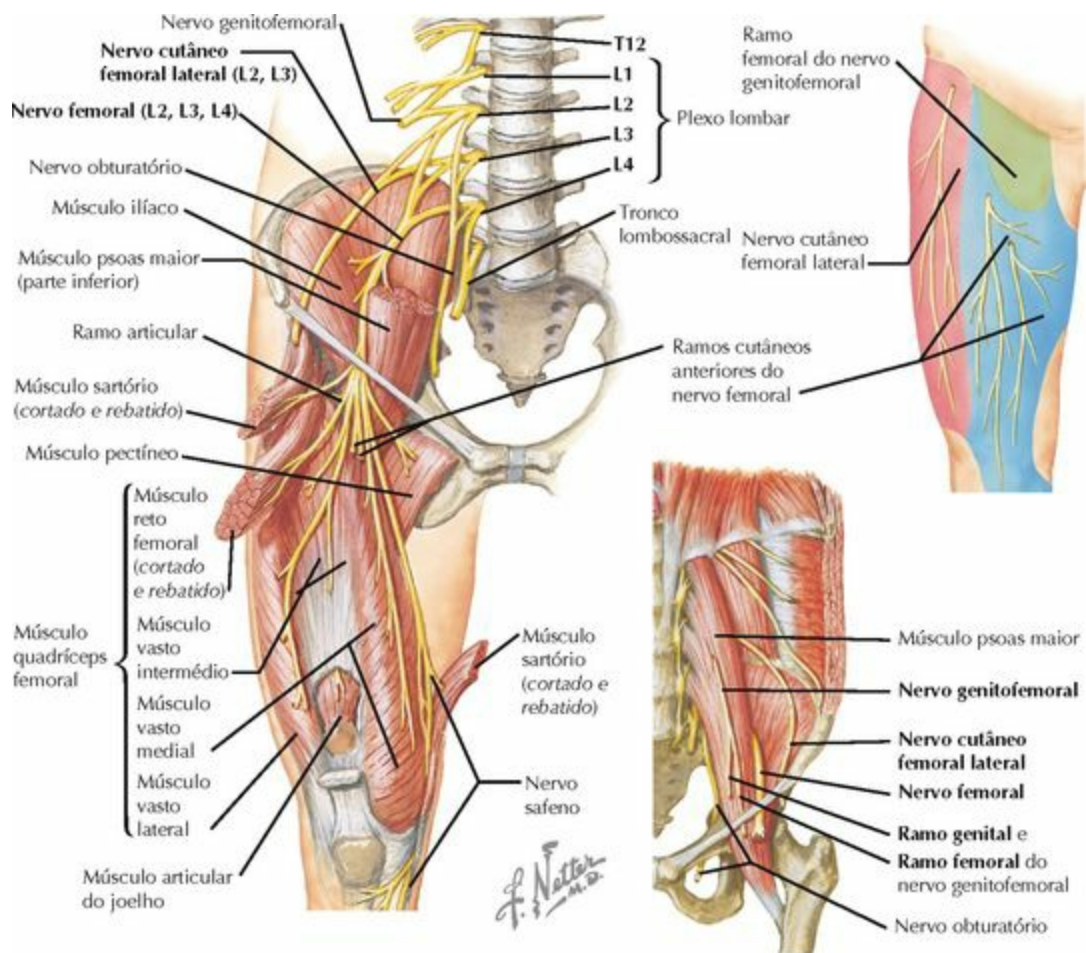
PLEXO LOMBAR

Divisão Anterior

N. obturatório (L2-L4): sai pelo canal obturatório, divide-se em ramos anterior e posterior. Pode ser lesionado pelos **afastadores** colocados atrás do **ligamento transverso do acetábulo**

Sensitivo: Região inferomedial da coxa: via **ramo cutâneo do nervo obturatório**

Motor: M. grácil (ramo anterior)
M. adutor longo (ramo anterior)
M. adutor curto (ramos anterior/posterior)
M. adutor magno (ramo posterior)



PLEXO LOMBAR

N. genitofemoral (L1-L2): perfura o músculo psoas, localiza-se sobre a face anteromedial do músculo psoas e divide-se em dois ramos

Sensitivo: Ramo femoral: região anterior da parte proximal da coxa (sobre o triângulo femoral)
Ramo genital: escroto/lábios

Motor: Nenhum (na coxa)

Divisão Posterior

N. cutâneo femoral lateral (NCFL) (L2-L3): cruza inferiormente a EIAS (pode ser comprimido na ou perto da EIAS)

Sensitivo: Região lateral da coxa

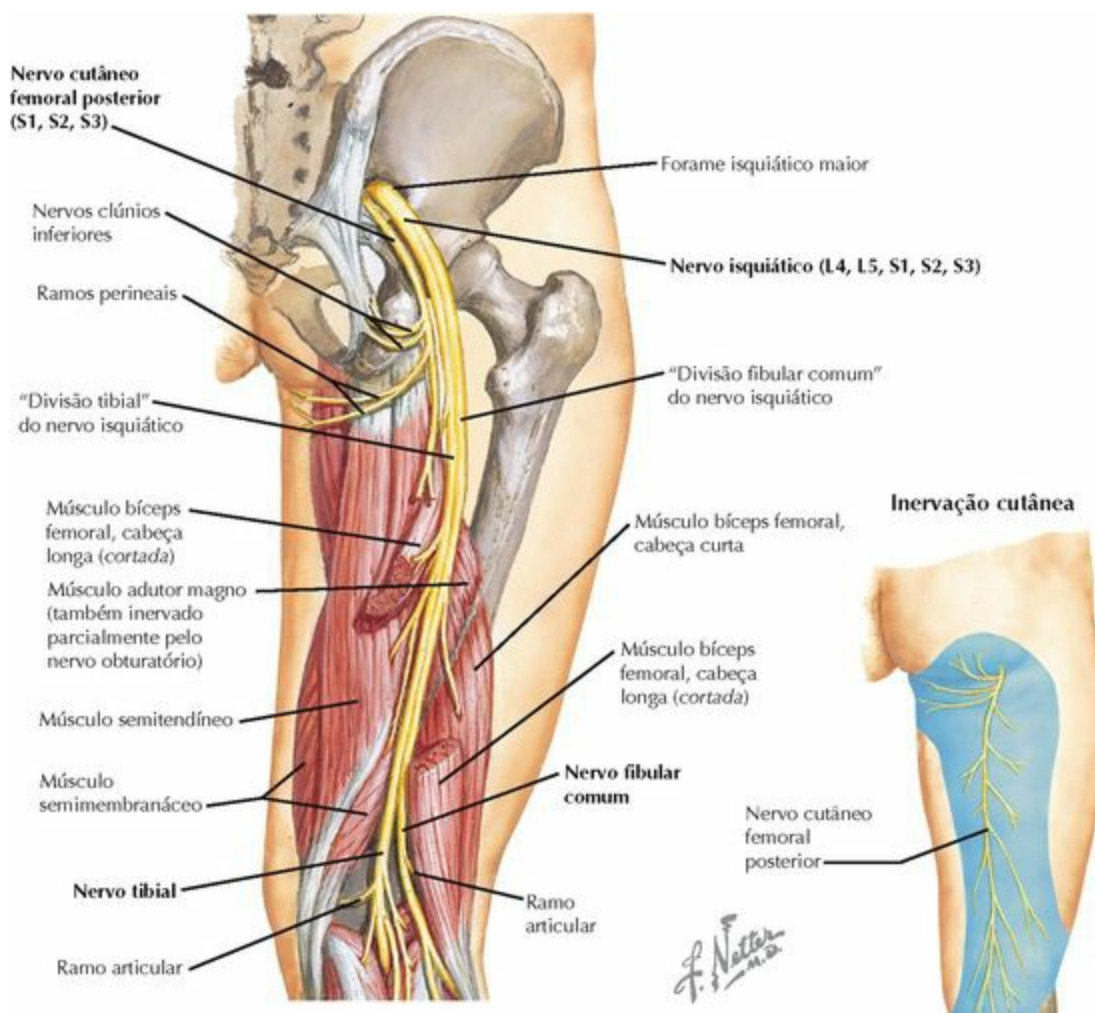
Motor: Nenhum

N. femoral (L2-L4): localiza-se entre o músculo psoas maior e o músculo ilíaco; ramos no triângulo femoral. O nervo safeno segue sob o músculo sartório

Sensitivo: Região anteromedial da coxa – via **ramos cutâneos anterior/intermédio**

Motor: M. psoas
M. pectíneo
M. sartório
• M. quadríceps femoral
◦ M. reto femoral

- M. vasto lateral
- M. vasto intermédio
- M. vasto medial



PLEXO SACRAL

N. isquiático: um único nervo com duas partes distintas; ele se divide na parte distal da coxa em nervos tibial e fibular comum

Divisão Anterior

N. tibial (L4-S3): desce (como isquiático) na região posterior da coxa profundamente aos músculos isquiotibiais e superficial ao músculo adutor magno

Sensitivo:

Nenhum (na coxa)

Motor:

M. bíceps femoral (cabeça longa)
M. semitendíneo
M. semimembranáceo

Divisão Posterior

N. fibular comum (L4-S2): desce (como isquiático) na região posterior da coxa profundamente aos músculos isquiotibiais e superficial ao músculo adutor magno

<i>Sensitivo:</i>	Nenhum (na coxa)
-------------------	------------------

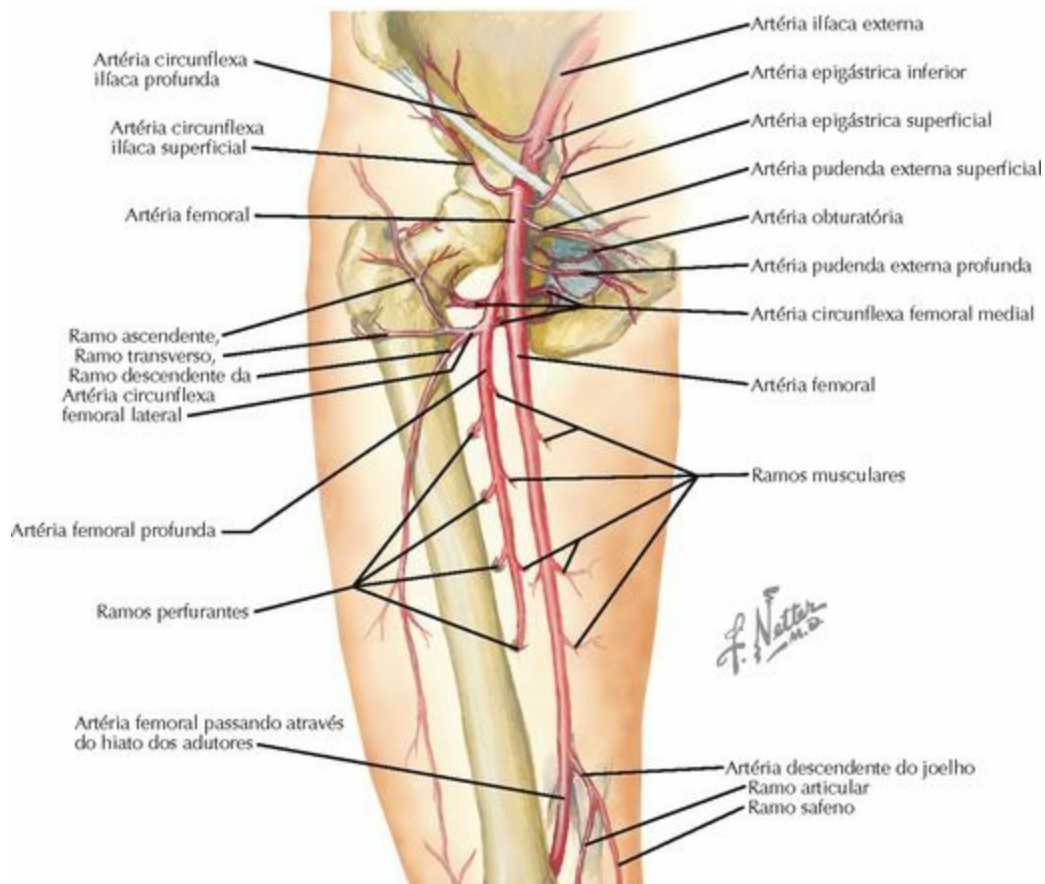
<i>Motor:</i>	M. bíceps femoral (cabeça curta)
---------------	----------------------------------

N. cutâneo femoral posterior (NCFP) (S1-3): passa através do forame isquiático maior, medial ao nervo isquiático

<i>Sensitivo:</i>	Região posterior da coxa
-------------------	--------------------------

<i>Motor:</i>	Nenhum
---------------	--------

ARTÉRIAS

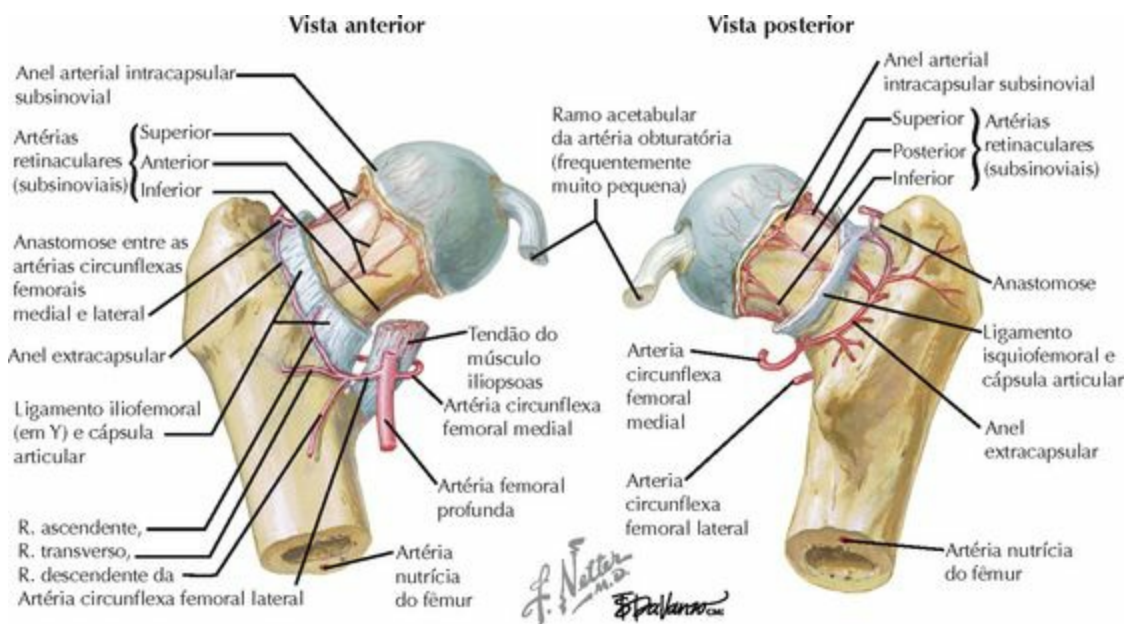


ARTÉRIA	RAMOS	COMENTÁRIO
Obturatória	Ramos anterior e posterior	Passa através do forame obturado
ARTÉRIA FEMORAL		
No triângulo femoral, atravessa o canal dos adutores (sob o músculo sartório, entre os músculos vasto medial e adutor longo), então passa posteriormente pelo hiato dos adutores e torna-se a artéria poplíteia, posteriormente à parte distal do fêmur e ao joelho		
Artéria femoral	A. circunflexa ilíaca superficial A. epigástrica superficial A. pudenda externa superficial e profunda A. femoral profunda A. descendente do joelho Ramo articular Ramo safeno	Irriga os tecidos superficiais do abdome Irriga os tecidos superficiais do abdome Irriga os tecidos subcutâneos da região púbica e escroto/lábios maiores do pudendo Suprimento sanguíneo primário para a coxa. Ver abaixo Anastomose (no joelho) que supre o joelho
	A. circunflexa femoral	

Artéria femoral profunda

medial
A. circunflexa femoral lateral
Ramo ascendente
Ramo transverso
Ramo descendente
Ramos perfurantes/musculares

Irriga o colo do fêmur, sob o **m. quadrado femoral**
Irriga o colo do fêmur
Forma uma anastomose no colo do fêmur
Para o trocanter maior
Em risco no acesso **anteromedial** para o quadril
Irriga o corpo (diáfise) do fêmur e os músculos da coxa



ARTÉRIA

TRAJETO

COMENTÁRIO/IRRIGAÇÃO

ARTÉRIAS DO COLO DO FÊMUR

Femoral Profunda

Circunflexa femoral medial

Entre os músculos pectíneo e psoas, e então posterior ao colo do fêmur sob o músculo **quadrado femoral**

Principal suprimento sanguíneo para a cabeça do fêmur no adulto
Principal contribuinte para o anel/anastomose extracapsular

Circunflexa femoral lateral

Profunda aos músculos sartório e reto femoral

Suprimento sanguíneo menos significativo para a cabeça do fêmur no adulto

Ramo ascendente

Ascende anteriormente ao colo do fêmur

Principal contribuinte para o anel/anastomose extracapsular

Ramo transverso

Através da parte proximal do fêmur ao trocanter maior

Fornece suprimento parcial para o trocanter maior

Ramo descendente

Sob o músculo reto femoral

Está em **risco no acesso anterolateral** do quadril

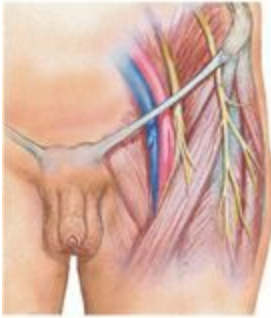
Primeira artéria perfurante	Ramo ascendente	Pode contribuir para o anel/anastomose extracapsular
Anel extracapsular – formado na base do colo do fêmur primariamente de ramos da artéria circunflexa femoral medial e da artéria circunflexa femoral lateral		
Ramos laterais	Do anel, lateralmente em direção ao trocanter maior	Irriga o trocanter maior
Artérias ascendentes do colo Artérias retinaculares	Extracapsulares ao longo do colo do fêmur Intracapsulares ao longo do colo do fêmur	Ramos do anel extracapsular Continuação intracapsular das artérias do colo Formam um segundo anel intracapsular na base da cabeça do fêmur
Anel arterial intracapsular subsinovial – formado na base da cabeça do fêmur		
Artérias epifisiais Artérias epifisiais laterais	Entra no osso na margem da face articular na região posterossuperior do colo do fêmur	Formará anastomoses intraósseas A artéria epifisial lateral supre a maior parte da região de suporte de peso da cabeça do fêmur
Artéria Obturatória		
Ramo acetabular Artérias epifisiais mediais	Através do ligamento da cabeça do fêmur à fôvea Ramos terminais interósseos	Suprimento mínimo para a cabeça do fêmur no adulto Anastomose com as artérias epifisiais laterais
Outras Artérias		
Artérias glúteas superior e inferior		Podem contribuir para o anel/anastomose extracapsular

Suprimento sanguíneo da cabeça do fêmur na criança: 0-4 anos: artéria circunflexa femoral medial, artéria circunflexa femoral lateral e ramo acetabular da artéria obturatória; 4-8 anos: principalmente a artéria circunflexa femoral medial, menor contribuição da artéria circunflexa femoral lateral e do ramo acetabular da artéria obturatória; mais de 8 anos: a artéria circunflexa femoral medial é predominante

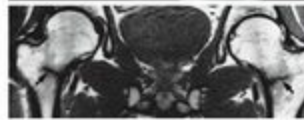
DISTÚRBIOS

Nervo cutâneo femoral lateral

Compressão do nervo sob o ligamento inguinal



As setas mostram a presença de sobreposição e esclerose no colo do fêmur



RM frontal (coronal) revela fraturas bilaterais de estresse (setas) no colo do fêmur

Reproduzido com permissão de Resnick D. Kransdorf M. Bone and Joint Imaging, 3rd edition, Elsevier, Philadelphia, 2005.

DESCRIÇÃO	HDA e EF	EXAMES COMPLEMENTARES/ ACHADOS	TRATAMENTO
IMPACTO FEMOROACETABULAR			
<ul style="list-style-type: none"> Morfologia anormal sutil do quadril que causa impacto ósseo. Dois tipos: <ul style="list-style-type: none"> <i>Cam</i>: cabeça do fêmur não esférica <i>Pincer</i>: supercobertura do acetábulo Causa DAD precoce 	<p>HDA: início insidioso, dor na região inguinal, piora com atividade</p> <p>EF: diminuição da ADM (especialmente rotação medial), + teste de choque (flexão, adução, rotação medial do quadril)</p>	<p>RX: AP/perfil do quadril</p> <p><i>Cam</i>: colo do fêmur "colide com o acetábulo", +/- cisto subcortical, decréscimo do <i>offset</i></p> <p><i>Pincer</i>: aumento do revestimento do acetábulo</p> <p>RM: lesões do lábio do acetábulo, lesões condrais</p>	<ol style="list-style-type: none"> AINE, modificação nas atividades Deslocamento cirúrgico e remodelação do colo e/ou acetábulo Osteotomia em casos específicos Artroplastia total de quadril se a DAD for avançada
FRATURAS DE ESTRESSE DO COLO DO FÊMUR			
<ul style="list-style-type: none"> Carga excessiva no quadril 2 tipos: tensão (região superior do colo), compressão (região inferior do colo) Comum em recrutas militares 	<p>HDA: aumento de atividade com aparecimento de dor no quadril e na região inguinal</p> <p>EF: +/- dor com e/ou diminuição da ADM</p>	<p>RX: AP, AP em rotação medial, perfil</p> <p>RM: Melhor estudo para detecção precoce da fratura</p> <p>Bursografia: mostra a fratura subagudamente</p>	<ul style="list-style-type: none"> Compressão: suporte de peso limitado Tensão: colocação urgente de pino percutâneo (prevenção de desvio)
MERALGIA PARESTÉSICA			
<ul style="list-style-type: none"> Nervo comprimido próximo à espinha ilíaca anterossuperior Em virtude de atividade (extensão do quadril), vestimenta (p. ex., cinto) ou compressão repetitiva 	<p>HDA: dor/queimação na região lateral da coxa</p> <p>EF: diminuição da sensibilidade na região lateral da coxa, + meralgia</p>	<p>RX: AP/perfil do quadril: excluir outra patologia</p>	<ol style="list-style-type: none"> Remover o agente compressivo (p. ex., cinto, roupas apertadas etc.) Liberção cirúrgica: rara
QUADRIL EM RESSALTO (SÍNDROME DO RESSALTO "COXA SALTANS")			
<p>Ressalto no quadril. 3 tipos</p> <ol style="list-style-type: none"> Externo: trato iliotibial sobre o trocanter maior Interno: músculo psoas sobre a cabeça do fêmur ou eminência iliopectínea Intra-articular: geralmente corpos livres 	<p>HDA: ressalto no quadril +/- dor</p> <p>EF: palpar o tendão (trato iliotibial ou tendão do músculo psoas); então, flexionar e estender o quadril, percebendo o ressalto (externa sobre o trocanter maior; interna sobre o trocanter menor)</p>	<p>RX: AP/perfil de quadril: excluir outras anormalidades ósseas (p. ex., esporão) e DAD do quadril</p> <p>RM: corpos livres, lesão do lábio do acetábulo</p> <p>US/artrografia: tendão do músculo psoas</p>	<p>Externa/Interna:</p> <ol style="list-style-type: none"> Modificação da atividade, fisioterapia Considerar infiltração Liberção cirúrgica: muito raro <p>Intra-articular: remoção de corpos livres intra-articulares</p>
BURSITE TROCANTÉRICA			
<ul style="list-style-type: none"> Inflamação da bolsa sinovial sobre o trocanter maior Mulheres > homens, meia-idade 	<p>HDA: dor na região lateral do quadril, não consegue dormir sobre o lado afetado</p> <p>EF: ponto sensível no trocanter maior, dor com adução</p>	<p>RX: AP de pelve, AP/perfil do quadril: excluir esporão, OA, tendões calcificados</p>	<ol style="list-style-type: none"> AINE, fisioterapia (alongamento do trato iliotibial) Infiltração de esteroides Excisão cirúrgica – rara

Osteoartrite



Alterações degenerativas avançadas no acetábulo



Erosão da cartilagem articular e deformidade da cabeça do fêmur

Radiografia do quadril mostrando degenerações típicas da cartilagem e alterações ósseas secundárias, com esporões nas margens do acetábulo



F. Natter
M.D.

DESCRIÇÃO	HDA e EF	EXAMES COMPLEMENTARES/ACHADOS	TRATAMENTO
OSTEOARTRITE			
<ul style="list-style-type: none"> Perda ou lesão da cartilagem articular Etiologia: primária – idiopática; secundária – pós-traumática, infecção, doença pediátrica do quadril 	<p>HDA: dor crônica do quadril ou da região inguinal, aumentando ao longo do tempo e com a atividade</p> <p>EF: diminuição da ADM (primeiro na rotação medial), + teste de rolagem, +/- flexão contratura/marcha antálgica</p>	<p>RX: AP pelve/AP/perfil do quadril</p> <ol style="list-style-type: none"> Estreitamento do espaço articular Osteófitos Esclerose subcondral Cistos ósseos 	<ol style="list-style-type: none"> AINE/fisioterapia Infiltração/modificação da atividade, bengala (na mão oposta) Osteotomia (jovem) Artrodese (jovem) Artroplastia total de quadril
OSTEONECROSE (NECROSE AVASCULAR/NAV)			
<ul style="list-style-type: none"> Necrose da cabeça do fêmur devido à ruptura vascular Associação de trauma, uso de esteroides ou álcool, distúrbios inflamatórios Homens > mulheres, 30-40 anos, 50% bilateral Grande envolvimento da cabeça do fêmur associada a prognóstico ruim 	<p>HDA: dor na região inguinal piorando com a atividade</p> <p>EF: limitação da ADM (especialmente rotação medial e abdução), marcha antálgica</p> <p>RX: AP/perfil: achados de estágios específicos (ver classificação)</p> <p>RM: estudo de maior sensibilidade, mostra mudanças iniciais na cabeça do fêmur</p> <p>Bursografia: substituída pela RM</p>	<p>Classificação: modificada por Ficat</p> <ol style="list-style-type: none"> Sintomática, RX normal, + RM Sintomática, RX normal, + RM RX: esclerose, sem colapso RX: + colapso (sinal crescente) Cabeça do fêmur achatada, acetábulo normal Estreitamento da articulação, DAD precoce DAD avançada, inclinação do acetábulo 	<p>Estágio:</p> <ol style="list-style-type: none"> 0-1: Suporte de peso limitado, observação 2: Descompressão da parte central 3: Considerar fibula vascularizada ou osteotomia do fêmur 4-6: Artroplastia total de quadril – apropriada para a maioria dos pacientes. Fusão do quadril: em trabalhadores jovens



ARTROPLASTIA TOTAL DE QUADRIL

Informações Gerais

- Objetivos: alívio da dor, manutenção da independência pessoal, permitir a realização de atividades da vida diária (AVD)
- Procedimento comum com altos níveis de satisfação para um procedimento primário; revisões também estão se tornando mais comuns
- Avanços nas técnicas e nos materiais estão melhorando a vida útil dos implantes; este procedimento está disponível para pacientes jovens

Materiais

- **Componente acetabular** (acetábulo) e **componente femoral** (fêmur). Geralmente são feitos de titânio. Hastes de aço inoxidável ou cromo-cobalto podem ser muito duras (*i.e.*, módulo incompatível) e causar *stress shielding*
- **Superfícies de suporte:** revestimentos acetabulares e implantes de cabeça de fêmur. Revestimentos de polietileno e cabeças de fêmur de cromo-cobalto geralmente são mais comuns. Cerâmica e metal também são usados
 - Polietileno de ultra-alto peso molecular: boa superfície, mas altas taxas de desgaste e restos conduzem ao afrouxamento asséptico. A modelagem de compressão direta é o método de fabricação preferido. Esterilização com irradiação em ambiente não oxigenado promove *cross-linking*. Polietileno altamente *cross-linked* tem taxas de desgaste muito melhores
 - Cromo-cobalto: liga de “supermetal”. Usado comumente para superfícies de suporte femoral com forro de polietileno. Implantes de metal sobre metal estão disponíveis. Partículas de restos são muito pequenas, criando respostas histocíticas menores. A carcinogênese é um interesse teórico
 - Cerâmica (alumina): excelente taxa de desgaste, mas **frágil** (pode fraturar). Pode ser usada com forro de polietileno ou superfícies de apoio de cerâmica

Técnicas

- **Dois tipos de fixação:** 1. Cimentada, 2. Não cimentada/biológico
 - **Cimentada:** metilmetacrilato. Mais frequentemente usado em pacientes idosos. Fornece fixação estática imediata, sem potencial de remodelação. O cimento resiste à compressão melhor do que à tensão. Assim, os implantes femorais se comportam melhor do que as superfícies de suporte acetabulares com essa fixação. Técnicas de cimentação de **terceira geração:** pressurização, haste revestida, centralizador/restritor, preparação do canal, capa de **2 mm**
 - **Não cimentada/fixação biológica:** usada em pacientes jovens (popularidade crescente). Crescimento ósseo – o osso cresce sobre ou dentro do implante. Possui potencial de remodelação e fornece fixação dinâmica. Não é uma boa escolha em quadris pós-irradiados
- A fixação **NÃO** é imediata, necessita de uma fixação inicial para dar estabilidade: 2 técnicas
 - Press Fit: implantar 1-2 mm maior que o osso. A forma da prótese permite “*hoop stress*” que fornece uma fixação inicial enquanto o osso cresce sobre ele ou no seu interior
 - Pré-moldados: o implante e o osso são do mesmo tamanho. Parafusos são usados para prover a fixação inicial enquanto o osso cresce sobre ele ou no seu interior
- Porosidade ideal e tamanho do poro: **50-150** micrômetros. A área da superfície de crescimento varia
- Implante de “**padrão-ouro**” atual: componente acetabular não cimentado (crescimento no interior) e haste femoral de aço cimentada. As tendências estão mudando, e mais componentes femorais não cimentados e superfícies de suporte alternativas estão sendo usadas com mais frequência
- O tamanho da cabeça afeta a estabilidade (a maior é mais estável) e o desgaste (cabeça maior = desgaste volumétrico maior). **28 mm** é o tamanho ideal

Indicações

- **Artrite do quadril**

- Etiologias comuns: osteoartrite, artrite reumatoide, osteonecrose, anterior à doença pediátrica do quadril
- Sintomas clínicos: dor no quadril/região inguinal, piora com a atividade, piora gradualmente com o tempo, decréscimo da capacidade funcional
- Achados radiográficos: radiografias apropriadas que evidenciem a artrite do quadril devem estar presentes

Osteoartrite

1. Estreitamento do espaço articular

2. Esclerose

3. Cistos subcondrais

4. Formação de osteófitos

Artrite reumatoide

1. Estreitamento do espaço articular

2. Osteoporose periarticular

3. Erosões articulares

4. Anquilose

- Falha do tratamento conservador: AINE, modificação de atividade, perda de peso, fisioterapia, bengala (na **mão contralateral**), infiltrações
- Outros: fraturas (p. ex., colo do fêmur com doença degenerativa articular do quadril), tumores, distúrbios de desenvolvimento (p. ex., displasia de desenvolvimento do quadril DDQ etc.).

Contraindicações

- Absoluta
 - Articulação neuropática
 - Infecção
 - Paciente clinicamente instável (p. ex., doença cardiopulmonar grave). O paciente pode não sobreviver ao procedimento
- Relativa
 - Pacientes jovens e ativos. Estes pacientes causarão desgaste na prótese muitas vezes durante suas vidas

Alternativas

- Considerações: idade, nível de atividade, estado geral de saúde
- Osteotomia: femoral ou pélvica: geralmente realizadas em pacientes jovens
- Artrodese/fusão: trabalhadores jovens com doença unilateral isolada (*i.e.*, coluna vertebral, joelho, tornozelo, quadril contralaterais normais)

Procedimento

- Acessos
 - Acessos posterior, lateral e anterolateral
 - Minimamente invasivo, uma e duas incisões de acesso estão se tornando mais comuns
- Passos
 - Acetábulo: remover o lábio do acetábulo e osteófitos, escarear a margem cortical, implantar componente acetabular (35°-45° de inclinação coronal, 15°-30° de anteversão)
 - Fêmur: deslocar a cabeça, cortar o colo, remover a cabeça, encontrar e abrir o canal (lateralizar se necessário) – a haste não pode estar em varo, implantar a haste, testar a cabeça e o colo. Implantar a cabeça/colo apropriado e revestir o acetábulo

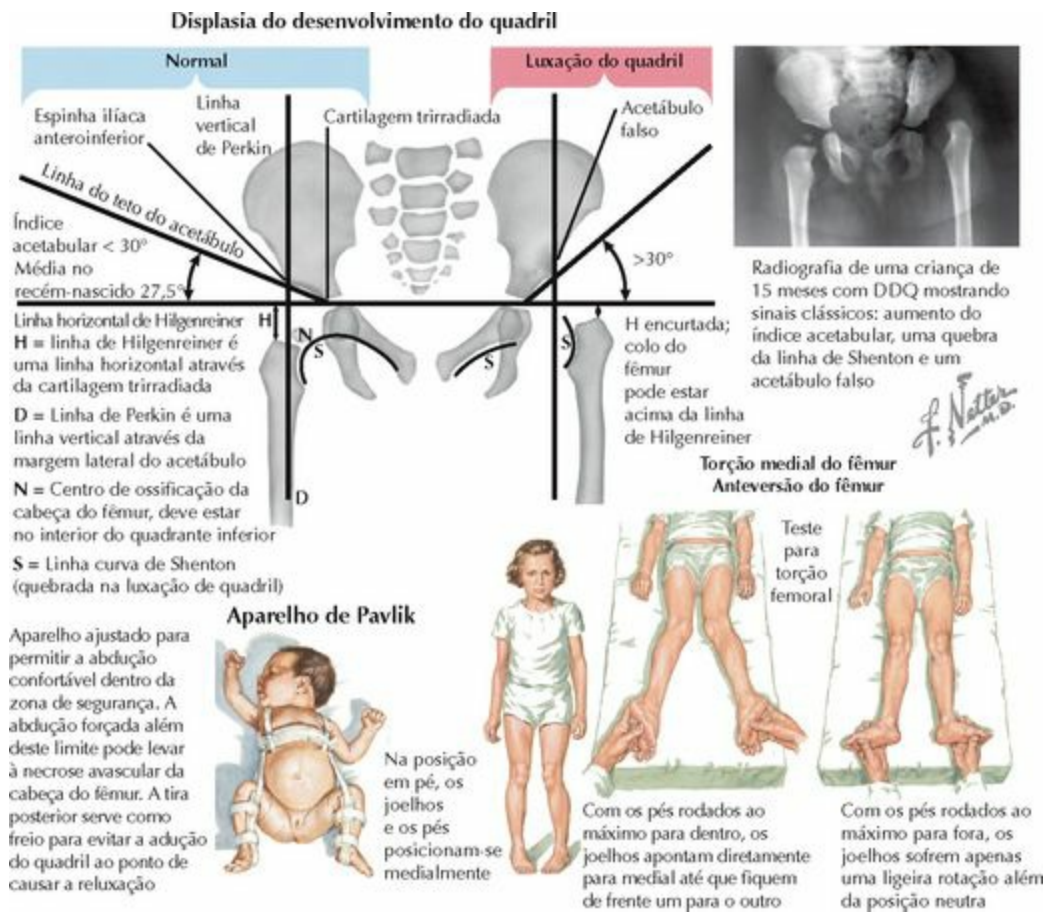
Complicações

- Infecção: diagnóstico com exames laboratoriais e aspiração. A prevenção é primordial:

- antibióticos perioperatórios, preparação meticulosa/técnicas planejadas etc. Aguda/subaguda: irrigação e debridamento com troca do polietileno. Tardia: um ou dois estágios de revisão
- Afrouxamento: o paciente queixa-se frequentemente de dor ao **levantar/iniciar** atividades. Linhas radiolucidas são vistas em radiografias simples. Mais frequentemente causadas por **osteólise**. A osteólise é causada por resposta de **macrófagos** a **partículas** de desgaste (de tamanho submícron) (geralmente polietileno)
 - Luxação: pode ser decorrente de mau alinhamento dos componentes (fêmur ou acetábulo) ou lesão de tecidos moles/disfunção. Decréscimo no acesso posterior quando os rotadores laterais curtos são reinsertados durante o fechamento
 - Lesões neurovasculares
 - Nervo **isquiático**: divisão fibular (resultando em pé caído) em risco de vigorosa retração no acesso posterior
 - Nervo **femoral**: com vigorosa retração no acesso anterolateral
 - Vasos **obturatórios**: sob o ligamento transverso do acetábulo, lesionados com afastadores ou parafuso de implante no quadrante anteroinferior
 - Vasos **ilíacos externos**: em risco se o parafuso de implante estiver localizado no quadrante anterossuperior (o quadrante **posterossuperior** é seguro)
 - **Artéria circunflexa femoral medial**: sob o músculo quadrado femoral, em risco no acesso posterior se o músculo estiver abaixado
 - Ossificação heterotópica: geralmente em pacientes predispostos. Pode causar diminuição da ADM. Uma dose de radioterapia pode prevenir isso
 - Complicações clínicas: a trombose venosa profunda (**TVP**) e a embolia pulmonar (**EP**) são riscos conhecidos na artroplastia total de quadril. A **profilaxia** deve ser iniciada
 - Fratura periprostética do fêmur
 - Implante estável: RAFI(placas, cabos, +/- enxerto ósseo)
 - Implante instável: substituição com haste longa que passa pelo local da fratura



DISTÚRBIOS PEDIÁTRICOS



DESCRIÇÃO

AVALIAÇÃO

TRATAMENTO

DISPLASIA DO DESENVOLVIMENTO DO QUADRIL (DDQ)

- Desenvolvimento anormal do quadril resultando em luxação, subluxação ou frouxidão do quadril
- A maioria de frouxidão capsular e posicionamento; forma teratológica irreduzível vista em síndromes neuromusculares congênicas ou doenças
- Fatores de risco: **sexo feminino, parto pélvico, primeiro nascimento, histórico**

HDA: geralmente não observada pelos pais. +/- fatores de risco
EF: Barlow (luxação), + **Ortolani** (redução), +/- teste de Galeazzi e decréscimo da abdução
RX: útil após os 6 meses (cabeça do fêmur começa a se ossificar). Olhar para a posição no acetábulo. Múltiplas linhas radiográficas ajudam a avaliar o quadril

Obter e manter redução concêntrica:

- 0-6 meses: aparelho de Pavlik
- 6-24 meses: redução fechada, espica gessada; redução aberta se a redução fechada falhar
- 2-4 anos: redução aberta com ou sem osteotomia

familiar, diminuição das condições do espaço uterino

- **Diagnóstico precoce e tratamento** são essenciais

Ultrassonografia: útil no neonato.
Ângulo alfa > 60° é normal

femoral

- > 4 anos: osteotomia acetabular, quadris teratológicos precisam de tratamento aberto

COMPLICAÇÕES: osteonecrose da cabeça do fêmur: pode ocorrer durante a redução ou de um posicionamento não anatômico pós-redução

ANTEVERSÃO DO FÊMUR

- Rotação medial do fêmur, anteversão não diminui adequadamente
- **Causa nº 1 de pé em rotação medial**

HDA: geralmente presente dos 3-6 anos

EF: fêmur em rotação medial (RM>65°), patela apontando medialmente, marcha com pé em **rotação medial**

1. A maioria se resolve espontaneamente
2. Osteotomia derrotatória se persistir após os 10 anos de idade (principalmente estética)

Epifisiólise



O melhor sinal diagnóstico é o exame físico. Com o paciente em posição supina (decúbito dorsal), enquanto a coxa é flexionada ela realiza rotação lateral e abdução



Radiografia em "posição de rã", que demonstra o deslizamento da epífise mais claramente, sempre indicada quando há suspeita desse distúrbio

Epifisiólise: Fixação Cirúrgica



Parafuso com rosca canulado introduzido sobre o fio-guia



Doença de Legg-Calve-Perthes



Garota jovem caminhando em uma órtese do Atlanta Scottish Rite Children's Hospital. As vantagens da órtese: permite à criança caminhar sem suporte, bem como a abdução pela barra telescópica e o movimento livre do joelho e do tornozelo

DESCRIÇÃO

AVALIAÇÃO

TRATAMENTO

DOENÇA DE LEGG-CALVE-PERTHES

- Osteonecrose idiopática da cabeça do fêmur

- A cabeça do fêmur deve ser revascularizada, podendo demorar entre 2-5 anos para estar completa.
- O prognóstico é bom com início < 6 anos e mínimo envolvimento do pilar lateral
- Classificação de Catterall e Herring
- Resultados ruins nos quadris com osteoartrite de adultos

HDA: meninos (4:1), geralmente 4-8 anos. Claudicação com dor no quadril, coxa ou **joelho**. Sem trauma
EF: diminuição da ADM (especialmente rotação medial e abdução)
RX: AP/perfil do quadril: esclerose em estágios iniciais. “**Sinal crescente**” indicativo de colapso subcondral/fratura
RM: mostrará necrose inicial quando o RX simples é ainda normal

- Objetivos: 1. Aliviar os sintomas dolorosos; 2. Manutenção/obtenção da ADM total; 3. Conter a cabeça do fêmur dentro do acetábulo
- Tração, redução do suporte de peso
- ADM: repouso, tração, +/- terapia
- Osteotomia: femoral ou acetabular, geralmente é reservada para pacientes idosos

EPIFISIÓLISE

- Deslocamento (“deslizamento”) da epífise proximal do fêmur através da lâmina epifisial
- Classificação: Estável: capaz de suportar peso; Instável: incapaz de suportar peso
- Associada à **obesidade**, doenças renais e da glândula tireoide
- A epífise geralmente fica posterior ao colo, mas permanece no acetábulo

HDA: 10-16 anos, **obeso**, claudicação, dor no quadril ou **joelho**, +/- suporte de peso
EF: Diminuição da ADM (especialmente rotação medial), rotação lateral do **quadril com flexão**, marcha antálgica (se capaz de suportar peso)
RX: AP/perfil: **AMBOS** os quadris, mostrarão o deslizamento; a **linha de Klein** deve intersectar com a epífise. Graduação em porcentagem da epífise que deslizou: Grau 1: <33%, Grau 2: 33%-50%, Grau 3: >50%

- Parafuso de fixação percutânea *in situ*
- Um parafuso canulado é o padrão-ouro
- O deslizamento progressivo ainda pode ocorrer
- A redução forçada **NÃO** é recomendada
- Colocação profilática de pino do lado contralateral é comum e indicado

COMPLICAÇÕES: osteonecrose (50% em deslizamentos instáveis), condrólise, osteoartrite inicial

SINOVITE TRANSITÓRIA

- Efusão asséptica do quadril de causa desconhecida

HDA: idades de 2-5 anos, Homem > mulher,

- Aspiração do quadril sob anestesia com fluoroscopia

- Pode ser causada por síndrome pós-viral ou uso excessivo
- Causa comum de dor no quadril e de claudicação
- Diagnóstico de exclusão, excluir quadril séptico

início de claudicação insidiosa

EF: diminuição da ADM (especialmente abdução), marcha antálgica

RX: excluir outra doença de quadril

LABS: hemograma, VHS e hemocultura

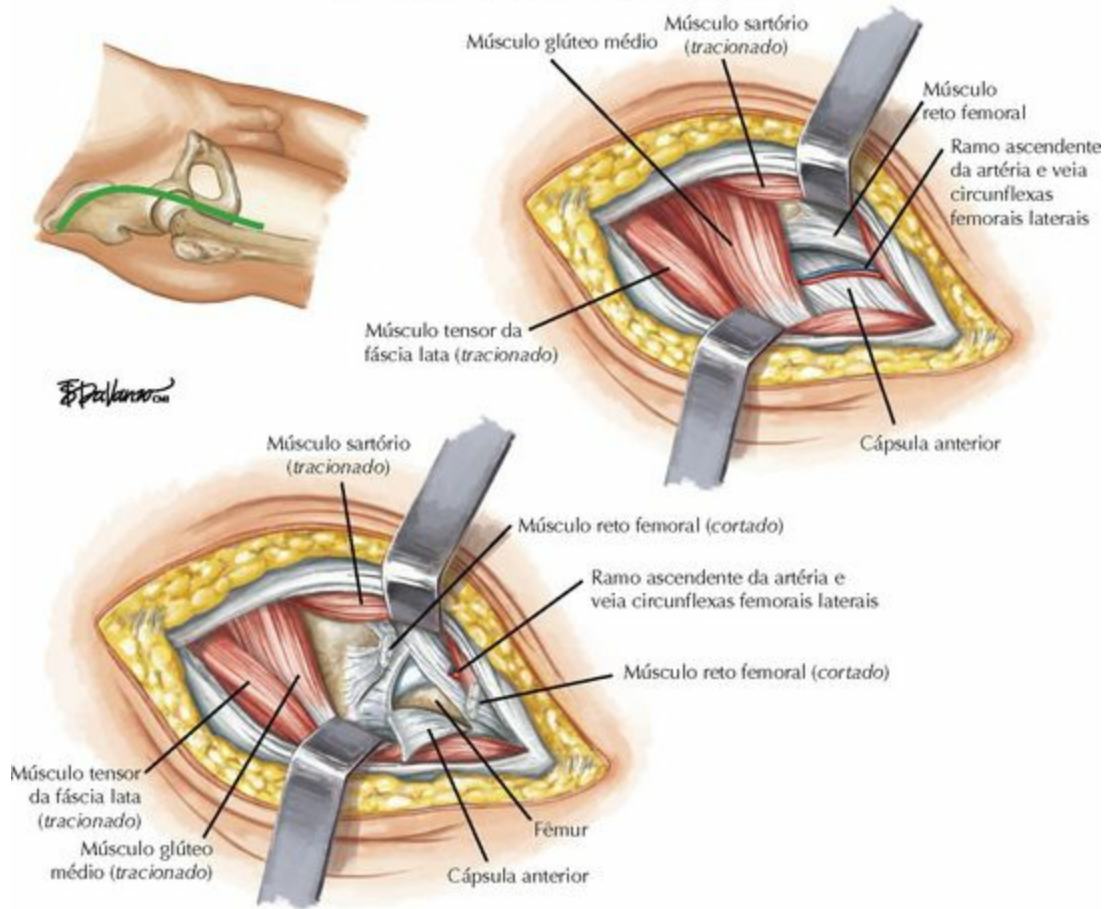
Ultrassonografia: avalia por efusão (se houver suspeita de quadril séptico)

se EF e LABS indicarem infecção

- O quadril séptico requer incisão, drenagem e antibióticos
- A sinovite transitória é solucionada em 2-10 dias
- Observação, repouso, +/- AINE

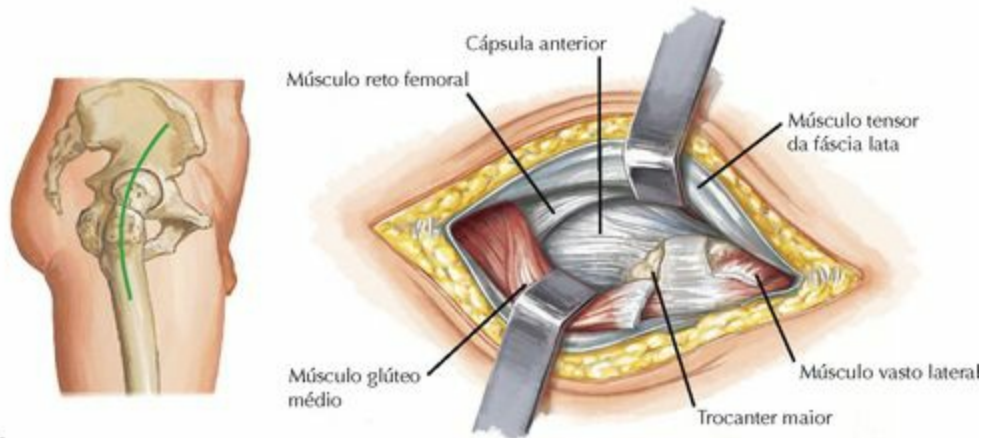
ACESSOS CIRÚRGICOS

Acesso Anterior à Articulação do Quadril



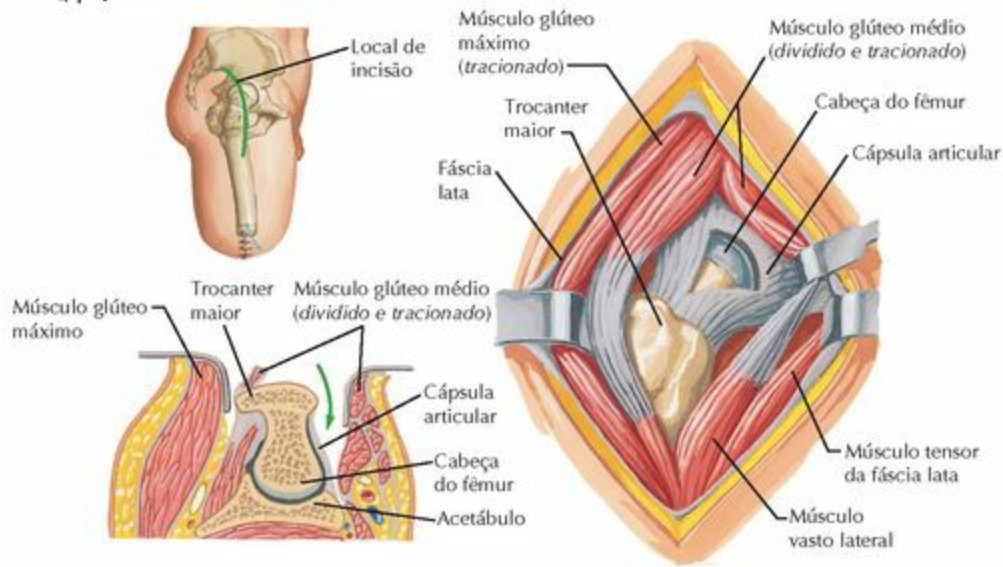
USOS	PLANO ENTRE OS NERVOS	RISCOS	COMENTÁRIO
ACESSO ANTERIOR À ARTICULAÇÃO DO QUADRIL (SMITH-PETERSON)			
<p>Redução aberta</p> <ul style="list-style-type: none"> ◦ Luxação pediátrica congênita do quadril ◦ Luxação anterior no adulto <p>Irrigação e debridamento</p> <p>Fraturas: anterior da cabeça do fêmur (RAFI)</p> <p>Hemiartroplastia</p> <p>Excisão de tumores</p>	<p><i>Superficial</i></p> <ul style="list-style-type: none"> • M. sartório (n. femoral) • M. tensor da fáscia lata (n. glúteo superior) <p><i>Profundo</i></p> <ul style="list-style-type: none"> • M. reto femoral (n. femoral) • M. glúteo médio (n. glúteo superior) 	<ul style="list-style-type: none"> • Nervo cutâneo femoral lateral • Nervo femoral • Ramo ascendente da artéria circunflexa femoral lateral 	<ul style="list-style-type: none"> • Afastar o nervo cutâneo femoral lateral anteriormente • O ramo ascendente da artéria circunflexa femoral lateral deve ser ligado no acesso • Baixar as duas cabeças do m. reto femoral para expor a articulação • A retração medial vigorosa pode lesionar o nervo femoral
ACESSO MEDIAL À ARTICULAÇÃO DO QUADRIL (LUDLOFF)			
<p>Luxação pediátrica do quadril</p> <p>Liberação dos músculos adutor ou psoas</p> <p>Irrigação e debridamento</p>	<p><i>Superficial:</i> plano intermuscular</p> <ul style="list-style-type: none"> • M. adutor longo (n. obturatório) • M. grácil (n. obturatório) <p><i>Profundo</i></p> <ul style="list-style-type: none"> • Nervo obturatório (divisão posterior) • M. adutor magno (nn. obturatório e isquiático) 	<ul style="list-style-type: none"> • Nervo obturatório (divisão anterior) • Artéria circunflexa femoral medial • M. adutor curto (n. obturatório) • Artéria pudenda externa (parte proximal) 	<ul style="list-style-type: none"> • Mais usado em casos pediátricos • Bom acesso para o ligamento transverso do acetábulo e o tendão do m. psoas, que podem bloquear a redução fechada do quadril. Acesso ruim para o acetábulo

Acesso Anterolateral à Articulação do Quadril (Watson-Jones)



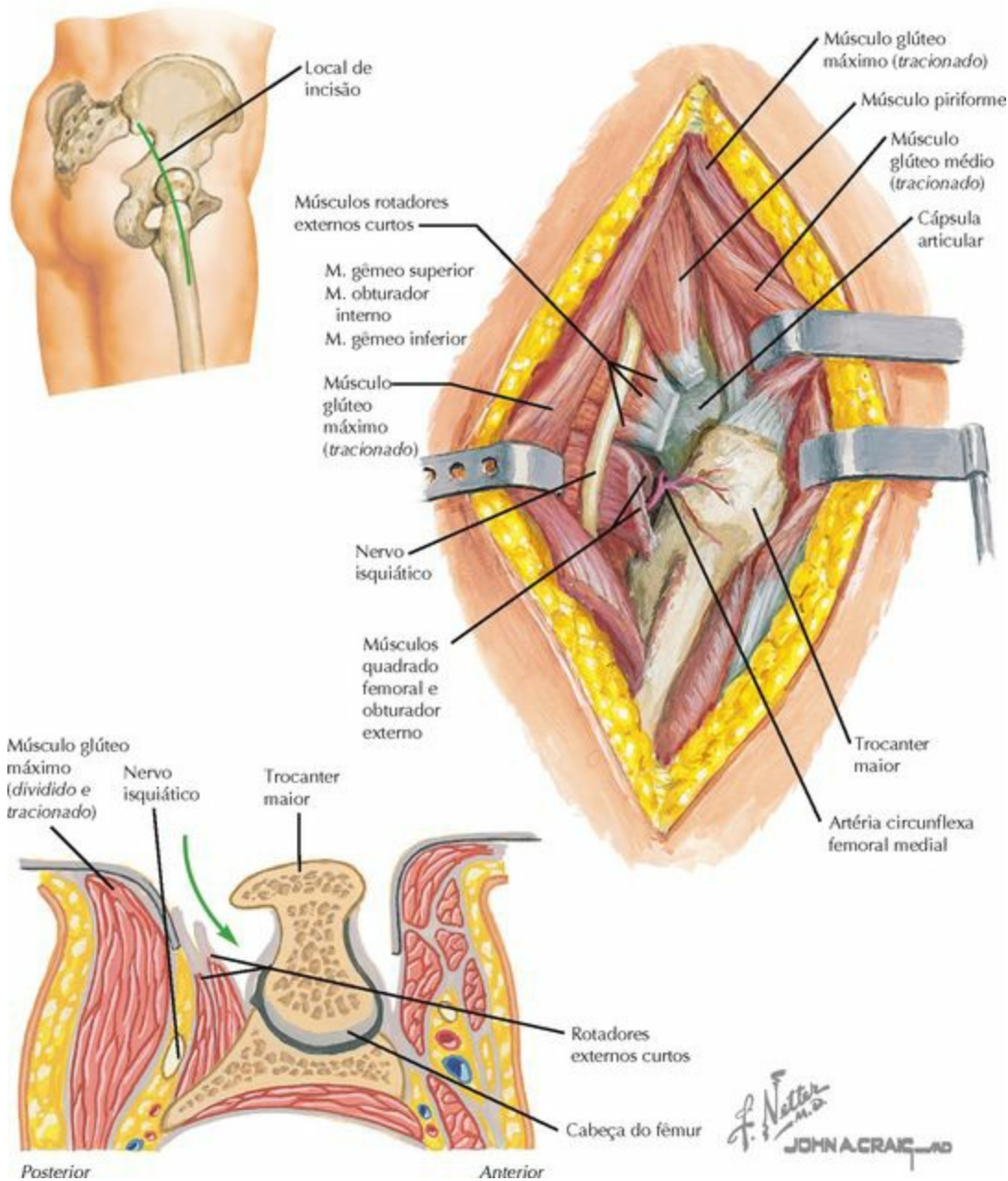
F. Netto M.D.
Spallanzani

Acesso Lateral à Articulação do Quadril (Transtrocantérica)



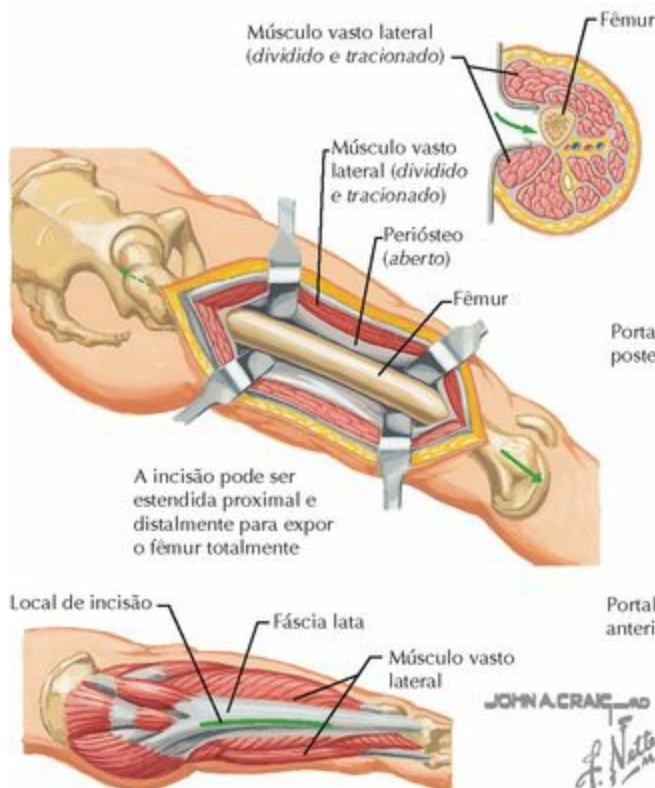
USOS	PLANO ENTRE OS NERVOS	RISCOS	COMENTÁRIO
ACESSO ANTEROLATERAL À ARTICULAÇÃO DO QUADRIL (WATSON-JONES)			
<ul style="list-style-type: none"> • Artroplastia total de quadril • Hemiarthroplastia • RAFI de fraturas da parte proximal do fêmur 	Plano intermuscular <ul style="list-style-type: none"> • M. tensor da fáscia lata (n. glúteo superior) • M. glúteo médio (n. glúteo superior) 	<ul style="list-style-type: none"> • Ramo descendente da artéria circunflexa femoral lateral (sob o m. reto femoral) • Nervo femoral 	<ul style="list-style-type: none"> • Deve separar os abdutores (requer osteotomia ou liberação extensiva) • Retração medial vigorosa pode lesionar o nervo femoral
ACESSO LATERAL À ARTICULAÇÃO DO QUADRIL (HARDINGE)			
<ul style="list-style-type: none"> • Artroplastia total do quadril (não usado para revisões) 	<ul style="list-style-type: none"> • Dividir o m. glúteo médio (n. glúteo superior) • Dividir o m. vasto lateral distalmente (n. femoral) 	<ul style="list-style-type: none"> • Artéria glútea superior • Nervo femoral • Artéria e veia femorais • Nervo glúteo superior 	<ul style="list-style-type: none"> • Não é requerida osteotomia de trocanter maior; pouco risco de luxação • Dividir o m. glúteo médio 1/3 anterior, 2/3 posteriores; liberação mínima

Acesso Posterior à Articulação do Quadril (Southern)

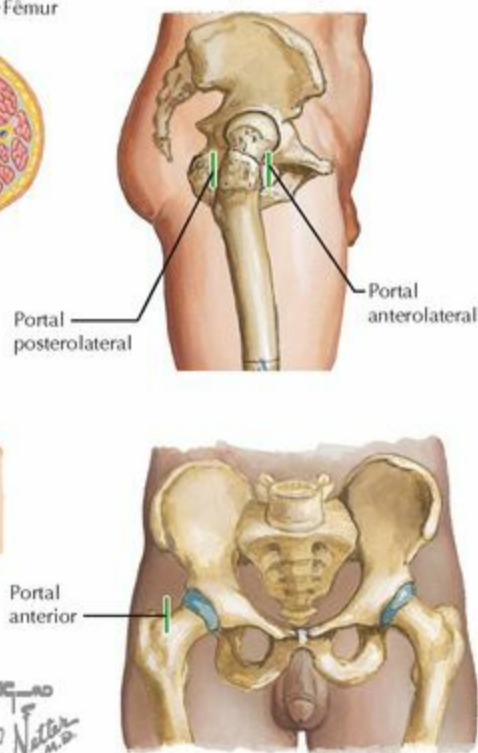


USOS	PLANO ENTRE OS NERVOS	RISCOS	COMENTÁRIO
ACESSO POSTERIOR À ARTICULAÇÃO DO QUADRIL (MOORE/SOUTHERN)			
<ul style="list-style-type: none"> Artroplastia total do quadril Hemiarthroplastia Fraturas/RAFI Luxação posterior do quadril 	Divisão do músculo glúteo máximo (nervo glúteo inferior)	<ul style="list-style-type: none"> Nervo isquiático Artéria glútea inferior Artéria circunflexa femoral medial (sob o m. quadrado femoral) 	<ul style="list-style-type: none"> Afastando o m. piriforme, protege-se o nervo isquiático Artéria glútea inferior é lesionada na extensão proximal Reparo dos rotadores externos curtos para prevenir luxação

Acesso Lateral à Coxa (Fêmur)



Portais de Artroscopia da Articulação do Quadril

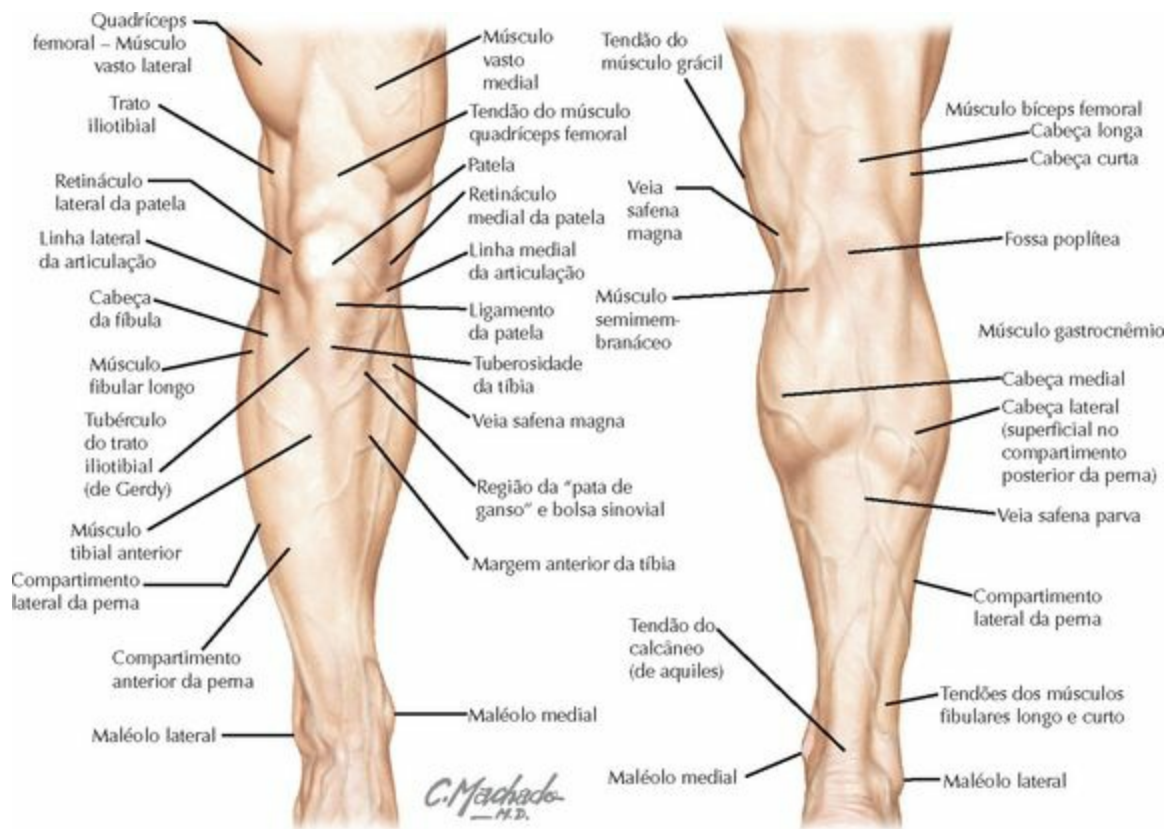


USOS	PLANO ENTRE OS NERVOS	RISCOS	COMENTÁRIO
FASCIOTOMIA DA COXA			
Ver pág. 269.			
ACESSO LATERAL À ARTICULAÇÃO DO QUADRIL			
<ul style="list-style-type: none"> • Fraturas • Tumores 	Dividir o m. vasto lateral (nervo femoral) ou afastá-lo fora do septo intermuscular	<ul style="list-style-type: none"> • Ramo descendente da artéria circunflexa femoral lateral • Ramos perforantes da artéria femoral profunda • Artéria superior lateral do joelho 	<ul style="list-style-type: none"> • A incisão pode ser grande ou pequena; feita ao longo de uma linha entre o trocanter maior e o côndilo lateral • Artérias encontradas (à esquerda) ou requerem ligadura
PORTAIS DE ARTROSCOPIA DA ARTICULAÇÃO DO QUADRIL			
A artroscopia é usada para diagnóstico, lesão de lábio do acetábulo, remoção de corpos soltos, sinovectomia, irrigação e debridamento			
Anterior	Intersecção da linha vertical da EIAS e da linha horizontal da extremidade do trocanter maior	<ol style="list-style-type: none"> 1. Nervo cutâneo femoral lateral 2. Nervo femoral 3. Ramo ascendente da artéria circunflexa femoral lateral 	Segundo portal. Ângulo de 45° cefálico, a 30° da linha mediana. Perfura o m. sartório e o m. reto femoral antes da cápsula
Anterolateral	Extremidade anterior do trocanter maior	<ol style="list-style-type: none"> 1. Nervo glúteo superior 	Portal mais seguro, estabelecer primeiro. Perfura o m. glúteo médio e a cápsula lateralmente
Posterolateral	Extremidade posterior do trocanter maior	<ol style="list-style-type: none"> 1. Nervo isquiático 	Último portal. Perfura o m. glúteo médio/m. glúteo mínimo
Cânula longa, artroscópio, instrumentos e tração são necessários para a artroscopia de quadril			

Perna/Joelho

Anatomia Topográfica
Osteologia
Radiologia
Trauma
Articulações
Pequenos Procedimentos
História da Doença Atual
Exame Físico
Origens e Inserções
Músculos
Nervos
Artérias
Distúrbios
Distúrbios Pediátricos
Acessos Cirúrgicos

ANATOMIA TOPOGRÁFICA

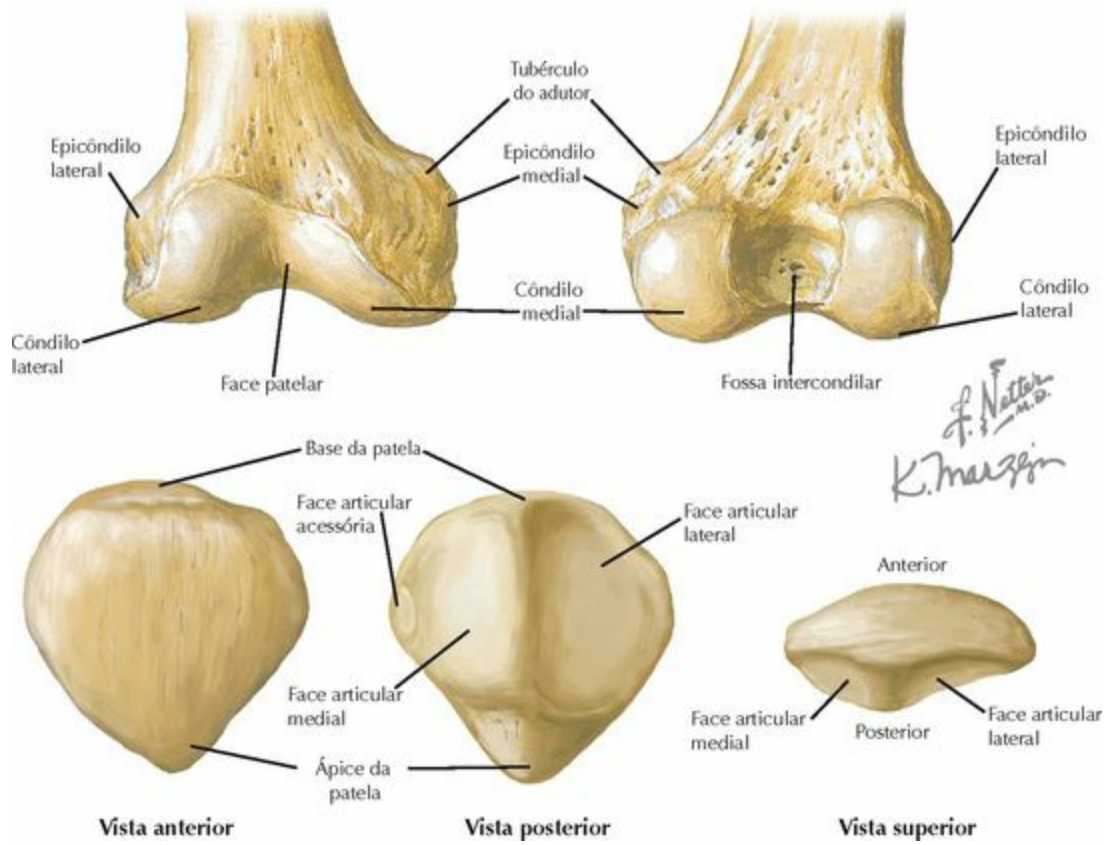


C. Machado
—M.D.

ESTRUTURA	APLICAÇÃO CLÍNICA
Trato iliotibial	Sua fraqueza pode causar dor na região lateral do joelho e/ou dor na coxa
Músculo quadríceps femoral	Sua atrofia pode indicar uma lesão e/ou contribuir para a dor no joelho
Tendão do músculo quadríceps femoral	Pode romper com sobrecarga excêntrica. Defeitos são palpados aqui
Patela	Sensibilidade dolorosa pode indicar fratura; edema pode ser bursite pré-patelar
Ligamento da patela	Pode romper com sobrecarga excêntrica. Defeitos são palpados aqui
Retináculo da patela	Os ligamentos femorais da patela são palpados aqui. Eles podem ser lesionados na luxação da patela. A prega (plica) pode também ser palpada aqui
Linha articular	Sensibilidade dolorosa neste local pode indicar comprometimento dos meniscos
Tuberosidade da	

tíbia	Sensível (dolorido) na doença de Osgood-Schlatter
Isquiotibiais e bolsa sinovial	Inserção dos músculos mediais da região posterior da coxa. Pode desenvolver bursite. Local de retirada de tendões dos músculos do “jarrete” para uso cirúrgico
Tubérculo do trato iliotibial (de Gerdy)	Inserção do trato iliotibial
Fossa poplítea	O pulso da artéria poplítea pode ser palpado aqui
Compartimentos musculares	Estarão firmes ou tensos na síndrome do compartimento. Mais comum anteriormente

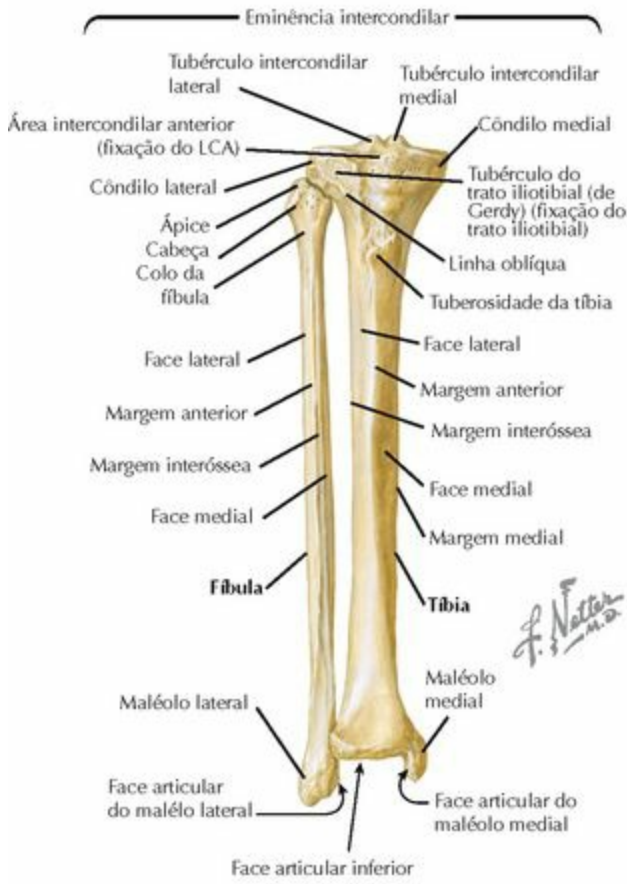
OSTEOLOGIA



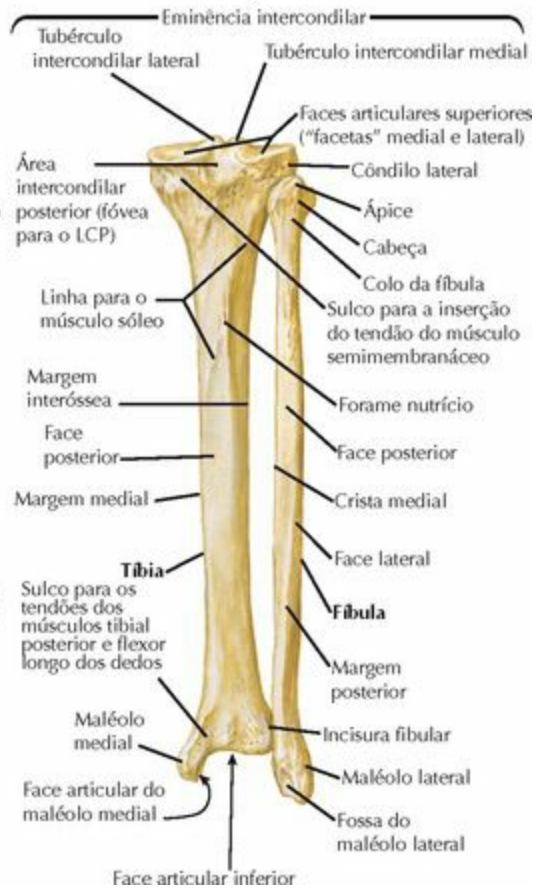
CARACTERÍSTICAS	OSSIFICAÇÃO	FUSÃO	COMENTÁRIOS
PARTE DISTAL DO FÊMUR			
<ul style="list-style-type: none"> • Parte distal do fêmur – 2 côndilos <ul style="list-style-type: none"> ◦ Medial: maior, mais posterior ◦ Lateral: mais anterior e proximal • Face patelar: uma depressão anterior entre os côndilos para articulação com a patela • Fossa intercondilar: entre os côndilos, local de fixação dos ligamentos cruzados 	<p>Secundária</p> <p>"Fise" da epífise distal</p>	<p>Nascimento</p> <p>19 anos</p>	<ul style="list-style-type: none"> • Côndilos: arredondados posteriormente (para a flexão) e planos anteriormente (para o apoio) <ul style="list-style-type: none"> ◦ Epicôndilo: fixação dos ligamentos colaterais <ul style="list-style-type: none"> ◦ O eixo epicondilar e/ou o eixo condilar posterior são usados para determinar a rotação do fêmur (p. ex., em artroplastia total de joelho) • Sulco terminal: sulco no côndilo lateral. Região inferior ao sulco, é a porção de suporte de peso do côndilo • Tubérculo do adutor: inserção do músculo adutor magno • A "fise" da epífise distal do fêmur: cresce aproximadamente 7 mm por ano
PATELA			
<ul style="list-style-type: none"> • Forma ovoide, base superior e ápice inferior • Triangular em corte transversal • 2 faces articulares (lateral é maior e medial é menor) separadas por uma crista mediana <ul style="list-style-type: none"> ◦ Cada face articular é subdividida em faces superior, média e inferior ◦ Face articular acessória: (sétima subface) localiza-se medialmente sobre a face articular medial 	<p>Primária</p> <p>(centro único)</p>	<p>3 anos</p> <p>11-13 anos</p>	<ul style="list-style-type: none"> • O maior osso sesamoide no corpo • Patela bipartida: falha na fusão da região superolateral. É frequentemente confundida com uma fratura • Funções: 1. Melhorar a tração do músculo quadríceps femoral (como um fulcro); 2. Proteger o joelho; 3. Melhorar a lubrificação do joelho • Ponto de contato sobre a patela move-se proximalmente com flexão • Face articular acessória articula-se na flexão profunda • Possui uma cartilagem articular muito espessa (superior a 5 mm)

Ossos da perna direita

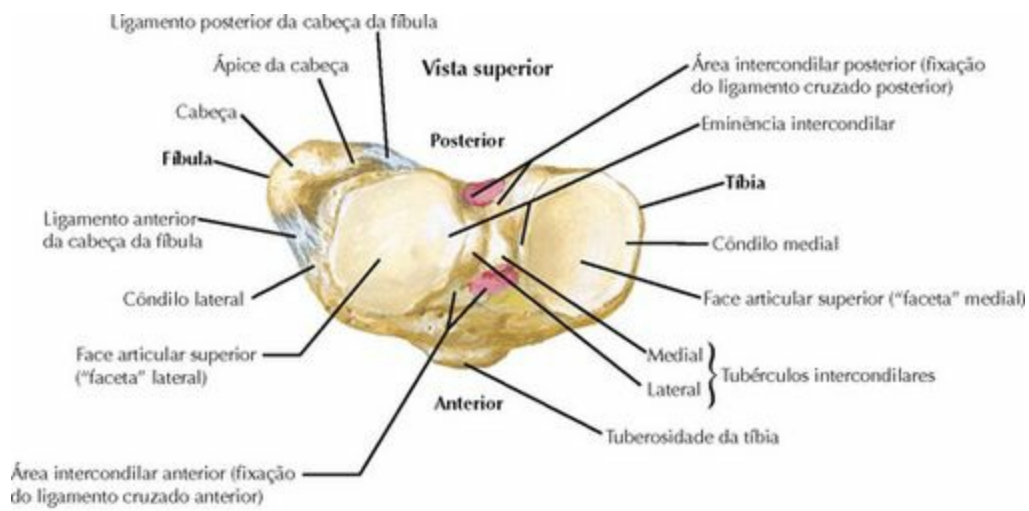
Vista anterior



Vista posterior



CARACTERÍSTICAS	OSSIFICAÇÃO	FUSÃO	COMENTÁRIOS
TÍBIA			
<ul style="list-style-type: none"> • Características de osso longo • Extremidade proximal: "platô" tibial (subst. esponjosa) <ul style="list-style-type: none"> ◦ "Faceta" medial (do "platô"): côncava ◦ "Faceta" lateral: convexa ◦ 7°-10° de inclinação posterior • Tuberosidade: 3 cm abaixo da linha da articulação • Eminência: tubérculos medial e lateral • Corpo (diáfise): triangular em corte transversal • Epífise distal: "pilão" tibial (subst. esponjosa) <ul style="list-style-type: none"> ◦ Face articular: "teto" ("plafond tibial") ◦ Extremidade distal: maléolo medial 	<p>Primária: corpo (diáfise) 7ª semana (fetal)</p> <p>Secundária</p> <ol style="list-style-type: none"> 1. Epífise proximal 9 meses 2. Epífise distal 1 ano 3. Tuberosidade da tibia 	<p>18 anos</p> <p>18-20 anos</p>	<ul style="list-style-type: none"> • Fraturas da região lateral da face articular superior ("platô") são mais comuns • Osgood-Schlatter: apofisite por tração na tuberosidade da tibia • Tuberosidade: inserção do ligamento da patela • O ponto de inserção da haste intramedular é proximal à tuberosidade da tibia • Fratura por avulsão dos tubérculos intercondilares envolve LCA (pacientes pediátricos) • Tubérculo "de Gerdy" na epífise proximal da tibia: local de fixação do trato iliotibial • Incisura fibular: sulco lateral para a fíbula • O "pilão" tibial é a face articular inferior, e o maléolo medial é a parede medial da "mortalha" do tornozelo
FÍBULA			
<ul style="list-style-type: none"> • Características de osso longo • Extremidade (epífise) proximal: cabeça <ul style="list-style-type: none"> ◦ Colo • Corpo (diáfise): longo e cilíndrico • Extremidade (epífise) distal: maléolo lateral 	<p>Primária: corpo (diáfise) 7ª semana (fetal)</p> <p>Secundária</p> <ol style="list-style-type: none"> 1. Epífise proximal 1-3 anos 2. Epífise distal 4 anos 	<p>20 anos</p> <p>18-22 anos</p>	<ul style="list-style-type: none"> • O ligamento colateral fibular e o músculo bíceps femoral inserem-se na cabeça • O colo possui um sulco para o nervo fibular • O nervo pode ser lesionado em uma fratura da fíbula • O corpo (diáfise) é utilizado para enxerto ósseo vascularizado • O maléolo lateral é a parede lateral da "mortalha" do tornozelo



ALINHAMENTO DO MEMBRO INFERIOR

Definições

Eixo anatômico do fêmur

Linha traçada ao longo do eixo do fêmur

Eixo anatômico da tíbia

Linha traçada ao longo do eixo da tíbia

Eixo mecânico do fêmur

Linha traçada entre o centro da cabeça do fêmur e a fossa intercondilar

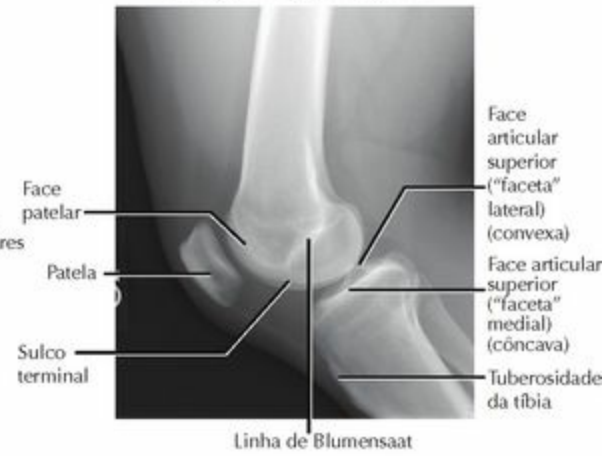
Eixo mecânico da tíbia	Linha traçada entre o centro do joelho e o centro da “mortalha” do tornozelo
Eixo do joelho	Linha traçada ao longo da face inferior de ambos os côndilos do fêmur
Eixo vertical	Linha vertical, perpendicular ao solo
Ângulo lateral distal do fêmur	Ângulo formado entre o eixo do joelho e o eixo do fêmur lateralmente
Ângulo medial da tíbia	Ângulo formado entre o eixo do joelho e o eixo da tíbia
Relações	
Eixo do joelho	Paralelo ao solo e perpendicular ao eixo vertical
Eixo mecânico do fêmur	Média de 6° do eixo anatômico Aproximadamente 3° do eixo vertical
Eixo mecânico da tíbia	Normalmente o mesmo que o eixo anatômico da tíbia, exceto quando a tíbia tem uma deformidade
Ângulo lateral distal do fêmur	81° do eixo anatômico do fêmur 87° do eixo mecânico do fêmur
Ângulo medial proximal da tíbia	87° do eixo mecânico da tíbia

RADIOLOGIA

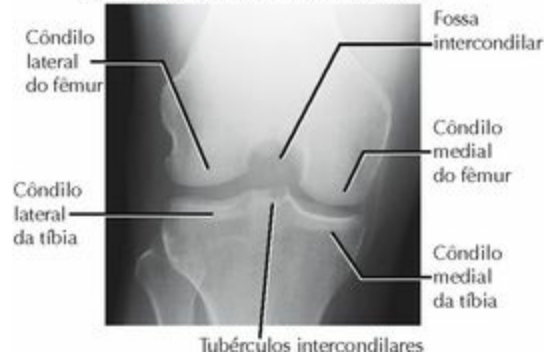
Radiografia do joelho, AP



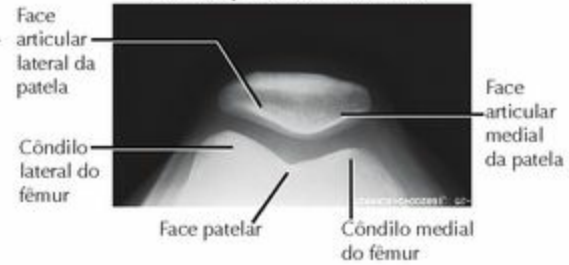
Radiografia do joelho, perfil



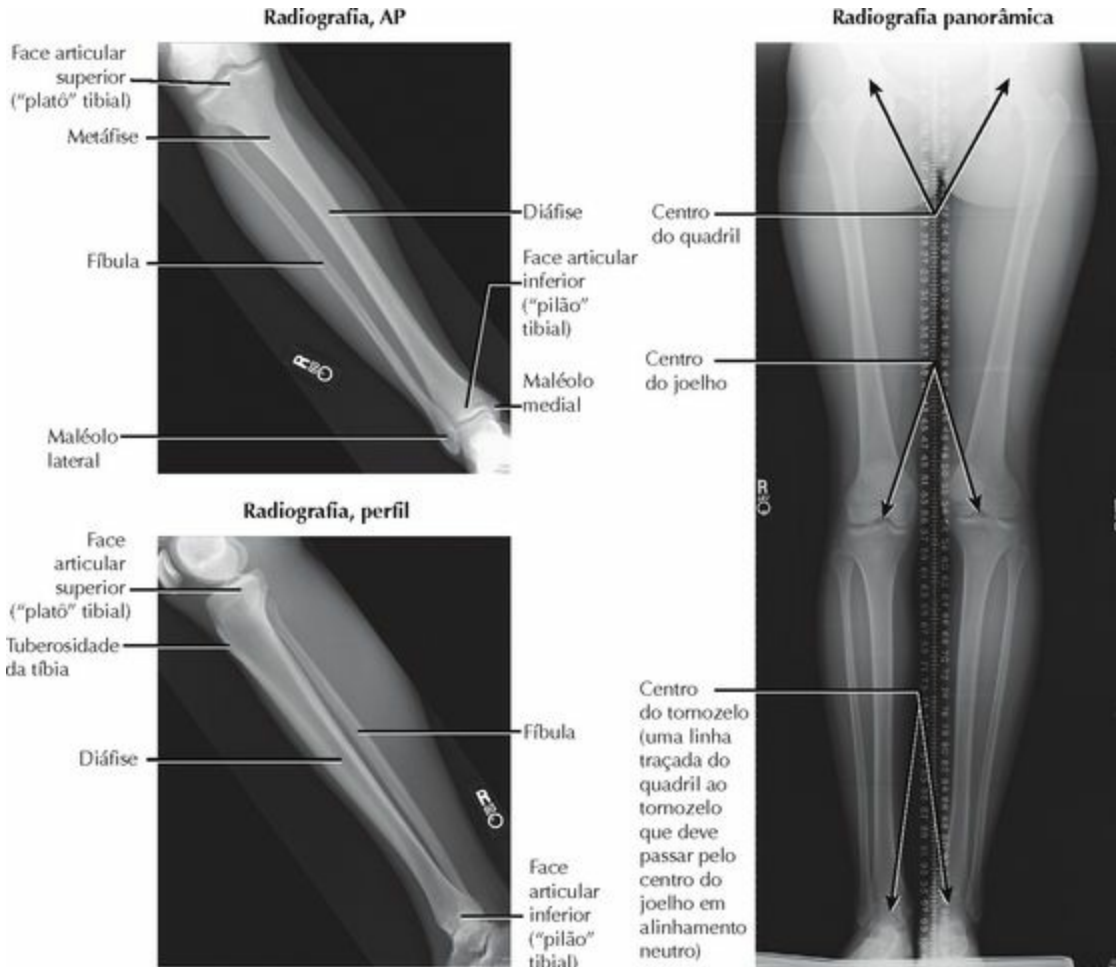
Radiografia na incidência da fossa intercondilar (tunnel/notch view)



Radiografia na incidência axial de patela (sunrise view)



RADIOGRAFIA	TÉCNICA	ACHADOS	APLICAÇÃO CLÍNICA
JOELHO			
AP	Supino (decúbito dorsal); feixe a 90°	Compartimentos medial/lateral; deformidades em varo/valgo	Fraturas do côndilo do fêmur, face articular superior da tibia ("platô"), patela, OCD, osteoartrite (suporte de peso)
Perfil	Supino (decúbito dorsal); 30° de flexão	Compartimento patelofemoral	Fraturas, ruptura do tendão do músculo quadríceps femoral, ligamento da patela
Axial ("sunrise")	Prono (decúbito ventral); joelho em 115° de flexão; feixe central na patela 15° cefálico	Compartimento patelofemoral (faces articulares da patela)	Artrite patelofemoral, mau alinhamento ou inclinação da patela
Fossa intercondilar ("tunnel/notch")	Prono (decúbito ventral); joelho em 45° de flexão; feixe central é caudal na articulação do joelho	Região posterior dos côndilos do fêmur, fossa intercondilar, eminência intercondilar	Fratura ou defeito osteocondral, fratura do côndilo do fêmur ou da eminência intercondilar da tibia, DAD/osteoartrite
Merchant	Supino (decúbito dorsal); pernas na mesa a 45°; feixe central na articulação patelofemoral	Compartimento patelofemoral (faces articulares da patela)	Lesões da superfície articular, DAD, inclinação ou mau alinhamento da patela
Rosenberg	PA (com carga); joelho a 45°	Compartimentos medial/lateral	Osteoartrite da porção de suporte de peso da parte posterior dos côndilos



RADIOGRAFIA	TÉCNICA	ACHADOS	APLICAÇÃO CLÍNICA
PERNA			
AP da tibia	Supino (decúbito dorsal); feixe central no terço médio da tibia	Tibia e tecidos moles circundantes	Fraturas, deformidade, infecção etc.
Perfil da tibia	Supino (decúbito dorsal); feixe central lateralmente no terço médio da tibia	Tibia e tecidos moles circundantes	Fraturas, deformidade, infecção etc.
Para incidências do tornozelo, ver Capítulo 10.			
OUTROS ESTUDOS			
Radiografia panorâmica	Comprimento bilateral total do quadril ao tornozelo, com carga	Alinhamento total dos membros inferiores	Determina mau alinhamento/ deformidade
Escanometria	Membro inferior bilateral total com régua	Medida do comprimento dos ossos	Usada quando há discrepância entre o comprimento das pernas
TC	Vistas transversais (axiais), frontais (coronais) e sagitais	Congruência articular, fragmentos de fratura	Fraturas intra-articulares do côndilo, da face articular superior ("platô" tibial) e do "pilão" tibial
RM	Sequências de pulso variam	Tecidos moles; ligamentos, meniscos, cartilagem articular, medula óssea	Rupturas de ligamento, lesões meniscais, OCD, fraturas de estresse, tumor, infecção
Cintilografia óssea	Radioisótopos	Todos os ossos avallados	Fraturas de estresse, infecção e tumor

Fratura da Patela



Fratura transversal sem desvio com o retináculo da patela intacto



Fratura transversal com desvio e com ruptura no retináculo da patela



Fratura transversal com cominuição do ápice da patela



Fratura cominutiva grave

Luxação da Articulação do Joelho Tipos de Luxação



Anterior



Posterior



Lateral



Medial



Rotacional

F. Nates
M.D.

DESCRIÇÃO	AValiação	CLASSIFICAÇÃO	TRATAMENTO
FRATURA DA PATELA			
<ul style="list-style-type: none"> Mecanismo: direto e indireto: p. ex., queda, lesão contra o painel do carro etc. Tração do m. quadríceps e do lig. da patela desloca a maioria das fraturas Se intacto, o retináculo resiste ao deslocamento dos fragmentos Não confundir com patela bipartida (canto superolateral não fundido) 	<p>HDA: trauma, dor, impossibilidade de estender o joelho, edema</p> <p>EF: derrame articular, sensibilidade dolorosa, +/- defeito palpável, incapacidade para estender o joelho</p> <p>RX: série de trauma do joelho</p> <p>TC: geralmente não é necessária; mostrará fragmentos de fraturas</p>	<p>Localização/descritiva:</p> <ul style="list-style-type: none"> Sem desvio Transversal Vertical Estrelada Ápice/base Cominutiva 	<ul style="list-style-type: none"> Sem desvio ou cominutiva – joelho tala/gesso 6-8 semanas, ADM Com desvio (>2-3 mm): RAFI (p. ex., banda de tensão) para restaurar as faces articulares. Cominutiva grave: pode requerer patectomia total ou parcial
<p>COMPLICAÇÕES: osteoartrite e/ou dor, diminuição de movimento e/ou força, osteonecrose, reincidência de fratura</p>			
LUXAÇÃO DO JOELHO			
<ul style="list-style-type: none"> Rara: emergência ortopédica Geralmente lesão de alto impacto Muitos ligamentos e outros tecidos moles são rompidos Alta incidência de fratura associada e lesão neurovascular Muitas reduções espontâneas; deve-se manter o índice de suspeita de lesão O acompanhamento de perto é importante para um bom resultado 	<p>HDA: trauma, dor, incapacidade para suportar peso</p> <p>EF: grande efusão, tecidos moles edemaciados, deformidade, dor, +/- pulsos distais/função do nervo fibular</p> <p>RX: AP/perfil</p> <p>Arteriografia: avalia lesão arterial</p> <p>RM: lesão ligamentar, meniscal, lesão da cartilagem articular</p>	<p>Pela posição:</p> <ul style="list-style-type: none"> Anterior Posterior Lateral Medial Rotatória: anteromedial ou anterolateral 	<ul style="list-style-type: none"> A redução precoce é essencial; exame neurológico pós-redução e radiografias Imobilização (gesso) 6-8 semanas (se os ligamentos não romperem) Cirurgia se não for possível reduzir ou com lesão vascular (revascularizar dentro de 6 horas + fasciotomia) Reparo ligamentar precoce vs tardio/reconstrução
<p>Complicações: neurovascular: artéria poplítea, lesão do nervo fibular, rigidez do joelho (nº 1), instabilidade crônica</p>			

Fratura do "Platô" Tibial (Extremidade Proximal)



I. Fratura fissurada (separação) da região lateral do "platô" tibial



II. Fratura fissurada (separação) do côndilo lateral da tibia mais depressão do "platô" tibial



III. Depressão da região lateral do "platô" tibial sem fratura fissurada (separação)



IV. Fratura fissurada cominutiva da região medial do "platô" tibial e da eminência intercondilar



V. Fratura bicondilar envolvendo os dois lados do "platô" tibial com alargamento

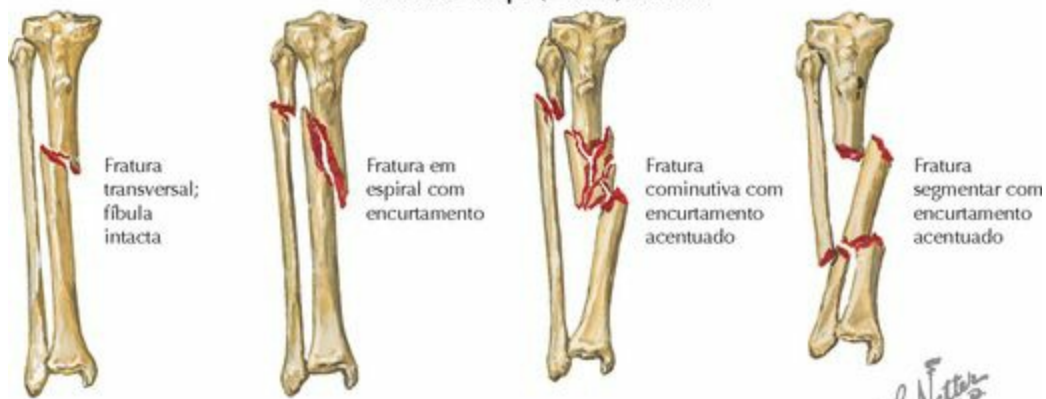


VI. Fratura da região lateral do "platô" tibial com separação da junção metafíse-diáfise

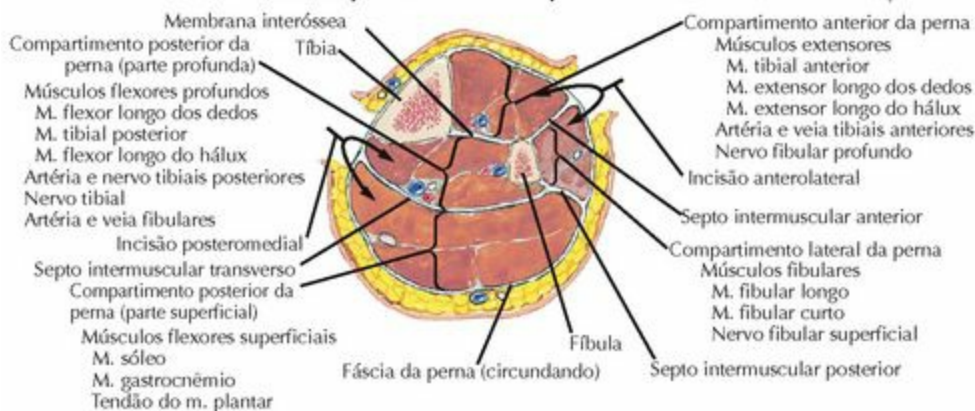
F. Netter M.D.

DESCRIÇÃO	AVALIAÇÃO	CLASSIFICAÇÃO	TRATAMENTO
FRATURA DO "PLATÔ" TIBIAL			
<ul style="list-style-type: none"> Mecanismo: carga axial e estresse em varo/valgo Restabelecimento da face articular/congruência é importante Lesão metafisial: o osso será comprimido, levando à perda óssea funcional; pode ser necessário enxerto ósseo A fratura lateral é mais comum do que a medial Associado à ruptura de meniscos (50%) e ligamentos (LCM>LCA) 	<p>HDA: trauma, dor, edema, incapacidade para suportar peso</p> <p>EF: efusão, sensibilidade dolorosa; fazer exame neurovascular completo</p> <p>RX: série de trauma de joelho</p> <p>TC: melhor para definir as linhas de fratura e cominuição. Necessária para o planejamento pré-operatório</p> <p>Arteriografia: se houver diminuição de pulso. Considerar em todas as fraturas do tipo IV</p>	<p>Schatzker (6 tipos):</p> <p>I: Frat. fissurada (c/ separação) da região lateral do "platô" tibial</p> <p>II: Fratura fissurada (c/ separação)/depressão</p> <p>III: Depressão da região lateral do "platô" tibial</p> <p>IV: Frat. fissurada (c/ separação) da região medial do "platô" tibial</p> <p>V: Frat. bicondilar do "platô" tibial</p> <p>VI: Frat. com separação da metafíse-diáfise</p> <p>Os tipos IV-VI geralmente resultam de traumas de alto impacto</p>	<ul style="list-style-type: none"> Considerar aspiração da articulação Sem desvio (<3 mm para fora, <5 mm de fenda): tala/gesso 6-8 semanas, não suportar peso por 6-12 semanas Com desvio: RAFI +/- enxerto ósseo (placas e parafusos). ADM precoce, mas sem suporte de peso por 12 semanas Evitar o descolamento medial e lateral do perioste (aumento da taxa de pseudartrose) Reparo das lesões ligamentares/meniscais
<p>COMPLICAÇÕES: síndrome do compartimento, osteoartrite pós-traumática, dor persistente no joelho, lesão da artéria poplítea</p>			

Fratura do Corpo (Diáfise) da Tibia



Incisões para Síndrome Compartimental da Perna



DESCRIÇÃO	AValiação	CLASSIFICAÇÃO	TRATAMENTO
FRATURA DO CORPO (DIÁFISE) DA TÍBIA			
<ul style="list-style-type: none"> • Fratura comum de osso longo • Geralmente trauma de alto impacto • A condição dos tecidos moles circundantes é criticamente importante para o sucesso dos resultados • Síndrome do compartimento: considerar em TODAS as fraturas • A posição subcutânea da tibia a predispõe a fraturas expostas • Pode levar à amputação 	<p>HDA: trauma, dor, edema, incapacidade para sustentar peso</p> <p>EF: edema, deformidade, compartimentos +/- firme/tenso</p> <p>RX: AP e perfil de tibia e fíbula (também séries de joelho e tornozelo)</p> <p>TC: geralmente não é necessária</p> <p>Arteriografia: se houver diminuição dos pulsos</p>	<p>Descritiva:</p> <p>Localização Com desvio/cominutiva Tipo: transversal, oblíqua em espiral Rotação/angulação</p>	<ul style="list-style-type: none"> • Sem desvio: gesso longo por 8 semanas (melhor para crianças, raramente usado em adultos) • Com desvio/Instável: haste intramedular fresada bloqueada • Fraturas expostas: irrigação e desbridamento são fundamentais. A fixação externa é útil para essas fraturas • Fasciotomia para síndrome do compartimento
<p>COMPLICAÇÕES: síndrome compartimental, pseudartrose e consolidação viciosa, dor no joelho (pela haste intramedular), rigidez de tornozelo e/ou joelho</p>			
SÍNDROME COMPARTIMENTAL			
<ul style="list-style-type: none"> • Aumento de pressão em um espaço/compartimento fechado • Compartimentos (4): possuem margens osteofibrosas rígidas • Mecanismo: trauma (fratura, esmagamento), lesão vascular, queimadura 	<p>HDA: trauma, dor</p> <p>EF: PPDPP: parestesia, palidez, dor (com estiramento passivo), pulsação fraca, paralisia</p> <p>Compartimentos firmes/tenso</p>	<p>RX: avaliar fraturas</p> <p>Angiografia: se necessário avaliar por infiltração vascular</p> <p>Pressão dos compartimentos:</p> <ol style="list-style-type: none"> 1. Absoluta: >30-40 mmHg 2. ΔP: <30 mmHg de pressão sanguínea diastólica 	<ul style="list-style-type: none"> • Geralmente um diagnóstico clínico • Fasciotomia emergente (geralmente duas incisões)



Fratura de Maisonneuve

Rompimento completo da sindesmose tibiofibular com diástase causada por rotação lateral do tálus e transmissão de força para a parte proximal da fibula, resultando em fratura alta da fibula. Membrana interóssea rompida longitudinalmente.

Ruptura do ligamento colateral medial (deltóideo)



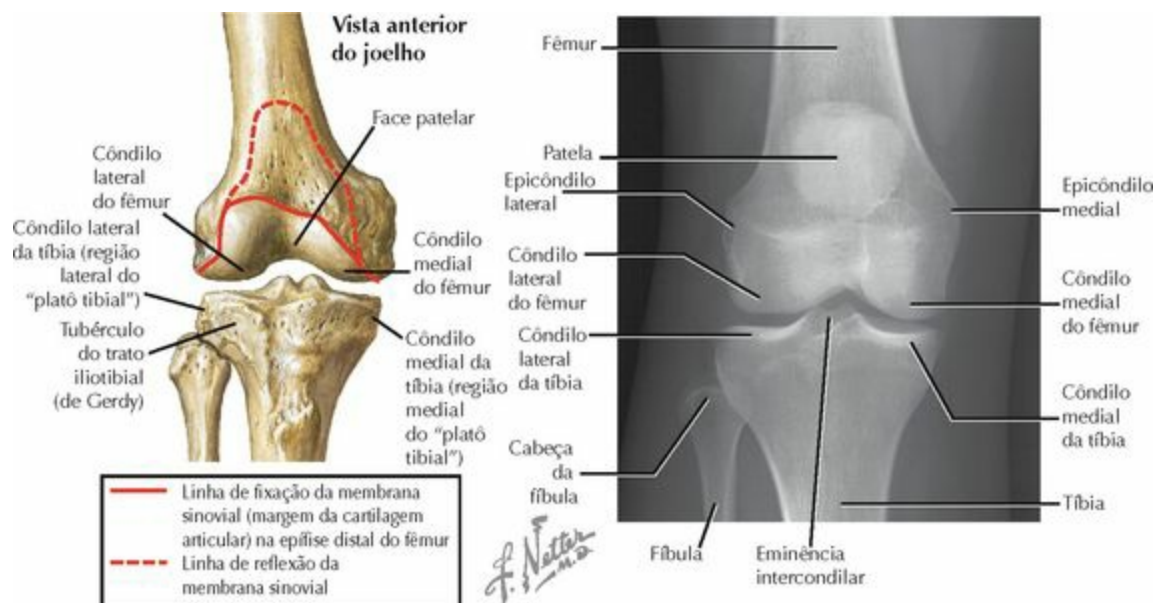
Fratura do "pilão tibial"

A causa geralmente é a carga vertical na articulação talocrural (do tornozelo), por exemplo, ao cair de certa altura sobre o calcanhar (geralmente com o tornozelo em dorsiflexão). Fratura e compressão da face articular da tibia mais a separação dos maléolos e fratura da fibula

F. Natta
m.o.

DESCRIÇÃO	AValiação	CLASSIFICAÇÃO	TRATAMENTO
FRATURA DE MAISONNEUVE			
<ul style="list-style-type: none"> Rompimento completo da sindesmose com diástase e fratura da parte proximal da fibula Variante da fratura do tornozelo e ruptura do ligamento colateral medial (deltóideo) Fratura instável 	<p>HDA: trauma, dor no tornozelo, +/- dor no joelho</p> <p>EF: dor no tornozelo, edema, sensibilidade dolorosa na parte proximal da fibula</p> <p>RX: séries de perna e tornozelo. Podem ser necessárias incidências com carga no tornozelo para ver a instabilidade</p>	<p>Descritiva: Posição Tipo: Espiral Obliqua Cominutiva</p>	<p>Reduzir e estabilizar a sindesmose (p. ex., com um parafuso); imobilizar enquanto consolida</p>
COMPLICAÇÕES: instabilidade do tornozelo, artrite do tornozelo			
FRATURA DO "PILÃO TIBIAL"			
<ul style="list-style-type: none"> Intra-articular: através da face articular inferior/superfície de suporte de peso O edema dos tecidos moles leva a complicações com tratamento aberto precoce Restauração da congruência da face articular é essencial A consolidação geralmente é lenta 	<p>HDA: trauma, não pode suportar peso, dor, edema</p> <p>EF: efusão, sensibilidade dolorosa, fazer um bom exame neurovascular</p> <p>RX: AP/perfil (obliquas)</p> <p>TC: necessária para definir melhor a fratura e o planejamento pré-operatório</p>	<p>Ruedi/Allgower (3 tipos):</p> <p>I: Sem desvio ou com um desvio mínimo</p> <p>II: Com desvio: face articular incongruente</p> <p>III: Face articular com cominuição</p>	<ul style="list-style-type: none"> Sem desvio: gesso e não suportar peso por 6-12 semanas Com desvio/cominutiva: fixação externa precoce e RAFI tardia (14 dias); (placas e parafusos +/- enxerto ósseo)
COMPLICAÇÕES: DAD pós-traumática (praticamente 100% em fraturas cominutivas), rigidez, consolidação viciosa, complicações nas feridas operatórias			

ARTICULAÇÕES



JOELHO

Estrutura

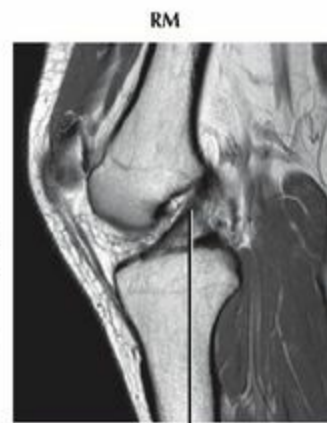
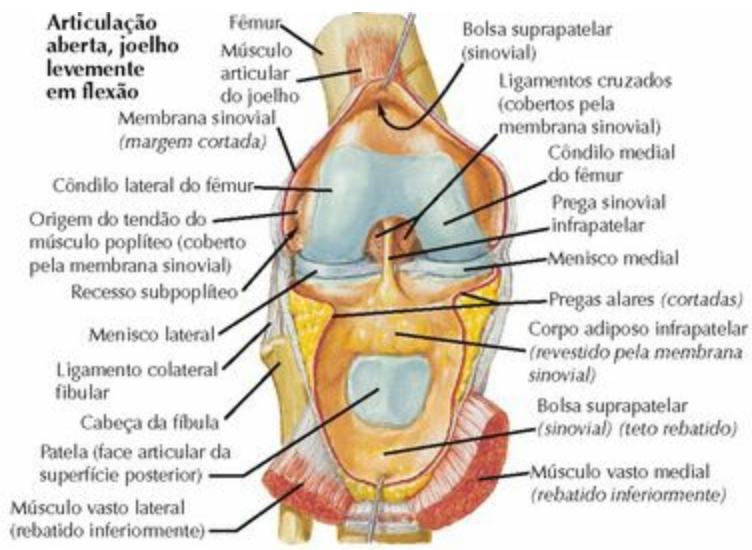
- Compreende 3 articulações separadas
 - Articulações femorotibiais medial e lateral (2) – articulações condilares (gínglimo). Os côndilos do fêmur articulam-se com as faces articulares superiores correspondentes da tibia ("platô tibial")
 - Articulação patelofemoral (1) – articulação selar. A patela articula-se com a face patelar do fêmur
- Três compartimentos no joelho: medial, lateral e patelofemoral
- A cápsula articular circunda a articulação inteira (todas as 3 articulações/compartimentos) e estende-se proximalmente na bolsa sinovial suprapatelar
 - A cápsula possui um revestimento sinovial que também cobre os ligamentos cruzados (tornando-os intra-articulares, porém extrassinoviais)
- Cartilagem articular (hialina) (colágeno **tipo II**) cobre os côndilos do fêmur, a face articular superior da tibia ("platô tibial"), a face patelar do fêmur e as faces articulares da patela
- Os meniscos estão interpostos nas articulações femorotibiais medial e lateral para: 1. proteger a cartilagem articular, 2. dar suporte ao joelho
- O eixo do joelho (linha traçada entre a região de suporte de peso dos côndilos medial e lateral do fêmur) é paralelo ao solo
 - O eixo mecânico do fêmur é 3° valgo em relação ao eixo vertical, permitindo ao côndilo medial do fêmur, maior, alinhar-se com o côndilo lateral do fêmur paralelo ao solo
 - O eixo mecânico da tibia é 3° varo em relação ao eixo vertical (87° ao eixo do joelho)

Cinemática

- Inerentemente uma articulação instável. A morfologia óssea confere pouca estabilidade. A estabilidade é primariamente fornecida por estabilizadores estáticos e dinâmicos.

(Estabilizadores dinâmicos podem compensar quando os estabilizadores estáticos são lesionados [p. ex., ruptura completa ou parcial do ligamento cruzado anterior])

- Medial: Estático – ligamento colateral tibial (LCT) (parte superficial e profunda), ligamento poplíteo oblíquo (LPO)
 - Dinâmico – músculos semimembrâneo, vasto medial, cabeça medial do gastrocnêmio, tendões dos músculos da “pata de ganso”
- Lateral: Estático – ligamento colateral fibular (LCF), trato iliotibial (TIT), ligamento poplíteo arqueado
 - Dinâmico – músculos poplíteo, bíceps femoral, cabeça lateral do gastrocnêmio
- Não é uma articulação simples do tipo gínglimo. O joelho possui 6 graus de movimento:
 - Extensão/flexão, rotação medial/lateral, varo/valgo, translação anterior/posterior, translação medial/lateral, compressão/distração
- Flexão e extensão são os movimentos primários do joelho
 - Flexão é a combinação de “rolar” e “deslizar” do fêmur sobre a tíbia em várias proporções dependendo do grau de flexão
 - Rolamento: translação uniforme do ponto de contato tibiofemoral e do eixo articular. O rolamento predomina no início da flexão
 - Deslizamento: translação do ponto de contato tibiofemoral sem movimento do eixo articular. O aumento do deslizamento é necessário para uma flexão profunda
 - Os ligamentos cruzados controlam a função de rolar/deslizar. O ligamento cruzado posterior pode, sozinho, manter essa função (p. ex., o ligamento cruzado posterior retendo uma artroplastia total de joelho)
 - Movimento normal: extensão/flexão: - 5° a 140°. **115°** são necessários para sair de uma cadeira; 130° são necessários para correr com velocidade
- RL/RM: cerca de um total de 10° através do arco de movimento. A tíbia realiza rotação medial durante o balanço (flexão), e rotação lateral (via) em extensão num movimento conhecido como “*screw home*”
 - Mecanismo de “*screw home*”: ampla rotação lateral do côndilo medial do fêmur em extensão total, tensionando os ligamentos cruzados e estabilizando o joelho no apoio
 - O músculo poplíteo roda medialmente a tíbia para “travar” o joelho, afrouxando os ligamentos cruzados que permitem ao joelho iniciar a flexão
- Outros movimentos: translação medial/lateral: mínima em joelhos normais
 - Translação anterior/posterior: dependente da lassidão dos tecidos, geralmente dentro de 2 mm do lado contralateral em joelhos normais
 - Varo/valgo: aproximadamente 5 mm de afastamento lateral ou medialmente quando o joelho normal é pressionado



RM
Ligamento cruzado anterior (LCA)

Joelho direito em flexão: vista anterior



Fossa intercondilar



Ligamento cruzado anterior visualizado entre os côndilos do fêmur



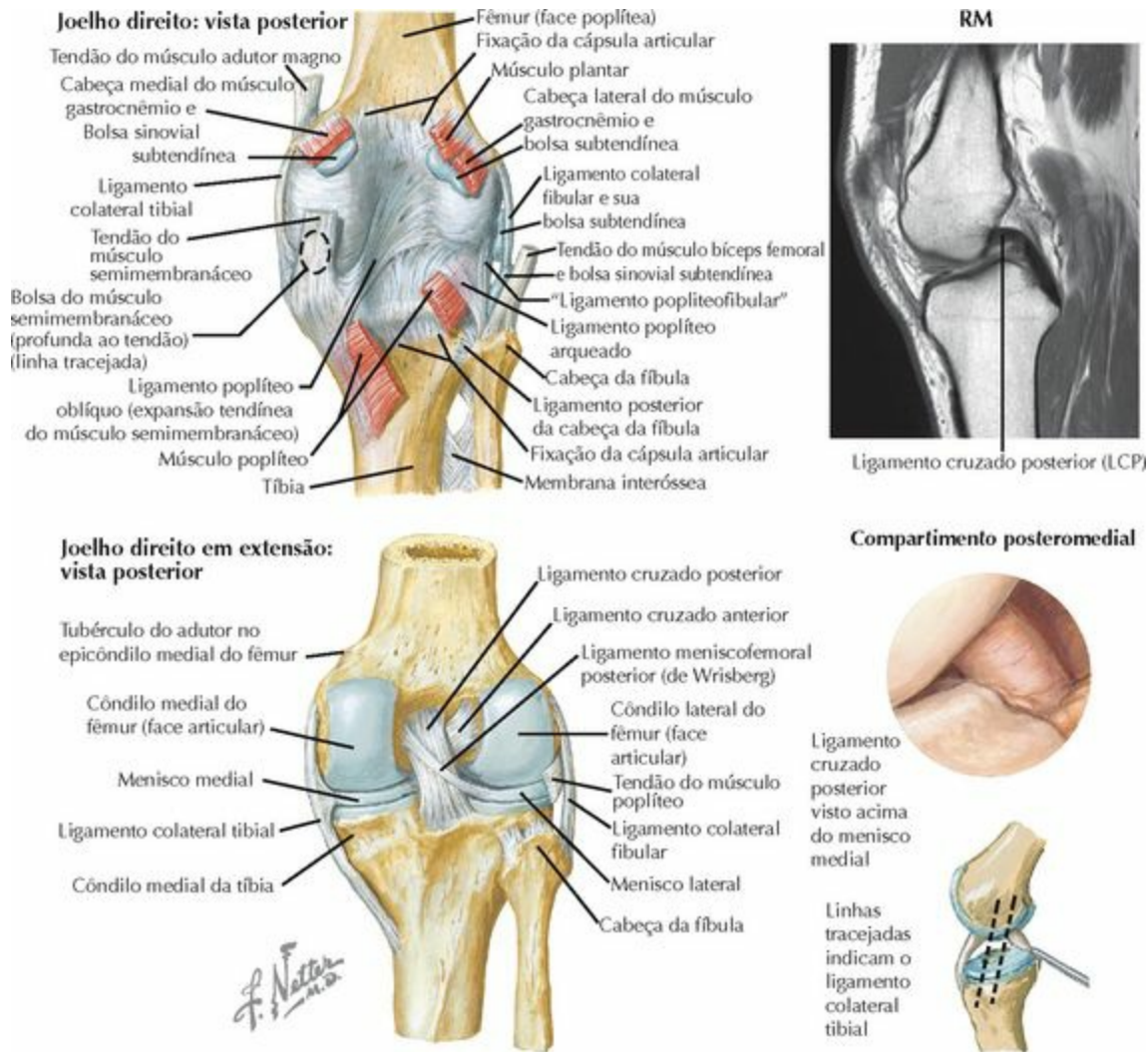
Posterolateral

F. Netto M.D.

LIGAMENTOS	FIXAÇÃO	FUNÇÃO/COMENTÁRIO
JOELHO		
Articulação Femorotibial – Estruturas Anteriores		
Ligamento cruzado anterior (LCA)	Da face posteromedial do côndilo lateral do fêmur à região anterior da eminência intercondilar da tíbia	Restritor primário para a translação anterior da tíbia; restritor secundário para o varo (em extensão) e rotação medial
Feixe anteromedial		Tenso no joelho em flexão, frouxo na extensão
Feixe posterolateral		Tenso no joelho em extensão, frouxo na flexão
Ligamento transverso do joelho	Conecta ambos os cornos anteriores dos meniscos à tíbia	Estabiliza os meniscos; pode ser rompido/lesionado
Outras Estruturas		
Ligamento mucoso (prega/“plica”)	Da região articular distal do fêmur à região anterior da face	Resíduo sinovial. Cobre anteriormente o ligamento cruzado anterior (LCA); pode ser necessário debridá-lo para uma

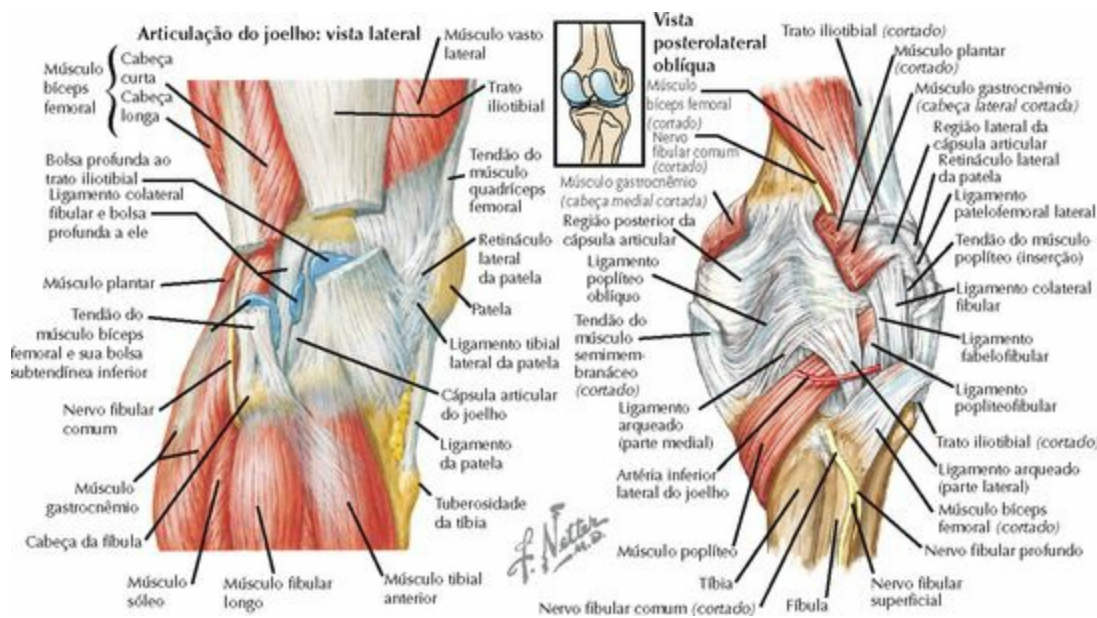
anterior)	articular superior da tibia	visualização total
Corpo adiposo infrapatelar	Posterior ao ligamento da patela, anterior à fossa intercondilar	Coxim para o ligamento da patela. Pode tornar-se fibrótico ou encarcerado, causando dor no joelho (síndrome de Hoffa)

Ver articulação patelofemoral para outras estruturas anteriores



LIGAMENTOS	FIXAÇÕES	COMENTÁRIOS
JOELHO		
Articulação Femorotibial – Estruturas Posteriores		
Ligamento cruzado posterior (LCP)	Da face lateral (na fossa intercondilar) do côndilo medial do fêmur à região posterior e proximal da tibia (abaixo da linha da articulação)	Restritor primário para a translação posterior da tibia Restritor secundário para o varo, valgo e rotação lateral.
Feixe	Fixação anterior sobre o côndilo do	Tenso na flexão do joelho, frouxo

anterolateral	fêmur, fixação lateral sobre a tíbia	na extensão
Feixe posteromedial	Fixação posterior sobre o côndilo do fêmur, fixação medial sobre a tíbia	Tenso na extensão do joelho, frouxo na flexão
Ligamentos meniscofemorais	Da região posterior do menisco lateral para o côndilo medial do fêmur e/ou ligamento cruzado posterior	Presença inconstante. Raramente os dois estão presentes
Ligamento meniscofemoral anterior (de Humphrey)	Anterior ao ligamento cruzado posterior	Contribui para a função do LCP e estabiliza o menisco
Ligamento meniscofemoral posterior (de Wrisberg)	Posterior ao ligamento cruzado posterior	Contribui para a função do LCP e estabiliza o menisco
Ligamento poplíteo oblíquo (LPO)	Fixação na inserção do músculo semimembranáceo na região posterior da tíbia; fixa-se posteriormente ao ligamento colateral fibular e à cápsula articular	Tensiona a região posterior da cápsula articular quando o músculo semimembranáceo contrai; considerado parte do “canto posteromedial”

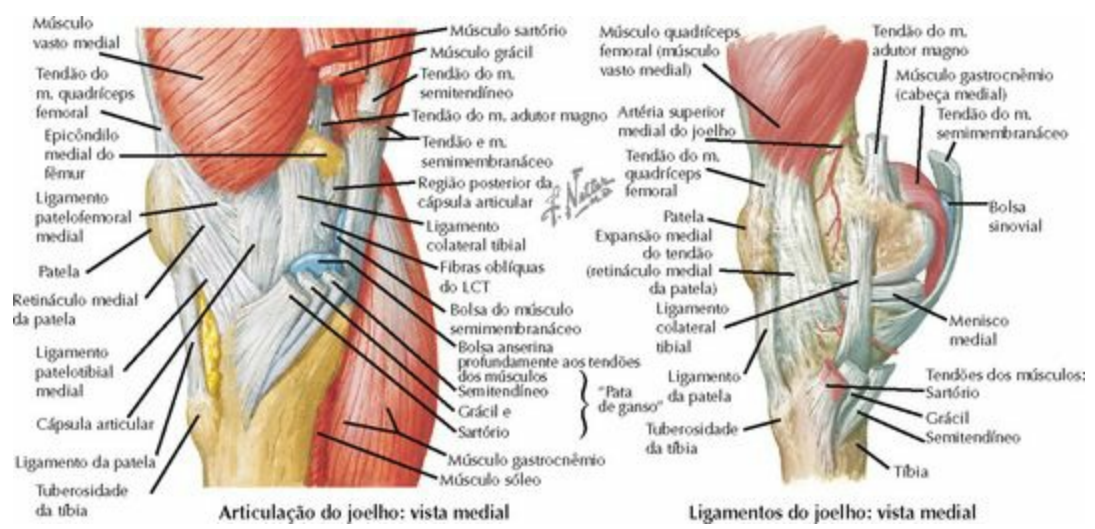


LIGAMENTOS	FIXAÇÕES	FUNÇÃO/COMENTÁRIO
JOELHO		
Articulação Femorotibial – Estruturas Laterais e Posterolaterais		
Primeira Camada – Superficial		
	3 inserções: 1. tubérculo de	Estabiliza o joelho lateralmente – “ligamento anterolateral acessório”.

Trato iliotibial	Gerdy , 2. patela e ligamento da patela, 3. tubérculo supracondilar	Posterior na flexão (rotação lateral da tíbia), anterior na extensão
Músculo bíceps femoral	As duas cabeças inserem-se na cabeça da fibula, lateral ao ligamento colateral fibular	Estabilizador lateral, também roda a tíbia lateralmente
Segunda Camada – Média		
Ligamento patelofemoral lateral	Da região lateral do fêmur à margem lateral da patela	Pode ser necessário a liberação se estiver encurtado causando a inclinação da patela e lesão da cartilagem articular lateral
Retináculo lateral da patela	Da fáscia do músculo vasto lateral à tíbia e à patela	
Terceira Camada – Profunda		
LÂMINA SUPERFICIAL		
Ligamento colateral fibular (LCF)	Do epicôndilo lateral à região medial da cabeça da fibula	Restritor primário para a sobrecarga em varo , também resiste à rotação lateral
Ligamento fabelofibular	Da cabeça da fibula à fâbela, geralmente com o ligamento poplíteo arqueado	Presença incostante; também é chamado de “ligamento colateral curto”
LÂMINA PROFUNDA		
Músculo poplíteo e tendão	Inserem-se anterior e distal à origem do ligamento colateral lateral	Resiste à rotação lateral da tíbia, varo e translação posterior
Ligamento popliteofibular (LPF)	Da junção musculotendínea do poplíteo à cabeça da fibula	Restritor estático primário para a rotação lateral
Cápsula articular	Do fêmur à tíbia. Estende-se 15 mm abaixo da linha de articulação	Reforçada por outras estruturas; resiste ao varo e à rotação lateral
Ligamento poplíteo arqueado	Parte lateral: da cabeça da fibula à região posterior do fêmur Parte medial: região posterolateral do fêmur em conjunto com o ligamento poplíteo oblíquo	Presença inconstante, forma de Y: duas partes. A parte lateral cobre o músculo poplíteo, dando suporte posterolateral ao joelho
Outros		
	Para a região lateral da face	

Menisco lateral	articular superior da tíbia (parte lateral do “platô tibial”) via ligamento coronário	Fornece concavidade à região lateral da face articular superior da tíbia que é convexa
Cabeça lateral do músculo gastrocnêmio	Sua origem está sobre a região posterior do côndilo lateral do fêmur	Adiciona suporte dinâmico à região posterolateral do joelho

- A artéria inferior lateral do joelho passa entre a lâmina superficial e a lâmina profunda da terceira camada do canto posterolateral
- O ligamento colateral fibular, o músculo poplíteo e o ligamento popliteofibular são as estruturas mais consistentes e são o foco da reconstrução cirúrgica
- A maioria das estruturas posterolaterais age como estabilizadores para as forças em varo e rotação lateral. Elas também são estabilizadores secundários para a translação posterior
- O complexo “arqueado” refere-se às estruturas de estabilização posterolateral incluindo: ligamento colateral fibular, ligamento poplíteo arqueado, músculo poplíteo e cabeça lateral do músculo gastrocnêmio



LIGAMENTOS	FIXAÇÃO	FUNÇÃO/COMENTÁRIO
JOELHO		
Articulação Femorotibial – Estruturas Mediais		
Primeira Camada – Superficial		
Sartório	Torna-se uma camada fascial na inserção da “pata de ganso”	Reveste outros tendões na inserção da “pata de ganso”
Fáscia lata	Fáscia profunda da coxa que continua até o joelho	Mistura-se com o retináculo (anterior) e a cápsula (posterior)
Segunda Camada – Média		
Ligamento	Do epicôndilo medial do fêmur à tíbia (profundamente à “pata de	Restritor primário para as forças em valgo (especialmente em 30°)

colateral tibial (parte superficial)	ganso”) Ampla inserção que está 5-7 cm abaixo da linha da articulação	Estabilizador secundário para a translação anterior e rotação medial
Fibras oblíquas do LCT (ligamento oblíquo posterior [LOP])	Do tubérculo do adutor (posterior ao LCT) à região posterior da tíbia, corno posterior do menisco medial e cápsula articular	Estabilizador estático contra valgo. Frouxo na flexão, mas tenso dinamicamente devido ao músculo semimembranáceo
Ligamento patelofemoral medial	Da região medial da patela ao epicôndilo medial do fêmur	Estabilizador estático primário contra a lateralização da patela; pode ser necessário reparo/reconstrução após luxação
Retináculo medial da patela	Contínuo com a fáscia do músculo vasto para a tíbia e patela	Pode também ser lesionado na subluxação lateral da patela
Semimembranáceo	Insera-se na região posteromedial da tíbia	Fornecer suporte posteromedial

Terceira Camada – Profunda

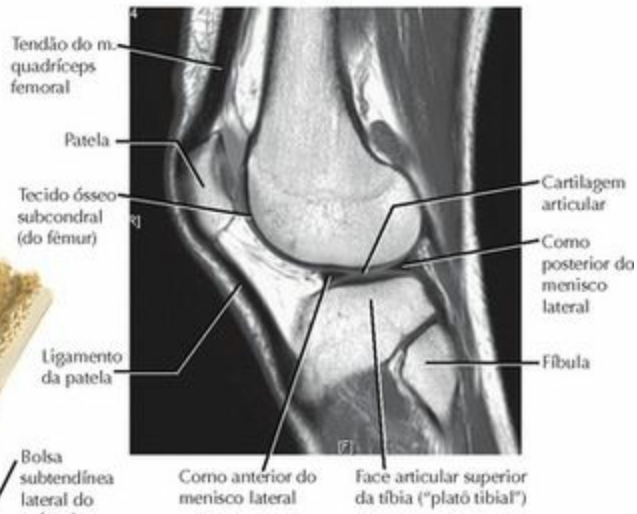
Ligamento colateral tibial (parte profunda) Fibras meniscomemorais Do fêmur ao menisco	Insera-se no menisco medial e na face articular superior da tíbia 2 conjuntos de fibras: Fibras meniscomemorais Da tíbia ao menisco Cápsula articular	Estabiliza o menisco. Também conhecido como “ligamento capsular medial” ou “ligamento capsular do terço médio”
Cápsula	Do fêmur à tíbia, estende-se 15 mm abaixo da articulação	Reforçada por outras estruturas posteromediais

Outros

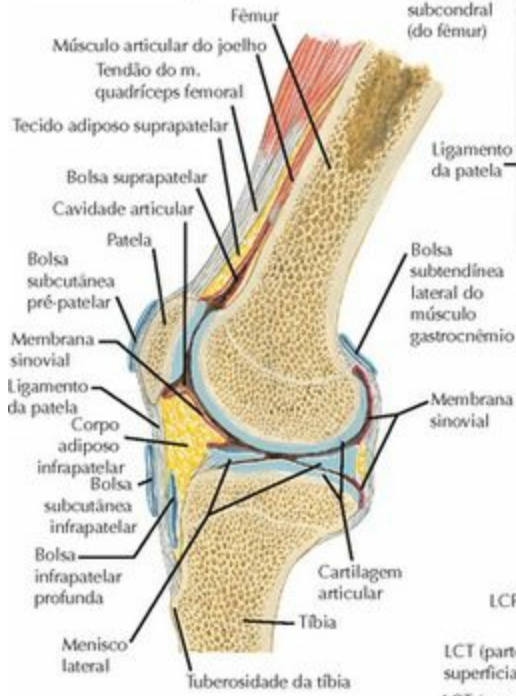
Menisco medial	Fixado firmemente à região medial da face articular superior da tíbia via ligamentos coronários	O corno posterior é estabilizador secundário para a translação anterior. Torna-se o primeiro no ligamento cruzado anterior
Cabeça medial do músculo gastrocnêmio	Origina-se na região posteromedial do fêmur	Fornecer algum suporte dinâmico adicional

- Os tendões dos músculos grácil e semitendíneo estão entre a 1ª e 2ª camada e agem como estabilizadores dinâmicos secundários medialmente
- O LOP é uma confluência da 2ª e 3ª camadas de tecido que são indistintas na face posteromedial do joelho

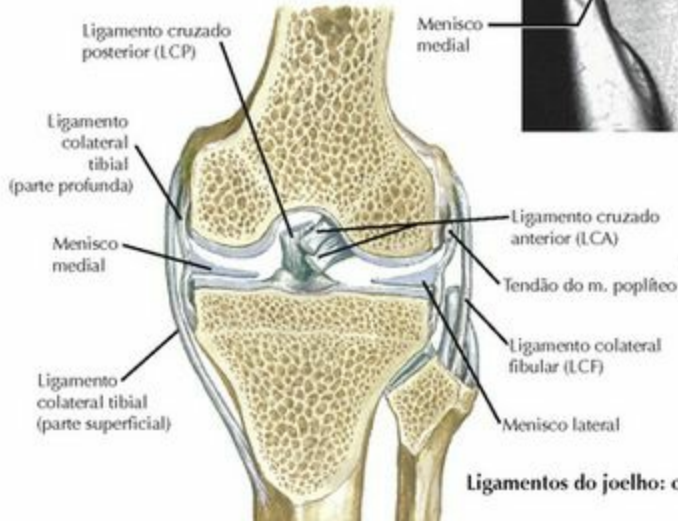
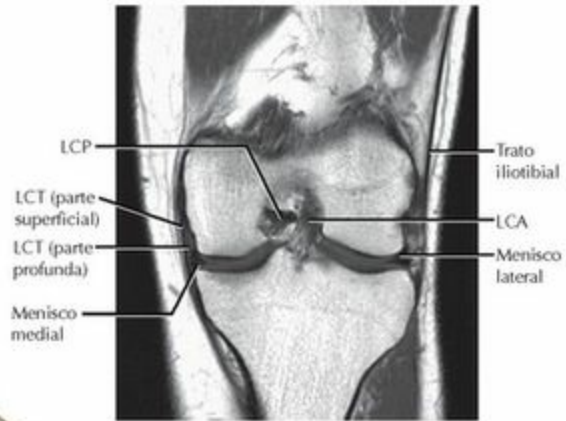
RM, sagital



Corte sagital (lateral à linha mediana do joelho)

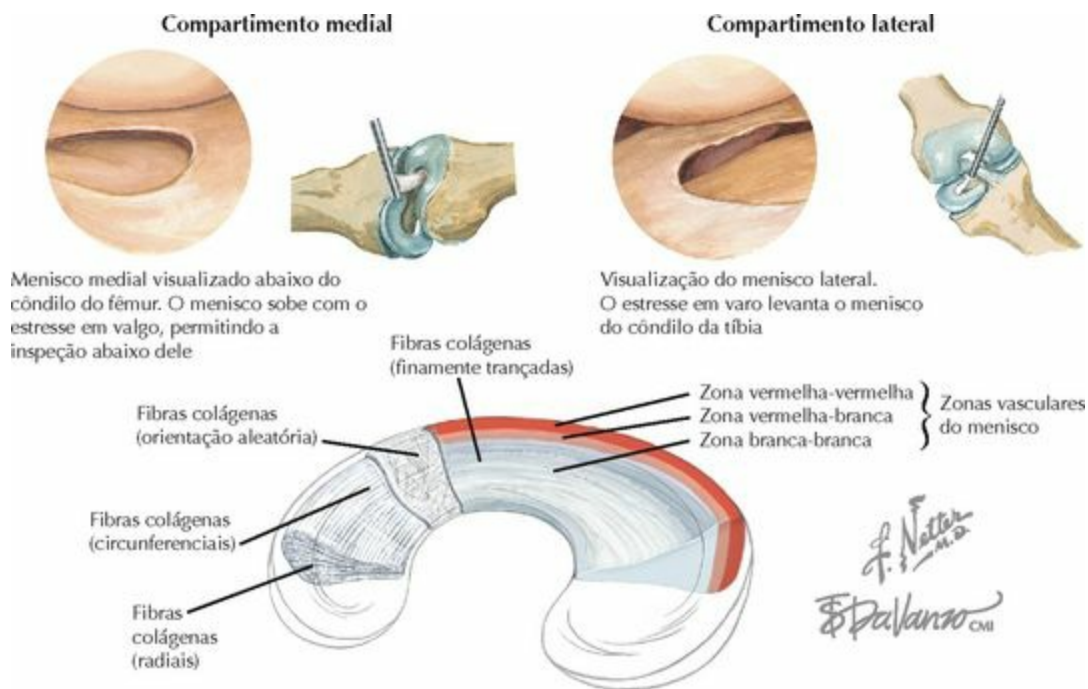


RM, frontal (coronal)



Ligamentos do joelho: corte frontal

F. Natter



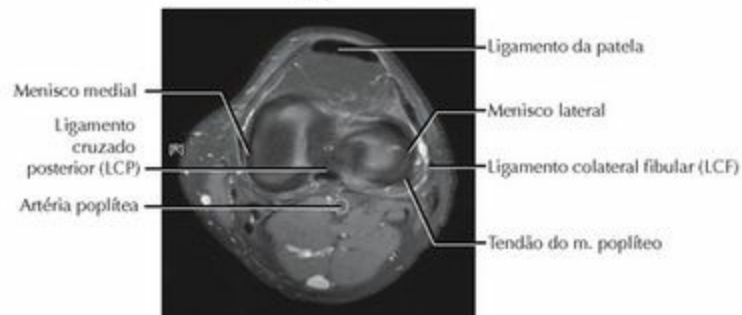
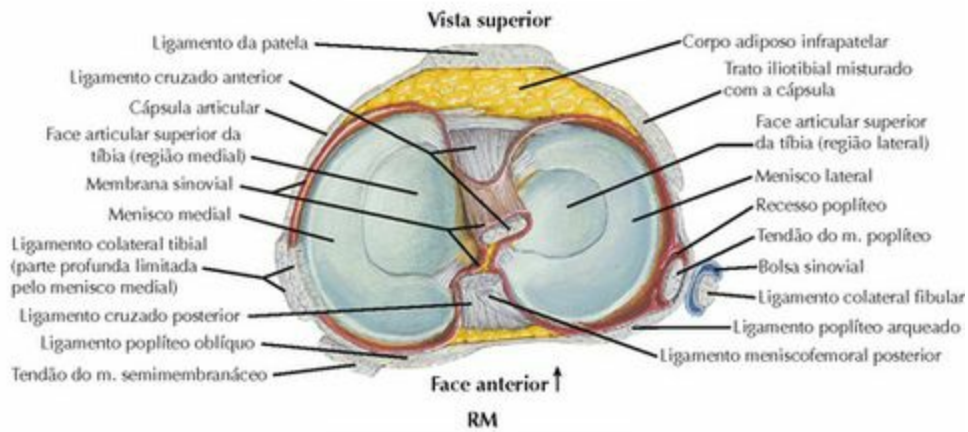
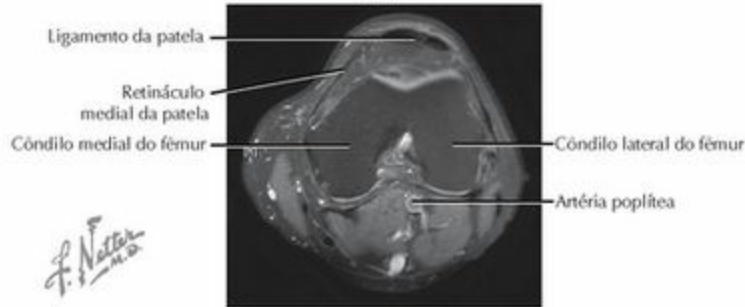
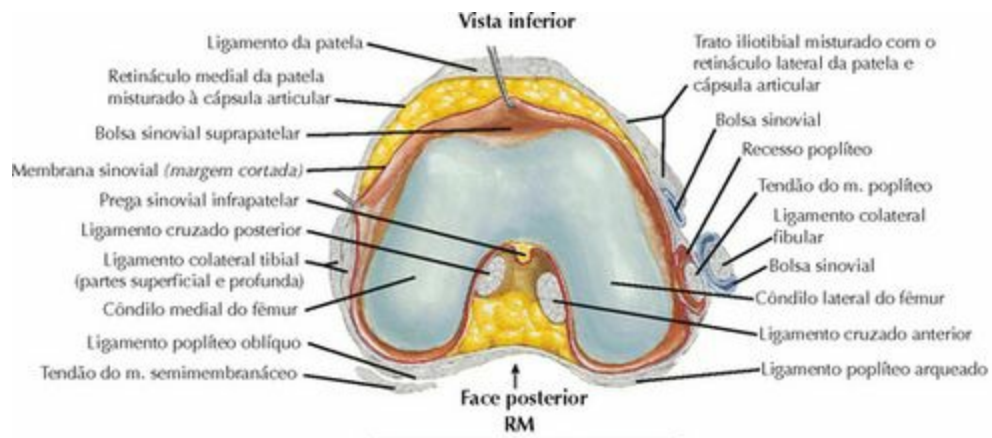
MENISCO

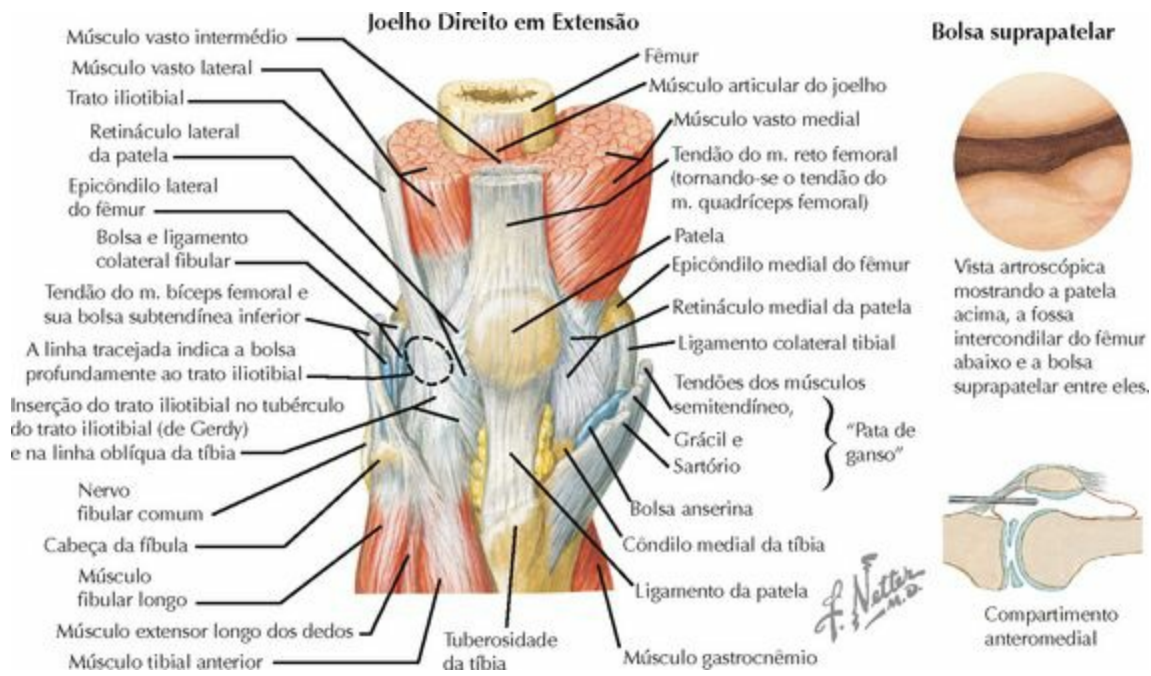
Estrutura

- Discos de fibrocartilagem interpostos na articulação femorotibial entre os côndilos do fêmur e a face articular superior da tíbia (“platô tibial”). Possuem forma triangular em corte transversal – mais espesso na periferia, estreitando-se em direção ao centro culminando em uma margem fina
- Histologicamente, é composto por colágeno (principalmente do **tipo 1**, também tipos 2, 3, 5 e 6), células (fibrocondrócitos), água, proteoglicanos, glicoproteínas e elastina
- Três camadas vistas microscopicamente:
 1. Camada superficial: padrão de fibras colágenas trançadas
 2. Camada de superfície: padrão de fibras colágenas aleatoriamente orientadas
 3. Camada média (mais profunda): fibras orientadas circunferencialmente (longitudinalmente). Essas fibras dissipam **forças circulares**. Fibras radiais: essas fibras agem como um laço para prender as fibras circunferenciais
- Suprimento vascular das artérias superior medial do joelho, superior lateral do joelho, inferior medial do joelho, inferior lateral do joelho. Elas formam o plexo perimeniscal na membrana sinovial/cápsula articular. A porção periférica (10%-30% medialmente, 10%-25% lateralmente) é vascular via vasos do plexo perimeniscal. Três zonas:
 - Zona vermelha: 3 mm da junção capsular (a maior parte das lacerações irá cicatrizar)
 - Zona vermelha/branca: 3–5 mm da junção capsular (algumas lacerações irão cicatrizar)
 - Zona branca: >5 mm da junção capsular (a maior parte das lacerações não irá cicatrizar)
 Os $\frac{2}{3}$ avasculares no centro do menisco recebem nutrição da sinóvia (líquido sinovial)
- Menisco medial: forma de C, menos móvel, firmemente fixado à tíbia (via ligamentos **coronários**) e à cápsula articular (via **parte profunda do ligamento colateral tibial**) no segmento central
- Menisco lateral: circular, mais móvel, fixações periféricas frouxas, não fixado ao **hiato poplíteo** (onde o tendão do músculo poplíteo é intra-articular)

Função

1. **Transmissão de carga e absorção de choques:** os meniscos absorvem 50% (em extensão) ou 85% (em flexão) das forças que atravessam a articulação femorotibial. A transmissão desta carga ao menisco ajuda a proteger a cartilagem articular
2. **Congruência da articulação e estabilidade:** os meniscos criam congruência entre os côndilos curvos e a face articular superior da tíbia plana, o que aumenta a estabilidade. Os meniscos (especialmente o **cornó posterior do menisco medial**) também agem como estabilizadores secundários para a translação (especialmente nas deficiências ligamentares do joelho)
3. **Lubrificação da articulação:** os meniscos ajudam a distribuir a sinóvia sobre as faces articulares
4. **Nutrição da articulação:** os meniscos absorvem e, então, liberam nutrientes da sinóvia para a cartilagem
5. **Propriocepção:** terminações nervosas fornecem o “*feedback*” sensitivo para a posição da articulação





LIGAMENTOS	FIXAÇÕES	FUNÇÃO/COMENTÁRIO
------------	----------	-------------------

JOELHO

Articulação Patelofemoral

Função

- Composta pelo tendão do músculo quadríceps femoral, pela patela, pelo ligamento da patela e por ligamentos adicionais estabilizadores da patela
- O mecanismo extensor (do joelho) é a função principal desta articulação. A patela aumenta o braço de movimento do eixo da articulação, aumentando a vantagem mecânica e a tração do músculo quadríceps femoral na extensão
- A estabilidade da patela na face patelar é resultado da morfologia óssea e dos estabilizadores estáticos e dinâmicos. Um côndilo lateral do fêmur hipoplásico ou crista patelar, uma tróclea plana ou o aumento do ângulo “Q” podem predispor à luxação da patela
- A patela inicia o acoplamento na tróclea aos 20° de flexão e é totalmente acoplada aos 40°. O ponto de articulação move-se proximalmente com o aumento da flexão. A faceta ímpar (mais medial) da patela articula-se em toda flexão
- As forças de reação articulares podem ser muito altas nesta articulação: 3 × o peso corporal ao subir escadas, 7 × o peso corporal em flexão máxima. A cartilagem articular é de até 5 mm (mais espessa no corpo) para acomodação destas altas forças

Estrutura

Tendão do músculo quadríceps femoral	Do músculo quadríceps femoral ao polo superior da patela	Pode romper-se com contração excêntrica (geralmente >40 anos)
Ligamento da patela	Do polo inferior da patela à tuberosidade da tibia	Pode romper-se com contração excêntrica (geralmente >40 anos)

Ligamentos patelofemorais Medial, lateral	Dos epicôndilos do fêmur às regiões medial/lateral da patela	Estabilizadores primários da patela (especialmente o ligamento patelofemoral medial)
Ligamentos patelotibiais (medial e lateral)	Da face articular superior da tíbia (“platô tibial”) às regiões medial/lateral da patela	Estabilizador menor da patela
Ligamentos patelomeniscais (medial e lateral),	Da patela à periferia dos meniscos	Estabilizador secundário da patela
Retináculos da patela (medial e lateral)	Inserem-se na tíbia e no fêmur	Estabilizador menor da patela

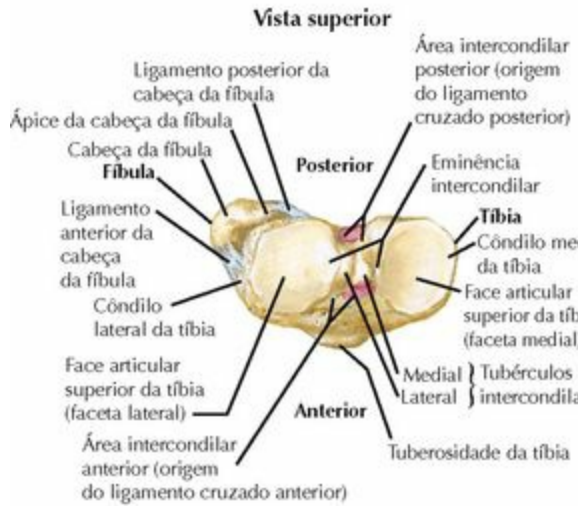
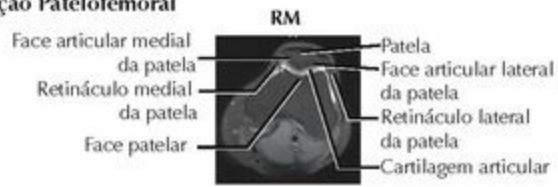
Outros

- A posição da patela pode ser avaliada em radiografias em perfil (30° de flexão) com **índice de Insall** (comprimento [diagonal] da patela/comprimento do ligamento da patela). O índice normal é 1,0 (0,8 a 1,2), >1,2 indica patela baixa, <0,8 indica patela alta
- Estabilizadores dinâmicos: músculos quadríceps femoral, adutor magno, trato iliotibial e músculos vasto medial e vasto lateral
- Ligamento patelofemoral medial: restritor primário para a luxação lateral (mais comum)

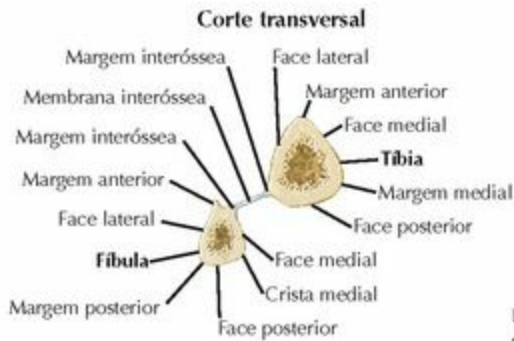
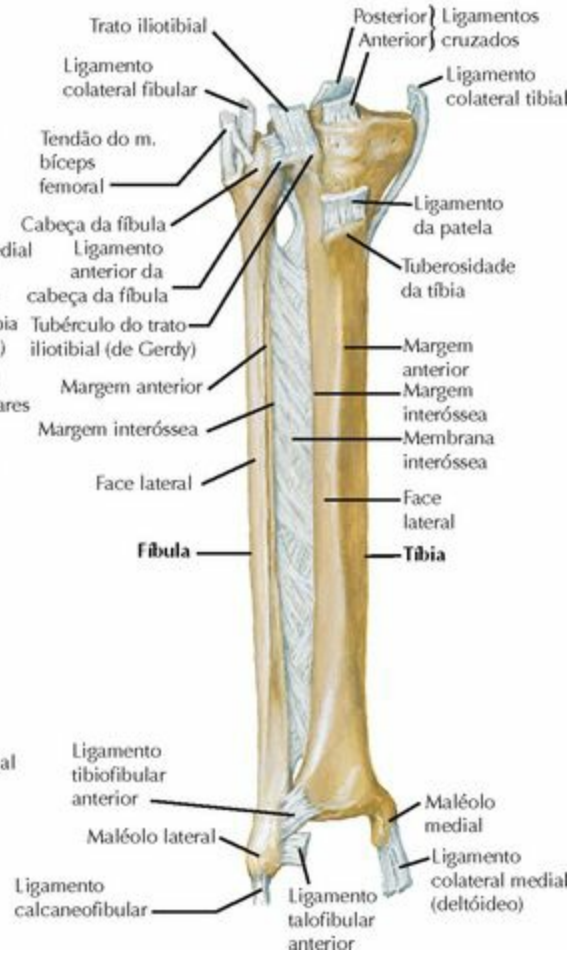
Articulação Patelofemoral



Normalmente, a patela desliza para o sulco entre os côndilos medial e lateral do fêmur



Vista anterior com a fixação dos ligamentos



LIGAMENTOS	FIXAÇÕES	FUNÇÃO/COMENTÁRIO
ARTICULAÇÃO TIBIOFIBULAR (proximal)		
Ligamento tibiofibular anterior	Da cabeça da fíbula à região anterolateral da tibia	Mais largo e forte do que o ligamento posterior
Ligamento tibiofibular posterior	Da cabeça da fíbula à região posterolateral da tibia	Mais fraco que o ligamento anterior
Outros		
Membrana interóssea	Da região lateral da tibia à região medial da fíbula	Membrana fibrosa firme separando o compartimento anterior do posterior. É rompida na fratura de Maisonneuve

• Esta articulação tem movimento mínimo. A luxação ou ruptura desta articulação indica trauma de alto impacto na região do joelho

• Para a sindesmose tibiofibular (“articulação tibiofibular distal”), consulte o [Capítulo 10](#), Tornozelo/Pé

PEQUENOS PROCEDIMENTOS



PASSOS

INFILTRAÇÃO

1. Perguntar ao paciente sobre alergias
2. Colocar o paciente em posição sentada com o joelho fletido e pendente
3. Preparar a pele (sabão antisséptico/iodo) sobre a região anterior do joelho
4. Preparar a seringa com uma mistura de anestésico local/corticoide em uma agulha de calibre 21/22
5. Palpar o “ponto macio” entre a margem do ligamento da patela, a face articular superior da tíbia (“platô tibial”) e o côndilo do fêmur
6. Pode-se anestésiar localmente a pele sobre o “ponto macio”
7. Horizontalmente inserir a agulha no “ponto macio”, visando aproximadamente 30° à linha mediana em direção à fossa intercondilar. Se a agulha acertar o côndilo, redirecioná-la mais centralmente na fossa intercondilar
8. Aspirar suavemente para confirmar que você não está no interior de um vaso
9. Infiltrar a solução no interior do joelho. O líquido deve fluir facilmente
10. Remover a agulha e fazer curativo no local da infiltração

ASPIRAÇÃO/ARTROCENTESE

1. Perguntar ao paciente sobre alergias

2. Colocar o paciente em posição supina (decúbito dorsal) com o joelho completamente estendido
3. Palpar as margens da patela e do côndilo do fêmur
4. Preparar a pele (sabão antisséptico/iodo) sobre esta área
5. Inserir a agulha, geralmente de calibre 21 ou 18 (para fluido espesso), horizontalmente no interior da bolsa suprapatelar no nível do polo superior da patela
6. Aspirar o fluido para o interior da seringa (pode-se usar várias seringas se necessário)
7. Comprimir gentilmente o joelho para “escoar” o fluido da bolsa para a aspiração
8. Remover a agulha e fazer curativo no local da infiltração

HISTÓRIA DA DOENÇA ATUAL



Lesão do LCP

As causas comuns incluem lesão por hiperextensão, como ocorre ao pisar em um buraco, e golpe direto sobre o joelho flexionado



Entorses

A causa comum é um forte impacto na região posterolateral do joelho com o pé fixo no solo, produzindo estresse em valgo na articulação do joelho



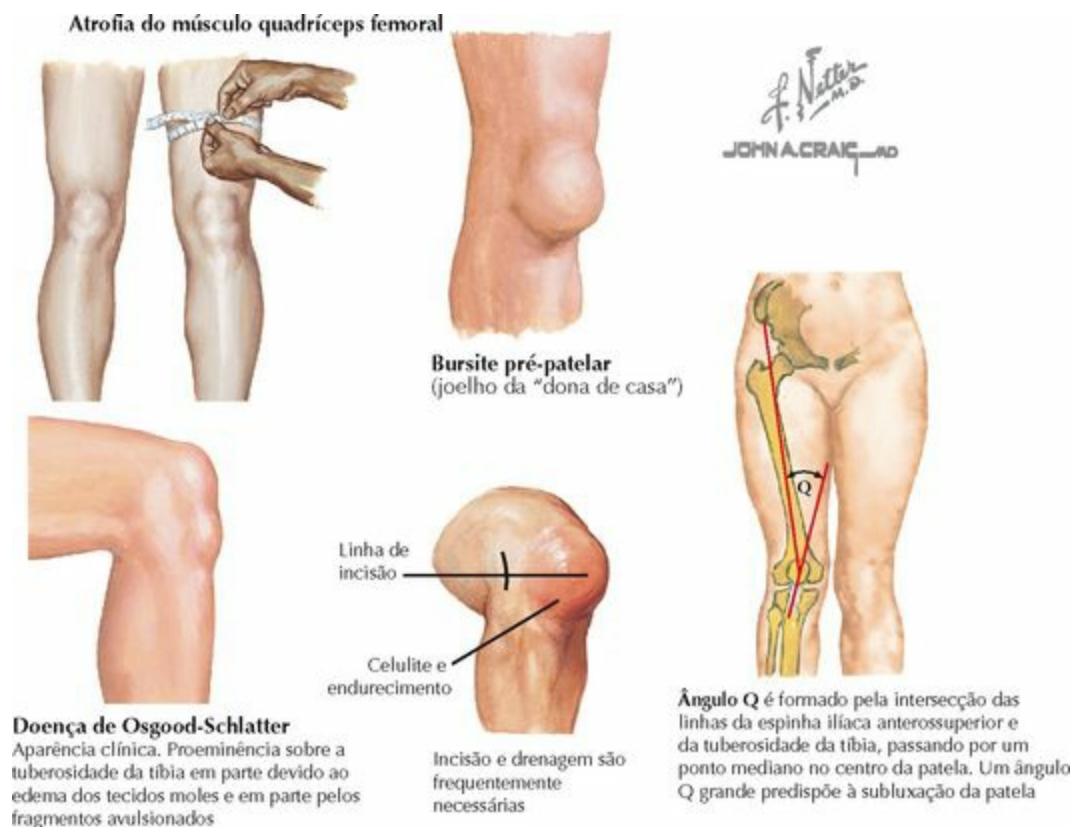
Lesão do LCA

A causa comum é a torção do joelho hiperestendido, como no retorno ao solo após um arremesso com salto no basquete

QUESTÃO	RESPOSTA	APLICAÇÃO CLÍNICA
1. Idade	Jovem Meia-idade, idoso	Trauma: lesões ligamentares ou meniscais, fratura Artrite
2. Dor		
a. Início	Aguda	Trauma: fratura, luxação, lesão de tecidos moles (ligamentos/meniscos), bursite/artrite séptica
b. Localização	Crônica	Artrite, infecção, tendinite/bursite, esforço repetitivo, tumor
	Anterior	Ruptura ou tendinite do tendão do músculo quadríceps femoral ou do ligamento da patela, bursite pré-patelar, disfunção patelofemoral
	Posterior	Ruptura de menisco (corno posterior), cisto de Baker , lesão do ligamento cruzado posterior
	Lateral	Ruptura de menisco (linha articular), lesão do ligamento colateral, artrite, síndrome do trato iliotibial
	Medial	Ruptura de menisco (linha articular), lesão do ligamento colateral, artrite, bursite da “pata de ganso” Tumor, infecção
c. Ocorrência	Dor noturna Com atividade	Etiologia da dor provavelmente da articulação
3. Rigidez	Sem bloqueio Com bloqueio/travamento	Artrite, efusão (trauma, infecção) Corpos livres, ruptura de menisco (especialmente em “alça de balde”) , artrite, prega (plica) sinovial
	Intra-articular Extra-articular	Infecção, trauma (OCD, lesão meniscal, lesões do LCA e LCP, fratura) Lesão do ligamento colateral, bursite, contusão, entorse

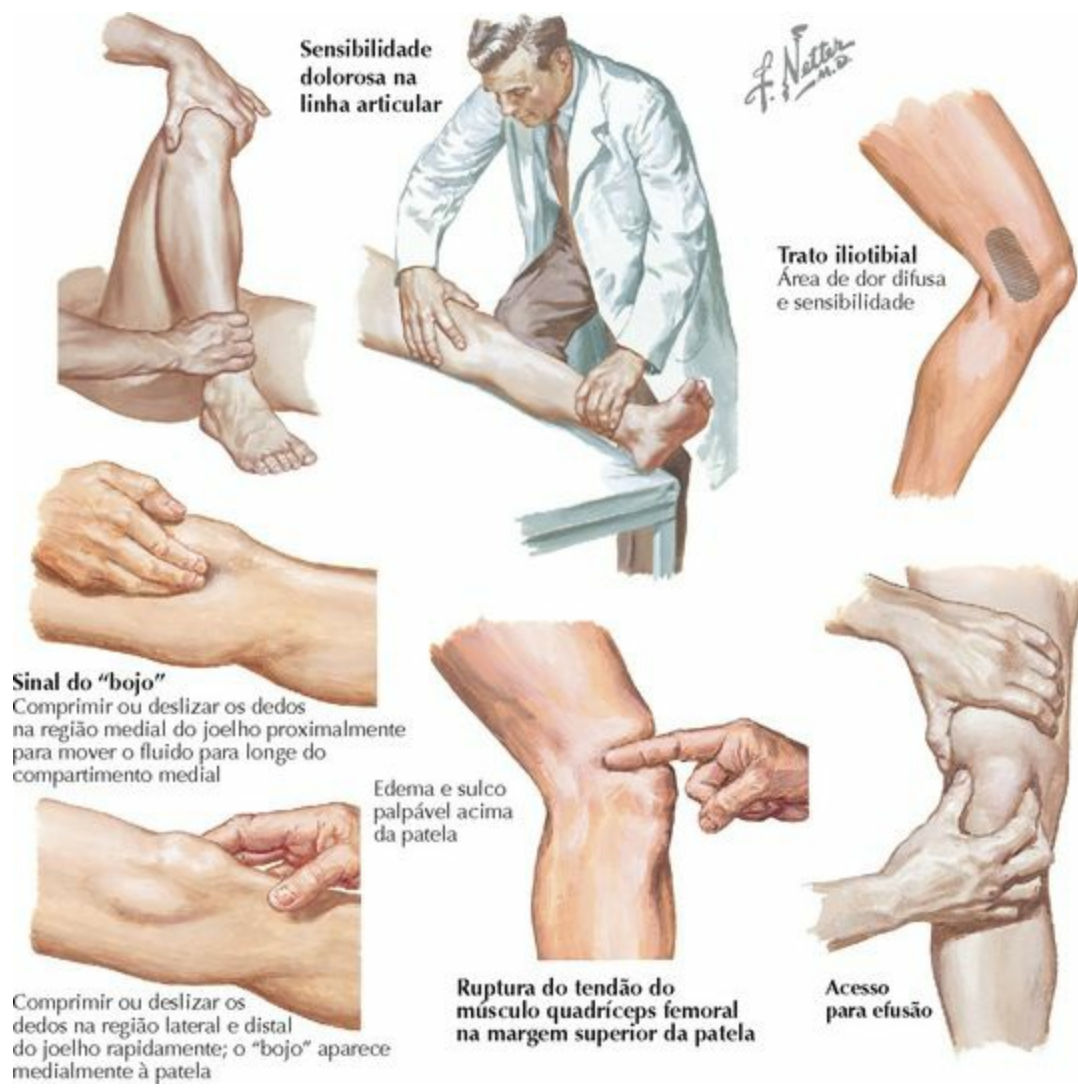
4. Edema	Agudo (pós-lesão) Agudo (sem lesão)	Agudo (horas): lesão do LCA; subagudo (dia): lesão meniscal, OCD Infecção: bursite pré-patelar, articulação séptica
5. Instabilidade	Falseio e colapso Falseio e dor	Lesão de ligamento cruzado ou colateral/lesão do mecanismo extensor Subluxação/luxação da patela, prega (plica) patológica, OCD
6. Trauma	Mecanismo: valgo Força em varo Flexão/posterior Torção Estalo Nenhum	Lesão do LCT (+/- tríade maldita : lesão do LCT, LCA e menisco medial) Lesão do LCF ou canto posterolateral Lesão do LCP (p. ex., lesão no “painel do automóvel”) Sem contato: lesão do LCA ; com contato: vários ligamentos Lesão de ligamento cruzado (especialmente o LCA) , fratura osteocondral, ruptura de menisco Etiologia degenerativa ou sobrecarga
7. Atividade	Esportes de agilidade/contato Corrida, ciclismo etc. Agachamento Caminhada	Ligamentos cruzados (LCA nº 1) ou ligamento colateral Etiologia patelofemoral Ruptura de menisco A distância que o indivíduo é capaz de deambular equivale à severidade da doença artrítica
8. Sintomas neurológicos	Dormência, formigamento	Doença neurológica, trauma (considerar etiologia espinal lombar)
9. Sistêmico	Febre, calafrios	Infecção, articulação séptica, tumor
10. Histórico de artrites	Várias articulações envolvidas	Artrite reumatoide, gota etc.

EXAME FÍSICO



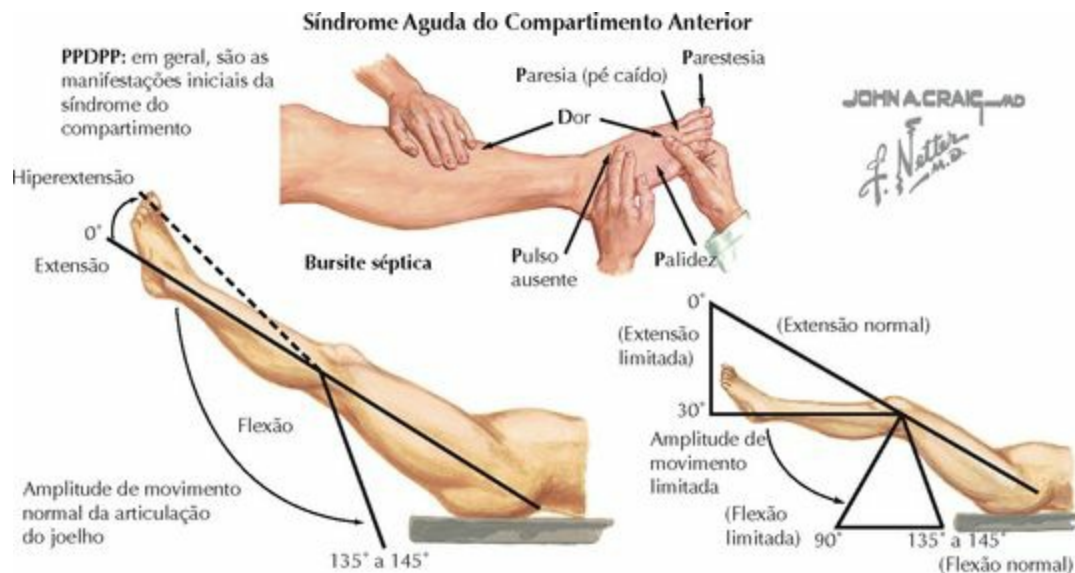
EXAME	TÉCNICA/ACHADOS	APLICAÇÃO CLÍNICA/DIAGNÓSTICO DIFERENCIAL
INSPEÇÃO		
Marcha	Força compressiva em varo	Pode indicar lesão/insuficiência do LCF ou do canto posterolateral
	Alinhamento patelar	O mau alinhamento pode originar sintomas patelofemorais
	Marcha de joelho fletido	A tensão do tendão do calcâneo ou dos músculos posteriores da coxa ("isquiotibiais") pode levar a sintomas patelofemorais
	Alinhamento do joelho	O alinhamento normal do joelho é clinicamente neutro (radiograficamente 6° valgo). Avaliar com suporte de peso. Variações podem ser por desenvolvimento ou pós-traumáticas
	Geno valgo (bater os joelhos)	Pode predispor à DAD do compartimento lateral, instabilidade da patela/mau alinhamento patelar
	Geno varo (perna torta)	Pode predispor à DAD do compartimento medial, incompetência ligamentar
		Ângulo da espinha ilíaca anterossuperior ao ponto

Anterior	Ângulo Q	mediano central da patela e à tuberosidade da tíbia. Normal: masculino $\leq 10^\circ$, feminino $\leq 15^\circ$; o aumento do ângulo predispõe à subluxação patelar, sintomas patelofemorais
	Edema	Pré-patelar: bursite pré-patelar (inflamatória ou séptica); efusão intra-articular: artrite, infecção, trauma (hemartrose): fratura intra-articular, ruptura de menisco, ruptura de ligamento
	Tuberosidade da tíbia aumentada	Pode ser resultado da doença de Osgood-Schlatter (especialmente em adolescentes)
Posterior	Massa	Cisto de Baker
Lateral	Alinhamento do joelho	Avaliar com suporte de peso
	Recurvado	Possível lesão do LCP
	Posição da patela	Melhor avaliada radiograficamente com índice de Insall (ver articulação patelofemoral)
	Patela alta	Patela alta: pode predispor à instabilidade patelar
	Patela baixa	Patela baixa: geralmente pós-traumática ou pós-cirúrgica (possível artrofibrose)
Musculatura	Quadríceps femoral	A atrofia pode resultar de lesão, condições pós-operatórias ou neurológicas
	Vasto medial	A atrofia do m. vasto medial (fibras oblíquas) pode contribuir para sintomas patelofemorais



EXAME	TÉCNICAS/ACHADOS	APLICAÇÃO CLÍNICA/DIAGNÓSTICO DIFERENCIAL
PALPAÇÃO		
Estruturas ósseas	Patela	Sensibilidade dolorosa no polo distal: tendinite (joelho saltador)
	Tuberosidade da tíbia	Sensibilidade dolorosa com doença de Osgood-Schlatter
	Tendão do músculo quadríceps femoral	Defeito: ruptura de tendão; sensibilidade dolorosa: tendinite
	Ligamento da patela	Defeito: ruptura de tendão; sensibilidade dolorosa (especialmente na inserção): tendinite (joelho de saltador)
	Compressão da fossa intercondilar	Patela flutuante (derrame articular): artrite, trauma, infecção
	Bolsa pré-patelar	Bolsa edemaciada indica correlação com bursite
	Bolsa anserina	Sensibilidade dolorosa indica bursite

Tecidos moles	Retináculo/prega (plica)	Espesso, prega (plica) macia é patológica
	Linha articular medial e LCT	Sensibilidade dolorosa: ruptura de menisco medial ou lesão do LCT
	Linha articular lateral e LCF	Sensibilidade dolorosa: ruptura de menisco lateral ou lesão do LCF
	Trato iliotibial/côndilo lateral do fêmur (região anterolateral do joelho)	Dor ou endurecimento é patológico
	Fossa poplíteia	Massa consistente com cisto de Baker, aneurisma poplíteo
	Compartimentos da perna (anterior, posterior, lateral)	Compartimento firme ou tenso: síndrome do compartimento



EXAME	TÉCNICA/ACHADOS	APLICAÇÃO CLÍNICA/DIAGNÓSTICO DIFERENCIAL
AMPLITUDE DE MOVIMENTO		
Flexão/extensão	Posição supina (decúbito dorsal): do calcanhar até as nádegas em linha reta	Normal: flexão de 0 a 125°-135°, extensão de 0 a 5°-15° Contratura de flexão: comum em OA/DAD Extensor tardio (dificuldade nos 20° finais): fraqueza do músculo quadríceps femoral Diminuição da extensão com efusão
	Notar o alinhamento da patela, dor e crepitação	O mau alinhamento da patela leva à dor na região anterior do joelho

Rotação medial e rotação lateral da tíbia	Estabilizar o fêmur, rodar a tíbia	Normal 10°-15° rotação medial/lateral
---	------------------------------------	---------------------------------------

NEUROVASCULAR

Sensitivo

Nervo femoral/safeno (L4)	Região medial da perna	Déficit indica lesão do nervo/raiz nervosa correspondente
Nervo fibular comum (L5)		Déficit indica lesão do nervo/raiz nervosa correspondente
N. cutâneo sural lateral	Região lateral da parte proximal da perna	
N. fibular superficial	Região lateral da parte distal da perna	
Nervo tibial (S1)		Déficit indica lesão do nervo/raiz nervosa correspondente
N. cutâneo sural medial	Região posterolateral da parte proximal da perna	
Nervo sural	Região posterolateral da parte distal da perna	Déficit indica lesão do nervo/raiz nervosa correspondente

Motor

Nervo femoral (L2-L4)	Extensão do joelho	Fraqueza = lesão do m. quadríceps femoral ou do nervo/raiz nervosa
Isquiático: tibial (L4-S3)	Flexão do joelho	Fraqueza = lesão da cabeça curta do músculo bíceps femoral ou do nervo/raiz
Fibular comum (L4-S3)	Flexão do joelho	Fraqueza = lesão da cabeça longa do músculo bíceps femoral ou do nervo/raiz nervosa
Nervo tibial (S1)	Flexão plantar	Fraqueza = lesão dos mm. TP, FLH, FLD ou do nervo/raiz nervosa
Nervo fibular (profundo) (L4)	Flexão dorsal do pé	Fraqueza = lesão do m. TA ou do nervo/raiz nervosa
Nervo fibular (superficial) (L5)	Flexão dorsal do hálux	Fraqueza = lesão do ELH ou do nervo/raiz nervosa

Outros

Reflexo (L4)	Patelar	Hipoativo/ausência indica radiculopatia de L4 Hiperativo pode indicar condição mielopática do neurônio motor inferior
---------------------	---------	--

Pulso

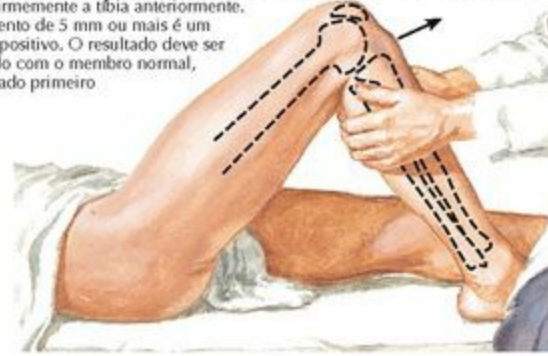
Poplíteo

A diminuição do pulso pode ser resultado de um trauma

Teste de apreensão (de fairbank)
 Conforme o examinador desloca a patela lateralmente, o paciente sente dor e contrai vigorosamente o músculo quadríceps femoral



Teste da gaveta anterior
 Paciente em posição supina (decúbito dorsal) na maca, com o quadril flexionado à 45° e o joelho à 90°. O examinador senta-se sobre o pé do paciente para estabilizá-lo, coloca as mãos em cada lado da parte proximal da panturrilha e traciona firmemente a tibia anteriormente. O movimento de 5 mm ou mais é um resultado positivo. O resultado deve ser comparado com o membro normal, que é testado primeiro



Teste de Lachman
 Com o joelho do paciente flexionado entre 20°-30°, o examinador posiciona com firmeza uma mão sobre a parte distal do fêmur e a outra na parte proximal da tibia. A tibia é tracionada anteriormente com o fêmur estabilizado. O movimento de 5 mm ou mais do que no membro normal indica ruptura do ligamento cruzado anterior

EXAME	TÉCNICA	APLICAÇÃO CLÍNICA/DIAGNÓSTICO DIFERENCIAL
TESTES ESPECIAIS		
Articulação Patelofemoral		
Desvio da patela	Deslocar a patela medialmente e lateralmente	Dividir a patela em 4 quadrantes. A patela deve deslocar 2 quadrantes em ambos os sentidos. Mobilidade reduzida indica retináculo tenso
Apreensão da patela	Joelho relaxado, empurrar a patela lateralmente	Dor/apreensão de subluxação: instabilidade patelar ou lesão no retináculo medial/ligamento patelofemoral medial (LPFM)
Sinal do “J”	De uma posição de flexão, realiza-se ativamente uma extensão do joelho	Desvio lateral da patela na extensão completa: síndrome patelofemoral
Compressão/crepitação da patela	Com o joelho estendido, estimula-se os quadrantes, comprimindo a patela	Dor: condromalacia, OCD, artrite patelofemoral/DAD da patela
Meniscos		
Sensibilidade dolorosa na linha articular	Palpar ambas as linhas articulares	Exame de maior sensibilidade para lesão meniscal quando doloroso (ver página 309)

McMurray	Joelho em flexão/varo/rotação lateral e, em seguida, estender	Estalido ou dor sugere lesão meniscal medial
	Joelho em flexão/valgo/rotação medial e, em seguida, estender	Estalido ou dor sugere lesão meniscal lateral
Compressão de Apley	Prono (decúbito ventral), joelho à 90°, compressão e rotação	Dor ou estalido indicam lesão meniscal

Ligamento Cruzado Anterior

Lachman	Flexão do joelho entre 20°-30° e traciona-se a tíbia anteriormente	Frouidão indica lesão do LCA. Exame de maior sensibilidade para ruptura do LCA. Grau 1: 0–5 mm, 2: 6–10 mm, 3: >10 mm; A: bom, B: sem ponto-final
Gaveta anterior	Flexão de joelho à 90° e traciona-se a tíbia anteriormente	Frouidão/deslocamento anterior: lesão do LCA
<i>Pivot shift</i>	Supino (decúbito dorsal), joelho em extensão, rotação medial, provocar uma força em valgo na parte proximal da tíbia e, em seguida, flexionar o joelho	Estalo com o joelho em flexão indica lesão do LCA (Se o LCA está deficiente, a tíbia inicia o movimento subluxada e reduz com a flexão, causando o estalo.)

Teste do *pivot shift* para instabilidade anterolateral do joelho



Paciente em posição supina (decúbito dorsal) e relaxado. O examinador levanta o calcanhar para flexionar o quadril à 45°, mantendo o joelho totalmente estendido; segura firmemente o joelho com a outra mão, colocando o polegar abaixo da cabeça da fíbula. O examinador realiza uma rotação medial vigorosa na tíbia e fíbula tanto no joelho quanto no tornozelo enquanto levanta a parte proximal da fíbula. Permite que o joelho flexione cerca de 20°; o examinador, em seguida, empurra medialmente com a mão proximal e traciona com a mão distal para produzir uma força em valgo sobre o joelho

Enquanto a rotação medial, a força em valgo e o deslocamento anterior do côndilo lateral da tíbia são mantidos, o joelho é flexionado passivamente. Se há subluxação anterior da tíbia (instabilidade anterolateral), uma repentina redução visível, audível e palpável ocorre em aproximadamente 20°-40° de flexão. O teste é positivo se o ligamento cruzado anterior estiver rompido, especialmente se o ligamento capsular lateral também estiver rompido



Teste da gaveta posterior

Sinal da translação posterior ("sag sign")

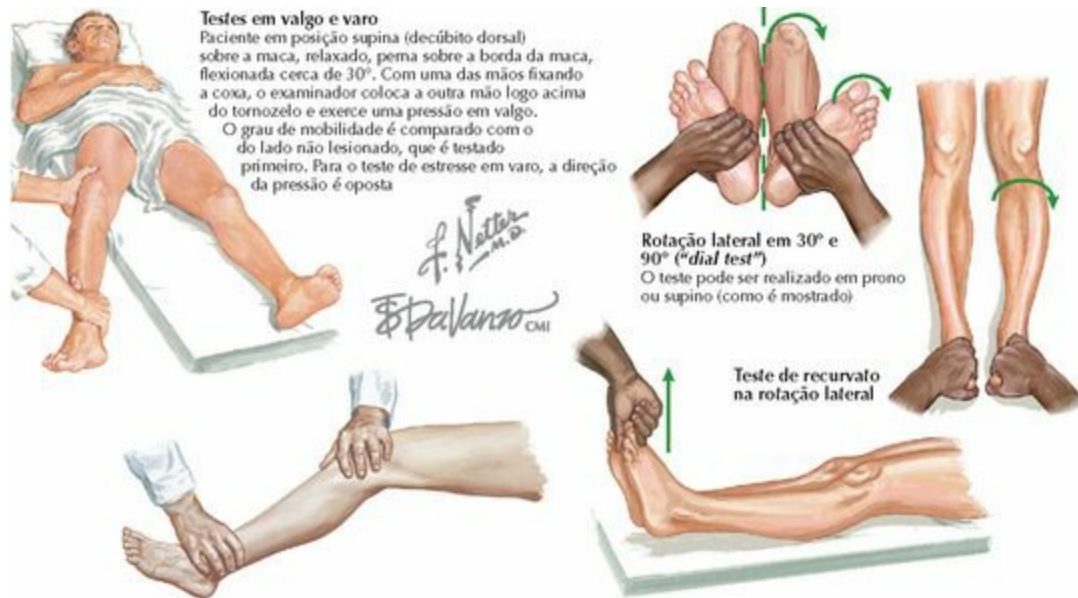


A perna cai para trás



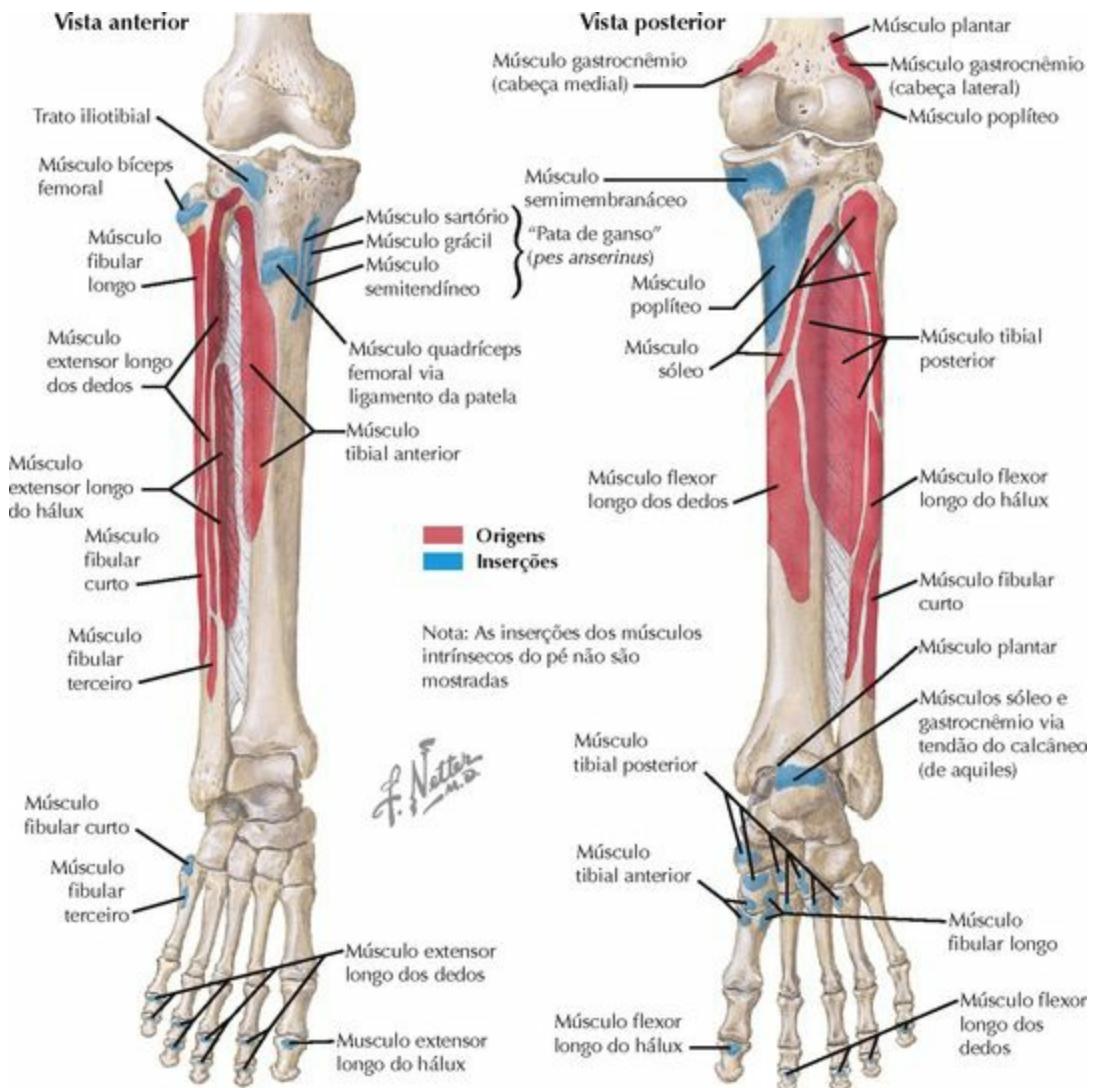
Mesmo procedimento do teste da gaveta anterior, exceto que a pressão sobre a tíbia é para trás em vez de para a frente

ORIGENS E INSERÇÕES



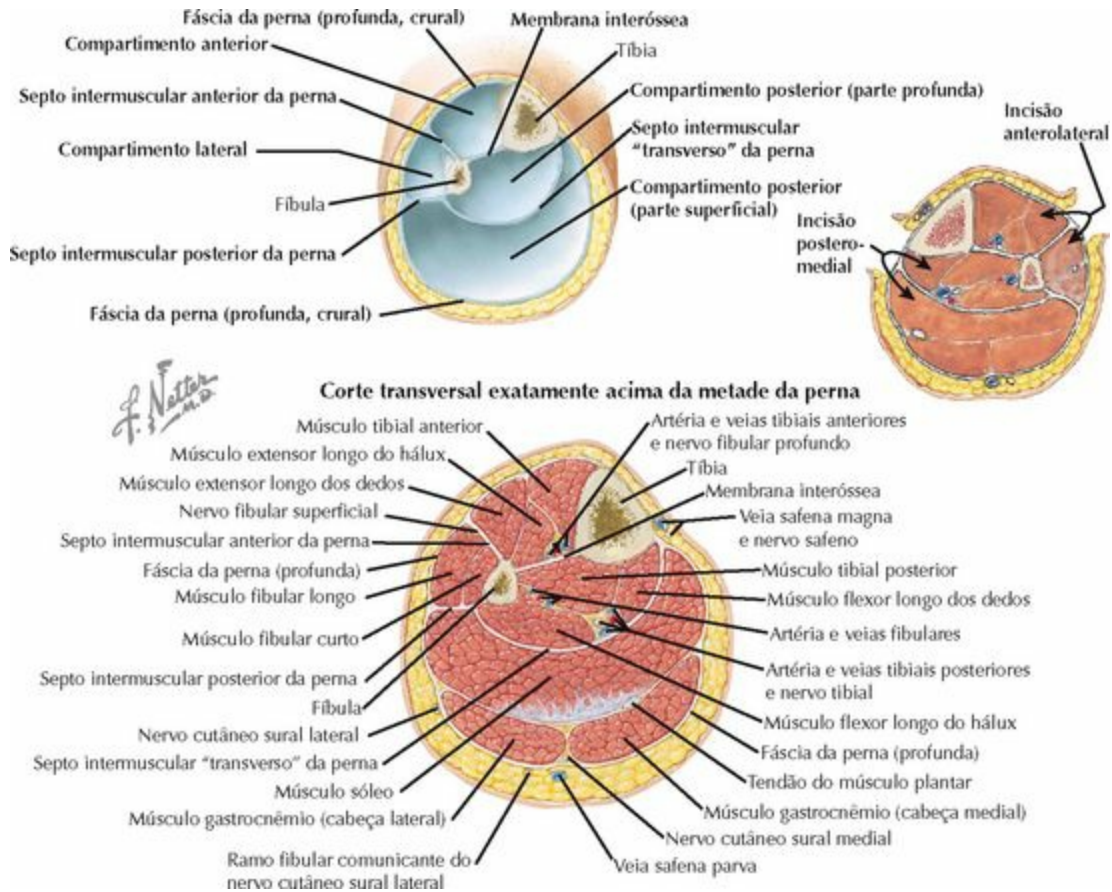
EXAME	TÉCNICA	APLICAÇÃO CLÍNICA/DIAGNÓSTICO DIFERENCIAL
TESTES ESPECIAIS		
Ligamento Cruzado Posterior		
Gaveta posterior	Joelho flexionado a 90°, pressão posterior sobre a tíbia	Deslocamento posterior: lesão LCP
Translação posterior	Supino (decúbito dorsal), quadril a 45°, joelho a 90°, observar lateralmente	Deslocamento posterior da tíbia em relação ao fêmur (pela gravidade) indica lesão LCP
Contração do m. quadríceps	Supino (decúbito dorsal), joelho a 90°, contração do m. quadríceps	A tíbia subluxada posteriormente deslocar-se anteriormente se o LCP estiver lesionado
<i>Pivot shift</i> reverso	Supino (decúbito dorsal), flexão do joelho a 45°, RL, aplicar uma força em valgo na parte proximal da tíbia e, em seguida, estender o joelho	Estalo com o joelho em extensão indica lesão do LCP (Se o LCP está lesionado, a tíbia estará subluxada posteriormente e será reduzida no momento da extensão, causando o estalo.)
Ligamentos Colaterais		
Estresse em valgo	Força lateral sobre o joelho a 30° e, em seguida, a 0°	Frouxidão em 30° – lesão do LCT; 0° – lesão do LCT e do ligamento cruzado
Estresse em varo	Força medial sobre o joelho a 30° e, em seguida, a 0°	Frouxidão em 30° – lesão do LCF; 0° – lesão do LCF e do ligamento cruzado
Outros		

Rotação lateral em prono a 30° e 90° (Dial)	Prono (decúbito ventral), RL de ambos os joelhos a 90° e, em seguida, a 30° (pode ser realizado em supino)	Rotação lateral aumentada em 30°: lesão do complexo do canto posterolateral (CPL); em 90° lesão do CPL e LCP
Recurvato rotação lateral	Supino, membros inferiores estendidos, erguer os pés (pernas) pelos dedos	Recurvato, varo e rotação medial do joelho indicam lesão do CPL (+/- LCP)
Slocum	Joelho a 90°, RM da tíbia a 30°, força anterior Joelho a 90°, RL da tíbia a 30°, força anterior	Desvio: lesão anterior e lateral (LCA e CPL) Desvio: lesão anterior e medial (LCA, LCT, LPO)
Gaveta posterolateral	Joelho a 90°, RL da tíbia a 15°, força posterior	Frouxidão indica lesão do canto posterolateral e/ou LCP
Gaveta posteromedial	Joelho a 90°, RM da tíbia a 30°, força posterior	Frouxidão indica lesão do LCP e do ligamento medial (LCT, LPO)



CÔNDILO LATERAL DO FÊMUR	CÔNDILO MEDIAL DO FÊMUR	CABEÇA DA FÍBULA	PARTE PROXIMAL DA TÍBIA
ORIGENS			
M. gastrocnêmio (cabeça lateral) M. plantar M. poplíteo (anterior e inferior ao LCF) Ligamentos Ligamento colateral fibular (LCF)	M. gastrocnêmio (cabeça medial)	M. sóleo	M. tibial anterior (tubérculo de Gerdy) M. extensor longo dos dedos
INSERÇÕES			
	M. adutor magno (tubérculo do adutor) Ligamentos Ligamento colateral tibial (LCT)	M. bíceps femoral Ligamentos Ligamento colateral fibular (LCF) Ligamento poplíteofibular Ligamento poplíteo arqueado Ligamento fabelofibular	M. quadríceps (tuberosidade da tibia) Trato iliotibial (tubérculo de Gerdy) Pata de ganso (mm. sartório, grácil e semitendíneo) M. semimembráceo (posteromedialmente) M. poplíteo (posteriormente) Ligamentos Ligamento colateral tibial (LCT)

MÚSCULOS



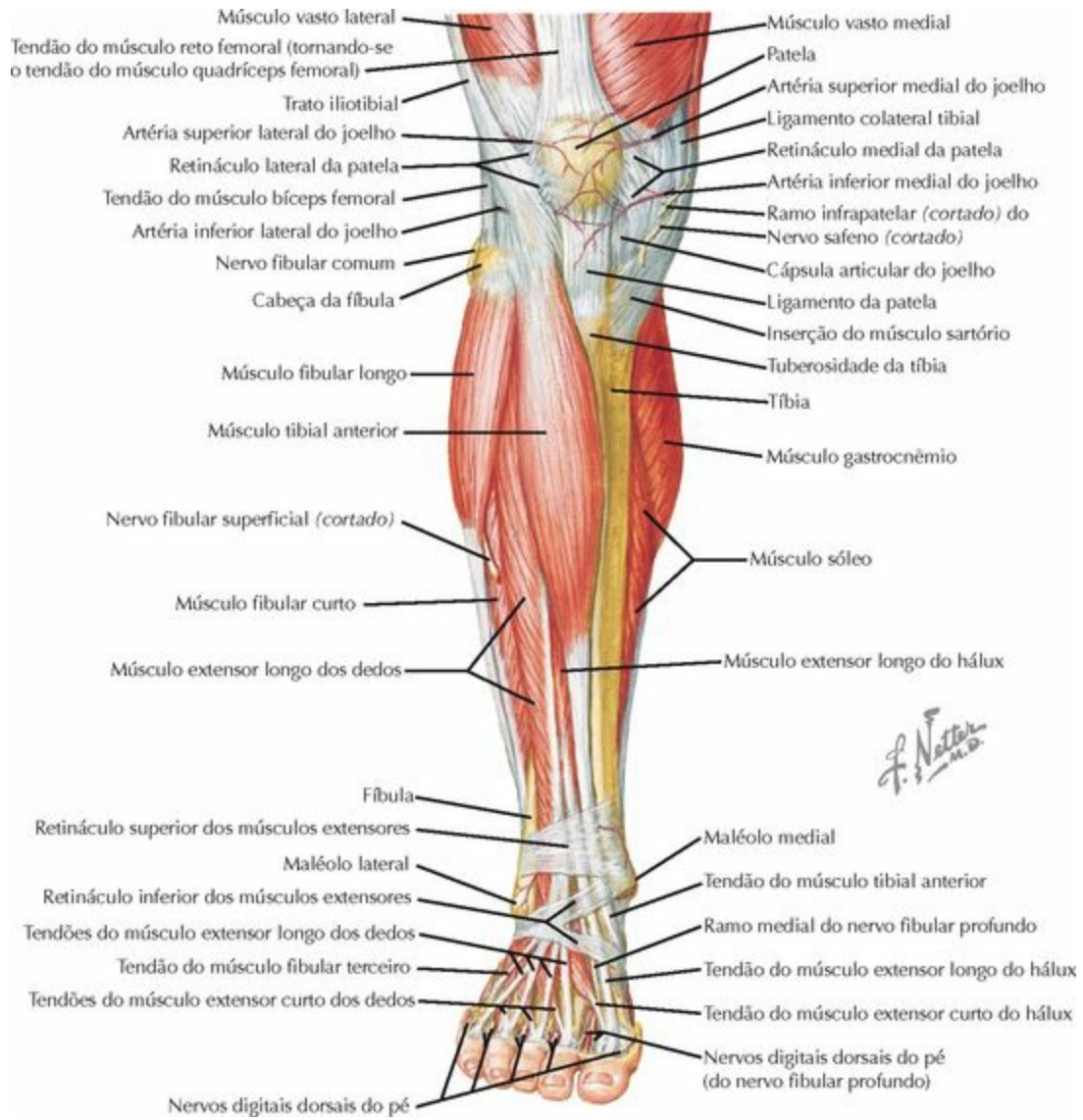
COMPARTIMENTO	MÚSCULOS	ESTRUTURAS NEUROVASCULARES
COMPARTIMENTOS (4)		
Anterior	Tibial anterior (TA) Extensor longo do hálux (ELH) Extensor longo dos dedos (ELD) Fibular terceiro	Nervo fibular profundo Artéria e veias tibiais anteriores
Lateral	Fibular longo Fibular curto	Nervo fibular superficial
Posterior (parte superficial)	Gastrocnêmio Sóleo Plantar	Nenhuma
Posterior (parte profunda)	Tibial posterior (TP) Flexor longo do hálux (FLH) Flexor longo dos dedos (FLD) Poplíteo	Nervo tibial Artéria e veias tibiais posteriores Artéria e veias fibulares
FASCIOTOMIAS		

Anterolateral

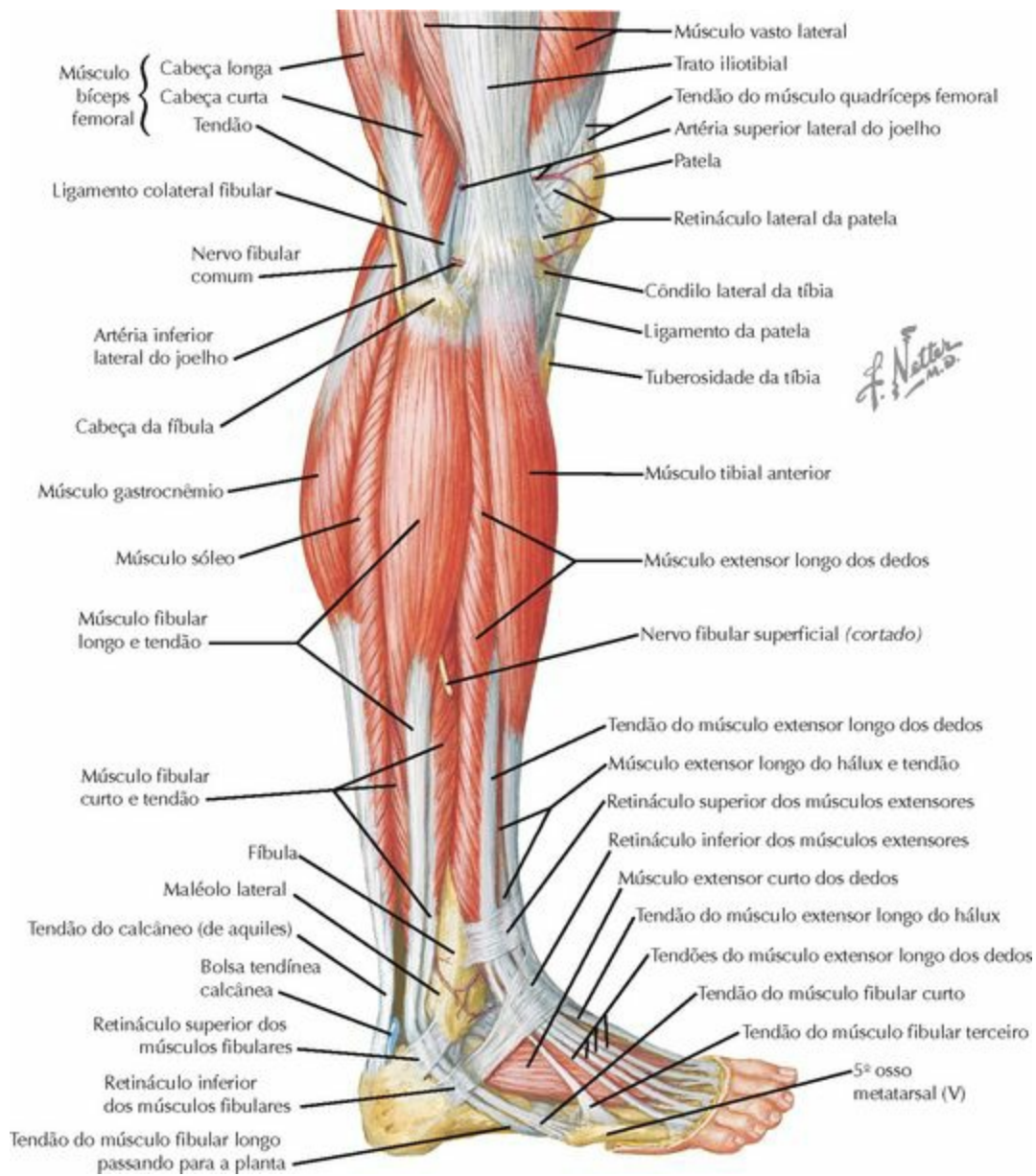
Centralizada sobre o septo intermuscular entre os compartimentos anterior e lateral

Posteromedial

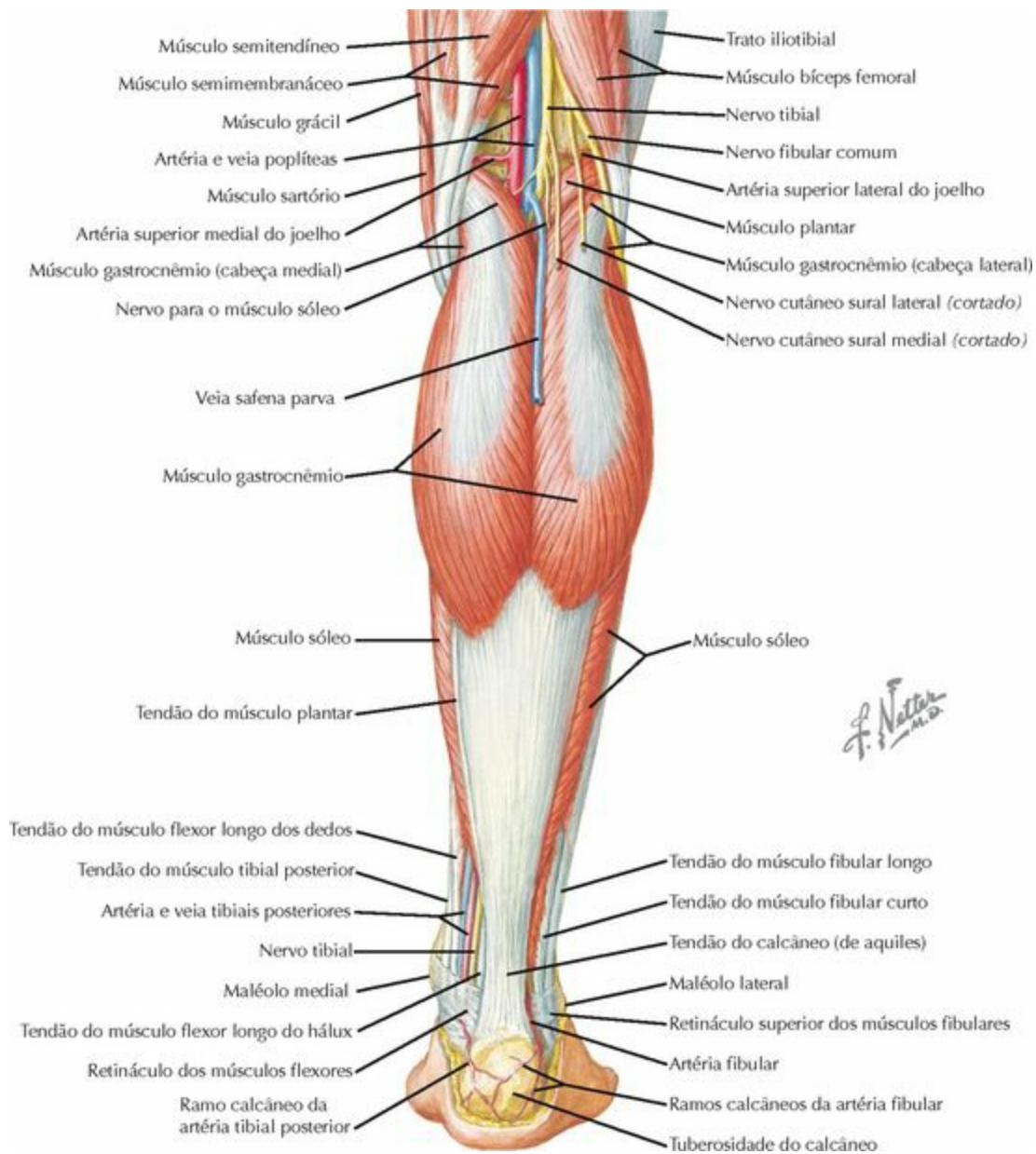
Centralizada sobre a margem posterior da tíbia entre as partes superficial e profunda do compartimento posterior



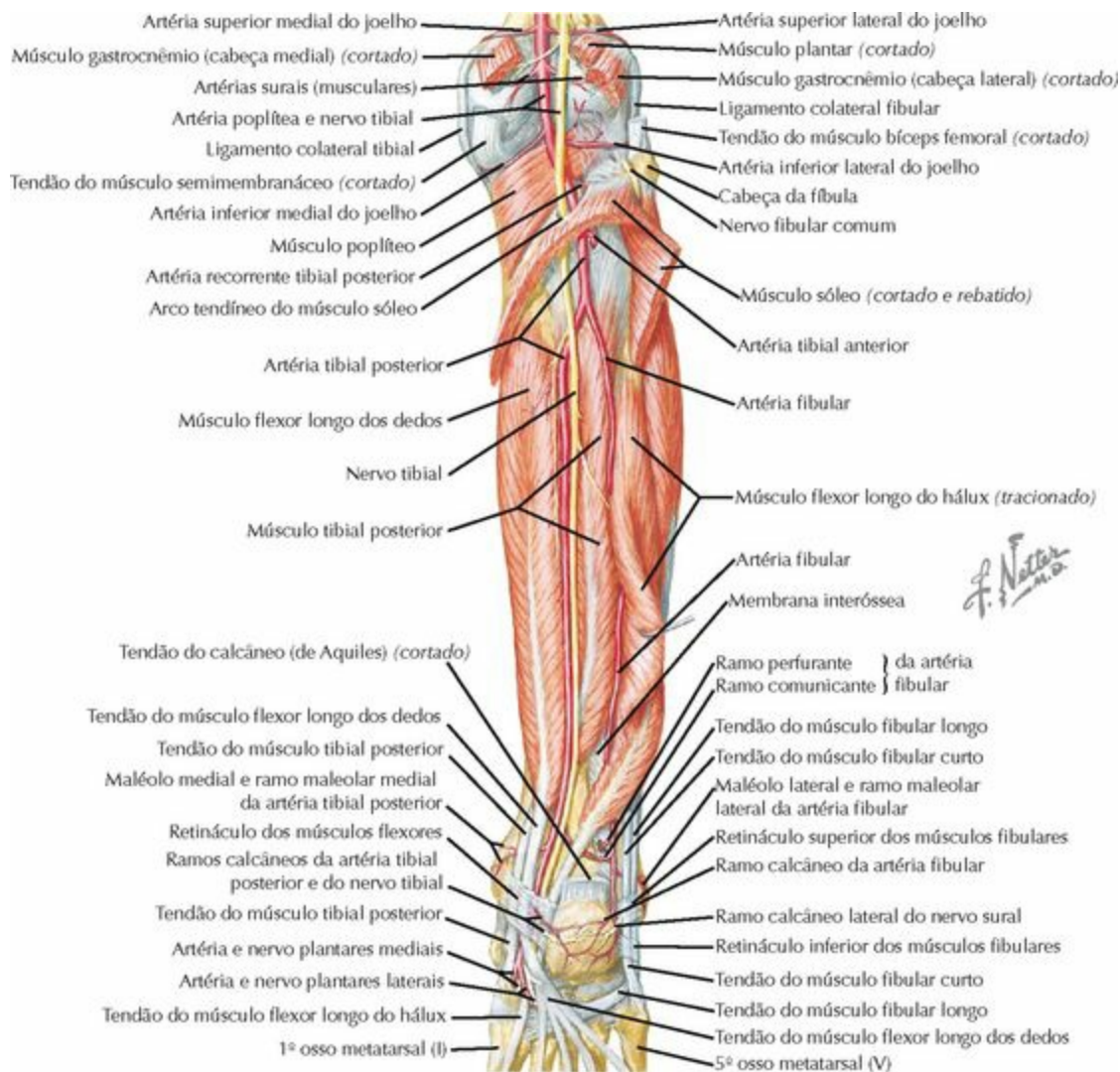
MÚSCULO	ORIGEM (Inserção Proximal)	INSERÇÃO (Inserção Distal)	NERVO	AÇÃO	COMENTÁRIO
COMPARTIMENTO ANTERIOR DA PERNA					
Tibial anterior (TA)	Parte proximal da face lateral da tíbia, (tubérculo de Gerdy)	Cuneiforme medial, base do 1º osso metatarsal (I) (região plantar)	Fibular profundo	Flexão dorsal, inversão do pé	Testar a função motora de L4
Extensor longo do hálux (ELH)	Face medial da fíbula, membrana interóssea	Base da falange distal do hálux	Fibular profundo	Flexão dorsal, extensão do hálux	Testar a função motora de L5
Extensor longo dos dedos (ELD)	Côndilo lateral da tíbia e parte proximal da fíbula	Bases das falanges média e distal (dos 4 dedos laterais)	Fibular profundo	Flexão dorsal, extensão dos dedos (4 laterais)	Um único tendão divide-se em 4 tendões
Fibular terceiro	Parte distal da fíbula, membrana interóssea	Base do 5º osso metatarsal (V)	Fibular profundo	Flexão dorsal, eversão do pé (fraca)	Frequentemente unido ao ELD



MÚSCULO	ORIGEM (INSERÇÃO PROXIMAL)	INSERÇÃO (INSERÇÃO DISTAL)	NERVO	AÇÃO	COMENTÁRIO
COMPARTIMENTO LATERAL DA PERNA					
Fibular longo	Parte proximal lateral da fíbula	Cuneliforme medial (região plantar), base do 1º osso metatarsal (I) (região plantar)	Fibular superficial	Flexão plantar do pé (1ª raio)	Testar a função motora de S1; passa sob o pé
Fibular curto	Parte distal lateral da fíbula	Base do 5º osso metatarsal (V)	Fibular superficial	Eversão do pé	Pode causar fratura por avulsão da base do 5º osso metatarsal (V); possui o ventre muscular mais distal

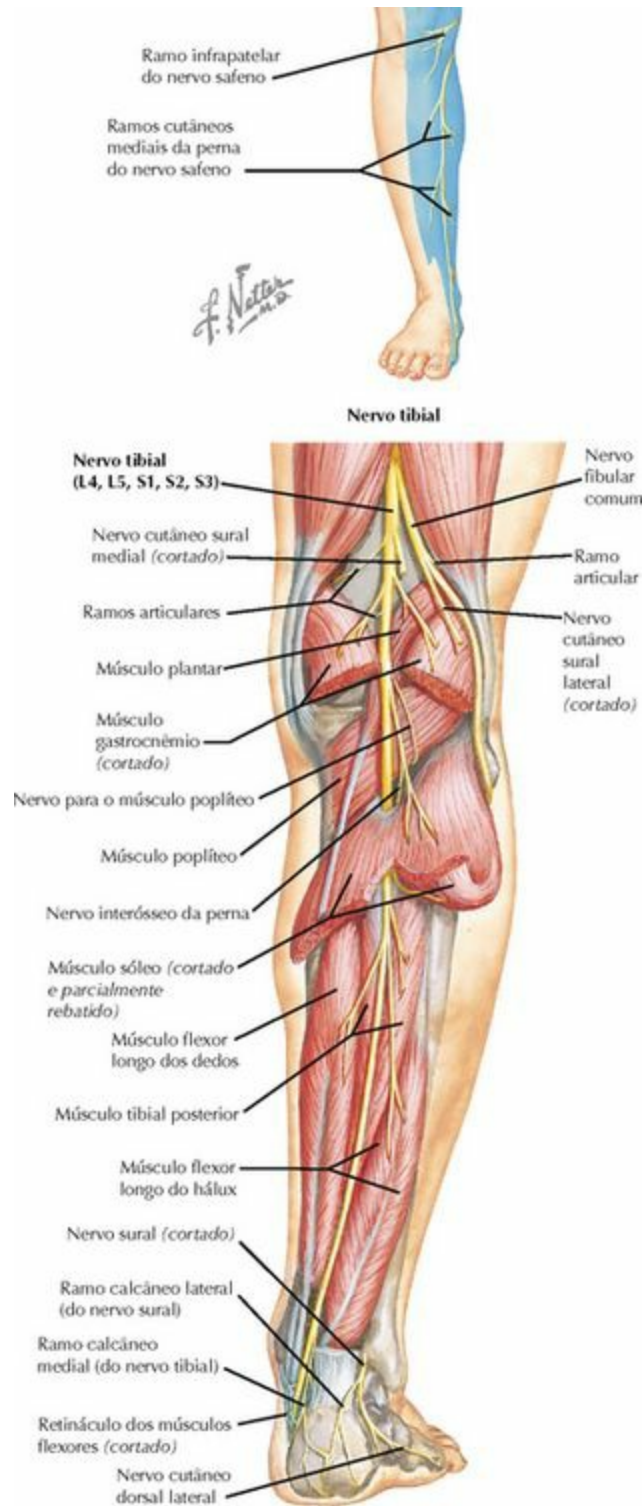


MÚSCULO	ORIGEM (Inserção Proximal)	INSERÇÃO (Inserção Distal)	NERVO	AÇÃO	COMENTÁRIO
COMPARTIMENTO POSTERIOR DA PERNA (PARTE SUPERFICIAL)					
Gastrocnêmio	Côndilos medial e lateral do fêmur	Calcâneo (via tendão do calcâneo)	Tibial	Flexão plantar	Testar a função motora de S1; duas cabeças, a fabela localiza-se no tendão da cabeça lateral
Sóleo	Região posterior da cabeça da fibula/linha para o músculo sóleo na tibia	Calcâneo (via tendão do calcâneo)	Tibial	Flexão plantar	Une-se ao músculo gastrocnêmio no tendão do calcâneo
Plantar	Linha supracondilar lateral do fêmur	Calcâneo	Tibial	Flexão plantar (fraca)	O tendão longo pode ser coletado para reconstrução de tendão



MÚSCULO	ORIGEM (Inserção Proximal)	INSERÇÃO (Inserção Distal)	NERVO	AÇÃO	COMENTÁRIO
COMPARTIMENTO POSTERIOR DA PERNA (PARTE PROFUNDA)					
Poplíteo	Côndilo lateral do fêmur (anterior e distal ao LCF)	Parte proximal posterior da tibia	Tibial	RM da tibia/joelho (durante a fase de "balanço")	A origem é intra-articular ; restritor primário para a RL do joelho
Flexor longo do hálux (FLH)	Região posterior da fíbula	Base da falange distal do hálux	Tibial	Flexão plantar do hálux	Testar a função motora de S1
Flexor longo dos dedos (FLD)	Região posterior da tibia	Bases das falanges distais dos 4 dedos laterais	Tibial	Flexão plantar dos 4 dedos laterais	No tornozelo, o tendão está imediatamente anterior à artéria tibial posterior
Tibial posterior (TP)	Região posterior da tibia, fíbula e membrana interóssea	Cuneiformes, navicular, bases dos metatarsais (região plantar)	Tibial	Flexão plantar e inversão do pé (na fase da " saída do calcanhar ")	Ruptura do tendão/ degeneração pode resultar em pé plano adquirido

NERVOS



PLEXO LOMBAR

Divisão Posterior

Safeno (L2-L4): ramo do nervo femoral, dirige-se para a perna posteromedialmente, superficial à fáscia do músculo sartório (em risco no acesso medial direto, p. ex., no **acesso ao menisco medial**). Em seguida, ele emite o **ramo infrapatelar** (em risco no acesso anteromedial e pela

linha média, p. ex., na reconstrução do **ligamento cruzado anterior**) e desce pela região medial da perna

Sensitivo: Região infrapatelar: via **ramo infrapatelar**
Região medial da perna: via **ramos cutâneos** mediais da perna

Motor: Nenhum (na perna)

PLEXO SACRAL

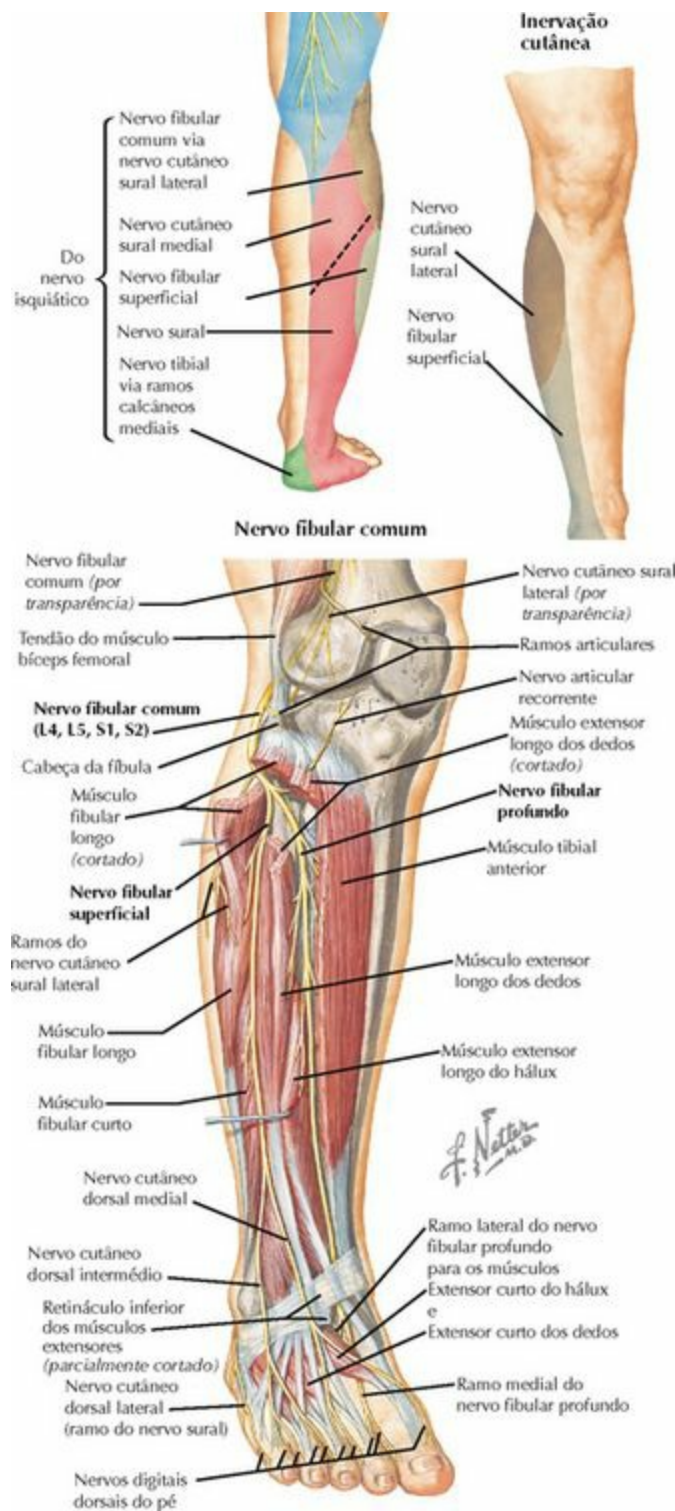
Divisão Anterior

Tibial (L4-S3): desce entre as cabeças do músculo gastrocnêmio para o interior da perna, posterior ao músculo tibial posterior (no compartimento posterior – parte profunda) em direção ao tornozelo imediatamente posterior ao maléolo medial entre os tendões do FLH e FLD

Sensitivo: Parte proximal da região posterolateral da perna: **via nervo cutâneo sural medial**

Motor:

- Compartimento posterior (parte superficial)
 - M. plantar
 - M. gastrocnêmio
 - M. sóleo: via **nervo para o m. sóleo**
- Compartimento posterior (parte profunda)
 - M. poplíteo: via **nervo para o m. poplíteo**
 - M. tibial posterior (TP)
 - M. flexor longo dos dedos
 - M. flexor longo do hálux



PLEXO SACRAL

Divisão Posterior

Fibular comum (L4-S2): surge da divisão do nervo isquiático na parte distal da região posterior da coxa, com trajeto posteroinferior ao músculo bíceps femoral, ao redor do colo da fíbula (pode ser comprimido ou lesionado); em seguida, divide-se em 2 ramos

Sensitivo: Parte proximal da região lateral da perna: via nervo **cutâneo sural lateral**

Motor: Nenhum (antes de se dividir)

Fibular profundo: segue no compartimento anterior da perna com a **artéria tibial anterior**,

posterior ao músculo tibial anterior sobre a membrana interóssea

Sensitivo: Nenhum (na perna)

Motor:

- Compartmento anterior
 - M. tibial anterior (TA)
 - M. extensor longo do hálux
 - M. extensor longo dos dedos
 - M. fibular terceiro

Fibular superficial: segue no compartimento lateral da perna, cruza anteriormente **12 cm** acima do maléolo lateral (lesionado no acesso lateral do tornozelo, p. ex., **redução aberta** e fixação interna do tornozelo) para o dorso do pé; em seguida, divide-se em 2 ramos

Sensitivo: Região anterolateral da perna

Motor:

- Compartmento lateral
 - M. fibular longo (FL)
 - M. fibular curto (FC)

Outro

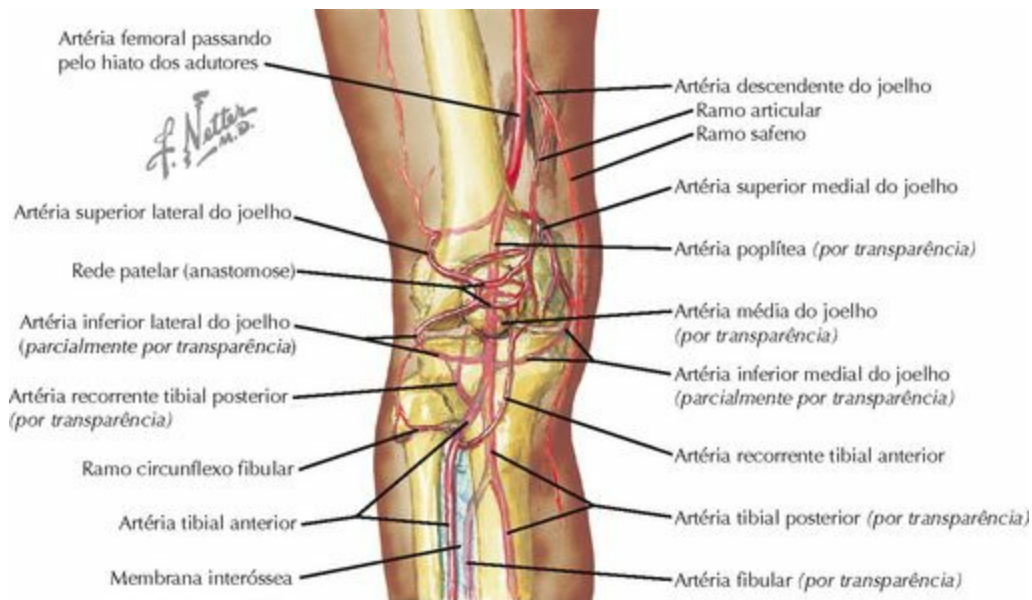
Sural: formado a partir do n. cutâneo **sural medial** (nervo tibial) e do n. cutâneo **sural lateral** (nervo fibular), segue subcutaneamente na porção posterolateral da perna, cruza o tendão do calcâneo (de aquiles) **10 cm** acima da inserção e, em seguida, em direção à região lateral do calcânhar.

Sensitivo: Porção posterolateral distal da perna

Motor:

Nenhum

ARTÉRIAS



TRAJETO

RAMOS

COMENTÁRIO/IRRIGAÇÃO

ARTÉRIA POPLÍTEA

Inicia no hiato dos adutores e segue pela fossa poplíteia, **posterior ao LCP** (pode ser lesionada aqui); em seguida, divide-se próximo ao músculo poplíteo

Superior lateral e superior medial do joelho

Artéria superior lateral do joelho em risco durante a **liberação lateral**

Inferior lateral e inferior medial do joelho

Artéria inferior lateral do joelho separa ligamentos/estruturas laterais da **3ª camada** do joelho

Artéria média do joelho

Irriga o **LCA**, o **LCP** e a membrana sinovial

Artérias tibiais **anterior e posterior**

Ramos terminais da artéria poplíteia

- Todas as quatro artérias do joelho anastomosam-se ao redor do joelho e da patela

ARTÉRIA TIBIAL ANTERIOR

Recorrente tibial

Irriga e anastomosa-se no

Passa entre os mm. tibial anterior e ELD dentro do compartimento anterior e localiza-se na membrana interóssea juntamente com o nervo *fibular* profundo

anterior joelho

Ramo circunflexo fibular Irriga a cabeça da fíbula e a região lateral do joelho

Maleolar lateral e medial Irriga a região anterior do maléolo

Dorsal do pé Ramos terminais no pé

- Irriga os músculos do compartimento anterior da perna

ARTÉRIA TIBIAL POSTERIOR

Segue com o nervo tibial na parte profunda do compartimento posterior, posteriormente ao músculo tibial posterior até o tornozelo, onde situa-se entre os tendões do FLD e FLH posterior ao maléolo medial (sua pulsação é **palpada** aqui)

Recorrente tibial posterior Irriga e anastomosa-se no joelho

Artéria **fibular** Irriga o compartimento lateral

Ramos perfurantes musculares Para os músculos dos compartimentos posteriores

Maleolar medial Irriga a região posterior do maléolo medial

Ramos calcâneos mediais Irriga a região medial do calcâneo/calcanhar

Plantar lateral e medial Ramos terminais no pé

- Irriga os músculos das partes superficial e profunda do compartimento posterior da perna

ARTÉRIA FIBULAR

Ramo da artéria tibial posterior, segue entre os músculos tibial posterior e flexor longo dos dedos no compartimento posterior

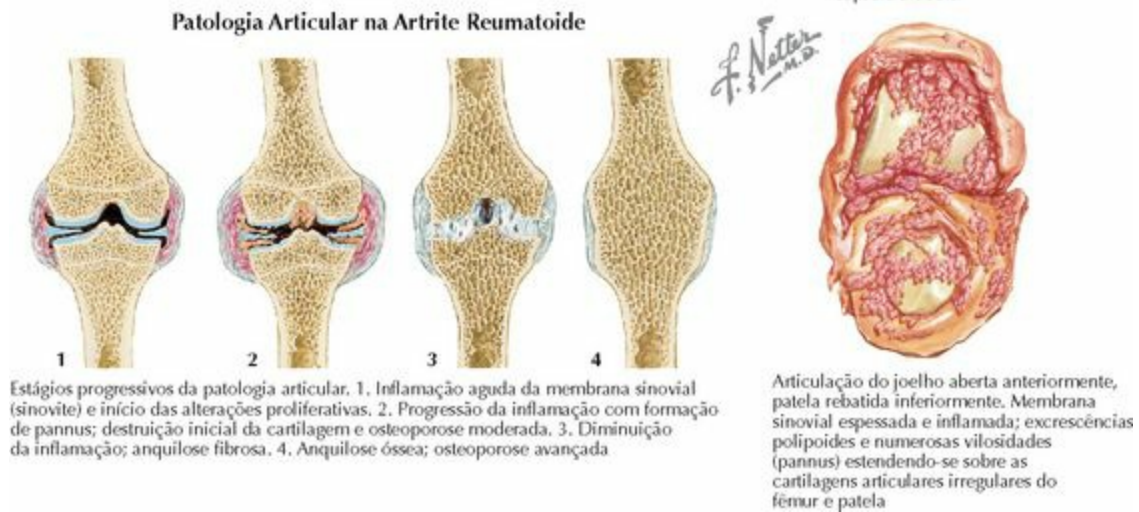
Ramos maleolares laterais Irriga a região posterior do maléolo lateral

Ramos calcâneos Irriga a região lateral do calcâneo/calcanhar

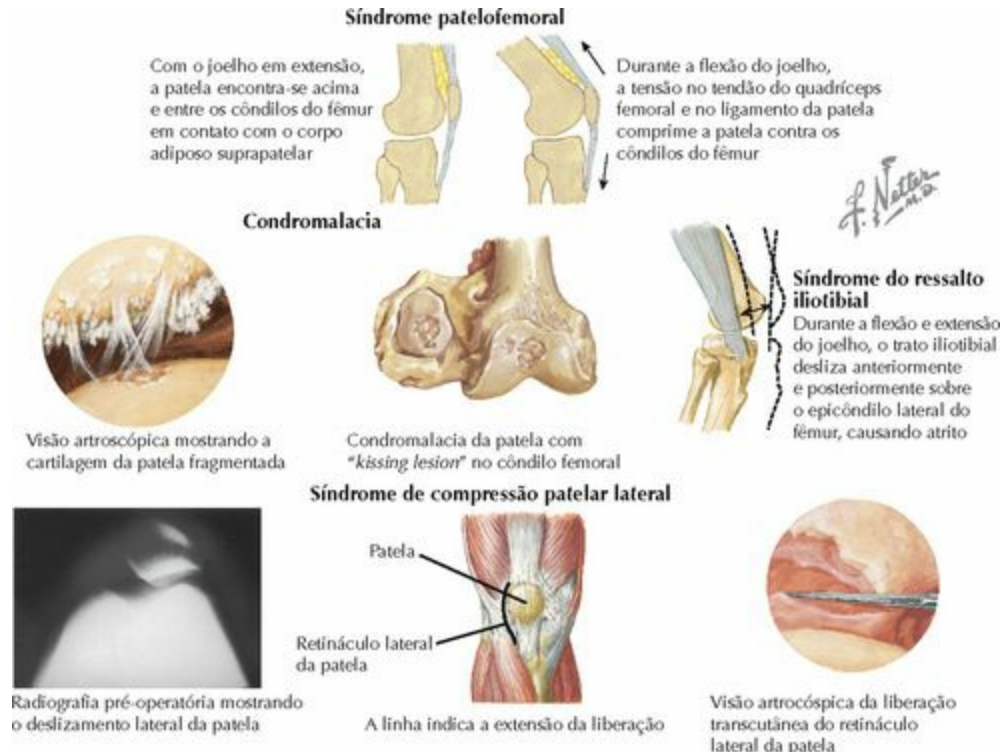
- Irriga os músculos do compartimento lateral da perna

- Veja os músculos das [páginas 315-319](#) para imagens adicionais das artérias

DISTÚRBIOS

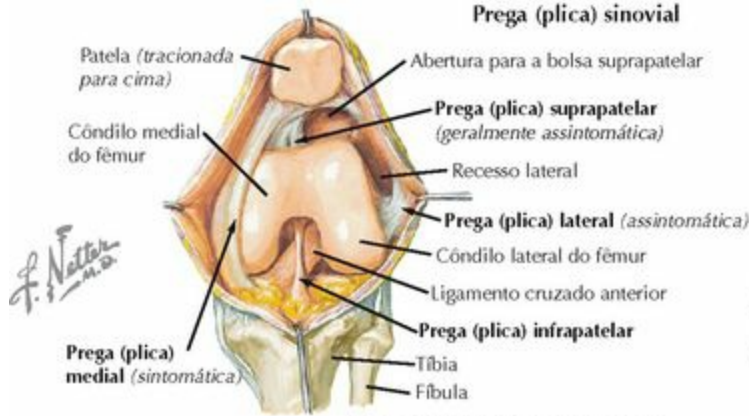


DESCRIÇÃO	HDA e EF	EXAMES COMPLEMENTARES/ACHADOS	TRATAMENTO
ARTRITE			
Osteoartrite			
<ul style="list-style-type: none"> Primária/idiopática ou secundária (p. ex., pós-traumática) Perda/deterioração da cartilagem articular Pode afetar 1 (<i>medial nº 1</i>) ou todos os 3 compartimentos no joelho 	<p>HDA: idosos, diminuindo o nível de atividade. Dor com suporte de peso e atividades</p> <p>EF: derrame articular, sensibilidade dolorosa na linha articular, +/- contração ou deformidade (<i>varo nº 1</i>)</p>	<p>RX</p> <p>1. Série para artrite</p> <ul style="list-style-type: none"> Diminuição do espaço articular Osteófitos Esclerose subcondral Cistos subcondrais <p>2. Visualização do alinhamento</p>	<ol style="list-style-type: none"> AINEs, modificação da atividade Fisioterapia, órtese, bengala Infiltrações de glicocorticosteroides Unicompartmental <ul style="list-style-type: none"> Osteotomia alta da tibia Artroplastia unicompartmental Tricompartmental: artroplastia total de joelho (ATJ)
Inflamatória			
<ul style="list-style-type: none"> Vários tipos: reumatoide, gota, soronegativo (p. ex., de Reiter) Na AR, a sinovite/formação de <i>pannus</i> destrói a cartilagem articular e, finalmente, toda a articulação 	<p>HDA: normalmente pacientes mais jovens. Dor, frequentemente em várias articulações</p> <p>EF: derrame articular, +/- calor, diminuição da ADM e deformidade</p>	<p>RX: série para artrite: estreitamento da articulação, erosão da articulação, anquilose, destruição da articulação</p> <p>LABS: hemograma completo, FR, AAN, PCR, cristais, cultura</p>	<ol style="list-style-type: none"> Inicial: controlar com medicamento Tardio <ul style="list-style-type: none"> Conservador: como osteoartrite Sinovectomia Artroplastia total de joelho



DESCRIÇÃO	HDA e EF	EXAMES COMPLEMENTARES/ ACHADOS	TRATAMENTO
DOR NA REGIÃO ANTERIOR DO JOELHO			
Síndrome Patelofemoral			
<ul style="list-style-type: none"> Dor na articulação patelofemoral Fatores agravantes: uso excessivo, instabilidade discreta ou desalinhamento, fraqueza do quadríceps Condromalacia pode estar presente, mas não necessariamente 	<p>HDA: Mulheres jovens e atletas.</p> <p>Dor com atividades (especialmente corrida e subir escadas) e ao permanecer sentado por longo tempo</p> <p>EF: + compressão da patela, +/- aumento do ângulo Q e/ou sinal do "J"</p>	<p>RX: 4 incidências: AP e <i>notch</i>: avaliação para OCD e OA</p> <p>Perfil: OA e índice de <i>Insall</i> Axial (<i>sunrise</i>): subluxação ou inclinação, OA, OCD</p>	<ul style="list-style-type: none"> AINEs, modificação da atividade Fisioterapia: ADM, fortalecimento do quadríceps, alongamento dos isquiotibiais, +/- órtese para os pés Realinhamento da patela (se apresentar desalinhamento)
Condromalacia Patelar			
<ul style="list-style-type: none"> Amolecimento ou desgaste da cartilagem articular da patela Termo frequentemente utilizado para designar qualquer dor na região anterior do joelho 	<p>HDA: Comumente pacientes jovens; dor; frequentemente em várias articulações</p> <p>EF: Derrame articular, diminuição da ADM e deformidade</p>	<p>RX: 4 incidências: avaliar como SPF (ver acima)</p>	<ul style="list-style-type: none"> AINEs, modificação da atividade Fisioterapia Desbridamento artroscópico/ condroplastia pode ajudar
Síndrome de Compressão Patelar Lateral			
<ul style="list-style-type: none"> Sobrecarga na face articular lateral durante a flexão Devido ao tensionamento das estruturas laterais (especialmente o retináculo lateral da patela) 	<p>HDA: comumente pacientes jovens; dor na região anterior do joelho</p> <p>EF: dor patelofemoral, diminuição de mobilidade/ deslocamento da patela</p>	<p>RX: 3 ou 4 incidências Axial (<i>sunrise</i>)/Merchant: avaliação para inclinação lateral da patela</p>	<ul style="list-style-type: none"> Fisiot.: alongamento dos tecidos laterais, fortalecimento do quadríceps +/- <i>taping</i> ou órtese de centralização Liberção lateral artroscópica
Síndrome do Trato Iliotibial			
<ul style="list-style-type: none"> O trato iliotibial atrita-se com o côndilo lateral do fêmur Comum em corredores/ciclistas 	<p>HDA: Dor durante atividade</p> <p>EF: Côndilo lateral do fêmur; sensibilidade dolorosa à palpação (joelho a 30°)</p>	<p>RX: AP/perfil: normal, excluir tumor</p>	<ul style="list-style-type: none"> AINEs, modificação da atividade, alongamento do trato iliotibial Excisão parcial (raro)

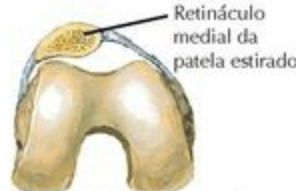
Prega (plica) sinovial



Subluxação e luxação da patela



Vista inferior. Normalmente, a patela percorre o sulco entre os côndilos medial e lateral do fêmur



Na subluxação, a patela desvia-se lateralmente; pode ser devido à fraqueza do músculo vasto medial, à tensão do retináculo lateral da patela e ao aumento do ângulo Q

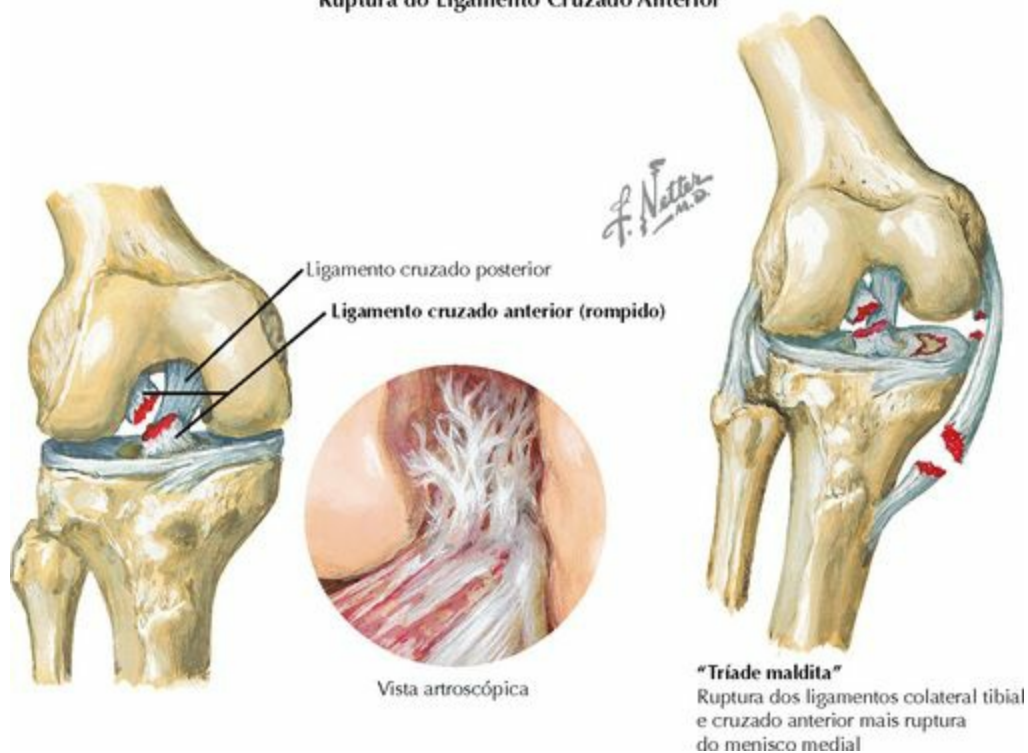
Retináculo medial da patela/ligamento patelofemoral medial rompido



Na luxação, a patela desloca-se completamente para fora do sulco intercondilar

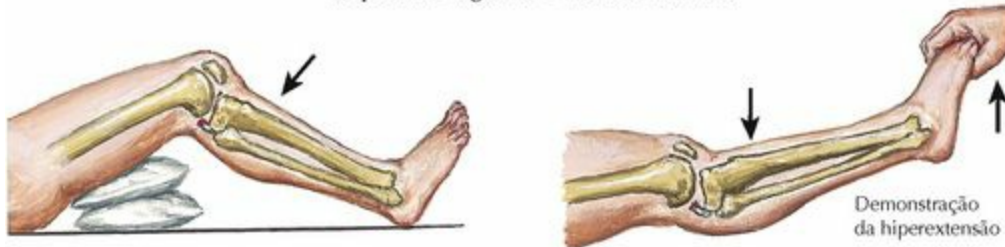
DESCRIÇÃO	HDA e EF	EXAMES COMPLEMENTARES/ ACHADOS	TRATAMENTO
DOR NA REGIÃO ANTERIOR DO JOELHO			
Instabilidade Patelar			
<ul style="list-style-type: none"> • Subluxação ou luxação da patela (lateral nº 1) • Associada a variações anatômicas • Ligamento patelofemoral medial é a estrutura chave 	<p>HDA: dor e instabilidade patelar</p> <p>EF: + teste de apreensão patelar, +/- aumento do ângulo Q, joelho valgo, anteversão femoral</p>	<p>RX: 3 ou 4 incidências: avaliação de fratura e posição da patela (lateral e/ou patela alta)</p> <p>RM: se aguda, avallar ligamento patelofemoral medial</p>	<ul style="list-style-type: none"> • Aguda: reparar ligamento patelofemoral medial • Recorrente/crônica: fisioterapia, órtese; cirurgia para realinhamento patelar
Tendinite Patelar			
<ul style="list-style-type: none"> • Observada em saltadores (p. ex., jogadores de basquete/vôlei) • Pequenas lesões na inserção distal do tendão 	<p>HDA: esporte, dor na região anterior do joelho (piora com atividade)</p> <p>EF: sensibilidade dolorosa à palpação do ápice da patela</p>	<p>RX: AP/perfil: normal</p> <p>RM: aumento do sinal na inserção (ápice da patela) ou intrassubstancial</p>	<ul style="list-style-type: none"> • AINEs, alongamento e fortalecimento do quadríceps e isquiotibiais • Desbridamento cirúrgico (raro)
Prega (plica)			
<ul style="list-style-type: none"> • Prega na membrana sinovial (remanescente embrionário) torna-se espessa ou inflamada • Prega (plica) medial nº 1 	<p>HDA: dor anteromedial, +/- crepitação/pinçamento</p> <p>EF: sensível, prega palpável, +/- estala com a flexão</p>	<p>RX: séries de joelho. Avaliação de outras fontes de dor</p> <p>RM: de valor questionável</p>	<ul style="list-style-type: none"> • Gelo, AINEs • Modificação da atividade • Desbridamento artroscópico (se persistirem os sintomas)
Bursite pré-patelar			
<ul style="list-style-type: none"> • Etiologia: trauma ou uso excessivo (p. ex., ajelhar-se por tempo prolongado) • "Joelho da dona de casa" • Inflamatória ou séptica 	<p>HDA: dor no joelho e edema</p> <p>EF: edema em forma de "ovo" na região anterior da patela, sensibilidade dolorosa à palpação, +/- de sinais de infecção</p>	<p>RX: séries de joelho: geralmente normal</p> <p>LAB: hemograma completo, VHS, +/- na aspiração: coloração de Gram e contagem de células</p>	<ul style="list-style-type: none"> • Inflamatória: gelo, AINEs, joelheiras, repouso, +/- de aspiração; bursectomia se persistente • Séptica: bursectomia, antibiótico

Ruptura do Ligamento Cruzado Anterior



DESCRIÇÃO	HDA e EF	EXAMES COMPLEMENTARES/ ACHADOS	TRATAMENTO
LESÕES LIGAMENTARES			
Cruzado Anterior			
<ul style="list-style-type: none"> Mecanismo: lesão por torção, geralmente sem contato Associado a outras lesões: laceração do menisco e do ligamento colateral (todos os 3 = tríade maldita) Comum em atletas do sexo feminino 	<p>HDA: lesão por torção, "estalo", edema, incapacidade de continuar jogando</p> <p>EF: derrame articular (hemartrose) + Lachman (mais sensível), + gaveta anterior, + pivot shift</p>	<p>RX: séries de joelho (fratura de Segond é patognomônico para LCA)</p> <p>RM: LCA ausente/avulsionado, +/- contusão óssea (no meio do côndilo lateral do fêmur – porção posterior da face articular superior lateral da tibia)</p> <p>Artrocentese: hemartrose</p>	<p>Com base na estabilidade funcional</p> <ul style="list-style-type: none"> Paciente estável/baixa demanda: modificação da atividade, fisiot., órtese Paciente instável/atletas/ativos: reconstrução cirúrgica (enxertos: osso-tendão-osso, isquiotibiais, autoenxerto)
<p>COMPLICAÇÕES: artrofibrose, falha/recidiva (1. erro da técnica, 2. lesão ligamentar não diagnosticada, 3. trauma repetitivo)</p>			
Canto Posterolateral			
<ul style="list-style-type: none"> Mecanismo: golpe direto ou lesão em hiperextensão/varo LCF, lig. poplíteo e lig. poplíteofibular são lesionados. Estes são foco de reconstrução cirúrgica Pode estar associado à lesão do LCP 	<p>HDA: trauma, dor e instabilidade</p> <p>EF: +/- derrame articular, + teste de RL em prono a 30°, +/- testes de gaveta posterolateral e recurvato na RL</p>	<p>RX: séries de joelho. Podem ocorrer fraturas por avulsão (cabeça da fíbula). Alinhamento: avaliar o varo</p> <p>RM: para avaliar todos os ligamentos e tecidos moles</p>	<ul style="list-style-type: none"> Não cirúrgico (conservador): baixos graus (lesões graus 1 e 2): órtese e fisioterapia Reparação cirúrgica: aguda de grau 3 Reconstrução cirúrgica: lesão crônica ou combinada, osteotomia alta da tibia se em varo

Ruptura do Ligamento Cruzado Anterior



Sinal da translação posterior.
Perna cai posteriormente

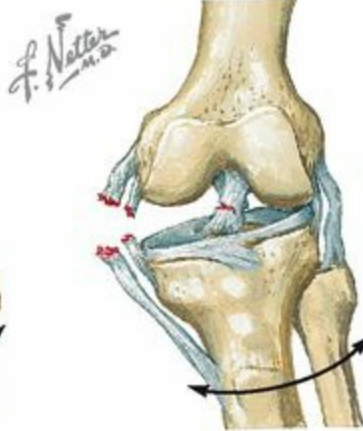
Lesão do ligamento colateral



Entorse grau 1. Dor localizada na articulação e sensibilidade, mas sem lassidão articular



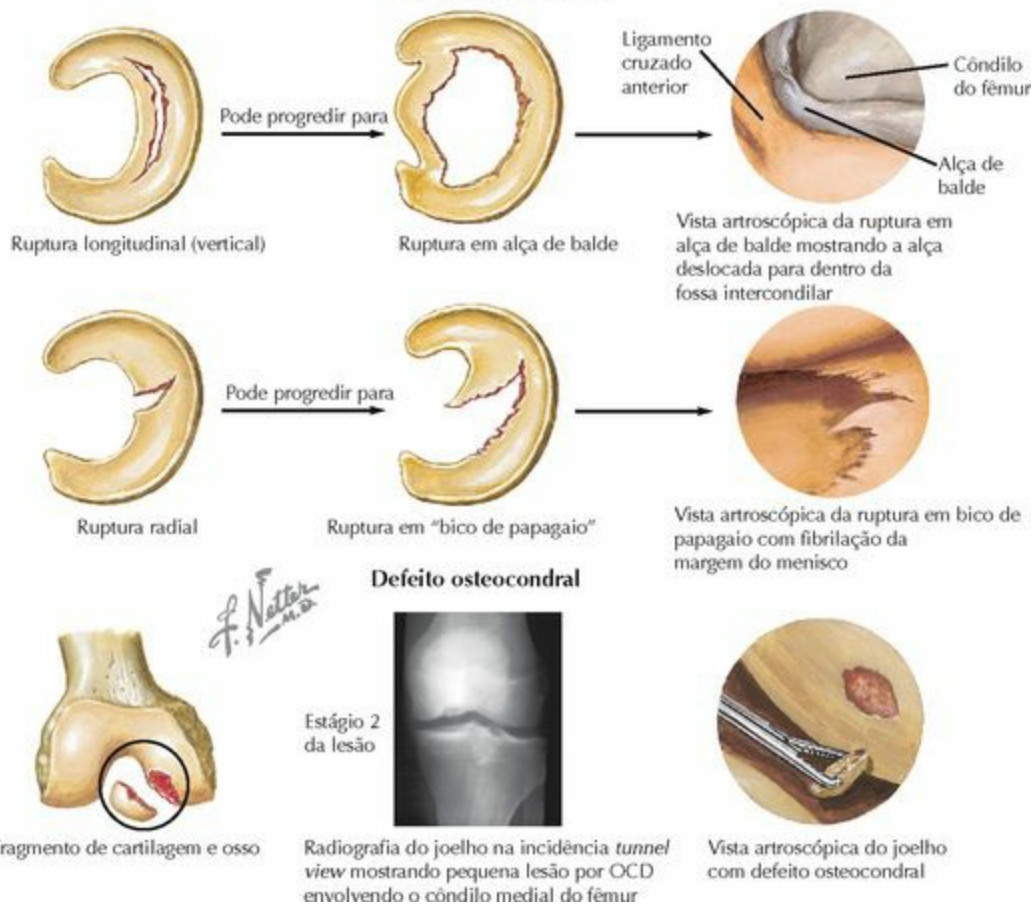
Entorse grau 2. Lassidão articular detectável com bom "end point" mais dor e sensibilidade localizadas



Entorse grau 3. Ruptura completa dos ligamentos e instabilidade articular grave

DESCRIÇÃO	HDA e EF	EXAMES COMPLEMENTARES/ ACHADOS	TRATAMENTO
LESÕES LIGAMENTARES			
Cruzado Posterior			
<ul style="list-style-type: none"> Mecanismo: força anterior sobre a tibia (p. ex., trauma contra o painel do carro) ou esportes (hiperextensão) Associado a lesões do canto posterolateral e/ou colateral 	HDA: trauma (painel) ou lesões esportivas, dor EF: +/- derrame articular, + gaveta posterior, teste da contração do quadríceps e translação posterior	RX: séries de joelho. Procurar por fraturas por avulsão RM: confirma o diagnóstico. Avalia os meniscos e a cartilagem articular	<ul style="list-style-type: none"> Não cirúrgico (conservador): Isolado (especialmente lesão em graus 1 e 2): órtese e fisioterapia Reconstrução cirúrgica: falha do tratamento conservador, lesões combinadas, algum grau 3 isolado
Colateral Tibial			
<ul style="list-style-type: none"> Mecanismo: força em valgo Comum no futebol americano Geralmente lesionado na inserção proximal (epicôndilo medial do fêmur) 	HDA: trauma, dor e instabilidade EF: sensibilidade dolorosa no epicôndilo medial do fêmur ao longo do tendão. Dor/laxidão com estresse em valgo	RX: séries de joelho. Pode ocorrer avulsão do epicôndilo medial do fêmur (calcificada = Pelligrini-Stieda) RM: confirma o diagnóstico	<ul style="list-style-type: none"> Joelheira articulada Fisioterapia: ADM e fortalecimento Cirurgia: incomum
Colateral Fibular			
<ul style="list-style-type: none"> Mecanismo: força em varo Lesões isoladas são raras, normalmente combinada com o canto posterolateral (CPL) 	HDA: trauma, dor e instabilidade EF: sensibilidade lateral Dor/laxidão com estresse em varo	RX: séries de joelho. Pode ocorrer avulsão da cabeça da fibula RM: confirma o diagnóstico	<ul style="list-style-type: none"> Lesão isolada: joelheira articulada Lesão combinada: reparação cirúrgica ou reconstrução

Rupturas dos meniscos



DESCRIÇÃO	HDA e EF	EXAMES COMPLEMENTARES/ACHADOS	TRATAMENTO
CONDIÇÕES INTRA-ARTICULARES			
Ruptura dos Meniscos			
<ul style="list-style-type: none"> • Aguda: jovem, lesão por torção • Degenerativa: mais velhos +/- OA • Vários padrões de ruptura • Associada a outras lesões (ruptura do LCA, OCD etc.) • Medial > lateral 3:1 (como posterior mais comum) 	<p>HDA: dor e edema especialmente com atividades de flexão, +/- pinçamento ou bloqueio (p. ex., ruptura em alça de balde)</p> <p>EF: derrame articular, sensibilidade dolorosa na linha articular, + testes de McMurray/Apley</p>	<p>RX: séries de joelho: usualmente normal. OA inicial frequentemente vista em pacientes com lesões degenerativas</p> <p>RM: muito sensível para rupturas. Sinal de "LCP duplo" em deslocamento da ruptura em alça de balde</p>	<ul style="list-style-type: none"> • Sintomas pequenos/mínimos: tratamento conservador • Lesões periféricas (zona vermelha): reparo (melhor reparar com reconstrução do ligamento cruzado anterior) • Lesões centrais (zona branca): meniscectomia parcial
Defeito Osteocondral			
<ul style="list-style-type: none"> • Espectro: puramente cartilágneo para lesões osteocondrais • Traumático ou degenerativo • A osteocondrite dissecante é uma entidade separada, porém similar 	<p>HDA: frequentemente pacientes jovens/ativos. Dor (geralmente com suporte de peso), +/- crepitação, travamento</p> <p>EF: Inconsistente: +/- derrame articular, sensibilidade óssea dolorosa</p>	<p>RX: séries de joelho: 4 incidências (necessárias incidências PA a 45° e axial), considerar séries de alinhamento</p> <p>RM: boa modalidade para lesões puramente condrais</p>	<p>OCD desviada: fixação interna</p> <p>Condral:</p> <ul style="list-style-type: none"> ◦ Desbridamento ◦ Microfratura ◦ Transferência osteocondral (mosaicoplastia) ◦ Implante de condrócitos

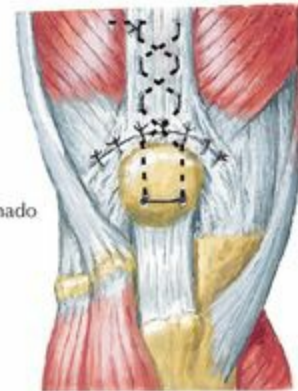
Ruptura do tendão do m. quadríceps femoral



Ruptura do tendão do músculo quadríceps femoral na margem superior da patela

F. Natter M.D.

Retináculo rompido fechado com suturas separadas

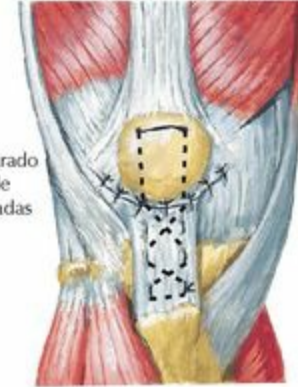


Ruptura do ligamento da patela



Ruptura do ligamento da patela na margem inferior da patela

Ligamento da patela rompido reparado com fio não absorvível por meio de furos na patela; as margens lesionadas do retináculo aproximadas com suturas interrompidas



DESCRIÇÃO	HDA e EF	EXAMES COMPLEMENTARES/ ACHADOS	TRATAMENTO
OUTROS			
Ruptura do Tendão do M. Quadríceps Femoral			
<ul style="list-style-type: none"> Mecanismo: contração excêntrica ou trauma indireto Pacientes geralmente com mais de 40 anos de idade Em geral, na junção musculotendínea 	<p>HDA: Idosos, queda/trauma</p> <p>EF: derrame articular, defeito palpável acima da patela. Incapacidade para realizar ou manter elevação da perna em extensão</p>	<p>RX: séries de joelho. Procurar por patela baixa</p> <p>RM: mostrará a ruptura do tendão. Frequentemente não é necessária. Pode ser útil em lesões parciais</p>	<ul style="list-style-type: none"> Aguda: reparação cirúrgica primária Crônica: reconstrução cirúrgica (alongamento do tendão ou procedimento de enxerto)
Ruptura do Ligamento da Patela			
<ul style="list-style-type: none"> Mecanismo: trauma direto ou indireto (carga excêntrica) Pacientes geralmente com menos de 40 anos de idade Associada a distúrbio do tendão subjacente e/ou metabólico 	<p>HDA: pacientes jovens, trauma, dor, diminuição da extensão do joelho</p> <p>EF: derrame articular, defeito palpável no tendão. Incapaz de elegar a perna em extensão</p>	<p>RX: séries de joelho. Procurar por patela alta</p> <p>RM: mostrará a ruptura do tendão. Em geral, não é necessária. Pode ser útil em rupturas parciais</p>	<ul style="list-style-type: none"> Aguda: reparação cirúrgica primária Crônica: reconstrução cirúrgica (alongamento do tendão ou procedimento de enxerto)
Tumor			
<p>Nº 1 em adolescentes: osteossarcoma; nº 1 em adultos: condrosarcoma; nº 1 benigno (adultos jovens): tumor de células gigantes</p>			

ARTROPLASTIA TOTAL DE JOELHO

Informações Gerais

- **Objetivos:** 1. Clínico: aliviar a dor, manter a independência pessoal, permitir a realização de atividades da vida diária (AVD) e recreação; 2. Cirúrgico: restaurar o alinhamento mecânico, restaurar a linha articular, equilíbrio dos tecidos moles (p. ex., ligamentos colaterais)
- Procedimento comum, com altos índices de satisfação para o procedimento primário. Reavaliações também são cada vez mais comuns. Avanços nas técnicas e materiais estão melhorando a sobrevida do implante; este procedimento já está disponível para os pacientes mais jovens

Materiais e Modelos

Materiais

- Componente femoral: cobalto-cromo comumente usado para a superfície articular do fêmur com haste de titânio
- Componente tibial/platô: não se articula com o componente femoral. Geralmente é feito de titânio
- Introdução da bandeja tibial: articula com o componente femoral; feito de **polietileno** (“UHMWPE” – polietileno de peso molecular ultra alto)
 - Polietileno (PE) tem boa durabilidade, mas produz partículas microscópicas que podem levar a afrouxamento do implante e falha
 - Polietileno deve ter, pelo menos, **8 mm** de espessura, *cross-linked* para uma melhor durabilidade, e esterilizado em ambiente **inerte** (sem O₂)
 - Design congruente (não plano) melhora a taxa de durabilidade e rolamento (aumento da flexão do joelho)
 - Moldagem por compressão direta é a técnica de produção preferida
- Cimento: metilmetacrilato

Modelos de próteses

- Não constricta: 2 tipos. Esses são os mais comuns para procedimentos cirúrgicos primários com deformidade mínima
 - Retenção do cruzado posterior (LCP) (“RC”): preserva o rolamento femoral para aumentar a flexão do joelho, mas aumenta o desgaste do PE
 - Substituição do cruzado posterior (LCP) (“estabilização posterior”) (“EP”): provê o rolamento mecânico, mas pode luxar. Indicado para pateleotomia, artrite inflamatória, LCP incompetente (p. ex., ruptura prévia do LCP etc.)
- Constricta (não “articulada”): usada para deficiência moderada do ligamento (LCT/LCF). Usa uma fixação central para fornecer estabilidade
- Constricta (“articulada”): usada para deficiência ligamentar global. Tem altas taxas de desgaste e falha
- Outra: modelos de suporte móvel estão disponíveis

Fixação

- Cimento. Mais comum
- Biológica. Técnicas de crescimento ósseo. Teoricamente tem vida mais longa, mas tem maior risco de falha

Indicações

- Artrite do joelho
 - Etiologias comuns: osteoartrite (idiopática, pós-traumática), artrite reumatoide, osteonecrose
 - Sintomas clínicos: dor no joelho, piora com atividade, piora gradual ao longo do tempo, diminuição da capacidade de ambulação
 - Achados radiográficos: evidência radiográfica relevante de artrite do joelho

OSTEOARTRITE

1. Estreitamento do espaço articular

2. Esclerose

3. Cistos subcondrais

4. Formação de osteófitos

ARTRITE REUMATOIDE

1. Estreitamento do espaço articular

2. Osteoporose periarticular

3. Erosões articulares

4. Anquilose

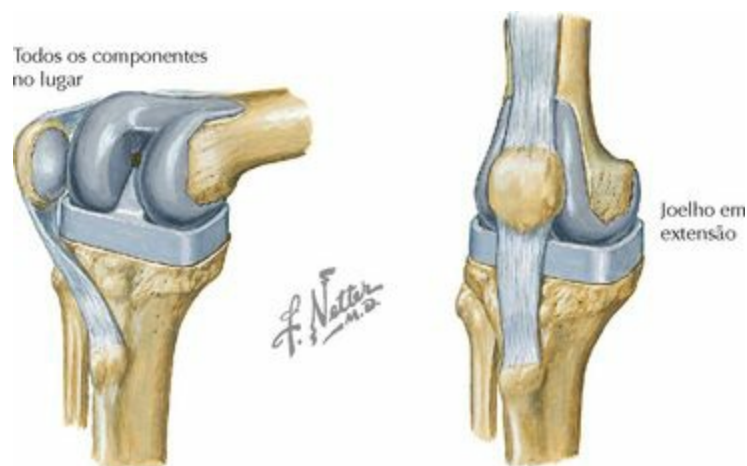
- Falha do tratamento conservador: AINE, modificação da atividade, perda de peso, fisioterapia, órteses (p. ex., órtese para restrição de carga medial), auxílio na ambulação (p. ex., bengala na mão contralateral), infiltrações (corticosteroides, viscosuplementação)

Contraindicações

- **Absolutas:** articulação neuropática, infecção, disfunção do mecanismo extensor, paciente clinicamente instável (p. ex., doença cardiopulmonar severa). O paciente pode não sobreviver ao procedimento
- **Relativas:** pacientes jovens e ativos. Esses pacientes podem desgastar as próteses muitas vezes em suas vidas

Alternativas

- Considerações: idade, nível de atividade, nível de saúde geral
- Osteotomia: pacientes relativamente jovens com patologia unicompartimental
 - Joelho valgo/DAD do compartimento lateral: varo femoral distal – gerando osteotomia
 - Joelho varo/DAD do compartimento medial: valgo tibial proximal – gerando osteotomia
- Artroplastia unicompartimental: patologia unicompartimental
- Artrodese/fusão: trabalhadores jovens com patologia unilateral isolada (p. ex., coluna vertebral, quadril e tornozelo normais)



ARTROPLASTIA TOTAL DE JOELHO

Procedimento

Acessos

- Incisão mediana com artrotomia parapatelar medial é a mais comum
- Incisões minimamente invasivas também estão sendo utilizadas. Equipamentos especiais são frequentemente necessários para as incisões pequenas

Passos

- Cortes ósseos
 - Corte do fêmur e da tíbia perpendicular ao eixo mecânico. Pode usar uma referência intramedular (fêmur/tíbia) ou extramedular (tíbia); isto irá restabelecer o alinhamento mecânico
 - O osso retirado do fêmur e da tíbia deve ser igual ao que será substituído pelo implante para manter/restaurar o alinhamento articular
- Implante – implantes de teste são inseridos primeiro para testar a adequação dos cortes ósseos
 - Os implantes devem ser ajustados da melhor forma possível ao osso natural
 - Fêmur posicionado a 3° de rotação lateral para acomodar um corte de osso perpendicular da parte proximal da tíbia (tipicamente em 3° de varo)
 - Eixo femoral determinado de **3 formas**: 1. eixo epicondilar, 2. eixo condilar posterior, 3. eixo AP – perpendicular à face patelar
- Balanço
 - Plano sagital: o objetivo é realizar flexão e extensão em intervalos iguais. Pode ser necessário cortar mais osso ou adicionar mais implante
 - Plano coronal: os tecidos moles são a preocupação primária. A regra é liberar o lado côncavo da deformidade
 - Deformidade em varo: liberar o lado medial: 1. LCT, parte profunda, 2. inserção posteromedial da cápsula/semimembranáceo, 3. LCT, parte superficial
 - Deformidade em valgo: liberar o lado lateral: 1. cápsula lateral, 2a. trato iliotibial (tensionado em extensão), 2b. m. poplíteo (tensionado em flexão), 3. LCF
 - Teste do polietileno: o joelho deve ser estabilizado e bem equilibrado com o polietileno de teste em posição
- Implantação final dos componentes

Complicações

- As complicações patelofemorais são as mais comuns: síndrome patelofemoral, dor patelofemoral, fratura patelar
- Artrofibrose: pode responder primeiro (<6 semanas) à manipulação sob anestesia
- Falha no mecanismo extensor: ruptura ou avulsão do ligamento da patela (dificuldade para reparar/reconstruir); fratura patelar
- Infecção: diagnosticada com exames laboratoriais e aspiração. A prevenção é essencial: antibióticos perioperatórios, técnica preparada/planejada meticulosamente etc. Tratamento: agudo/subagudo: irrigação e desbridamento com troca do PE. Posteriormente: revisão dos estágios 1 e 2
- Afrouxamento: mais comum com fixação biológica. Também causada pelas partículas microscópicas do desgaste do polietileno

- Lesão neurovascular
 - Nervo **fibular comum**: especialmente após a correção mecânica do eixo de um joelho **valgo** (o nervo é estirado)
 - **Artéria superior lateral do joelho**: pode ser identificada e cauterizada
- Complicações médicas: trombose venosa profunda (**TVP**) e embolia pulmonar (**EP**) são conhecidos riscos da ATJ A **profilaxia** deve ser iniciada
- Fratura periprotética
 - Fêmur: implante estável – haste ou dispositivo de ângulo fixo; implante instável – substituir com haste mais longa que passe no local da fratura

DISTÚRBIOS PEDIÁTRICOS

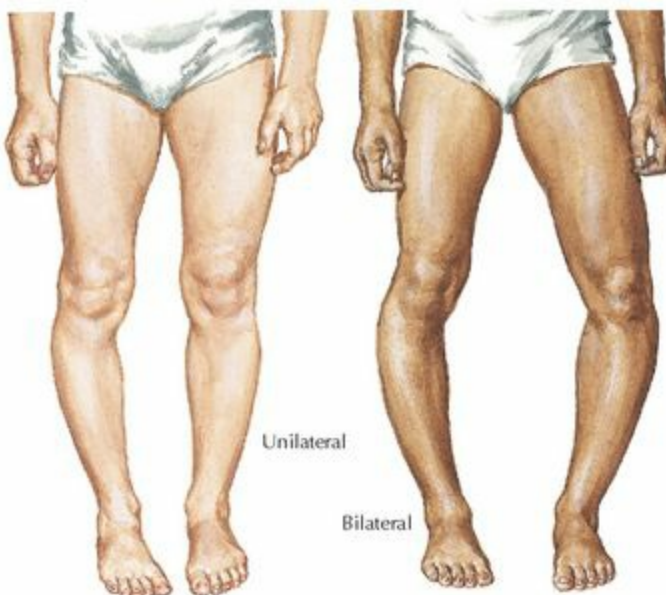


Joelho varo e valgo
(perna arqueada e joelhos em "X")

Dois irmãos, o mais novo (à esquerda) com as pernas arqueadas e o mais velho (à direita) com as pernas em "X" e os joelhos se tocando. Em ambos, os membros inferiores podem, finalmente, adquirir um alinhamento normal sem tratamento corretivo

Tíbia vara infantil (doença de Blount)

F. Netter M.D.



Unilateral

Bilateral

DESCRIÇÃO

AVALIAÇÃO

TRATAMENTO

JOELHO VARO (GENO VARO)

- Normal (fisiológico): **0-2 anos** de idade
- Patológico (**doença de Blount**): 2 tipos
 - Infantil: <3 anos de idade, **obesidade**, deambulação precoce
 - Adolescente: início insidioso >8 anos de idade

HDA: os pais relatam a deformidade
EF: joelho varo unilateral ou bilateral
RX: ângulo metadiafisial da tíbia (AMDT): <9° é normal, >16° é patológico/de Blount

- Fisiológico: observação
- Infantil: <3 anos de idade: órtese; >3 anos de idade: osteotomia
- Adolescente: hemiepifisiodese (fise aberta) ou osteotomia (fise fechada)

JOELHO VALGO (GENO VALGO)

- Normal (fisiológico): 2-5 anos de idade
- Patológico: tumores ósseos
 - Metabólico: osteodistrofia renal
 - Outros: trauma, infecção

HDA: os pais relatam a deformidade
EF: joelho valgo unilateral ou bilateral
RX: alinhamento na radiografia: em adultos normais, o valgo é de 6°

- Fisiológico: observação
- Patológico: hemiepifisiodesse ou osteotomia

Arqueamento posteromedial da tíbia

Arqueamento posteromedial
 A convexidade da curva no terço distal da tíbia e da fíbula direcionada posterior e medialmente. A correção espontânea geralmente elimina necessidade de realinhamento por osteotomia, mas a discrepância do comprimento da perna muitas vezes persiste



Arqueamento anterolateral da tíbia e pseudartrose congênita



Arqueamento anterolateral. Cavidade medular presente, mas estreita com mudanças escleróticas; cisto aparente. Propenso a fratura espontânea e pseudartrose



Pseudartrose congênita da tíbia
 Angulação da perna direita. As manchas "café com leite" na coxa e abdome sugerem relação com neurofibromatose

F. J. Netter M.D.

Arqueamento anterolateral
 Na infância, pode ser difícil predizer se o arqueamento anterolateral irá corrigir espontaneamente ou se o osso irá progredir para fratura e pseudartrose congênita. A progressão para pseudartrose é mais provável se a cavidade medular for estreita e apresentar alterações escleróticas

DESCRIÇÃO	AVALIAÇÃO	TRATAMENTO
ARQUEAMENTO DA TÍBIA		
Arqueamento Posteromedial		
		<ul style="list-style-type: none"> • Arqueamento resolve-se com o

- Convexidade congênita da tíbia
- Idiopática, unilateral
- Corrige a deformidade, mas a **discrepância do comprimento da perna** geralmente continua

HDA: deformidade presente ao nascimento

EF: o pé se apresenta em flexão dorsal (calcâneo valgo), a perna é arqueada

RX: arqueamento da tíbia e fibula

crescimento

- Resultante discrepância de comprimento da perna

- Leve: elevar o calçado
- Severo: hemiepifisiodesese

Arqueamento Anterolateral/Pseudartrose Congênita da Tíbia

- Arqueamento da tíbia, etiologia desconhecida
- Associada à **neurofibromatose**
- Arqueamento anterolateral pode levar à pseudartrose

HDA/EF: deformidade da perna e impotência funcional. Perna arqueada, +/- de sinais de neurofibromatose (p. ex., **manchas “café com leite”**)

RX: revela arqueamento ou pseudartrose

- Jovens/arqueamento da tíbia: órtese de contato total
- Pseudartrose: haste tibial/fixação externa e enxerto ósseo
- Amputação: se o tratamento cirúrgico falhar

Doença de Osgood-Schlatter



Inserção normal do ligamento da patela na tuberosidade da tíbia em ossificação



Na lesão de Osgood-Schlatter, a porção superficial da tuberosidade é tracionada anteriormente, formando fragmentos ósseos separados



Na condição de Osgood-Schlatter, a apófise da tuberosidade da tíbia é proeminente e apresenta ossificação irregular. Fragmentação e ossículos separados podem se desenvolver



Grande aumento da área envolvida



Radiografia mostrando a separação da porção superficial da tuberosidade da tíbia

Torção tibial

Avaliação do paciente para torção medial da tíbia.
Criança senta com os joelhos flexionados a 90°, calcanhares contra uma superfície plana e vertical. Patelas apontando diretamente para a frente, indicando que os fêmures estão em posição neutra, mas os pés apontam para dentro (medial), indicando torção medial da tíbia



DESCRIÇÃO

- Tração da apófise/osteocondrose da tuberosidade da tíbia (2º centro de ossificação)
- Esforço repetitivo de mecanismo extensor (p. ex., em **atletas** [mais comum])

AVALIAÇÃO

HDA: adolescente com dor no joelho, piora após atividade
EF: tuberosidade da tíbia edemaciada e sensível à palpação
RX: mostra centros de ossificação da tuberosidade da tíbia, +/- ossificação heterotópica

TRATAMENTO

- Sintomas desaparecem com o fechamento da apófise (durante a adolescência)
- Modificação da atividade/restricção
 - Gesso/órtese se os sintomas forem severos
 - Excisão dos ossículos não fundidos

DOENÇA DE OSGOOD-SCHLATTER

TORÇÃO TIBIAL

- Rotação medial

- Terá resolução

congenita da tibia

- Associada à diminuição do espaço intrauterino e outros “problemas de acondicionamento”

- Causa mais comum de marcha com o pé em **rotação medial**

HDA: 1-2 anos de idade, tropeços frequentes, “pé de pombo”

PE: marcha com o pé em rotação medial, pé negativo para o ângulo da coxa, ângulo de progressão medial do pé, **rotação medial do eixo transmaleolar** com a coxa/patela apontando para a frente

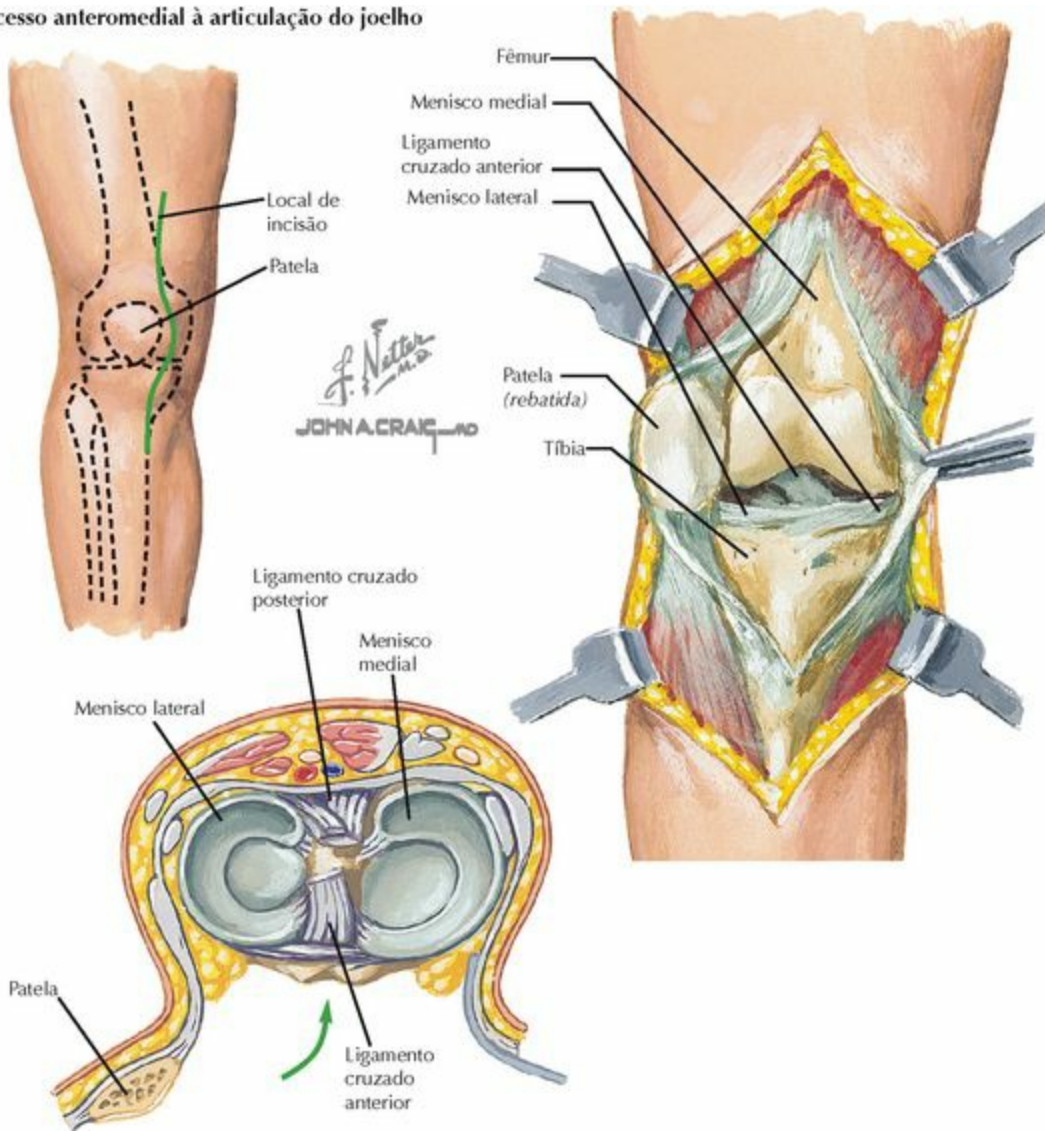
espontânea

- Órteses não promovem benefícios

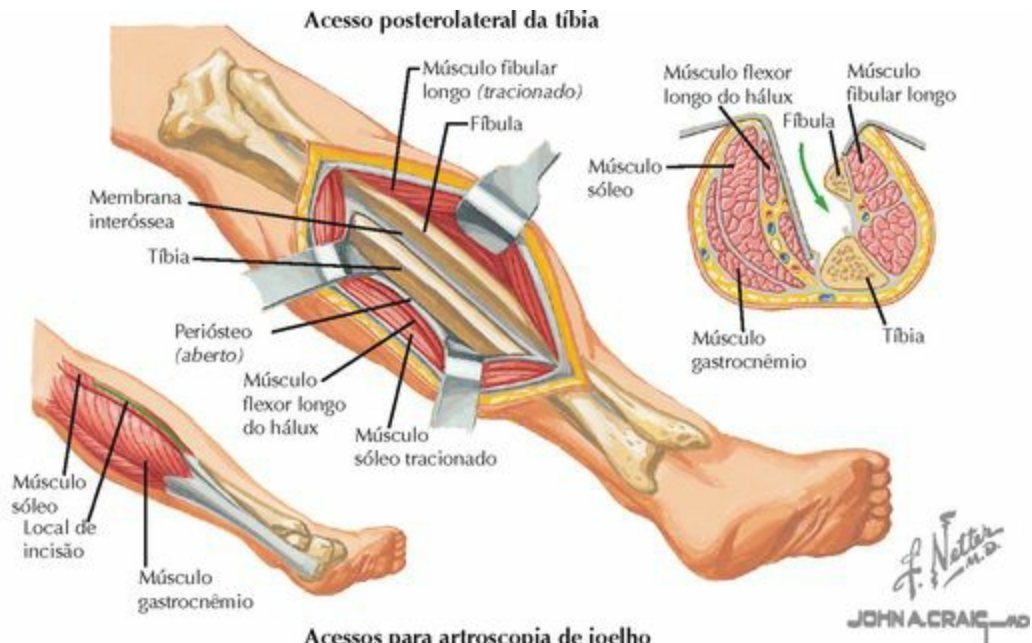
- Osteotomia supramaleolar se a deformidade persistir até o final da infância

ACESSOS CIRÚRGICOS

Acesso anteromedial à articulação do joelho



USOS	PLANO ENTRE OS NERVOS	RISCOS	COMENTÁRIO
JOELHO: ACESSO PARAPATELAR MEDIAL			
<ul style="list-style-type: none"> • Reconstrução ligamentar • Artroplastia total de joelho • Meniscectomia 	<ul style="list-style-type: none"> • Sem planos: a cápsula está abaixo da pele 	<ul style="list-style-type: none"> • Ramo infrapatelar do nervo safeno 	<ul style="list-style-type: none"> • Acesso mais comumente usado • Exposição maior/melhor • Pode desenvolver neuroma do nervo seccionado
PERNA/TÍBIA: ACESSO POSTEROLATERAL (HARMON)			
<ul style="list-style-type: none"> • Fraturas • Pseudartroses 	<ul style="list-style-type: none"> • Gastrocnêmios/ sóleo/ FLH (tibial) • Fibulares longo e curto (fibular superficial) 	<ul style="list-style-type: none"> • Vela safena parva • Artéria tibial posterior 	<ul style="list-style-type: none"> • Um acesso tecnicamente difícil • Enxerto ósseo em pseudartrose
FASCIOTOMIA			
Ver páginas 294 e 315			

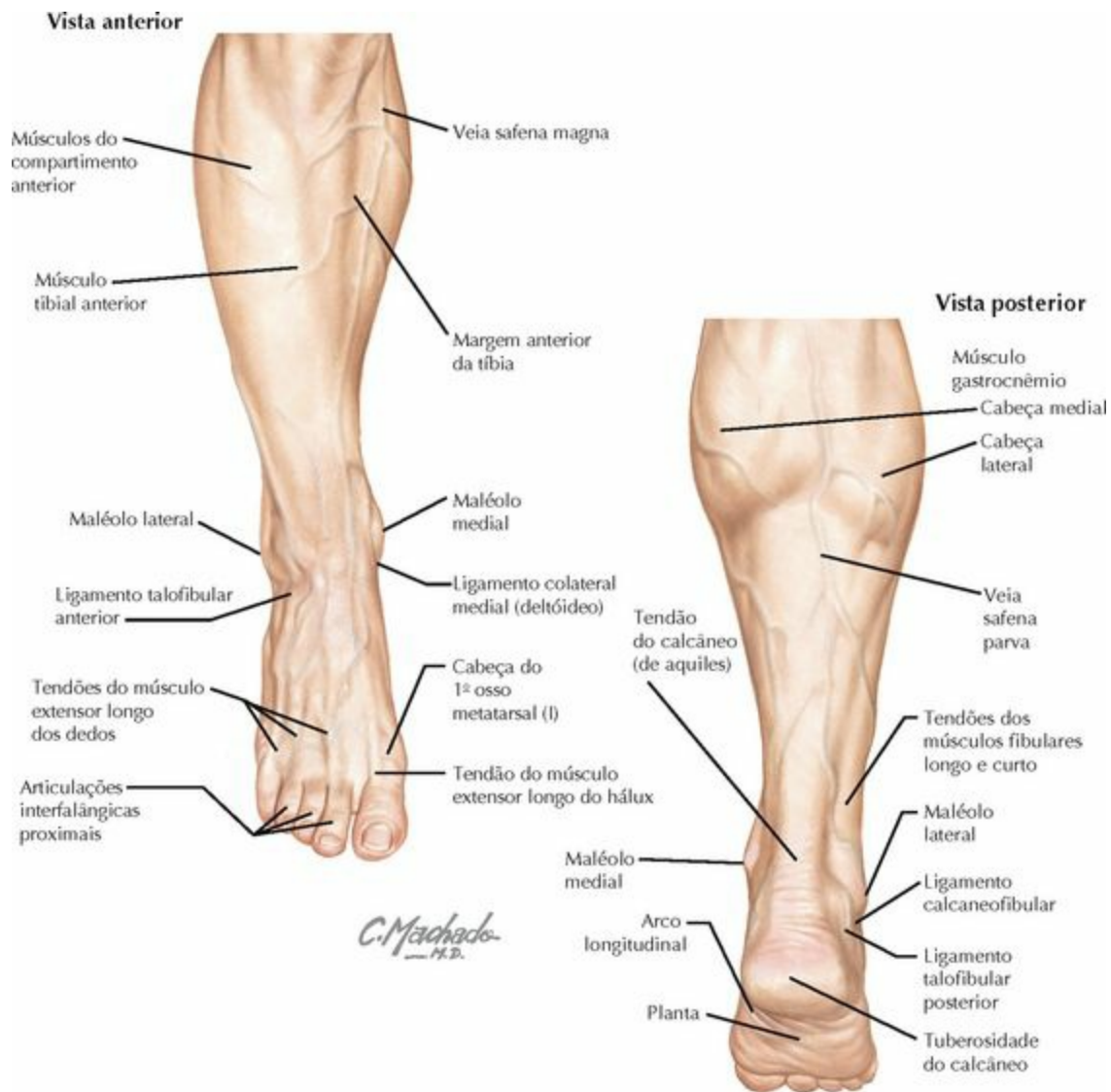


USOS	PLANO ENTRE OS NERVOS	RISCOS	COMENTÁRIO
PORTAIS PARA ARTROSCOPIA			
Anteromedial (Inferomedial)	Logo acima da linha articular, 1 cm inferior à patela; 1 cm medial ao ligamento da patela	Corno anterior do menisco medial	Portal de acesso mais comum para o uso de instrumentos; também útil para a visualização do compartimento lateral
Anterolateral (Inferolateral)	Logo acima da linha articular, 1 cm inferior à patela; 1 cm lateral ao ligamento da patela	Corno anterior do menisco lateral	Portal de acesso mais comum para o artroscópio
Superolateral/ superomedial	2,5 cm acima da linha articular, lateral ou medial ao tendão do quadríceps		Usado para visualizar a articulação patelofemoral, alinhamento da patela, também <i>inflow/outflow</i>
Posteromedial	Joelho flexionado a 90°, 1 cm acima da linha articular, posterior ao LCT	Nervo safeno	Usado para visualizar o LCP, cornos posteriores dos meniscos, extrair corpos livres
Posterolateral	Joelho em flexão, 1 cm acima da linha articular, posterior ao LCF	Nervo fibular	Usado para visualizar o LCP, cornos posteriores dos meniscos, extrair corpos livres
Transpatelar	1 cm abaixo do ápice da patela na linha mediana	Ligamento da patela	Articulações centrais e visualização da fossa

Tornozelo/Pé

Anatomia Topográfica
Osteologia
Radiologia
Trauma
Articulações
Outras Estruturas
Pequenos Procedimentos
História da Doença Atual
Exame Físico
Marcha
Origens e Inserções
Músculos
Nervos
Artérias
Distúrbios
Distúrbios Pediátricos
Acessos Cirúrgicos

ANATOMIA TOPOGRÁFICA



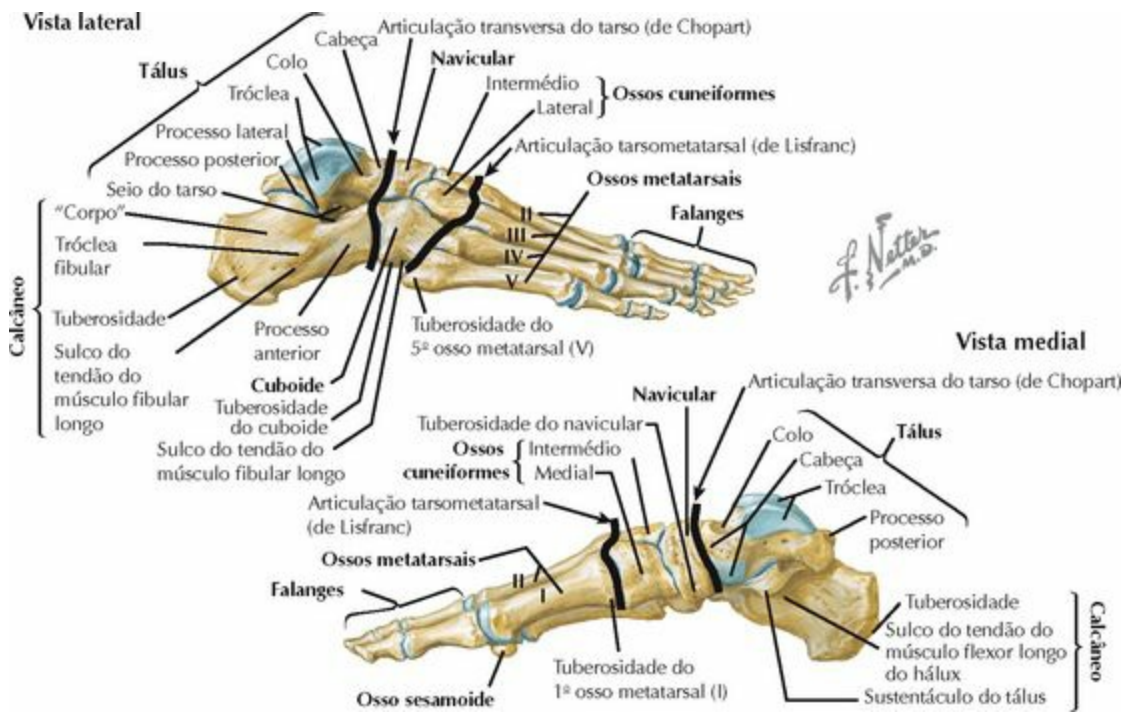
ESTRUTURA	APLICAÇÃO CLÍNICA
Músculos do compartimento anterior	Lesão do nervo fibular comum causa fraqueza e pé caído
Músculo gastrocnêmio	Rupturas/lesões musculares ocorrem na junção musculotendínea
Tendão do calcâneo (de aquiles)	Perda do contorno e/ou defeito ocorre quando o tendão se rompe
Calcanhar valgo	Visto melhor posteriormente; o calcanhar deve estar numa posição em valgo
Maléolos medial e lateral	Edema indica lesão do tornozelo: fratura ou entorse
Arco longitudinal do pé	Perda do arco indica pé plano: congênito ou adquirido
Planta	Local de muitas úlceras; local de dor na fascite plantar
Cabeça do 1º osso	A cabeça mostra-se proeminente e dolorida no hálux

metatarsal (I)	valgo/joanete
1ª articulação metatarsofalângica	Local comum de gota. A articulação vai estar hiperemiada e edemaciada
Articulações interfalângicas proximais	Dedos em martelo fazem com que essas articulações sejam proeminentes dorsalmente

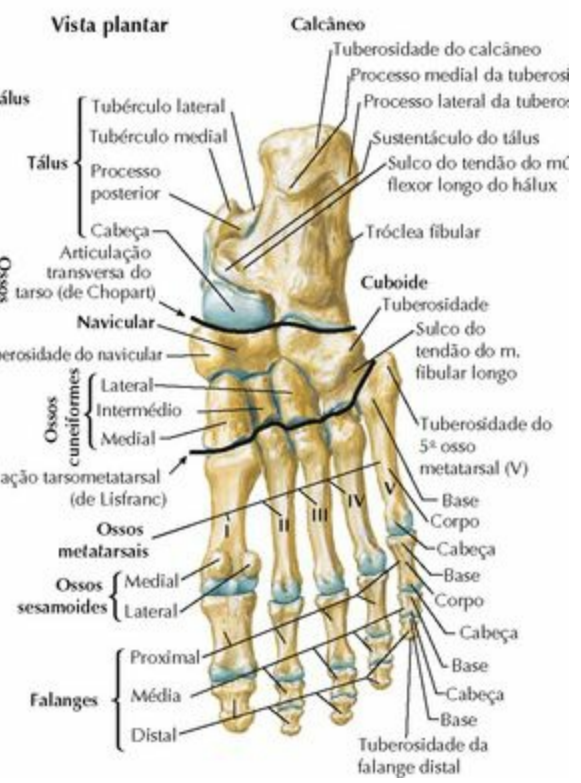
OSTEOLOGIA



CARACTERÍSTICAS	OSSIFICAÇÃO	FUSÃO	COMENTÁRIOS	
PARTE DISTAL DA FÍBULA				
Maléolo lateral	"Fise" distal	4 anos	18-20 anos	<ul style="list-style-type: none"> • LTFA, LCF e LTFP inserem-se no maléolo lateral • Pequenas fraturas por avulsão ocorrem comumente aqui
PARTE DISTAL DA TÍBIA				
*Pilão" tibial: região da parte distal da tibia que sustenta peso/carga	"Fise" distal	1 ano	18-20 anos	<ul style="list-style-type: none"> • Côncava e congruente com corpo/"cúpula" (tróclea) do tálus • Uma única fratura do tomozelo em adolescentes pode resultar no fechamento progressivo da "fise" da parte distal da tibia
Região lateral da parte distal da tibia <ul style="list-style-type: none"> ◦ Tubérculo anterior ◦ Tubérculo posterior 				<ul style="list-style-type: none"> • Incisura fibular: sulco situado lateralmente à fíbula entre 2 tubérculos ◦ Chamado de "tubérculo de Tillaux/Chaput"; origem do LTIFA ◦ Chamado de "maléolo posterior"; origem do LTIFF
Maléolo medial <ul style="list-style-type: none"> ◦ "Colículo anterior" ◦ "Colículo posterior" 				<ul style="list-style-type: none"> • Ligamento colateral medial (deltóideo) se fixa ao maléolo medial ◦ Deltóideo (parte superficial) se fixa ao "colículo anterior" ◦ Deltóideo (parte profunda) se fixa ao "colículo posterior"
CALCÂNEO				
*Corpo" <ul style="list-style-type: none"> ◦ Tuberosidade ◦ Processo medial ◦ Processo lateral ◦ Tróclea fibular 	Primária "Corpo"	6º mês (fetal)	13-15 anos	<ul style="list-style-type: none"> • Maior osso tarsal • Dá apoio à coluna lateral do pé • Ângulo de Böhler (normal 25°-40°) • Ângulo crucial de Gissane (normal 95°-105°) • Tróclea fibular separa tendões fibulares
	Secundária Tuberosidade	9 anos	13-15 anos	
Sustentáculo do tálus				<ul style="list-style-type: none"> • Proeminente medialmente, sustenta a face articular talar média • Fulcro do tendão do FLH (na face inferior)
Diversas faces articulares <ul style="list-style-type: none"> ◦ Posterior: maior ◦ Média: no sustentáculo do tálus ◦ Anterior 				<ul style="list-style-type: none"> • Face articular talar posterior frequentemente encontra-se envolvida em fraturas
<ul style="list-style-type: none"> • Margens da mortalha do tornozelo: superior: tibia ("pilão" tibial), medial: maléolo medial (tibia), lateral: maléolo lateral (fíbula) 				

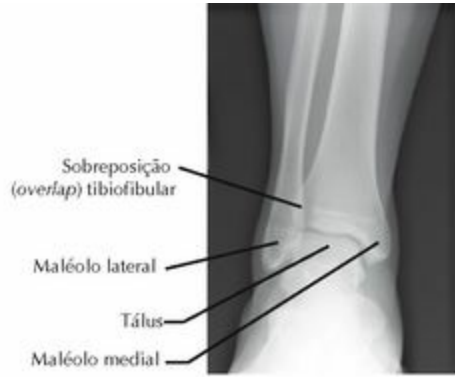


CARACTERÍSTICAS	OSSIFICAÇÃO	FUSÃO	COMENTÁRIOS	
TÁLUS				
Cabeça	Primária			<ul style="list-style-type: none"> A cabeça do tálus é sustentada pelo ligamento calcaneonavicular plantar ("mola") A cabeça convexa forma articulação firme com o navicular
Colo	Corpo	7 ^a mês (fetal)	13-15 anos	<ul style="list-style-type: none"> O colo é o local de entrada da maior parte do suprimento sanguíneo O corpo está coberto principalmente por cartilagem articular A NAV é uma preocupação devido ao suprimento sanguíneo retrógrado
Corpo/tróclea (cúpula)				<ul style="list-style-type: none"> Peso corporal é transmitido da tibia para a tróclea (cúpula) O tendão do FLH passa entre os tubérculos medial e lateral O osso trígono pode ser um tubérculo lateral não fundido O processo lateral é frequentemente fraturado por praticantes de <i>snowboard</i>
Processo posterior				
Tubérculo medial				
Tubérculo lateral				
Processo lateral				
NAVICULAR				
<ul style="list-style-type: none"> Forma curva/de "barco" Diversas faces articulares <ul style="list-style-type: none"> Proximal: côncava para o tálus Distal: face articular para cada cuneiforme e para o cuboide Tuberosidade do navicular: medial/plantar 	Primária	4 anos	13-15 anos	<ul style="list-style-type: none"> Forma "acetábulo do pé" para a cabeça do tálus (juntamente com fortes ligamentos plantares) É a "base" do arco transversal do pé O tendão do músculo <i>tibial posterior</i> insere-se na tuberosidade Suscetível a fraturas de estresse Doença de Kohler: osteonecrose do navicular
CUBOIDE				
<ul style="list-style-type: none"> Tuberosidade do cuboide; inferiormente 4 faces articulares: calcâneo, cuneiforme lateral, 4^a e 5^a MT Sulco do tendão do m. fibular longo; inferiormente 	Primária	Ao nascimento	13-15 anos	<ul style="list-style-type: none"> O mais lateral dos ossos tarsais Tendão do m. <i>fibular longo</i> passa pelo sulco na face inferior
CUNEIFORMES				
<ul style="list-style-type: none"> Três ossos <ul style="list-style-type: none"> Medial: o maior Intermédio: o menor Lateral Trapezoidal 	Primária	3 anos	13-15 anos	<ul style="list-style-type: none"> O 2^a MT encaixa-se em um "recesso" do cuneiforme intermédio; pode levar à fratura de sua base Os tendões dos mm. TA, FL e TP inserem-se, parcialmente, no cuneiforme medial O formato trapezoidal fortalece o arco transversal do pé



CARACTERÍSTICAS	OSSIFICAÇÃO	FUSÃO	COMENTÁRIOS
OSSOS METATARSAIS			
<ul style="list-style-type: none"> • Características de osso longo • Base do 2º MT no "recesso" tarsal • A cabeça do 1º MT possui uma crista que separa dois sesamoides 	Primária Corpo Secundária Epífise	9ª semana (fetal) 5-8 anos 14-18 anos	<ul style="list-style-type: none"> • São numerados de medial para lateral, I a V • Somente uma "fise" por osso (no colo), exceto no 1º metatarsal (na base) • O músculo fibular curto insere-se na base do 5º MT (pode haver fratura por avulsão)
FALANGES			
<ul style="list-style-type: none"> • Os dedos 2-5 possuem três falanges • O hálux possui apenas duas falanges 	Primária Corpo Secundária Epífise	10ª semana (fetal) 2-3 anos 14-18 anos	<ul style="list-style-type: none"> • Cada pé possui um total de 14 falanges • Somente uma "fise" por osso (na base) • Ossos sesamoides em outros dedos podem ocorrer como uma variação anatômica (geralmente entre a cabeça do MT)
<ul style="list-style-type: none"> • A ossificação de cada osso tarsal se dá a partir de um único centro (exceto no calcâneo) • Túnel do tarso: um túnel osteofibroso formado pelo maléolo medial posteriormente, pelas paredes mediais do calcâneo e do tálus e pelo retináculo dos músculos flexores. Conteúdo: tendões (TP, FLD, FLH), artéria tibial posterior, nervo tibial (pode ser comprimido no túnel) 			
OSSÍCULOS			
Sesamoides Medial Lateral Navicular acessório Osso trígono	<ul style="list-style-type: none"> • Separados por cristas na face plantar (cabeça 1º MT) • Parte do mecanismo flexor (nos tendões do FCD) • Pode sofrer fratura ou luxação • Pode causar proeminência/dor na parte medial do pé • Pode causar dores no calcanhar (p. ex., danças de balé) 		

RADIOLOGIA



Radiografia do tornozelo



Radiografia do tornozelo, base, mortalha



Radiografia do tornozelo, perfil



TC do tornozelo, frontal (coronal)

RADIOGRAFIA	TÉCNICA	ACHADOS	APLICAÇÃO CLÍNICA
TORNOZELO			
Anteroposterior (AP)	Feixe direcionado entre os maléolos	Tornozelo (parte distal da tibia, fibula e tálus)	Fraturas, mal alinhamento, artrite
Perfil	Feixe direcionado lateralmente ao maléolo	Tíbia (lábio anterior e maléolo posterior), tróclea do tálus, calcâneo, articulação talocalcânea	Fraturas: tibia, tálus, calcâneo; ângulo Böhler (nl: 25°-40°)
Mortalha	AP com 15° de rotação medial	Melhor visão da mortalha do tornozelo, "pilão" tibial	Fraturas; alargamento = lesão ligamentar
Radiografia com estresse	Incidência da mortalha com estresse externo	RL: alargamento da sindesmose (nl <6 mm) Alargamento do espaço limpo (<i>clear space</i>) medial (nl <4 mm) Inversão/inclinação: alargamento do espaço articular Gaveta anterior: subluxação anterior do tálus	RL: lesão da sindesmose , lesão do ligamento colateral medial Inv: lesão ligamentar lateral (LCF) Ant: lesão ligamentar lateral (LTFA)
OUTROS ESTUDOS			
TC	Axial, frontal (coronal), sagital	Congruência articular, fragmentos de fratura	Frats. intra-articulares ou cominutivas
RM	Sequência de pulso varia	Ligamentos, tendões e cartilagens	Lesões OCD, rupturas de ligamentos ou tendões
Cintilografia óssea		Todos os ossos são avaliados	Fraturas de estresse, infecções



Radiografia do pé, AP



Radiografia do pé, oblíqua



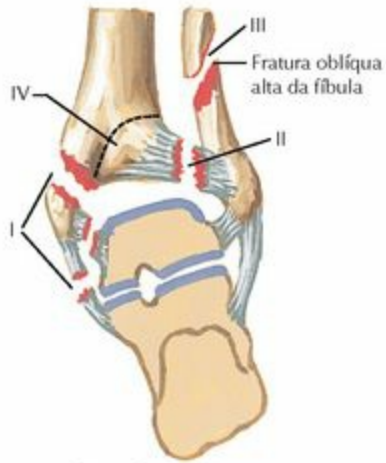
Radiografia do pé, perfil



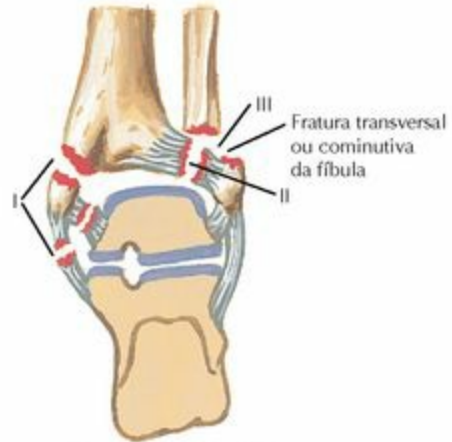
Radiografia do pé, calcâneo

RADIOGRAFIA	TÉCNICA	ACHADOS	APLICAÇÃO CLÍNICA
PÉ			
Anteroposterior (AP)	Feixe perpendicular ao mediopé; RX com carga é usada para avaliação de deformidades	Tarsais, metatarsais e falanges; 2º MT deve estar alinhado com o cuneiforme medial	Fraturas/luxações do mediopé e do antepé; usada para medir ângulos de hálux valgo
Perfil	Feixe direcionado lateralmente aos ossos tarsais	Retro, médio e antepé	Fraturas e luxações
Oblíqua	AP com 45° de rotação medial	Médio e antepé, art. TMT	4º MT alinha-se ao cuboide
Harris	Dorsiflexão do pé, feixe a 45° em relação ao calcanhar	Tuberosidade do calcâneo, face articular talar post.	Fraturas do calcâneo
Canale	15° eversão do pé, feixe inclinado 15°	Colo do tálus	Fraturas do colo do tálus
Brodén	Rotação medial da perna 40°, inclinação do feixe 10°, 20°, 30° e 40°	Face articular subtalar posterior	Frat. da face articular talar posterior ou do sustentáculo do tálus
Incidência com estresse	AP com abdução/adução ou inversão/eversão	Alinhamento de ossos e articulações	Fraturas/luxações de Lisfranc
Incidência axial/sesamoide	Dorsiflexão do hálux, feixe direcionado ao longo do eixo do pé	Mostra articulações/ossos sesamoides	Fratura ou luxação do sesamoide

Classificação Lauge-Hansen das Fraturas do Tornozelo



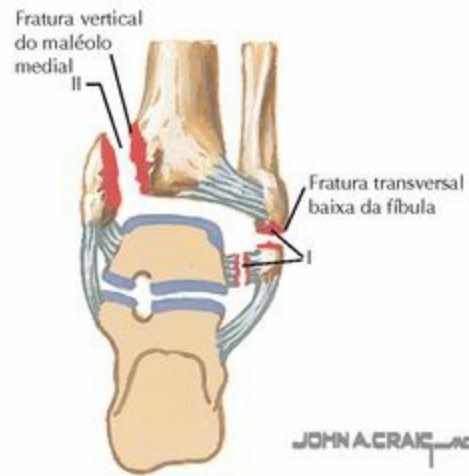
Pronação-rotação lateral (PRL)



Pronação-abdução (PA)



Supinação-rotação lateral (SRL)

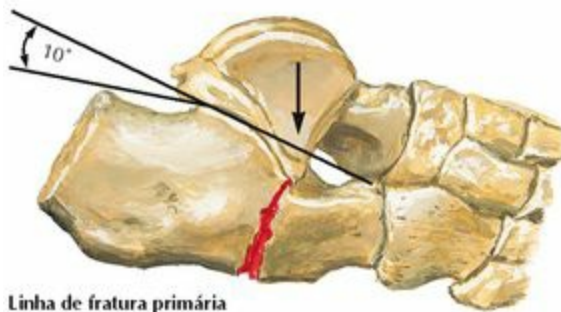


Supinação-adução (SA)

JOHN A. CRAIG

DESCRIÇÃO	AValiação	CLASSIFICAÇÃO	TRATAMENTO
FRATURA DO TORNOZELO			
<ul style="list-style-type: none"> Muito comum em todas as idades Um ou ambos os maléolos envolvidos Frat. de um maléolo: geralmente estável Frat. bimaléolar ou frat. do maléolo lateral com ruptura do ligamento colateral medial: instável Requer congruência da mortalha O comprimento e a rotação fibular devem estar corretos 	<p>HDA: trauma, dor, edema, ± incapacidade de sustentar peso</p> <p>EF: derrame, edema de partes moles. SP em um ou ambos os maléolos ± sensibilidade dolorosa da parte proximal da fibula</p> <p>RX: série de trauma do tornozelo</p> <p>RX estresse: se houver dúvida quanto à estabilidade da frat. (esp. Weber B/SRL II)</p>	<p>Weber/AO: localização da frat. da fibula</p> <p>A: distal ao "pilão" tibial</p> <p>B: ao nível do "pilão" tibial</p> <p>C: acima do "pilão" tibial</p> <p>Lauge-Hansen: com base na posição do pé e mecanismo</p> <p>SA: supinação/adução I-II</p> <p>SRL: supinação/RL I-IV</p> <p>PRL: pronação/RL I-IV</p> <p>PA: pronação/abdução I-III</p>	<ul style="list-style-type: none"> Luxação: reduzir a articulação imediatamente Estável/ sem desvio/ avulsão: gesso curto na perna por 4–6 semanas Instável/com desvio: RAFI. Restaurar a congruência da mortalha e o comprimento fibular. Adicionar fixação no caso de sindesmose instável.
COMPLICAÇÕES: osteoartrite/dor pós-traumática, limitação da amplitude de movimento, pseudartrose/consolidação viciosa, instabilidade, DSR			
Ver Capítulo 9, Perna/Joelho, para fratura do "pilão" tibial e fratura de Maisonneuve			

Fratura Intra-articular do Calcâneo

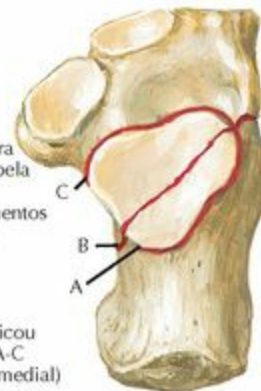


Linha de fratura primária

Tálus empurrado e projetado para dentro do calcâneo, geralmente por queda com apoio sobre o calcanhar. Ângulo de Böhler reduzido

F. Netter M.D.

A linha de fratura primária passa pela face posterior, formando fragmentos anteromedial e posterolateral



Saunders classificou essa fratura de A-C (de lateral para medial)

Essex-Lopresti



Linha de fratura secundária

Estende-se frequentemente através da tuberosidade do calcâneo, produzindo uma **fratura do tipo língua**



Se a linha de fratura secundária se estender até a face dorsal do calcâneo haverá, como consequência, uma **fratura do tipo depressão articular**

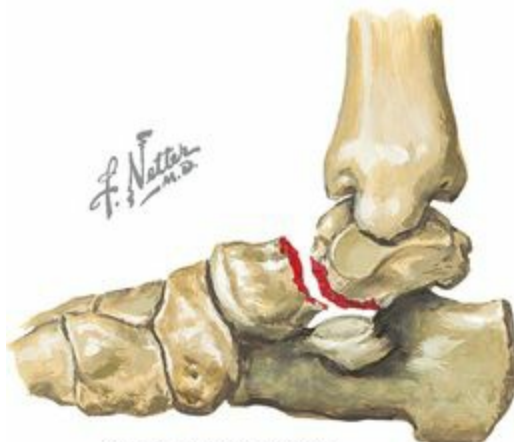
DESCRIÇÃO	AVALIAÇÃO	CLASSIFICAÇÃO	TRATAMENTO
FRATURAS DO CALCÂNEO			
<ul style="list-style-type: none"> • Fratura mais comum do tarso • Mecanismo: alta energia/carga axial (p. ex., AVA, queda de altura) • Maioria são fraturas intra-articulares • Fraturas intra-articulares afetam articulação talocalcânea (subtalar) (esp. a face articular posterior) • Pele em risco por edema extenso • Excluir lesão da coluna vertebral na queda • Associada a prognóstico ruim e incapacidade funcional prolongada 	<p>HDA: trauma, dor, edema, ± incapacidade para sustentar o peso</p> <p>EF: edema grave e tumefação do arco do pé, +/- flictenas secundárias a frats. Calcânhar alargado. Verificar função nervosa e pulsos</p> <p>RX: incidências AP, perfil (ângulo de Böhler ni: 25°-40°), axial de Harris</p> <p>TC: para definir melhor linhas de frat., desvio, cominuição</p>	<p>Extra-articular</p> <ul style="list-style-type: none"> • "Corpo", tuberosidade, processo anterior ou medial, sustentáculo do tálus <p>Intra-articular</p> <ul style="list-style-type: none"> • Essex-Lopresti <ul style="list-style-type: none"> ◦ Depressão articular ◦ Tipo língua • Sanders: por TC coronal <ul style="list-style-type: none"> ◦ I-IV: quantos fragmentos/linhas de fratura? ◦ A-C: lateral para medial 	<p>Extra-articular</p> <ul style="list-style-type: none"> • Sem desvio: imobilização 10–12 sem. • Com desvio: pinos percutâneos <p>Intra-articular</p> <ul style="list-style-type: none"> • Sem desvio: imobilização 12 semanas • Com desvio: RAFI • Cominutiva, baixa demanda/idosos, fumantes: redução fechada, imobilização • Cominutiva, trabalhador: fusão subtalar primária
<p>COMPLICAÇÕES: descamação da pele/ferida (retardar cirurgia até a resolução do edema), consolidação viciosa (varo), OA talocalcânea (subtalar), dor</p>			

Fratura do Colo do Tálus

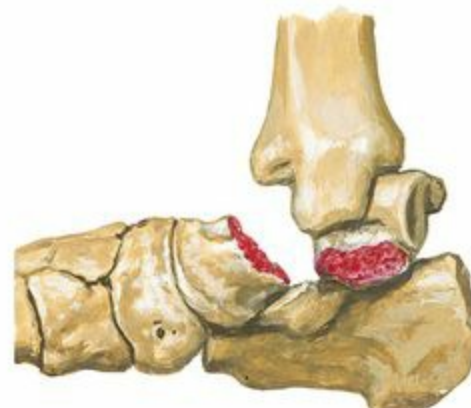
A causa habitual é o impacto sobre a margem anterior da tibia, em razão da flexão dorsal forçada



Tipo I.
Sem desvio



Tipo II. Fratura do colo do tálus com subluxação ou luxação das articulações talocalcâneas (subtalar)



Tipo III. Fratura do colo do tálus com luxação das articulações talocalcânea (subtalar) e talocrural

DESCRIÇÃO	AVALIAÇÃO	CLASSIFICAÇÃO	TRATAMENTO
FRATURA DO TÁLUS			
<ul style="list-style-type: none"> Mecanismo: alta energia (p. ex., AVA, queda de altura) Fraturas do colo nº1 Tálus possui suprimento sanguíneo tênue Frat. do colo pode causar NAV Fraturas desviadas do colo são emergências cirúrgicas NAV diminui com RAFI Sinal de Hawkins = ausência de NAV Frat. do processo lateral: praticantes de snowboard 	<p>HDA: trauma, dor, edema, incapacidade para sustentar o peso</p> <p>EF: edema, sensibilidade dolorosa ± deformidade. Verificar pulsos</p> <p>RX: incidências AP, perfil, de Canale (colo) e Broden (face art. post.)</p> <p>Sinal de Hawkins: reabsorção do osso subcondral (radiolucência ao RX) indica consolidação da fratura</p> <p>CT: para definir melhor as linhas de frat.</p>	<p>Corpo (cúpula) Frat./lesão osteocondral</p> <p>Cabeça</p> <p>Processos: lateral, posterior</p> <p>Colo: Hawkins (prediz risco de NAV)</p> <p>I: Sem desvio (<10%) II: Luxação talocalcânea (subtalar) (40%) III: II + luxação talocrural (90%) IV: III + luxação talonavicular (100%)</p>	<p>Fraturas do corpo/cabeça/processos</p> <ul style="list-style-type: none"> Sem desvio: imobilização Desviadas: RAFI <p>Frat./lesão osteocondral</p> <ul style="list-style-type: none"> Fragmento ósseo grande: reparo Fragmento pequeno/basicamente cartilágneo: debridamento artroscópico/perfuração <p>Fraturas do colo</p> <ul style="list-style-type: none"> Tipo I: pino percutâneo Tipos II-IV: RAFI
<p>COMPLICAÇÕES: osteoartrite/dor do tornozelo ou talocalcânea (subtalar), consolidação viciosa (varo nº 1), osteonecrose, artrofibrose/rigidez</p>			

Fratura/Luxação Tarsometatarsal (de Lisfranc)



Desvio homolateral. Todos os cinco ossos metatarsais desviam na mesma direção. Fratura da base do 2º metatarsal (II)



Luxação isolada. Um ou dois ossos metatarsais desviam; os outros na posição normal



Luxação divergente. O 1º metatarsal (I) desvia medialmente, os outros, superolateralmente



O desvio dorsolateral geralmente é mais bem visualizado na incidência em perfil

F. Natter M.D.



A lesão pode ocorrer por evento aparentemente banal, por exemplo, passo em falso num buraco, com compressão axial e força de abdução no pé em flexão plantar

DESCRIÇÃO	AVALIAÇÃO	CLASSIFICAÇÃO	TRATAMENTO
FRATURA/LUXAÇÃO TARSMETATARSAL (LISFRANC)			
<ul style="list-style-type: none"> Mecanismo: torque do pé fixo ou carga axial vertical ao pé Base do 2º MT no "recesso" tarsal fornece estabilidade à articulação Pode haver frat. ou apenas lesão de ligamentos O aparecimento de uma mancha ("fleck sign") indica avulsão do "ligamento de Lisfranc" da base do 2º MT Lesão facilmente passa despercebida Associada a outras lesões, incluindo fraturas tarsais 	<p>HDA: trauma com o pé em flexão plantar, dor, edema</p> <p>EF: edema e equimose. Exame vascular cuidadoso.</p> <p>RX: incidências AP, perfil e oblíqua, >2 mm entre a base do 2º MT e o cuniforme é patológico. Incidências com carga/estresse caso seja necessário; considerar a comparação das incidências</p> <p>TC: geralmente não é necessária</p>	<p>Direção</p> <ul style="list-style-type: none"> Isolada: um único osso metatarsal é afetado (geralmente o 1º ou 2º) Homolateral: todos os ossos metatarsais desviam na mesma direção Divergente: os ossos metatarsais desviam em direções diferentes <p><i>São possíveis muitas combinações diferentes.</i></p>	<p>Sem desvio (sem alargamento)</p> <ul style="list-style-type: none"> Imobilização sem sustentação de peso: 8 semanas >2 mm torna necessária fixação cirúrgica <p>Desvio mínimo</p> <ul style="list-style-type: none"> Redução fechada e pinos percutâneos <p>Desviadas</p> <ul style="list-style-type: none"> RAFI (parafusos e fios-K) Fixação externa se necessária preliminarmente
COMPLICAÇÕES: artrite/dor pós-traumática, marcha alterada /mancar, síndrome do compartimento (1ª artéria metatarsal, ramo da ADP)			



Tipos de fraturas dos ossos metatarsais: A. Fratura cominutiva. B. Fratura do colo com desvio. C. Fratura oblíqua. D. Fratura transversal com desvio. E. Fratura da base do 5º metatarsal (V). F. Avulsão da tuberosidade do 5º metatarsal (V)



Fratura da falange proximal

F. Netter M.D.



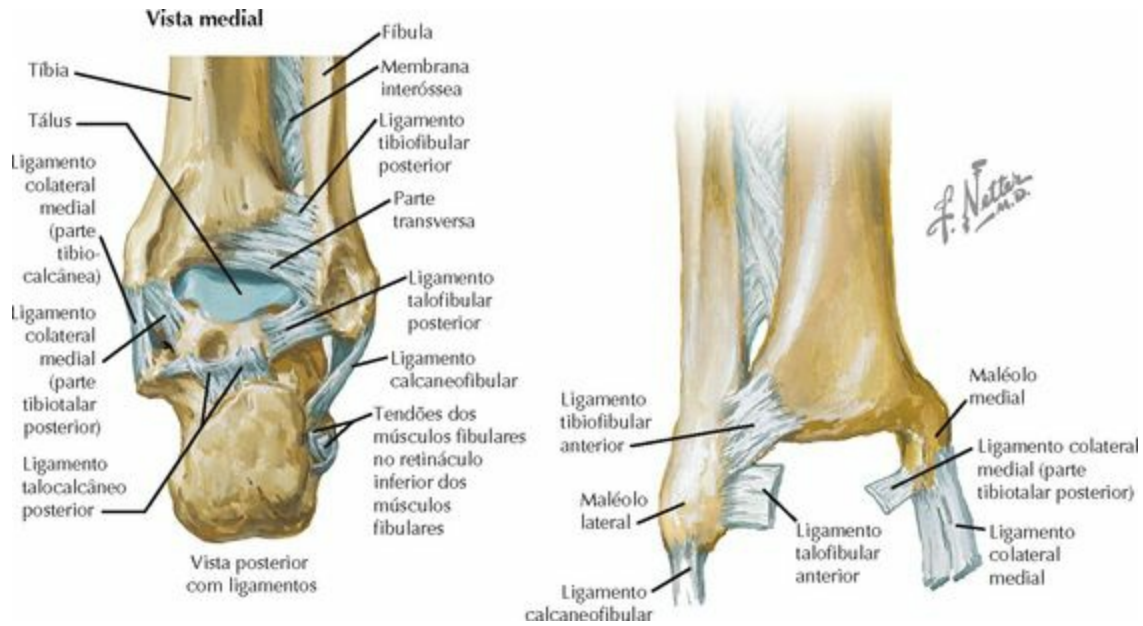
Fratura da falange imobilizada com fita adesiva ao dedo adjacente (*buddy taping*)

Fratura da parte proximal do 5º osso metatarsal (V)



DESCRIÇÃO	AValiação	CLASSIFICAÇÃO	TRATAMENTO
FRATURAS DOS OSSOS METATARSAIS			
<ul style="list-style-type: none"> Lesões comuns: a maioria é benigna A parte proximal do 5ª MT é área divisória. A lesão da artéria nutricia pode levar à pseudartrose Frat. por avulsão da parte proximal do 5ª MT pela banda lateral da aponeurose plantar ou pelo tendão do m. fibular curto Fraturas de estresse em corredores 	<p>HDA: trauma, dor, edema</p> <p>EF: edema e equimoses, SP</p> <p>RX: AP, perfil, oblíqua</p> <p>Cintilografia óssea: para avaliar fratura por estresse</p>	<p>Localização: cabeça, colo, corpo, base</p> <p>Fratura da base do 5ª MT: Zona 1: frat. por avulsão Zona 2: metadiáfisária Zona 3: parte proximal da diáfise</p>	<ul style="list-style-type: none"> Sem desvio: calçado duro/ imobilização Desviada/angulada: PPC ou RAFI Base do 5ª MT: <ul style="list-style-type: none"> Zona 1: calçado duro Zona 2: ITBSA 6-8 semanas Zona 3: ITBSA 8 semanas/ RAFI; zonas 2 e 3: RAFI em atletas profissionais
COMPLICAÇÕES: pseudartrose (esp. na parte proximal do 5º osso metatarsal V), consolidação viciosa, osteoartrite/dor pós-traumática			
FRATURAS DAS FALANGES			
<ul style="list-style-type: none"> Lesões comuns; a maioria é benigna Geralmente por "topada" com o dedo ou por queda de objeto sobre o dedo Raramente necessitam de tratamento cirúrgico 	<p>HDA: trauma, dor, edema</p> <p>EF: edema e equimose, SP</p> <p>RX: AP, perfil, oblíqua</p>	<p>Localização Cabeça Corpo Base</p>	<ul style="list-style-type: none"> Sem/mínimo desvio: Imobilização com fita adesiva e calçado duro Com desvio/Instável: PPC Frat. intra-articular do hálux: RAFI

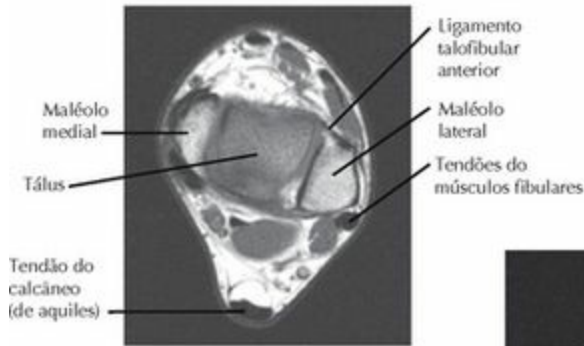
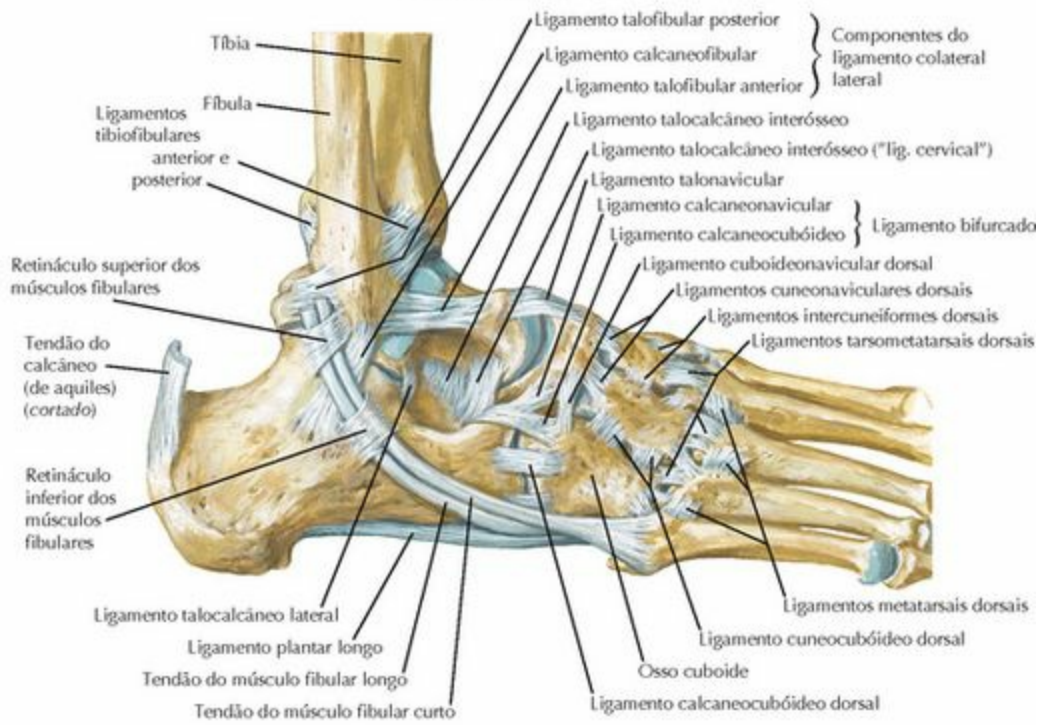
ARTICULAÇÕES



LIGAMENTOS	FIXAÇÕES	COMENTÁRIOS
SINDESMOSE TIBIOFIBULAR (PARTE DISTAL)		
Sindesmose	Sustentação primária/básica do tornozelo	Lesionada na frat. de Weber C e entorses “altas” do tornozelo
◦ Tibiofibular anterior (LTFA)	Região anterior da tíbia (“tubérculo ant.”) à parte distal da fíbula	Ligamento oblíquo, forte. A avulsão produz fratura/fragmento de “ Tillaux ”
◦ Tibiofibular posterior (LTFP)	Região posterior da tíbia à parte distal da fíbula	Mais fraco; origina-se na parte posterior do maléolo
◦ Parte transversa	Parte inferior e profunda do LTFP	Dá sustentação posterior à mortalha do tornozelo
◦ Ligamento interósseo (LIO)	Parte lateral da tíbia à parte medial da fíbula	Espessamento distal forte da membrana interóssea
Se a sindesmose se romper, a mortalha do tornozelo alarga. A fíbula (com o tálus firmemente fixado a ela) sofre desvio lateral		
TORNOZELO		
A articulação talocrural (tornozelo) é do tipo gínglimo (“dobradiça”). Ela permite basicamente os movimentos de flexão plantar e de flexão dorsal. ADM: FD 20°, FP 50°		
Cápsula articular	Tíbia e fíbula ao tálus	Proporciona grau variável de sustentação ao tornozelo

Lateral	Maléolo lateral ao:	LTFA e LTFP são espessamentos capsulares
◦ Talofibular anterior (LTFA)	Colo do tálus	Resiste à translação anterior . Nas entorses do tornozelo, é o 1º ligamento a ser lesionado
◦ Calcaneofibular (LCF)	Calcâneo	Localiza-se profundamente aos tendões dos músculo fibulares. Resiste à inversão . É o 2º ligamento lesionado nas entorses do tornozelo
◦ Talofibular posterior (LTFP)	Tálus (processo posterior)	Forte. Raramente se rompe. Fixa-se no “tubérculo lateral do processo posterior”
Medial: ligamento colateral medial (deltóideo) (4 partes)		Origina-se no maléolo medial (MM)
Deltóideo superficial	Colículo anterior do MM a:	Resiste à eversão do tornozelo
◦ Parte tibiotalar anterior	Tálus (anteromedial)	Ligamento fraco. Pode causar impacto
◦ Parte tibionavicular	Tuberosidade do navicular	Restrição à migração medial da cabeça do tálus
◦ Parte tibioalcânea	Sustentáculo do tálus	Parte mais forte do ligamento colateral medial (“deltóideo superficial”), resiste ao valgo
Deltóideo profundo		
Parte tibiotalar posterior	Colículo posterior do MM a: Tálus medial e tubérculo medial	Resiste à rotação lateral e à migração lateral Praticamente horizontal; parte mais forte do ligamento colateral medial

Pé direito: vista lateral



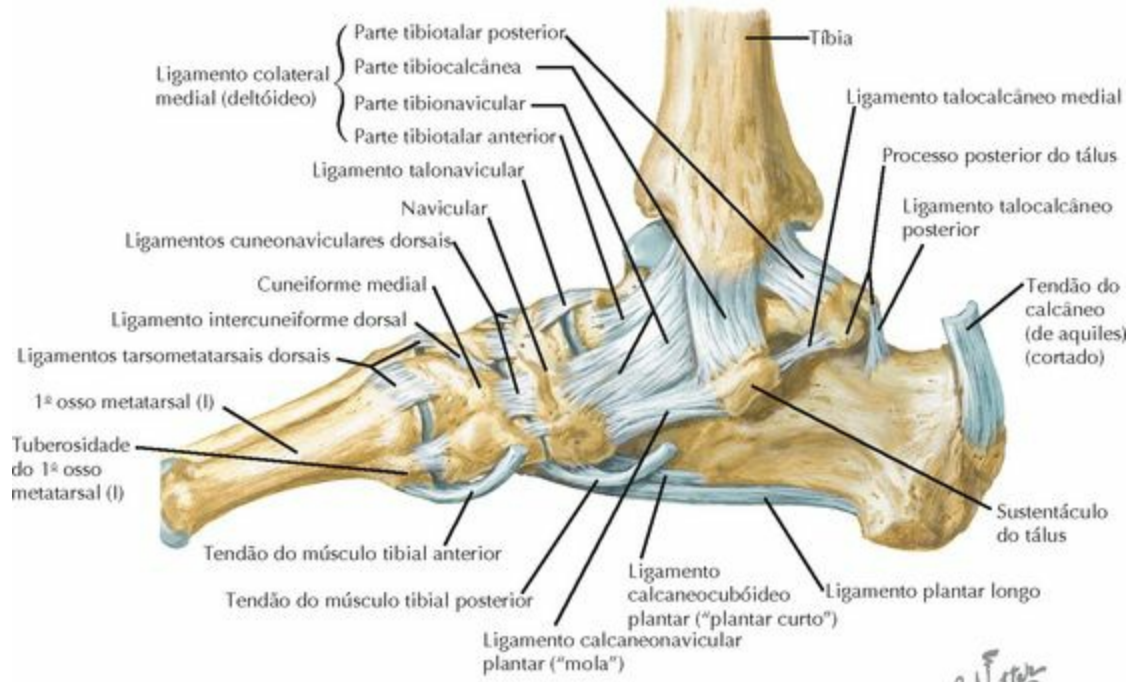
RM do tornozelo, transversal (axial)



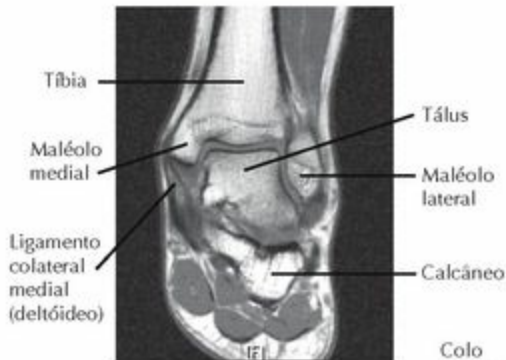
RM do tornozelo, frontal (coronal)

F. Netto

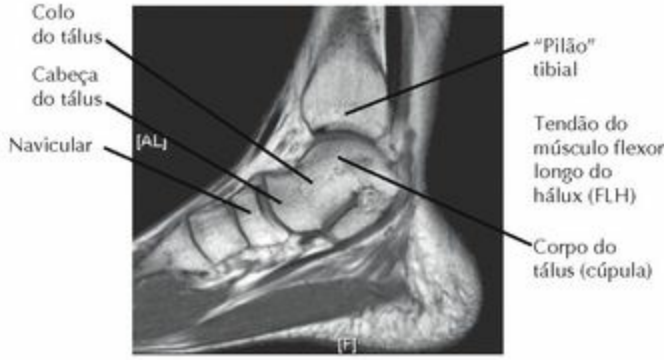
Pé direito: vista medial



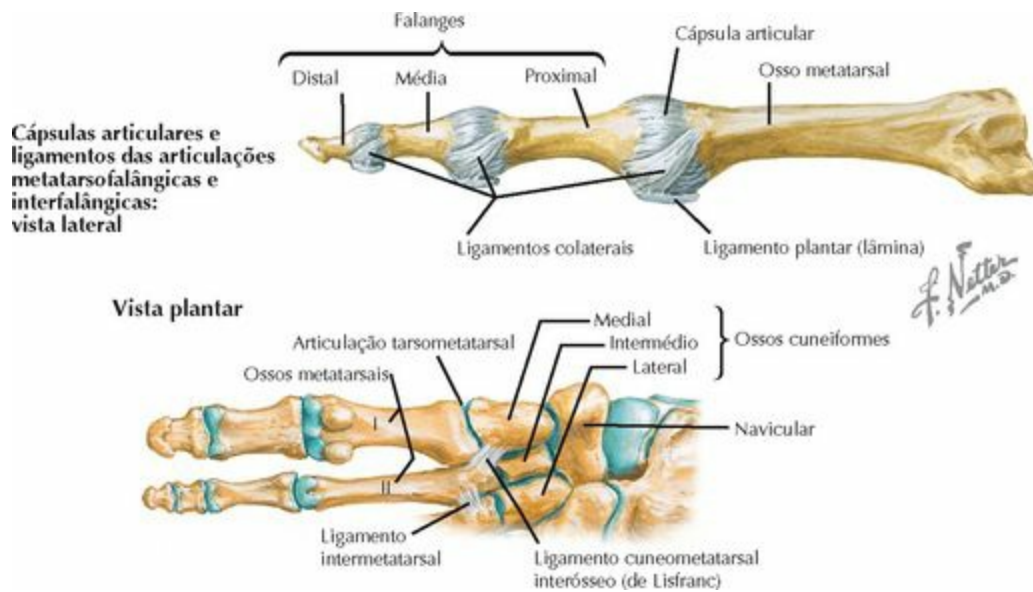
F. Natter M.D.



RM do tornozelo, frontal (coronal)



RM do tornozelo, sagital



LIGAMENTOS		COMENTÁRIOS
------------	--	-------------

INTERTARSAIS

Articulação Talocalcânea (Subtalar)

Articulação com 3 faces articulares. Permite a inversão/eversão (p. ex., caminhar em **superfícies irregulares**), assim como a rotação.

Extrínseco Intrínsecos	<ul style="list-style-type: none"> • Calcaneofibular • Talocalcâneo interósseo • “Cervical” 	<ul style="list-style-type: none"> • Sustentação primária da articulação talocalcânea (subtalar). Também é o principal suporte da articulação talocrural • Forte estabilizador no seio do tarso. Lesão pode ser causa de instabilidade crônica • Estabilizador secundário menos resistente. Também no seio do tarso
Espessamentos	<ul style="list-style-type: none"> • Talocalcâneo medial 	<ul style="list-style-type: none"> • Tubérculo medial ao sustentáculo do tálus. Proporciona uma sustentação mínima
capsulares	<ul style="list-style-type: none"> • Talocalcâneo lateral 	<ul style="list-style-type: none"> • Profundamente ao lig. calcaneofibular. Proporciona uma sustentação mínima
Outros	<ul style="list-style-type: none"> • Retináculo inferior dos mm. fibulares 	<ul style="list-style-type: none"> • Muitas inserções no seio do tarso

Luxações: reduções fechadas podem ser bloqueadas pelo: **ECD** (luxação medial) ou pelo tendão do TP (luxação lateral)

Articulação Transversa do Tarso/“Mediotársica” (de Chopart)

Duas articulações: 1. talocalcaneonavicular, 2. calcaneocubóidea. **Movimento:** abdução/adução. **Função** depende da posição do pé/art. talocalcânea (subtalar):

Eversão – as articulações estão paralelas; permitem o movimento (flexível); ocorre ao início da fase de apoio/“batida do calcanhar”

Inversão – articulações não paralelas; nenhum movimento (articulação imóvel torna o pé uma

alavanca rígida); ocorre ao final da fase de apoio/“saída dos dedos”

Articulação Talonavicular

Articulação do tipo esferóidea, altamente congruente. Cabeça convexa do tálus com a parte côncava do osso navicular (“acetábulo do pé”)

Calcaneonavicular plantar

(“mola”)

Talonavicular

Calcaneonavicular

- Forte sustentação plantar para cabeça do tálus; do sustentáculo do tálus ao navicular
- Sustentação dorsal
- Metade do ligamento bifurcado

Articulação Calcaneocubóidea

Calcaneocubóide

Calcaneocubóide dorsal

Calcaneocubóide plantar

(“plantar curto”)

Plantar longo

- Metade do ligamento bifurcado
- Sustentação dorsal, resistência mínima
- Forte sustentação plantar; do sustentáculo do tálus ao cuboide (região plantar)
- Cruza várias articulações, com várias inserções

O tendão do músculo fibular longo também cruza essa articulação e aumenta a sustentação

OUTRAS ARTICULAÇÕES INTERTARSAIS

Cada uma dessas articulações possui ligamentos dorsais, plantares e interósseos que têm o nome da articulação correspondente

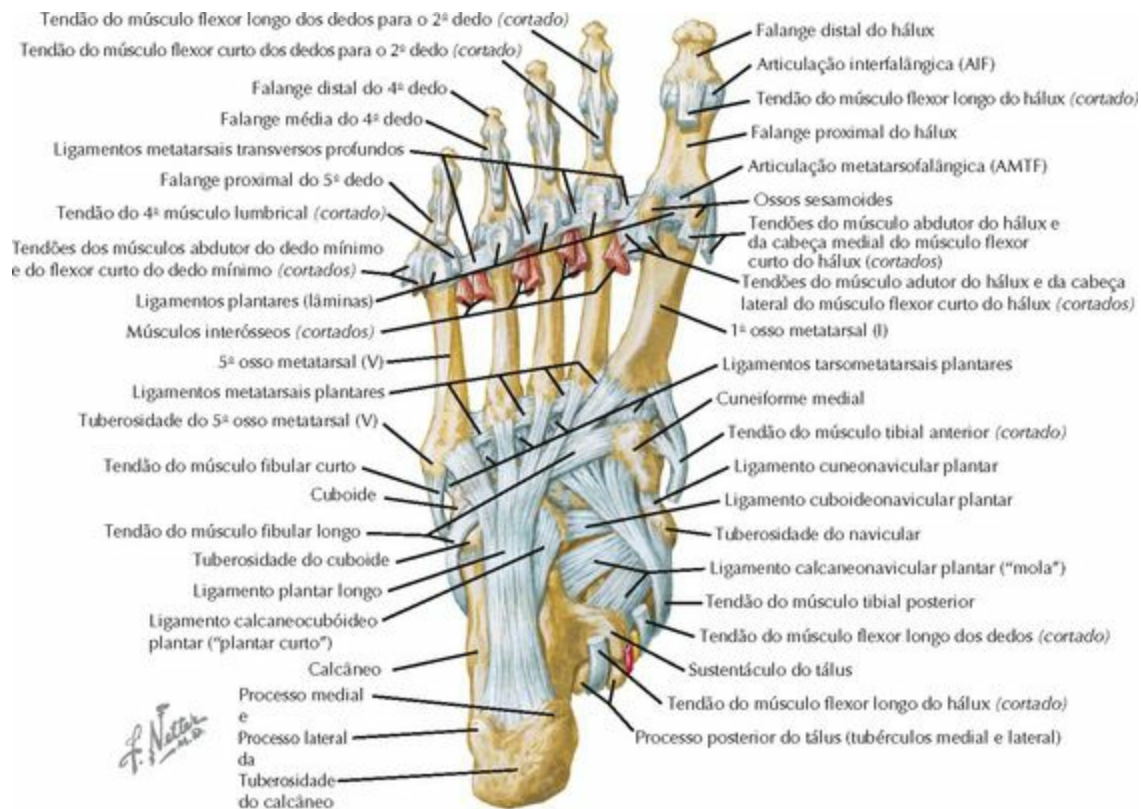
Cuboideonavicular

Cuneonavicular

Intercuneiforme

Cuneocubóidea

- Essas articulações são pequenas, têm pouco movimento ou pouca relevância clínica
- Os ligamentos plantares são os mais fortes



LIGAMENTOS**COMENTÁRIOS****OUTRAS ARTICULAÇÕES****Articulações Tarsometatarsais (de Lisfranc)**

Articulações planas. Constituem o arco transversal do pé. Base do 2º MT é o “**ponto-chave**”

Intermetatarsal

- Entre as bases do 2º e 5º MT. Nenhum ligamento entre o 1º e 2º MT

De **Lisfranc** (cuneometatarsal interósseo):
cuneiforme medial à base do 2º MT

- Estabilizador primário da articulação. Avulsão do ligamento = sinal de “**fleck**”

Tarsometatarsal dorsal, plantar, interósseo

- Ligamentos plantares são os mais fortes

Articulações Metatarsofalângicas

Articulação elipsóidea

Colateral

- Forte sustentação medial e lateral; limita varo e valgo

Plantar (lâmina)

- Sustentação primária. Origem frouxa no colo MT e inserção forte na F1
- Lesionado (avulsão do MT) em lesões por hiperextensão/“*turf toe*”
- Sesamoides aderidos ao ligamento plantar (lâmina) (no tendão do FCH)

Metatarsal transversal profundo

- Entre as cabeças dos metatarsais. Pode comprimir o nervo = neuroma de Morton
- O 1º/2º ligamento também fixa-se ao sesamoide lateral e o estabiliza

Intersesamóideo

- Passa entre os dois ossos sesamoides, estabilizando-os

Tendões dos músculos abductor e adutor do hálux

- Inserções tendíneas na F1 aumentam a estabilidade medial e lateral da articulação

Articulações Interfalângicas

Articulação do tipo gínglimo

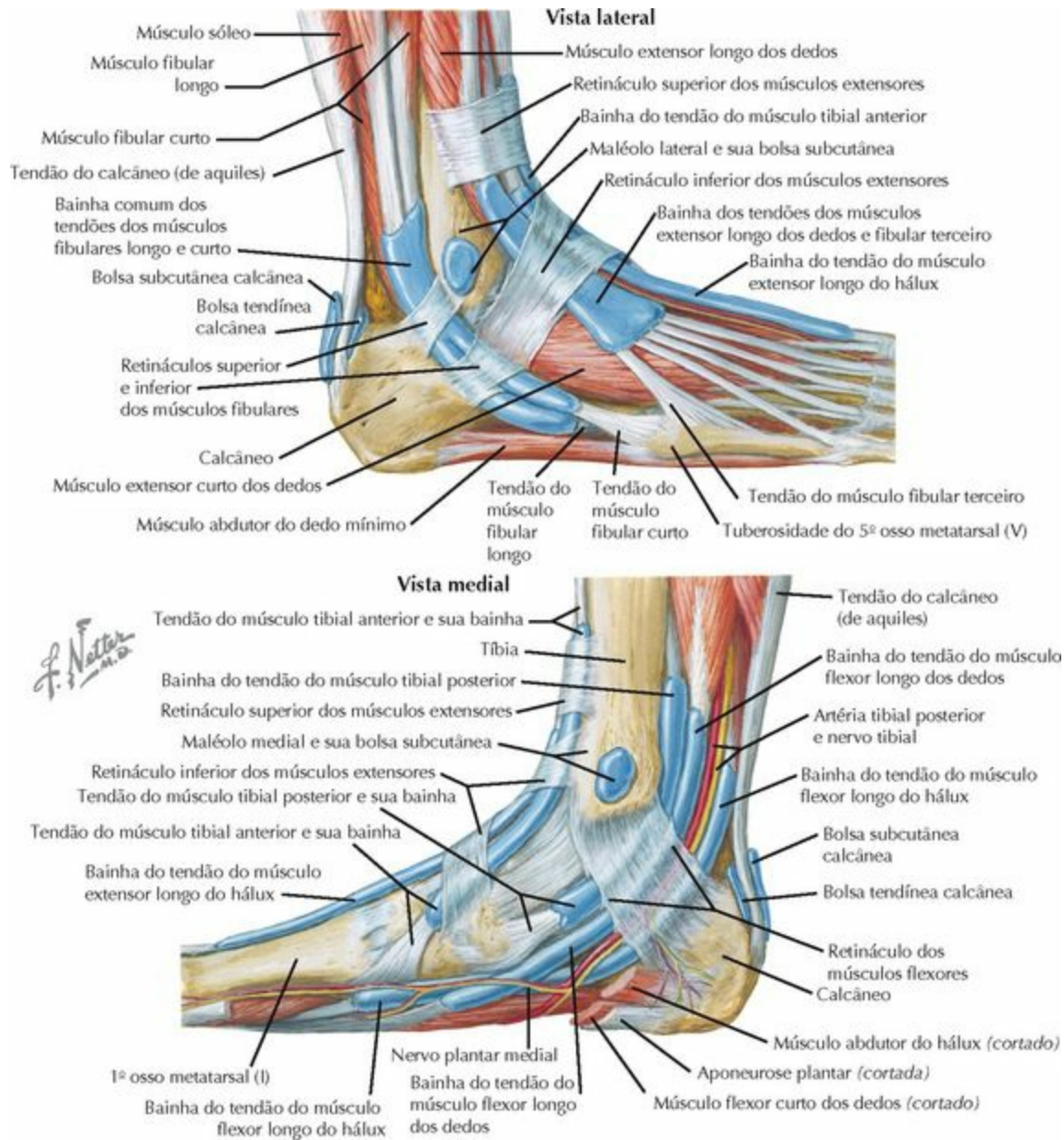
Cápsula articular

- Dá sustentação primária

Colateral e plantar (lâmina)

- Sustentações medial, lateral e plantar adicional

OUTRAS ESTRUTURAS



ESTRUTURA	FUNÇÃO	COMENTÁRIO
Retináculo superior dos músculos extensores	Cobre os tendões, nervos e vasos do compartimento anterior do tornozelo	Parte distal da fíbula até a face medial da tíbia
Retináculo inferior dos músculos extensores	Circunda e recobre tendões etc. do compartimento anterior no pé	Em forma de “Y”; do calcâneo até o maléolo medial e ao navicular
Retináculo dos músculos flexores	Cobre os tendões do compartimento posterior	Maléolo medial até o calcâneo; teto do túnel do tarso
Retináculo superior e	Cobre os tendões e bainhas do	Superior: maléolo lateral ao calcâneo

inferior dos músculos
fibulares

compartimento lateral na região
posterior do pé

Inferior: retináculo inferior
dos mm. extensores até o
calcâneo

Aponeurose plantar
("fáscia plantar")

Sustenta o arco longitudinal do pé

Inflamada: fascite plantar;
pode desenvolver nódulos

PEQUENOS PROCEDIMENTOS



ETAPAS

ARTROCENTESE DO TORNOZELO

1. Perguntar ao paciente sobre alergias
2. Colocar o pé em flexão plantar, palpar o maléolo medial e o sulco entre ele e o tendão do músculo tibial anterior
3. Preparar a pele sobre a articulação do tornozelo (sabão antisséptico/iodo)
4. Anestésiar a pele localmente (área com tamanho de aproximadamente 2 cm)
5. Inserir agulha calibre 20 perpendicularmente no sulco/articulação do tornozelo (medialmente ao tendão, inferiormente à face articular inferior da tíbia, lateralmente ao maléolo medial). Uma distração leve do tornozelo pode ajudar a penetrar na articulação. Aspirar líquido. Em caso de suspeita de infecção, enviar o líquido para coloração de Gram e cultura. Como alternativa, pode-se infiltrar na articulação. O líquido deve fluir com facilidade se a agulha estiver na articulação
6. Fazer curativo no local da aspiração/infiltração

BLOQUEIO DO TORNOZELO

Cinco nervos distintos são bloqueados. Com base na anestesia necessária, pode-se realizar um bloqueio parcial ou completo.

1. Perguntar ao paciente sobre alergias
2. Preparar a pele (sabão antisséptico/iodo) circunferencialmente em torno do tornozelo, imediatamente acima e abaixo dos maléolos
3. Preparar uma seringa com agulha calibre 22 a 25 e anestésico local
4. **Nervo fibular superficial:** infiltrar até formar um botão anestésico de pelo menos 3-4 cm anterolateralmente no tornozelo do maléolo lateral à linha mediana do pé
5. **Nervo fibular profundo:** palpar os tendões dos músculos TA e ELH. Inserir agulha entre os tendões até o osso, em seguida recuá-la um pouco. **Aspirar** para certificar-se de que a agulha não está na **artéria tibial anterior**. Infiltrar 2-3 mL de anestésico local

6. **Nervo safeno:** formar um botão anestésico de pelo menos 2-3 cm anteromedialmente no tornozelo, anteriormente ao maléolo medial
7. **Nervo tibial:** palpar pulso da artéria tibial posterior, o FLH (se possível) e o tendão do calcâneo (de aquiles) atrás do maléolo medial. Inserir a agulha posteriormente à artéria, anteriormente ao tendão FLH/calcâneo (aquiles) até o osso; em seguida, recuá-la ligeiramente. **Aspirar** para certificar-se de que a agulha não está na **artéria tibial posterior**. Recuá-la um pouco do osso e infiltrar 2-3 mL
8. **Nervo sural:** formar um botão anestésico subcutâneo posterolateralmente no tornozelo de pelo menos 2-3 cm, entre o maléolo lateral e o tendão do calcâneo (de aquiles)
9. Fazer curativo em cada local de infiltração

BLOQUEIO DIGITAL

1. Perguntar ao paciente sobre alergias
2. Preparar a pele (sabão antisséptico/iodo) sobre o dorso da parte proximal do dedo e o(s) espaço(s) interdigital(is) adjacente(s)
3. Preparar a seringa com anestésico local **sem epinefrina** e agulha calibre 25
4. Inserir a agulha ao longo das margens medial e lateral da falange proximal até a superfície plantar. Aspirar para ter certeza de que a agulha não atingiu nenhum vaso. Infiltrar lentamente enquanto retira a agulha dorsalmente. 2-3 mL de anestésico local de cada lado devem ser suficientes. Formar um botão anestésico dorsalmente na parte proximal do dedo pode melhorar o bloqueio
5. Tomar cuidado para não **infiltrar líquido demais** nesse espaço fechado
6. Fazer curativos nos locais de infiltração

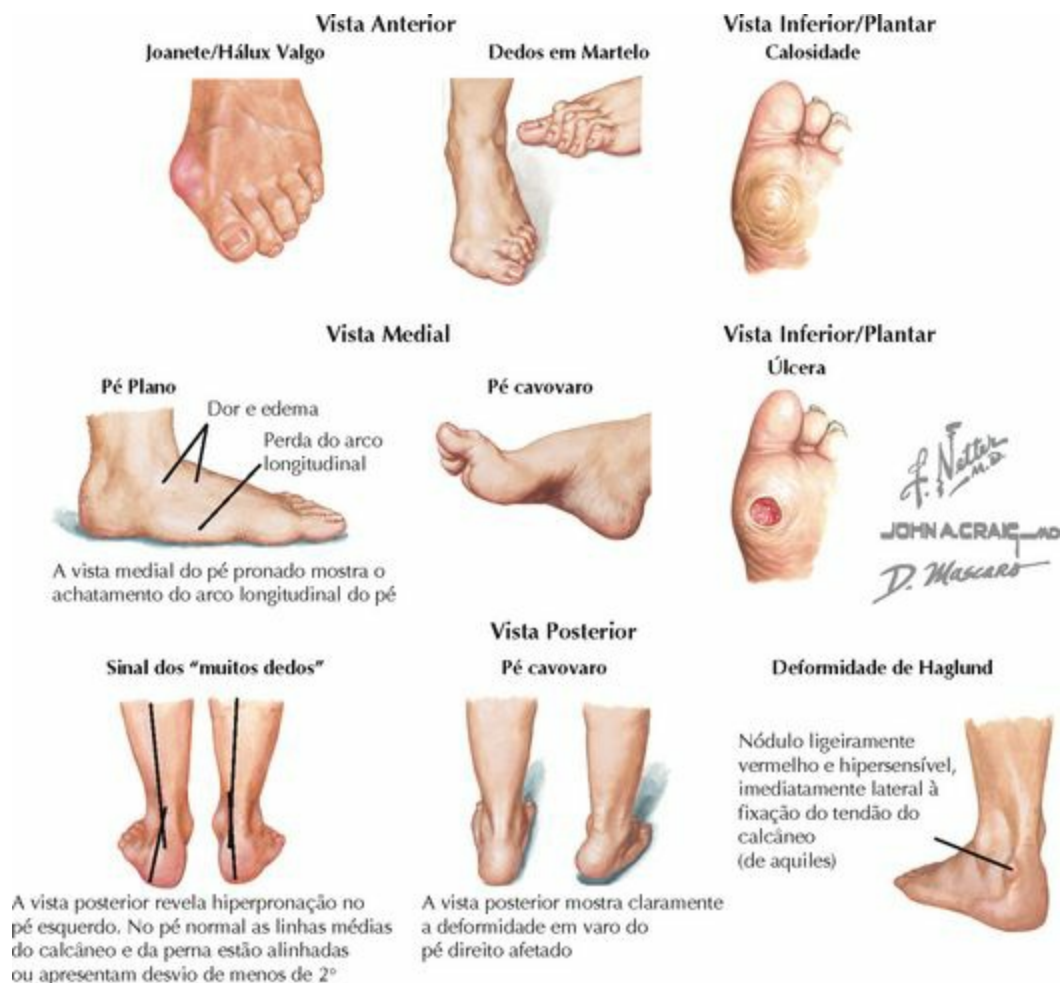
HISTÓRIA DA DOENÇA ATUAL



PERGUNTA	RESPOSTA	APLICAÇÃO CLÍNICA
1. Idade	Jovem	Entorse, fraturas
	Meia-idade-idoso	Lesões por uso excessivo, artrite, gota, hálux valgo, dedo em martelo
2. Dor		
a. Início	Aguda (menos comum)	Fratura, entorse, luxação
	Crônica	A maioria dos transtornos no pé/tornozelo é crônica; corredores
	Após entorse do tornozelo	OCD talar, subluxação de tendões fibulares ou ruptura de tendão, fratura do processo lateral (tálus), lesão NFS
b. Localização	Tornozelo	Fratura, osteoartrite, instabilidade, tendinite do tendão do m. tibial posterior
	Região posterior do pé	Fratura, bursite retrocalcânea, tendinite do tendão do calcâneo (“aquiliana”), artrite
	Planta	Fascite plantar, compressão de nervos, úlcera, metatarsalgia
	Região média do pé	Osteoartrite do tarso, fratura (de Lisfranc), DTTP (disfunção do tendão do m. tibial posterior)
	Região anterior do pé	Fraturas, metatarsalgia, neuroma de Morton, dedos em martelo
		Hálux valgo, hálux rígido, sesamoidite, frat., dedo

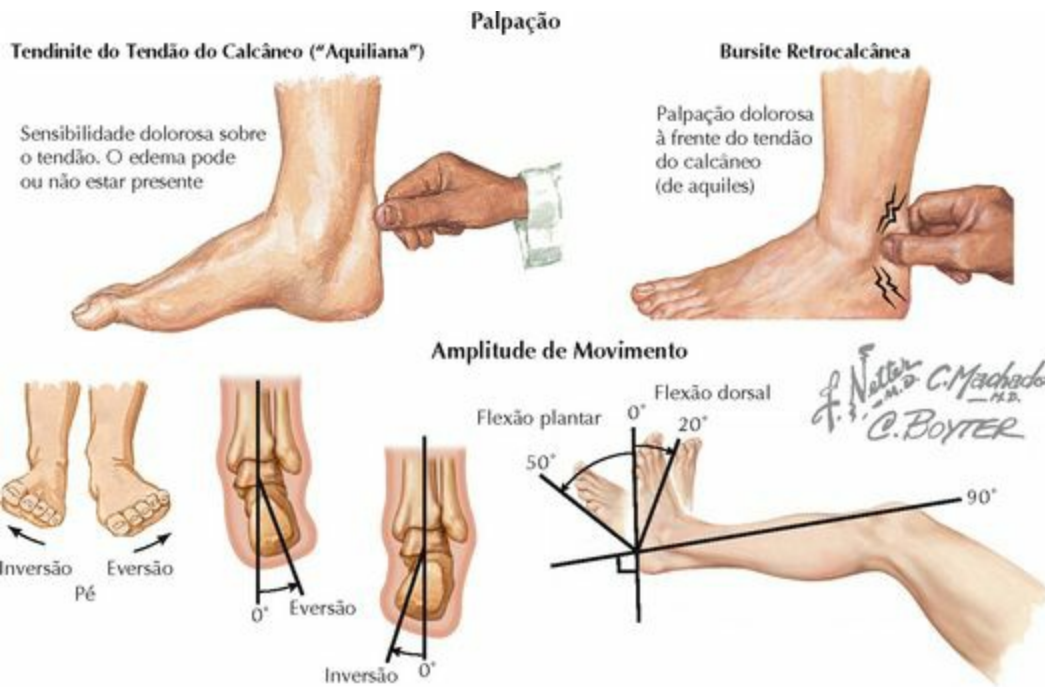
	1ª AMTF	de turfe, gota
	Bilateral	Considerar doença sistêmica, AR, CMT
c. Ocorrência	Dor matinal	Fascite plantar (melhora com o alongamento)
	Associada à atividade	Lesões do tipo uso excessivo e desgaste: frat. de estresse, tendinite, bursite
3. Rigidez	Sem bloqueio	Entorse do tornozelo, AR, osteoartrite
	Com bloqueio	Corpo livre
4. Edema	Sim	Entorse com fratura, artrite, gota
5. Trauma	Consegue sustentar peso	Entorses, contusões, fraturas de menor gravidade
	Não consegue sustentar peso	Fratura: tornozelo, tarsal, metatarsal
	Queda	Fratura do calcâneo, fratura do “pilão” tibial
6. Atividade/ocupação	Esportes, movimentos repetitivos	Tendinite do tendão do calcâneo (“aquiliana”), lesões por excesso de uso (p. ex., frat. de estresse)
	Ficar em pé o dia inteiro	Lesões por excesso de uso: tendinite, bursite
7. Tipo de calçado	“Sapato de bico fino” apertado/estrito	Hálux valgo (joanete, mais comum em mulheres)
8. Sintomas neurológicos	Dor, dormência, formigamento	Síndrome do túnel do tarso, neuropatia diabética, outras compressões de nervos
9. História da doença sistêmica	Manifestações no pé	Diabetes melito, gota, doenças vasculares periféricas, AR, síndrome de Reiter

EXAME FÍSICO



EXAME	TÉCNICA	APLICAÇÃO CLÍNICA/DIAGNÓSTICO DIFERENCIAL
INSPEÇÃO		
Pé (sustentação de peso)	Vista anterior	Hálux valgo (joanete), dedos em martelo, outras deformidades (pé torto congênito, MT aducto)
	Vista posterior	Valgo discreto é normal; deformidade de Haglund vista na tendinite do tendão do calcâneo ("aquiliana") Valgo aumentado: disfunção do m. tibial posterior, coalisão tarsal, pé planovalgo Alinhamento varo: doenças neurológicas (p. ex., Charcot-Marie-Tooth)
	Vista medial	Pé plano ("pé chato"): disfunção do m. tibial posterior, coalisão tarsal, pé planovalgo pediátrico Pé cavo (arco do pé alto): doenças neurológicas (p. ex., Charcot-Marie-Tooth)
Pé (sem SPe)	Vista inferior/plantar	Úlceras (esp. em diabéticos), calosidades, lesões por transferência (calosidade sob cabeça do 2º MT)

Edema	Tornozelo	Entorse, fratura
	Pé: Dorsal Medial Difuso	Fraturas, contusões
		Disfunção do m. tibial posterior
		Considerar etiologia cardiovascular
Pele	Cor Pelos	Palidez pode indicar doença vascular; congestão pode indicar insuficiência venosa Diminuição dos pelos pode indicar doença vascular periférica
Calçados	“Sapato de bico fino”	Associada ao hálux valgo (esp. em mulheres)
	Desgaste anormal	Pode indicar um desvio do alinhamento (p. ex., pé plano ou cavo) ou uma disfunção (p. ex., pé caído)



EXAME	TÉCNICA	APLICAÇÃO CLÍNICA
PALPAÇÃO		
Estruturas ósseas	1ª articulação MTF (MT e cabeça)	Joanete, dor: hálux rígido, sesamoides, dedo de turfe, gota
	Outra articulação MTF (MT)	Dor: metatarsalgia, doença de Freiberg, frat., joanete do alfaiate (cabeça do 5º MT)
	Ossos tarsais/(mediopé)	Sensibilidade dolorosa sugere fratura, osteoartrite, luxação

	Calcâneo/calcanhar	Dor: fratura; posterior: bursite (deformidade de Haglund); plantar: esporão, fascite plantar; medial: compressão de nervo
	Maléolos	Dor indica fratura, lesão da sindesmose na perna
Tecidos moles	Pele	Fria: doença vascular periférica Edema: trauma/infecção vs. insuficiência venosa
	Entre cabeças dos metatarsais	Dor: neuroma
	Ligamentos mediais do tornozelo	Dor sugere entorse do tornozelo (ligamento colateral medial)
	Tendões (no maléolo medial)	Dor indica tendinite, ruptura
	Ligamentos laterais do tornozelo	Dor sugere entorse do tornozelo: LTFA, LCF, LTFP (raro)
	Tendões fibulares (maléolo lateral)	Dor indica tendinite, ruptura, luxação/subluxação
	Tendão do calcâneo (de aquiles)	Dor: tendinite; defeito sugere ruptura do tendão do calcâneo (de aquiles)

AMPLITUDE DE MOVIMENTO

Talocrural (tornozelo): flexão dorsal/flexão plantar	Estabiliza articulação subtalar	Normal: flexão 50°/extensão 25°
Talocalcânea (subtalar): inversão/eversão	Estabiliza a tibia	Normal: inversão 5°-10°/eversão 5°
Transversa do tarso: adução/abdução	Estabiliza o calcanhar/região posterior do pé, aplicar estresse em abdução/adução	Normal: adução 20°/abdução 10°
Hálux:		
AMTF: flexão/extensão	Estabiliza o pé, flexão/extensão	Normal: flexão 75°/extensão 75°; diminuídas no hálux rígido
AIF: flexão/extensão	Estabiliza o pé, flexão/extensão	Normal: flexão 90°/extensão 0°

Movimentos combinados; pronação: flexão dorsal, eversão, abdução; supinação: flexão plantar, inversão, adução

Teste de Thompson



Normal: Apertar a panturrilha leva à contração dos músculos gastrocnêmio e sóleo, provocando a flexão plantar na articulação talocrural (do tornozelo) se o tendão do calcâneo (de aquiles) estiver intacto

A ruptura do tendão do calcâneo (de aquiles) resulta em ausência do movimento de flexão plantar na articulação talocrural (do tornozelo) quando a panturrilha é comprimida

Elevação do Calcânhar



Ao ficar em pé, com apoio sobre os dedos, a função normal do TTP é puxar o calcânhar para varo. A disfunção do TTP permite que o calcânhar permaneça na posição valgo

Teste dos Blocos de Coleman



EXAME

TÉCNICA

APLICAÇÃO CLÍNICA

NEUROVASCULAR

Sensitivo

N. safeno (L4)	Região medial do pé (cutâneo medial)	Déficit indica lesão do nervo ou raiz correspondente
N. tibial (L4-S1)	Planta (plantar med. e lat.)	Déficit indica lesão do nervo ou raiz correspondente
N. fibular superficial	Dorso do pé	Déficit indica lesão do nervo ou raiz correspondente
N. fibular profundo (L5)	1º espaço interdigital dorsal	Déficit indica lesão do nervo ou raiz correspondente
N. sural (S1)	Região lateral do pé	Déficit indica lesão do nervo ou raiz correspondente

Motor

N. fibular profundo (L4)	Inversão/flexão dorsal do pé	Fraqueza = lesão do m. tibial anterior ou do nervo/raiz correspondente
N. fibular profundo (L5)	Extensão (flexão dorsal) do hálux	Fraqueza = lesão do m. extensor longo do hálux ou do nervo/raiz correspondente
N. tibial (S1)	Flexão plantar do pé	Fraqueza = lesão do m. gastrocnêmio ou do nervo/raiz correspondente
N. fibular superficial	Eversão pé	Fraqueza = lesão dos músculos fibulares ou do nervo/raiz correspondente

Reflexos

S1	Reflexo aquiliano	Hipoativo/ausente indica radiculopatia de S1
Neurônio motor superior	Reflexo de Babinski	Dedos do pé voltados para cima indicam transtorno do neurônio motor superior
	A. dorsal do pé	

Pulsos	(no dorso do pé) A. tibial posterior (posterior ao maléolo medial)	Pulsos diminuídos = trauma/comprometimento vascular, doença vascular periférica
TESTES ESPECIAIS		
Thompson	Decúbito ventral: comprimir panturrilha	Ausência de flexão plantar do pé indica ruptura do tendão do calcâneo (de aquiles)
Gaveta anterior	Estabilizar tibia, flexão plantar do pé, força anterior sobre o calcânhar	Testa os ligamentos laterais (esp. LTF). Aumento da frouxidão indica lesão do ligamento
Inclinação talar	Estabilizar tibia, flexão dorsal do pé, inversão do pé	Testa os ligamentos laterais (esp. LCF). Aumento da frouxidão indica lesão do ligamento.
Estresse/tensão em rotação lateral	Estabilizar tibia, rotação lateral do pé	Testa os ligamentos colateral medial (“ deltóideo profundo ”) e sindesmótico . A frouxidão indica lesão do ligamento
Estresse/tensão em eversão	Estabilizar tibia, eversão do pé	Testa o ligamento colateral medial (“ deltóideo superficial ”). Aumento da frouxidão indica lesão do ligamento
Aperto	Comprimir a parte distal da tibia/fíbula	Dor pode sugerir uma lesão da sindesmose (entorse ou ruptura completa)
Elevação do calcânhar	Em pé, elevar-se apoiando-se nos dedos do pé	Calcânhar em varo. Ausência de varo na DTTP e nas deformidades fixas. Incapacidade de efetuar elevação de apenas um calcânhar indica DTTP
Blocos de Coleman	Região lateral do pé e do calcânhar sobre um bloco; 1º raio fica livre	Varo flexível da parte posterior do pé: tornozelo passa a valgo ou à posição neutra quando suportado por um bloco. Varo fixo da parte posterior do pé: tornozelo permanece em varo sobre o bloco
Sinal de Tinel	Batidas leves sobre o nervo posteriormente ao maléolo medial	Parestesias/formigamento indicam compressão do nervo tibial (no túnel do tarso)
Compressão	Comprimir o pé nas cabeças dos MT	Dor (ou dormência/formigamento): neuroma interdigital (neuroma de Morton)



CICLO DA MARCHA

Geral

Interação complexa de vários músculos e articulações em ambas as extremidades inferiores para produzir a propulsão do corpo

Definições

Marcha: maneira pela qual uma pessoa caminha

Passo: da batida do calcanhar de um dos pés à batida do calcanhar do pé oposto

Passada: da batida do calcanhar de um dos pés à batida do calcanhar subsequente do mesmo pé

Fases

Apoio (62%): parte da marcha em que o pé está em contato com o solo. Pode ser subdividida em 3 (ou 5) subcategorias:

- Fase inicial – posição de duplo apoio (12%): ambos os pés na posição de apoio, pé oposto com os dedos saindo do chão
- Fase intermediária – posição de apoio simples (médio apoio) (38%): pé oposto na fase de balanço
- Fase terminal – posição de apoio duplo (12%): ambos os pés na posição de apoio, pé oposto em batida do calcanhar

Balanço (38%): parte da marcha com o pé no ar, avançando adiante

Sequência

1. Batida do calcanhar: tornozelo está em flexão plantar contra a contração **excêntrica** do TA. A articulação talocalcânea (subtalar) começa a eversão, permitindo a rotação medial da tibia
2. Pé plano: o músculo **gastrocnêmio** contrai-se excentricamente para limitar a FD do tornozelo. O pé entra em pronação e a articulação talocalcânea (subtalar) realiza a eversão, resultando em uma articulação transversa do tarso paralela e flexível, o que possibilita ao pé receber o peso e se ajustar a superfícies irregulares
3. Médio apoio: peso corporal está sobre perna de apoio. O tornozelo está neutro. O pé começa a

transição a uma posição rígida para possibilitar a arrancada (impulso)

4. Saída do calcanhar: o músculo tibial posterior (**TP**) inicia a inversão talocalcânea (subtalar) (tornando a articulação transversa do tarso não paralela e rígida). O pé entra em supinação, a tíbia realiza a rotação lateral e o músculo **gastrocnêmio** contrai-se **concentricamente**, produzindo a flexão plantar do tornozelo/saída do calcanhar

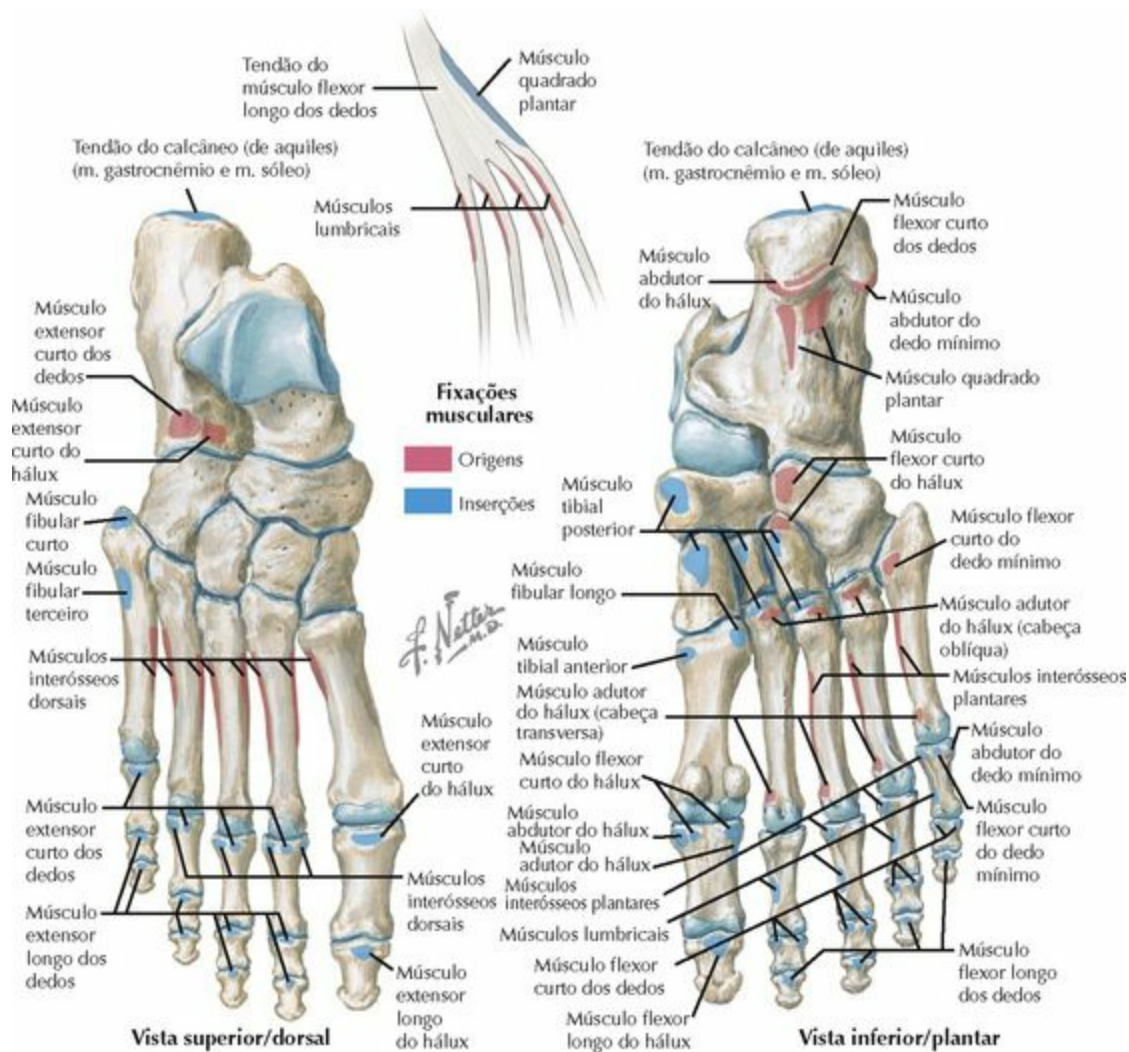
5. Saída dos dedos: a flexão dorsal passiva dos dedos inicia o mecanismo de molinete, que encurta a fáscia plantar, aprofundando o arco e invertendo ainda mais a articulação talocalcânea (subtalar), fixando a articulação transversa do tarso e tornando o pé uma alavanca rígida para iniciar a marcha

6. Pré-balanço: o joelho é flexionado para proporcionar a elevação do pé no balanço inicial

7. Balanço médio: joelho e quadril flexionados, assim como a contração concêntrica do compartimento anterior (TA), fazem o pé sair do chão

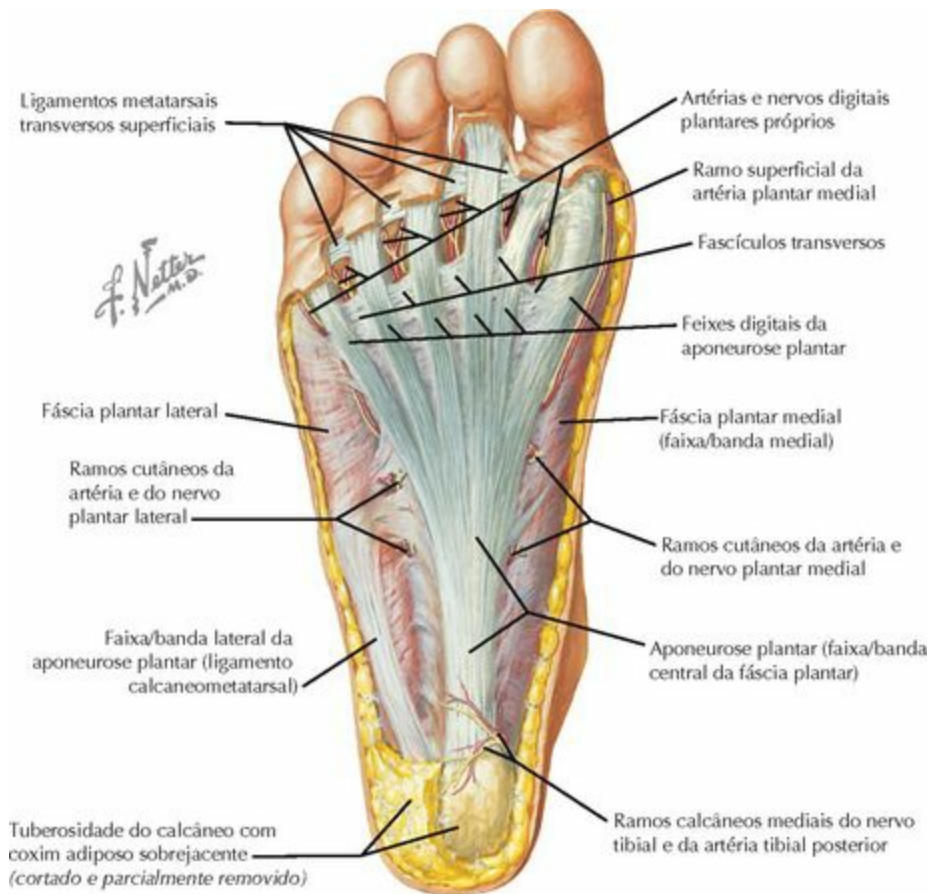
8. Balanço terminal: começa a transição para a batida do calcanhar

ORIGENS E INSERÇÕES



CALCÂNEO	METATARSAL	FALANGES – DORSAL	FALANGES – PLANTAR	TENDÃO FLD
Dorsal M. extensor curto do hálux M. extensor curto dos dedos	Dorsal M. fibular curto M. fibular terceiro M. interósseo dorsal	M. extensor curto do hálux M. extensor longo do hálux M. extensor curto dos dedos	M. adutor do hálux (cabeça transversa) M. abductor do hálux M. flexor curto do hálux	M. lumbrical M. quadrado plantar
Plantar M. flexor curto dos dedos M. abductor do hálux M. abductor do dedo mínimo	Plantar M. tibial anterior M. fibular longo M. adutor do hálux (cabeça oblíqua)	M. extensor longo dos dedos M. extensor longo dos dedos M. interósseo dorsal	M. adutor do hálux M. flexor longo do hálux M. flexor curto dos dedos M. flexor longo dos dedos M. flexor curto do dedo mínimo	M. abductor do dedo mínimo Mm. lumbricais M. interósseo plantar
Posterlor Mm. gastrocnêmio/sóleo (tendão de aquiles)	M. flexor curto do dedo mínimo M. interósseo plantar M. adutor do hálux (cabeça transversa)		M. abductor do dedo mínimo Mm. lumbricais M. interósseo plantar	

MÚSCULOS



ESTRUTURA/FUNÇÃO

COMENTÁRIO

FÁSCIA PLANTAR

Estrutura: 3 partes

Entre os transtornos que afetam a fáscia estão a **fascite plantar** e a **fibromatose**

1. Faixa (banda) central (considerada como a aponeurose plantar)

Faixa espessa e única que sai do calcâneo, abre-se em leque e divide-se distalmente para se inserir em cada dedo
Da região medial da tuberosidade do calcâneo a:
Superficial – bainhas dos tendões do mm. flexores
Profundo – ligamentos metatarsais transversos profundos

2. Faixa (banda) medial

Sustenta o músculo abductor do hálux

3. Faixa (banda) lateral

Sustenta o músculo abductor do dedo mínimo
Insere-se na base do 5º metatarsal. Pode ser causa de **fraturas por avulsão**

Função

1. Estabiliza o arco longitudinal do pé
2. Protege estruturas subjacentes
3. Estabiliza o pé na marcha (“*windlass mechanism*”)

CAMADA**ESTRUTURAS****CAMADAS DO PÉ**

Fáscia plantar

3 faixas (bandas) – ver acima

1ª : 3 músculos

Músculos abductor do hálux, flexor curto dos dedos, abductor do dedo mínimo

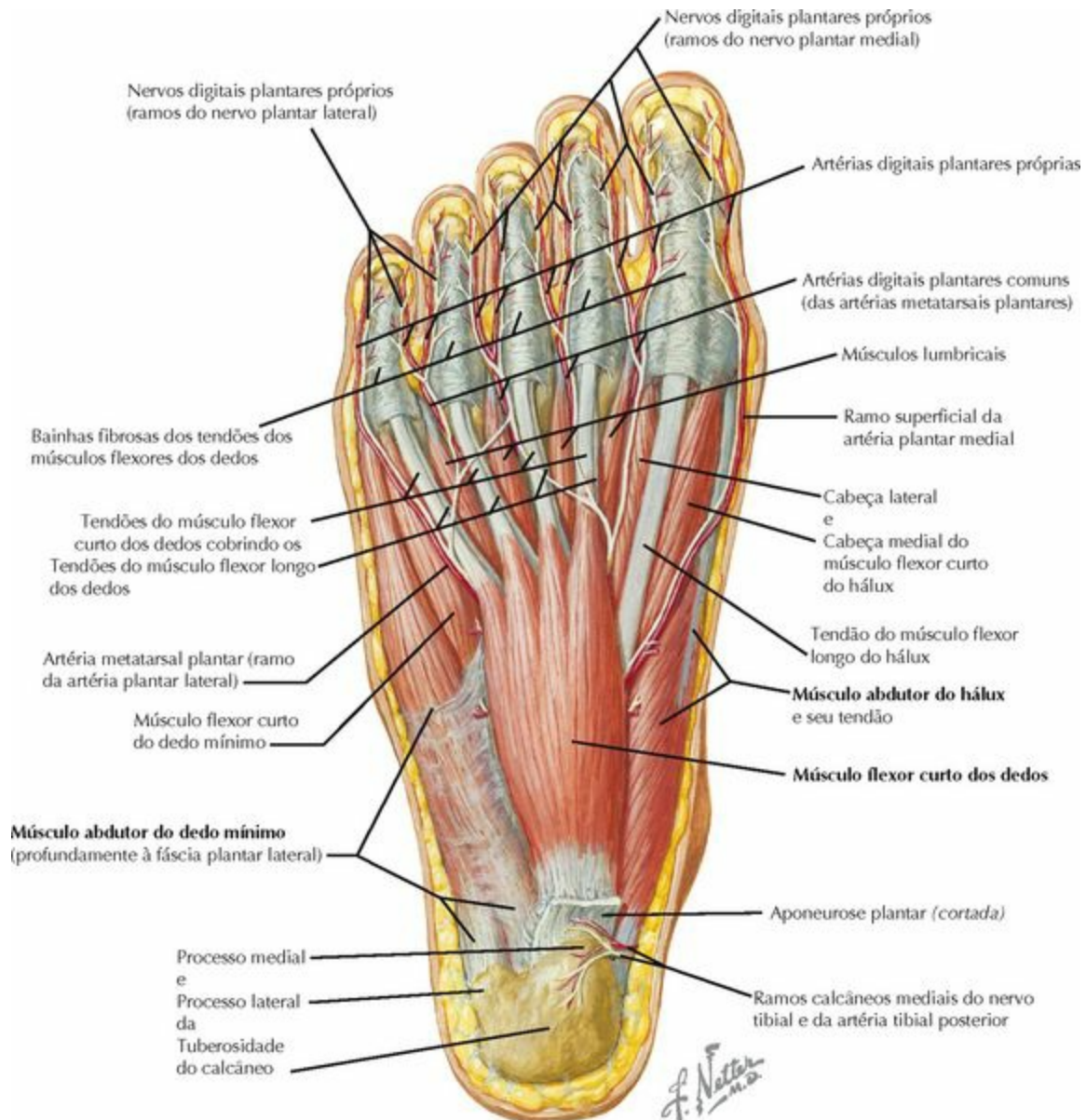
2ª : 2 músculos

Músculos quadrado plantar, lumbricais (2 tendões: **FLH** e **FLD**)

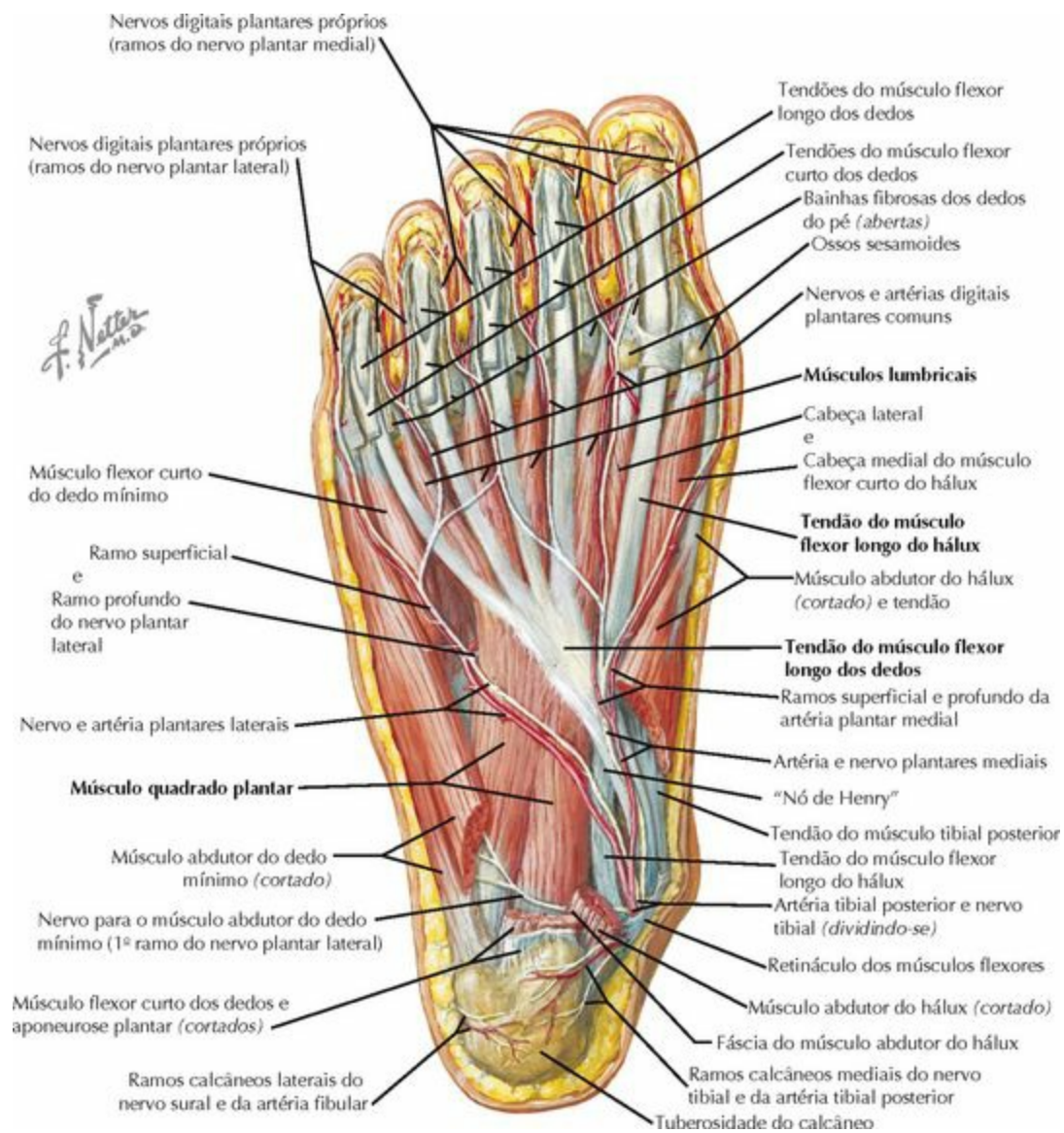
3ª : 3 músculos

Músculos flexor curto do hálux, adutor do hálux, flexor curto do dedo mínimo

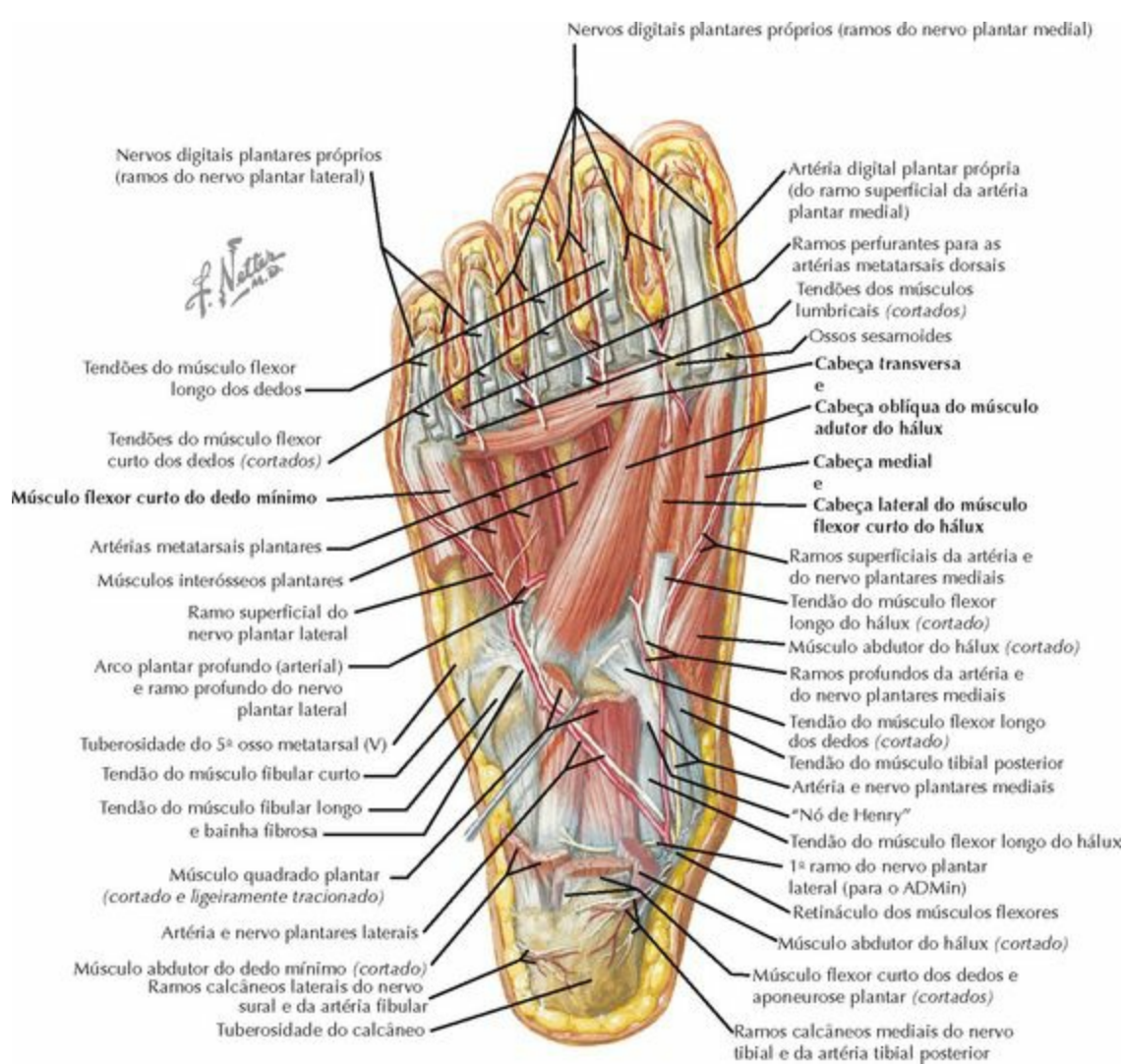
4ª : 2 músculos

Músculos interósseos plantares, interósseos dorsais (2 tendões: **FL** e **TP**)

ESTRUTURA/FUNÇÃO		COMENTÁRIO
FÁSCIA PLANTAR		
Estrutura: 3 partes 1. Faixa (banda) central (considerada como a aponeurose plantar) 2. Faixa (banda) medial 3. Faixa (banda) lateral	Entre os transtornos que afetam a fáscia estão a fascíte plantar e a fibromatose Faixa espessa e única que sai do calcâneo, abre-se em leque e divide-se distalmente para se inserir em cada dedo Da região medial da tuberosidade do calcâneo a: Superficial – bainhas dos tendões do mm. flexores Profundo – ligamentos metatarsais transversos profundos Sustenta o músculo abductor do hálux Sustenta o músculo abductor do dedo mínimo Insere-se na base do 5º metatarsal. Pode ser causa de fraturas por avulsão	
Função 1. Estabiliza o arco longitudinal do pé 2. Protege estruturas subjacentes 3. Estabiliza o pé na marcha (" windlass mechanism ")		
CAMADA		ESTRUTURAS
CAMADAS DO PÉ		
Fáscia plantar	3 faixas (bandas) – ver acima	
1ª: 3 músculos	Músculos abductor do hálux, flexor curto dos dedos, abductor do dedo mínimo	
2ª: 2 músculos	Músculos quadrado plantar, lumbricais (2 tendões: FLH e FLD)	
3ª: 3 músculos	Músculos flexor curto do hálux, adutor do hálux, flexor curto do dedo mínimo	
4ª: 2 músculos	Músculos interósseos plantares, interósseos dorsais (2 tendões: FL e TP)	

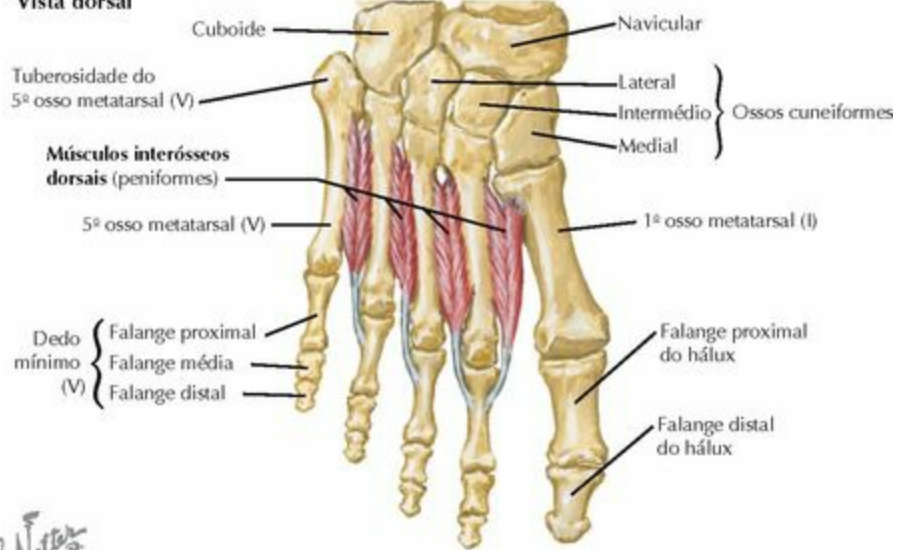


MÚSCULO	ORIGEM (Inserção Proximal)	INSERÇÃO (Inserção Distal)	NERVO	AÇÃO	COMENTÁRIO
PRIMEIRA CAMADA					
Abductor do hálux	Processo medial da tuberosidade do calcâneo	Do sesamoide medial até a falange proximal do hálux	Plantar medial	Abduz o hálux	A fásia pode comprimir o nervo no ADMin
Flexor curto dos dedos (FCD)	Processo medial da tuberosidade do calcâneo	Regiões laterais das falanges médias: 4 dedos laterais	Plantar medial	Flexiona os 4 dedos laterais	Sustenta o arco longitudinal do pé
Abductor do dedo mínimo (ADMin)	Processos medial e lateral da tuberosidade do calcâneo	Parte lateral da base da falange proximal: 5º dedo	Plantar lateral (1º ramo)	Abduz o dedo mínimo	Nervo pode ser comprimido pela fásia do m. abductor do hálux



MÚSCULO	ORIGEM (Inserção Proximal)	INSERÇÃO (Inserção Distal)	NERVO	AÇÃO	COMENTÁRIO
SEGUNDA CAMADA					
Quadrado plantar	Região medial e lateral da face plantar do calcâneo	Parte lateral do tendão do FLD	Plantar lateral	Ajuda o FLD na flexão dos dedos	Duas cabeças/dois ventres unem-se no tendão do FLD
Lumbricais	Tendões separados do FLD	Falanges proximais, expansão extensora	1: plantar medial 2-4: lateral plantar	Flexiona a articulação MTF, estende a articulação IF	O 1º m. lumbrical fixa-se apenas no 1º tendão do FLD
<ul style="list-style-type: none"> • O nervos plantar medial e plantar lateral são ramos terminais do nervo tibial; eles passam pela segunda camada • Tendões dos mm. FLH e do FLD também passam pela segunda camada • O tendão do FLH passa entre os tubérculos do processo posterior do tálus, sob o sustentáculo do tálus e, em seguida, passa profundamente ao FLD no "nó de Henry" (cruzamento do FLH e do FLD) 					

Vista dorsal

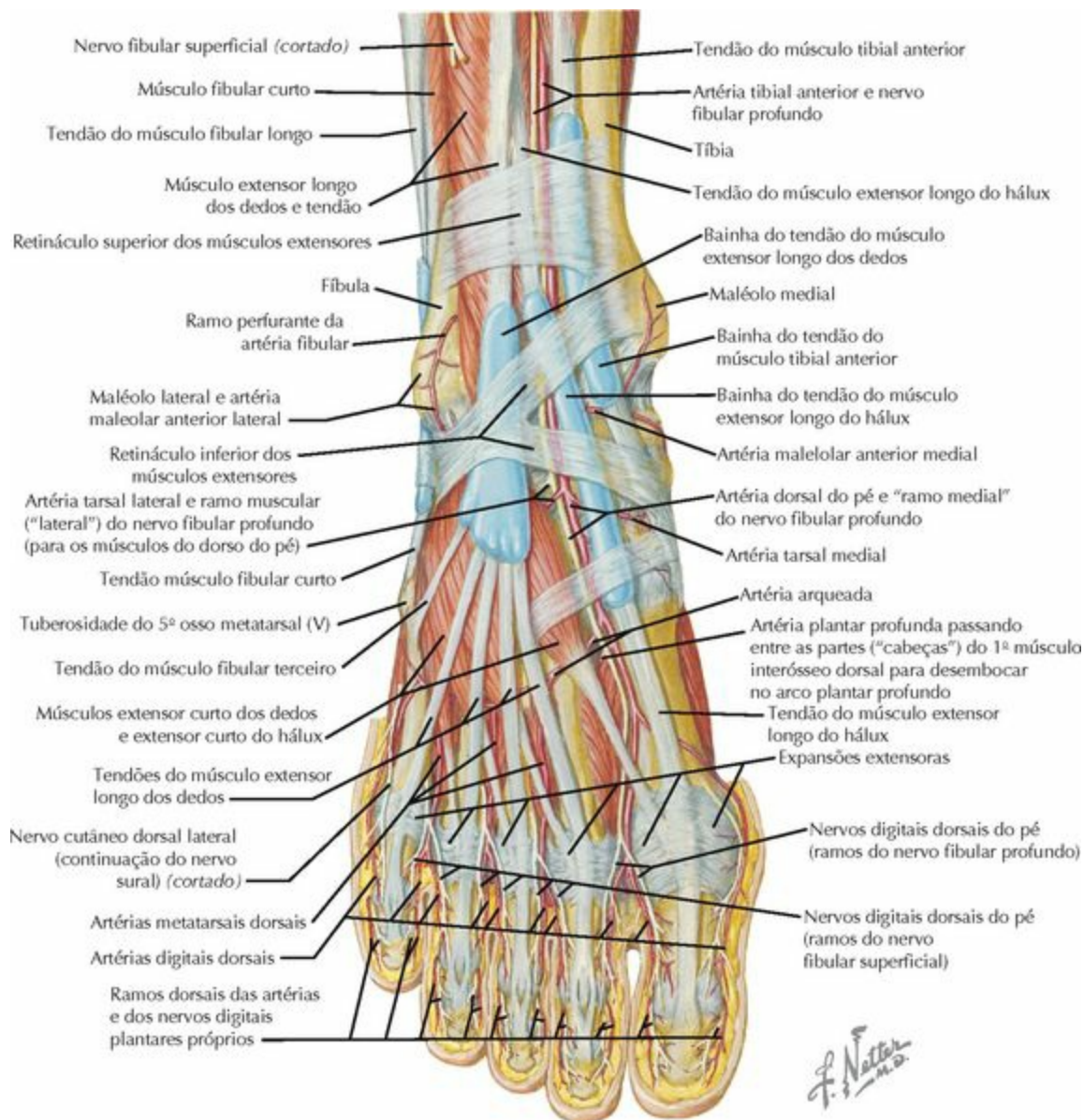


F. S. Natta
M.D.

Vista plantar

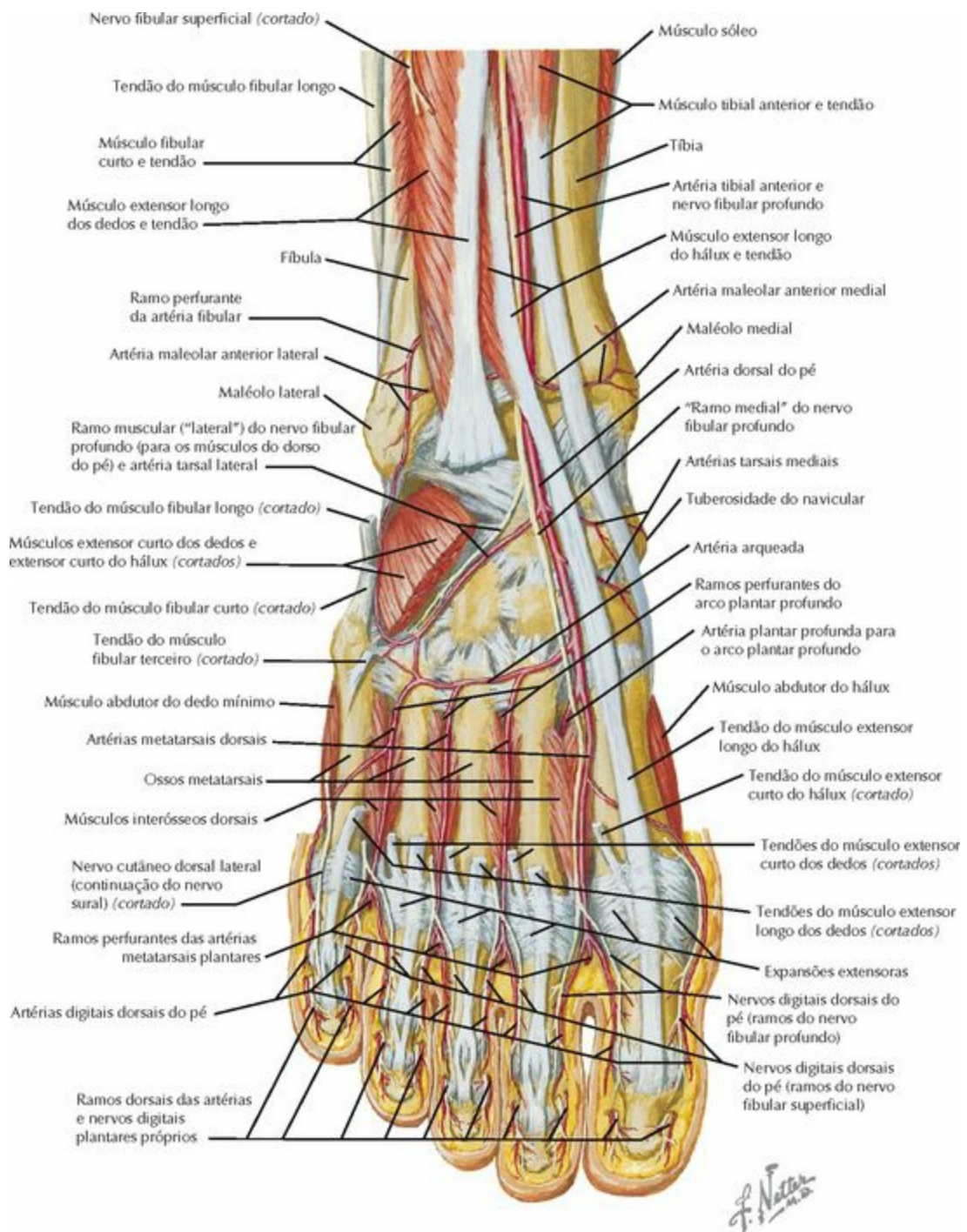


MÚSCULO	ORIGEM (Inserção Proximal)	INSERÇÃO (Inserção Distal)	NERVO	AÇÃO	COMENTÁRIO
TERCEIRA CAMADA					
Flexor curto do hálux (FCH)	Cuboide, cuneiforme lateral	Dos sesamoides até a falange proximal do hálux	Plantar medial	Auxilia na flexão do hálux na AMTF	Ossos sesamoides estão dentro dos tendões
Adutor do hálux	Cabeça oblíqua: base do 2º-4º MT Cabeça transversa: lateralmente à 4ª articulação MTF	Do sesamoide lateral até a região lateral da falange proximal do hálux	Plantar lateral	Aduz o hálux	As duas cabeças têm orientações diferentes; contribui para a deformidade do hálux valgo
Flexor curto do dedo mínimo (FCDMin)	Base do 5º metatarsal	Base da falange proximal do dedo mínimo	Plantar lateral	Flexiona o dedo mínimo	Músculo pequeno, relativamente insignificante

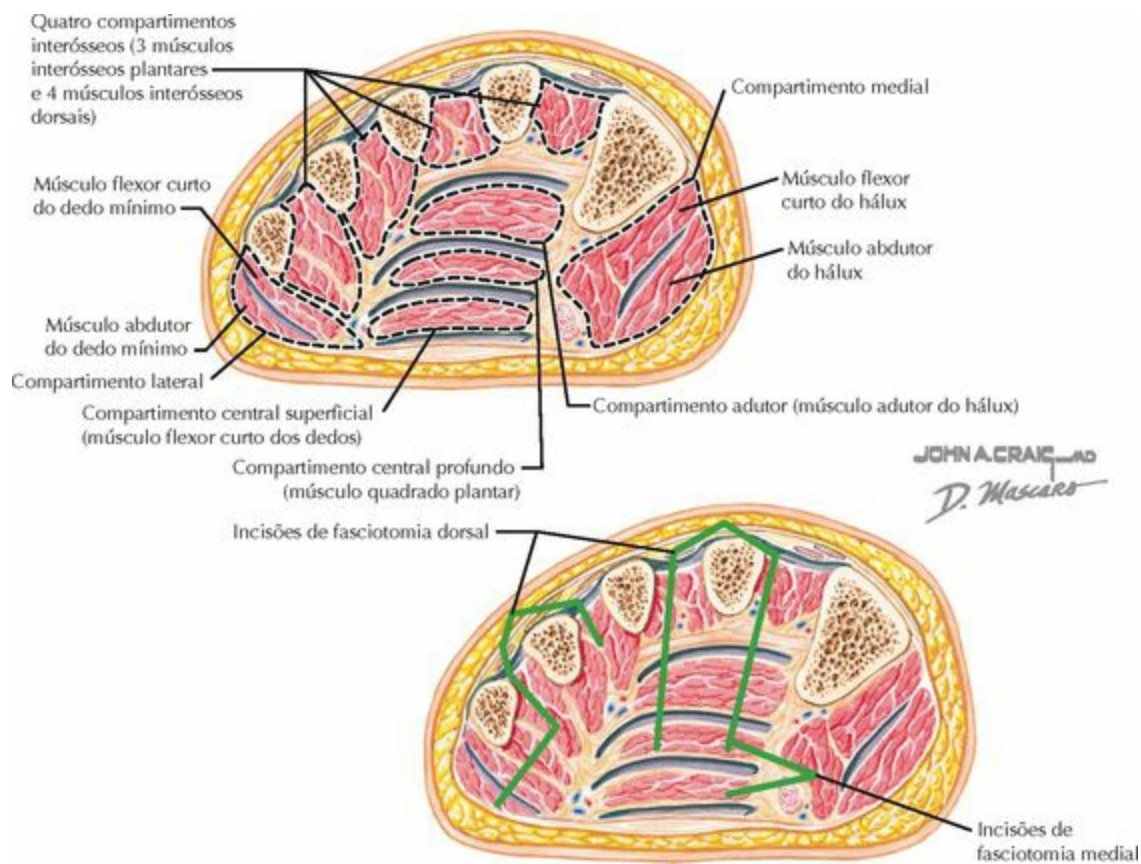


F. Netter M.D.

MÚSCULO	ORIGEM (Inserção Proximal)	INSERÇÃO (Inserção Distal)	NERVO	AÇÃO	COMENTÁRIO
QUARTA CAMADA					
Interósseos plantares (3)	Região medial do 3 ^a , 4 ^a e 5 ^a MT	Região medial das falanges proximais: dedos III-V	Plantar lateral	Aduz os dedos, flexiona AMTF; estende AIF	Fixação no MT é medial para todos os 3
Interósseos dorsais (4)	Corpos (diáfises) dos MT adjacentes	Região medial da falange proximal (2 ^a dedo) Região lateral da falange proximal (2 ^a -4 ^a dedos)	Plantar lateral	Abduz os dedos	Maiores que os interósseos plantares (peniformes)
<p>Os tendões dos músculos fibular longo e tibial posterior passam através da quarta camada PAD = Plantares ADuzem, DAB = Dorsais ABduzem (o segundo dedo é o ponto de referência para abdução/adição no pé)</p>					



F. Netto

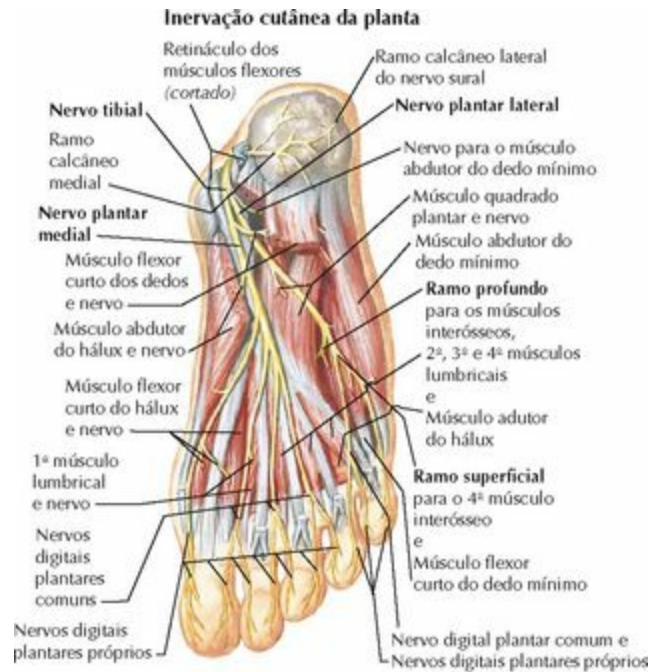


COMPARTIMENTO	CONTEÚDO
COMPARTIMENTOS (9)	
Medial	Músculos abductor do hálux, flexor curto do hálux, tendão do FLH
Lateral	Músculos abductor do dedo mínimo, flexor do dedo mínimo
Central superficial	Músculos flexor curto dos dedos, lumbricais (4), tendões do FLD
Central profundo (calcaneal)	Músculo quadrado plantar, feixe neuromuscular tibial posterior
Adutor	Músculo adutor do hálux
Interósseo (1-2)	Músculo interósseo dorsal
Interósseo (2-3)	Músculos interósseos dorsal e plantar
Interósseo (3-4)	Músculos interósseos dorsal e plantar
Interósseo (4-5)	Músculos interósseos dorsal e plantar
O compartimento central profundo (calcaneal) comunica-se com a parte profunda do compartimento posterior da perna	
FASCIOTOMIAS	
Incisões	3 incisões (2 dorsais e 1 medial) podem liberar todos os compartimentos
Dorsal (1)	Sobre o 2º metatarsal, dissecar de ambos os lados: liberar interósseo medial 2, adutor, central profundo
Dorsal (2)	Sobre o 4º metatarsal, dissecar de ambos os lados: liberar interósseo lateral 2, lateral e ambos os centrais

Medial

Ao longo da margem medial da parte posterior do pé e do mediopé:
liberar compartimentos medial e centrais superficial e profundo

NERVOS



PLEXO LOMBAR

Divisão Posterior

N. safeno (L2-L4): ramo do nervo femoral, desce superficialmente na região medial da perna e depois passa anteriormente ao maléolo medial até o arco longitudinal medial do pé

Sensitivo: Parte medial do tornozelo e pé (arco)

Motor: Nenhum

PLEXO SACRAL

Divisão Anterior

N. tibial (L4-S3): posterior ao maléolo medial, no túnel do tarso, divide-se em **nervos plantar medial e plantar lateral** para a face plantar

Sensitivo: Parte medial do calcanhar, pelo **ramo calcâneo medial**

Motor: Nenhum (antes de se dividir)

N. plantar medial: segue medialmente pelo pé na 2ª camada plantar. Compressão pode causar dor na parte medial/arco do pé (esp. em **corredores**)

Sensitivo: Região medial da face plantar do pé e dos dedos

Motor:

- Primeira camada plantar
 - M. abductor do hálux
 - M. flexor curto dos dedos (FCD)
- Segunda camada plantar
 - Mm. lumbricais (2 mediais)
- Terceira camada plantar
 - M. flexor curto do hálux (FCH)

N. plantar lateral: emite um ramo para o ADMin (pode ser **comprimido** pela fásia do músculo abductor do hálux), seguindo então lateralmente na 2ª camada plantar

Sensitivo: Região lateral da face plantar do pé e dos dedos

Motor:

- Primeira camada plantar
 - M. abductor do dedo mínimo (ADMin): via **1º ramo** (“**n. de Baxter**”)
- Segunda camada plantar
 - M. quadrado plantar
 - Mm. lumbricais (2 laterais)
- Terceira camada plantar
 - M. adutor do hálux
 - M. flexor curto do dedo mínimo
- Quarta camada plantar
 - Mm. interósseos dorsais
 - Mm. interósseos plantares

◦ M. extensor curto dos dedos (ECD)

N. fibular superficial: segue pelo compartimento lateral da perna, cruza anteriormente **12 cm** acima do maléolo lateral para o dorso do pé, dividindo-se então em 2 nervos. Pode ser lesionado durante **RAFI** do tornozelo ou pelo **portal** anterolateral da artroscopia

Sensitivo:

Dorso do pé: **nervo cutâneo dorsal intermédio**
Região medial do hálux: pelo **nervo cutâneo dorsal medial**

Motor:

Nenhum (no pé e no tornozelo)

Outros

N. sural: formado pelo n. cutâneo sural medial (do nervo tibial) e pelo n. cutâneo sural lateral (do nervo fibular), segue subcutaneamente na região posterolateral da perna. Emite um ramo ao calcânhar, terminando então na região lateral do pé e dos dedos

Sensitivo:

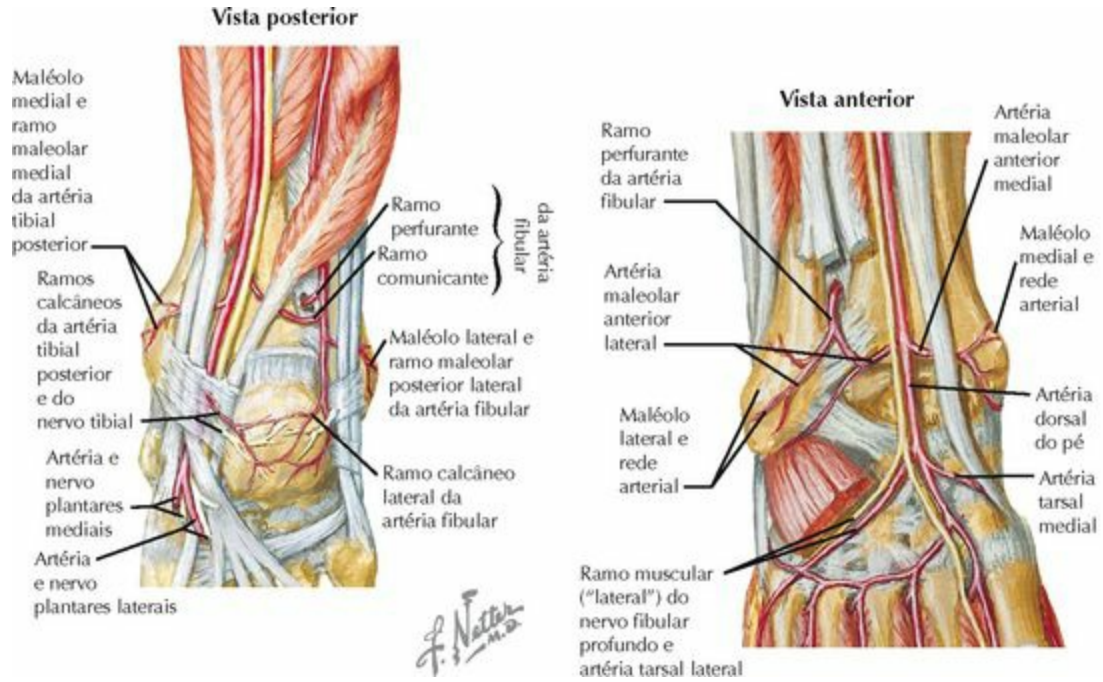
Região lateral do calcânhar: **pelos ramos calcâneos laterais**
Região lateral do pé: pelo nervo **cutâneo dorsal lateral**

Motor:

Nenhum

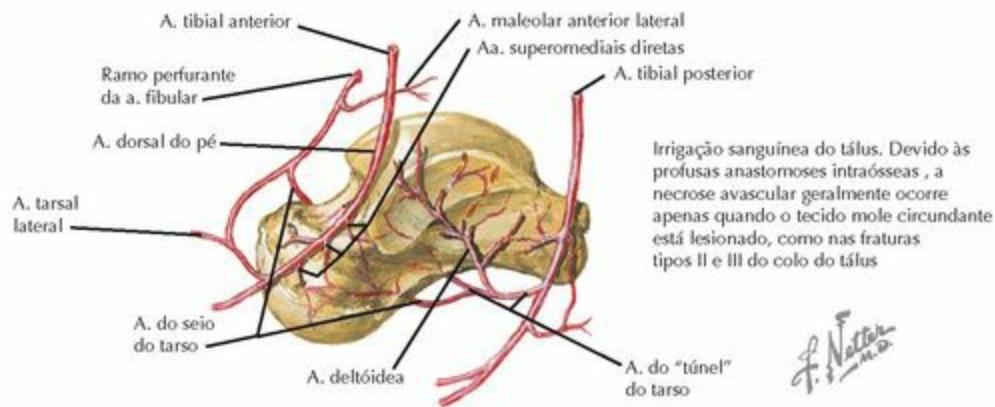
Inervação sensitiva dorsal do pé: 3 nervos cutâneos (2 provenientes do nervo fibular superficial, 1 proveniente do nervo sural)

ARTÉRIAS

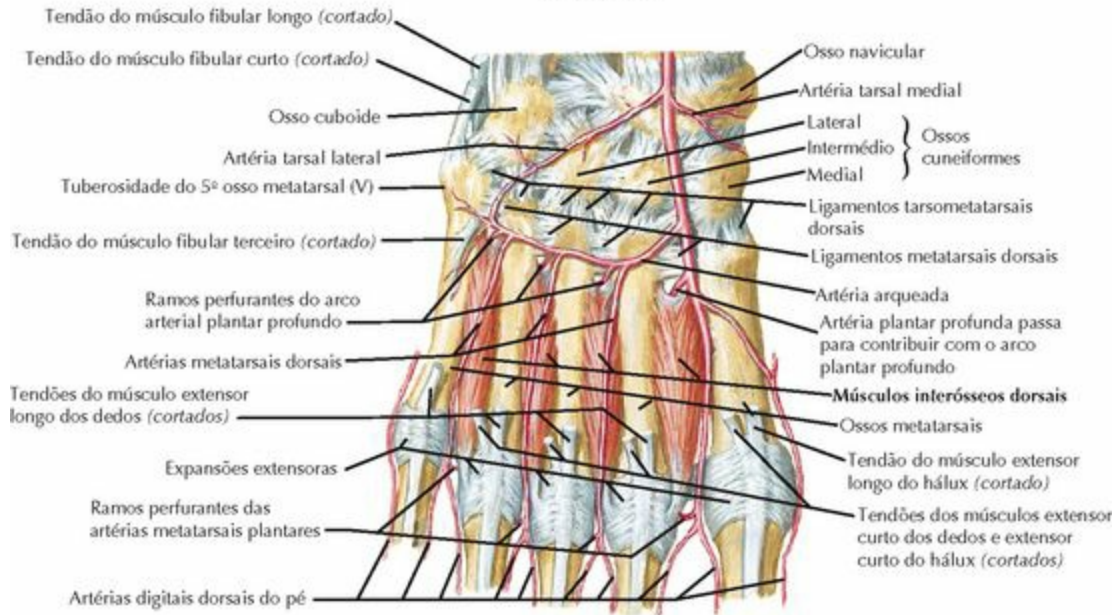


ARTÉRIA	TRAJETO	RAMOS	COMENTÁRIO/IRRIGAÇÃO
ARTÉRIA TIBIAL ANTERIOR			
Maleolar anterior medial	Abaixo dos tendões do TA e FLH até o maléolo medial	Nenhum	Irriga o maléolo medial
Maleolar anterior lateral	Abaixo do tendão do ELD até o maléolo lateral	Nenhum	Irriga o maléolo lateral
Dorsal do pé	Ao longo do dorso do pé com o nervo fibular profundo	Continuação da artéria tibial anterior no pé	Irriga o dorso do pé por vários ramos (ver tabela do pé)
ARTÉRIA TIBIAL POSTERIOR			
Maleolar posterior medial	Abaixo dos tendões do TP e FLD até o maléolo medial	Nenhum	Irriga o maléolo medial
Calcânea medial	Com o ramo calcâneo medial (do n. tibial)	Nenhum	Irriga o calcanhar/calcâneo
Ramos Terminais			
Plantar lateral	Entre os mm. quadrado plantar e FCD na 2ª camada; faz trajeto com o n. plantar lateral	Arco plantar profundo	O maior dos ramos terminais Termina como arco plantar profundo
Plantar medial	Entre os mm. abductor do hálux e FCD na 2ª camada; faz trajeto com o n. plantar medial	Ramo superficial 1 digital plantar próprio Ramo profundo	Segue pela região medial do pé Irriga a região medial da face plantar do hálux Irriga a região central da face plantar do medlopé
ARTÉRIA FIBULAR			
Ramo perfurante	Perfura membrana interóssea no trajeto até a região anterior do tomozelo	Ramos ou contribui para artéria do selo do tarso	Une-se à artéria maleolar anterior lateral Irrigação direta da região posterior do tálus
Maleolar posterior lateral	Abaixo dos tendões dos mm. FL e FC até o maléolo lateral	Nenhum	Irriga o maléolo lateral
Calcânea lateral	Com o ramo calcâneo lateral (do n. sural)	Nenhum	Irriga o calcanhar/calcâneo
As artérias maleolares mediais anterior e posterior e as artérias maleolares laterais anterior e posterior formam uma anastomose em cada maléolo			

Irrigação Sanguínea do Tálus

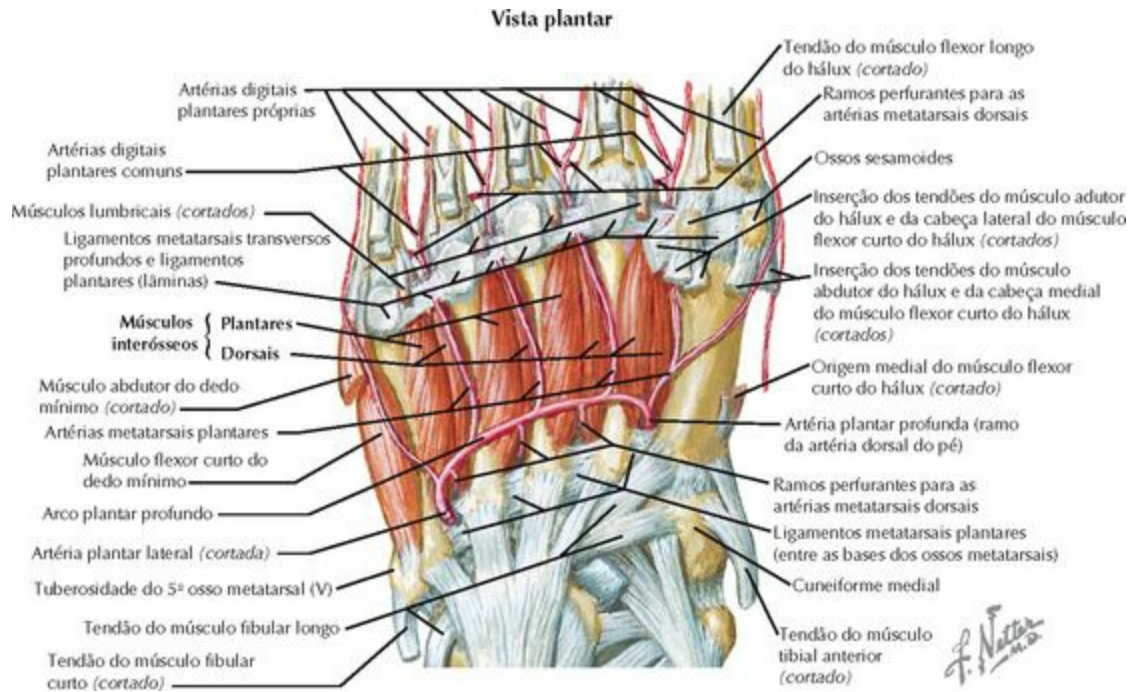


Vista dorsal



ARTÉRIA	ARTÉRIA-TRONCO	OSSO IRRIGADO
IRRIGAÇÃO SANGUÍNEA DO TÁLUS		
1. Artéria do “túnel” do tarso	Tibial posterior (TP)	Corpo (cúpula): suprimento primário do corpo
2. Artéria deltóidea	Artéria do “túnel” do tarso	Região medial do corpo; a artéria perfura o ligamento colateral medial (deltóideo)
3. Artérias superomediais diretas	Dorsal do pé	Cabeça e colo
4. Artéria do seio do tarso	Dorsal do pé e/ou Fibular (r. perfurante)	Colo e região lateral do corpo; contribui também para a cabeça
5. Artérias posteriores diretas	Fibular (r. perfurante)	Processo posterior/corpo

- Artérias do “túnel” do tarso e do seio do tarso formam uma anastomose primária inferiormente ao colo do tálus que supre o colo.
- Anastomoses intraósseas permitem ao tálus suportar uma lesão vascular de menor gravidade. Uma lesão vascular significativa (p. ex., fratura do colo do tálus tipo II ou III de Hawkins) frequentemente resulta em NAV



ARTÉRIA	TRAJETO	RAMOS	COMENTÁRIO/IRRIGAÇÃO
ARTÉRIA DORSAL DO PÉ			
Ramos tarsais diretos	Diretamente no tálus	Nenhum	Irriga o corpo e o colo do tálus
Tarsal medial	Através dos ossos tarsais, abaixo do tendão do ELH	Nenhum	Irriga o dorso do pé e os ossos tarsais mediais
Tarsal lateral	Com o ramo lateral do nervo fibular profundo	Nenhum	Irriga o ECD e os ossos tarsais mediais
Arqueada	Transversalmente às bases dos ossos metatarsais, sob tendões do ELD	3 artérias MT dorsais (2ª, 3ª e 4ª) 6 artérias digitais dorsais 3 artérias perfurantes posteriores 1 artéria digital dorsal	Bifurcam-se ao nível da base MT Região medial e lateral dos dedos Do arco plantar profundo Vaso localizado bem lateralmente ao dedo mínimo
Plantar profunda	Desce entre 1ª e 2ª MT	Termina como arco plantar profundo	Forma o arco plantar profundo com o ramo terminal da artéria plantar lateral
1ª metatarsal dorsal		Ramo terminal da a. fibular profunda 3 artérias digitais dorsais	Hálux (dorso e região medial) e 1º espaço intermetatarsal
Arco plantar profundo	Sobre os músculos interósseos plantares na 4ª camada plantar	3 artérias perfurantes posteriores 4 artérias metatarsais plantares 1 digital plantar comum/própria 4 perfurantes anteriores 4 digitais plantares comuns 8 digitais plantares próprias 1 plantar comum/própria	Anastomosa-se com arqueada/MT dorsal Ao longo da metatarsal plantar Une-se ao ramo terminal da artéria plantar medial Une-se às artérias metatarsais dorsais Continuação após os ramos perfurantes Regiões mediais e laterais dos dedos Região lateral do dedo mínimo
<ul style="list-style-type: none"> • 10 artérias digitais dorsais (8 das 4 artérias MT dorsais, mais 2 que se ramificam proximalmente) não chegam à extremidade distal do dedo • 10 artérias digitais plantares próprias (8 das artérias MT plantares mais 2 que se ramificam proximalmente) suprem a extremidade distal do dedo • Cada dedo tem 2 artérias digitais dorsais e 2 artérias digitais plantares próprias 			

DISTÚRBIOS



DESCRIÇÃO	HDA e EF	EXAMES COMPLEMENTARES/ ACHADOS	TRATAMENTO
TENDINITE DO TENDÃO DO CALCÂNEO ("AQUILIANA")			
<ul style="list-style-type: none"> Ocorre na inserção do tendão do calcâneo (de aquiles) ou acima dela Microtraumas na inserção 	HDA/EF: dor no calcanhar, piora ao arranque/ impulso; sensível à palpação	RX: em pé, perfil: +/- esporão na inserção do tendão do calcâneo RM: tendão fusiforme	<ol style="list-style-type: none"> Repouso, AINE, elevação do calcanhar Excisão do esporão Reconstrução com tendão do FLH
RUPTURA DO TENDÃO DO CALCÂNEO (DE AQUILES)			
<ul style="list-style-type: none"> "Atletas de fim de semana" – homens de meia-idade que fazem atividades físicas Ocorre em atividades de contração (carga) excêntrica 	HDA: sensação (escuta) de "estouro/estalo" EF: defeito, teste Thompson +	RX: em pé, AP/perfil; geralmente normais	<ol style="list-style-type: none"> Imobilização (em equino) vs Reparo cirúrgico (diminui o risco de recidiva)
INSTABILIDADE DO TORNOZELO			
<ul style="list-style-type: none"> Entorses múltiplas/recorrentes Associada ao calcanhar em varo Pode ser pela articulação talocalcânea (subtalar) 	HDA: dor e instabilidade EF: sensibilidade/dor à palpação do LTFa/LCF, observar se o calcanhar é varo; teste de inclinação talar e gaveta anterior +	RX: AP/perfil/oblíqua Estresse: teste da gaveta e inclinação talar mostram subluxação	<ol style="list-style-type: none"> Repouso, órtese Fisioterapia: fortalecer os mm. fibulares Reconstrução cirúrgica (Brostrom) se a condição persistir
ENTORSE DO TORNOZELO			
<ul style="list-style-type: none"> Lesão musculoesquelética nº1 90% laterais – somente o LTFa 60% com LCF ("entorse alta do tornozelo"), com sindesmose 5% Inversão é o mecanismo nº1 	HDA: "estalo", dor, edema, +/- capacidade de sustentar peso EF: edema, equimoses, SP do LTFa (LCF), +/- testes de inclinação talar, gaveta anterior	RX: AP, perfil, da mortalha: excluir fratura (somente se não puder sustentar peso ou no caso de sensibilidade dolorosa em saliências ósseas)	<ol style="list-style-type: none"> RGCE, AINE Imobilização grau III Fisioterapia e exercícios de ADM Cirurgia: lesão grave ou instabilidade persistente
ARTRITE (OA/DAD)			
<ul style="list-style-type: none"> Pode ocorrer em qualquer articulação (talocrural, talocalcânea, mediotársica, mediopé) Associada a trauma prévio, excesso de uso, NAV, artropatia inflamatória, obesidade 	HDA: idade mais avançada; dor, +/- trauma prévio EF: dor na articulação afetada, +/- diminuição da ADM	RX: com carga Tornozelo: AP/perfil/mortalha Pé: AP/perfil/oblíqua Procurar achados clássicos de OA	<ol style="list-style-type: none"> AINE, mudança de atividades Órteses: palmilha, AFO ou de barra dupla Mediopé: palmilha rígida/mata borrão Fusão ou artroplastia

Pé de Charcot



Radiografia anteroposterior da articulação "de Charcot"

Pé Diabético Neuropatia Autonômica Sensitiva

C. Machado
— M.D. —



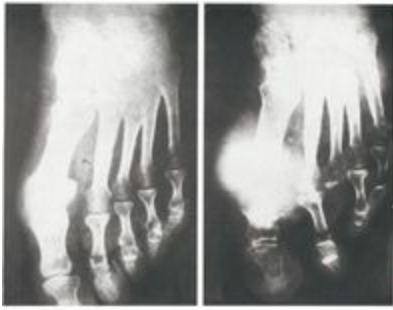
Úlcera

Tratamento



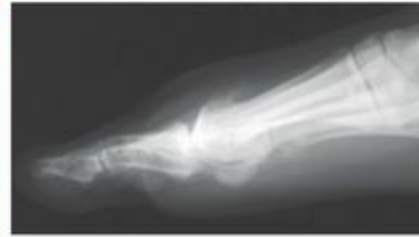
DESCRIÇÃO	HDA e EF	EXAMES COMPLEMENTARES/ ACHADOS	TRATAMENTO
NEUROARTROPAZIA DE CHARCOT			
<ul style="list-style-type: none"> Estágio final do pé diabético Diminuição da sensibilidade – o paciente não consegue detectar fratura ou luxação Lesões múltiplas, pseudartrose ou consolidação viciosa levam à destruição e deformidade articular 	<p>HDA: diabetes. NÃO se queixam de dor porque não a sentem</p> <p>EF: articulação vermelha, quente, edemaciada, +/- deformidade e/ou úlceras (pode parecer infecção)</p>	<p>RX: AP (com carga)/perfil/obliqua. Achados: osteopenia, fratura, calosidade, proeminências ósseas, destruição articular</p> <p>Cintilografia com Índio: excluir osteomielite</p>	<ol style="list-style-type: none"> Imobilizar, verificar a pele Órtese se possível Tratar úlceras quando necessário Excisão de proeminências ósseas Alongamento do tendão do calcâneo (de aquiles) quando indicado Artrodeses selecionadas
CALOSIDADES			
<ul style="list-style-type: none"> Dois tipos de calo: <ul style="list-style-type: none"> Duro: hiperqueratose – pressão sobre ossos (5º dedo do pé, nº1) Mole: maceração interdigital 	<p>HDA/EF: sapatos apertados, dor no local da lesão</p>	<p>RX: AP/perfil: procurar proeminências/espores ósseos</p>	<ol style="list-style-type: none"> Sapato de bico largo Desbridar calosidade Palminhas aliviam a pressão Excisão de proeminências ósseas
PÉ DIABÉTICO			
<ul style="list-style-type: none"> Úlceras por pressão e neuropatia (sensitiva e autonômica); paciente não sente a dor da lesão Úlcera prévia, representa risco nº1 de úlcera 5% dos pacientes com DM têm úlceras Pode haver infecção secundária Insuficiência vascular leva à diminuição do potencial de consolidação 	<p>HDA: AUSÊNCIA de dor, +/- drenagem da ferida</p> <p>EF: alterações da pele (p. ex., queda de pelos), pulsos diminuídos/ausentes, sensibilidade diminuída (teste do monofilamento avalia sensibilidade protetora: 5,07 ou melhor), úlcera; eritema, edema, drenagem podem estar presentes na infecção</p>	<p>RX: procurar por osteomielite</p> <p>RM/cintilografia com Índio: avaliar a osteomielite</p> <p>LABS: hemograma completo/PCR (Infecção)</p> <p>Indicadores de cicatrização de úlceras:</p> <p>Linfócitos: >1.500</p> <p>Albumina: >3,5</p> <p>ITB: >0,45 (vasos não Ca⁺⁺)</p> <p>Pressão nos dedos: >30mm Hg</p>	<ol style="list-style-type: none"> Prevenção: cuidado com a pele, sapatos para DM Desbridar úlceras/calosidades, gesso de contato total (GCT) Infecção: superficial: desbridar, antibióticos; profunda: desbridamento cirúrgico, antibióticos intravenosos <p>Amputação em casos graves ou persistentes</p>

Gota



Cristais de urato monossódico livres e fagocitados no líquido articular (sinóvia) aspirado, vistos à microscopia com luz polarizada compensada

Hálux rígido

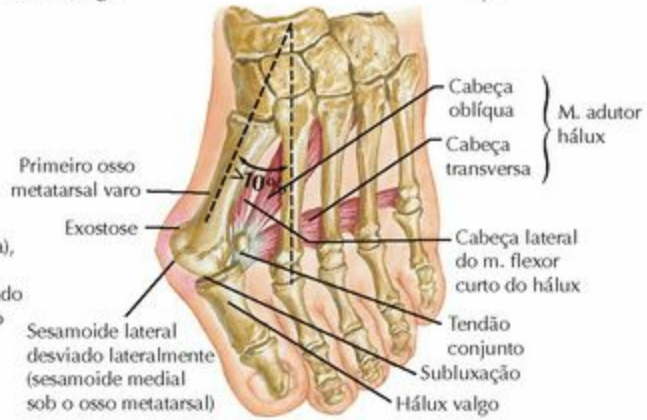


Radiografia em perfil mostrando estreitamento do espaço articular e acentuada formação de osteófitos no dorso do pé



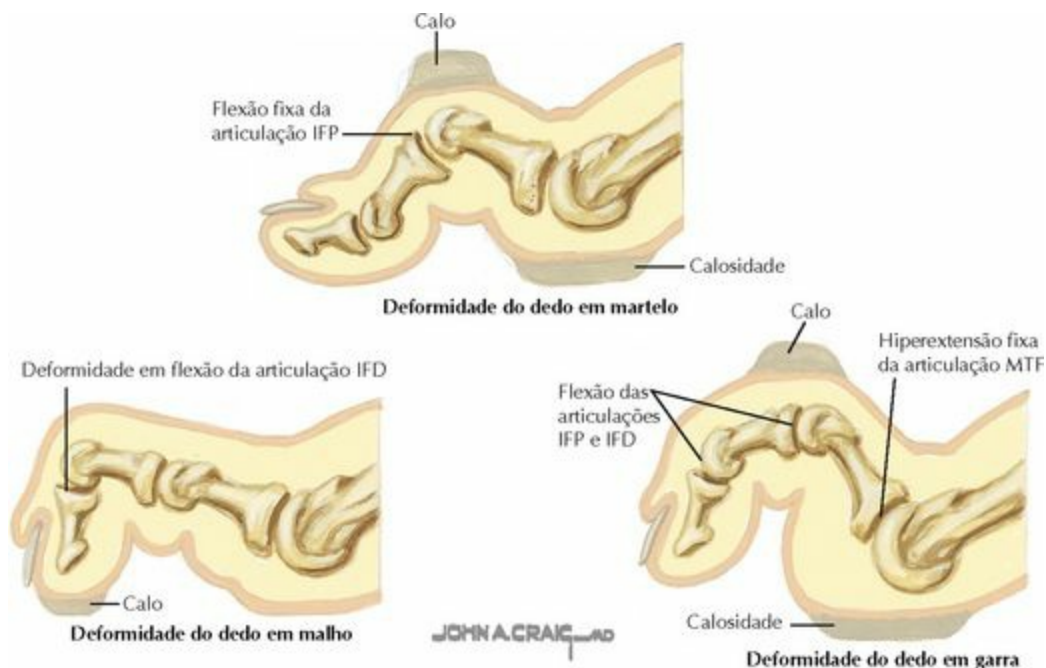
Joanete grave. Parte anterior do pé larga (alargada), com proeminência inflamada sobre a cabeça do 1º osso metatarsal (I). O hálux encontra-se desviado lateralmente (hálux valgo), sobreposto ao 2º dedo e em rotação medial. Os outros dedos também estão desviados lateralmente, acompanhando o hálux. É evidente o desvio lateral do tendão do músculo extensor longo do hálux

Hálux valgo



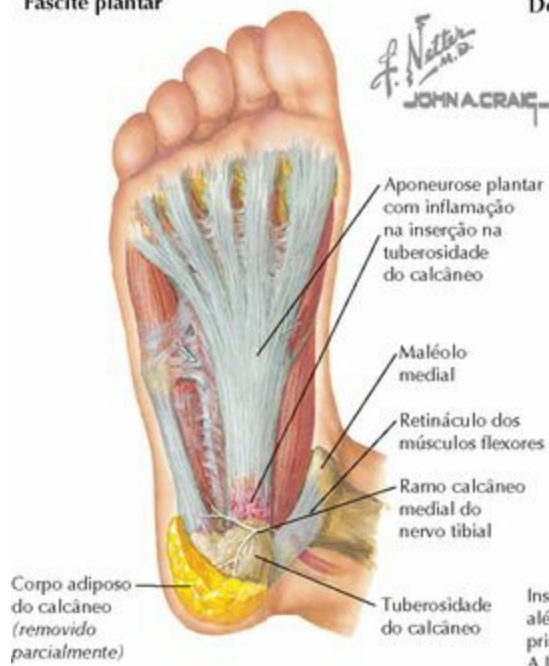
F. Netter M.D.

DESCRIÇÃO	HDA e EF	EXAMES COMPLEMENTARES/ACHADOS	TRATAMENTO
GOTA (PODAGRA)			
<ul style="list-style-type: none"> • Defeito no metabolismo de purinas • Depósito de cristais de urato e urato monossódico provoca sinovite • A 1ª AMTF é o local mais comum 	HDA: homens, dor aguda e intensa EF: dedo vermelho, edemaciado	RX: erosão de ambos os lados da articulação LABS: 1. Ácido úrico elevado; 2. cristais com birrefringência negativa (no líquido aspirado)	1. AINE/colchicina 2. Repouso 3. Alopurinol (prevenção) 4. Fusão, em caso de DAD
HÁLUX RÍGIDO			
<ul style="list-style-type: none"> • DAD da articulação MTF do hálux • Osteófito na região dorsal da cabeça do metatarso • Em geral, pós-traumático 	HDA: meia-idade; dedo (hálux) doloroso, rígido EF: AMTF hipersensível à palpação, diminuição da ADM	RX: Em pé: AP/perfil; osteófito no dorso ou achados de OA na 1ª AMTF	1. AINE, órtese rígida de comprimento total 2. Quilectomia 3. Artrodese (DAD avançada)
HÁLUX VALGO			
<ul style="list-style-type: none"> • Deformidade: desvio lateral e pronação do hálux, 1º MT varo • O m. adutor do hálux "puxa" excessivamente o hálux • Cápsula articular: medial frouxa, lateral esticada/tensionada • Mulheres (10:1), sapatos de "bico fino" 	HDA: dor (piora ao usar sapato) PE: deformidade em valgo/ joanete; SP na região medial da cabeça do 1º MT/AMTF, +/- diminuição da ADM na AMTF, verificar a hiper mobilidade do 1º ralo	RX: AP(com carga)/perfil/oblíqua Medir os ângulos: 1. Hálux valgo (normal <15°) 2. Intermetatarsal (normal <9°) 3. Interfalângica (normal <10°) 4. AMMD (normal <15°)	1. Trocar sapatos: "bico largo" 2. Operatório: Leve: Chevron ou PPMD Grave: Osteotomia proximal/PPMD DAD: Fusão da 1ª AMTF COMPLICAÇÃO: recidiva nº 1

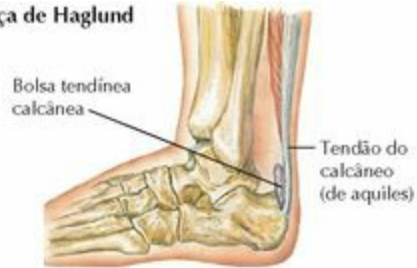


DESCRIÇÃO	HDA e EF	EXAMES COMPLEMENTARES/ ACHADOS	TRATAMENTO
DEFORMIDADES DOS PEQUENOS DEDOS			
Dedos em Garra			
<ul style="list-style-type: none"> Deformidade primária: hiperextensão da AMTF (músculos extrínsecos se sobrepõem aos músculos intrínsecos mais fracos) Deformidade secundária: flexão das articulações IFP e IFD Associado a doenças neuroológicas 	<p>HDA: dor no dedo ou na planta; doenças neurológicas (p. ex., DM, CMT)</p> <p>EF: deformidades dos dedos, calo na região dorsal da AIFP e na região plantar das cabeças dos MT; avaliar flexibilidade da deformidade</p>	<p>RX: AP/perfil/oblíqua pé; subluxação da F1 na cabeça do MT</p> <p>RM: coluna vertebral: excluir lesão neurológica</p> <p>EMG: excluir doença neurológica</p>	<ol style="list-style-type: none"> Palmilhas para calos, palmilhas ou espaçadores MT, sapatos de dorso alto Flexível: transferência do tendão do FLD para F1; Fixa: tratamento do FLD, liberação do ECD, alongamento do ELD, ressecção da AIFP
Dedos em Martelo			
<ul style="list-style-type: none"> AIFP flexionada com calo na região dorsal AMTF e AIFD estendidas Associados a sapatos apertados e 2^o e 3^o raios longos (>4mm) 	<p>HDA: dor no dedo/planta</p> <p>EF: deformidade do dedo, calo na região dorsal da AIFP, região plantar da cabeça do MT; avaliar flexibilidade da deformidade</p>	<p>RX: AP com carga/perfil: Procurar subluxação articular</p> <p>Avaliar se o metatarsal é longo</p>	<ol style="list-style-type: none"> Palmilhas, suportes/órtese para dedos em martelo Flexível: transferência do tendão do FLD; Fixa: ressecção da AIFP +/- tratamento; liberação do extensor se a AMTF estiver fixa
Dedos em Malho			
<ul style="list-style-type: none"> Flexão da AIFD Associada a ralo longo em sapatos apertados e artrite da AIFD 	<p>HDA: dor no dedo</p> <p>EF: AIFD flexionada, calo na região dorsal da AIFD</p>	<p>RX: AP/perfil/oblíqua</p> <p>Deformidade na AIFD</p>	<ol style="list-style-type: none"> Palmilhas, sapatos com dorso alto Liberação do tendão do FLD Amputação parcial
METATARSALGIA			
<ul style="list-style-type: none"> Dor na cabeça do osso metatarsal Etiologia: tendinite do m. flexor, ruptura de ligamento, calo nº 1 	<p>HDA/EF: dor sob a cabeça do osso MT (do 2^o MT é mais comum)</p>	<p>RX: Em pé, AP/perfil: procurar MT curto</p>	<ol style="list-style-type: none"> Palmilhas nos ossos metatarsais Modificar sapatos Tratar causa subjacente

Fascite plantar



Doença de Haglund



Disfunção do tendão do músculo tibial posterior



Inserção do tendão do músculo tibial posterior estende-se, além do navicular, a todos os ossos tarsais do mediopé e é a principal estrutura de sustentação da parte do mediopé. A lesão/desgaste do tendão permite o colapso do arco.

DESCRIÇÃO	HDA e EF	EXAMES COMPLEMENTARES/ ACHADOS	TRATAMENTO
NEUROMA DE MORTON (INTERDIGITAL)			
<ul style="list-style-type: none"> Fibrose do nervo irritado Geralmente entre o 2ª e o 3ª ossos metatarsais Mulheres (sapatos) 5:1 	HDA: dor com sapatos ou ao caminhar, alívio com repouso ou ao tirar os sapatos ED: MT, espaço intermetatarsal, SP, +/- dormência, teste de compressão +	RX: em pé AP/perfil: cabeças dos ossos MT podem estar próximas	<ol style="list-style-type: none"> Sapatos de "bico largo", infiltrações de esteroides, palmilhas/barras MT Excisão do nervo e liberação do lig. MT transverso profundo
FASCITE PLANTAR			
<ul style="list-style-type: none"> Inflamação/degeneração da fásia; mulheres 2:1 Associada à obesidade 	HDA: dor matinal, melhora com deambulação ou alongamento EF: SP na parte plantar medial do calcâneo	RX: em pé, perfil: +/- esporão no calcâneo	<ol style="list-style-type: none"> Alongamento, AINE Palmilha para o calcânhar Tala (noturna), Imobilização Liberação parcial da fásia
DISFUNÇÃO DO TENDÃO DO M.TIBIAL POSTERIOR (PÉ PLANO ADQUIRIDO)			
<ul style="list-style-type: none"> Insuficiência do tendão do m. tibial posterior – deformidade/perda do arco do pé Crônica (tendinite) ou aguda (ruptura [HDA de trauma]) Associada à obesidade e DM 3 estágios: <ul style="list-style-type: none"> I: tenossinovite, ausência de deformidade (sem pé plano) II: pé plano, parte posterior do pé flexível, não fica na ponta de um pé III: parte posterior do pé rígida +/- DAD 	HDA: dor no mediopé, "fraqueza"; deformidade; dor na região lateral do pé em estágios avançados; HDA de trauma em alguns casos EF: pé plano +, calcânhar valgo, SP no tendão do TP (entre o maléolo medial e o navicular – área hipovascular), dor ao elevar o calcânhar (ficar na ponta do pé) ou incapacidade de fazê-lo + "sinal dos muitos dedos"	RX: Pé: AP (com carga), perfil, oblíqua; AP: subluxação da cabeça do tálus; Perfil: colapso do arco longitudinal do pé Tornozelo: AP e mortalha (com carga); procurar inclinação talar valgo (lig. colateral medial [deltóideo] incompetente) visto em estágios avançados	Estágio: I: imobilização 2-4 meses, AINE, órtese personalizada II: órtese LBUC/AFO OU transferência de tendão (usar o FLD) e osteotomia do calcâneo com deslizamento medial III: artrodese tripla +/- ATC (alongamento do tendão do calcâneo)
BURSITE RETROCALCÂNEA (DOENÇA DE HAGLUND)			
<ul style="list-style-type: none"> Bursite na inserção do tendão do calcâneo (de aquiles) no calcâneo 	HDA: dor na região posterior do calcânhar EF: vermelho e sensível à palpação, deformidade de Haglund	RX: em pé, perfil: esporão na inserção do tendão do calcâneo	<ol style="list-style-type: none"> AINE, elevação do calcânhar (salto), imobilização Excisão osso/bolsa (raro)



DESCRIÇÃO	HDA e EF	EXAMES COMPLEMENTARS/ ACHADOS	TRATAMENTO
ARTRITE REUMATOIDE			
<ul style="list-style-type: none"> A sinovite é o problema nº 1 Antepé: 1ª AMTF apresenta HV (hálux valgo), deformidades menores de dedos em garra Retropé: insuficiência do TP e instabilidade subtalar = calcanhar valgo 	HDA: dor, edema, deformidade EF: hálux valgo, dedos em garra com calos na planta; parte posterior do pé em valgo	RX: AP(com carga)/perfil/oblíqua: avallar destruição articular, osteopenia, subluxação articular, hálux valgo (medir ângulo) LABS: FR, AAN positivos	<ol style="list-style-type: none"> 1. Tratamento clínico da AR 2. Sapatos de "bico largo" e órteses 3. Antepé: fusão da 1ª AMTF, ressecção da cabeça do MT dos dedos menores 2ª-5ª 4. Retropé: artrodese tripla
PÉ DE CORREDOR			
Várias etiologias <ul style="list-style-type: none"> Compressão do nervo plantar medial Nervo de Baxter (1ª ramo do NPL) Fratura de estresse 	HDA: corredor ávido, dor EF: NPM: dor no arco medial do pé; N. Baxter: dor plantar/lateralmente SP óssea (MT, navicular etc.)	RX: AP/perfil/oblíqua: geralmente normais Cintilografia óssea: avallar fraturas de estresse	Com base na etiologia: NPM: liberação no nó de Henry N. Baxter: liberação da fáscla do m. abductor do hálux Frat. de estresse: imobilizar, repouso
ESPONDILOARTROPATIA SORONEGATIVA (SÍNDROME DE REITER, EA, PSORIÁSE)			
<ul style="list-style-type: none"> Artrites inflamatórias: com sintomas em várias articulações Tipos: artrite psoriática, síndrome de Reiter, espondilite anquilosante 	HDA: dor no pé, qualquer articulação EF: avallar todo o pé Psoriática: dedo em salsicha Reiter/espondilite anquilosante: dor no tendão do calcâneo/calcanhar, bursite, fascite plantar	RX: AP/perfil/oblíqua Psoriática: deformidade em ponta de lápis; erosão da articulação IFD; Reiter/EA: +/- entesófitos LABS: FR negativo, HLA-B27 +	<ol style="list-style-type: none"> 1. Tratamento clínico 2. Tratamento conservador para artrite, tendinite, bursite e fascite 3. Intervenção cirúrgica é pouco frequente
JOANETE DE TAYLOR (DO ALFAIATE/BUNIONETTE)			
<ul style="list-style-type: none"> Cabeça do 5º osso metatarsal (V) proeminente lateralmente Exostose óssea/bursite 	HDA/EF: dificuldade em calçar sapatos, proeminência lateral dolorida no 5º osso metatarsal (V)	RX: em pé AP: 5º dedo desviado medialmente, MT desviado lateralmente	<ol style="list-style-type: none"> 1. Palmilhas, sapato de "bico largo" 2. Leve: osteotomia em Chevron 3. Grave: osteotomia em prateleira (deslizamento) MT
SÍNDROME DO "TÚNEL" DO TARSO			
<ul style="list-style-type: none"> Nervo tibial comprimido pelo retináculo dos mm. flexores ou lesão expansiva (p. ex., cisto) no "túnel" Diagnóstico clínico 	HDA: dor, dormência/formigamento EF: dor no "túnel" do tarso, +/- alterações sensitivas e teste de Tincl	RX: AP/perfil; geralmente normais RM: massa tumoral ou lesão no túnel EMG: confirma diagnóstico clínico	<ol style="list-style-type: none"> 1. AINE, infiltração de esteroides 2. Liberação cirúrgica do retináculo, fáscla do m. abductor do hálux, remoção de qualquer massa (liberar nervos plantares)
HÁLUX HIPERESTENDIDO ("Turf Toe")			
<ul style="list-style-type: none"> Lesão do ligamento (lâmina) plantar (ruptura) no colo do MT Hiperextensão da 1ª AMTF 	HDA: hiperextensão, dor no dedo (MTF) EF: dor plantar, dor em extensão (FD), diminuição da ADM	RX: AP/perfil/oblíqua; geralmente normais Cintilografia óssea: excluir frat. de estresse	<ol style="list-style-type: none"> 1. Imobilizar, repouso, AINE 2. Órtese para bloquear flexão dorsal durante as atividades

DISTÚRBIOS PEDIÁTRICOS



DESCRIÇÃO	HDA e EF	TRATAMENTO
PÉ TORTO CONGÊNITO (PÉ TALO EQUINOVARO)		
<ul style="list-style-type: none"> • Idiopático, congênito • Meninos 2:1, 50% bilateral, 1:1.000 • Etiologia multifatorial: fatores genéticos e ambientais • Associado a outras condições • 4 deformidades diferentes: CAVE • Também visto em transtornos neuromusculares 	<p>HDA: nasceu com a deformidade</p> <p>EF: 4 deformidades (auxiliar mnemônico CAVE) mediopé Cavo, antepé Aduzido, art. subtalar Varo, retropé Equino</p> <p>RX: AP/perfil: “paralelismo” do tálus e do calcâneo</p> <p>Perfil: ângulo T-C: nl >35°</p> <p>AP: ângulo T-C: nl 20°-40°, <20° no pé torto</p>	<ul style="list-style-type: none"> • Ponseti: gesso seriado + barras <ul style="list-style-type: none"> ◦ Cavo: flexão dorsal 1° raio ◦ Aduzido/Varo: cabeça do tálus é o fulcro da correção ◦ Equino: flexão dorsal do tornozelo, alongamento do tendão do calcâneo • Liberar se persistente >6-9 meses • Neuromuscular: liberação 6-12 meses
PÉ CAVO (PÉ COM ARCO ALTO)		
<ul style="list-style-type: none"> • Arco alto devido a desequilíbrio muscular no pé 	<p>HDA: 8-10 anos, dor no tornozelo</p>	<ul style="list-style-type: none"> •

imaturado (mm. TA e fibular longo); TA fraco, FLe TP fortes

- Tornozelo flexionado: causa dor
- É preciso excluir doença neuromuscular (p. ex., Charcot-Marie-Tooth)
- Pode haver dedos em garra

EF: caminha sobre os dedos, tendão do calcâneo tenso, flexão dorsal do tornozelo diminuída

RX: AP/perfil pé e tornozelo

EMG/ECN: testar quanto à fraqueza muscular

RM: coluna vertebral: excluir doença neuromuscular

Órteses/palmilhas/AFO quando necessário (usada com resultados mistos)

- Osteotomias diversas
- Transferência e reequilíbrio dos tendões

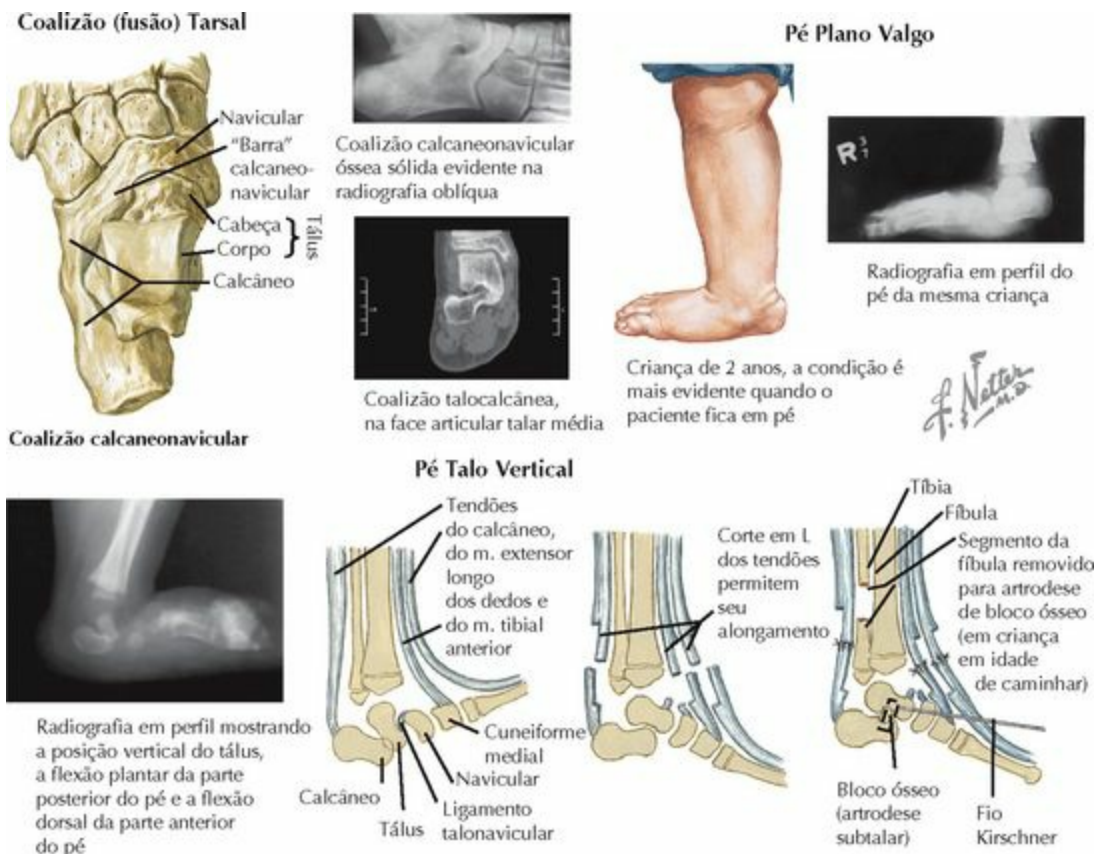
METATARSAIS ADUCTOS

- Região anterior do pé aduzida (varo)
- **Transtorno pediátrico nº 1 do pé**
- Associado à posição intrauterina ou outros transtornos de “contenção”

HDA: os pais percebem a deformidade

EF: deformidade do “pé em forma de rim ou grão de feijão”, ângulo coxa/pé negativo, **marcha com dedos virados para dentro**

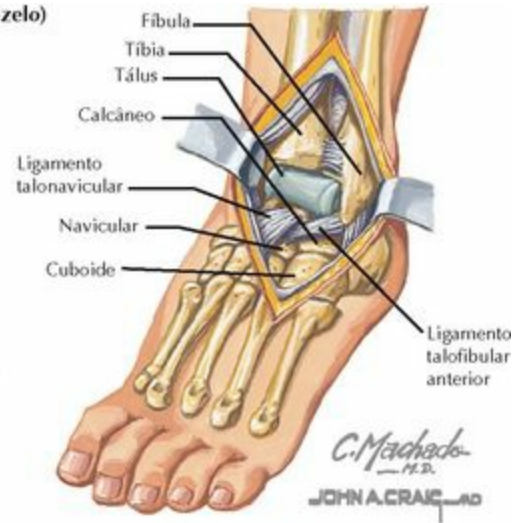
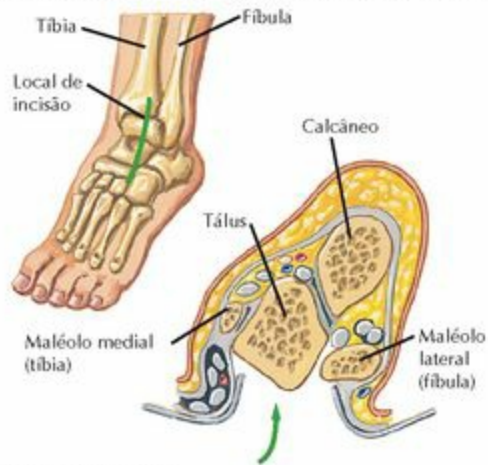
- A maioria dos casos se resolve espontaneamente com desenvolvimento normal
- Gesso seriado
- Liberação do músculo abductor do hálux
- Raramente, osteotomias na parte média do pé



DESCRIÇÃO	AVALIAÇÃO	TRATAMENTO
PÉ PLANO FLEXÍVEL		
Pé Plano Valgo (Pé Plano)		
<ul style="list-style-type: none"> • Variante normal • Quase sempre bilateral • Pé plano somente ao sustentar peso; forma um arco quando não sustenta peso 	<p>HDA: geralmente assintomático, +/- dor com atividade</p> <p>EF: pé plano quando pisa (suporte de peso). Na ausência de carga (apoio), o arco do pé é reconstituído; calcânhar passa a varo ao ser elevado</p> <p>RX: arco diminuído, fora isso normal</p>	<ol style="list-style-type: none"> 1. Observação, tranquilizar os pais, não precisa de sapatos especiais 2. Suportes para o arco podem ajudar em caso de sintomas leves 3. Osteotomia do calcâneo no caso de dores persistentes
PÉ PLANO RÍGIDO		
Coalizão Tarsal		
<ul style="list-style-type: none"> • Fusão congênita de 2 ossos tarsais • Calcâneo/navicular nº 1 (crianças menores) • Tálus/calcâneo (subtalar) nº 2 • As coalizões podem ser fibrosas, ósseas ou cartilagíneas 	<p>HDA: criança maior/adolescente com início insidioso de dor, piora com atividade</p> <p>EF: pé plano rígido, espasmo fibular</p> <p>RX: Sinal do nariz de tamanduá (calcaneonavicular)</p> <p>TC: melhor método para identificar e medir a coalizão</p>	<ol style="list-style-type: none"> 1. Imobilização, órteses, AINE 2. Dor persistente ou recorrente: <ul style="list-style-type: none"> C-N: ressecção fusão T-C: <50% envolvidos: ressecção >50% envolvidos: fusão subtalar
Pé Talo Vertical Congênito		
<ul style="list-style-type: none"> • Tálus em flexão plantar. Luxação talonavicular dorsolateral não passível de redução • Também observado em transtornos neuromusculares 	<p>HDA/EF: planta convexa/“pé em mata borrão” (sempre plano), pé plano rígido, +/- aparência calcaneovalgo</p> <p>RX: FP perfil: linha do eixo talar abaixo articulação entre MT e o cuneiforme</p>	<ol style="list-style-type: none"> 1. Imobilização inicial (em FP) para alongamento 2. Liberação completa em 6-18 meses 3. Talectomia em casos resistentes

ACESSOS CIRÚRGICOS

Acesso anterolateral à articulação talocrural (do tornozelo)



Portais de artroscopia



USOS	PLANOS ENTRE OS NERVOS	RISCOS	COMENTÁRIO
TORNOZELO: ACESSO ANTEROLATERAL			
<ul style="list-style-type: none"> • Fusões/tríplice artrodese • Fraturas (p. ex., "pilão" tibial, tálus) • Acesso à articulação intertarsal 	<ul style="list-style-type: none"> • Mm. fibulares (fibular superficial) • ELD (fibular profundo) 	<ul style="list-style-type: none"> • Nervo fibular profundo • Artéria tibial anterior 	<ul style="list-style-type: none"> • Pode fornecer acesso à parte posterior do pé • Preservação do coxim adiposo (seio do tarso) ajuda na cicatrização da ferida
PORTAIS DE ACESSO PARA ARTROSCOPIA			
Usos: sinovectomia, remoção de corpos livres, lesões osteocondrais, impacto, condroplastia, algumas artrodeses			
Anteromedial	Medial ao tendão do m. tibial anterior (TA) na articulação ou imediatamente proximal a ela	Nervo safeno e veia safena	Portal com menos risco, deve ser abordado primeiro
Anterolateral	Lateralmente ao tendão do m. fibular terceiro na articulação ou imediatamente proximal a ela	Nervo fibular superficial	Pode ser abordado com agulha sob visualização direta
Posterolateral	Margem lateral do tendão do calcâneo, 1 cm proximal à extremidade da fibula	Nervo sural, veia safena parva	Pode ser abordado com agulha sob visualização direta
Já foram descritos portais anterocentral, postero central e posteromedial, mas não são recomendados devido ao risco de NAV			
FASCIOTOMIAS			
Ver página 369			

Abreviações

A

a. artéria

aa. artérias

AAN anticorpo antinuclear (fator antinuclear)

AC acromioclavicular (articulação; ligamento)

ACMC articulação carpometacarpal

ACP músculo abductor curto do polegar

ADM amplitude de movimento

ADMin músculo abductor do dedo mínimo

ADP artéria dorsal do pé

AFO órtese para tornozelo e pé (“*ankle and foot orthosis*”)

AIE artéria ilíaca externa

AIF articulação interfalângica

AIFD articulação interfalângica distal

AIFP articulação interfalângica proximal

AINE anti-inflamatório não esteroide

ALP músculo abductor longo do polegar

AMCF articulação metacarpofalângica

AMDT ângulo metadiafisial da tíbia

AMMD ângulo metafisário metatarsal distal

AMTF articulação metatarsofalângica

ant. anterior

antib. antibiótico

AO associação para osteossíntese (“*AO Foundation*”)

AP anteroposterior

APe apoio de peso

art. articulação

ARUD articulação radiulnar distal

ARUP articulação radiulnar proximal

ASI articulação sacroilíaca

ATJ artroplastia total de joelho

ATMT articulação tarsometatarsal

ATP adenosina trifosfato

AVA acidente com veículo automotor

AVDs atividades da vida diária

B

BR músculo braquiorradial

C

CA câncer

CAP compressão anteroposterior

CC ligamento coracoclavicular

CCDH cristais de cálcio di-hidratados

CESA colapso escafossemilunar avançado

CGB contagem de glóbulos brancos

CL compressão lateral

CMA nervo cutâneo medial do antebraço

CMC carpometacarpal

CMT Charcot-Marie-Tooth

CPL complexo do canto posterolateral

D

DA dedo anular

DAD doença articular degenerativa

DDD doença degenerativa do disco intervertebral

DDQ displasia do desenvolvimento do quadril

DI dedo indicador

DISI instabilidade do segmento intercalado dorsal

DM dedo médio/diabetes melito

DMin dedo mínimo

DSR distrofia simpática reflexa

dT toxoide do tétano e da difteria

DTTP disfunção do tendão do m. tibial posterior

E

EA espondilite anquilosante

EC esternoclavicular (articulação; ligamento)

ECD músculo extensor curto dos dedos

ECH músculo extensor curto do hálux

ECM músculo esternocleidomastóideo

ECN estudo de condução nervosa

ECP músculo extensor curto do polegar

ED músculo extensor dos dedos

EDM músculo extensor do dedo mínimo/espaço para a medula espinal

EF exame físico

EI músculo extensor do indicador

EIAI espinha íliaca anteroinferior

IAS espinha íliaca anterossuperior

EIPI espinha íliaca posteroinferior

EIPS espinha íliaca posterossuperior

ELD músculo extensor longo dos dedos

ELH músculo extensor longo do hálux

ELP músculo extensor longo do polegar

EMG eletromiografia

EP embolia pulmonar

ES escafossemilunar (articulação; ligamento)

esp. especialmente

ETT escafortrapezio-trapezóidea

ERCC músculo extensor radial curto do carpo

ERLC músculo extensor radial longo do carpo

EUC músculo extensor ulnar do carpo

F

F1 falange proximal

F2 falange média

F3 falange distal

FC músculo fibular curto

FCD músculo flexor curto dos dedos

FCDMin músculo flexor curto do dedo mínimo

FCH músculo flexor curto do hálux

FCP músculo flexor curto do polegar

FD flexão dorsal, dorsiflexão

Fisiot fisioterapia

FL músculo fibular longo

FP flexão plantar

FR fator reumatoide

Frat/frats fratura; fraturas

FLD músculo flexor longo dos dedos

FLH músculo flexor longo do hálux

FLP músculo flexor longo do polegar

FPD músculo flexor profundo dos dedos

FRC músculo flexor radial do carpo

FSD músculo flexor superficial dos dedos

FUC músculo flexor ulnar do carpo

G

GAP gesso axilopalmar

GI gastrointestinal (trato)

GL/gl. gesso luva (luva gessada); glândula

GSNE gânglio sensitivo do nervo espinal

GU glenoumeral; genitourinário (trato, aparelho)

H

HDA história da doença atual

HNP hérnia de núcleo pulposo

HPP história patológica pregressa

HPT hormônio paratireóideo

HV hálux valgo

I

IAO intervalo “atlanto-odontóideo”

ICC instabilidade carpal combinada

ICD instabilidade carpal dissociativa

ICND instabilidade carpal não dissociativa

IE músculo infraespinal

I&D incisão e drenagem, irrigação e desbridamento

IF interfalângica

IFD interfalângica distal

IFP interfalângica proximal

IM intramedular

IMD instabilidade multidirecional

IRPL instabilidade de rotação posterolateral

IRPM instabilidade de rotação posteromedial

ITBSA imobilização tipo bota, sem apoio (carga)

IV intravenoso

IOD músculo interósseo dorsal

IOP músculo interósseo palmar

IFD articulação interfalângica distal

L

L lombalgia

LABS exames laboratoriais

LBUC Laboratório de Biomecânica da Universidade da Califórnia

LCA ligamento cruzado anterior

LCF ligamento calcaneofibular

LCF ligamento colateral fibular

LCM ligamento colateral medial

LCP ligamento cruzado posterior

LCR ligamento colateral radial; lig. radiocapitato

LCT “ligamento carpal transverso”; lig. colateral tibial

LCU ligamento colateral ulnar; lig. coracoumeral

LCM ligamento colateral medial

LEC ligamento escafo-capitato

LER lesão por esforço repetitivo

LETT ligamento escafo-trapezio-trapezoidal

LGUI ligamento glenoumeral inferior

LGUIA ligamento glenoumeral inferior, banda anterior

LGUIP ligamento glenoumeral inferior, banda posterior

LGUM ligamento glenoumeral médio

LGUS ligamento glenoumeral superior

LICD ligamento intercarpal dorsal

LIO ligamento interósseo

LLA ligamento longitudinal anterior

LLP ligamento longitudinal posterior

LMC limpeza mecanocirúrgica

LPC ligamento piramidal-capitato

LPF “ligamento poplíteofemoral”

LPFL “ligamento patelofemoral lateral”

LPFM “ligamento patelofemoral medial”

LPH ligamento piramidal-hamato

LPHC ligamento piramidal-hamato-capitato

LOP fibras oblíquas do lig. colateral tibial (“ligamento oblíquo posterior”)

LRCD ligamento radiocarpal dorsal

LREC ligamento radioescafo-capitato

LRES ligamento radioescafossemilunar

LRO “ligamento retinacular oblíquo”

LRSC ligamento radiossemilunar curto

LRSL ligamento radiossemilunar longo

LRSP ligamento radiossemilunar-piramidal

LSAP lábio superior anterior/posterior

LTA ligamento transverso do atlas; lig. transverso do acetábulo

LTFA ligamento talofibular anterior; lig. tibiofibular anterior

LTFP ligamento talofibular posterior; lig. tibiofibular posterior

LTiFA ligamento tibiofibular anterior

LTiFP ligamento tibiofibular posterior

LUC ligamento ulnocapitato

LUS ligamento ulnossemilunar

LUP ligamento ulnopiramidal

M

M. músculo

MC metacarpal (osso; ligamento)

MCF metacarpofalângica

MI membro inferior

MIO membrana interóssea

MR “manguito rotador”

MS membro superior

MT metatarsal (osso; ligamento)

MTF metatarsofalângica

N

N. nervo

NAV necrose avascular

NC nervo craniano

NCFL nervo cutâneo femoral lateral

NCFP nervo cutâneo femoral posterior

NEM neoplasia endócrina múltipla

NFS nervo fibular superficial

NIA nervo interósseo anterior

NIP nervo interósseo posterior

nl normal (dentro dos limites de normalidade)

NPL nervo plantar lateral

NPM nervo plantar medial

O

OA osteoartrite

OCD osteocondrite dissecante

ODMin músculo oponente do dedo mínimo

OP músculo oponente do polegar

OTLS órtese toracolombossacral

P

PC músculo palmar curto

PCR proteína C-reativa

ped. pediátrica

PL músculo palmar longo

PPC pino (fixação) percutâneo

PPMD procedimento de partes moles distal

Post. posterior

PR músculo pronador redondo

Proc. processo

PQ músculo pronador quadrado

PTH paratormônio ou hormônio paratireóideo

R

RAFI redução aberta, fixação interna

RF-FP redução fechada, fixação (pino) percutânea

RGCE repouso, gelo, compressão e elevação

RL rotação lateral

RM ressonância magnética/rotação medial

RX radiografia

S

SE músculo supraespinal

SI sacroilíaco

SLP semilunar-piramidal

SNC sistema nervoso central/parte central do sistema nervoso

SP sensibilidade (dor) à palpação; semilunar-piramidal

SPF síndrome patelofemoral

STC síndrome do túnel do carpo

subst. substância

T

TA músculo tibial anterior

TACR trombocitopenia com ausência congênita do rádio (síndrome)

TC tomografia computadorizada

TFC fibrocartilagem triangular

TFCC complexo fibrocartilágneo triangular

TIT trato iliotibial

TP músculo tibial posterior

TTP tendão do m. tibial posterior

TVP trombose venosa profunda

U

US ultrassom



VHS velocidade de hemossedimentação

VISI instabilidade do segmento intercalado palmar (“volar”)

Índice

A

- Abdução, [91](#)
- Abdutores do quadril, [239](#)
- Abscesso em ferradura, [214](#)
- Acesso de Bryan/Morrey, para o cotovelo, [138](#)
- Acesso de Harding, ao quadril, [282](#)
- Acesso de Kocher, ao cotovelo, [137](#)
- Acesso de Ludloff ao quadril, [281](#)
- Acesso de Moore/Southern, ao quadril, [283](#)
- Acesso de Smith-Peterson, ao quadril, [281](#)
- Acesso de Watson-Jones, ao quadril, [282](#)
- Acesso ilioinguinal, à pelve, [247](#)
- Acesso Kocher-Langenbeck, à pelve, [248](#)
- Acetábulo, [222](#), [224](#), [230-231](#)
- Acetilcolina (ACh), [23](#)
- Acetilcolinesterase, [23](#)
- Acrômio, [76](#)
- Actina, [24](#)
- Aductor curto/longo/magno, [237](#), [267](#)
- Alça cervical, [64](#)
- “Alça vascular de Henry”, [121](#)
- “Alça vascular/arcada de Henry”, [176](#)

Amplitude de movimento

braço, 125

coluna vertebral, 49

cotovelo, 125

joelho, 310

mão, 203

ombro, 91

pelve, 235

punho, 149, 159

quadril, 262

tornozelo/pé, 358

Anel fibroso, 46

Ângulo Q, 310

Ângulo tuberositário, 339

Antebraço

acessos cirúrgicos, 180-182

amplitude de movimento, 159

anamnese, 157

anatomia topográfica, 140

artérias, 173

articulações, 149-153

compartimentos, 154, 168, 169

distúrbios pediátricos, 179

distúrbios, 174-178

exame físico, 158-160

fasciotomias, 168-169

músculos, 161-169

compartimento anterior, 163-165

compartimento posterior, 166-167

corte transversal, 168
origens e inserções, 161, 162
nervos, 170-172
osteologia, 141-142
pequenos procedimentos, 156
radiografia, 143
trauma, 144-148
túneis, 154

Aorta, 244

Aparelho de Pavlik, 279

Apoio, 360

Aponeurose do músculo bíceps braquial, 121

Aponeurose extensora dorsal, 196

Arcada de Struthers, 121

Arcada fibrosa de Frohse, 176

Arco da aorta, 65

Arco palmar profundo/superficial, 212

Artéria arqueada, 374

Artéria axilar, 100, 101, 133

Artéria braquial, 133

Artéria braquial profunda, 133

Artéria cervical, 65

Artéria circunflexa femoral, 245

Artéria dorsal do pé, 374

Artéria espinal anterior/posterior, 66

Artéria femoral, 245, 269, 273

Artéria femoral profunda, 273, 274

Artéria fibular, 322, 372

Artéria glútea inferior/superior, 244, 245

Artéria ilíaca comum, 244

Artéria ilíaca externa, 244, 245

Artéria ilíaca interna, 244

Artéria intercostal posterior/lombar, 66

Artéria maleolar, 372

Artéria obturatória, 240, 244

Artéria plantar, 372, 374

Artéria poplítea, 322

Artéria principal do polegar, 212

Artéria radial do indicador, 212

Artéria radial, 133, 168, 173, 212

Artéria subclávia, 65, 101

Artéria tarsal medial/lateral, 374

Artéria tibial anterior/posterior, 322, 372

Artéria toracoacromial, 100

Artéria ulnar, 133, 138, 173, 212

Artéria vertebral, 65

Artérias digitais palmares, 212

Artérias epifisiais, 274

Artérias retinaculares, 274

Articulação acromioclavicular

anatomia topográfica, 76

artrose, 102

infiltração, 88

ligamentos, 87

luxação, 81, 89

radiografia, 78

Articulação atlantoaxial, 39, 43

Articulação atlantoccipital, 43

Articulação carpometacarpal

do dedo, 184

do polegar, 184

infiltração, 199

ligamentos, 192

teste de atrito, 205

Articulação do ombro (glenoumeral)

artrite, 102

infiltração, 88

instabilidade, 104

ligamentos, 86

luxação, 82, 83, 90

Articulação dos processos articulares, 46

Articulação escapulotorácica, 85

Articulação esternoclavicular, 76, 85

Articulação femorotibial, 297, 298-300

Articulação intertarsal, 352

Articulação intervertebral, 44

Articulação metacarpofalângica, 193, 195

Articulação patelofemoral

estrutura e função, 304

ligamentos, 299, 300, 304

síndrome patelofemoral, 324

testes especiais, 311

Articulação radiocarpal, 150, 152

Articulação radiulnar distal, 153

Articulação sacroilíaca, 30, 220, 232

Articulação talonavicular, 352

Articulação tarsometatarsal (de Lisfranc), 347, 353

Articulações costovertebrais, 47

Articulações interfalângicas

dedo, 338

do polegar, 338

flexão/extensão, 195

ligamentos, 194, 353

osteoartrite, 201

proximal, 194, 338

radiografia, 186

Articulações sinoviais, 16, 17

“Articulações uncovertebrais”, 47

Artrite. *See* Osteoartrite; *See also* Artrite reumatoide.

Artrite inflamatória, 20, 323

Artrite reumatoide, 20

joelho, 323

mão, 201, 213

punho, 176

radiografia, 213

tornozelo/pé, 380

Artrite séptica, 20

Artrocentese

cotovelo, 122

joelho, 306

tornozelo, 134

Artroplastia

cotovelo, 134

total do joelho, 330, 331

total do quadril, 277, 278

Artroscopia

cotovelo, 138

joelho/patelar, 324, 336

ombro, 87, 106, 107

punho, 182

quadril, 284

tornozelo, 383

Atlas (vértebra C I), 31, 32, 39, 43

ATP, na contração muscular, 25

Axila, 97

Áxis (vértebra C II), [31](#), [32](#), [43](#)

Axônio, [21](#)

Axonotmese, [22](#)

B

Bainha carótica, 53

Bainha de mielina, 21

Bainha do tendão EUC, 153

Bainha dos tendões flexores, da mão, 191, 199

Balanço, na marcha, 360

Bloqueio digital, 199, 355

Bloqueio do punho, 156

Bolsa radial, 197

Bolsa subcutânea do olécrano, 121, 122

Bolsa suprapatelar, 304

Bolsa ulnar, 197

Braço

acessos cirúrgicos, 137-138

amplitude de movimento, 125

anamnese, 123

anatomia topográfica, 110

artérias, 133

articulações, 119, 120

compartimentos, 130

distúrbios pediátricos, 136

distúrbios, 134-136

exame físico, 124-126

fasciotomias, 130

músculos, 127-130

nervos, 130-132

origens e inserções, 127
osteologia, 111, 112
outras estruturas, 121
pequenos procedimentos, 122
radiografia, 113
trauma, 114-118

Bursite

isquiática, 235, 246
joelho, 308
pré-patelar, 308, 325
retrocalcânea, 358, 379
séptica, 308
trocantérica, 275

Bursite do olécrano, 124, 134

Bursite retrocalcânea, 358, 379

C

Calcâneo

fraturas, [345](#)

origens e inserções, [361](#)

osteologia, [339](#), [341](#)

radiografia, [343](#)

Calcanhar valgo, [338](#)

Cálcio

metabolismo, [8-10](#)

na contração muscular, [25](#)

na função do nervo, [23](#)

Calcitonina, [9](#)

Calo, [376](#)

Calo duro, na consolidação da fratura, [14](#)

Calo mole, na consolidação da fratura, [14](#)

Calo, pé, [357](#)

Camptodactilia, [216](#)

Canais de Volkmann, [3](#)

Capitato, [142](#)

Capítulo do úmero, osteocondrose, [135](#), [136](#)

Cápsula articular, [16](#), [46](#), [119](#)

Cápsula fibrosa, [17](#)

Capsulite adesiva, [102](#)

Cartilagem articular, [16-19](#)

Célula de Schwann, [21](#)

Células da glia, [21](#)

Células mesenquimais, [6](#)

Centro de ossificação primário, [6](#)

Cervicocraniano, [32](#), [39](#)

Cintilografia óssea

antebraço, [143](#)

coluna vertebral, [38](#)

coxa/quadril, [253](#)

mão, [186](#)

ombro, [79](#)

perna/joelho, [291](#)

tornozelo, [342](#)

Cisto mucoso da mão, [213](#)

Cisto retinacular, [215](#)

Cisto sinovial, [174](#), [213](#)

Classificação de Evans/Jessen, das fraturas intertrocânticas, [256](#)

Classificação de Frykman, para as fraturas da parte distal do rádio, [146](#)

Classificação de Garden, para as fraturas do colo do fêmur, [255](#)

Classificação de Gustilo e Anderson, para as fraturas expostas, [12](#)

Classificação de Lauge-Hansen, para as fraturas do tornozelo, [344](#)

Classificação de Neer, para as fraturas do úmero, [84](#)

Classificação de Thompson, para a luxação do quadril, [254](#)

Classificação de Young e Burgess, para as fraturas da pelve, [228-229](#)

Classificação de Winquist/Hansen, para as fraturas do corpo (diáfise) do fêmur, [256](#)

Classificação Epstein, luxação do quadril, [254](#)

Classificação Russel-Taylor, para as fraturas subtrocantéricas, [257](#)

Clavícula

anatomia topográfica, [76](#)

fratura, [80](#)

osteologia, [78](#)

radiografia, [78](#), [79](#)

Clinodactilia, [216](#)

Coalizão (fusão) tarsal, [382](#)

Cóccix

anatomia topográfica, [30](#)

corte transversal, [240](#)

osteologia, [36](#), [221](#)

vista lateral esquerda, [31](#)

Colágeno, [4](#)

Colapso escafossemilunar avançado, [178](#)

Coluna vertebral

amplitude de movimento, [49](#)

anamnese, [48](#)

anatomia topográfica, [30](#)

artérias, [65-67](#)

articulações, [43-47](#)

camadas fasciais, [53](#)

cervical. *See* [Região cervical](#).

distúrbios, [68-72](#)

distúrbios pediátricos, 72
estabilidade, 41
exame físico, 49-52
lombar. *See* Região lombar.
músculos, 54-58
nervos, 59-64
osteologia, 31-36
radiografia, 37-38
regiões, 31
torácica. *See* Região torácica.
trauma, 39-42

Compartimento adutor, 207, 209

Compartimento hipotenar, 207, 209

Compartimento interósseo palmar, 209

Compartimento posteromedial do joelho, 298

Compartimentos extensores, do antebraço, 155

Complexo fibrocartilágneo triangular, 152, 153

Compressão cervical, 68

Compressão de Apley, 311

Condrócito, 18

Condromalacia, 324

Condução nervosa, 22

Contração concêntrica, 25

Contração excêntrica, 25

Contração isocinética, 25

Contração isométrica, 25

Contração isotônica, 25

Contratura de Dupuytren, 202, 215

Contusão da crista ilíaca (“*hip pointer*”), 246

Corda oblíqua, 119

Corpo adiposo infrapatelar, 297

Corpo vertebral, 31

Cotovelo

acesso lateral, 137

acesso posterior, 138

amplitude de movimento, 125

anastomoses ao redor, 133

anatomia topográfica, 110

artrocentese, 122

artroplasia, 134

distúrbios, 135

anamnese, 123

exame físico, 124

exame neurovascular, 126

testes especiais, 126

em extensão, 112

em flexão, 112, 119

estabilidade, 120

fraturas, 123

instabilidade, 126, 135

ligamentos, 119

luxação, 118, 123

osteocondrite dissecante, 135

outras estruturas, [121](#)
pequenos procedimentos, [122](#)
portais de artroscopia, [138](#)
radiografia, [113](#), [119](#)
rígido, [135](#)
teste de flexão, [126](#)
vista anterior, [119](#)

Cotovelo de babá, [118](#), [124](#)

Cotovelo de golfista, [126](#), [134](#)

Cotovelo de tenista (epicondilite lateral), [122](#), [124](#), [126](#), [134](#)

Coxa/quadril

acessos cirúrgicos, [281-284](#)
alinhamento, [252](#)
amplitude de movimento, [262](#)
anamnese, [260](#)
anatomia topográfica, [250](#)
artérias, [273-274](#)
articulações, [258](#)
compartimentos, [269](#)
distúrbios pediátricos, [264](#), [279](#), [280](#)
distúrbios, [254](#)
exame físico, [261-264](#)
fasciotomias, [269](#)
fraturas, [255-257](#)
ligamentos, [258](#)
luxação, [254](#)
músculos, [265-269](#)
nervos, [270-272](#)
origens e inserções, [265](#)

osteologia, [251-252](#)

pequenos procedimentos, [259](#)

portais de artroscopia, [284](#)

radiografia, [253](#)

trauma, [254-257](#), [260](#)

Coxins adiposos, [121](#)

Crianças

distúrbios da coluna vertebral, [72](#)

distúrbios da mão, [264](#)

distúrbios do antebraço, [179](#)

distúrbios do ombro, [205](#)

distúrbios do quadril, [264](#)

distúrbios do tornozelo/pé, [381-382](#)

Crista ilíaca

anatomia topográfica, [30](#), [220](#), [250](#)

contusão, [246](#)

osteologia, [222](#)

Cristais de hidroxapatita, [4](#)

Cuboide, [340](#), [341](#)

Cuneiformes, [340](#), [341](#)

D

Dedo(s)

- acessos cirúrgicos, 218
- amplitude de movimento, 203
- anatomia topográfica, 184
- aparelho intrínseco, 196
- artérias e nervos, 198
- artrite reumatoide, 201
- corte sagital, 198
- distúrbios pediátricos, 216
- em extensão, 195, 196, 203
- em flexão, 195, 203
- infecções, 202
- ligamentos, 192-194
- músculos, 206, 208
- osteoartrite, 201
- osteologia, 185
- radiografia, 186
- rotação e desvio, 201
- testes especiais, 205
- vista posterior, 196

Dedo em gatilho, 202, 215

Dedo em martelo, 357, 378

Dedo em martelo, da mão, 189, 200

Dedo em martelo, do pé, 378

Dedos em garra, 378

Defeito osteocondral, 328

Deformidade de Haglund, 357

Deformidade de Madelung, 179

Deformidade de Sprengel, 105

Deformidade em botoeira, 201, 213

Deformidade em cúbito varo, 124

Deformidade em pescoço de cisne, 201, 213

Dermátomos, 61

Desvio ulnar, 143

Diáfise, 2

Disco central (articular), 153

Disco intervertebral, 44, 46

Disfunção do tendão do m. tibial posterior, 379

Displasia do desenvolvimento do quadril, 279

Doença de Blount (tíbia vara infantil), 332

Doença de De Quervain, 158, 174

Doença de Haglund, 379

Doença de Kienböck, 178

Doença de Legg-Calve-Perthes, 280

Doença de Osgood-Schlatter, 308, 334

Doença de Paget, 11

Doença de Panner (osteocondrose do capítulo do úmero), 135, 136

Doença degenerativa do disco intervertebral, 70

Doppler, da mão, [204](#)

Dorso, músculos, [56-58](#)

E

Eletromiografia, 23

Eminência hipotenar, 184

Eminência tenar, 184

Endoneuro, 21, 22

Entorse, 17

Epicondilite

lateral (cotovelo de tenista), 122, 124, 126, 134

medial (cotovelo de golfista), 126, 134

Epicôndilo lateral, 110

Epicôndilo medial, 110

Epiderme, 22

Epífise, 2, 7

Epifisiólise, 280

Epineuro, 21, 22

Eponíquio, 198, 214

Escafoide, 142, 147, 158

Escanometria da perna, 291

Escápula alada, 93, 104

Escápula

anatomia topográfica, 76

fixações musculares, 94

fraturas, 80

osteologia, 77

radiografia, [79](#)

Escoliose, [72](#)

Escorbuto, [11](#)

Espaço (compartimento) tenar, [197](#), [207](#), [209](#)

Espaço de Parona, [197](#), [214](#)

Espaço mediopalmar, [197](#)

Espaço quadrangular do ombro, [96](#)

Espaço subacromial, [88](#)

Espaço triangular, do ombro, [96](#)

Espinha ilíaca, [30](#), [220](#), [223](#)

Espinha isquiática, [223](#)

Espondilite anquilosante, [380](#)

Espondiloartropatia, soronegativa, [380](#)

Espondilolistese, [71](#)

Espondilolistese traumática, [39](#)

Espondilose, [70-71](#)

Espondilose cervical, [70](#)

Esponjosa, [7](#)

Esporotricose, [214](#)

Estenose espinal, [68](#)

Estudos sobre condução nervosa, [22](#)

Exame ginecológico, após lesão da coluna vertebral, [236](#)

Exame neurovascular

antebraço, [159](#)

braço, [126](#)

coluna vertebral, [50](#), [51](#)

coxa/quadril, [262](#)

mão, [204](#)

ombro, [92](#)

pelve, [236](#)

perna/joelho, [310](#)

tornozelo/pé, [359](#)

Exame retal, após lesão da coluna vertebral, [236](#)

Extensão

dedos, [195](#)

joelho, [310](#)

ombro, [91](#)

Extensores do quadril, [239](#)

F

Faixa (banda) lateral, da mão, [196](#)

Faixa (banda) sagital, da mão, [196](#)

Faixas (bandas) laterais conjuntas, da mão, [196](#)

Falanges

artérias e nervos, [198](#)

corte sagital, [198](#)

corte transversal, [198](#)

fraturas, [187-189](#), [348](#)

osteologia, [185](#), [340](#), [341](#)

radiografia, [186](#)

trauma, [187-189](#), [348](#)

Fáscia cervical, lâmina pré-traqueal, [53](#)

Fáscia cervical, lâmina profunda, [53](#)

Fáscia plantar, [362](#)

Fascículo, [21](#), [24](#)

Fascículos musculares, [24](#)

Fascite plantar, [379](#)

Feixe central, da mão, [196](#)

Feixe lateral, da mão, [196](#)

Fêmur

anteversão, [279](#)

artérias, [273](#), [274](#)

fraturas, [255-257](#), [261](#), [275](#)

osteologia, [251](#), [252](#)

parte distal, [287](#)

radiografia, [253](#)

Ferimento cortocontuso (por soco nos dentes), [200](#), [215](#)

Fibra muscular, [24](#)

Fibra nervosa amielínica, [21](#)

Fibra nervosa mielínica, [21](#)

Fibras nervosas, [21](#)

Fibras oblíquas, da mão, [196](#)

Fibrocartilagem, [16](#)

Fíbula, [288](#), [291](#), [295](#), [339](#)

“Fise”, [7](#)

Flexão

dedos, [195](#)

joelho, [310](#)

ombro, [91](#)

quadril, [262](#)

Flexores do quadril, [238](#)

Forame intervertebral, [47](#)

Forame isquiático maior/menor, [223](#)

Forames, das vértebras, [31](#)

Fosfato de cálcio, [4](#)

Fosfato, [8](#), [9](#)

Fossa cubital, [110](#)

Fossa intercondilar, [297](#)

Fossa poplítea, [250](#), [286](#)

Fratura de Bennett, [187](#)

Fratura de Chance, [41](#)

Fratura de Colles, [146](#)

Fratura de Galeazzi, [145](#)

Fratura de Jefferson, do atlas, [39](#)

Fratura de Maisonneuve, [295](#)

Fratura de Monteggia, [145](#)

Fratura de Rolando, [187](#)

Fratura do “pilão” tibial, [295](#)

Fratura do boxeador, [200](#)

Fratura do dente do eixo, [39](#)

Fratura do enforcado, [39](#)

Fratura do rádio em torus, [148](#)

Fratura em galho verde, [148](#)

Fratura em livro aberto, [234](#)

Fratura intertrocântica, [256](#)

Fratura por explosão, da vértebra, [41](#)

Fratura subtrocântica, [257](#)

Fraturas. *Ver também* Ossos específicos.

classificação de Salter-Harris, [12](#), [13](#)

cominutivas, [12](#)

consolidação, 14, 15
de Chance, 41
dente do eixo, 39
do enforcado, 39
em espiral, 12
exposta, 12
galho verde, 12
oblíqua, 12
patológica, 12
por compressão, 12
por explosão, 41
torus, 12
transversa, 12

Fraturas do anel pélvico, 228-229

G

Gota (podagra), [20, 377](#)

H

Hálux hiperestendido (“*turf toe*”), 380

Hálux rígido, 377

Hálux valgo (joanete), 357, 377

Hamato, 142

Hâmulo do hamato, 152

Hemartrose, 20

Hematoma, na consolidação da fratura, 14

Hérnia de disco, 69

Hipercalcemia, 10

Hiperparatireoidismo, 10

Hipocalcemia, 10

Hipoparatireoidismo, 10

Hormônio paratireóideo, 8, 9

I

Impacto femoroacetabular, 275

Impacto

femoroacetabular, 263, 275

ombro/“manguito rotador”, 93, 103

Incidência de Broden, do pé, 343

Infecções de espaços profundos, 214, 215

Infiltração na bolsa trocantérica, 259

Inflamação, na consolidação da fratura, 14

Inspeção

da coluna vertebral, 49

da coxa/quadril, 261

da mão, 201

da pelve, 235

da/do perna/joelho

do antebraço, 158

do cotovelo, 124

do ombro, 90

do tornozelo/pé, 357

Instabilidade carpal, 177

Instabilidade/luxação perissemilunar, 147

Intervalo triangular, do ombro, 96

J

Jerk teste, [93](#)

Joanete (hálux valgo), [357](#), [377](#)

Joanete de Taylor (do alfaiate), [380](#)

Joelho

acessos cirúrgicos, [335](#)

amplitude de movimento, [310](#)

anterior, [16](#)

artroplasia total, [330](#), [331](#)

aspiração/artrocentese, [306](#)

cinemática, [296](#)

distúrbios, [324-328](#)

estrutura, [296](#)

infiltração, [306](#)

ligamentos, [297-301](#), [304](#), [326](#), [327](#)

luxação, [292](#)

menisco, [302-303](#)

portais de artroscopia, [306](#)

trauma, [307](#)

Joelho valgo, [332](#)

Joelho varo, [332](#)

Junção neuromuscular, [23](#)

Junção tendínea, [196](#)

Junções musculotendíneas, [26](#)

K

Kanavel, sinais cardinais de, 202

L

Lábio articular, [258](#)

Lábio glenoidal, [86](#)

Laceração do complexo fibrocartilágneo triangular, [174](#)

Lamina epifisial/“placa” de crescimento, lesão, [13](#)

Laminectomia, [68](#)

Lei de Wolff, [252](#)

Lesão Bankart, [104](#)

Lesão da camisa de Rugby, [189](#)

Lesão de Stener, [189](#)

Lesão slap, [104](#)

Liberção do túnel do carpo, [209](#)

Ligamento amarelo, [44](#)

Ligamento anular, [119](#)

Ligamento arqueado, [299](#)

Ligamento calcaneocubóideo, [349](#), [352](#)

Ligamento calcaneonavicular, [352](#)

“Ligamento carpal transverso” (contínuo com o retináculo dos músculos flexores), [152](#), [154](#)

Ligamento colateral fibular, [299](#), [327](#)

Ligamento colateral lateral acessório, [119](#)

Ligamento colateral medial (deltóideo), [349](#)

Ligamento colateral medial, parte tibiocalcânea, [349](#)

Ligamento colateral medial, parte tibionavicular, [349](#)

Ligamento colateral radial, [119](#)

Ligamento colateral tibial, [300](#), [327](#)

Ligamento colateral tibial, fibras oblíquas (“lig. oblíquo posterior”), [300](#)

“Ligamento colateral tibial, fibras oblíquas (“lig. oblíquo posterior”), [300](#)

Ligamento colateral ulnar, [119](#)

Ligamento coracoacromial, [87](#)

Ligamento coracoumeral, [86](#)

Ligamento cruzado anterior, [297](#), [307](#), [311](#), [326](#)

Ligamento cruzado posterior

fixações, [298](#)

função, [298](#)

lesão, [307](#)

ruptura, [327](#)

testes especiais, [313](#)

Ligamento da cabeça do fêmur, [258](#)

Ligamento de Cleland, [194](#)

Ligamento de Grayson, [194](#)

“Ligamento de Struthers”, [121](#)

Ligamento do capitato-hamato, [151](#)

Ligamento escafo-capitato, [151](#)

Ligamento escafossemilunar, 151

Ligamento escafotrapezio-trapezoidal, 151

Ligamento fabelofibular, 299

Ligamento iliofemoral, 258

Ligamento iliolumbar, 44

Ligamento inguinal, 220

Ligamento intercarpal dorsal, 151

Ligamento interósseo, 349

Ligamento intertransversário, 44

Ligamento intraespinal, 44

Ligamento isquiofemoral, 258

Ligamento longitudinal anterior/posterior, 44

Ligamento longitudinal posterior, 44

Ligamento mucoso, 297

Ligamento nugal, 44

Ligamento piramidal-capitato, 151

Ligamento piramidal-hamato, 151

Ligamento piramidal-hamato-capitato, 151

Ligamento piso-hamato, 151, 152

Ligamento pisometacarpal, 151, 152

Ligamento poplíteo oblíquo, 298

Ligamento poplíteofibular, 299

Ligamento puberofemoral, 258

Ligamento quadrado, 119

Ligamento radiocarpal, dorsal, 150, 151

Ligamento radioescafo-capitato, 150

Ligamento radiossemilunar curto/longo, 150

Ligamento radioulnar dorsal/palmar, 151, 153

Ligamento semilunar-piramidal, 151

Ligamento talocalcâneo, 352

Ligamento talofibular, 349

Ligamento transverso do acetábulo, 258

Ligamento transverso do joelho, 297

Ligamento transverso do úmero, 87

Ligamento transverso superior da escápula, 87

Ligamento trapeziocapitato, 151

Ligamento trapeziotrapezoidal, 151

Ligamento triangular, 196

Ligamento ulnocapitato, 150

Ligamento ulnopiramidal, 153

Ligamento ulnossemilunar, 150, 153

Ligamentos, 17. *Ver também* Articulações específicas.

Ligamentos colaterais, joelho, 300, 327

Ligamentos glenoumerais, 86

Ligamentos meniscofemorais, 298

Ligamentos patelomeniscais, 304

Ligamentos patelotibiais, 304

“Ligamentos retinaculares, transverso/oblíquo”, 196

Linha arqueada, 223

Linha curva de Shenton, 279

Linha de Hilgenreiner, 279

Linha de Perkin, 279

Linhas glúteas, 223

Lombalgia, 48, 68

Luxação dos processos articulares, região cervical da coluna vertebral, 40

Luxação subcoracóidea, 82

M

M. espinal, 57

M. semiespinal, 58

M. semimembranáceo, 265, 268, 300

M. semitendíneo, 265, 268

M. serrátil anterior, 76, 97

M. serrátil posterior superior/inferior, 56

M. sóleo, 26, 318

M. tensor da fáscia lata, 239, 240

Maléolo medial/lateral, 338, 339

“Manguito rotador”, 93, 96, 103. *See also* Ombro.

Manobra de Allis, 254

Manobra de Hipócrates, 83

Manobra de Milch, 83

Manobra de Stimson, 83

Mão. *See also* Dedo(s).

acessos cirúrgicos, 218

amplitude de movimento, 203

anatomia topográfica, 184

aparelho intrínseco, 196

artérias, 212

articulações, 192-195

bainha sinovial dos tendões flexores, 191

compartimentos,

distúrbios, 209
anamnese, 200
em crianças, 216, 217
exame físico, 201-204
testes especiais, 205
em extensão, 149, 203
em flexão, 149, 203
em posição anatômica, 149
espaços, 197
músculos, 206-209
nervos, 210, 211
origens e inserções, 206
osteologia, 185
pequenos procedimentos, 199
radiografia, 186
trauma, 187-191, 200
vista anterior, 185
vista posterior, 185
zonas dos tendões dos músculos extensores, 190
zonas dos tendões dos músculos flexores, 190

Mão em clava radial (hemimelia radial), 179

Marcha, 360

Massa óssea, regulação, 5

Matriz, osso, 4

Medula espinal, 42, 50, 51, 59

Membrana sinovial, 16, 20

Menisco
articulação dos processos articulares, 46

artroscopia, 328
estrutura e função, 302, 303
radiografia, 303
rupturas, 328
testes especiais, 311

Menisco homólogo, 153

Meralgia, 236, 263, 275

Metacarpais, 185, 187, 199

Metáfise, 2, 7

Metatarsais

anatomia topográfica, 338

fraturas, 348

origens e inserções, 361

osteologia, 340, 341

Metatarsalgia, 378

Metatarso aducto, 381

Miastenia grave, 23

Mielodisplasia, 72

Miofibrila, 24

Miofilamento, 24

Miosina, 24

Mordidas de animais, 200, 215

Mordidas humanas, 200, 215

Músculo, 24, 25, 27. *Ver também Músculos específicos.*

Músculo abdutor do dedo mínimo, 207, 363, 368

Músculo abdutor do hálux, 363, 368

Músculo abdutor longo do polegar, 167

Músculo adutor do hálux, 308

Músculo adutor do polegar, 308

Músculo adutor magno/longo/curto, 265

Músculo ancôneo, 166

Músculo articular do joelho, 266

Músculo bíceps braquial
anatomia topográfica, 110

corte transversal, 130

exame físico, 93

origens e inserções, 94, 127

Músculo bíceps femoral, 265, 268, 299

Músculo braquial, 128, 130

Músculo braquiorradial, 166

Músculo coracobraquial, 94, 127, 130

Músculo deltoide, 76, 96, 97, 130

Músculo digástrico, 54

Músculo eretor da espinha, 30, 57, 220

Músculo escaleno, 55

Músculo esplênio da cabeça/pescoço, 57

Músculo esternocleidomastóideo, 30, 53, 54

Músculo esterno-hióideo, 54

Músculo estilo-hióideo, 54

Músculo extensor curto/longo do hálux, 316, 367

Músculo extensor curto/longo do polegar, 167

Músculo extensor curto/longo dos dedos, 316, 367, 368

Músculo extensor do dedo mínimo, 166

Músculo extensor do indicador, 167

Músculo extensor dos dedos, 166, 189

Músculo extensor radial longo/curto do carpo, 166, 176

Músculo extensor ulnar do carpo, 166

Músculo fibular curto/longo, 317

Músculo fibular terceiro, 316

Músculo flexor curto do dedo mínimo, 207, 365

Músculo flexor curto/longo do hálux, 319, 365

Músculo flexor curto/longo dos dedos, 319, 363

Músculo flexor longo do hálux, tendão, 364

Músculo flexor longo do polegar, 165

Músculo flexor longo dos dedos, tendão do, 364

Músculo flexor profundo dos dedos, 165, 189

Músculo flexor profundo dos dedos, tendão do, 197

Músculo flexor radial do carpo, 163

Músculo flexor radial do carpo, tendão do, 140

Músculo flexor superficial dos dedos, 164

Músculo flexor superficial dos dedos, tendão do, 197

Músculo flexor ulnar do carpo, 163

Músculo gastrocnêmio, 26, 318, 338

Músculo gêmeo inferior/superior, 237, 239, 265

Músculo genio-hióideo, 54

Músculo glúteo máximo, 237, 239, 265

Músculo glúteo médio/mínimo, 237, 239, 240, 265

Músculo grácil, 237, 265, 267

Músculo ilíaco, 238

Músculo iliocostal, 57

Músculo iliopsoas, 240

Músculo infraespinal, 96

Músculo latíssimo do dorso, 56, 95

Músculo levantador da escápula, 56, 95

Músculo longo do pescoço, 53

Músculo longuíssimo, 57

Músculo milo-hióideo, 54

Músculo multífido, 58

Músculo oblíquo superior/inferior da cabeça, 55

Músculo obturador interno/externo
ações, 267

origens e inserções, 237, 239, 265, 267

relações anatômicas, [240](#), [241](#), [243](#)

Músculo omo-hioideo, [54](#)

Músculo oponente do dedo mínimo, [207](#)

Músculo oponente do polegar, [207](#)

Músculo palmar curto, [207](#)

Músculo palmar longo, [163](#)

Músculo pectíneo, [237](#), [240](#), [265](#), [267](#)

Músculo peitoral maior

ações, [97](#)

anatomia topográfica, [76](#)

origens e inserções, [97](#), [127](#), [128](#)

ruptura, [104](#)

Músculo peitoral menor, [94](#), [97](#)

Músculo piriforme

exame físico, [263](#)

origens e inserções, [237](#), [239](#), [265](#)

relações anatômicas, [243](#), [245](#)

Músculo plantar, [318](#)

Músculo platisma, [53](#), [54](#)

Músculo poplíteo, [299](#), [319](#)

Músculo pronador quadrado, [165](#)

Músculo pronador redondo, [163](#)

Músculo psoas maior/menor, [238](#), [265](#)

Músculo quadrado femoral

origens e inserções, [237](#), [239](#), [265](#)

relações anatômicas, [242](#), [243](#), [245](#)

Músculo quadrado plantar, [364](#)

Músculo quadríceps femoral, [250](#), [286](#), [308](#)

Músculo redondo maior/menor, [96](#)

Músculo reto femoral, [240](#), [266](#)

Músculo reto posterior maior/menor da cabeça, [55](#)

Músculo romboide, [30](#)

Músculo romboide maior/menor, [56](#), [95](#)

Músculo sartório, [240](#), [266](#), [300](#)

Músculo subclávio, [97](#)

Músculo subescapular, [96](#)

Músculo supinador, [167](#)

Músculo supraespinal, [93](#), [96](#)

Músculo tibial anterior/posterior, [316](#), [319](#)

Músculo tireo-hióideo, [54](#)

Músculo trapézio, [30](#), [76](#), [95](#)

Músculo tríceps braquial, [110](#), [129](#), [130](#)

Músculo vasto lateral/intermédio/medial, [265](#), [266](#)

Músculos interespinais, [58](#)

Músculos interósseos dorsais/palmares, [208](#)

Músculos interósseos dorsais/plantares, [366](#), [368](#), [373](#), [374](#)

Músculos intertransversários, 58

Músculos isquiotibiais, 268

Músculos levantadores das costelas, 58

Músculos lumbricais, 208, 364

Músculos rotadores, 58

N

Navicular, [340](#), [341](#)

Necrose avascular (osteonecrose) do quadril, [276](#)

Nervo acessório, raiz espinal, [92](#), [98](#)

Nervo auricular magno, [64](#)

Nervo axilar, [92](#), [99](#), [100](#), [126](#)

Nervo braquial, [130](#)

Nervo cervical transverso, [64](#)

Nervo clúnio, superior/médio, [243](#)

Nervo cutâneo femoral lateral/posterior
compressão, [275](#)

exame físico, [236](#), [262](#)

relações anatômicas, [241](#), [243](#), [269](#), [271](#), [272](#)

Nervo dorsal da escápula, [92](#), [98](#), [99](#)

Nervo espinal, [60](#)

Nervo femoral

exame físico, [236](#), [262](#), [310](#)

relações anatômicas, [240](#), [241](#), [269](#), [271](#)

Nervo fibular

comum, [272](#), [321](#)

exame físico, [310](#)

profundo/superficial, [321](#), [371](#)

Nervo fibular comum, [272](#), [321](#)

Nervo frênico, [64](#), [100](#)

Nervo genitofemoral, 236, 241, 262, 271

Nervo glúteo inferior/superior, 236, 243, 262

Nervo ílio-hipogástrico, 236, 241

Nervo ilioinguinal, 236, 241

Nervo interósseo anterior, 170

Nervo isquiático

exame físico, 262, 310

relações anatômicas, 240, 243, 269, 272

Nervo laríngeo recorrente, 53

Nervo mediano

bloqueio, 156

compressão, 175, 201

exame físico, 126

ramos, 210, 211

relações anatômicas, 100, 130, 152, 168, 170

teste, 204

Nervo musculocutâneo

exame físico, 126

ramos, 211

relações anatômicas, 130

vista anterior, 130

vista posterior, 130

Nervo obturatório

ramos/divisões, 270, 273

relações anatômicas, 240, 241

teste, 262

Nervo occipital, menor, 64

Nervo peitoral lateral, 92

Nervo periférico, 21

Nervo plantar medial/lateral, 370

Nervo pudendo, 236, 242, 243

Nervo radial

bloqueio, 156

compressão, 176

exame físico, 126, 204

ramos, 210, 211

relações anatômicas, 99, 121, 130, 168

vista posterior, 131

Nervo safeno, 320, 370

Nervo subcostal, 241

Nervo subescapular, 92, 99

Nervo supraclavicular, 64, 98

Nervo supraescapular, 92, 98, 99

Nervo sural, 310, 321, 371

Nervo tibial, 272, 310, 320, 370

Nervo torácico longo, 92

Nervo toracodorsal, 92, 99

Nervo ulnar

bloqueios, 156

compressão, 123, 176, 201

ramos, 210, 211

relações anatômicas, 100, 121, 130, 168, 172

teste, [126](#), [204](#)

transposição submuscular, [134](#)

zonas, [154](#)

Nervo, [21](#), [22](#)

Nervos cervicais, [60](#), [62](#)

Nervos coccígeos, [60](#), [242](#)

Nervos digitais palmares, [212](#)

Nervos lombares, [60](#), [63](#)

Nervos sacrais, [60](#)

Nervos torácicos, [60](#), [92](#), [98](#)

Neuroartropatia de Charcot, [376](#)

Neuroma de Morton, [379](#)

Neurônio, [21](#)

Neuropraxia, [22](#)

Neurotmeose, [22](#)

Nódulo de Ranvier, [21](#)

Nódulos de Bouchard, [201](#)

“Nódulos” de Heberden, [201](#)

Núcleo pulposo, [46](#)

Núcleo pulposo herniado, [69](#)

O

Olécrano, 110, 117, 140

Ombro

acesso anterior, 106, 107

amplitude do movimento, 91

anamnese, 89

anatomia topográfica, 76

artérias, 101

articulações, 85-87

artroscopia, 87, 106, 107

distúrbios pediátricos, 105

distúrbios, 102-105

estruturas neurovasculares, 100

exame físico, 90-93

ligamentos, 85-87

músculos, 94-97

nervos, 98, 99

origens e inserções, 94

osteologia, 77, 78

pequenos procedimentos, 88

radiografia, 78-79

trauma, 80-84

Ossículos, 341

Ossificação, 6

Ossificação aposicional, 6

Ossificação do sulco de Ranvier, 7

Ossificação endocondral, 2, 6

Ossificação intramembranácea, [2](#), [6](#)

Osso. *Ver também Ossos específicos.*

composição, [4](#)

consolidação, [14](#), [15](#)

formação, [6](#)

formas, [2](#)

fraturas, [12](#). *See also Fraturas.*

funções, [2](#)

homeostase, [10](#)

no metabolismo do cálcio, [8](#)

no metabolismo do fosfato, [8](#)

regulação, [5](#)

tipos de células, [5](#)

tipos estruturais, [3](#)

tipos microscópicos, [2](#)

Osso do quadril (inominado), [222](#)

Ossos longos, [2](#)

Ossos planos, [2](#)

Osteíte púbica, [246](#)

Osteoartrite

acometimento da coluna vertebral, [70](#)

alterações degenerativas, [19](#)

características, [19](#)

cotovelo, [134](#)

joelho, [323](#)

mão, [201](#), [213](#)

ombro (glenoumeral), [102](#)

punho, [178](#)

radiografia, [213](#)

tornozelo/pé, [375](#)

Osteoblastos, [4](#), [5](#), [6](#)

Osteócitos, [4](#), [5](#)

Osteoclastos, [4](#), [5](#)

Osteocondrite dissecante do cotovelo, [135](#)

Osteocondrose do capítulo do úmero, [135](#), [136](#)

Osteodistrofia renal, [10](#)

Osteomalacia, [10](#), [11](#)

Ósteon (Sistema de Harvers), [3](#)

Osteonecrose (necrose avascular), do quadril, [276](#)

Osteopetrose, [11](#)

Osteoporose, [3](#), [11](#)

P

Palpação

- antebraço, 158
- coluna vertebral, 49
- cotovelo, 124
- coxa/quadril, 261
- dedos, 202
- ombro, 90
- pelve, 235
- perna/joelho, 309
- tornozelo/pé, 358

Paroníquia, 198, 214

“Parte transversa”, 349

“Pata de ganso”, 286

Patela

- anatomia topográfica, 286
- desvio, 311
- estrutura e função, 304
- fraturas, 292
- osteologia, 287
- subluxação e luxação, 304, 325
- tendinite, 325

Pé cavo, 381

Pé de cavovaro, 357

Pé de Charcot, 376

Pé de corredor, 380

Pé diabético, 376

Pé plano, 357, 382

Pé plano (“chato”), 379, 382

Pé plano valgo, 382

Pé torto congênito (pé talo equinovaro), 381

Pelve

acessos cirúrgicos, 247, 248

amplitude do movimento, 235

anamnese, 234

anatomia topográfica, 220

artérias, 244, 245

articulações, 232, 233

distúrbios, 246

estabilidade, 232

exame físico, 235

ligamentos, 233

músculos, 237-240

nervos, 241-243

origens e inserções, 237

osteologia, 221-224

pontos de referência anatômicos, 223

radiografia, 225, 226, 240

trauma, 227-231, 234

Perineuro, 21

Periósteo, 7

Perna/Joelho. *See also* Joelho.

alinhamento, 289

anamnese, 307

anatomia topográfica, 286

artérias, 322
articulações, 305. *See also* Joelho.
compartimentos, 315
distúrbios, 323-329
distúrbios pediátricos, 332-334
exame físico, 308-310
fasciotomias, 315
músculos
compartimento anterior, 316
compartimento lateral, 317
compartimento posterior, parte profunda, 319
compartimento posterior, parte superficial, 318
origens e inserções, 314
nervos, 320, 321
osteologia, 287-289
pequenos procedimentos, 306
radiografia, 290, 291
trauma, 292-295

Pescoço, 54, 64, 65

“Pilão” tibial, 339

Pinch grip, 126

Piramidal, 142

Pisiforme, 142, 152

Planta, 338

Plexo braquial, 100

anatomia topográfica, 30

fascículo lateral, 99, 132, 170, 172

fascículo medial, 99, 132, 170, 172, 210

fascículo posterior, 99, 131, 171

raízes, 98

tronco superior, 98

vista anterior, 170

vista posterior, 171

Plexo cervical, 64, 98

Plexo lombar, 241, 270, 320, 370

Plexo lombossacral, 242, 243

Plexo sacral, 272

divisão anterior, 320, 370

divisão posterior, 321, 371

Podagra (gota), 20, 377

Polegar

amplitude de movimento, 203

articulação carpometacarpal, 184, 199

distúrbios pediátricos, 217

fraturas, 187, 200

hipoplasia, 217

infiltração, 199

ligamentos, 192, 193

luxação, 200

testes especiais, 205

Polegar do esquiador, 19

Polidactilia, 217

Polidactilia pré-axial, 217

“Polpa”, 198

Ponta do dedo, 198

POPI IQ mnemônico, 223, 243

Porção terminal do tendão do músculo extensor dos dedos, 196

Portal de Neviasser, 106, 107

Portal Wilmington, 106, 107

Prega (plica) sinovial, 325

“Prega palmar proximal/distal”, 184

Processo espinhoso de C VII, 30

Processo estiloide da ulna, 140

Proteoglicano, 4, 18

Pseudartrose congênita, 333

Pseudogota, 20

Psoríase, 380

Punho. *See also* Antebraço.

acessos cirúrgicos, 180-182

amplitude de movimento, 149

artérias, 173

articulações, 150

aspiração/infiltração, 156

distúrbios, 174-178

em extensão, 149

em flexão, 149

face articular carpal, 141

fileira distal, 142

fileira proximal, 142

fraturas, 147

ligamentos, 149-151

luxação, 158

pequenos procedimentos, 156

portais de artroscopia, 182

posição anatômica, 149

radiografia, 143, 152

testes especiais, 160

vista anterior, 142

vista posterior, 142

Q

Quadril. *See also* Coxa/quadril.

acessos cirúrgicos, 281-284

artroplastia total, 277-278

contratura em flexão, 261

infiltração/aspiração, 259

luxação, 254, 261

radiografia, 253

ressalto, 275

Quadril em ressalto (“*coxa saltans*”), 275

R

- Rádio
 - anatomia topográfica, 110
 - cabeça do rádio
 - anatomia topográfica, 140
 - fraturas, 117
 - luxação congênita, 136
 - subluxação, 118, 124
 - fratura da parte distal, 146-148, 158
 - fraturas do corpo (diáfise), 144-145
 - osteologia, 141
 - parte proximal, 112, 161-162
 - vista anterior, 141
 - vista posterior, 141
- Radiografia (incidência) “*inlet*” da pelve, 225, 226
- Radiografia (incidência) “*outlet*” da pelve, 225, 226
- Radiografia (incidência) “*outlet*” do supraespinal, do ombro, 79
- Radiografia (incidência) axial/sesamoide, do pé, 343
- Radiografia (incidência) com estresse no polegar, 186
- Radiografia (incidência) da fossa intercondilar, do joelho, 290
- Radiografia (incidência) de Canale, do pé, 343
- Radiografia (incidência) do nadador, da região cervical da coluna vertebral, 37
- Radiografia (incidência) oblíqua alar, da pelve, 225, 226
- Radiografia (incidência) oblíqua obturatriz da pelve, 225, 226
- Radiografia anteroposterior (AP)

cotovelo, 113

fêmur, 253

mão, 186

ombro, 79

pé, 343

pelve, 225, 253

perna/joelho, 290, 291

punho, 143

quadril, 253

região cervical da coluna vertebral, 37

região lombar da coluna vertebral, 38

tornozelo, 342

Radiografia axial (*sunrise*) do joelho, 290

Radiografia da mortalha do tornozelo, 342

Radiografia de Rosenberg, da perna/joelho, 290

Radiografia de *west point*, ombro, 79

Radiografia de Zanca, ombro, 79

Radiografia do dente do eixo (odontóide), da região cervical da coluna vertebral, 37

Radiografia em perfil

cotovelo, 113

coxa/quadril, 253

fêmur, 253

mão, 186

pé, 343

perna/joelho, 290, 291

punho, 143

região cervical da coluna vertebral, 37

região lombar da coluna vertebral, [38](#)

tornozelo, [342](#)

Radiografia em perfil da região cervical da coluna vertebral, [37](#)

Radiografia Merchant, da perna/joelho, [290](#)

Radiografia na incidência da fossa intercondilar (*tunnel/notch view*) do joelho, [290](#)

Radiografia oblíqua

cotovelo, [113](#)

mão, [186](#)

pé, [343](#)

punho, [143](#)

região cervical da coluna vertebral, [37](#)

região lombar da coluna vertebral, [38](#)

Radiografia panorâmica, da perna, [291](#)

Radiografia radiocapitular, cotovelo, [113](#)

Radiografia *serendipity* do ombro, [79](#)

Radiografia Stryker, ombro, [79](#)

Radiografias (incidências) de estresse
ombro, [79](#)

pé, [343](#)

tornozelo, [342](#)

Ramo calcâneo, [372](#)

Ramo espinal, [66](#)

Ramo perfurante da artéria fibular, [372](#)

Raquitismo/osteomalacia, [10](#)

Recesso pré-estilóideo, 153

Reflexo de Babinski, 51

Reflexo de Hoffman, 204

Reflexo do tornozelo, 51

Região “toracolombar” da coluna vertebral, 31, 41

Região cervical (trígono) anterior, 54

Região cervical da coluna vertebral
acesso anterior, 73

acesso posterior, 74

anatomia topográfica, 30

articulação atlantoaxial, 43

articulação atlantoccipital, 43

características, 31

exame físico, 50, 52

fraturas, 40

hérnia de disco, 69

radiografia, 37

Região cervical posterior (“trígono suboccipital”), 55

Região lombar da coluna vertebral

acesso posterior, 74

anatomia topográfica, 30

características, 31

exame físico, 51, 52

hérnia de disco, 69

radiografia, 38, 45, 60

vista lateral esquerda, 31, 45

vista posterior, 45

Região torácica da coluna vertebral

anatomia topográfica, [30](#)

características, [31](#)

radiografia, [38](#)

vista anterossuperior, [66](#)

vista lateral esquerda, [31](#)

Remodelamento, na consolidação de fratura, [14](#)

Ressonância magnética (RM)

antebraço, [143](#)

braço, [113](#)

coluna vertebral, [38](#)

cotovelo, [119](#)

coxa/quadril, [253](#)

joelho, [297](#), [298](#), [301](#)

mão, [186](#)

ombro, [79](#), [86](#), [87](#)

pelve, [225](#), [240](#)

perna/joelho, [291](#)

punho, [152](#)

quadril, [258](#)

região lombar da coluna vertebral, [45](#)

tornozelo, [342](#), [350](#), [351](#)

Retículo sarcoplasmático, [24](#)

Retináculo da patela, [286](#), [299](#), [300](#), [304](#)

Retináculo dos músculos extensores, [155](#)

Retináculo dos músculos flexores (“ligamento carpal transverso”), [152](#)

Rotação lateral, [91](#), [92](#)

Rotação medial, [91](#), [92](#)

Rotadores laterais do quadril, [239](#)

Ruptura superior do lábio glenoidal, [104](#)

S

Sacro, [31](#), [36](#), [221](#), [227](#)

Sacroileíte, [235](#), [246](#)

Sarcômero, [24](#)

Semilunar, [142](#)

Sensibilidade dolorosa na linha articular, [311](#)

Sesamoide, [340](#), [341](#)

Sinais de Waddell, [52](#)

Sinal de “muitos dedos”, [357](#)

Sinal de Allis, [264](#)

Sinal de Froment, [205](#)

Sinal de Galeazzi, [264](#)

Sinal de Thomas, [263](#)

Sinal de Tinel, [126](#), [160](#), [359](#)

Sinal do “bojo”, [309](#)

Sinal do “J”, [311](#)

Sinal do retardo da RL (“*ER lag sing*”), [93](#)

Sinal do sulco, [93](#)

Sindactilia, [216](#)

Sindesmose tibiofibular, [349](#)

Sindesmose, [349](#)

Síndrome compartimental, [27](#), [169](#), [294](#), [308](#)

Síndrome da artéria espinal anterior, 42

Síndrome da cauda equina, 69

Síndrome da faixa (banda) de constrição, 217

Síndrome da parte central da medula espinal, 42

Síndrome de Brown-Sequard, 42

Síndrome de Charcot-Marie-Tooth, 22

Síndrome de compressão patelar lateral, 324

Síndrome de Guillain-Barré, 22

Síndrome de Reiter, 20, 380

Síndrome de Wartenberg, 176

Síndrome do “túnel do tarso”, 380

Síndrome do “túnel radial”, 176

Síndrome do desfiladeiro torácico, 104

Síndrome do funículo posterior, 42

Síndrome do músculo pronador, 175

Síndrome do nervo interósseo anterior, 175

Síndrome do nervo interósseo posterior, 176

Síndrome do túnel cubital, 134

Síndrome do túnel do carpo, 175

Síndrome do túnel ulnar (“canal de Guyon”), 176, 177

Síndrome do túnel ulnar (do canal de Guyon), 176, 177

Sínfise púbica, 220, 233

Sinostose radioulnar, 136

Sinóvia, 16, 17

Sinovite transitória, 280

Substância compacta (osso cortical), 3

Substância esponjosa (osso trabecular), 2, 3, 6

Sulco de Ranvier, 7

Sulfato de condroitina, 4

T

Tabaqueira anatômica, 140, 184

Tálus, 340, 346, 373, 382

Tecido ósseo primário (reticular), 2

Tecido ósseo secundário (osso lamelar), 2

Tendão, 26. *Ver também* Tendões específicos.

Tendão avascular, 26

Tendão da patela, 286, 304, 329

Tendão do calcâneo (de aquiles), 26

anatomia topográfica, 338

ruptura, 375

tendinite, 358, 375

Tendão do m. palmar longo, 140, 184

Tendão do m. poplíteo, 299

Tendão do m. quadríceps femoral

anatomia topográfica, 250, 286

fixações, 304

ruptura, 309, 329

Tendão do músculo bíceps braquial

origens e inserções, 128

ruptura, 90, 102, 135

tendinite, 102

Tendão do músculo extensor dos dedos (extrínseco), 196

Tendões extensores, 26

Tenossinovite, 202, 214, 215

Tenossinovite estenosante, 202, 215

Teste (luxação) de Barlow, 264

Teste (sinal) da translação posterior, 312, 313

Teste “*pelvic rock*” (balanço pélvico), 236

Teste “tecla de piano”, 160

Teste 90/90 perna estendida, 52, 263

Teste da adução com os braços cruzados à frente do corpo, 93

Teste da apreensão da patela, 311

Teste da contração do quadríceps, 313

Teste da gaveta anterior, 311, 359

Teste da gaveta posterior, 312, 313

Teste da gaveta posterolateral, 313

Teste da gaveta posteromedial, 313

Teste da manivela, 93

Teste da queda do braço, 93

Teste da raiz sentada (sinal de “sacudir”), 52

Teste da relocação, 93

Teste de Adson, 93

Teste de afastamento da mão do dorso (de Gerber), 93

Teste de afastamento da mão do dorso com queda (“*lift off lag sign*”),
93

Teste de Allen, [160](#), [204](#)

Teste de apreensão (Fairbank), [93](#), [311](#)

Teste de bloco de Coleman, [359](#)

Teste de *Bowstring*, [52](#)

Teste de Brudzinski, [52](#)

Teste de Bunnell-Litter, [205](#)

Teste de carga e desvio, [93](#)

Teste de compressão ativa (de O'Brien), [93](#)

Teste de compressão carpal de Durkan, [160](#)

Teste de compressão digital, [160](#)

Teste de compressão/crepitação da patela, [311](#)

Teste de compressão, pé, [359](#)

Teste de deslocamento do escafoide, [160](#)

Teste de distração, [52](#)

Teste de elevação do calcânhar, [359](#)

Teste de Elson, [205](#)

Teste de Ely, [263](#)

Teste de estresse em valgo, [313](#)

Teste de estresse em varo, [313](#)

Teste de estresse sacroilíaco, [236](#)

Teste de Finkelstein, [160](#)

Teste de Hawkins, [93](#)

Teste de Hoover, [52](#)

Teste de inclinação para frente, [52](#)

Teste de inclinação talar, [359](#)

Teste de Kernig, [52](#)

Teste de Lachman, [311](#)

Teste de McMurray, [311](#)

Teste de Ober, [263](#)

Teste de Ortolani (redução), [264](#)

Teste de Patrick (FABROL), [236](#), [263](#)

Teste de Phalen, [160](#)

Teste de pressão no ventre (sinal de Napoleão), [93](#)

Teste de recurvato na rotação lateral, [313](#)

Teste de rolagem, [263](#)

Teste de rotação lateral, [313](#)

Teste de Slocum, [313](#)

Teste de Stinchfield, [263](#)

Teste de Thompson, [359](#)

Teste de Trendelenburg, [236](#)

Teste de velocidade (“*speed*”), [93](#)

Teste de Watson, [160](#)

Teste de Wright, [93](#)

Teste de Yergason, [93](#)

Teste do comprimento da perna, [263](#)

Teste do corneteiro, [93](#)

Teste do enchimento capilar, [204](#)

Teste do flexor superficial, [205](#)

Teste do *pivot shift*, [126](#), [311](#), [312](#)

Teste do *pivot shift* reverso, [313](#)

Teste profundo, [205](#)

Teste/manobra de Spurling, [52](#), [93](#)

Tíbia

acesso cirúrgico, [336](#)

arqueamento, [333](#)

fraturas, [293-295](#)

osteologia, [288](#), [339](#)

parte distal, [339](#)

radiografia, [292](#)

torsão, [334](#)

Tíbia vara infantil (doença de Blount), [332](#)

Tomografia computadorizada (TC)

antebraço, [143](#)

braço, [113](#)

coluna vertebral, [38](#)

coxa/quadril, [253](#)

mão, [186](#)

ombro, [79](#)

pelve, [225](#), [226](#)

perna/joelho, [291](#)

tornozelo, [342](#)

Torcicolo, [72](#)

Tornozelo/pé

amplitude de movimento, [358](#)

anatomia topográfica, [338](#)

artérias, [372](#), [373](#)

articulações, [349-353](#)

compartimentos, [369](#)

distúrbios, [357](#), [375-380](#)

anamnese, [356](#)

em crianças, [381](#), [382](#)

exame físico, [357](#), [358](#)

testes especiais, [359](#)

fasciotomias, [369](#)

fraturas, [344-348](#)

ligamentos, [350](#), [351](#)

músculos,

com artérias e nervos, [368](#)

corte transversal, [369](#)

dorso, [367](#)

fáscia plantar, [362](#)

origens e inserções, [361](#)

segunda camada, [364](#)

terceira camada, [365](#)

quarta camada, [366](#)

nervos, [370](#), [371](#)

osteologia, [339-341](#)

pequenos procedimentos, [355](#)

radiografia, [342](#), [343](#)

trauma, [344-348](#)

Tornozelo. *See also* Tornozelo/pé.

acessos cirúrgicos, 383
amplitude de movimento, 358
anamnese, 356
anatomia topográfica, 338
artérias, 372-373
artrocentese, 355
bloqueio, 355
entorse, 375
exame físico, 357-359
fraturas, 344
infiltrações, 355
instabilidade, 375
ligamentos, 349-351
portais de artroscopia, 383
radiografia, 342, 350, 351

Trabécula óssea, 2

Trapézio, 142

Trapezoide, 142

Trato iliotibial

anatomia topográfica, 250

fixações, 299

fraqueza/dor, 286, 309

funções, 299

síndrome do ressalto, 234

Tríade maldita, 326

Trocanter maior/menor, 220, 223, 250, 275

Tronco braquiocefálico, 65

Tronco costocervical, 65

Tronco simpático, 53

Tronco tireocervical, 65

Tropomiosina, 24

Troponina, 24

Túber isquiático, 220, 223, 250

Tubérculo de Lister, 140

Tubérculo do trato iliotibial (de Gerdy), 286

Tuberosidade da tíbia, 286

Túnel cubital, 120

Túnel do carpo, 152, 154, 156

Túnel ulnar (“canal de Guyon”), 154

U

Úlcera, pé, 357, 376

Ulna

fraturas, 144, 145

osteologia, 141

parte proximal, 112, 161, 162

vista anterior, 141

vista posterior, 141

Úmero

acesso anterior, 137

fratura da parte proximal, 77, 84

fratura diafisária, 114

fratura supracondilar, 116

fraturas, 77, 84, 114-116

lesão osteocondral, 135

osteologia, 111

parte distal, 115

Unha, 198

Unidade motora, 23

V

Vale (leito) da unha/matriz, 198

Veia obturatória, 240

Veia subclávia, 65

Veio cefálica, 76 *See also* Artrite reumatoide.

Vértebra C I (atlas), 31, 32, 39, 43

Vértebra C II (áxis), 31, 32, 43

Vértebra C III, 33

Vértebra C II-III, 31

Vértebra C IV, 33

Vértebra C VII, 31, 33

Vértebra C IV-C V, 31

Vértebra L I, 31

Vértebra L II, 35

Vértebra L III, 31, 35

Vértebra L IV, 31, 35

Vértebra lombar, 35, 60

Vértebra T III, 31

Vértebra T VI, 34

Vértebra T VII-T IX, 31, 34

Vértebra T X, 31

Vértebra T XII, 34

Vértebra, [31](#), [44](#)

Vértebras torácicas, [34](#)

Vínculo curto/longo, [26](#)

Vista axilar lateral, do ombro, [79](#)

Vista de Harris, do pé, [343](#)

Vista do túnel do carpo, do punho, [143](#)

Vistas em flexão/extensão, da coluna vertebral, [37](#), [38](#)

Vitamina D 1,25 (OH), [8](#), [9](#)

Z

Zona de hipertrofia, da “fise”, 7

Zona de proliferação da “fise”, 7

Zona reserva, da “fise”, 7